

DIE INTERNATIONALE POLARFORSCHUNG
1882—1883.

DIE

ÖSTERREICHISCHE POLARSTATION JAN MAYEN

AUSGERÜSTET DURCH

SEINE EXCELLENZ GRAF HANNS WILCZEK

GELEITET VOM

K. K. CORVETTEN-CAPITÄN EMIL EDLEN VON WOHLGEMUTH.

BEOBACHTUNGS-ERGEBNISSE

HERAUSGEGEBEN VON DER

KAISERLICHEN AKADEMIE DER WISSENSCHAFTEN.

II. BAND. II. ABTHEILUNG.



MIT 25 TAFELN UND 4 HOLZSCHNITTEN.

IN COMMISSION BEI KARL GEROLD'S SOHN,

BUCHHÄNDLER DER KAISERLICHEN AKADEMIE DER WISSENSCHAFTEN.



P. A. 99.

I N H A L T.

Magnetische Beobachtungen, bearbeitet von Linienschiffs-Lieutenant August Gratzl. (Mit 25 Tafeln und 4 Holzschnitten.)

	Seite		Seite
Einleitung	1	Zusammenhang zwischen magnetischen Störungen und Sonnenflecken	50
Absolute Bestimmungen	5	Gleichzeitige Änderung der verschiedenen Ele- mente bei Störungen	50
Declination	5	Absolute Bestimmungen in der Umgegend der Station	51
Horizontal-Intensität	7	Schlusswort	53
Inclination	13		
Variationsapparate	17		
A. Die Wild-Edelmann'schen Apparate	18		
1. Das Declinatorium	18		
2. Das Bifilar-Magnetometer	20		
3. Die Lloyd'sche Wage	24		
B. Die Lamont-Edelmann'schen Apparate	27		
1. Das Unifilar	28		
2. Das Unifilar mit Ablenkungsmagneten	30		
3. Das Unifilar mit Eisenstäben	33		
Terminbeobachtungen	37		
Stündliche Beobachtungen	37		
Berechnung der Perioden	38		
Declination	39		
Horizontal-Intensität	40		
Vertical-Intensität	40		
Total-Intensität	41		
Inclination	42		
Störungen	44		
Normaltage	44		
Zusammenhang zwischen Polarlichtern und mag- netischen Störungen	49		
		T a b e l l e n.	
		Terminbeobachtungen:	
		Terminstage	55
		Terminstunden	95
		Stündliche Beobachtungen der Declination	122
		Monatsstundenmittel der Declination	134
		" " Inclination	134
		" " Total-Intensität	134
		Stündliche Beobachtungen der Horizontal-Intensität	136
		Monatsstundenmittel der Horizontal-Intensität	146
		Stündliche Beobachtungen der Vertical-Intensität	148
		Monatsstundenmittel der Vertical-Intensität	158
		Tagesmittel der Total-Intensität	160
		" " Inclination	160
		Zusammenstellung der Abweichungen der Declination	161
		Zusammenstellung der Abweichungen der Horizontal- Intensität	168
		Zusammenstellung der Abweichungen der Vertical-Inten- sität	172

V. THEIL.
MAGNETISCHE BEOBACHTUNGEN

AUF
JAN MAYEN 1882–1883.

BEARBEITET VON
LINIENSCHIFFS-LIEUTENANT AUGUST GRATZL.

(Mit 25 Tafeln und 4 Holzschnitten.)

Einleitung.

Das von der internationalen Polar-Conferenz in Petersburg im Jahre 1881 entworfene Programm bildete für die österreichische arktische Beobachtungsstation den Hauptanhaltspunkt, nach welchem die magnetischen Beobachtungen eingeleitet und durchgeführt wurden.

Die magnetischen Instrumente, welche der Expedition zur Verfügung standen, waren:

Ein magnetischer Theodolith von E. Schneider, Wien, für absolute Bestimmungen der Declination und Horizontal-Intensität,

ein Inclinatorium Dover Charlton Kent Circle Nr. 63,

„ „ Henry Barrow & Co.,

„ Wild-Edelmann'scher Satz von Variationsapparaten, bestehend aus:

Unifilar,

Bifilar

und einer Lloyd'schen Wage,

ein Lamont-Edelmann'scher Satz:

Unifilar,

Unifilar mit Ablenkungsmagneten,

Unifilar mit Eisenstäben.

Die ersten drei Instrumente für absolute Bestimmungen wurden vom k. k. Hydrographischen Amte in Pola der Expedition leihweise bereitwilligst überlassen. Die zwei Sätze Variationsapparate lieferte M. Th. Edelmann in München.

Sämmtliche Apparate kamen, Dank der musterhaften Verpackung, im besten Zustande in Jan Mayen an.

Die auf Jan Mayen durchgeführten Beobachtungen umfassen leider nicht den Zeitraum eines ganzen Jahres, da es nicht möglich war mit den magnetischen Variationsbeobachtungen vor nachstehenden Zeitpunkten zu beginnen:

Declination	27. August	1882, 1 ^h a. m.
Horizontal-Intensität	8. September	1882, 1 „ „
Vertical- „	8. „	1882, 1 „ „

Abgebrochen wurden die Beobachtungen der Declination am 3. August 1883 um Mitternacht, der Horizontal- und Vertical-Intensität am 2. August 1883 um 1^h a. m.

Die innerhalb dieser Zeiträume fallenden Terminbeobachtungen wurden pünktlich durchgeführt.

An den stündlichen Variationsbeobachtungen und Terminbeobachtungen beteiligten sich alle sechs Officiere, die absoluten Beobachtungen wurden durchgehends von mir ausgeführt.

Bevor ich zur eigentlichen Beschreibung der Beobachtungen übergehe, sei es mir gestattet, hier eine Schuld des Dankes abzutragen, zu welchem ich mich durch die freundliche Unterstützung von Seite der k. k. Centralanstalt für Meteorologie und Erdmagnetismus in Wien und des k. k. Hydrographischen Amtes in Pola verpflichtet fühle.

Herr Director Hann und insbesondere Herr Adjunct J. Liznar haben mir mit der grössten Bereitwilligkeit und Freundlichkeit, sowohl vor der Expedition als auch nach derselben, bei der Bearbeitung der Beobachtungen werthvolle Rathschläge und Winke ertheilt, ohne welche ich meine Aufgabe schwerlich hätte durchführen können.

Das k. k. Hydrographische Amt hat durch die leihweise Überlassung vorzüglicher Instrumente das Unternehmen werthvoll unterstützt, und sich bei der Zusammenstellung der Beobachtungen durch die Herren Linienschiffs-Fähnriche O. Gassenmayr und W. Kesslitz schätzbar beteiligt.

Allen diesen Herren spreche ich hiemit meinen aufrichtigsten und tiefgefühlten Dank aus.

Die auf die magnetischen Beobachtungen Bezug habenden Punkte des Programmes der internationalen Polar-Commission lauten:

e) Erdmagnetische Beobachtungen.

Absolute Messungen.

§. 16. Bei der Bestimmung der absoluten Declination und Inclination ist eine Genauigkeit von einer Minute, und bei derjenigen der absoluten Horizontal-Intensität 0.001 ihres Werthes anzustreben.

§. 17. Es ist durchaus erforderlich, ausser den absoluten Beobachtungen im Observatorium selbst, auch in der Umgebung desselben eine Reihe von Messungen auszuführen, um etwaige locale Einflüsse zu constatiren.

§. 18. Die absoluten Beobachtungen müssen im engsten Zusammenhange und synchronisch mit den Lesungen an den Variationsinstrumenten ausgeführt werden, um die Angaben der letzteren auf absoluten Werth reduciren, respective den absoluten Werth der Nullpunkte der betreffenden Scalen bestimmen zu können. Die Bestimmungen müssen so häufig ausgeführt werden, dass die allfälligen Änderungen im absoluten Werthe des Nullpunktes der Scalen der Variationsapparate dadurch mit Genauigkeit controlirt werden.

Variationsbeobachtungen.

§. 19. Es haben sich die Beobachtungen über die Variationen auf alle drei erdmagnetische Elemente zu erstrecken, und ist wünschenswerth, dass jede Station ein zweites vollständiges System von Variationsinstrumenten besitzt, womit von Zeit zu Zeit vergleichende Ablesungen gemacht werden können, und wodurch einer Unterbrechung der Beobachtungen durch eintretende Unfälle vorgebeugt werden kann.

§. 20. Die Variationsinstrumente müssen mit kleinen Nadeln versehen sein und die Variationen der Horizontal-Intensität sollen wenigstens bei dem einen Systeme an Unifilarapparaten mit Deflectoren beobachtet werden. Wegen der grossen zu erwartenden Störungen müssen die Scalen der Variationsinstrumente eine Ausdehnung von mindestens 5 Graden nach jeder Seite haben, und da die Ablenkungen in einzelnen Fällen selbst diese Grenze überschreiten können, muss man sich darauf vorbereiten, auch solche grössere Ausschläge noch messen zu können. Die Apparate sind so aufzustellen, dass eine Gleichzeitigkeit der Ablesungen möglichst erleichtert wird.

§. 21. Während der ganzen Zeit werden die Variationsinstrumente von Stunde zu Stunde abgelesen. Es ist wünschenswerth, dass zwei Ablesungen mit einem Zwischenraume von einigen Zeitminuten, z. B. vor und gleich nach der vollen Stunde gemacht werden.

§. 22. Als Termintage werden der erste und fünfzehnte Tag eines jeden Monats festgestellt (nur im Jänner soll der 2. statt des 1. Jänners genommen werden) und zwar von Mitternacht zu Mitternacht Göttinger Zeit (mittlere bürgerliche Zeit). Die Lesungen geschehen von fünf zu fünf Minuten, jedesmal zur vollen Minute, und zwar sind die drei Elemente möglichst rasch nach einander abzulesen in folgender Reihenfolge:

Horizontal-Intensität, Declination, Vertical-Intensität.

§. 23. An solchen Termintagen sind ausserdem während einer vollen Stunde nach je 20 Secunden Beobachtungen, wenn auch nur der Declination auszuführen.

Diese eine Stunde verschärfter Beobachtungen ist für die verschiedenen Termintage in nachfolgender Tabelle aufgeführt.

		Göttinger bürgerliche Zeit		Göttinger bürgerliche Zeit	
1882	1. August . . .	12 ^h — 1 ^h	Nachmittag	15. Februar . . .	1 ^h — 2 ^h Vormittag
	15. „ . . .	1 — 2	„	1. März . . .	2 — 3 „
	1. September . .	2 — 3	„	15. „ . . .	3 — 4 „
	15. „ . . .	3 — 4	„	1. April . . .	4 — 5 „
	1. October . . .	4 — 5	„	15. „ . . .	5 — 6 „
	15. „ . . .	5 — 6	„	1. Mai	6 — 7 „
	1. November . .	6 — 7	„	15. „	7 — 8 „
	15. „ . . .	7 — 8	„	1. Juni	8 — 9 „
	1. December . .	8 — 9	„	15. „	9 — 10 „
	15. „ . . .	9 — 10	„	1. Juli	10 — 11 „
1883	1. Jänner . . .	10 — 11	„	15. „	11 — Mittag
	15. „ . . .	11 —	Mitternacht	1. August . . .	12 — 1 Nachmittag
	1. Februar . . .	12 — 1	Vormittag	15. „	1 — 2 „

Im Programme für die internationalen Polarstationen ist auch ein Punkt enthalten, der sich auf die Bestimmung der Localeinflüsse bezieht und in Erinnerung bringt, auch bei der Wahl des Ortes für das Observatorium auf Localeinflüsse bedacht zu sein.

Vor Abgang unserer Expedition hatte Herr Professor Mohn die Güte, uns seine Untersuchung einiger Gesteinsarten Jan Mayen's, über deren magnetisches Verhalten mitzutheilen, welche darthun, dass das dunkle basaltische Gestein Polarität zeige, und die leichteren porösen Gesteine weniger Einfluss auf eine Magnetnadel ausüben.

Bei der Wahl des Stationsortes wurde dies auch berücksichtigt, es musste aber in erster Linie anderen Bedingungen Rechnung getragen werden, die für die Anlage der Station von vitalem Interesse waren; auch war bei dem durchaus gleichartigen vulkanischen Bau der Insel nicht zu erwarten, dass sich ein völlig einflussfreier Ort finden lassen werde.

Es wurden nach Fertigstellung der Observatorien aus der nächsten Umgebung derselben Handstücke der Gesteine untersucht, aus welchen das Gerölle und der Boden zusammengesetzt sind; die Prüfung ergab eine Bestätigung der Mohn'schen Resultate.

Ein dunkles dichtes Basaltlavastück, 1.25 Kilogramm schwer, wurde beim Biflars 30 Centimeter vom Magnete entfernt aufgelegt und verursachte eine Ablenkung von ± 12 Scalentheilen, zeigte somit ausgesprochene Polarität.

Ein Stück grauer poröser Lava, 0.8 Kilogramm schwer, brachte auf 20 Centimeter Distanz eine Ablenkung von $\pm 5^p$ hervor, zeigte also auch schwache Polarität, verursachte aber in einer Distanz von 40 Centimeter keine Ablenkung mehr.

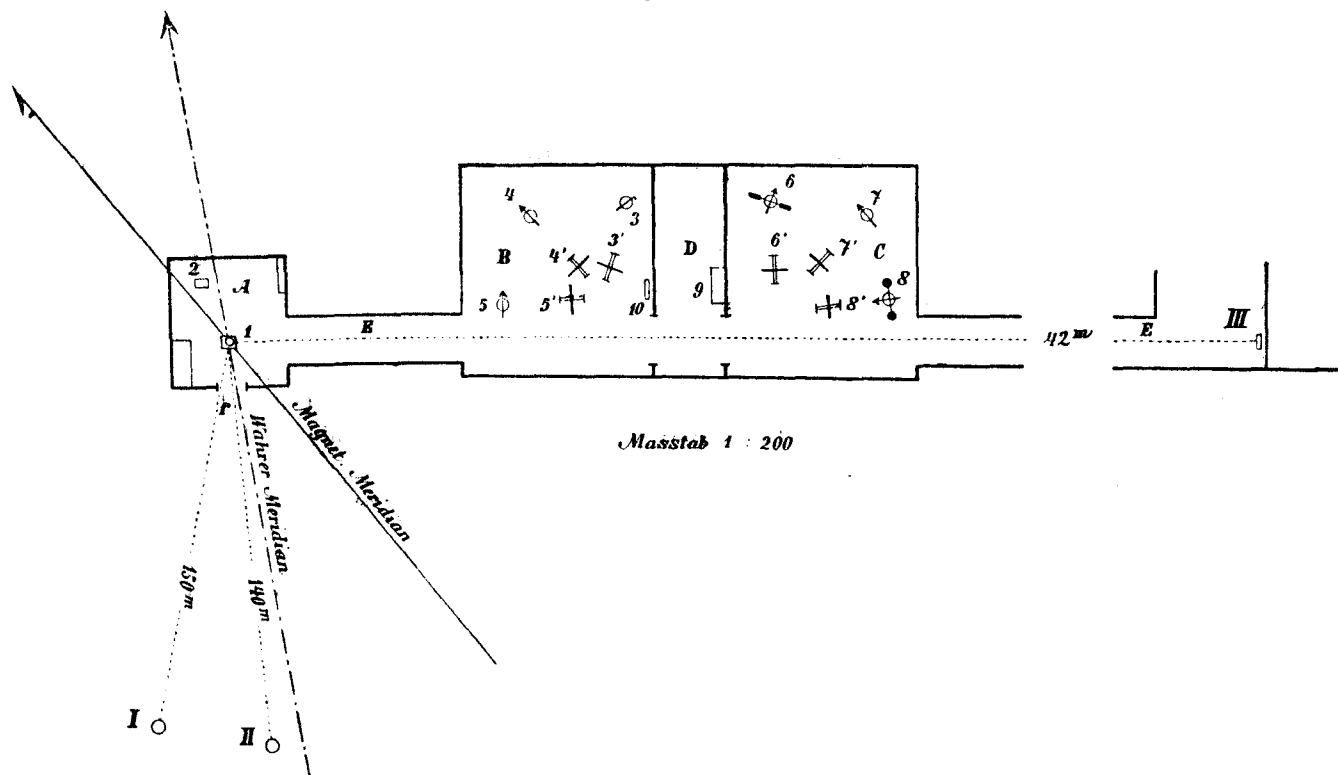
Dunkler Lavasand (0.86 Kilogramm) in einer länglichen Schachtel lenkte den Biflarmagnet in einer Distanz von 20 Centimeter um $0^p.5$ ab.

Die Bestimmungen über die Grösse des Localeinflusses sind im Capitel: Absolute Bestimmungen in der Umgebung der Station, Seite 51, zu finden.

Die Räumlichkeiten, welche zur Aufstellung der magnetischen Instrumente bestimmt waren, sind im Grundrisse aus nebenstehender Skizze ersichtlich.

- A. Observatorium für absolute Bestimmungen, 3 Meter im Gevierte. *f*, ein Fenster.
1. Pfeiler für den magnetischen Theodolithen.
 2. " für das Inclinorium.
- B. Raum für die Wild-Edelmann'schen Variationsapparate, an denen die programmässigen Variationsbeobachtungen gemacht wurden. 5^m0 lang, 5^m1 breit, 2^m hoch.
3. Pfeiler für das Bifilar (Horizontal Intensität).
 4. " " " Unifilar (Declination).
 5. " " die Lloyd'sche Wage (Vertical Intensität).
- 3', 4' und 5' Pfeiler für die zugehörigen Ablesefernrohre mit den Scalen.
10. Holzpfeiler für Barometer.

Fig. 1.



- C. Raum für die Lamont-Edelmann'schen Variationsinstrumente. Dimensionen wie bei B.
6. Pfeiler für das Unifilar mit Ablenkungsmagneten. (Horizontal-Intensität.)
 7. " " " " (Declination)
 8. " " " " mit Eisenstäben (Vertical Intensität).
- 6', 7', 8' Pfeiler für die zugehörigen Ablesefernrohre.
- D. Zwischenraum, 2^m2 lang, 5^m breit, 2^m5 hoch, Magazin für eisenfreie Gegenstände.
9. Tischchen für die Instrumente zum Messen der Erdströme.
- E. Verbindungsgang.
- I, II und III Miren für die Declinations-Bestimmungen.
- NS geographischer (wahrer) Meridian.
- N'S' mittlerer magnetischer Meridian,

Ober den Räumlichkeiten der Variationsinstrumente war ein Dachboden, wo leichtere, eisenfreie Gegenstände (Pelze, Schlafsäcke) etc. aufbewahrt wurden.

Die Pfeiler der Variationsapparate und des Theodolithen waren aus Kalkstein gehauene dreiseitige Prismen von 1^m2 — 1^m3 Höhe, während die Fernrohrpfeiler aus hohlen Chamottecylindern hergestellt wurden, auf welchen oben eine Platte gleichen Materials oder eine solche aus Kalkstein horizontal aufgemauert lag.

Die Pfeilermuerung war durchwegs gleichartig, und zwar wurde aus dem gefrorenen Boden ein 0^m8 tiefes Loch ausgehoben, auf dessen hartgefrorener Sohle eine Lage flacher Steine geschichtet und mit Erde geebnet, hierauf eine viereckige mit Theerpappe ausgeschlagene Kiste gesetzt, in welche zwei bis drei Lagen Chamotteziegel mit Asphalt eingemauert wurden. Auf diesem soliden Unterbau stand der Pfeiler, dessen Fuss noch mit zwei Lagen Chamotteziegeln ummauert wurde. Das Loch wurde sodann ausgefüllt und der Boden ringsum gestampft.

Beim Legen der Fussbodenbretter wurde sorgfältig auf die Isolirung der Pfeiler geachtet.

Absolute Bestimmungen.

Die absoluten magnetischen Beobachtungen, welche zur Berechnung und Controle der Normalstände der Variationsapparate dienen, wurden so oft es das Verhalten der magnetischen Elemente gestattete, vorgenommen. Die Magnete der Variationsapparate kommen nämlich in magnetisch höheren Breiten selten zu einer andauernden Ruhe, fortwährende Schwingungen grösserer und geringerer Weite, langsame oder raschere stetige Bewegung, stossweise Bewegung wechseln fort und fort ab und lassen wenig Gelegenheit zur Vorname absoluter Bestimmungen übrig.

Declination.

Bei den absoluten Bestimmungen der Declination wurde der Schneider'sche magnetische Theodolith verwendet, welcher sich in jeder Beziehung vorzüglich bewährte. Der Theodolith wurde vor der Expedition nach Herrn Liznar's Angaben von E. Schneider in Wien umgearbeitet und hauptsächlich auf ein geräumiges Magnetgehäuse, sowie überhaupt auf handliche Einrichtung Bedacht genommen. Der Theodolith hat Spiegelablesung und eine Eintheilung des Horizontalkreises, welche eine directe Ablesung von 20 Bogensecunden gestattet.

Der Declinationsmagnet ist aus zwei magnetisirten Uhrfederstreifen von 41^{mm} Länge gemacht, in deren Mitte senkrecht zur Längachse ein Spiegel mit der Spiegelfläche gegen die Nordpole der Magnete festgeschraubt ist. Der Spiegelrahmen trägt die Aufhängehaken. Der eine der beiden Magnete ist an der Aussenseite mit einer weissen Marke versehen, um beim Umhängen zur Eliminirung des Spiegelfehlers die jeweilige Lage zu kennzeichnen. Ein Torsionsstab von gleicher Form und gleichem Gewichte wie der Declinationsmagnet hat an der einen Seite einen ganz kleinen Magnet, welcher zur leichteren Beruhigung des Torsionsstabes nach dem Ein-, respective Umhängen dient.

Ein einfacher Coconfaden, oben am Torsionskopf, unten an einer arretirbaren Aufhängegabel angeknüpft, bildete die Suspension und diente derselbe Faden sowohl bei allen absoluten Declinationsbestimmungen als auch bei den Ablenkungsbeobachtungen zur Bestimmung der absoluten Horizontal-Intensität. Die Torsionsconstante wurde viermal im Jahre neu bestimmt und nach der Formel $C = \frac{v}{n-v}$ berechnet, wobei

v die Ablenkung des Magnetstabes durch eine Drehung des Fadens um 360° und

n die Ablenkung des Torsionsstabes durch eine gleiche Drehung, beide mit Berücksichtigung des zugehörigen Standes des Variationsapparates bedeuten.

Die Bestimmungen ergaben:

24. August	1882	$C = 0.015$
5. November	"	0.017
30. Jänner	1883	0.019
28. April	"	0.021.

Die bei den Declinationsbestimmungen erforderlichen Torsionscorrectionen $\gamma = C(g-g')$, wobei $(g-g')$ den Unterschied in Bogenminuten zwischen den mittleren Lagen des Magnet- und Torsionsstabes bedeutet, blieben innerhalb sehr kleiner Grenzen; sie betragen im Mittel ± 0.6 und die grösste vorgekommene Torsionscorrection belief sich auf 3.4 .

Miren. Bei den absoluten Declinationsbestimmungen gelangten drei Miren zur Verwendung, wovon zwei auf einem dem Stationshause gegenüber liegenden Hügel standen, die dritte aber für Beobachtungen bei Nacht und bei Nebel im Hause selbst errichtet und beleuchtbar war. An den zwei hohlen Chamottepfeilern, welche am Hügelabhange durch umlagerte Steine und durch Ausfüllen mit Sand solide aufgestellt waren, wurden auf den dem Observatorium zugewendeten Seiten je ein 1^{cm} breiter langer schwarzer Strich mit Ölfarbe gezogen, welcher mit dem Fernrohre des Theodolithen gut anvisirt werden konnte. Die Entfernung dieser Miren betrug 140^{m} und 150^{m} . Die Mire im Hause, 42^{m} vom Theodolithen entfernt, war auf einem in den Grund gemauerten Teakholzpfeiler folgendermassen angebracht: Zwei Streifen aus starkem Messingblech waren am Kopfe des Pfeilers derart angeschraubt, dass zwischen ihren nahen geradegeschrittenen Rändern eine scharfe schmale Ritze offen blieb, hinter welcher eine Kerze aufgestellt werden konnte.

Diese beleuchtete Ritze konnte mit dem magnetischen Theodolithen scharf anvisirt werden, wenn die Umgebung der Mire durch ein dunkles Tuch verhüllt war, und bildete die Mire, wenn die am gegenüberliegenden Hügelabhange aufgestellten Miren wegen Nebel oder Finsterniss nicht sichtbar waren. Die Azimuthe der Miren wurden vom Herrn Schiffslieutenant Br. Basso mittelst eines astronomischen Theodolithen bestimmt und es wird diesbezüglich auf den I. Band, I. Theil, Astronomie, S. 8—10 verwiesen.

Die Azimuthe der Miren waren:

Miren am Hügelabhange	}	I. S. $21^{\circ} 11' 20''$ W.
		II. S. $4\ 28\ 0$ W.
Mire im Hause	III.	S. $80\ 45\ 27$ E.

Das Azimuth der häufigst gebrauchten Mire II wurde öfters controlirt, was sehr leicht durchführbar war, weil im gleichen Azimuthe am Sattel des Hügels die Meridianmire für das Passageinstrument aufgestellt war. Die letzterwähnte Mire wurde mit dem magnetischen Theodolithen nicht anvisirt, weil eine bedeutende Elevation des Fernrohres dazu nothwendig gewesen wäre, welche durch eine eventuelle Neigung der Fernrohrachse eine Fehlerquelle in die Declinationsbestimmung eingeführt hätte.

Absolute Bestimmungen wurden gewöhnlich bei einer verhältnissmässig ruhigen Lage der Magnete der Declinationsvariationsapparate vorgenommen. Der dabei eingehaltene Vorgang war gewöhnlich folgender: Nachdem die Horizontalstellung des Theodolithen controlirt worden war, wurde eine der Miren anvisirt, hierauf der Declinationsmagnet eingehängt, 4—5 Einstellungen mit Marke Ost genommen, der Magnet auf Marke West umgehängt und gleich viele Einstellungen gemacht; sodann wurde der Torsionsstab eingehängt und mit Magnet Ost und Magnet West die Ablesungen aufgezeichnet, zum Schlusse eine zweite Mirenvitur eingestellt. Selbstverständlich wurde vor jedem Ein-, respective Umhängen des Magnetes, Torsionsstabes oder Torsionsgewichtes der Faden arretirt. Bei jeder einzelnen Einstellung wurde gleichzeitig auf den Ruf „stop“ der Stand der Declinationsvariationsapparate von einem Beobachter notirt. Der Aufhängefaden war beständig durch ein Gewichtchen, gleich schwer wie der Magnet, belastet.

In der nachfolgenden Tabelle I sind alle absoluten Bestimmungen der Declination, welche im Observatorium gemacht wurden, zusammengestellt. In der Rubrik D_n ist die dem Mittel der Beobachtungszeit zukommende beobachtete Declination, n der zugehörige Stand des Wild'schen Declinationsvariationsapparates eingetragen. Die in der letzten Rubrik enthaltene, auf den Scalentheil 400 des Variationsapparates reducirte Declination, der Normalstand des Apparates, wird bei den Variationsapparaten besprochen werden.

Tabelle 1. Absolute Bestimmungen der Declination.

h = Göttinger Zeit. $w = 10042$. M = Mire. D_n beobachtete Declination. n Scaleneslesung am Variationsapparate. D_{400} Declination auf den Scalenthail 400 bezogen.

Datum	h	M	D_n	n	D_{400}	Datum	h	M	D_n	n	D_{400}
24. Aug. 1882	3 ^h 10 ^m p.m.	I	29°59'7	420·6	29°39'0	6. Feb. 1883	3 ^h 34 ^m p.m.	III	29°56'5	402·9	29°53'6
8. Sept. "	11 50 a.m.	I	30 6·3	416·0	50·2	9. " "	3 30 p.m.	III	29 53·8	401·1	52·7
14. " "	6 50 p.m.	I	29 59·4	411·8	47·5	13. " "	3 30 p.m.	II	29 59·2	403·7	55·5
23. " "	9 50 a.m.	I	29 54·7	402·5	52·2	14. " "	3 35 p.m.	II	30 0·6	407·6	53·0
25. " "	4 20 p.m.	I	30 19·7	428·4	51·2	18. " "	12 40 p.m.	II	29 54·3	401·4	52·9
29. " "	3 35 p.m.	I	30 2·6	411·3	51·3	21. " "	9 20 a.m.	II	29 53·6	398·8	54·8
19. Oct. "	12 35 p.m.	I	30 0·3	409·1	51·2	26. " "	5 5 p.m.	II	30 3·1	407·7	55·4
24. " "	4 15 p.m.	I	30 1·0	408·4	52·6	5. März "	10 15 a.m.	II	29 52·1	397·3	54·8
27. " "	4 55 p.m.	I	29 58·0	403·7	54·3	6. " "	3 25 p.m.	II	30 0·8	405·8	55·0
5. Nov. "	10 25 a.m.	II	29 55·9	402·8	53·1	10. " "	3 50 p.m.	II	29 57·8	402·6	55·2
9. " "	11 40 a.m.	II	29 57·2	404·4	52·8	16. " "	10 0 a.m.	II	29 56·8	402·1	54·7
10. " "	10 45 a.m.	II	29 56·7	401·8	54·9	18. " "	11 28 a.m.	II	29 56·5	401·0	55·5
16. " "	4 20 p.m.	III	29 58·1	405·4	52·7	19. " "	5 22 p.m.	II	29 58·9	403·0	55·9
21. " "	3 40 p.m.	III	29 54·9	404·2	50·7	1. April "	10 8 a.m.	II	29 54·5	399·0	55·5
24. " "	12 20 p.m.	III	29 55·3	403·3	52·0	7. " "	5 18 p.m.	II	29 54·2	399·7	54·5
28. " "	5 15 p.m.	III	29 50·9	399·4	51·3	11. " "	6 20 p.m.	II	29 58·2	402·9	55·3
29. " "	11 10 a.m.	III	29 54·3	402·8	51·5	15. " "	3 40 p.m.	II	29 53·8	399·1	54·7
3. Dec. "	9 50 a.m.	III	29 51·1	399·0	52·1	21. " "	4 32 p.m.	II	29 57·0	403·3	53·7
7. " "	6 25 p.m.	III	30 2·2	410·4	51·8	28. " "	10 20 a.m.	II	29 50·0	396·3	53·7
10. " "	10 48 a.m.	III	29 51·6	400·4	51·2	4. Mai "	4 0 p.m.	II	29 56·9	403·0	53·9
13. " "	10 40 a.m.	III	29 52·6	402·2	50·2	10. " "	3 45 p.m.	II	29 54·7	401·3	53·4
17. " "	11 36 a.m.	III	29 54·5	402·5	52·0	18. " "	6 20 p.m.	II	29 49·4	395·1	54·3
26. " "	11 5 a.m.	III	29 51·6	400·4	51·2	24. " "	11 33 a.m.	II	29 54·2	399·4	54·8
28. " "	4 0 p.m.	III	29 59·0	406·4	52·6	4. Juni "	4 40 p.m.	II	29 50·2	394·2	56·0
30. " "	3 55 p.m.	III	29 55·4	403·0	52·4	5. " "	6 20 p.m.	II	29 55·2	400·8	54·4
3. Jän. 1883	4 12 p.m.	III	29 51·6	399·5	52·1	12. " "	4 55 p.m.	II	29 56·3	400·8	55·5
10. " "	5 30 p.m.	III	29 54·2	400·6	53·6	22. " "	4 58 p.m.	II	29 55·5	400·6	54·9
13. " "	9 45 a.m.	III	29 51·8	399·2	52·6	2. Juli "	5 55 p.m.	II	29 57·4	404·1	53·3
16. " "	12 25 p.m.	III	29 55·9	403·5	52·4	16. " "	6 15 p.m.	II	30 1·7	408·0	53·7
19. " "	12 13 p.m.	II	29 54·9	400·9	54·0	22. " "	9 45 a.m.	II	29 43·8	389·3	54·5
23. " "	10 50 p.m.	III	29 57·2	403·6	53·6	27. " "	9 30 a.m.	II	30 0·0	405·3	54·7
30. " "	10 20 a.m.	III	29 54·1	400·9	53·2	3. Aug. "	5 30 p.m.	II	29 53·3	399·0	54·3

Horizontal-Intensität.

Zur Bestimmung der Horizontal-Intensität wurden mit Ausnahme von 6 Bestimmungen Ablenkungs- und Schwingungsbeobachtungen gemacht. Die Ablenkungsbeobachtungen mit dem Ablenkungsmagnete Ost und West senkrecht zum freien Magnete wurden, so lange keine verlässliche Ablenkungsconstante ermittelt war, stets in zwei Entfernungen vorgenommen. Bei den Schwingungsbeobachtungen wurde gewöhnlich jeder dritte Durchgang notirt, nach dem dreissigsten Durchgange 100 Schwingungen Intervall gelassen, und dann wurde von den nächsten dreissig Durchgängen bei jedem dritten die Zeit angemerkt. Die Temperatur im Magnetgehäuse wurde vor und nach der Schwingungsbeobachtung abgelesen, der Torsionscoefficient beinahe jedesmal neu bestimmt. Bei den Ablenkungsbeobachtungen wurde bei jeder Einstellung die Temperatur beim Ablenkungsmagnete gemessen, wobei man, wenn die Beobachtung bei Kerzen- oder Lampenbeleuchtung geschah, mit der Aufstellung dieser Wärmequelle sehr vorsichtig sein musste, weil sonst grosse Sprünge in den Temperaturbeobachtungen vorkamen, die bei der Berechnung störend wirkten.¹

Vom September bis Mitte Februar wurden die Ablenkungen in den Distanzen

$$\text{September} - 15. \text{ Februar } E_1 = 280^{\text{mm}} \text{ und } E_2 = 1 \cdot 32 \quad E_1 = 370^{\text{mm}}$$

$$15. \text{ Februar} - \text{August} \quad E_1 = 250 \quad \text{ „ } \quad E_2 = 1 \cdot 32 \quad E_1 = 330$$

durchgeführt. Es wurde auf kleinere Distanzen übergegangen, um grössere Ablenkungswinkel zu erzielen.

¹ Wenn die Magnete in den Wohnräumen aufbewahrt werden, ist es nothwendig, sie einige Zeit vor der Beobachtung ins Observatorium zu bringen, damit sie die dortige Temperatur, die man am Thermometer abliest, annehmen.

Wenn es die Verhältnisse gestatteten, wurde mit beiden, dem Theodolithen beigegebenen Magneten die Intensitätsbestimmung vorgenommen; es war dies aber bei dem gewöhnlichen unruhigen Verhalten der Horizontal-Intensität nicht immer möglich.

Bezüglich der mit den absoluten Bestimmungen gemachten Variationslesungen wurde folgender Modus eingehalten: Bei den Ablenkungsbeobachtungen las auf das „stop“ des Beobachters beim Theodolithen ein Beobachter zuerst das Bifilar, dann am Lamont'schen Satze das Unifilar und das Unifilar mit Deflectoren ab und notirte die zugehörigen Temperaturen. Während der Dauer der Schwingungsbeobachtungen wurden die drei Instrumente in der obigen Reihenfolge jede dritte Minute, später jede zweite Minute abgelesen.

Die zur Berechnung der Horizontal-Intensität verwendete Formel, deren Ableitung in Liznar's Anleitung zur Messung der Elemente des Erdmagnetismus zu finden ist, lautet:

Aus den Schwingungsbeobachtungen:

$$1). \quad M_0 H_N = \frac{\pi^2 K_0 (1 + 2\beta t)}{T^2 (1 + \gamma) (1 - \alpha t) (1 \pm \alpha s) (1 + k_1 H) [1 + w'(n' - N)]}$$

Aus den Ablenkungsbeobachtungen in zwei Entfernungen

$$2). \quad \frac{H_N}{M_0} = \frac{2 \{1 - \alpha t_1 - k_2 H \sin \varphi_1 - 3et_1 - w'(n'_1 - N)\}}{E_1^3 \sin \varphi_1} \left[1 + \frac{P}{E_1^2 (1 + 2et_1)} \right]$$

Setzt man:

$$\frac{2 \{1 - \alpha t_1 - k_2 H \sin \varphi_1 - 3et_1 - w'(n'_1 - N)\}}{E_1^3 \sin \varphi_1} = U_1 \quad \text{und}$$

$$\frac{2 \{1 - \alpha t_2 - k_2 H \sin \varphi_2 - 3et_2 - w'(n'_2 - N)\}}{E_2^3 \sin \varphi_2} = U_2$$

so ist

$$P = - \frac{(\log U_2 - \log U_1) E_2^2 (1 + 2et_2)}{(\log U_2 - \log U_1) + \text{mod} \{a^2 [1 + 2e(t_2 - t_1)] - 1\}}$$

wobei

$$a^2 = \frac{E_2^2}{E_1^2}$$

Durch Multiplication der Gleichungen 1 und 2 erhält man ein Product, dessen Quadratwurzel H_N ist, das ist die auf den Scalentheil N des Intensitäts-Variationsapparates bei der Temperatur τ entfallende Horizontal-Intensität, aus welcher man durch Anbringung der Temperatur-Correction den Normalstand findet. H_0 (400).

Die in den Gleichungen 1 und 2 angewendeten Buchstaben haben nachstehende Bedeutungen:

M_0 Magnetisches Moment des Schwingungsmagnetes auf die Temperatur 0° C. bezogen.

K_0 Das Trägheitsmoment desselben bei 0° C.

T Die beobachtete Dauer einer Schwingung.

E_1 Die kleinere Ablenkungsdistanz.

E_2 Die grössere Ablenkungsdistanz.

N Der Scalentheil des Variationsapparates, auf welchen die Bestimmung bezogen wird, bei uns 400.

n' Mittel der Variationslesungen während der Schwingungen.

n'_1 " " " " " Ablenkung E_1 .

n'_2 " " " " " Ablenkung E_2 .

w' Werth eines Scalentheiles am Variationsapparate in Theilen der Horizontal-Intensität, also $\frac{dH}{H}$.

t Temperatur am Theodolithen während der Schwingungen.

t_1 " " " " " Ablenkung E_1 .

t_2 " " " " " Ablenkung E_2 .

$\varphi_1 \varphi_2$ Die bei den Ablenkungsdistanzen E_1 und E_2 beobachteten Ablenkungswinkel.

γ Torsionscoefficient bei den Schwingungen.

α Temperaturscoefficient des Schwingungsmagnetes.

β Ausdehnungscoefficient des Stahles.

e „ „ Messings.

k_1 Inductionscoefficient im Vermehrungsfalle.

k_2 „ „ Verminderungsfalle.

x eine Constante $2 \frac{1}{86400} = 0.00002314$.

s Täglicher Gang der Beobachtungsuhr.

mod. Modulus zur Verwandlung der natürlichen Logarithmen in Brigg'sche = 0.43429.

Die Temperatur- und Inductions-Coëfficienten und die Trägheitsmomente der beiden dem Theodolithen beigegebenen Magnete wurden vor Abgang der Expedition theils vom Herrn Adjuncten Liznar und Herrn Linienschiffs-Lieutenant v. Jenik an der Centralanstalt in Wien, theils von mir unter Anleitung des Herrn Liznar am Hydrographischen Amte in Pola bestimmt. Von diesen Bestimmungen wurden nur die Bestimmung des Trägheitsmomentes des Magnetes I wiederholt, die ich in Jan Mayen vornahm, nachdem der Aufhängehacken des Magnetes durch unvorsichtige Handhabung leicht verbogen worden war und wieder gerade gerichtet wurde.

Die Trägheitsmomente der beiden Magnete wurden mittelst Schwingungsbeobachtungen im belasteten und unbelasteten Zustande ermittelt.

$$K_0 = \frac{R_0(1+2(e-\beta)t_1)}{\frac{T_1^2(1+\gamma_1)[1-(\alpha+2\beta)t_1][1+w'(n'_1-N)]}{T^2(1+\gamma)[1-(\alpha+2\beta)t][1+w'(n'-N)]} - 1}$$

K_0 ist das Trägheitsmoment bei 0° C.

R_0 „ „ „ „ 0° C. des Belastungsringes.

T Beobachtete Schwingungsdauer des unbelasteten Magnetes.

T_1 „ „ „ „ belasteten „

γ und γ_1 die Torsionscoëfficienten.

n' und n'_1 die Variationslesungen auf einem Horizontal-Intensimeter.

N Scalentheil seines Normalstandes.

w' der Werth eines Scalentheiles in Theilen der Horizontal-Intensität.

α der Temperaturscoëfficient des Magnetes.

β und e Ausdehnungscoefficient des Stahles und des Messings.

Bei der Bestimmung kamen zwei verschiedene Belastungsringe in Anwendung und mit jedem Ringe wurden zwei Beobachtungen ausgeführt. Das Mittel aus diesen vier Resultaten war für:

$$\text{Magnet I} \quad \log K_0^I = 6.53281$$

$$\text{Magnet II} \quad \log K_0^{II} = 6.54190.$$

Die in Jan Mayen ausgeführte Bestimmung mit einem Ringe ergab für

$$\text{Magnet I} \quad \log K_0^I = 6.53287$$

bezeugend, dass nach dem Geraderichten des Aufhängehackens das frühere Trägheitsmoment dieses Magnetes beizubehalten war.

Die Temperaturscoëfficienten der beiden Magnete wurden durch Ablenkungsbeobachtungen bei verschiedenen Temperaturen (durch Erwärmen und Abkühlen) ermittelt.

$$\mu = \frac{\sin(u_1 - u_2)}{(t_2 - t_1) \operatorname{tg} \frac{u_1 + u_2}{2}}$$

$$M_t = M_0(1 - \mu t)$$

t_1 und t_2 sind die Temperaturen, u_1 und u_2 die zugehörigen Ablenkungswinkel. Zur Erlangung des genauen Temperaturcoefficienten ist jedoch noch ein zweites quadratisches Glied nothwendig, welches erhalten wird, indem man einen Temperaturcoefficienten μ_1 bei niederen Temperaturen und einen μ_2 bei hohen Temperaturen bestimmt und die Änderung des Temperaturcoefficienten für 1° ermittelt; diese Änderung des Temperaturcoefficienten für 1° sei λ , so ist

$$M_t = M_0 (1 - \alpha t),$$

$$\alpha t = (\mu_0 - \frac{1}{2} \lambda) t + \frac{1}{2} \lambda t^2,$$

μ_0 ist der Temperaturcoefficient bei 0° .

Der Temperaturscoefficient betrug beim

$$\text{Magnet I} \quad \alpha_{I} t = 0.0003942 t + 0.000001429 t^2,$$

$$\text{Magnet II} \quad \alpha_{II} t = 0.0005794 t + 0.000001898 t^2.$$

Die Inductionscoefficienten wurden durch Ablenkungsbeobachtungen bestimmt, indem man den betreffenden Magnet senkrecht an der Ablenkungsschiene des Theodolithen anbrachte und die Winkel mass, um welche der freie Magnet bei der Lage Nord unten und Nord oben abgelenkt wurde. Aus diesen Winkeln bekommt man

$$k = \frac{\text{tang } \frac{1}{2} (u_1 + u_2)}{H \text{ tang } J \text{ tang } \frac{1}{2} (u_1 + u_2)}.$$

H Horizontalintensität, J Inclination u_1 und u_2 die gemessenen Winkel.

$$\text{für Magnet I} \quad k = 0.0005828$$

$$\text{„ „ II} \quad = 0.001098$$

Aus diesen k ergibt sich für den Vermehrungsfall (der Nordpol des Magnetes gegen Norden liegend)

$$k_1 = \frac{6}{7} k,$$

$$\text{Magnet I} \quad k_1 = 0.0004995$$

$$\text{„ II} \quad = 0.000942$$

für den Verminderungsfall (der Nordpol des Magnetes gegen Süden liegend ¹⁾)

$$k_2 = \frac{8}{7} k,$$

$$\text{Magnet I} \quad k_2 = 0.0006661$$

$$\text{„ II} \quad = 0.001256$$

Bezüglich der anderen, bei einer Intensitätsbestimmung anzubringenden Correctionen ist zu bemerken: Der Torsionscoefficient wurde beinahe bei jeder Schwingungsbeobachtung neu bestimmt

$$\gamma = \frac{n}{360 - n},$$

wobei n die Ablenkung ist, welche eine Drehung des Torsionskopfes um 360° hervorbringt.

¹ Es ist in neuester Zeit durch die Untersuchungen Kohlrausch's, Sack's und Wild's nachgewiesen, dass der Inductionscoefficient in beiden Fällen gleich gross ist; da aber bei der Berechnung die Lamont'sche Regel angewendet wurde, konnte eine Änderung nicht mehr vorgenommen werden.

Der Torsionscoefficient war bei beiden Magneten geringfügig und betrug:

	Magnet I.	Magnet II.
Im Mittel	0.00105	0.00124
Grösster Werth	0.00116	0.00133
Kleinster „	0.00092	0.00117

Die Correction der Schwingungsbeobachtungen wegen des täglichen Ganges der Beobachtungsuhr war nicht bedeutend, da der mittlere tägliche Gang der zur Beobachtung verwendeten Uhren:

Taschenchronometer Arway 16	+ 8 ^s .8
Chronometer Dent 1535	+ 7 ^s .0

betrug, welche Grössen mit Rücksicht auf diesen Zweck keinen bedeutenden Schwankungen unterworfen waren.

Das Taschenchronometer hatte Halbsecundenschlag und eignete sich wegen des deutlichen Schlages sehr gut zur Beobachtung, es blieb jedoch bei einer Temperatur — 18° gelegentlich einer Beobachtung im Observatorium stehen und wurde später ganz ausser Gebrauch gesetzt. Das Chronometer Dent 1535 wurde hierauf bis zum Ende der Beobachtungsreihe verwendet und hatte nur das Unangenehme, dass man es ziemlich weit vom Theodolithen aufstellen musste, um einen Einfluss auf den Magnet zu vermeiden.

Die Theilung der Ablenkungsschiene wurde am Normalaichungsamte in Wien geprüft und für die bei den Intensitätsbestimmungen eingestellten Entfernungen die Correction in Rechnung gebracht.

Abgelesene Entfernung.	Corrigirte Entfernung.
250 ^{mm}	249.905 ^{mm}
280	279.900
330	329.890
370	369.805

In der nachfolgenden Tabelle sind alle absoluten Bestimmungen der Horizontalintensität verzeichnet, welche zur Bestimmung des Normalstandes der Intensitäts-Variationsapparate in der Station vorgenommen wurden. Die in der letzten Rubrik enthaltene Horizontalintensität ist auf den Scalentheil 400 des Biflars bei der Temperatur 0° C. bezogen.

M = Magnet.

T' Beobachtete Schwingdauer.

T Schwingdauer corrigirt für Torsion, Ubergang, Temperatur und Induction.

n, n_1, n_2 Lesungen am Biflare.

τ, τ_1, τ_2 zugehörige Temperatur.

E_1, E_2 Ablenkungsdistanzen.

φ_1, φ_2 Ablenkungswinkel, corrigirt für Ungleichheit der Ablenkung und für Declinationsänderung.

t_1, t_2 Zugehörige Temperatur.

$H_0(400)$ Horizontal-Intensität auf den Scalentheil 400 des Biflars bezogen bei 0° C.

Das Verhalten der Magnete lässt sich aus den absoluten Bestimmungen beurtheilen, wenn man aus den Schwingungs- und Ablenkungsbeobachtungen statt der Horizontalintensität das magnetische Moment ableitet. Die so gewonnene Reihe zeigt beim Magnete I ein etwas rascheres, beim Magnete II ein langsames beständiges und gleichmässiges Abnehmen des magnetischen Momentes.

Tafel 2. Absolute Bestimmungen der Horizontal-Intensität.

Datum	h	M	Schwingungen				E ₁ =280mm				E ₂ =370mm				τ=0° H (400)	
			log T'	log T	n	τ	φ ₁	t ₁	n ₁	τ ₁	φ ₂	t ₂	n ₂	τ ₂		
26. Aug. 1882 ¹	4	p.m.	I	0.85941	0.85913	.	.	38° 52' 51"	7.8	.	.	15° 36' 41"	8.1	.	.	0.09784 ¹
18. Sept.	11	a.m.	I	0.86057	0.86030	362.9	7.4	38 59 48	4.9	360.7	7.7	15 42 47	5.2	361.4	7.7	0.09760
20. "	5	p.m.	II	0.89875	0.89817	394.1	7.6	32 9 54	6.8	402.6	7.6	13 13 15	6.5	395.7	7.6	0.09780
22. "	5	p.m.	II	0.89931	0.89851	392.6	7.6	32 15 37	7.1	388.4	7.6	13 12 36	7.0	390.6	7.6	0.09793
28. "	11	a.m.	I	0.86047	0.86034	373.9	6.6	38 56 48	4.8	377.8	7.0	15 38 18	5.0	377.4	6.8	0.09779
28. "	4	p.m.	II	0.89862	0.89830	403.3	6.4	32 0 21	6.3	427.9	6.6	13 7 56	6.4	426.1	6.6	0.09779
20. Oct.	10	a.m.	I	0.86064	0.86031	379.8	8.1	38 53 43	5.6	379.0	8.3	15 37 52	5.7	378.0	8.2	0.09767
20. "	11	a.m.	II	0.90002	0.89956	377.8	8.1	32 20 36	6.1	376.9	8.2	13 15 20	5.9	377.8	8.1	0.09779
4. Nov.	11	a.m.	I	0.85882	0.85863	395.0	7.7	38 53 25	5.3	386.1	7.8	15 37 1	5.3	385.9	7.6	0.09792
4. "	12	Mttg.	II	0.89984	0.89944	386.8	7.5	32 24 10	5.9	384.9	7.5	13 16 3	5.5	386.9	7.6	0.09764
6. Dec.	5	p.m.	II	32 10 38	5.8	387.8	8.4	13 12 41	5.6	383.6	7.8	0.09761
7. "	11	a.m.	II	0.89939	0.89981	392.6	4.5	32 20 49	0.0	390.9	4.9	13 16 35	-0.9	391.0	4.6	0.09763
7. "	4	p.m.	I	0.86005	0.86028	405.9	4.0	38 48 19	0.2	400.0	4.4	0.09759
14. "	2	p.m.	II	32 26 54	-9.6	407.1	-0.9	13 17 33	-9.2	410.4	-1.1	0.09769
15. "	10	a.m.	II	0.89857	0.90018	398.7	-0.4	32 27 4	-7.3	400.0	0.0	13 51 39	-6.9	403.9	-0.2	0.09767
15. "	10 ^{1/2}	a.m.	I	0.86018	0.86187	396.9	-0.4	38 47 43	-6.1	414.3	-0.5	15 37 50	-6.3	400.0	-0.4	0.09749
3. Jänn. 1883	11	a.m.	I	39 0 42	-16.4	400.0	-6.4	0.09764
4. "	11 ^{1/2}	a.m.	I	0.86044	0.86238	407.6	-8.8	39 2 22	-17.8	409.0	-8.7	0.09766
4. "	10	a.m.	II	0.89753	0.90035	410.4	-8.7	32 41 44	-15.8	400.0	-8.6	0.09772
4. "	4	p.m.	II	0.09772
12. "	3	p.m.	I	0.86145	0.86198	399.5	2.6	0.09771
12. "	4	p.m.	II	0.89970	0.90022	398.6	2.1	32 4 59	0.3	400.0	2.8	0.09784
13. "	11	a.m.	II	0.90029	0.90054	390.4	4.1	32 11 52	1.1	392.1	4.9	0.09768
13. "	11 ^{1/2}	a.m.	I	0.86211	0.86229	391.7	4.2	0.09777
14. "	11	a.m.	I	38 21 18	0.6	396.5	5.1	0.09777
19. "	4	p.m.	II	0.89959	0.90043	397.5	2.9	32 15 31	-3.9	401.1	2.6	0.09767
19. "	5	p.m.	I	0.86138	0.86192	404.1	2.8	38 33 48	-3.9	402.3	2.5	0.09762
24. "	11	a.m.	I	0.86231	0.86242	390.0	4.6	38 31 23	1.9	392.1	4.8	0.09760
24. "	11 ^{1/2}	a.m.	II	0.90044	0.90069	390.8	4.5	32 9 22	1.8	390.3	4.7	0.09768
9. Feb.	10	a.m.	II	0.90016	0.90031	399.9	5.2	32 8 56	2.0	389.1	5.2	0.09765
9. "	11	a.m.	I	0.86211	0.86212	397.8	5.2	38 33 1	1.8	387.9	5.2	0.09758
18. "	11	a.m.	II	0.90099	0.90109	386.8	5.0	48 54 25 ²	1.9	391.2	5.1	18 49 57 ²	2.4	391.3	5.1	0.09763
6. März	10	a.m.	II	0.89881	0.90062	409.6	-2.7	49 14 30	-10.1	401.8	-2.9	18 56 55	-9.4	407.1	-2.9	0.09757
11. "	10	a.m.	I	0.86137	0.86278	401.9	-2.9	62 12 15	-10.5	401.7	-3.1	22 15 21	-10.0	406.6	-3.3	0.09765
18. "	11	a.m.	II	0.90057	0.90143	387.6	3.7	48 54 34	-1.5	390.8	3.6	18 53 1	-0.7	386.4	3.6	0.09751
20. "	11	a.m.	II	0.90070	0.90147	385.1	3.5	48 58 23	-2.2	386.1	3.6	18 53 15	-2.0	385.9	3.5	0.09761
7. Apr.	11	a.m.	I	0.86323	0.86336	378.9	5.6	61 37 27	1.7	383.5	5.4	22 10 6	2.1	382.2	5.5	0.09762
7. "	4	p.m.	II	0.90106	0.90119	390.0	6.1	48 34 27	2.9	393.4	6.2	18 45 11	2.8	394.3	6.3	0.09765
17. "	10	a.m.	I	0.86245	0.86239	403.9	4.8	61 35 49	0.9	388.0	4.7	22 10 17	1.7	386.0	4.8	0.09755
17. "	4	p.m.	I	0.09755
17. "	11	a.m.	II	0.90066	0.90051	408.6	6.2	48 38 27	1.5	393.5	5.0	18 49 23	1.3	387.2	5.0	0.09754
22. "	11	a.m.	I	0.86329	0.86343	382.2	5.1	61 33 16	1.2	383.2	5.0	22 8 40	2.0	385.9	5.1	0.09755
29. "	10	a.m.	II	0.90159	0.90149	383.4	5.8	48 38 56	3.0	386.6	6.0	18 47 54	3.4	384.4	5.8	0.09760
30. "	10	a.m.	I	0.86313	0.86354	380.3	5.4	61 39 16	0.0	383.1	5.3	22 11 0	0.2	383.6	5.3	0.09752
10. Mai	10	a.m.	I	0.86298	0.86350	385.5	3.1	61 22 31	0.9	394.4	3.5	22 6 48	1.2	390.3	3.5	0.09770
10. "	11	a.m.	II	0.90100	0.90164	387.3	3.2	48 53 5	-0.5	383.5	3.4	18 50 7	0.2	388.0	3.4	0.09751
1. Juni	11	a.m.	I	0.86271	0.86266	397.5	9.0	61 8 53	3.8	385.0	9.2	22 4 13	4.0	385.5	9.2	0.09756
5. "	5	p.m.	II	0.90091	0.90059	407.7	5.5	48 18 32	5.2	400.9	5.5	18 39 25	5.5	406.2	5.5	0.09765
12. "	11	a.m.	II	0.90192	0.90154	386.1	7.6	48 23 47	8.6	379.8	7.9	0.09761
25. "	10	a.m.	I	0.86398	0.86378	373.3	9.5	61 6 6	5.0	379.6	9.4	22 4 17	5.2	379.2	9.4	0.09755
25. "	11	a.m.	II	0.90200	0.90170	379.6	9.4	48 28 50	5.9	379.2	9.4	18 44 28	5.2	378.6	9.4	0.09764
17. Juli	10	a.m.	I	0.86195	0.86089	418.2	9.9	61 26 14	6.1	383.3	9.7	21 56 31	6.7	400.0	9.9	0.09756
22. "	12	Mttg.	II	0.90129	0.90079	400.7	9.4	48 28 20	7.0	368.0	9.4	18 44 41	7.1	369.9	9.4	0.09745
22. "	4	p.m.	I	0.86302	0.86266	399.8	9.8	60 42 10	7.5	388.9	9.8	21 58 1	7.0	388.8	9.8	0.09763
28. "	10	a.m.	II	0.90300	0.90217	376.7	10.7	48 32 16	8.2	376.8	10.7	0.09730
28. "	11	a.m.	I	0.86390	0.86340	376.5	11.1	61 4 52	8.8	376.8	10.7	0.09756

¹Variationsapparate noch nicht aufgestellt.

²Es wurde von da an mit einem anderen freien Magnete und in den Distanzen E₁ = 250 und E₂ = 230 beobachtet.

Inclination.

Von den zwei Inclinatorien, über welche die Station verfügte, wurde mit Ausnahme zweier Beobachtungen stets das neue und wirklich ausgezeichnete Instrument von Dover Charlton Kent Nr. 63 benützt, während das zweite ältere Inclinatorium H. Barrow Nr. 26 als Reserveinstrument betrachtet wurde.

Das Dover'sche Inclinatorium hat zwei Nadeln (89 Millimeter Länge) und ein Paar kräftige Streichmagnete nebst einem handlich eingerichteten Schiffchen, worin die Nadeln beim Ummagnetisiren gegen jedwede Verletzung gut geschützt gelagert sind.

Das Inclinatorium wurde im Häuschen für absolute Beobachtungen auf einem fest in den Erdboden gemauerten Teakholzpfiler aufgestellt. Die FuSSschrauben des Instrumentes ruhten auf messingenen FuSSplättchen.

Das Instrument wurde zuerst horizontal gestellt und die Lager der Nadel sorgfältig mit einem feinen Haarpinsel gereinigt. Die Nadeln wurden jedesmal vor ihrer Verwendung ummagnetisirt, um bei dem Wechseln der Pole ein gleiches magnetisches Moment zu erzielen. Das Ummagnetisiren geschah, wie schon erwähnt, durch Streichmagnete.

Nachdem sich aus Ablenkungsversuchen an einer Boussole ergab, dass die Nadeln nach 15 Doppelstrichen auf jeder Nadelfläche keine weitere Zunahme ihres magnetischen Momentes zeigten, so wurden fortan 15 Doppelstriche, auf jeder Nadelfläche, also eigentlich 30 Doppelstriche gemacht, sodann die Achsen und Spitzen sorgfältigst gereinigt und die Nadeln bei gehobener Sperrvorrichtung eingelegt.

Der magnetische Meridian wurde durch Aufsuchen der Senkrechtheitstellung der Nadel in vier verschiedenen Lagen aus acht Ablesungen ermittelt.

Zur Beobachtung der Inclination wurden bei *A* Nord und *B* Nord je acht Ablesungen notirt, wobei jede Ablesung aus zwei bis drei Einstellungen und dem Mittel der Angaben der beiden Nonien hervorging. Die Einstellungen wurden entweder durch Abheben mittelst der Sperrvorrichtung oder aber durch Ablenkung mit einem kleinen Magnete (dem Beruhigungsmagnete des Theodolithen) wiederholt und erst nach einer befriedigenden Übereinstimmung der Lesungen zu einer neuen Lage übergegangen. Auf den Ruf „stop“ wurden gleichzeitig mit jeder Einstellung die Variationsapparate von einem Beobachter abgelesen, und zwar zuerst das Bifilar und die Lloyd'sche Wage, sodann am Lamont'schen Satz, Horizontal-Intensität, Declination und Vertical-Intensität.

Nicht genug vorsichtig kann man beim Ausheben und Einlegen der Inclinationsnadeln sein, da in der kalten Jahreszeit der feuchte Athem sofort auf den Achatlagern und auf den Nadelachsen einen Niederschlag von feinen Eiskrystallen bildet, die oft kaum bemerkbar sind, aber trotzdem die folgenden Einstellungen sehr erschweren.

Bei weniger kalter und trockener Luft war wieder der scharfe Lavastaub ein sehr zu fürchtender Feind des Inclinatoriums und jedesmaliges sorgfältiges Reinigen der Lager und Achsen mit einem Pinsel nothwendig.

Mit beiden Nadeln nacheinander zu beobachten gelang im Ganzen nur viermal, da das doch längere Zeit beanspruchte und die Nadeln der Variationsapparate selten so lange auch nur annähernd ruhig lagen.

Viele begonnene Inclinationsbeobachtungen mussten in Folge eingetretener Störungen aufgegeben werden.

Bei mehreren Beobachtungen wurde bei der ersten Berechnung ein eigenes Reductionsverfahren angewendet, sobald die Variationen der Horizontal-Intensität oder Vertical-Intensität ein gewisses Mass (sechs Scalentheile) überschritten. Es ist nämlich dann nicht mehr statthaft, den Quotienten aus den Mitteln von *V* und *H* dem Mittel der Quotienten aus der einzelnen *V* und *H* gleich zu setzen, wie es gewöhnlich geschieht.

Es wurden in solchen Fällen die Einstellungen am Inclinatorium nach den zugehörigen Variationslesungen so in Gruppen getheilt, dass in jeder solchen Gruppe die Differenzen zwischen den Variationslesungen nur mehr

gering waren; für jede Gruppe wurden die Lesungen am Bifilar und an der Lloyd'schen Wage gemittelt und mit Berücksichtigung der zugehörigen Temperatur auf absolute Werthe H und V , (V mit einem genäherten Normalstande) reducirt, aus diesen Grössen mittels der Formel $\operatorname{tg} J = \frac{V}{H}$ die jeweilige Inclination gefunden. Durch Anbringung der so berechneten Inclinationsvariationen konnte man alle anderen Gruppen auf eine einzige reduciren und mit dem so gemittelten J und dem der Hauptgruppe zugehörigen H die Vertical-Intensität berechnen, welche dem der Hauptgruppe zugehörigen Stande der Lloyd'schen Wage bei der Temperatur t entspricht. Die Reduction auf den Scalentheil 400 und die Anbringung der Temperaturcorrection geschah dann auf die gewöhnliche Weise.

Die durch dieses Verfahren erzielten Endresultate wichen von den mit dem allgemeinen Mittel berechneten bis zu acht Einheiten der fünften Decimale C. G. S. ab. Da aber ein Fehler von 0.5 in der Beobachtung der Inclination schon einen Unterschied von 39 Einheiten der fünften Decimale C. G. S. im Endresultate verursacht, so wurde von der obenerwähnten Reduction Abstand genommen, da man auch nicht annehmen kann, dass die Inclinationsnadel ebenso wie die weit empfindlicheren Variationsapparate allen Variationen folgt.

Nachstehende Tabelle enthält alle im Observatorium der Station vorgenommenen absoluten Inclinationsbeobachtungen.

Tabelle 3. Absolute Bestimmungen der Inclination und Berechnung der Vertical-Intensität.

J = beobachtete Inclination; n_1 Lesung am Bifilare bei der Temperatur τ_1 ; H die diesem Stande entsprechende Horizontal-Intensität; n_2 Lesung an der Lloyd'schen Wage bei der Temperatur τ_2 ; V die für diesen Stand berechnete Vertical-Intensität; $V_0(400)$ die dem Scalentheil 400 der Lloyd'schen Wage entsprechende Vertical-Intensität bei $\tau_2 = 0^\circ$.

Datum	h	Nadel	Kreis	Marke	A Nord		B Nord		J	Bif. $n_1 \tau_1$ H	L. W. $n_2 \tau_2$ V	V_0 (400)	Anmerkung
					Ob. Sp.	Unt. Sp.	Ob. Sp.	Unt. Sp.					
1882 26. Aug.	12 ^h Mttg.	B I	O	O	79°23'5	78°53'0	79°28'0	78°54'0					Variations- apparate noch nicht aufgestellt
				W	79 28.0 78 47.0 78 31.0 79 2.0								
				O	78 41.5 79 8.5 78 36.5 78 57.0								
				W	78 56.0 79 18.0 78 26.5 79 12.5 79° 2'7								
18. Sept.	6 p. m.	D I	O	O	78 50.5 79 0.0 78 47.5 78 57.5		428.8 6.6	373.8 6.5					
				W	79 4.5 79 0.0 79 6.0 78 59.0								
				O	78 57.5 78 46.0 78 43.0 78 45.0								
				W	78 35.0 78 46.5 78 57.0 78 48.0 78 52.75 0.09859 0.50154 0.50426								
19. Sept.	5 p. m.	D II	O	O	79 19.5 78 59.5 78 58.5 78 58.5		417.2 4.2	387.6 4.0					
				W	79 14.5 79 8.5 79 2.5 78 52.0								
				O	78 53.5 79 1.5 78 38.5 78 51.5								
				W	78 48.5 79 2.0 78 46.0 78 45.0 78 57.5 0.09826 0.50355 0.50482								
27. Sept.	11 a. m.	D I	O	O	78 40.0 78 57.0 78 53.5 78 52.5		414.7 4.8	391.8 5.0				Während des Ummagnetisirens stieg die Hor.-Int. um 20p.	
				W	78 50.5 78 58.5 78 40.0 78 55.5								
				O	79 3.5 78 58.5 79 15.5 78 56.0								
				W	79 24.5 79 7.0 79 4.5 78 58.5 78 58.45 0.09823 0.50413 0.50494								
27. Sept.	3 p. m.	D II	O	O	78 49.0 79 10.5 78 51.0 78 48.0		407.9 7.0	389.9 6.9				Hor.-Int. in steter Abnahme, gegen Ende der Beob- achtung unruhig	
				W	78 45.5 78 44.0 78 38.5 78 48.0								
				O	79 19.5 79 16.5 79 15.5 78 58.0								
				W	79 11.5 78 57.0 78 58.5 78 56.5 78 57.95 0.09817 0.50344 0.50442								

Datum	h	Nadel	Kreis	Marke	A Nord		B Nord		J	Bif. n_{171} H	L. W. n_{272} V	V_0 (μ)	Anmerkung
					Ob. Sp.	Unt. Sp.	Ob. Sp.	Unt. Sp.					
1882 20. Oct.	4 p. m.	D I	O	O	78°48'5	78°53'5	78°55'5	78°46'5		398.2	390.8		
			W	W	79 2.0 78	53.0 78	55.0 78	56.5		8.3	8.2		
			W	W	79 2.0 79	11.0 79	10.5 79	3.5					
			W	W	79 10.0 79	5.5 79	2.0 79	8.5 79	0.2	0.09801	0.50437	0.50522	
8. Dec.	11 a. m.	D I	O	O	78 46.5 79	0.0 78	51.5 78	54.5		386.4	390.1		
			W	W	78 48.0 78	59.5 78	56.5 79	9.0		5.9	5.8		
			W	W	79 6.5 79	2.0 79	15.5 78	58.5					
			W	W	79 15.5 79	5.5 79	9.0 79	7.5 79	1.6	0.09755	0.50310	0.50406	
9. Dec.	10 a. m.	D II	O	O	78 55.0 79	3.0 78	54.5 78	53.5		387.6	389.5		
			W	W	78 56.5 78	55.5 78	43.0 78	57.5		6.2	5.9		
			W	W	79 16.5 79	11.0 79	10.0 78	58.0					
			W	W	79 16.5 79	7.0 79	6.0 79	1.0 79	1.5	0.09758	0.50317	0.50420	
1883 10. Jänner	9 a. m.	D II	O	O	78 48.7 78	46.5 79	4.0 78	55.2		394.0	382.8		
			W	W	79 5.5 78	55.8 78	49.7 78	53.0		3.5	3.3		
			W	W	78 54.0 79	4.5 79	14.5 79	8.2					
			W	W	79 18.0 79	10.8 78	59.7 79	4.8 79	0.8	0.09770	0.50325	0.50506	
14. Jänner	3 p. m.	D I	O	O	78 44.5 78	47.0 78	56.0 78	48.8		409.5	383.4		Hor.-Int. in un-
			W	W	79 3.5 78	54.5 78	46.5 78	49.5		5.1	5.0		gleichmässiger
			W	W	78 50.0 79	5.0 79	14.5 79	12.2					Zunahme
			W	W	79 11.0 79	6.5 78	58.5 79	3.5 78	58.2	0.09808	0.50316	0.50486	
16. Jänner	10 a. m.	D II	O	O	79 1.0 79	0.0 78	53.5 78	44.2		395.2	379.6		Hor.-Int. in Ab-
			W	W	78 57.5 78	45.5 78	48.0 78	45.0		0.8	6.6		nahme mit zeit-
			W	W	79 10.0 79	19.0 79	4.5 79	3.0					weisem Still-
			W	W	79 8.3 79	6.5 78	53.0 79	1.5 78	58.8	0.09782	0.50231	0.50439	stande
24. Jänner	4 p. m.	D I	O	O	78 43.0 78	45.0 78	59.5 78	48.0		422.5	367.2		Hor.-Int. in un-
			W	W	79 1.0 78	47.0 78	48.2 78	50.0		5.0	4.7		gleichmässiger
			W	W	78 54.0 79	1.2 79	1.5 78	59.0					langsamer Zu-
			W	W	78 51.8 79	3.0 78	49.8 78	56.5 78	53.65	0.09832	0.50088	0.50434	nahme
30. Jänner	3 p. m.	D II	O	O	78 57.0 78	54.5 78	51.0 78	48.0		414.8	386.3		
			W	W	78 59.0 78	46.5 78	54.0 78	51.5		0.9	0.7		
			W	W	79 8.0 79	15.5 79	1.0 79	0.0					
			W	W	79 8.5 79	8.5 78	59.5 79	4.0 78	59.1	0.09798	0.50336	0.50482	
12. Febr.	3 p. m.	D I	O	O	78 48.0 78	50.5 78	50.8 78	51.0		411.7	385.8		
			W	W	79 3.5 78	53.5 78	48.5 78	51.5		2.9	2.7		
			W	W	78 58.5 79	0.0 79	11.2 79	4.0					
			W	W	79 9.5 79	4.0 78	59.5 79	8.7 78	58.45	0.09794	0.50264	0.50413	
13. Febr.	9 a. m.	D II	O	O	79 1.5 79	2.0 78	50.0 78	47.7		390.7	380.5		
			W	W	78 50.2 78	47.0 78	51.3 78	53.7		4.0	3.8		
			W	W	79 13.7 79	20.0 79	7.0 79	4.3					
			W	W	79 14.0 79	9.0 78	57.5 78	50.0 79	1.05	0.09755	0.50266	0.50470	
10. März	10 a. m.	D I	O	O	78 47.5 78	51.7 78	57.3 78	52.5		399.4	372.1		
			W	W	79 5.2 78	57.7 78	52.0 78	57.0		-1.1	-1.2		
			W	W	79 1.3 79	4.5 79	10.0 79	3.3					
			W	W	79 17.0 78	57.7 79	3.7 79	8.7 79	0.45	0.09755	0.50221	0.50524	
19. März	9 a. m.	D II	O	O	79 4.1 79	5.0 78	54.0 78	44.7		386.7	372.8		
			W	W	78 55.8 78	47.5 78	53.6 78	51.7		3.8	3.7		
			W	W	79 13.8 79	20.0 79	8.2 79	3.3					
			W	W	79 9.5 79	6.3 79	1.1 79	7.3 79	1.6	0.09746	0.50263	0.50563	
19. März	10 a. m.	D I	O	O	78 51.0 78	55.1 79	19.0 79	22.0		380.7	372.8		
			W	W	79 7.5 78	56.9 78	59.0 79	8.2		3.8	3.6		
			W	W	79 2.7 79	19.7 79	5.7 78	56.0					
			W	W	79 13.5 79	8.8 78	52.3 78	53.2 79	4.4	0.09733	0.50416	0.50705	
8. April	9 a. m.	D I	O	O	78 55.2 78	59.2 79	3.5 78	56.2		383.9	370.0		
			W	W	79 5.1 78	56.0 78	47.3 78	50.2		5.8	5.6		
			W	W	79 2.5 79	10.0 79	17.5 79	8.5					
			W	W	79 13.2 79	7.0 78	55.0 79	4.2 79	1.9	0.09747	0.50292	0.50606	

Datum	h	Nadel	Kreis	Marke	A Nord		B Nord		J	Bif. n ₁ r ₁ H	L. W. n ₂ r ₂ V	V ₀ (400)	Anmerkung
					Ob. Sp.	Unt. Sp.	Ob. Sp.	Unt. Sp.					
1883 8. April	10 a. m.	D II	O	O	79° 5' 0	79° 3' 2	78° 56' 5	78° 45' 5		395.2	371.5		
			W	W	78 55.2	78 46.0	78 50.5	78 50.3		5.7	5.5		
			W	O	79 20.3	79 21.3	79 5.0	79 4.5					
			W	W	79 10.8	79 5.5	78 54.7	79 2.7	79° 1' 05	0.09770	0.50343	0.50640	
15. April	10 a. m.	D I	O	O	78 51.8	78 54.0	79 5.0	78 55.5					Hor.-Int. lang- sam abnehmend
			W	W	79 6.5	78 57.2	78 50.8	78 53.0		381.1	368.3		
			W	O	79 1.5	79 8.0	79 14.7	79 8.0		5.2	4.9		
			W	W	79 16.5	79 10.8	78 59.0	79 6.3	79 2.42	0.09739	0.50291	0.50624	
23. April	10 a. m.	D II	O	O	79 7.5	79 7.0	78 59.0	78 49.5					
			W	W	78 58.2	78 47.5	78 49.7	78 49.3		382.5	371.4		
			W	O	79 18.8	79 21.5	79 8.3	79 6.2		5.4	5.0		
			W	W	79 2.3	78 59.8	79 0.5	79 6.0	79 1.94	0.09742	0.50269	0.50568	
24. April	9 a. m.	D I	O	O	78 49.5	78 53.7	79 0.7	78 51.7					
			W	W	79 8.0	78 57.0	78 52.0	78 55.0		383.2	369.8		
			W	O	79 2.7	79 7.0	79 10.5	79 1.3		5.3	5.0		
			W	W	79 17.0	79 10.3	79 1.5	79 8.5	79 1.65	0.09744	0.50257	0.50574	
5. Mai	10 a. m.	D II	O	O	79 2.2	79 2.8	79 0.5	78 50.5					
			W	W	78 59.0	78 49.5	78 51.0	78 50.0		386.2	368.8		
			W	O	79 12.8	79 19.5	79 10.2	79 7.9		3.7	3.4		
			W	W	79 7.5	79 4.5	78 56.6	79 3.2	79 1.73	0.09744	0.50264	0.50596	
5. Mai	11 a. m.	D I	O	O	78 52.0	78 55.0	79 3.0	70 54.0					
			W	W	79 3.5	78 55.0	78 50.2	78 53.2		390.2	369.0		
			W	O	79 0.7	79 7.3	79 15.3	79 9.0		3.7	3.4		
			W	W	79 13.2	79 8.5	78 56.7	79 3.2	79 1.23	0.09753	0.50271	0.50600	
11. Mai	9 a. m.	D I	O	O	78 55.0	78 59.0	79 4.5	78 54.7					Die Magnete der Variations- apparate in kurzen lang- samen Schwin- gungen
			W	W	79 3.0	78 52.7	78 45.3	78 49.0		386.8	367.1		
			W	O	79 4.4	79 4.7	79 13.4	79 4.1		4.2	4.0		
			W	W	79 11.8	79 9.4	78 53.8	79 0.9	79 0.35	0.09747	0.50171	0.50519	
11. Mai	11 a. m.	D II	O	O	79 4.5	79 5.0	78 55.7	78 46.0					Hor.-Int. nimmt langsam zu
			W	W	78 53.3	78 44.2	78 49.8	78 49.8		396.3	367.2		
			W	O	79 16.5	79 23.5	79 8.7	79 3.8		4.5	4.2		
			W	W	76 3.0	79 1.3	78 52.0	79 0.0	78 59.82	0.09767	0.50232	0.50579	
8. Juni	9 a. m.	D I	O	O	78 50.2	78 53.5	79 1.3	78 51.2					Hor.-Int. nicht sehr ruhig
			W	W	79 6.0	78 55.5	78 52.0	78 54.0		383.0	367.5		
			W	O	79 2.2	79 9.5	79 11.0	79 6.5		5.5	5.2		
			W	W	79 16.1	79 11.6	78 57.5	79 4.4	79 1.4	0.09744	0.50238	0.50579	
29. Juni	10 a. m.	D II	O	O	79 6.0	79 6.0	78 56.0	78 45.0					Hor.-Int. nicht sehr ruhig
			W	W	78 52.0	78 46.0	78 49.5	78 47.5		383.1	361.4		
			W	O	79 13.7	79 21.3	79 5.5	79 3.5		10.4	10.3		
			W	W	79 1.3	78 59.7	78 57.7	79 6.2	78 59.8	0.09762	0.50206	0.50604	
2. Juli	3 p. m.	D I	O	O	78 52.5	78 55.5	79 0.7	78 49.5					Der Magnet des Biflares in lang- samen Schwin- gungen
			W	W	78 59.3	78 47.7	78 48.0	78 50.2		387.7	366.0		
			W	O	79 2.5	79 11.3	79 14.2	79 7.0		10.1	10.0		
			W	W	79 10.3	79 5.3	78 58.3	79 6.7	78 59.93	0.09770	0.50246	0.50595	
21. Juli	11 a. m.	D I	O	O	78 51.5	78 55.0	79 4.7	78 54.3					Der Magnet des Biflares in lang- samen Schwin- gungen
			W	W	79 3.5	78 51.3	78 51.5	78 54.9		373.1	362.6		
			W	O	79 1.2	79 9.3	79 13.3	79 6.3		8.2	8.2		
			W	W	79 15.0	79 8.5	79 1.2	79 8.8	79 1.9	0.09733	0.50221	0.50611	
23. Juli	4 p. m.	D II	O	O	79 1.0	79 1.0	78 52.7	78 42.7					Der Magnet des Biflares in lang- samen Schwin- gungen
			W	W	78 55.5	78 45.5	78 47.5	78 46.0		393.2	364.7		
			W	O	79 10.0	79 16.5	79 3.0	79 1.5		11.6	11.6		
			W	W	79 6.7	79 4.0	79 0.9	79 8.3	78 58.92	0.09787	0.50264	0.50624	
29. Juli	10 a. m.	D II	O	O	79 5.7	79 5.2	78 55.2	78 45.7					Der Magnet des Biflares in lang- samen Schwin- gungen
			W	W	78 54.5	78 45.2	78 49.3	78 48.5		375.4	374.7		
			W	O	79 17.7	79 24.5	79 9.0	79 3.0		11.1	11.0		
			W	W	79 7.7	79 4.0	79 2.5	79 8.2	79 1.62	0.09748	0.50276	0.50637	

Variationsapparate.

Die Instrumente, welche bei den Variationsbeobachtungen in Anwendung kamen, sind schon in der Einleitung erwähnt; hier ist es am Platze, Näheres über deren Einrichtung, Aufstellung und Justirung zu sagen.

Die Vertheilung der Instrumente ist aus dem der Einleitung beigegebenen Grundrisse der Observatorien ersichtlich; bestimmend hiefür waren folgende Punkte:

Die Instrumente sollen möglichst wenig Einfluss auf einander haben, also möglichst weit von einander stehen.

Die Fernrohre sollen so aufgestellt werden, dass ein einzelner Beobachter alle drei Instrumente rasch nach einander ablesen könne, dass aber auch für streng gleichzeitige Beobachtungen mit drei Beobachtern, bei jedem Fernrohre ein Beobachter Platz finde.

Die nachstehenden Entfernungen der Instrumente von einander lassen schon auf einen geringen gegenseitigen Einfluss schliessen.

Wild'sches Declinatorium—Bifilar	2 ^m 65
„ —Lloyd'sche Wage	2·42
Bifilar — „ „	4·30
„ —Unifilar mit Ablenkungsmagneten	3·87
Lamont'sches Unifilar — „ „ „	2·57
„ „ — „ „ Eisenstäben	2·35
Lam. Unifilar mit Ablenkungsmagneten — „ „ „	4·30
Magnetischer Theodolith — Lloyd'sche Wage	7·40
Inclinorium — Lloyd'sche Wage	8·20

Ein Einfluss des Magnetes der Lloyd'schen Wage auf die Magnete des Theodolithen und umgekehrt, war nicht wahrnehmbar. Ebenso wenig wurde das Inclinorium von der Lloyd'schen Wage beeinflusst.

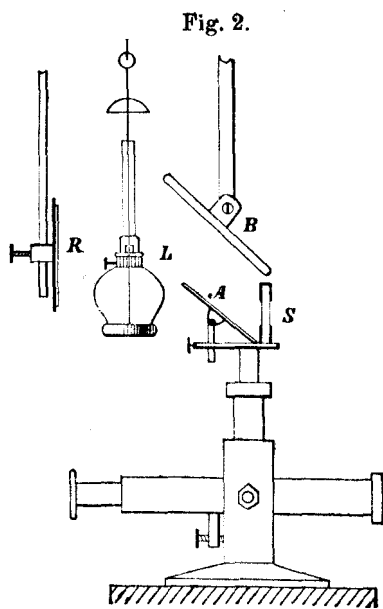
Um den gegenseitigen Einfluss der Variations-Instrumente aufeinander zu finden, wurde die Ablenkung des Declinationsmagnetes durch umgekehrtes Einlegen des Magnetes am Bifilar und an der Lloyd'schen Wage beobachtet. Es ergab sich der Einfluss des Bifilarmagnetes auf das Declinatorium mit $-3'0$ und der der Lloyd'schen Wage mit $-4'0$, zusammen also $-7'0$, welche Ablenkung als constant angesehen wurde,

in Folge dessen die Correction der Declinationsvariationen wegen veränderlichen Einflusses der anderen Instrumente vernachlässigt blieb. Der Einfluss des Magnetes der Lloyd'schen Wage und des Declinatoriums auf den des Bifilars betrug zusammen $+5'0$ Scalentheile und wurde als gleichbleibend angenommen.

Beim Lamont'schen Satze waren die gegenseitigen Einflüsse ebenfalls zu vernachlässigen.

Bezüglich der Einrichtung der Variations-Instrumente wird auf die Edelman'sche Broschüre „Die erdmagnetischen Apparate der Polar-Expeditionen im Jahre 1883“ verwiesen, wo sich eine eingehende Beschreibung mit Abbildungen befindet; im Nachstehenden werden bei den einzelnen Apparaten nur die für nothwendig befundenen und durchgeführten Abänderungen einzelner Bestandtheile besprochen.

Die Scalen der Variationsapparate erheischen bei ihrer bedeutenden Länge eine eigene Beleuchtungsart. Die Ränder der Glasscalen *S* wurden mit schwarzem Papier soweit überklebt, dass nur die Theilung frei blieb.



Österreichische Expedition auf Jan Mayen.

Die Einrichtung der Beleuchtung ist in Figur 2 skizzirt.

L eine Petroleumlampe.

R ein hinter derselben aufgehängter Reflector, bestehend aus einem 0^m1 hohen und 0^m5 langen gebogenen Kupferblechstreifen, an dessen innerer Fläche schmale Planspiegel befestigt waren.

B ein mit weissem Papier überklebtes Brett erzeugte im Scalenspiegel *A* ein weisses Spiegelbild, von welchem sich die Theilung der Scala *S* sehr deutlich abhob. Dieses Brett verhinderte auch eine directe Beleuchtung des Magnetspiegels durch die Lampe *L*.

Die Instrumente beider Sätze Variationsapparate waren so aufgestellt, dass wachsenden Scalentheilen eine Zunahme westlicher Declination, bezüglicly eine Zunahme der Horizontal- und Vertical-Intensität entsprach.

A. Die Wild-Edelmann'schen Apparate.

Diese Apparate kamen erst wenige Tage vor der Abreise von Pola in unsere Hände und konnte desshalb nur eine eilige probeweise Aufstellung derselben an der meteorologischen Centralanstalt vorgenommen werden. Da ergab sich sofort der Übelstand, dass die kupfernen Dämpfer bei einem Scalenabstande von 1719^{mm} dem Magnete kaum eine Schwingung über 400 Scalentheile gestatteten, wo doch die Gesamtlänge der Scala 800 p. betrug. Die Dämpfer wurden ausgefeilt, erwiesen sich aber in Jan Mayen als noch immer zu enge und mussten abermals erweitert werden.

1. Das Declinatorium.

Es wurde ein doppelter Coconfaden eingezogen und derselbe behufs Austordirung mit dem Torsionsstabe belastet. Der Faden dehnte sich fortwährend und riss ungefähr nach 10 Stunden ab. Ein gleiches Schicksal hatte ein dreifacher Faden, so dass ein vierfacher Faden eingezogen und in den Spiegelraum des Instrumentes ein Kupferschälchen mit Chlorkalk eingestellt wurde, um die Luft im Innern des Instrumentes trocken zu erhalten. Diese Massregel bewährte sich auch, da keine weitere Dehnung der Fäden vorkam. Nachdem der bewegliche und der fixe Spiegel auf die Mitte der Scala gedreht worden waren, wurde der Scalenabstand eingestellt. Hierbei wurde durch ein Versehen der dabei verwendete Massstab auf 1715·4^{mm} eingestellt, wonach sich nach Anbringung der Correctionen wegen Spiegel ($d = 3^{\text{mm}}$) und Planglas ($d' = 2^{\text{mm}}$) mit $\frac{2}{3}(d + d') = 3\cdot3^{\text{mm}}$ die in Rechnung zu bringende Distanz $e = 1712\cdot1^{\text{mm}}$ ergibt, woraus nach

$$n = \frac{1}{2 e \sin 1'} - \frac{1}{6 e^3 \sin 1'}$$

der Winkelwerth eines Theilstriches = 1'0039 resultirt. Eine Wiederholung dieser Bestimmung wurde am 26. Juli 1883 vorgenommen und ergab eine Distanz $e = 1710\cdot8^{\text{mm}}$. Der Unterschied zwischen den beiden Messungen wurde der Temperatur- und Feuchtigkeitsdifferenz zugeschrieben, da die Masstablelungen hiefür nicht corrigirt waren; es wurde daher derselbe Werth $n = 1\cdot0039$ beibehalten.

Die Torsionsbestimmungen, durch Drehung des Torsionskopfes um $\pm 360^\circ$ ermittelt, ergaben

am 27. August 1882 $\gamma = 0\cdot000403$

„ 3. „ 1883 $\gamma = 0\cdot000333$.

Gibt man der zweiten Bestimmung das doppelte Gewicht, da bei der ersten Beobachtung keine gleichzeitigen Variationsbeobachtungen gemacht wurden, so erhält man

$$\gamma = 0\cdot000357$$

und $\epsilon = n(1 + \gamma) = 1\cdot0042$ als Winkelwerth eines Scalentheiles.

Die Formel zur Reduction der Variationslesungen des Wild'schen Declinatoriums in absolute Werthe lautet daher:

$$d_n = D + 1\cdot0042 (n - 400) - 0\cdot000000114 (n - 400)^3,$$

d ist die der Lesung *n* entsprechende Declination,

D der Normalstand,

1.0042 der Werth eines Scalentheiles in Bogenminuten; das negative Correctionsglied mit $(n - 400)^2$ zur Reduction der Tangente auf den Bogen, erreicht erst bei $n - 400 = \pm 100$ einen Werth von 0.1, kann aber bei grösseren Ausschlägen dennoch nicht vernachlässigt werden, da es bei $n - 400 = \pm 400$ auf ± 7.2 anwächst, und besonders bei genauen Ablenkungsbeobachtungen zur Bestimmung der Empfindlichkeit anderer Apparate (des Bifilares oder der Lloyd'schen Wage) in Rechnung zu ziehen ist.

Die auf Seite 7 befindliche Tabelle 1 enthält in der letzten Rubrik den für jede absolute Bestimmung abgeleiteten Normalstand des Declinationsapparates. Verfolgt man diese Zahlenreihe, so ergibt sich die Änderung des Normalstandes. Da jeder absoluten Bestimmung eine gewisse Fehlerwahrscheinlichkeit anhaftet, andererseits die absoluten Beobachtungen oft zu einer Zeit vorgenommen wurden, wo der Declinationsmagnet in kleinen Schwingungen oder kurz in Unruhe war, so ist man berechtigt, sprungweise Änderungen des Normalstandes auszugleichen. Es wurden die in jedem Monate gemachten Bestimmungen gemittelt und der so erhaltenen Grösse das mittlere Datum der Beobachtungen beigegeben.

Die Übergänge von einem Monatsmittel zum anderen wurden nun aus deren Differenz und der dazwischen liegenden Anzahl Tage berechnet und je nach der Grösse der Differenz in kleinere oder grössere Tagesgruppen vertheilt.

So ergeben sich aus der Tabelle 1, D_{400} die Monatsmittel:

D_{400}	Mittleres Datum.
29° 51'1	21. September,
52.6	23. October,
52.3	18. November,
51.7	17. December,
53.1	16. Jänner,
54.3	15. Februar,
54.9	12. März,
54.6	14. April,
54.1	14. Mai,
55.2	11. Juni,
54.1	20. Juli.

Hieraus wurde den Zeitintervallen entsprechend die Tabelle 4 gerechnet, welche die bei der Reduction der Variationsbeobachtungen angewendeten Normalstände lieferte.

Tabelle 4. Normalstand des Wild'schen Unifilares.

Datum	D_{400}	Datum	D_{400}	Datum	D_{400}	Datum	D_{400}
27. August 1882	29° 42'7	29. Novemb. 1882	29° 52'2	25. Februar 1883	29° 54'5	28. Mai 1883	29° 54'7
1. Septemb. "	46.5	2. Decemb. "	52.1	2. März "	54.6	3. Juni "	54.9
6. " "	50.3	7. " "	51.9	7. " "	54.8	7. " "	55.0
11. " "	50.5	12. " "	51.8	12. " "	54.9	11. " "	55.2
16. " "	50.8	17. " "	51.7	17. " "	54.8	16. " "	55.1
21. " "	51.1	22. " "	52.0	23. " "	54.8	21. " "	54.9
26. " "	51.3	27. " "	52.2	29. " "	54.7	26. " "	54.8
1. October "	51.6	1. Jänner 1883	52.4	4. April "	54.7	1. Juli "	54.7
6. " "	51.9	6. " "	52.6	9. " "	54.6	6. " "	54.5
11. " "	52.1	11. " "	52.9	14. " "	54.6	10. " "	54.4
17. " "	52.4	16. " "	53.1	19. " "	54.5	15. " "	54.2
24. " "	52.7	21. " "	53.3	24. " "	54.4	20. " "	54.1
28. " "	52.6	26. " "	53.5	29. " "	54.3	25. " "	54.0
3. Novemb. "	52.5	1. Februar "	53.7	4. Mai "	54.3	30. " "	53.8
8. " "	52.5	6. " "	53.9	9. " "	54.2	3. August "	53.7
13. " "	52.4	10. " "	54.1	14. " "	54.1		
18. " "	52.4	15. " "	54.3	18. " "	54.3		
25. " "	52.3	20. " "	54.4	23. " "	54.5		

Das Datum ist so zu nehmen, dass z. B. vom 27. August 1^h a. m. — 31. August 12^h p. m. zur Reduction der Variationsbeobachtung der Normalstand 29° 42' 7" verwendet wurde.

Das Verhalten des Normalstandes kann als ganz befriedigend angesehen werden, mit Ausnahme der auf das Ende August 1882 entfallenden Stände, welche grössere Differenzen zeigen und wahrscheinlich localen Einflüssen zuzuschreiben sind.

Nach der absoluten Declinationsbestimmung am 24. August ist am Variationsapparate noch Einiges gearbeitet worden, am 26. August wurde unter Anderem auch der Aufhängefaden gewechselt etc.

Die grösseren Sprünge der Normalstände aus den Beobachtungen vom 14. September, 10. November und 13. Februar (Tabelle 1), sind bei genauer Prüfung der Beobachtungsdaten nur Beobachtungsfehlern zuzuschreiben.

2. Das Bifilar-Magnetometer.

Dieser Apparat hatte, wie er von Edelmann übernommen wurde, eine Suspensionsvorrichtung, welche für einen bestimmten Scalenabstand und eine bestimmte Länge des Aufhängefadens nur vier verschiedene Empfindlichkeitsgrade dem Instrumente zu geben gestattete. Im 2. Hefte, §. 24, der Mittheilungen der internationalen Polar-Commission ist aber von den Herren Dr. Wild und Dr. Wijkander als zweckmässige Empfindlichkeit für die Variationsapparate der Horizontal-Intensität in magnetisch höheren Breiten

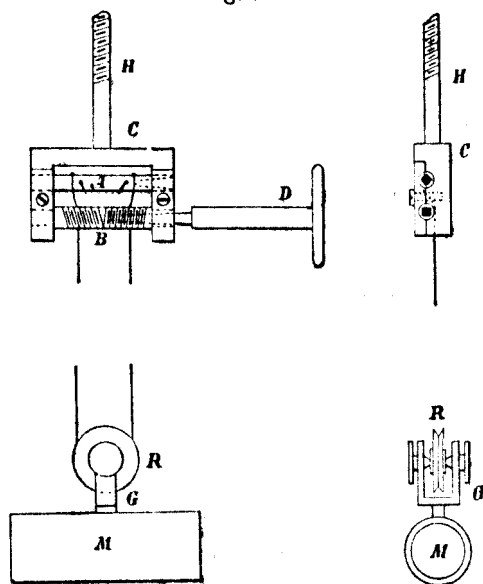
$$dH = 0.0001 \cos J$$

vorgeschlagen worden, wobei J die Inclination bedeutet.

Um diesem Vorschlage nachkommen zu können, braucht man einen Apparat, der eine beliebige Änderung der Empfindlichkeit zulässt. Dies auf dem von Edelmann in seiner Broschüre (die erdmagnetischen Apparate

der Polarexpeditionen im Jahre 1883) angedeuteten Wege der Entfernungsveränderung von Scala und Instrument zu erreichen, ist wohl sehr umständlich und bei den beschränkten Räumlichkeiten eines arktischen Observatoriums und der Schwierigkeit der Pfeilerversetzung nicht möglich. Es wurde daher in Wien nach Angaben des Herrn Adjuncten Liznar eine neue Aufhängevorrichtung mit Benützung einiger Theile der ursprünglichen angefertigt, welche eine beliebige Änderung der Fadendistanz zulässt. Die Vorrichtung ist aus nebenstehender Figur ersichtlich. Die Hubschraube H trägt einen Bügel C , in welchem zwei Cylinder so gelagert sind, dass die Achse der Suspensionsröhre eine Tangente an die Mantelflächen bildet. Der obere Cylinder A ist mit zwei Löchern zum Befestigen der beiden Enden des Aufhängefadens versehen. Durch Drehung dieses Cylinders mittelst des Steckschlüssels D wird die Länge des Fadens regulirt.

Fig. 3.



Der untere Cylinder B trägt zur einen Hälfte ein Rechts-, zur anderen ein Linksgewinde und ist gleichfalls mittelst des Steckschlüssels drehbar. Die auf jeder Seite in je einem Gewindeinschnitte liegenden Fadenenden werden daher durch eine Drehung der Walze von einander entfernt, respective einander genähert werden. Der grösseren Handlichkeit halber kann man die beiden Cylinder beim Einziehen des Fadens herausnehmen. In die am Magnetträger angeschraubte Gabel G konnte entweder eine kleinere oder grössere Rolle R eingesetzt werden. Ein im messingenen Rohraufsatzstücke der Fadenröhre angebrachter Ausschnitt, durch welchen man mit dem Steckschlüssel zu den Walzen gelangt, ist mittelst eines Schubers verschliessbar.

Bei der Aufstellung des Instrumentes wurde der Platinfaden austordiren gelassen und dann die Enden an dem Cylinder *A* befestigt. Hierauf liess man den Doppelfaden durch das Suspensionsrohr gleiten und legte ihn über die Rolle *R* am Magnethalter (es musste hiezu die kleinere Rolle genommen werden). Durch Drehen an dem Cylinder *A* wurde der Magnethalter *M* so gestellt, dass der bewegliche Spiegel mit seinem Unterrande ganz nahe ober dem Mirenspiegel hing; hierauf wurde das Fernrohr mit der Scala auf den zugehörigen Pfeiler aufgestellt. Das Mittel aus den Messungen am 29. August 1882, 25. October 1882 und 26. Juli 1883 ergab den Winkelwerth eines Scalentheiles $\varepsilon' = 1'0045$.

Durch abwechselndes Einlegen des Magnetes und des Torsionsstabes wurde die Fadenebene in die Ebene des magnetischen Meridians gebracht. Hiebei wurde bemerkt, dass die magnetische Achse des röhrenförmigen Bifilarmagnetes nicht mit seiner geometrischen Achse übereinstimme; es wurde daher ein Zeichen am Magnete gemacht, um ihn immer in derselben Lage in den Magnethalter einführen zu können.

Nachdem eine genügende Übereinstimmung (4 Scalentheile) zwischen Magnet und Torsionsstab erreicht war, wurden Schwingungsbeobachtungen in gerader (T_1) und verkehrter Lage (T_2) mit dem Magnete gemacht und so

$$\sin z = \frac{T_2^2 - T_1^2}{T_2^2 + T_1^2}$$

das heisst, der der vorhandenen Fadendistanz entsprechende Torsionswinkel gefunden, aus dem sich die Empfindlichkeitsconstante

$$dH = H \cotg z \cdot \varepsilon' \sin 1'$$

ergibt.

Nach dem bereits erwähnten Vorschlage Dr. Wild's und Dr. Wijkander's war die Empfindlichkeitsconstante des Horizontal-Intensimeters auf $dH = 0.0001 \cos J$ zu bringen, was in unserem Falle bei $J = 79^\circ$

$$dH = 0.00001908 \text{ gäbe;}$$

mit $H = 0.09760$ gibt das aus der obigen Formel $z = 56^\circ 13'$.

Es wurde daher die Fadendistanz oben am Torsionskopfe durch Drehen des Cylinders *B* so lange geändert, bis die Schwingungsbeobachtungen einen Torsionswinkel ergaben, der genügend angenähert erschien.

Dies erfolgte bei

$$\left. \begin{array}{l} T_1 = 6^{\circ} 268 \\ T_2 = 20^{\circ} 89 \end{array} \right\} z = 56^{\circ} 35'$$

Nach jeder Veränderung der Fadendistanz wurde durch Einlegen des Torsionsstabes nachgesehen, ob die Fadenebene noch in der Ebene des magnetischen Meridians liege.

Bei eingelegtem Torsionsstabe wurde nun der obere Theil des Instrumentes um 90° nach rechts gedreht, wozu eigene Indices und Klemmschrauben angebracht sind. Der Magnetspiegel wurde hierauf zurückgedreht, so dass er denselben, früher notirten Scalentheil reflectirte. Hiedurch war die Spiegelstellung, die einer Lage des Magnetes, senkrecht auf den magnetischen Meridian entspricht, gefunden; der Magnet wurde eingelegt und der Torsionskopf so lange nach rechts gedreht, bis der Magnetspiegel wieder den früher notirten Scalentheil zeigte, also der Magnet senkrecht auf den magnetischen Meridian lag. Die Differenz der Ablesungen am Torsionskopfe ergab eine Drehung von $55^\circ 18'$.

Nun wurde die genaue Bestimmung des absoluten Werthes eines Scalentheiles durch Ablenkungsbeobachtungen vorgenommen.

Es wurde zuerst am Declinatorium die Ablenkungsschiene horizontal angebracht, und der Hilfsmagnet in das auf 520^{mm} von der Mitte festgeklemmte Schiffchen mit seiner Längsachse in der durch den Mittelpunkt des Unifilarmagnetes gehenden Senkrechten eingelegt.

Das halbe Mittel aus den Differenzen der Ablesungen bei vier verschiedenen Lagen des Hilfsmagnetes gab den Ablenkungswinkel $u_d = 3^\circ 14' 30''$.

Am Bifilare wurde der Hilfsmagnet in derselben Entfernung und der gleichen relativen Lage angebracht und in vier verschiedenen Lagen die Ablenkungen notirt; der daraus sich ergebende Ablenkungswinkel war

$$u_b = 4^{\circ}30'1''$$

bei $H = 0.09762$.

Nach der Formel $dH = H \frac{\operatorname{tg} u_a}{\operatorname{tg} u_b} \varepsilon' \sin 1'$, wobei $\varepsilon' = 1.0045$ der Winkelwerth eines Scalentheiles am Bifilar ist, ergab sich

$$7. \text{ September } 1882 \dots dH = 0.000020609.$$

Bei dieser Bestimmung wurden nur die Declinationsvariationen in Rechnung gebracht, weil der Lamont'sche Horizontal-Intensimeter noch nicht aufgestellt war.

Am 14. April wurde wieder eine Bestimmung der Empfindlichkeitsconstanten des Biflares vorgenommen. Diesmal gelangte jedoch nicht die von Edelmann beigegebene Ablenkungsschiene zur Anwendung, weil eine Verdrehung der Fadenröhren beim Aufsetzen der höchst genau passenden Schiene befürchtet wurde.

Es wurde eine hölzerne Schiene verwendet, welche an einem Ende einen gabelartigen Messingansatz trug (von Edelmann dem Lamont'schen Satze beigegeben), der an den Fuss der Fadenröhre gelegt wurde. Der Magnet war in zwei genau gedrehte Ringe eingelegt, die horizontale Lage der Schiene wurde mittelst einer Libelle controlirt, da das äussere Ende der Schiene auf einem zweifüssigen leichten Stative ruhte und damit gehoben oder gesenkt werden konnte. Die Bestimmung vom 14. April ergab, bei Berücksichtigung der Variationen der Declination und der Horizontal-Intensität

$$dH = 0.000020796.$$

Eine dritte Bestimmung dieser Constanten wurde am 21. Juli mit der hölzernen Ablenkungsschiene vorgenommen und ergab

$$dH = 0.000021035.$$

Die drei Bestimmungen zeigen eine kleine Zunahme des Werthes eines Scalentheiles. Die Differenz ist aber gering und es wurde infolge dessen das Mittel aus den drei Bestimmungen gemacht, wobei den Bestimmungen vom 14. April und 21. Juli das doppelte Gewicht beigelegt und der Werth eines Scalentheiles am Bifilar

$$w = 0.000020854; \frac{dH}{H} = w' = 0.0002136$$

als constant für die ganze Zeit der Beobachtungen angenommen wurde.

Bei den grossen Declinationsvariationen konnte man die Correction der Bifilarlesung wegen Declinationsänderungen nicht vernachlässigen, wenn gleichzeitig grössere Störungen der Horizontal-Intensität auftraten.

Die zur Berechnung dieser Correction benützte Formel wurde aus Lamont's Handbuch für Erdmagnetismus §. 157 entnommen.

$$dH = n'w \left(1 - \frac{n\varepsilon}{\operatorname{tg} \psi} \right)$$

$$w = 0.000020854.$$

ε Bogenwerth eines Scalentheiles am Declinatorium

ψ Torsionswinkel = $143^{\circ}49'5$

dies in die Formel eingesetzt gibt

$$dH = 0.000020854 n' (1 - 0.000399 n)$$

Bei einer Störung der Declination um 100 Scalentheile und einer gleichzeitigen Störung der Horizontal-Intensität um 100 Scalentheile beträgt diese Correction schon 4 Scalentheile, ist daher keineswegs zu vernachlässigen, da solche Störungen häufig vorkamen.

Eine andere, bei Bifilarlesungen anzubringende Correction ist die Temperaturcorrection. Es war zwar im Bifilmagnete eine Temperaturcompensation angebracht, es zeigte sich jedoch bald, dass dieselbe nutzlos war.

Der Temperaturcoefficient des Biflars wurde zuerst aus den absoluten Beobachtungen berechnet, indem aus mehreren, in kürzeren Zeiträumen, bei verschiedenen Temperaturen gemachten absoluten Bestimmungen die absoluten Werthe des Scalentheiles 400 abgeleitet und die Differenzen dieser Werthe dem Temperatureinflusse zugeschrieben wurden. Aus den Differenzen der Werthe des Scalentheiles (400) und der Temperaturdifferenz liess sich der Temperaturcoefficient bestimmen. Es wurden dabei die Beobachtungen verschieden combinirt um eine gleichzeitige Normalstandsänderung möglichst zu eliminiren.

Der auf diese Weise berechnete Temperaturcoefficient für 1° C. war

$$\alpha = 0.0000353 \text{ C. G. S. oder } 1.70 \text{ Scalentheile.}$$

Nach der Rückkehr der Expedition wurde der Temperaturcoefficient des Bifilmagnetes durch Ablenkungsbeobachtungen an einem magnetischen Theodolithen an der meteorologischen Centralanstalt in Wien bestimmt, indem man die verschiedenen Ablenkungen mass, welche der Bifilmagnet bei verschiedenen Temperaturen (durch Eintauchen in warmes oder kaltes Wasser) am Theodolithen hervorbrachte. Die so erreichten Temperaturunterschiede beliefen sich auf 26° C.

Sind t_1 und t_2 die Temperaturen

φ_1 und φ_2 die zugehörigen gemessenen Ablenkungswinkel, so ist nach der Lamont'schen Formel

$$\mu = \frac{\sin(\varphi_1 - \varphi_2)}{(t_2 - t_1) \operatorname{tg} \frac{\varphi_1 + \varphi_2}{2}} = 0.00031727;$$

rechnet man nach Lamont die Ausdehnungcoefficienten des Messings und Platins ein, so ist

$$\mu' = \mu - p + 2q$$

$$p = 0.00000884 \text{ Ausdehnungcoefficient des Platins}$$

$$q = 0.00001875 \quad \text{ " " "}$$

es ergibt sich auf diese Weise

$$\mu' = 0.00034593 \text{ für } 1^\circ \text{ C.}$$

und in absolutem Werthe

$$\mu' H = \alpha = 0.0000337 \text{ C. G. S.}$$

aus den absoluten Beobachtungen wurde

$$\alpha = 0.0000353 \text{ für } 1^\circ \text{ C.}$$

gefunden, was befriedigend übereinstimmt. Zur Reduction der Beobachtungen wurde das arithmetische Mittel verwendet, wobei dem α aus den absoluten Beobachtungen das doppelte Gewicht gegeben,

$$\alpha = 0.000035 = 1.68 \text{ Scalentheile für } 1^\circ \text{ C.}$$

als Temperaturcoefficient resultirt, mit welchem sämmtliche Bifilarlesungen auf 0° C. reducirt wurden.

Die Temperaturschwankungen waren mit Rücksicht auf die Verhältnisse in dem Raume, wo das Bifilar stand, infolge der Erwärmung durch die beständig brennenden Scalenbeleuchtungslampen nicht gross, und es erfolgte selbst bei sehr raschem Temperaturwechsel im Freien ein allmählicher Übergang im Beobachtungsraume.

Die beobachteten Temperaturextreme waren:

Maximum 1. August 1883 14.5 C.

Minimum 4. Jänner 1883 —8.8 C.

Die grösste Temperaturschwankung innerhalb 24 Stunden betrug 7.7 am 4.—5. Jänner 1883, als die Lufttemperatur sich in derselben Zeit im Freien um 25° änderte.

Es ergibt sich sonach die Formel zur Reduction der Bifilarlesungen mit Berücksichtigung aller Correctionen, vom Scalentheile 400 ausgehend und auf die Temperatur 0° C. bezogen:

$$h_n = H + 0.000020854 (n' - 400) [1 - 0.000399 (n - 400)] + 0.000035 t^0;$$

H ist der jeweilige Normalstand,

t^0 die zur Variationslesung n' gehörige Temperatur,

n die gleichzeitige Lesung am Declinatorium.

Der Normalstand wurde, so oft sich Gelegenheit bot, d. h. eine gewisse Ruhe in den magnetischen Elementen herrschte, durch absolute Beobachtungen der Horizontal-Intensität bestimmt (siehe Tabelle 2).

Die auf den Scalentheil 400 und die Temperatur 0° C. reducirten absoluten Werthe wurden nach dem Datum zusammengestellt und die Übergänge graphisch durch eine durchgelegte Curve ausgeglichen.

Die dieser Curve entnommenen Normalstände, welche bei der Reduction der Bifilarlesungen in Verwendung kamen, sind mit den zugehörigen Zeitabschnitten aus folgender Tabelle ersichtlich.

Tabelle 5. Normalstände des Bifilares.

V o n	b i s	$V_{400} t=0^\circ$
8. September 1882 . . .	31. October 1882 . . .	0.09776
1. November " . . .	10. November " . . .	0.09775
11. " " . . .	20. " " . . .	0.09773
21. " " . . .	25. " " . . .	0.09770
26. " " . . .	30. " " . . .	0.09766
1. December " . . .	5. December " . . .	0.09764
6. " " . . .	15. " " . . .	0.09762
16. " " . . .	25. " " . . .	0.09764
26. " " . . .	5. Jänner 1883 . . .	0.09767
6. Jänner 1883 . . .	15. " " . . .	0.09770
16. " " . . .	25. " " . . .	0.09768
26. " " . . .	10. Februar " . . .	0.09764
11. Februar " . . .	1. August " . . .	0.09760

3. Die Lloyd'sche Wage.

Dieses Instrument, dessen Beschreibung sich auch in der schon erwähnten Edelman'schen Broschüre findet, ist musterhaft gearbeitet, nur wäre etwas mehr Einfachheit in dem Aufbau wünschenswerth. Die Achatlager sowohl, als auch die Arretirvorrichtung könnten ganz gut in der Werkstätte auf eine bestimmte, am Instrumente gekennzeichnete Ebene justirt werden, die bei der Aufstellung mit einer Libelle leicht horizontal zu stellen wäre.

Die dem Instrumente beigegebenen kunstvollen Fussplatten erwiesen sich nicht vortheilhaft, da ein Verrücken des Instrumentes auf denselben, z. B. beim Aufsetzen und Abnehmen der Ablenkungsschiene oder beim Drehen derselben leicht vorkommen kann.

Bei der Aufstellung mussten die beiden Aluminiumgewichtchen am Magnete durch ein zwischen dieselben eingelegtes Goldplättchen vermehrt werden.

Die Längenchse des Magnetes der Lloyd'schen Wage lag in Bezug auf den magnetischen Meridian bei der getroffenen Anordnung der Instrumente Nord 33° Ost.

Es wurde diese Aufstellung mit Rücksicht auf den Umstand belassen, dass die Verticalcomponente der erdmagnetischen Kraft auf einen horizontalen Magnet in allen Azimuthen mit der gleichen Grösse einwirkt und der Winkel mit dem magnetischen Meridiane in der Formel für den Werth eines Scalentheiles als Constante bei der Bestimmung in dem Coefficienten A enthalten ist, der Einfluss der Änderungen der Horizontalintensität und der Declination aber füglich als geringfügig vernachlässigt werden kann.

Die einfache Formel für die Änderung der Verticalintensität lautet:

$$\frac{dV}{V} = (\cot J \cos \nu - \operatorname{tg} w) d\beta + \mu dt,$$

wo J die Inclination, ν den Winkel der Magnetachse mit dem magnetischen Meridian, w den Winkel zwischen der magnetischen Achse und der Verbindungslinie des Schwerpunktes mit der Drehungsachse, β den Winkel der magnetischen Achse gegen den Horizont, μ den Temperaturcoefficienten des Magnetes und t die Temperatur bedeutet. Oder

$$\frac{dV}{V} = A d\beta + \mu dt.$$

Der Coefficient A wird durch Ablenkungsbeobachtungen mit einem Hilfsmagnete bestimmt, der am Declinatorium in der Verlängerung des Declinationsmagnetes, senkrecht auf diese Verbindungslinie aufgelegt wird und sodann in analoger Weise an der Lloyd'schen Wage in derselben Distanz, mit seinem Mittelpunkt in derselben Horizontalebene mit dem Magnete der Lloyd'schen Wage, in der Verlängerung der Achse desselben, senkrecht mit seinem Nordpole abwechselnd nach oben und nach unten Ablenkungen hervorbringt.

Nennt man den durch den Hilfsmagnet verursachten Ablenkungswinkel am Declinatorium u_2 , den Ablenkungswinkel an der Lloyd'schen Wage u_1 , so besteht die Relation:

$$A = - \frac{\operatorname{tg} u_2 \cot J}{\operatorname{tg} u_1},$$

für V in der früheren Formel $H \operatorname{tg} J$ eingeführt,

$$dV = - H \frac{\operatorname{tg} u_2}{\operatorname{tg} u_1} d\beta + B dt,$$

für $\operatorname{tg} u_1$ kann man auch den Bogen einführen, wenn ε_1 den Winkelwerth eines Scalentheiles der Lloyd'schen Wage und u_1 Scalentheile bedeuten.

$d\beta$ auch in Scalentheilen ausgedrückt:

$$\begin{aligned} \operatorname{tg} u_1 &= u_1 \varepsilon_1 \sin 1', \\ d\beta &= \Delta\beta \varepsilon_1 \sin 1' \\ dV &= - H \frac{\operatorname{tg} u_2 \Delta\beta}{u_1} + B dt. \end{aligned}$$

Der Werth eines Scalentheiles ist somit

$$w_2 = H \frac{\operatorname{tg} u_2}{u_1}.$$

Der Werth von w_2 , der aus den Ablenkungsbeobachtungen hervorgeht, wurde im Laufe des Beobachtungsjahres dreimal bestimmt.

Diese Bestimmungen ergaben:

am 7. September 1882 . .	$w_2 = 0.00010083,$	C. G. S.
.. 19. Juli 1883 . .	0.00011501.	"
.. 21. . 1883 . .	0.00011567.	"

Gibt man der ersten Bestimmung das doppelte Gewicht, so ist im Mittel:

$$w_2 = 0.00010808,$$

welcher Werth auch zur Reduction der Variationslesungen an der Lloyd'schen Wage für die ganze Beobachtungszeit benutzt wurde.

Der Temperaturcoefficient konnte nicht aus den absoluten Bestimmungen der Inclination und gleichzeitiger Ableseung am Bifilare, woraus $V = H \operatorname{tg} J$ berechnet wird, ermittelt werden.

Es wurden daher nach der Rückkehr der Expedition, ebenso wie mit dem Bifilarmagnete an der meteorologischen Centralanstalt in Wien, an einem magnetischen Theodolithen bei verschiedenen Temperaturen

(im warmen und kalten Wasser) Ablenkungsbeobachtungen gemacht, und daraus der Temperaturcoefficient des Magnetes wie beim Bifilarmagnete berechnet.

Der Magnet war zwar auch wie der Bifilarmagnet mit einer Temperaturcompensation versehen, welche jedoch nicht ausreichend war. Der Temperaturcoefficient B der Formel wurde berechnet:

$$B = 0.00017785 \text{ C. G. S. für } 1^\circ \text{ C.}$$

Dieser bloß von dem Magnete abhängige Coefficient wurde in die Formel eingeführt, der von den einzelnen Metallbestandtheilen des Magnetes und Wagebalkens abhängige Theil des Temperaturcoefficienten aber vernachlässigt.

Ist V die dem Scalentheile N bei der Temperatur T entsprechende Verticalintensität, so ist für eine andere Scalenlesung n_2 bei der Temperatur t_2 die zugehörige Verticalintensität aus der Formel zu berechnen

$$v = V + w_2 (n_2 - N) + B (t_2 - T).$$

Will man die Temperatur-Correction in Scalentheilen haben, so ist $\frac{B}{w_2} = b$, und setzt man die für unser Instrument berechneten Grössen und für N den Scalentheil 400 und für $T = 0^\circ \text{ C.}$ ein, so ist

$$v = V + 0.00010808 [(n_2 - 400) + 0.16 t_2].$$

V , der sogenannte Normalstand, wurde aus den absoluten Beobachtungen der Inclination und den gleichzeitigen Bifilarlesungen, die das H gaben berechnet und mit den Lesungen an der Lloyd'schen Wage n_2 auf den Scalentheil 400 reducirt.

$$V = v - 0.00010808 [(n_2 - 400) + 0.16 t_2].$$

Da man bei Inclinationsbeobachtungen, besonders in einer arktischen Station, Beobachtungsfehler von ± 0.5 , auch bei Anwendung der grössten Sorgfalt beim Beobachten annehmen muss, ein solcher Fehler aber bei der Inclination von 79° eine Unsicherheit im Normalstande V von $\pm 0.00039 \text{ C. G. S.} = \pm 3.6$ Scalentheilen nach sich zieht, so darf man an das Verhalten des auf diesem Wege gefundenen Normalstandes keinen zu strengen Massstab anlegen.

Die berechneten Normalstände (Tabelle 3) wurden für jedes Monat gemittelt (die Beobachtung 19. März, $D I$, wurde ausgestossen) und dem Mittel das mittlere Datum der Bestimmungen beigegeben, sodann die Uebergänge von einem Monatsmittel zum anderen je nach den Differenzen auf grössere oder kleinere Zeitabschnitte vertheilt.

Die aus den absoluten Inclinationsbeobachtungen abgeleiteten Normalstandmonatsmittel der Lloyd'schen Wage sind in der Tabelle 6 zusammengestellt.

Tabelle 6.

Mittleres Datum	V_0 (400)	Mittleres Datum	V_0 (400)
23. September 1882	0.50461	15. März 1883	0.50543
20. October "	} 0.50468	14. April "	0.50602
14. November "		8. Mai "	0.50574
9. December "		14. Juni "	0.50591
19. Jänner 1883		19. Juli "	0.50617
12. Februar "	0.50441		

Aus diesen wurden die nachstehenden zur Reduction der Variationsbeobachtungen verwendeten Normalstände zusammengestellt.

Tabelle 7. Normalstände der Lloyd'schen Wage.

Zeitabschnitt	V_0 (400)	Zeitabschnitt	V_0 (400)
8. September—30. September 1882 .	0'50461	1. April— 5. April 1883	0'50580
1. October —30. October " .	0'50463	6. " —10. " "	0'50592
1. November—31. December " .	0'50468	11. " —20. " "	0'50602
1. Jänner --25. Jänner 1883	0'50469	21. " —25. " "	0'50594
26. " — 5. Februar "	0'50450	26. " —30. " "	0'50588
6. Februar—15. " "	0'50441	1. Mai —10. Mai "	0'50580
16. " —20. " "	0'50458	11. " —15. " "	0'50574
21. " —25. " "	0'50475	16. " —25. " "	0'50579
26. " —28. " "	0'50492	26. " — 5. Juni "	0'50584
1. März— 5. März "	0'50509	6. Juni —20. " "	0'50591
6. " —10. " "	0'50526	21. " —30. " "	0'50598
11. " —20. " "	0'50543	1. Juli —10. Juli "	0'50607
21. " —25. " "	0'50555	11. " —1. August "	0'50616
26. " —31. " "	0'50568		

B. Die Lamont-Edelmann'schen Variationsapparate.

Diese Apparate, deren Beschreibung sich in der wiederholt citirten Edelmann'schen Broschüre findet, wurden vor Abgang der Expedition probeweise aufgestellt, wobei sich einige nothwendige Änderungen herausstellten, von welchen die an allen drei Apparaten gleichartig vorgenommenen hier, die für jedes Instrument besonders nothwendigen bei den einzelnen Instrumenten besprochen werden sollen.

Die kleinen Hufeisenmagnete hängen bei diesen Apparaten in einem starkwandigen Kupfercylinder, der den Zweck eines Dämpfers zu erfüllen hat. Der Spielraum zwischen dem Magnete und der inneren Wand des Kupfercylinders war aber so gering, dass das Aushängen des Magnetes nur bei einer bestimmten Stellung des Magnetspiegels möglich war.

Dies machte das Einstellen des beweglichen Spiegels ungemein mühsam, wollte man nicht den Mirenspiegel jedesmal entfernen. Da auch ein Anliegen des Magnetes an der Wand des Dämpfers häufig vorkam, wurden dieselben weiter ausgedreht. Die Rollen mit dem Kupferdraht, welche in Verbindung mit einem Thermolemente zur Prüfung des Freischwebens der Magnete dienen sollten, wurden nach der Erweiterung der Dämpferhöhlungen als unnöthig abgenommen.

Um den auf den Aufhängefaden schädlichen Einfluss der Feuchtigkeit zu beseitigen, wurde hinter dem Ständer des Mirenspiegels ein kleines Kupferschälchen mit Chlorkalk aufgestellt und alle Fugen an dem Magnetgehäuse sorgfältig mit Talg verschmiert. Bezüglich der Construction des Magnetträgers und des Rahmens des Magnetspiegels muss bemerkt werden, dass die Gewichtsersparniss auf Kosten der Festigkeit etwas zu weit getrieben wurde, da beim behutsamsten Anfassen des Spiegelrahmens beim Drehen des Magnetes zu leicht ein Verbiegen vorkam, in Folge dessen das Spiegelbild aus dem Fernrohre verschwand.

Das Hornschraubchen, welches den Hufeisenmagnet mit dem Spiegelrahmen verbindet, wäre auch durch ein Metallschraubchen zu ersetzen, da sowohl Temperatur als auch Feuchtigkeitseinflüsse eine Torsion hervorzubringen schienen, die sich in erheblichen Änderungen des Normalstandes kundgab.

Die zu diesen Apparaten gehörigen Scalenfernrohre waren ganz gleich denen des früher beschriebenen Satzes, von einer ebenso vollendeten Construction und hervorragenden Güte. Die Beleuchtung der Scalen geschah in der beim Wild-Edelmann'schen Satze beschriebenen Weise. Die Beleuchtungslampen wurden in diesem Raume jedesmal vor der Beobachtung angezündet, daher auch grosse Temperaturschwankungen vorkamen, in Folge welcher besonders im Frühjahr ein häufiges Beschlagen der Linsen der Fernrohre und der Plangläser an den Apparaten durch Condensation des Wasserdampfes auftrat, das beim Ablesen sehr störend wirkte, ja sogar die Ablesung öfters verhinderte.

Die Distanz — Scala — Magnetspiegel — wurde bei diesen Apparaten mit 1719^{mm} eingestellt, was nach

$$n = \frac{1}{2 D \sin 1'} - \frac{1}{6 D^3 \sin 1'}$$

den Bogenwerth eines Scalentheiles von einer Bogenminute gibt. Das zweite Glied mit D^3 erreicht erst bei 100 Scalentheilen einen Werth 0'1 und wurde bei Ausschlägen die über 100 Scalentheile (von der Mitte aus gerechnet) betragen, als Correction berücksichtigt.

Die Vertheilung und gegenseitige Lage dieser Instrumente ist aus der Skizze Fig. 1 ersichtlich. Der gegenseitige Einfluss war so gering, dass er als constant zu betrachten war und bei den Variationen nicht eingerechnet wurde.

Da, wie schon erwähnt, an den Lamont'schen Apparaten jede vierte Stunde von einem zweiten Beobachter gleichzeitig mit dem Wild'schen Satze abgelesen wurde, und die Mittagslesungen streng gleichzeitig (an jedem Instrumente ein Beobachter) auch an diesem Satze durchgeführt wurden, so liegt ein reichhaltiges Vergleichs-Beobachtungsmaterial vor, aus welchem ersichtlich ist, ob die Instrumente, deren Angaben sich auf dasselbe erdmagnetische Element beziehen, bei ruhiger Lage und besonders bei Störungen gleichartige und gleich grosse Elongationen anzeigten.

Da das Verhalten der Lamont'schen Instrumente jedoch nicht so befriedigend war, dass es sich verlohnt hätte, alle im Laufe des Beobachtungsjahres gemachten Vergleichslesungen in absolute Werthe zu verwandeln, so wurden nur die Vergleichsbeobachtungen des Monats Mai reducirt und mit den Angaben des Wild'schen Satzes verglichen.

Zur Prüfung des Verhaltens der Instrumente bei Störungen wurden von den streng gleichzeitigen Mittagslesungen von 20 zu 20 Secunden diejenigen verwendet, bei welchen grössere Störungen beobachtet wurden, dabei die Differenz zwischen einer Lesung und der vorhergehenden gebildet, und diese Differenzen verglichen.

Zum Beispiel

Zeit	Lamont'sches Unifilar.		Wild'sches Declin.		Vergleich
	Lesung	Differenz	Lesung	Differenz	
11 ^h 58 ^m 0 ^s	n_1	$n_2 - n_1$	n'_1	$n'_2 - n'_1$	$(n_2 - n_1) - (n'_2 - n'_1)$
20	n_2	$n_3 - n_2$	n'_2	$n'_3 - n'_2$	$(n_3 - n_2) - (n'_3 - n'_2)$
40	n_3	$n_4 - n_3$	n_3	$n'_4 - n'_3$	$(n'_4 - n'_3) - (n'_4 - n'_3)$
59 0	n_4
			etc.		

Die so gewonnenen Resultate werden bei jedem einzelnen Instrumente besprochen werden.

Es wurde diese Art des Vergleiches gewählt, weil dabei einige Fehlerquellen ausfallen, die beim directen Vergleiche der absoluten Werthe durch den Normalstand, Temperaturecorrection etc. das Resultat beeinflussen.

1. Das Lamont-Edelmann'sche Unifilarmagnetometer.

Das Verhalten dieses Instrumentes war befriedigend, mit Ausnahme des grossen Sprunges zwischen den Beobachtungen am 14. und 18. Februar und eines kleineren gegen Ende Juni; nachstehende Tabelle mit den, aus den absoluten Declinationsbestimmungen abgeleiteten Normalständen gibt hierüber Aufschluss.

Trägt man die Normalstände als Ordinaten, die zugehörigen Zeitintervalle als Abscissen auf und legt eine Curve durch die so erhaltene Reihe von Punkten, so zeigt die Curve, abgesehen von den zwei Sprüngen, ein allmähliches Sinken mit Unterbrechung einer kleinen steigenden Tendenz in den Monaten December und Jänner.

Die Beobachtungen, welche jede vierte Stunde gleichzeitig mit dem anderen Declinatorium vorgenommen wurden, ergaben, dass die grosse Differenz zwischen den zwei Normalständen vom 14. und 18. Februar durch ein rascheres continuirliches Sinken desselben während dieser vier Tage hervorgebracht wurde, also ein Verrücken des Instrumentes ausgeschlossen erscheint. Die Ursache dieser raschen Änderung ist nicht

bekannt; die Torsionsänderung des Aufhängefadens konnte eine solche Änderung unmöglich hervorbringen, da die Bestimmungen des Torsionscoefficienten

$$\text{am 16. September } \gamma = 0.00044$$

$$16. \text{ Februar } \gamma = 0.00015$$

$$4. \text{ Juli } \gamma = 0.00011$$

ergaben, Grössen, die beinahe zu vernachlässigen sind. Vermuthlich war es eine Torsion des Hornstiftes, der den Magnet mit dem Spiegelrahmen verbindet.

Die Reductionsformel für die Lesungen an diesem Instrumente war, da der Werth eines Scalentheiles eine Bogenminute betrug

$$d_n = D + (n - 400)$$

wobei d die der Scalenlesung n entsprechende Declination und D den Normalstand bedeutet.

Tabelle 8. Normalstände des Lamont-Edelmann'schen Declinatoriums.

Datum	D (400)	Datum	D (400)	Datum	D (400)
14. September 1882 . . .	30° 4'9	28. December 1882 . . .	30° 0'5	19. März 1883	29° 38'0
23. " "	30 1'1	30. " "	30 1'8	1. April "	35'1
25. " "	30 2'0	3. Jänner 1883	30 1'4	7. " "	33'7
29. " "	30 0'6	10. " "	30 1'1	11. " "	34'0
19. October "	30 4'1	13. " "	30 0'0	15. " "	33'0
24. " "	30 3'6	16. " "	29 59'9	21. " "	31'3
27. " "	30 3'2	19. " "	30 1'2	28. " "	30'5
5. November "	29 58'2	23. " "	30 1'0	4. Mai "	31'4
9. " "	29 57'5	30. " "	30 0'1	10. " "	30'9
10. " "	30 0'0	6. Februar "	29 59'9	18. " "	31'0
16. " "	29 57'4	9. " "	29 59'7	24. " "	32'6
21. " "	29 57'7	13. " "	30 2'3	4. Juni "	32'0
24. " "	30 0'3	14. " "	29 59'3	5. " "	32'3
28. " "	29 59'5	18. " "	29 45'0	12. " "	32'7
29. " "	29 59'2	21. " "	29 43'4	22. " "	32'3
3. December "	29 59'4	26. " "	29 43'2	2. Juli "	27'7
7. " "	29 59'8	5. " "	29 39'8	16. " "	28'4
10. " "	29 58'4	6. " "	29 40'5	22. " "	28'7
13. " "	29 57'2	10. " "	29 39'8	27. " "	29'5
17. " "	29 58'8	16. " "	29 38'7	3. August "	31'4
26. " "	29 59'5	18. " "	29 37'9		

Das Resultat aus den Vergleichen der Differenzen der streng gleichzeitigen Mittagslesungen bei Störungen ergab von den 269 gebildeten Differenzen je zweier aufeinanderfolgender Lesungen:

Am Lamont'schen Unifilare waren

43.1 Procent im Mittel um 0.4	kleiner als jene am Wild'schen Unifilare
37.6 " " " " 0.7	grösser " " " " " "
16.0 " gleich mit denen	" " " " " "
3.3 " mit entgegengesetzten Zeichen	" " " " " "

In der Mehrzahl der Fälle hat also der Magnet des Wild'schen Declinatoriums weitere Schwingungen gemacht als der des Lamont'schen Unifilars, was bei Betrachtung der Form und der Länge der Magnete der Erwartung entspricht.

Was die Vergleichsbeobachtungen mit dem Wild'schen Declinatorium anbelangt, so ist das Resultat in Anbetracht der verschiedenen Form und Grösse der Magnete ein befriedigendes zu nennen. Die nachstehende Tabelle enthält die Differenzen zwischen den gleichzeitigen Lesungen am Wild'schen Declinatorium und jenen am Lamont'schen Unifilare.

Die verglichenen Lesungen sind jedoch bei beiden Instrumenten die Mittel aus den fünf zur vollen Stunde notirten Beobachtungen; die in der nachfolgenden Tabelle enthaltenen Differenzen sind also:

$$\text{Lamont'sches Unifilar} - \text{Wild'sches Unifilar} = \pm \Delta.$$

Tabelle 9. Vergleich des Lamont'schen Unifilar's mit dem Wild'schen Declinatorium. Mai 1883.

T a g	3 ^h a. m.	7 ^h a. m.	11 ^h a. m.	Mittag	3 ^h p. m.	7 ^h p. m.	11 ^h p. m.	Mittlere Differenz
1.	+ 0'5	+ 0'3	- 0'9	- 0'3	+ 3'8	- 0'7	- 0'1	0'5
2.	+ 3'8	+ 0'5	+ 0'3	.	+ 0'5	- 1'2	+ 0'3	1'1
3.	+ 1'3	+ 0'5	- 0'1	+ 0'1	- 0'3	- 1'3	+ 1'9	0'8
4.	+ 1'0	+ 0'3	- 0'1	- 0'3	0'0	- 0'5	+ 0'5	0'4
5.	+ 0'6	+ 0'4	- 0'9	- 1'3	- 0'4	- 0'2	+ 0'7	0'6
6.	+ 1'3	+ 0'8	- 0'1	- 0'2	- 0'5	+ 0'4	0'0	0'4
7.	0'0	- 0'3	+ 0'2	- 1'6	- 0'6	0'0	+ 0'2	0'4
8.	+ 0'4	+ 1'3	+ 0'1	- 0'7	- 0'1	- 0'5	- 0'4	0'5
9.	0'0	+ 0'2	- 1'5	- 1'2	- 0'4	- 0'4	- 0'3	0'6
10.	- 0'2	+ 0'4	- 0'4	- 0'9	+ 0'1	- 0'3	+ 0'3	0'4
11.	+ 1'1	+ 0'6	- 0'8	- 1'2	- 1'2	- 0'4	- 0'3	0'8
12.	+ 0'8	+ 0'1	- 0'3	- 0'4	- 0'1	- 0'4	+ 0'1	0'3
13.	+ 0'5	+ 0'6	- 1'0	- 2'2	- 0'5	- 0'4	+ 0'2	0'8
14.	+ 1'2	+ 0'1	- 0'5	- 0'5	- 0'2	- 1'1	- 0'1	0'5
15.	+ 0'1	+ 0'2	- 0'1	- 0'3	+ 0'5	+ 0'5	+ 0'7	0'3
16.	+ 1'5	+ 2'1	0'0	- 0'2	- 3'4	+ 0'3	+ 0'9	1'2
17.	+ 0'6	+ 1'5	- 0'7	- 0'6	+ 0'1	- 2'4	- 0'2	0'9
18.	+ 0'8	+ 0'4	+ 0'4	+ 0'8	+ 0'6	+ 0'4	+ 0'1	0'5
19.	+ 0'3	- 1'4	+ 1'1	- 0'7	+ 0'1	+ 0'2	+ 0'4	0'6
20.	+ 0'7	- 1'3	+ 0'5	+ 0'1	+ 0'5	- 1'7	+ 0'1	0'7
21.	+ 3'6	+ 2'1	+ 1'7	- 1'8	- 1'8	- 0'8	+ 0'2	1'6
22.	+ 1'2	+ 0'3	+ 1'1	+ 0'1	- 1'2	+ 2'8	+ 3'4	1'4
23.	+ 0'7	+ 0'8	+ 0'1	.	+ 5'0	+ 0'3	- 1'0	1'3
24.	+ 0'3	- 0'3	- 0'5	- 1'1	- 0'2	- 1'4	+ 0'1	0'6
25.	+ 0'7	0'0	+ 0'2	.	+ 0'2	- 1'3	0'0	0'4
26.	+ 0'5	- 2'1	+ 0'2	.	- 0'2	- 1'4	+ 1'1	0'9
27.	+ 0'7	+ 0'2	0'0	- 0'6	- 0'2	- 0'3	- 0'1	0'3
28.	+ 2'7	+ 0'6	+ 0'3	- 0'3	+ 0'8	- 0'6	- 0'6	0'8
29.	+ 0'4	+ 0'3	+ 0'2	.	+ 0'1	- 0'2	- 1'1	0'4
30.	+ 0'8	+ 0'6	+ 0'5	- 0'8	- 0'4	- 0'3	+ 0'4	0'5
31.	+ 1'1	+ 0'3	0'0	.	+ 0'7	- 0'1	+ 0'5	0'4
Mittlere Differenz }	0'9	0'7	0'5	0'7	0'8	0'7	0'5	0'7
Differenz der Mittel }	+ 0'9	+ 0'4	0'0	- 0'6	+ 0'1	- 0'4	+ 0'2	0'4

2. Das Lamont-Edelmann'sche Unifilar mit Ablenkungsmagneten (Horizontal-Intensimeter).

An diesem Instrumente fehlte bei seiner Uebnahme eine Vorrichtung zum Einstellen des Ablenkungsminimums, die Geradeführung und Fixirung der Ablenkungsschiene. Er wurden daher die Achsen, mit denen die Ablenkungsschiene in dem Lagerbügel ruht, soweit cylindrisch abgedreht, dass eine Verschiebung der Ablenkungsschiene in der Richtung ihrer Längsachse möglich wurde; zwei Schraubchen an einem der Lager ermöglichen die Festklemmung der Schiene.

Die Geradeführung der Schiene wurde erst Anfangs April 1883, gelegentlich einer grösseren Reparatur am Instrumente angebracht und besteht aus einer Schraube, welche zugleich die Verschiebung der Ablenkungsschiene beim Einstellen des Minimums bewerkstelligt und die ihr gegebene Stellung versichert.

Das Instrument wurde am 15. September aufgestellt, am 16. September die Empfindlichkeitsbestimmung vorgenommen.

Diese, sowie die später vorgenommenen Bestimmungen des Werthes eines Scalentheiles, wurden folgendermassen durchgeführt.

Ein Hilfsmagnet wurde am Lamont'schen Unifilare in der Entfernung E von dessen Mitte, in der Horizontalebene der Magnetpole so aufgelegt, dass sein Mittelpunkt in der Verlängerung des Declinationsmagnetes, also im magnetischen Meridian lag und seine Längsachse senkrecht auf diese Verbindungslinie stand; die Ablenkungen wurden in vier verschiedenen Lagen des Hilfsmagnetes (Nord und Süd vom Declina-

torium und Ost und West mit seinem Nordende) gemessen und mit Berücksichtigung der gleichzeitigen Declinationsvariationen der Winkel u gefunden.

In analoger Weise und in derselben Distanz E wurde sodann derselbe Hilfsmagnet am Unifilar mit Ablenkungsmagneten aufgelegt und der Ablenkungswinkel u_1 bestimmt. (Variationen der Declination und der Horizontal-Intensität berücksichtigt, die Variationen der letzteren wurden am Theodolithen beobachtet.)

Aus diesen zwei Winkeln findet man

$$\cos \varphi' = \frac{\sin u}{\sin u_1}$$

die Torsion des Aufhängefadens ist auch zu berücksichtigen und kommt, wenn γ der am Unifilare bestimmte Torsionscoefficient ist, nach Lamont folgendermassen in Rechnung

$$\cos \varphi = \frac{\sin u}{\sin u_1} \left(1 - \frac{2\gamma \sin^2 \frac{\varphi'}{2}}{\cos \varphi'} \right)$$

und

$$dH = \varepsilon H \cotg \varphi,$$

wo φ der Winkel ist, um welchen der Magnet des Instrumentes durch die Ablenkungsmagnete abgelenkt ist, H die Horizontal-Intensität während der Bestimmung,

ε der Bogenwerth eines Scalentheiles, bei uns also $\sin 1'$.

Die einzelnen Bestimmungen wurden auf das Jahresmittel der Horizontal-Intensität und der Declination bezogen und ergaben:

$$16. \text{ September } 1882 \quad H = 0.09745. \quad D = 29^\circ 53'7''$$

$$dH = \omega = 0.00001809, \text{ C. G. S.}$$

$$\frac{dH}{H} = \omega' = 0.0001857.$$

Am 15. Februar wurde der Mirenspiegel um 90 Scalentheile verdreht gefunden und die Empfindlichkeitsbestimmung ergab am

$$16. \text{ Februar } 1883 \quad dH = 0.00001437, \text{ C. G. S.}$$

$$6. \text{ März } \quad \quad \quad dH = 0.00001447, \text{ C. G. S.}$$

$$\frac{dH}{H} = \omega' = 0.0001485.$$

Diese plötzliche grosse Aenderung im Werthe eines Scalentheiles, mit der natürlich auch eine Änderung des Ablenkungswinkels zusammenhängt, ist mir nicht gelungen zu ergründen; die genaue Besichtigung liess nicht auf ein Verrücken schliessen, da die Schrauben alle fest angezogen, die Fussplatten festgekittet und die übrigen Bestandtheile in der richtigen gegenseitigen Lage vorgefunden wurden.

Am 26. März Morgens warf ein im Observatorium mit dem Trocknen des Bodens beschäftigter Matrose das Instrument von seinem Pfeiler herab, wobei die Glasröhren brachen und der Lagerbügel der Ablenkungsschiene leicht verbogen wurde. Gelegentlich dieser Reparatur wurde die obenerwähnte Vorrichtung zum Einstellen des Ablenkungsminimums angebracht und am 7. April stand das Instrument wieder zur Beobachtung bereit.

Die Empfindlichkeit wurde diesmal etwas geringer gemacht, weil bei den Störungen zu häufig Ausschläge über die Scala hinaus vorkamen, die von einem einzigen Beobachter nur mühsam und auch nur ungenau zu beobachten waren.

$$7. \text{ April } \dots \dots dH = 0.00002228 \text{ C. G. S.} \quad \frac{dH}{H} = \omega' = 0.0002287.$$

Am 25. Juni reflectirte der Mirenspiegel den Scalentheil 772, die Drehung blieb unerklärt. Die darauf vorgenommene Empfindlichkeitsbestimmung ergab am

$$\left. \begin{array}{l} 4. \text{ Juli} \dots dH = 0.00002845 \\ 23. \text{ Juli} \dots dH = 0.00002862 \end{array} \right\} 0.00002853. \text{ C. G. S.}$$

$$\frac{dH}{H} = \omega' = 0.0002928.$$

Bei den absoluten Bestimmungen der Horizontal-Intensität wurden stets auch Variationslesungen am Lamont'schen Horizontal-Intensimeter und am Declinatorium gemacht und so der Normalstand bestimmt. In der nachstehenden Tabelle sind die aus den absoluten Beobachtungen abgeleiteten Normalstände mit Beifügung der zugehörigen Temperatur zusammengestellt.

Tabelle 10. Normalstände des Lamont'schen Horizontal-Intensimeters.

Datum	M.	H (400)	t	Datum	M.	H (400)	t	Datum	M.	H (400)	t
22. September 1882	II	0.09838	4.6	4. Jänner 1883	I	0.09826	-14.3	22. April 1883	I	0.09730	2.4
28. " "	I	0.09820	4.2	12. " "	II	0.09815	0.3	29. " "	II	0.09735	3.3
28. " "	II	0.09824	4.7	12. " "	I	0.09798	0.0	30. " "	I	0.09729	2.8
20. October	I	0.09809	6.0	13. " "	II	0.09796	1.6	10. Mai	I	0.09756	1.8
20. " "	II	0.09820	6.5	14. " "	I	0.09804	1.9	10. " "	II	0.09731	1.0
4. November	I	0.09823	5.8	19. " "	II	0.09793	0.1	1. Juni	I	0.09721	4.3
4. " "	II	0.09802	6.0	19. " "	I	0.09783	0.2	5. " "	II	0.09760	4.7
6. December	II	0.09805	5.4	24. " "	II	0.09793	2.2	12. " "	II	0.09756	7.2
7. " "	II	0.09813	1.5	24. " "	I	0.09789	2.3	25. " "	I	0.09775	6.5
7. " "	I	0.09804	1.4	9. Februar	II	0.09781	3.3	25. " "	II	0.09786	6.9
14. " "	II	0.09825	-5.3	9. " "	I	0.09767	3.6	17. Juli	I	0.09626	5.8
15. " "	II	0.09825	-5.0	7. April	I	0.09753	3.2	22. " "	I	0.09590	7.5
15. " "	I	0.09815	-4.0	7. " "	II	0.09761	4.6	22. " "	II	0.09584	7.7
3. Jänner 1883	I	0.09813	-12.7	17. " "	I	0.09733	1.2	28. " "	II	0.09587	8.0
4. " "	II	0.09832	-15.3	17. " "	II	0.09734	3.0	28. " "	I	0.09611	8.6

Betrachtet man diese Tabelle, so ergibt sich ein befriedigendes Verhalten des Normalstandes innerhalb der einzelnen Zeitabschnitte, welche zwischen den erwähnten grösseren Änderungen im Werthe eines Scalentheiles liegen.

Da die Ablenkungsmagnete für Temperaturänderungen compensirt waren und sich aus den Normalständen bei verschiedenen Temperaturen kein Einfluss der letzteren erkennen lässt, so wurde die Compensation der Magnete für Temperaturschwankungen als vollkommen angenommen und keine weitere Temperaturcorrection berechnet.

Aus den Vergleichen der Differenzen aus den gleichzeitigen Mittagslesungen bei Störungen geht hervor: Von 139 gebildeten Differenzen waren die Differenzen zwischen zwei aufeinanderfolgenden Lesungen am Lamont'schen Horizontal-Intensimeter

23.0% im Mittel um 7 (10^{-5} C.G.S.) kleiner als am Bifilare

59.0 " " " " 6 " " " " grösser " " "

11.5 " gleich denen am Bifilare

6.5 " mit dem entgegengesetzten Zeichen als am Bifilare.

Der Magnet des Lamont'schen Horizontal-Intensimeters macht also in der Mehrzahl der Fälle weitere Schwingungen als der des Bifilars.

Nachfolgende Tabelle zeigt die Differenzen zwischen den Lesungen am Lamont'schen Horizontal-Intensimeter und denen am Bifilar. Die Zahlen sind Einheiten der fünften Decimale C. G. S.

Bei der Reduction der Lesungen am Horizontal-Intensimeter wurde für den Monat Mai folgende Formel angewendet:

$$h_n = 0.09736 + 0.00002228 (n' - n)$$

Tabelle 11. Vergleich des Lamont'schen Horizontal-Intensimeters mit dem Bifilar. Mai 1883.

Einheiten der fünften Decimale C. G. S.

Tag	3 ^h a. m.	7 ^h a. m.	11 ^h a. m.	Mittag	3 ^h p. m.	7 ^h p. m.	11 ^h p. m.	Mittlere Differenz
1.	— 6	— 6	— 9	— 13	— 7	— 4	— 6	7
2.	— 6	+ 5	— 4	.	— 3	— 12	+ 1	5
3.	0	— 5	— 4	+ 4	— 3	— 8	— 4	5
4.	+ 2	— 1	— 2	— 4	+ 1	— 5	— 11	4
5.	— 6	— 5	— 14	— 26	— 23	— 26	— 20	17
6.	— 6	— 15	— 13	— 17	— 10	— 5	— 2	10
7.	— 7	— 6	— 8	— 6	— 9	— 4	— 3	6
8.	— 6	— 7	— 4	— 7	— 4	— 4	— 6	5
9.	— 2	+ 13	+ 2	+ 2	0	— 1	+ 1	3
10.	— 1	0	— 7	— 13	— 9	— 9	— 3	6
11.	— 1	— 2	— 13	— 16	— 5	+ 1	+ 4	6
12.	— 18	+ 3	0	0	+ 4	+ 5	+ 4	5
13.	+ 6	+ 6	— 5	— 16	— 13	+ 1	— 6	8
14.	0	+ 2	— 7	— 11	— 5	0	+ 3	4
15.	0	0	+ 7	— 2	+ 12	+ 13	+ 13	7
16.	+ 12	+ 11	+ 10	+ 8	+ 10	+ 10	+ 1	9
17.	+ 9	+ 6	+ 5	— 15	+ 4	+ 1	+ 6	7
18.	+ 8	+ 7	+ 4	+ 3	+ 4	+ 8	+ 5	6
19.	+ 6	+ 21	+ 10	+ 8	+ 1	+ 7	+ 9	9
20.	+ 8	+ 14	+ 8	+ 9	+ 11	— 8	+ 10	10
21.	+ 21	+ 12	+ 13	+ 10	+ 4	— 29	— 1	13
22.	+ 9	+ 3	+ 9	+ 1	— 11	— 6	— 43	12
23.	— 1	+ 1	— 2	.	— 4	— 5	— 10	4
24.	— 5	— 3	0	— 2	+ 4	+ 3	0	2
25.	+ 11	+ 9	+ 6	.	+ 8	+ 8	— 1	6
26.	+ 6	+ 9	+ 5	.	+ 6	— 2	+ 9	5
27.	+ 8	+ 11	+ 8	+ 5	+ 4	+ 9	+ 10	8
28.	+ 24	+ 11	+ 10	+ 7	+ 4	+ 5	— 5	9
29.	+ 5	+ 4	+ 5	.	+ 5	+ 5	+ 6	5
30.	+ 9	+ 6	— 1	— 10	— 1	— 2	+ 5	5
31.	+ 10	— 9	+ 2	.	+ 7	+ 7	+ 10	6
Mittlere Differenz	7	7	6	9	6	7	7	7
Differenz der Mittel	+ 3	+ 3	0	— 4	0	— 1	— 1	2

3. Das Lamont-Edelmann'sche Unifilar mit Eisenstäben.
(Vertical-Intensimeter).

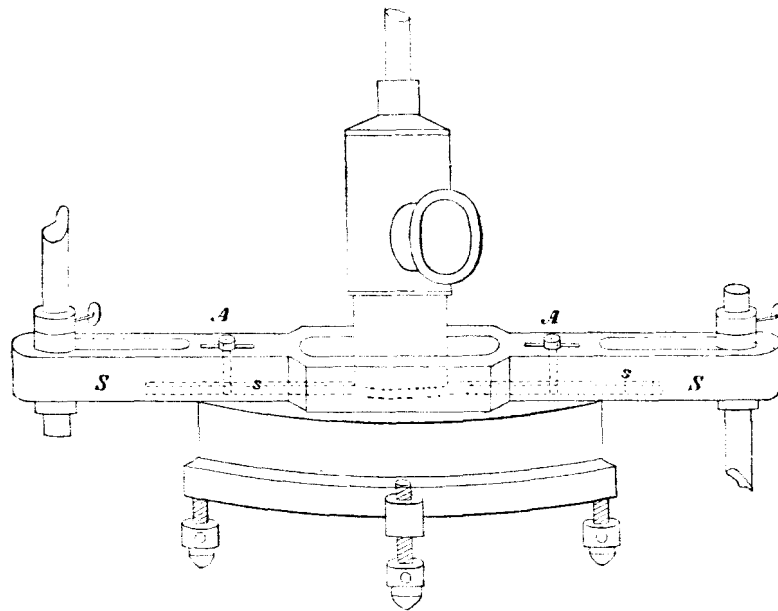
Dieses Instrument erforderte eine bedeutende Abänderung der Einrichtung zum Anbringen der Inductionsstäbe, sollte die Empfindlichkeit nach dem Programme der internationalen Polarcommission eingehalten werden. Die ursprüngliche Schiene *s*, welche die Stäbe trug, wurde als Führungsschiene für eine neu hergestellte Ablenkungsschiene *S* verwendet, welche eine Veränderung der Entfernung der Stäbe vom Magnete und ausserdem die Einstellung des Ablenkungsminimums (gleichmässiges Einwirken der Inductionsstäbe auf den Magnete) gestattete. Diese neue Schiene *S* wurde aus gut ausgetrocknetem Ahornholze verfertigt und mit heissem Leinöl getränkt, um sie gegen Feuchtigkeitseinflüsse widerstandsfähiger zu machen.

Zwei Schrauben *A A* fixirten die Stellung der Ablenkungsschiene (siehe Fig. 4).

Die von Edelmann dem Instrumente beigegebenen hohlen Inductionsstäbe zeigten bei ihrer Prüfung so viel permanenten Magnetismus, dass sie durch neue Stäbe ersetzt werden mussten, die massiv aus weichem Eisen angefertigt und wiederholt in Holzfeuer ausgeglüht wurden. Vor ihrer Anbringung am Instrumente wurden sie noch vielemale abwechselnd in heisses und kaltes Wasser getaucht, um nach Lamont die Anfangs bedeutende Veränderlichkeit der Inductionsfähigkeit herabzumindern.

Die Aufstellung dieses Instrumentes nahm viel Mühe und Zeit in Anspruch. Nach sieben vollständig durchgeführten Empfindlichkeitsbestimmungen, jede nach einer vorgenommenen Veränderung, wurde das achtemal ein Werth eines Scalentheiles erreicht, der den Anforderungen genügend entsprach.

Fig. 4.



Die Empfindlichkeitsbestimmungen wurden mittelst Ablenkungsbeobachtungen mit einem Hilfsmagnete in der Horizontalebene des freien Magnetes und senkrecht über demselben vorgenommen, und zwar mit den Inductionsstäben, und bei entfernten Inductionsstäben, wo ein kleiner Magnet dieselben ersetzte. Aus diesen Ablenkungsbeobachtungen berechnete man den Inductionscoëfficienten der Stäbe

$$a = \frac{1}{2} \frac{q}{u_3} \frac{u_1 - u_2}{u_3} \left(1 - \frac{2 \cdot 1 \lambda^2 + 0 \cdot 9 \lambda_1^2 + 2 \lambda_2^2 - 3 k^2 + 3 h^2}{e^2} \right)$$

a Inductionscoëfficient.

q der Coëfficient für den inducirenden Einfluss des freien Magnetes auf die Eisenstäbe.

u_1 Ablenkung durch den Hilfsmagnet in verticaler Lage senkrecht über dem freien Magnet bei eingesetzten Inductionsstäben.

u_2 Die gleichartige Ablenkung bei entfernten Inductionsstäben und aufgelegtem Ersatzmagnete.

u_3 Ablenkung durch den Hilfsmagnet in horizontaler Lage parallel der Richtung der Verbindungslinie der Inductionsstäbe, aber senkrecht über dem freien Magnete.

λ Halbe Länge des Hilfsmagnetes.

λ_1 " " des freien Magnetes.

λ_2 " " der Inductionsstäbe.

k die halbe Entfernung der Inductionsstäbe von einander,

h die senkrechte Entfernung der Mitte derselben von der Ebene des freien Magnetes,

e die senkrechte Entfernung des Hilfsmagnetes von der Ebene des freien Magnetes.

Aus Ablenkungsbeobachtungen mittelst des Hilfsmagnetes in der Horizontalebene der freien Nadel parallel mit der Verbindungslinie der Stäbe und aus analogen Ablenkungen am Unifilare berechnete man den Winkel φ , um welchen der freie Magnet des Vertical-Intensimeters vom magnetischen Meridian durch die Inductionsstäbe abgelenkt war.

$$\cos \varphi = \frac{\sin \frac{1}{2}(n_0 - n_1)}{\sin \frac{1}{2}(n'_0 - n'_1)} \left(1 - \frac{2 \gamma \sin^2 \frac{\varphi'}{2}}{\cos \varphi'} \right)$$

$n_0 - n_1$ Ablenkung am Unifilare
 $n'_0 - n'_1$ „ „ Vertical-Intensimeter.
 γ Torsionscoefficient.

Diese Grössen wurden in nachstehende Formel eingesetzt:

$$dV = \frac{H \cos \varphi \sin 1' = \omega',}{a}$$

welche den Werth eines Scalentheiles in absolutem Masse gibt.

Da aber beim Vertical-Intensimeter die Änderung der Declination und der Horizontal-Intensität in Rechnung gebracht werden müssen, lautet die Reductionsformel für die Lesungen an diesem Instrumente :

$$v = V + \omega'' (n'' - n) + \frac{H \sin \varphi}{a} (n' - n) \omega'$$

v die der Lösung am Vertical-Intensimeter entsprechende Vertical-Intensität,

V Normalstand dieses Instrumentes,

ω'' Werth eines Scalentheiles an demselben,

ω' „ „ „ am Horizontal-Intensimeter in Theilen der Horizontal-Intensität $\left(\frac{dH}{H} \right)$

n Lesung am Declinatorium,

n' „ „ Horizontal-Intensimeter,

n'' „ „ Vertical-Intensimeter,

H Horizontal-Intensität,

φ Ablenkungswinkel am Vertical-Intensimeter,

a Inductioncoefficient.

Die auf diese Weise durchgeführten Bestimmungen ergaben, auf den mittleren magnetischen Meridian und das Jahresmittel der Horizontal-Intensität bezogen:

	φ	a	ω''
22. November 1882.	66° 13' 37"	0·1057	0·0001081
2. August 1883.	65° 31' 50"	0·1120	0·0001046

und die Formel zur Reduction der Variationslesungen

$$22. \text{ November. } v = V + 0\cdot0001081 (n'' - n) + 0\cdot00015664 (n' - n)$$

$$2. \text{ August. } v = V + 0\cdot0001046 (n'' - n) + 0\cdot00018076 (n' - n);$$

V , der Normalstand des Instrumentes, wurde aus den absoluten Inclinationsbeobachtungen und gleichzeitigen Lesungen an den Variationsapparaten berechnet und ist in nachstehender Tabelle zusammengestellt.

Tabelle 12. Normalstand des Lamont'schen Unifilares mit Inductionsstäben.

Datum	V (400)	t	Datum	V (400)	t
8. December 1882 . . .	0·50046	2°5	15. April 1883	0·49690	0°3
9. „ „	0·50644	2°5	23. „ „	0·49588	2°5
10. Jänner 1883	0·50172	0°5	24. „ „	0·49576	2°2
14. „ „	0·49599	3°5	5. Mai „	0·49579	0°6
16. „ „	0·49638	3°9	5. „ „	0·49664	1°3
24. „ „	0·49555	3°8	11. „ „	0·49388	2°0
30. „ „	0·49722	—2°2	11. „ „	0·49494	2°6
12. Februar „	0·49348	0°8	8. Juni „	0·49656	4°0
13. „ „	0·49750	2°2			

Die grossen Lücken haben ihren Grund in der Unsicherheit des Normalstandes des Lamont'schen Horizontal-Intensimeters. Wie aber aus den in der Tabelle 12 angeführten Normalständen hervorgeht, war dieses Instrument als Variationsapparat für die programmässigen Lesungen unbrauchbar. Es wurden daher nur die gleichzeitigen Lesungen des Monats Mai reducirt und mit den Lesungen am Wild'schen Satze verglichen. Die Differenzen in den Angaben sind in der Tabelle 13 ersichtlich und bestätigen das oben ausgesprochene Urtheil über dieses Instrument.

Bei der Reduction der Mai-Beobachtungen wurde die Formel vom 2. August 1883 mit $V=0.49565$ verwendet.

Tabelle 13. Vergleich des Lamont'schen Vertical-Intensimeters mit der Lloyd'schen Wage. Mai 1883.

Einheiten der fünften Decimale C. G. S.

Tag	3 ^h a. m.	7 ^h a. m.	11 ^h a. m.	Mittag	3 ^h p. m.	7 ^h p. m.	11 ^h a. m.	Mittlere Differenz
1.	+ 52	0	- 24	- 57	+ 41	+ 48	+ 2	
2.	- 102	+ 140	+ 90	.	+ 100	- 261	+ 55	
3.	+ 86	+ 28	+ 16	+ 112	+ 24	- 25	+ 3	
4.	+ 107	+ 51	+ 25	+ 27	+ 44	+ 48	- 69	
5.	+ 21	+ 14	- 126	- 161	- 31	- 143	- 160	
6.	- 13	- 77	- 89	- 52	- 79	- 31	- 44	
7.	- 51	- 44	+ 35	- 30	+ 142	+ 45	+ 23	
8.	+ 12	- 18	+ 9	- 32	+ 21	+ 5	- 81	
9.	+ 9	+ 112	+ 37	+ 42	+ 56	+ 47	+ 26	
10.	+ 12	+ 26	- 30	- 75	- 5	+ 24	+ 85	
11.	+ 103	+ 84	+ 22	+ 2	+ 82	+ 196	+ 111	
12.	- 143	+ 89	+ 23	- 19	+ 87	+ 136	+ 83	
13.	+ 98	+ 98	+ 30	- 28	+ 215	+ 110	+ 144	
14.	+ 39	+ 73	- 38	- 54	+ 35	+ 81	+ 70	
15.	+ 86	+ 99	+ 143	+ 62	+ 297	+ 319	+ 215	
16.	+ 173	+ 162	+ 146	+ 190	- 502	+ 162	+ 123	
17.	+ 105	+ 85	+ 22	+ 57	+ 185	- 82	+ 106	
18.	+ 122	+ 71	+ 41	+ 31	+ 104	+ 93	+ 75	
19.	+ 95	+ 108	+ 142	+ 150	+ 387	+ 119	+ 107	
20.	+ 111	+ 175	+ 91	+ 96	+ 179	- 156	+ 137	
21.	+ 325	- 18	+ 173	+ 259	+ 245	- 745	- 18	
22.	+ 135	+ 38	+ 122	+ 60	+ 126	- 70	- 1730	
23.	+ 59	+ 43	- 6	.	+ 66	+ 31	- 55	
24.	+ 28	+ 39	+ 41	+ 48	+ 188	+ 55	- 99	
25.	+ 192	+ 141	+ 108	.	+ 230	+ 192	- 108	
26.	+ 128	+ 164	+ 146	.	+ 256	- 112	+ 155	
27.	+ 177	+ 200	+ 164	+ 151	+ 116	+ 294	+ 153	
28.	+ 450	+ 207	+ 184	+ 256	+ 534	+ 153	- 22	
29.	+ 145	+ 88	+ 76	.	+ 307	+ 135	+ 97	
30.	+ 145	+ 114	+ 111	+ 45	+ 168	+ 173	+ 106	
31.	+ 152	+ 358	+ 76	.	+ 245	+ 259	+ 201	
Mittlere Differenz	112	96	77	84	164	140	144	119
Differenz der Mittel	+ 89	+ 102	+ 56	+ 53	+ 157	+ 36	- 10	

Von der Ermittlung eines Temperaturcoefficienten musste unter diesen Umständen selbstverständlich abgesehen werden. Von den streng gleichzeitigen Mittagslesungen bei Störungen wurden, wie bei den anderen Instrumenten, die Angaben reducirt und Nachstehendes gefunden.

Das Lamont'sche Vertical-Intensimeter zeigte von 79 Vergleichslesungen mit der Lloyd'schen Wage, wobei die Differenzen zwischen je zwei aufeinanderfolgenden Lesungen verglichen werden, 58mal grössere Differenzen im Mittel um 37 Einheiten (10^{-5} C. G. S.), 1mal kleinere Differenzen, 2mal gleiche Differenzen und 18mal Differenzen mit dem entgegengesetzten Zeichen, also zum Beispiel eine Abnahme der Vertical-Intensität, wenn an der Lloyd'schen Wage eine Zunahme derselben beobachtet wurde, oder umgekehrt.

Die während dieser Zusammenstellung in Dr. Exner's Repertorium für Physik erschienene Abhandlung von Dr. W. Giese, „Kritisches über die auf arktischen Stationen für magnetische Messungen, insbesondere für Variationsbeobachtungen zu benutzenden Apparate“ beschäftigt sich eingehend mit den Mängeln der Lamont'schen Apparate und speciell mit denen des Unifilar's mit Inductionsstäben.

Terminbeobachtungen.

Die Beobachtungen wurden nach dem in der Einleitung angeführten Programme der internationalen Polarconferenz an den Wild-Edelmann'schen Variationsapparaten durchgeführt.

Termin tage. Die Lesungen, in absolute Werthe reducirt, sind in den Tabellen Seite 55 bis 94 zusammengestellt, Nordlichtanmerkungen in der Anmerkung beigegeben, und am Schlusse eines jeden Termitages sind die Tagesmittel der drei Elemente angemerkt und die Extreme herausgehoben, sowie auch einige Daten über den meteorologischen Charakter des Tages angefügt.

Der Verlauf jedes Elementes ist auch graphisch in Curven wiedergegeben, u. zw. auf den

Tafeln I—VI	Declination	$1^{\text{mm}} = 1'$.
„ VII—XII	Horizontal-Intensität	$1^{\text{mm}} = 0.00005$ C. G. S.
„ XIII—XVI	Vertical-Intensität	$1^{\text{mm}} = 0.00005$ C. G. S.

Terminstunden. Die Lesungen wurden ebenfalls am Wild-Edelmann'schen Satze gemacht und die 3 Apparate jede zwanzigste Secunde möglichst rasch nacheinander von einem Beobachter abgelesen und die von einem zweiten notirt.

Die Lesungen sind in den Tabellen Seite 95 bis 121, in absolute Werthe reducirt zusammengestellt; Nordlichtanmerkungen beigegeben.

Die Curven, welche den Verlauf der 3 Elemente während der Terminstunden wiedergeben, findet man auf den Tafeln XVII—XIX für Declination, XX—XXII für Horizontal-Intensität, XXII—XXIII für Vertical-Intensität; die Ordinatenheilung ist gleich der oberen.

Bei beiderlei Curven entspricht wachsenden Ordinaten eine östliche Bewegung, respective Zunahme der Intensität.

Stündliche Beobachtungen.

Die stündlichen Beobachtungen wurden alle nach Göttinger Zeit gemacht, mussten aber nach dem Beschlusse der Wiener Polarconferenz nach mittlerer Ortszeit publicirt werden, wesshalb ober jeder Tabelle die Zeitcorrection — $13^{\text{m}} 6$ steht, welche bedeutet, dass die z. B. um 1^{h} eingetragene Lesung eigentlich um $12^{\text{h}} 46^{\text{m}} 4$ mittlerer Ortszeit beobachtet wurde.

Die stündlichen Beobachtungen beschränkten sich jedoch nicht auf eine einzige Lesung bei jedem Apparate, sondern wurden dem Vorschlage Weyprecht's gemäss vervielfältigt und zwar vom 7. September bis 14. April in folgender Weise durchgeführt:

Bifilar	$x^{\text{h}} 58^{\text{m}} 0^{\text{s}}$	$59^{\text{m}} 0^{\text{s}}$.	$61^{\text{m}} 0^{\text{s}}$	$62^{\text{m}} 0^{\text{s}}$
Declination	20	20	$60^{\text{m}} 40^{\text{s}}$	40	.
Lloyd'sche Wage	40	40	20	20	.

so dass sich das Mittel auf $60^{\text{m}} 0^{\text{s}}$ bezieht.

Vom 15. April an bis zum Ende der Beobachtungsreihe wurden um $x^{\text{h}} 58^{\text{m}}$, 59^{m} , 60^{m} , 61^{m} , 62^{m} immer zur vollen Minute, alle 3 Apparate in der Reihenfolge, Bifilar, Declinatorium, Lloyd'sche Wage, möglichst rasch nacheinander abgelesen.

Beim Lamont'schen Satze wurde vom Anfange an der zweite Ablesungsmodus eingehalten, da die Apparate von einander abhängig sind und eigentlich streng gleichzeitige Lesungen erfordern. Liegt zwischen der Ablesung des einen Instrumentes und der des nächsten ein Zeitintervall von 10 bis 20 Secunden, so kann diese Beobachtung bei der in höheren Breiten gewöhnlich herrschenden Unruhe unmöglich richtige Resultate

geben, da man in diesem Falle zur Reduction der Lesungen des Vertical-Intensimeters eine Correction anbringen würde, die sich aus der um 10 bis 20 Secunden früher gemachten Beobachtung des Horizontal-Intensimeters und der um 20 bis 40 Secunden verfrühten Declinationsbeobachtung ergibt.

Die an dem Wild-Edelmann'schen Satze gemachten Beobachtungen wurden in den Tabellen Seite 122 bis 159 zusammengestellt, wo also jede Beobachtung als das Mittel aus vier resp. fünf in der vorerwähnten Weise notirten Lesungen zu betrachten ist.

Beim Bifilare kamen so grosse Ausschläge des Magnetes vor, dass derselbe seitlich am Dämpfer anlag oder später nach Erweiterung der Dämpfer die Scalenlänge nicht mehr genügte, was mit dem Ausdrucke „ausser der Scala“ bezeichnet wurde; in solchen Fällen wurde in die Tabelle für diese Beobachtungen ein Werth der Horizontal-Intensität eingetragen, der vor dem Ausfeilen der Dämpfer den äussersten möglichen Lesungen entsprach, nach dem Ausfeilen der Dämpfer, wenn das Bild ausser der Scala war, dem Ende der getheilten Scala zukam.

Diese Werthe sind als interpolirt bezeichnet und durch Italique-Lettern kenntlich gemacht: Mittel, welche aus einer Reihe hervorgehen, in welcher mehrere interpolirte Beobachtungen vorkommen, sind in derselben Weise gekennzeichnet.

In den Tabellen der stündlichen Beobachtungen sind manchen Lesungen Zeichen beigelegt, welche das Verhalten des Magnetes während der Beobachtung charakterisiren sollen, u. zw.:

- z* ruhig,
- ↑* stetig ansteigend,
- ↓* stetig abnehmend,
- ‡* stufenweise ansteigend,
- ‡* stufenweise abnehmend,
- ‡* ansteigend mit Schwingungen,
- ‡* abnehmend mit Schwingungen.

Diese Zeichen wurden gelegentlich der Polarconferenz in Wien vereinbart, also nach Anstellung der Beobachtungen. Da solche nachträgliche Bestimmungen schwer durchzuführen sind, konnten nur jenen Beobachtungen Zeichen beigegeben werden, bei welchen Anmerkungen in den Beobachtungsbüchern dies ermöglichen, und wurde daher von einer weiteren Zusammenstellung ganz abgesehen.

Berechnung der Perioden.

Zur Berechnung der Periode der erdmagnetischen Elemente wurden die stündlichen Beobachtungen verwendet. Da die Beobachtungen kein ganzes Jahr umfassen, so wurden zur Erlangung der täglichen Periode für das Jahr die Beobachtungen nach Jahreszeiten (dem Sonnenstande) gruppirt u. zw.:

November, December, Jänner und Februar als Winter,

März, April, September und October als Äquinoctien,

Mai, Juni, Juli (August fehlt) als Sommer,

und jeder Gruppe das gleiche Gewicht gegeben.

Dieser Vorgang wurde sowohl bei der Berechnung der täglichen Periode aus allen stündlichen Beobachtungen als auch bei der Berechnung der täglichen Periode aus den ausgewählten ungestörten Tagen eingehalten.

Es werden in der Folge zur Bezeichnung der Jahresabschnitte die Ausdrücke Winter, Äquinoctien und Sommer gebraucht werden und sind stets in der oben angeführten Bedeutung zu verstehen.

Es wurde auch der Versuch gemacht, eine genäherte jährliche Periode der beobachteten Elemente aus dem vorliegenden Materiale zu berechnen. Um zu diesem Zwecke die säculare Änderung zu gewinnen, wurden die Monatsmittel der Beobachtungsreihe vorangegangenen und nachfolgenden Monats August durch graphische Interpolation bestimmt und aus der Differenz beider die jährliche Zu- oder Abnahme des betref-

fenden Elementes gefunden. Die Eliminirung der säcularen Änderung geschah dann nach der bekannten Lamont'schen Methode mit dem Mittel des Februar als Stützpunkt.

Aus dem Gesagten und der kurzen Beobachtungsreihe geht hervor, dass die auf diese Weise gewonnenen Resultate für die jährliche und die säculare Änderung keinen Anspruch auf Genauigkeit machen können.

Declination.

Die tägliche Periode der Declination, aus allen stündlichen Beobachtungen berechnet, zeigt folgende Wendepunkte. (Tafel XXIV¹) Tabelle 14, Seite 43.

	Östliches Maxim.	Westliches Maxim.
Winter	4—5 ^h a. m.	6 ^h p. m.
Äquinoctien	4—5 ^h „ „	7—8 ^h „ „
Sommer	4 ^h „ „	8 ^h „ „
Jahr	4—5 ^h „ „	7—8 ^h „ „

Unzweifelhaft haben die Störungen einen überwiegenden Einfluss auf diese Wendepunkte.

Die im sechsten Hefte der Mittheilungen der internationalen Polarconferenz veröffentlichte tägliche Periode weicht von der in der Tabelle 14 enthaltenen deshalb ab, weil bei der Bildung der ersteren die Beobachtungstage des August mit vollem Gewichte eines Monats eingerechnet sind, während die hier angeführte aus den Jahresstundenmitteln aus den drei Monatsgruppen berechnet ist.

Bezüglich der täglichen Schwankung gibt die folgende Tabelle Aufschluss.

Tägliche Schwankungen der Declination.

	September	October	November	December	Jänner	Februar	März	April	Mal	Juni	Juli	Winter	Äquinoctien	Sommer	Jahr
periodisch .	32'2	34'1	44'6	22'1	18'3	35'6	37'2	39'6	39'6	40'8	43'4	26'4	34'0	41'2	32'8
aperiodisch .	59'7	64'8	125'8	74'8	46'2	81'3	77'9	80'2	70'3	82'1	89'7	82'0	70'7	80'5	77'7
mittl. Ordinate	8'4	8'5	11'3	5'0	4'0	7'7	9'3	9'6	10'0	11'7	11'9	6'9	8'9	10'9	8'8

Die mittleren Ordinaten und die periodischen Amplituden zeigen mit Ausnahme derjenigen des November das gleiche Verhalten wie in mittleren Breiten, bei den aperiodischen Amplituden kommt aber schon die durch Störungen verursachte Unregelmässigkeit zur Geltung.

Betrachten wir dagegen die aus den ausgewählten ungestörten Tagen berechnete tägliche Periode, so ergibt sich eine Annäherung an den täglichen Verlauf der Declination in den mittleren Breiten.

In der Tabelle 15, Seite 43 sind die Ordinaten eingetragen und zwar bedeutet (+) eine östliche, (—) eine westliche Abweichung vom Mittel, Tafel XXIV.

Die Hauptwendepunkte sind:

	Ost-Maximum		West-Maximum	
	Haupt-Wendepunkt	Secundär-Wendepunkt	Haupt-Wendepunkt	Secundär-Wendepunkt
Winter	4 ^h a. m.	0—7 ^h p. m.	1 ^h p. m.	9—10 ^h p. m.
Äquinoctien	4	0—7	1—2	8
Sommer	4	0—7	1—2	9
Jahr	4	0—7	1—2	8—9

¹ In der Curve „Declination Jahr“ aller stündlichen Beobachtungen ist die Ordinate von 11^h p. m. verkehrt aufgetragen, sie sollte —1'1 eingezeichnet sein.

Die Amplituden und mittleren Ordinaten zeigen dasselbe Verhalten wie in mittleren Breiten, und das Product aus der Amplitude im Sommer mit dem Cosinus der mittleren Inclination $a \cos J = 4.35$, welche Zahl nach J. Broun annähernd auch in den mittleren Breiten herauskommt.

Die in der Tabelle 15, Seite 43 enthaltene halbjährige Ungleichheit wurde auf die bekannte Weise als Differenzcurve aus der Jahrescurve und der Curve der beiden Halbjahre (Winter und Sommer) gebildet.

Die Bestimmung der jährlichen Periode der Declination ist aus einem elf Monate umfassenden Beobachtungsmateriale von sehr zweifelhaftem Werthe. Aus den Monatsmitteln ergibt sich nach Eliminirung der säcularen Änderung mit einer jährlichen Abnahme der westlichen Declination um $12'0$, ein ausgesprochenes Minimum im November, der weitere Verlauf wird durch das niedere Mittel des Monates März gestört.

Horizontal-Intensität.

Hier wollen wir auch zuerst die tägliche Periode betrachten, die sich aus allen stündlichen Beobachtungen ergibt.

Die Hauptwendepunkte sind aus der Tabelle 14, Seite 43, und Tafel XXIV zu entnehmen:

	Maximum	Minimum
Winter	1—2 ^h p. m.	0—1 ^h a. m.
Äquinoctien	3 ^h " "	4 ^h " "
Sommer	4 ^h " "	3 ^h " "
Jahr	3—4 ^h " "	3 ^h " "

Die täglichen Schwankungen sind nachstehend verzeichnet. Die periodischen Amplituden weisen eine ziemlich regelmässige Zunahme vom Winter gegen den Sommer auf.

Tägliche Schwankungen der Horizontal-Intensität.

	Sept.	Oct.	Nov.	Dec.	Jänn.	Febr.	März	April	Mai	Juni	Juli
periodisch .	180	201	146	143	118	146	196	153	204	249	260
aperiodisch	352	478	556	380	331	429	498	390	399	464	518

Die aus den ungestörten Tagen berechnete tägliche Periode hat nach Tabelle 15, Seite 43 und Tafel XXIV folgende Wendepunkte:

	Maximum	Minimum
Winter	5 ^h p. m.	11—12 ^h p. m.
Äquinoctien	4 ^h " "	3—4 ^h a. m.
Sommer	5—6 ^h " "	4—5 ^h " "
Jahr	5 ^h " "	3 ^h " "

Stellt man die Monatsmittel zusammen, so weisen sie ein Maximum Ende Mai und Jänner, ein Minimum im November und ein zweites im März auf. Eine säculare Änderung ist nicht ausgesprochen, doch scheint die Horizontal-Intensität im Zunehmen begriffen zu sein.

Vertical-Intensität.

Die tägliche Periode der Vertical-Intensität, aus allen stündlichen Beobachtungen berechnet, weist einen ganz eigenthümlichen Gang auf und zeigt nach Tabelle 14 und Tafel XXV folgende Wendepunkte:

	Maximum		Minimum	
	Haupt-Wendepunkt	Secundär-Wendepunkt	Haupt-Wendepunkt	Secundär-Wendepunkt
Winter	1—2 ^h a. m.	10 ^h a. m.	6—7 ^h p. m.	7—8 ^h a. m.
Äquinoctien	1	10—11	5—6	7—8
Sommer	2	11—12	6	7
Jahr	1—2	10—11	6	7—8

Die täglichen Schwankungen sind nachfolgend zusammengestellt:

Tägliche Schwankungen der Vertical-Intensität.

	Sept.	Oct.	Nov.	Dec.	Jänn.	Febr.	März	April	Mai	Juni	Juli
periodisch .	77	112	158	90	99	137	132	116	124	164	177
aperiodisch	221	220	367	239	175	274	287	238	217	270	321

Die tägliche Periode der Vertical-Intensität aus den ungestörten Tagen berechnet zeigt die Wendepunkte:

	Maximum		Minimum	
	Haupt-Wendepunkt	Secundär-Wendepunkt	Haupt-Wendepunkt	Secundär-Wendepunkt
Winter	2 ^h p. m.	1—2 ^h a. m.	8—9 ^h p. m.	4—5 ^h a. m.
Äquinoctien	2	1	8—9	6
Sommer	1—2	1	7—8	6—7
Jahr	2	1	8	5—6

Aus der Betrachtung der Monatsmittel ergibt sich eine entschiedene Abnahme der Vertical-Intensität; setzt man diese jährliche Abnahme mit 154 Einheiten der fünften Decimale C. G. S. an und eliminirt diese säculare Änderung, so zeigt sich eine jährliche Periode der Vertical-Intensität, welche ein Maximum im November und ein Minimum Anfangs Februar aufweist.

Total-Intensität.

Der tägliche Verlauf derselben ist ganz ähnlich dem der Vertical-Intensität, die graphische Darstellung ist auf Tafel XXV zu finden.

Auch die täglichen Schwankungen sind naturgemäss mit denen der Vertical-Intensität in enger Beziehung.

Tägliche periodische Schwankung:

Sept.	Oct.	Nov.	Dec.	Jän.	Febr.	März	April	Mai	Juni	Juli	Jahr
66	87	133	81	97	125	112	103	97	127	136	98

Die tägliche Periode der Total-Intensität, aus den ungestörten Tagen berechnet, ist der folgenden Tabelle 15, Seite 43 zu entnehmen und schliesst sich auch dem Verlaufe der Vertical-Intensität an.

In der Tabelle 22, Seite 160 sind die Tagesmittel der Total-Intensität zusammengestellt; sie wurden aus den Tagesmitteln der Horizontal- und Vertical-Intensität nach folgender Formel berechnet:

$$dK = \frac{H}{\sqrt{V^2 + H^2}} dH + \frac{V}{\sqrt{V^2 + H^2}} dV$$

wo die Factoren von dH und dV mit dem Jahresmittel von H und V berechnet für alle Monate mit genügender Genauigkeit anwendbar sind,

$$dK = 0.1902 dH + 0.9817 dV.$$

Mit Hilfe dieser Formeln wurde auch die tägliche Periode berechnet.

Aus dem Monatsmittel lässt sich eine ausgesprochene jährliche Abnahme erkennen; bringt man dieselbe mit 144 Einheiten der fünften Decimale C. G. S. in Rechnung und eliminirt damit die säculare Änderung, so zeigen die so gebildeten Monatsmittel ein Hauptmaximum Anfangs October, ein Hauptminimum im Februar, ein secundäres Maximum im April und ein secundäres Minimum Anfangs Juni.

Inclination.

Die tägliche Periode der Inclination steht mit jener der Horizontal-Intensität, wie es bei der grossen Inclination zu erwarten ist, in engstem Zusammenhange und zeigt dieselben Wendepunkte nur fällt selbstverständlich auf das Maximum der Horizontal-Intensität ein Minimum der Inclination und umgekehrt.

Die täglichen Schwankungen in den einzelnen Monaten sind nachstehend verzeichnet:

	Sept.	Oct.	Nov.	Dec.	Jän.	Febr.	März
Periodische Amplitude	12'7	13'8	11'1	10'0	8'5	11'0	14'6
	April	Mai	Juni	Juli	Jahr		
	12'0	14'2	18'0	20'5	11'9		

Die Tagesmittel, Tabelle 23, Seite 160 wurden aus der Horizontal- und Vertical-Intensität nach folgender Formel berechnet:

$$dJ = \frac{\cos^2 J}{H \sin I'} dV - \frac{\cos^2 J}{H^2 \sin I'} dH$$

Die Factoren von dV und dH wurden mit den Jahresmitteln von H und V berechnet, da sich ergab, dass die Schwankungen in den Monatsmitteln nur kleine Änderungen in den daraus berechneten Factoren von dH und dV hervorbringen, welche auf die zu berechnenden Inclinationsvariationen keinen Einfluss haben, der in Rechnung zu ziehen wäre.

Die so berechneten Factoren, in die Formel eingesetzt, geben:

$$dJ = 1276 dV + 6589 dH.$$

Diese Formel wurde auch bei der Berechnung der täglichen Periode angewendet. Die aus den ungestörten Tagen berechnete tägliche Periode hat mit jener der Horizontal-Intensität gleiche Wendepunkte mit entgegengesetzten Extremen.

Die Monatsmittel der Inclination zeigen eine Abnahme der Inclination an; setzt man dieselbe für ein Jahr gleich 1'2 und eliminirt diese säculare Änderung aus den Monatsmitteln, so lässt sich eine jährliche Periode erkennen, welche ein Maximum im November, ein kleineres im März und ein Minimum Ende Mai und ein secundäres Minimum Ende Jänner zeigt.

Tabelle 14. Die tägliche Periode in Differenzen gegen das Mittel, aus allen stündlichen Beobachtungen berechnet. Bei der Declination + Bewegung nach Ost, — nach West; bei den übrigen Elementen + Zunahme, — Abnahme. Minuten und Einheiten der fünften Decimale C. G. S.

Stunde	Declination				Horizontal-Intensität				Vertical-Intensität				Total-Intensität				Inclination				Stunde
	Wint.	Äqu.	Som.	Jahr	Wint.	Äqu.	Som.	Jahr	Wint.	Äqu.	Som.	Jahr	Wint.	Äqu.	Som.	Jahr	Wint.	Äqu.	Som.	Jahr	
1	3.4	8.3	8.3	6.6	-54	-40	-75	-57	61	56	78	65	50	49	62	54	4.4	3.4	6.0	4.6	1
2	8.1	11.2	12.3	10.5	-54	-51	-86	-64	57	50	88	65	46	40	70	52	4.3	4.0	6.9	5.0	2
3	12.1	15.8	17.9	15.2	-42	-71	-106	-74	44	51	74	56	35	37	53	42	3.4	5.4	8.0	5.6	3
4	12.1	17.7	21.1	16.9	-40	-73	-93	-69	38	30	44	37	30	16	23	23	3.2	5.1	6.7	5.0	4
5	13.2	17.2	19.9	17.0	-31	-63	-85	-60	33	10	15	16	16	-2	-2	4	2.3	4.3	5.8	4.1	5
6	9.1	13.4	18.7	13.7	0	-47	-63	-37	3	-14	-9	-7	3	-22	-21	-13	0.1	3.0	4.1	2.4	6
7	7.0	7.8	13.3	9.3	16	-22	-37	-15	-11	-25	-15	-17	6	-29	-23	-19	-1.1	1.1	2.3	0.7	7
8	5.6	5.1	9.9	6.8	27	1	-28	-1	-9	-22	-9	-14	1	-20	-14	-11	-1.8	0.3	1.8	0.1	8
9	1.2	3.8	4.8	3.7	31	11	-15	8	-6	-12	-8	-9	1	-9	-10	-6	-2.1	0.9	0.9	-0.7	9
10	3.4	1.7	2.4	2.4	35	20	1	17	-1	-11	-5	-6	6	-6	-5	-1	-2.3	-1.4	0.1	-1.2	10
11	1.8	-1.2	1.0	0.5	41	35	23	32	4	-11	-2	-6	4	-4	3	1	-2.7	-2.4	-1.5	-2.2	11
Mittag	-1.4	-3.7	-2.3	-2.5	49	60	39	49	-10	-15	-3	-10	-1	-3	4	0	-3.3	-4.1	-2.6	-3.4	Mittag
1	-2.9	-6.0	-2.0	-3.7	62	60	75	65	-12	-16	-11	-13	0	-4	3	0	-4.1	-4.2	-5.0	-4.5	1
2	-4.8	-7.3	-6.8	-6.4	63	83	91	78	-25	-20	-25	-24	-13	-3	-7	-7	-4.4	-5.7	-6.6	-5.6	2
3	-5.0	-8.2	-8.8	-7.4	59	84	127	89	-33	-28	-31	-31	-21	-11	-6	-12	-4.3	-5.9	-8.7	-6.3	3
4	-7.6	-8.6	-9.1	-8.5	34	83	133	83	-38	-37	-45	-40	-31	-21	-19	-23	-2.7	-5.9	-9.5	-6.1	4
5	-8.3	-10.7	-12.7	-10.6	28	77	101	68	-41	-43	-58	-48	-34	-28	-38	-33	-2.3	-5.6	-7.4	-5.1	5
6	-13.2	-13.4	-15.8	-14.2	-11	31	92	37	-48	-42	-67	-53	-49	-35	-49	-44	0.2	-2.6	-6.9	-3.1	6
7	-9.9	-15.7	-19.7	-15.2	3	-2	46	13	-45	-38	-57	-47	-45	-38	-47	-43	-0.3	-0.3	-4.3	-1.7	7
8	-10.7	-16.3	-20.1	-15.8	-30	-10	8	-11	-35	-17	-45	-36	-41	-19	-43	-34	1.7	0.4	-1.1	0.3	8
9	-10.2	-10.3	-19.0	-13.2	-49	-30	-17	-33	-11	10	-20	-7	-21	5	-24	-13	3.1	2.1	0.9	2.0	9
10	-6.7	-5.3	-10.0	-7.4	-33	-53	-21	-36	13	37	6	18	7	26	2	12	2.1	4.0	1.5	2.5	10
11	-2.3	0.9	-5.0	-1.1	-30	-44	-45	-40	35	52	41	42	29	43	31	35	2.1	3.6	3.5	3.0	11
Mitternacht	4.5	4.8	1.8	3.6	-57	-31	-64	-51	50	52	62	54	38	46	48	44	4.5	2.7	5.0	4.0	Mitternacht

Tabelle 15. Tägliche Periode in Differenzen gegen das Mittel, aus den ungestörten Tagen (Normaltagen) berechnet. Bei der Declination + Bewegung nach Ost, — nach West; bei den übrigen Elementen + Zunahme, — Abnahme. Minuten und Einheiten der fünften Decimale C. G. S.

Stunde	Declination						Horizontal-Intensität				Vertical-Intensität				Total-Intensität				Inclination				Stunde	
	Wint.	Äqu.	Som.	Wint.	Som.	Jahr	Wint.	Äqu.	Som.	Jahr	Wint.	Äqu.	Som.	Jahr	Wint.	Äqu.	Som.	Jahr	Wint.	Äqu.	Som.	Jahr		
1	2.7	4.8	5.2	3.4	5.1	4.2	0.9	-20	-16	-29	-22	-2	0	10	3	-6	-3	4	-2	1.3	1.1	2.0	1.5	1
2	4.0	6.1	9.0	4.7	8.0	6.4	1.6	-15	-23	-33	-24	-2	1	9	2	-5	-5	3	-2	1.0	1.5	2.3	1.6	2
3	4.8	6.7	12.0	5.4	10.2	7.8	2.4	-11	-27	-36	-25	4	-4	4	1	-6	-9	-3	-6	0.0	1.7	2.5	1.6	3
4	5.0	6.9	13.3	5.6	11.2	8.4	2.8	-8	-27	-38	-24	5	-8	-2	-5	-6	-13	-9	-9	0.4	1.7	2.5	1.5	4
5	4.4	6.8	13.0	5.2	10.9	8.1	2.9	-5	-25	-37	-22	5	-11	-6	-7	-6	-16	-13	-12	0.2	1.6	2.4	1.4	5
6	3.5	6.4	11.2	4.5	9.6	7.0	2.6	-3	-20	-34	-19	3	-12	-8	-8	-4	-16	-15	-12	0.2	1.1	2.2	1.2	6
7	2.3	5.4	7.5	3.3	6.8	5.1	1.8	0	-17	-29	-15	0	-11	-8	-6	0	-14	-14	-9	0.0	1.0	1.8	0.9	7
8	0.9	3.7	4.9	1.8	4.5	3.2	1.4	1	-16	-24	-13	3	-8	-6	-4	3	-11	-11	-6	0.1	1.0	1.5	0.8	8
9	-0.5	1.3	1.1	0.1	1.2	0.6	0.5	2	-17	-21	-12	6	-3	-2	0	6	-6	-6	-2	0.0	1.1	1.4	0.8	9
10	-2.0	-1.7	-2.6	-1.9	-2.3	-2.1	0.2	1	-18	-19	-12	8	3	4	5	8	0	0	3	0.0	1.2	1.4	0.9	10
11	-3.4	-4.6	-5.9	-3.8	-5.5	-4.6	0.8	0	-14	-16	-10	11	10	10	11	11	7	7	8	0.1	1.0	1.2	0.8	11
Mittag	-4.4	-6.7	-8.4	-5.2	-7.8	-6.5	1.3	1	-3	-9	-4	13	17	19	16	13	16	17	15	0.1	0.4	0.7	0.4	Mittag
1	-4.8	-7.6	-9.6	-5.7	-8.9	-7.3	1.6	4	14	5	8	16	22	26	21	17	25	27	23	-0.1	0.6	0.0	-0.2	1
2	-4.5	-7.2	-9.5	-5.4	-8.7	-7.1	1.7	10	32	24	22	17	24	28	23	19	30	33	27	-0.5	-1.8	-1.2	-1.2	2
3	-3.5	-5.8	-8.3	-4.3	-7.5	-5.9	1.6	18	47	46	37	15	22	24	20	18	31	33	27	-1.0	-2.8	-2.7	-2.2	3
4	-2.1	-4.3	-6.5	-2.8	-5.8	-4.3	1.5	24	53	63	43	10	16	13	13	15	26	25	22	-1.5	-3.3	-4.0	-2.9	4
5	-0.9	-3.1	-5.0	-1.6	-4.4	-3.0	1.4	27	49	72	49	2	7	-2	2	7	16	12	12	-1.8	-3.1	-4.7	-3.2	5
6	-0.2	-2.6	-4.1	-1.0	-3.6	-2.3	1.3	24	35	69	43	6	-3	-17	-9	1	4	-4	0	-1.7	-2.3	-4.7	-2.9	6
7	-0.1	-2.6	-4.0	-0.9	-3.5	-2.2	1.3	16	20	54	30	-14	-11	-28	-18	-11	-7	-18	-12	-1.3	-1.4	-4.0	-2.2	7
8	-0.5	-2.7	-4.5	-1.2	-3.9	-2.6	1.3	4	6	34	15	-17	-15	-28	-20	-16	-14	-21	-17	-0.5	-0.6	-2.7	-1.3	8
9	-0.9	-2.2	-4.7	-1.3	-3.9	-2.6	1.3	-8	-3	13	1	-17	-15	-25	-19	-19	-16	-22	-19	0.3	0.0	-1.2	-0.3	9
10	-0.8	-1.0	-4.1	0.8	-3.1	-2.0	1.2	-17	-7	-5	-10	-13	-11	-14	-13	-16	-12	-15	-14	0.9	0.4	0.1	0.5	10
11	-0.1	0.8	-2.1	0.2	-1.1	-0.5	0.7	-22	-10	-17	-16	-8	-6	-2	-5	-12	-8	-5	-8	1.4	0.6	1.1	1.0	11
Mttn.	1.2	3.0	1.2	1.8	1.8	1.8	0.0	-22	-13	-25	-20	-4	-2	7	0	-8	-5	-2	-4	1.4	0.9	1.7	1.3	Mttn.

Störungen.

Wie schon erwähnt, ist Unruhe der gewöhnliche Zustand, in welchem sich die Elemente des Erdmagnetismus in arktischen Gegenden befinden.

Diese beständigen Störungen, deren Intensität übrigens nicht zu jeder Tageszeit gleich ist, haben natürlich einen bedeutenden, respective überwiegenden Einfluss auf die tägliche Periode. Diesen Einfluss zu eliminiren und dadurch zu einem störungsfreien täglichen Verlauf der Elemente zu gelangen, der, sagen wir von derselben Kraft bedingt ist, welche in gemässigten Breiten die tägliche Periode der erdmagnetischen Elemente hervorbringt, dies ist das Ziel, welches Sabine, Lefroy, Van der Stock und Wild durch ihre verschiedenen Methoden der Störungsausscheidungen zu erreichen trachten.

Nachstehend wurde die Wild'sche Methode befolgt, welche darin besteht, aus den vorliegenden Beobachtungen einer Station solche Tage auszuwählen, welche ihrem Charakter nach, der aus dem täglichen Verlaufe des betreffenden Elementes beurtheilt wird, als ungestört anzusehen sind. Unter diese Tage sind auch solche aufzunehmen, bei denen nur ein oder zwei Lesungen den regelmässigen charakteristischen Verlauf stören, welche durch Interpolation ersetzt werden können.

Zur leichteren Erkenntniss des ungestörten Charakters gab Dr. Wild in einem Circulare eine Liste der Tage, welche sich in mehreren Stationen als störungsfrei erwiesen.

Aus den in Jan Mayen gesammelten Beobachtungen wurden nachstehende Tage als störungsfrei, respective als geeignet zur Ermittlung des normalen täglichen Verlaufes ausgewählt.

Bei dem Datum steht auch der Anfangsbuchstabe des Elementes, für welches der Tag als störungsfrei angenommen wurde.

D = Declination, H = Horizontal-Intensität, V = Vertical-Intensität.

Der Kürze halber werden in der Folge diese Tage Normaltage genannt werden.

Normaltage.

September . 1.D. 10.D.H. 16.V. 19.H.V. 21.D. 22.D.H.V. 24.D. 29.D.H.V. 30.D.H.V.
 October . . . 1.D.H.V. 8.H.V. 9.H. 13.D. 19.D.H.V. 20.D.H. 21.D.H.V. 23.D. 30.D.
 November . 4.H.V. 10.H.V. 11.H.V. 22.D. 23.D. 28.D. 29.V.
 December . 2.V. 6.H.V. 7.V. 8.D. 10.D. 13.H. 14.D.H.V. 15.H. 17.H. 24.H.
 Jänner . . . 3.H.V. 4.D.V. 9.D. 10.H. 11.D.V. 12.H. 13.D.V. 16.D.H. 19.H. 23.D.H. 29.D. 30.D.H.
 Februar . . 7.H. 8.D.V. 9.H.V. 10.D. 11.D.H.V. 12.D.H.V. 13.D.H. 15.H. 16.D. 18.V.
 März 6.H. 10.H. 11.H.V. 12.D. 15.D.H.V. 16.D.H.V. 17.D.H.V. 18.V. 19.D.H.V. 20.D.H.V.
 April 7.D. 10.D.H. 11.H. 12.V. 14.D.H.V. 17.D.H.V. 21.D.H.V. 22.D.V. 23.D.H.V. 28.H.
 Mai 7.D. 8.H.V. 9.H.V. 10.H. 11.D.H.V. 12.D.H. 14.D. 15.H.V. 17.V.
 Juni 4.H. 5.D.H. 10.V. 11.D.H.V. 12.H.V. 13.V. 15.D.H. 16.H. 21.D. 29.H.
 Juli 2.D. 9.D. 21.D.H. 22.D.H. 23.D.H. 28.D.V. 29.V.

Unterstrichen sind die Tage, welche im Circulare nicht genannt sind und auf Jan Mayen ruhig waren.

Unter diesen Tagen sind, wie erwähnt, auch solche, wo einzelne Lesungen ausgeschieden und interpolirt werden mussten.

Da in einzelnen Monaten nur wenige geeignete Tage zu finden waren, und das Mittel aus diesen keinen gleichmässigen Verlauf gegeben hätte, so wurden Gruppen zu vier Monaten gebildet und alle in einer solchen Gruppe gefundenen Normaltage gemittelt. Die so erhaltenen Mittel gaben einen beinahe regelmässigen Verlauf; zur Ausgleichung der in einer solchen Curve übrig gebliebenen Höcker wurde mit der Bessel'schen Formel mit vier Gliedern die Periode berechnet. Die Unterschiede zwischen den gemittelten und berechneten Perioden sind jedoch äusserst geringfügig, da die beiden Curven sich sehr gut an einander anschmiegen.

Die Gruppen der Monate sind folgendermassen gebildet:

Winter: November, December, Jänner, Februar.

Äquinocien: März, April, September, October.

Sommer: Mai, Juni, Juli (August fehlt).

Aus der so erhaltenen täglichen Periode eines jeden Elementes, die in der Tabelle 15 Seite 43 in Ordinaten gegeben ist, wurde mit Zugrundelegung des Monatsmittels aus allen stündlichen Beobachtungen die sogenannte Normalcurve construirt, welche die Basis zur Ausscheidung der Störungen bildete.

Hierin liegt eine Abweichung von der Wild'schen Methode, da Wild das aus den Normaltagen eines Monates sich ergebende Mittel als Normalmonatsmittel ansetzte. Ich weiche von diesem Vorgange aus folgenden Gründen ab:

1. Weil durch die Interpolation einzelner Lesungen unbestreitbar einer gewissen Willkür Raum gegeben wird und man eine solche interpolirte Grösse im Vereine mit anderen Lesungen zur Ermittlung einer Stunden-Ordinate noch verwenden kann, nicht aber zur Erlangung eines absoluten Mittelwerthes einbeziehen sollte.

2. Weil es nicht möglich ist zu beurtheilen, ob die ausgewählten Tage nicht durch eine länger dauernde Störung beeinflusst sind, also zum Beispiel einem mehrere Tage andauernden hohen oder tieferen Stande des betreffenden Elementes angehören, innerhalb dessen die tägliche Periode sich ganz regelmässig und ungestört zeigen kann. In einem solchen Falle würde dann das Normalmonatsmittel um einen gewissen Betrag zu gross oder zu klein sein und die von der Normalcurve gebildeten Abweichungen alle diesen Fehler enthalten.

Durch die Anwendung des gewöhnlichen Monatsmittel als Basis zur Construction der Normalcurven werden unzweifelhaft auch gewisse Störungseigenenthümlichkeiten verdeckt werden, zum Beispiel in manchen Monaten das durchschnittliche Überwiegen der Störungen nach einer Richtung etc.; doch scheint dieser Vorgang gerechtfertigter, als zum Beispiel aus drei Tagen, welche auch noch einige interpolirte (ausgeglichen) Lesungen enthalten (siehe Normaltage November, Horizontal-Intensität) ein Normalmonatsmittel zu bilden.

In nachstehender Tabelle 16 sind die Monatsmittel zusammengestellt, wie sie aus allen Tagen und bloss aus den Normaltagen hervorgehen. Die Differenz zwischen beiden ist hinzugefügt.

Tabelle 16. Vergleich der Monatsmittel aus allen Tagen mit jenen aus den Normaltagen.

	$D = 29^{\circ}+$			$H = 0.09000 + 0.00 \dots \text{C.G.S.}$			$V = 0.50000 + 0.00 \dots \text{C.G.S.}$		
	Alle Tage	Normaltage	Differenz	Alle Tage	Normaltage	Differenz	Alle Tage	Normaltage	Differenz
September . . .	57.4	56.5	-0.9	739	770	+31	395	345	-50
October	55.3	54.6	-0.7	747	774	+27	408	365	-43
November	54.1	51.2	-2.9	713	777	+64	375	367	-8
December	53.5	52.9	-0.6	735	768	+33	365	308	+3
Jänner	54.3	53.2	-1.1	751	767	+16	242	320	+78
Februar	54.9	53.5	-1.4	734	760	+26	224	242	+18
März	51.9	52.9	+1.0	735	765	+30	243	237	-6
April	52.0	51.3	-0.7	756	765	+9	282	295	+13
Mai	50.7	50.4	-0.3	704	777	+13	242	217	-25
Juni	50.1	49.2	-0.9	765	774	+9	228	226	-2
Juli	48.7	47.6	-1.1	757	757	0	226	250	+24
Mittel	53.0	52.1	-0.9	745	769	+24	294	294	0

Mit den obenerwähnten Normalcurven eines jeden Monates als Basis wurden bei jedem Elemente die Abweichungen der stündlichen Beobachtungen mit ihrem Zeichen gebildet und die Summe der Abweichungen mit Berücksichtigung der Zeichen und ohne Berücksichtigung derselben zusammengestellt. Siehe Tabellen 25 bis 27, 29—31, 33—35.

Aus diesen Tabellen ersieht man bei der Declination:

Eine grössere Störungsintensität bei den westlichen Abweichungen, deren Mittel 9'8, Maximum 19'9 beträgt, während das Mittel der östlichen Abweichungen 8'5 und deren Maximum 14'5 ist.

In Bezug auf die Häufigkeit des Auftretens müssen, da vom Mittel ausgeschieden wurde, die östlichen Abweichungen überwiegen und zwar im Verhältnisse nach Percenten 53·1 : 46·0.

Bei der Horizontal-Intensität sind die negativen Abweichungen (Verminderung der *H. I.*) um das doppelte intensiver als die positiven (Vermehrung der *H. I.*).

Negative Abweichung Mittel 93 Maxim. 117

Positive „ „ 47 „ 77.

Bezüglich der Häufigkeit ist infolge der Ausscheidungsart das verkehrte Verhältniss positive 66⁰/₀, negative 34⁰/₀.

Bei der Vertical-Intensität sind auch die Abweichungen im negativen Sinne der Kraft intensiver, doch ist der Unterschied nicht bedeutend.

Negative Abweichungen Mittel 61 Maxim. 93.

Positive „ „ 58 „ 93.

Der Häufigkeit nach herrschen die positiven Abweichungen vor, im percentuellen Verhältnisse 51 : 48.

Bezüglich der Störungs-Intensität ohne Berücksichtigung der Zeichen (Tabellen 25, 29, 33) weist jedes Element im Tage zwei Maxima auf, von welchen eines mit dem Maximum der positiven Abweichungen das zweite mit dem der negativen Abweichungen zusammenfällt.

Aus den Monatsmitteln der Abweichungen, ohne Rücksicht auf das Zeichen ergibt sich eine mittlere monatliche Abweichung:

		grösste		kleinste	Mittel
Declination	November	15'5	Jänner	5'6	Jahr 9'1
Horizontal-Intensität	„	104	„	46	„ 62
Vertical-Intensität	„	77	Mai	40	„ 55.

Ferner wurde für jede Tagesstunde der Störungscoefficient berechnet, der sich aus der algebraischen Summe sämtlicher zu der betreffenden Stunde notirten Abweichungen mit ihrem Zeichen, dividirt durch die Zahl der Beobachtungstage ergibt, oder auch als Ordinate der Differenzcurve aufzufassen ist, welche zwischen der Curve aus allen stündlichen Beobachtungen und der Normaljahrescurve liegt.

Diese Störungscoefficienten sind bei jedem Elemente graphisch in den Tafeln XXIV und XXV wiedergegeben und auch nachstehend zusammengestellt. Tabelle 17.

Tabelle 17. Störungs-Coefficienten in Minuten resp.

	1	2	3	4	5	6	7	8	9	10
Declination	+2·3	+4·2	+7·7	+8·6	+9·0	+6·6	+4·1	+3·5	+2·6	+4·5
Horizontal-Intensität	- 33	- 39	- 46	- 44	- 36	- 17	+ 1	+ 11	+ 22	+ 31
Vertical-Intensität	+ 62	+ 62	+ 57	+ 43	+ 24	+ 2	- 11	- 9	- 9	- 8

Daraus ergibt sich bei der Declination ein Überwiegen der östlichen Abweichungen von Mitternacht bis 2^h p. m. mit einem Maximum um 5^h a. m., während für den Rest des Tages 3^h p. m.—11^h p. m. westliche Abweichungen die Oberhand haben und um 8^h p. m. ein Maximum erkennen lassen. Diese beiden Maxima fallen mit den Wendepunkten der täglichen Periode zusammen.

Bei der Horizontal-Intensität herrschen von 7^h a. m. bis 5^h 40^m p. m. positive Abweichungen mit einem Maximum um 1^h p. m. vor; den Rest des Tages haben die negativen Abweichungen das Übergewicht mit einem Maximum um 3^h a. m.

Hier stimmt das negative Maximum mit dem Minimum der Horizontal-Intensität überein, während das positive Maximum zwei Stunden vor dem Maximum der täglichen Periode der Horizontal-Intensität eintritt.

Bei der Vertical-Intensität sind die positiven Abweichungen von 8^h 30^m p. m. bis 6^h 15^m a. m. überwiegend. Das Maximum fällt auf 2^h a. m. Während der übrigen Stunden herrschen negative Abweichungen vor und haben um 4^h p. m. ihr Maximum. Hier finden wir eine Übereinstimmung des positiven Maximums mit dem Maximum der täglichen Periode, das negative Maximum fällt zwei Stunden vor das Minimum der täglichen Periode.

Es ist auch aus diesem Störungscoefficienten derjenige leicht zu erhalten, der sich aus der Störungsausscheidung mit den Wild'schen Normalmonatsmitteln ergibt, man braucht nur die in der Tabelle 16 enthaltenen Differenzen der Mittel entsprechend anzubringen, also bei

der Declination — 0·9 d. h. die westl. Abweichungen vermehrend.
 Horizontal-Intensität — 24 d. h. „ negativen „ „ „
 Vertical-Intensität 0

Die Tabellen 24, 28 und 32 geben über den Störungscharakter eines jeden Tages Aufschluss; in der ersten Rubrik jedes Monats ist das Mittel der Abweichungen ohne Rücksicht auf das Zeichen, in der zweiten und dritten die Mittel der positiven und negativen Abweichungen aus der Summe der betreffenden Abweichungen, dividirt durch 24 enthalten.

Die Störungen wurden auch nach ihren Zeichen und nach der Grösse der Ausschläge in Gruppen getheilt und der Percentsatz der Häufigkeit berechnet, wie oft die Störungen von einer gewissen Intensität auftreten.

Diese Zusammenstellung für die drei Elemente ist für jede Stunde des Tages aus allen stündlichen Beobachtungen gemacht. Tabelle 18. Es ist daraus bei der Declination ein bedeutendes Überwiegen der kleinen Schwankungen, bei der Horizontal- und Vertical-Intensität hingegen ein solches der grösseren Abweichungen von 10—100 Einheiten der fünften Decimale C. G. S. ersichtlich. Eine ausgesprochene Periodicität zeigen die kleinen Schwankungen mit positiven Vorzeichen bei der Declination mit einem Maximum in den Mittagsstunden. Grössere positive, östliche Abweichungen treten häufiger in den Morgenstunden, grössere negative, westliche Abweichungen häufiger in den Abendstunden auf. Bei der Horizontal-Intensität treten grössere positive Abweichungen von 5^h a. m. bis 8^h p. m. häufiger auf, die übrigen Stunden hindurch sind negative grössere Abweichungen der Zahl nach häufiger.

Umgekehrt ist das Verhältniss bei der Vertical-Intensität, wo tagsüber negative grössere Abweichungen der Zahl nach überwiegen und die positiven grösseren Abweichungen während der Nachtstunden häufiger vorkommen.

Einheiten der fünften Decimale C. G. S.

11	Mittag	1	2	3	4	5	6	7	8	9	10	11	Mitternacht
+5·0	+3·8	+3·3	+0·6	-1·6	-4·3	-7·6	-11·7	-12·6	-12·9	-10·2	-5·0	-1·6	+2·0
+ 43	+ 52	+ 57	+ 56	+ 51	+ 34	+ 18	- 8	- 18	- 26	- 33	- 26	- 24	- 31
- 16	- 26	- 34	- 46	- 51	- 54	- 49	- 43	- 29	- 12	+ 12	+ 32	+ 48	+ 55

Eine gedrängte Zusammenstellung der procentuellen Häufigkeit der Abweichungen nach Zeichen und Gruppen geordnet enthält die Tabelle 19. Dieselbe zeigt bei der Horizontal- und Vertical-Intensität, dass die grösseren positiven Abweichungen vom Winter gegen den Sommer an Zahl abnehmen, die negativen aber zunehmen.

Wo in den Tabellen 18 und 19 die Summe der Percente positiver und negativer Abweichungen nicht 100 ausmacht, ist die Ergänzung auf 100 der Percentsatz der Häufigkeit der Abweichung Null vom Normalgange.

Declination.

Häufigkeit der Abweichungen mit positiven Zeichen (nach Ost) in Prozenten.

	1	2	3	4	5	6	7	8	9	10	11	Mittag	1	2	3	4	5	6	7	8	9	10	11	Mitternacht	Mittel
0'—5'	30.9	21.5	18.6	21.5	24.9	30.3	30.3	36.5	34.4	44.3	44.6	44.6	44.3	45.5	39.8	35.0	30.6	23.3	21.8	18.9	15.9	22.1	26.6	29.6	30.6
5—10	10.8	16.8	13.2	13.2	12.6	11.1	10.5	10.2	11.1	10.2	13.5	11.1	11.7	10.5	14.1	7.8	5.4	2.4	3.6	3.6	4.5	6.3	9.3	16.8	10.0
10—60	15.0	18.6	29.9	33.5	30.9	22.4	17.4	12.9	10.2	12.9	11.4	10.8	9.6	5.1	3.9	3.9	0.9	3.6	2.4	1.5	3.9	6.0	8.7	9.6	11.8
60—x	0.3	1.8	2.1	1.2	1.2	1.2	0.3	0.3	0.6	1.8	1.2	0.9	0.9	0.0	0.0	0.3	0.3	0.0	0.3	0.0	0.0	0.6	0.3	0.9	0.7

Häufigkeit der Abweichungen mit negativen Zeichen (nach West) in Prozenten.

0'—5'	29.0	30.0	28.4	23.6	25.5	28.4	33.2	28.1	30.0	22.7	23.6	24.2	26.9	23.9	25.1	27.2	21.8	20.4	15.6	20.4	20.1	21.5	24.5	23.6	25.0
5—10	6.3	5.7	5.4	3.9	3.9	4.2	6.0	8.1	10.5	6.0	4.2	5.1	5.1	8.4	5.7	10.2	14.4	15.3	13.2	13.2	15.9	9.9	15.6	7.8	8.5
10—100	7.2	4.8	2.4	1.8	0.6	0.9	0.9	1.8	2.7	1.5	0.9	1.5	1.2	5.1	9.9	14.7	22.4	31.1	39.2	41.3	36.8	32.1	13.2	10.5	11.8
60—x	0.0	0.3	0.0	0.3	0.0	0.0	0.0	0.0	0.0	0.0	0.0	0.0	0.0	0.3	0.9	0.6	2.4	3.6	3.6	0.9	2.1	0.9	0.6	0.0	0.7

Horizontal-Intensität.

Häufigkeit der Abweichungen mit positiven Zeichen in Prozenten.

0—10	7	7	6	4	4	2	7	10	10	11	7	6	6	5	5	8	12	10	10	11	8	5	4	4	7
10—100	43	42	40	41	46	57	55	64	68	71	69	63	55	58	53	50	51	50	48	42	40	46	48	49	52
100—x	1	1	1	1	1	1	3	2	4	7	13	20	24	23	23	17	8	2	2	1	1	2	3	1	7

Häufigkeit der Abweichungen mit negativen Zeichen in Prozenten.

0—10	8	4	5	5	4	4	6	5	7	4	6	5	5	2	4	6	7	4	4	5	6	5	5	3	5
10—100	24	26	26	30	23	22	21	13	9	6	4	4	7	9	12	15	15	23	23	26	28	24	24	27	19
100—x	16	20	22	19	22	14	6	4	2	1	1	1	3	2	3	4	6	10	12	14	17	17	16	15	10

Vertical-Intensität.

Häufigkeit der Abweichungen mit positiven Zeichen in Prozenten.

0—10	5	5	7	8	8	9	10	10	10	9	11	9	9	6	9	7	5	6	6	6	5	6	4	6	7
10—100	46	44	44	44	41	33	30	34	36	37	35	32	28	26	23	24	24	23	26	31	39	43	49	49	36
100—x	27	28	24	18	11	6	3	2	1	1	0	1	0	0	0	1	1	2	4	5	11	17	20	21	8

Häufigkeit der Abweichungen mit negativen Zeichen in Prozenten.

0—10	4	3	4	6	6	9	9	6	7	8	8	7	9	8	8	6	5	7	6	7	6	5	5	4	6
10—100	17	16	20	22	30	40	41	42	39	38	39	39	37	41	40	39	42	42	42	41	32	25	20	19	34
100—x	1	2	1	2	3	3	6	5	5	5	7	10	16	19	20	23	24	19	16	9	6	3	2	1	8

Declination.

Tabelle 19.

Häufigkeit der Abweichungen nach ihren Zeichen in Percenten.

	+ (nach Ost)				- (nach West)			
	0'—5'	5'—10'	10'—60'	60'—x'	0'—5'	5'—10'	10'—60'	60'—x'
Winter	35.5	9.7	9.9	1.0	24.4	6.7	10.7	1.1
Aequinoctien	29.9	8.5	12.3	0.5	28.0	8.5	11.2	0.5
Sommer	25.4	12.3	13.7	0.5	22.2	10.8	14.1	0.4

Horizontal-Intensität.							
Häufigkeit der Abweichungen nach ihren Zeichen in Percenten.							
	+			-			
	0—10	10—100	100—x	0—10	10—100	100—x	
Winter	6	58	6	3	15	11	
Aequinoctien	7	53	6	5	18	11	
Sommer	8	43	8	7	24	9	

Vertical-Intensität.							
Häufigkeit der Abweichungen nach ihren Zeichen in Percenten.							
	+			-			
	0—10	10—100	100—x	0—10	10—100	100—x	
Winter	6	41	8	5	29	10	
Aequinoctien	7	33	9	6	35	9	
Sommer	9	30	8	9	37	6	

Zusammenhang zwischen Polarlichtern und magnetischen Störungen.

Die magnetischen Elemente zeigten während Polarlichterscheinungen beinahe immer eine auffallende Unruhe; um den Zusammenhang zwischen Polarlichterscheinungen und gleichzeitig beobachteten Störungen ziffermässig zu untersuchen, wurden alle jene stündlichen Beobachtungen, bei welchen Polarlichterscheinungen beobachtet wurden, herausgehoben und die Abweichungen von den Normalstundenmitteln des Monats mit den zugehörigen Zeichen zusammengestellt.

Dies ergab bei der Declination aus 560 Beobachtungen:

48.4 % östliche Abweichungen im Mittel um 14.4
 50.9 „ westliche „ „ „ 15.0
 0.7 „ keine Abweichungen 0.0

Horizontal-Intensität aus 558 Beobachtungen:

43.2 % positive Abweichungen im Mittel von 39 (10⁻⁵ C.G.S.)
 56.4 „ negative „ „ „ 138 „
 0.4 „ keine Abweichung 0

Vertical-Intensität aus 558 Beobachtungen:

66.6 % positive Abweichungen im Mittel um 95 (10⁻⁵ C.G.S.)
 33.0 „ negative „ „ „ 69 „
 0.4 „ keine Abweichung 0 „

Polarlichterscheinungen waren in den Morgenstunden häufiger von östlichen, in den Abendstunden von westlichen stärkeren Störungen der Declination begleitet.

Die bei Polarlichterscheinungen beobachteten Störungen der Horizontal-Intensität waren durchgehends häufiger im abnehmenden Sinne der Kraft, also negativ und traten als solche oft sehr intensiv auf.

Bei der Vertical-Intensität herrschten der Zahl und Intensität nach die positiven Störungen bei Polarlichterscheinungen vor.

Zusammenhang zwischen magnetischen Störungen und Sonnenflecken.

Der Zusammenhang zwischen magnetischen Störungen mit der Zahl der Sonnenflecken wurde durch nachstehende Zusammenstellung untersucht. Die in der Tabelle 20 enthaltenen Zahlen sind die Gesamtsummen der Abweichungen und die mittleren Abweichungen ohne Rücksicht auf das Zeichen für alle drei Elemente; bei der Declination in Bogenminuten, bei den Horizontal- und Vertical-Intensitäten in Einheiten der fünften Decimale C. G. S.; in der letzten Rubrik sind die Relativzahlen der Sonnenflecken für den betreffenden Monat angefügt, welche Dr. R. Wolf's astronomischen Mittheilungen Heft 59 und 62 entnommen sind.

Tabelle 20. Zusammenhang zwischen magnetischen Störungen und Sonnenflecken.

M o n a t	Declination		Horizontal-Intensität		Vertical-Intensität		Relativ-Zahlen der Sonnenflecke
	Gesamtsumme	mittlere Abweichung	Gesamtsumme	mittlere Abweichung	Gesamtsumme	mittlere Abweichung	
September 1882	5163·9	7·2	.	52	.	68	57·7
October "	6282·6	8·4	47926	64	49141	66	59·2
November "	11281·1	15·5	74691	104	55434	77	84·4
December "	5206·8	7·0	42738	57	34580	46	41·8
Jänner 1883	4132·6	5·6	34327	46	47761	64	60·6
Februar "	6142·5	9·1	40880	61	43893	65	46·9
März "	6702·6	9·0	50711	68	48163	65	42·8
April "	6438·2	8·9	36677	51	32586	45	82·1
Mai "	5551·9	7·5	39642	53	30021	40	32·1
Juni "	7577·2	10·5	43139	60	35072	49	76·5
Juli "	8030·0	10·8	48720	65	49767	67	80·6

Gleichzeitige Änderung der verschiedenen Elemente bei Störungen.

Wie schon erwähnt, wurden um 1^h p. m. Göttinger Zeit, was in die Nähe des Mittags mittlerer Ortszeit fällt, an allen Variationsapparaten, bei jedem Instrumente ein Beobachter, dreizehn streng gleichzeitige Lesungen in Intervallen von 20 Secunden gemacht, um die gleichzeitigen Änderungen der drei Elemente vergleichen zu können. Von diesen Beobachtungen wurden zu diesem Zwecke jene weiterbearbeitet, während welcher Störungen herrschten. Diese Lesungen wurden auch zum Vergleiche der Angaben der Lamont-Edelmann'schen Apparate mit denen der Wild-Edelmann'schen Variationsinstrumente benützt. (Siehe Seite 29, 32 und 33.)

Aus den Lesungen am Wild-Edelmann'schen Satze wurden von den drei Elementen die gleichzeitigen Änderungen mit ihrem Zeichen zusammengestellt, indem die Differenzen zwischen zwei aufeinanderfolgenden Lesungen mit Beigabe des Zeichens gebildet wurden.

In nachstehender Tabelle sind die Resultate dieser Vergleiche zusammengestellt und zwar wird die Häufigkeit in Percenten gegeben, wie oft mit einer gewissen Änderung der Totalintensität, Declination und Inclination eine Änderung der anderen Elemente mit dem beigefügten Zeichen beobachtet wurde.

Tabelle 21. Häufigkeit der gleichzeitigen Änderungen nach Percenten.

a) bei einer Änderung der Total-Intensität

<i>dK</i>			<i>dJ</i>			<i>dH</i>			<i>dD</i>			<i>dV</i>		
+	-	0	+	-	0	+	-	0	+	-	0	+	-	0
.	114	.	32	60	8	65	30	5	30	68	2	12	83	5
122	.	.	53	39	8	43	54	3	45	48	7	78	13	9
b) bei einer Änderung der Declination														
44	28	28	41	49	10	54	41	5	123	.	.	44	37	19
36	48	16	40	52	8	55	40	5	.	164	.	38	53	9
c) bei einer Änderung der Inclination.														
32	45	23	.	152	.	98	1	1	40	57	3	16	70	14
53	30	17	122	.	.	6	93	1	41	54	5	75	16	9

Aus dieser Zusammenstellung geht hervor, dass bei einer Abnahme der Total-Intensität (114 Fälle) meist eine Abnahme der Inclination und der Vertical-Intensität dagegen eine Zunahme der Horizontal-Intensität und eine westliche Bewegung der Declinationsnadel auftrat.

Mit einer Zunahme der Total-Intensität (122 Fälle) war in der Mehrzahl der Fälle eine Zunahme der Inclination und der Vertical-Intensität und eine Abnahme der Horizontal-Intensität verbunden.

Eine östliche Bewegung der Declinationsnadel (123 Fälle) war meist von einer Zunahme der Total-Intensität begleitet, während mit einer westlichen Bewegung der Declinationsnadel (164 Fälle) eine Abnahme der Total-Intensität auftrat.

Eine Abnahme der Inclination (152 Fälle) war von einer Abnahme der Total-Intensität, der Vertical-Intensität, von einer westlichen Bewegung der Declinationsnadel und einer Zunahme der Horizontal-Intensität begleitet.

Eine Zunahme der Inclination (122 Fälle) trat gleichzeitig mit einer Zunahme der Total-Intensität und der Vertical-Intensität und einer Abnahme der Horizontal-Intensität auf.

Absolute Bestimmungen in der Umgegend der Station.

Aus der Gesteinsgattung des Bodens und der nächstliegenden Krater und Hügel liess sich nach Dr. Mohn's und unseren eigenen Untersuchungen ein localer Einfluss mit Bestimmtheit erwarten. Um über die Grösse desselben ins Klare zu kommen, wurden absolute Bestimmungen in der Umgegend vorgenommen und hiezu ein Ort gewählt, dessen Lage annehmen liess, dass der Localeinfluss wenn auch nicht aufgehoben, so doch verringert sei. Dies wäre in erster Linie ein von der Insel ein oder zwei Seemeilen entfernter Punkt am Seeise gewesen.

Die Ausführung dieser Bestimmung wäre aber zum mindesten sehr umständlich gewesen, da das Fortkommen auf dem Eise über die aufgethürmten Schollen sehr beschwerlich war und die Station nur über einen magnetischen Theodoliten verfügte, der bei einer solchen Excursion jedenfalls stark gefährdet gewesen wäre.

Es wurde daher auf der Eisdecke der zugefrorenen Nordlagune ein Pfeiler so einfrieren gelassen, dass er vom nächsten Ufer 500 Schritte entfernt war; die Tiefe des Wassers betrug an dieser Stelle 36^m. Ein zweiter Pfeiler wurde in ESE, 200 Schritte vom ersten entfernt einfrieren gelassen und lag vom nächsten Ufer auch auf 500 Schritte.

Die Bestimmungen, welche auf diesen Pfeilern von mir vorgenommen wurden, erstreckten sich auf alle drei Elemente.

Bei der Declinationsbestimmung diente die Windfahne am Blytkrater als Mire, von wo Linienschiffs-lieutenant Br. Basso mit einem astronomischen Theodolithen das Azimuth der Pfeiler durch Winkelmessung bestimmte.

Zur Bestimmung der Horizontal-Intensität wurden nur Schwingungsbeobachtungen vorgenommen und mit dem in der Station vor und nachher aus den absoluten Beobachtungen bestimmten magnetischen Momente, aus dem Producte *MH* die Horizontal-Intensität gefunden.

Bei den Inclinationsbestimmungen wurde durch Aufsuchen der senkrechten Lage der Nadel der magnetische Meridian bestimmt.

Während der Beobachtung auf der Lagune wurden in der Station die entsprechenden Variations-apparate jede zweite Minute abgelesen, so dass man aus der Zeit die zusammengehörigen Lesungen erkennen konnte.

Declination.

1. November Lagunenpfeiler I. $D = 31^{\circ}54'3$	12. März Lagunenpfeiler II. $D = 29^{\circ}21'0$
Station..... 29 54·5	Station..... 29 59·5
Differenz <u> </u> + 1°59'8	Differenz <u> </u> - 0°38'5
17. Mai Lagunenpfeiler I. $D = 31^{\circ}53'8$	
Station..... 29 58·3	
Differenz <u> </u> + 1°55'5	

Horizontal-Intensität.

14. Mai Lagunenpfeiler I. $H = 0\cdot11113$	24. April Lagunenpfeiler II. $H = 0\cdot11162$
Station..... 0·09761	Station..... 0·09750
Differenz <u> </u> + 0·01352	Differenz <u> </u> + 0·01412

Inclination.

10. Jänner Lagunenpfeiler I. $J = 77^{\circ}38'6$	12. März Lagunenpfeiler II. $J = 77^{\circ}30'2$
Station..... 79 4·0	Station..... 79 1 8
Differenz <u> </u> - 1°25'4	Differenz <u> </u> - 1°31'6
13. Mai Lagunenpfeiler I. $J = 77^{\circ}39'0$	13. Mai Lagunenpfeiler II. $J = 77^{\circ}30'8$
Station..... 79 1·3	Station..... 79 0·8
Differenz <u> </u> - 1°22'3	Differenz <u> </u> - 1°30'0

Es besteht daher auch zwischen den zwei Pfeilern ein Unterschied in der

Declination.....	von 2°36'1
Horizontal-Intensität	„ 0·00060
Inclination	„ 0° 7'0

Ausser diesen Beobachtungen wurden Declinationsbestimmungen mit einem Azimuthalcompasse Negretti & Zambra an den Ufern der Lagune in der Linie Windfahne am Blytkrater und Pfeiler II gemacht. Dieselben ergaben:

Nordöstliches Ufer.

Magnetisches Azimuth.....	73° 10'
Wahres (geographisches) Azimuth..	52 13
Declination	20° 57' West
Station	29 45 "
Differenz	— 8° 48'

Südwestliches Ufer.

Magnetisches Azimuth.....	87° 15'
Wahres Azimuth	52 13
Declination.....	35° 2' West
Station	29 50 "
Differenz	+ 5° 12'

also einen Declinationsunterschied von 14° zwischen den zwei Uferpunkten.

Es soll nun noch eine Declinations- und eine Horizontal-Intensitätsbestimmung angeführt werden, welche ich im Wilczek-Thale auf der Thalsole, etwa 80 Schritte vom magnetischen Observatorium der Station entfernt ausführte.

11. Juli	Declination Thalsole:...	34° 38' West
	Station.....	30 0 "
	Differenz	+4° 38'

11. Februar Horizontal-Intensität

Thalsole.....	0·08991 C. G. S.
Station.....	0·09812 "
Differenz	—0·00821 "

Die angeführten Bestimmungen geben ein beredtes Zeugnis für den bedeutenden und sehr verschiedenen Localeinfluss auf der Insel und lassen uns auch erkennen, dass die aus unseren Beobachtungen abgeleiteten Jahresmittel als absolute Grössen für die Kenntnis der Vertheilung der erdmagnetischen Kraft auf der Erde von keinem grossen Werthe sind.

Schlusswort.

Zum Schlusse erlaube ich mir noch auf Grund der gemachten Erfahrungen einige Worte über magnetische Instrumente für arktische Beobachtungsstationen beizufügen.

Bei der Wahl der Instrumente würde ich für absolute Beobachtungen einen handlichen magnetischen Theodolithen empfehlen; leichte Declinationsmagnete, damit ein einfacher Coconfaden zur Aufhängung genüge und grosse Torsionscorrectionen vermieden bleiben; Spiegelablesung mit geritzter Glasskala im Fernrohre; geräumiges Magnetgehäuse, um mit der Hand bequem arbeiten zu können; zwei Schwingungsmagnete für Intensitätsbestimmung zur gegenseitigen Controle.

Das Inclinorium muss von vorzüglichster Qualität sein, da sonst die Ermittlung und Controle des Normalstandes eines Variationsapparates für Vertical-Intensität bei dem grossen Einflusse der Beobachtungsfehler einer Inclinationsbestimmung zur Unmöglichkeit wird.

Bezüglich der Variationsapparate würde ich von Lamont'schen Variationsapparaten wegen der Abhängigkeit der einzelnen Instrumente von einander und den dadurch unvermeidlichen, und bei Störungen grossen Beobachtungsfehlern entschieden abrathen.

Die Wild-Edelmann'schen Instrumente mit starker Kupferdämpfung haben sich vollkommen bewährt; nur würde ich von einer Temperaturcompensation der Magnete in Hinkunft absehen, da sie meist illusorisch ist und nur das Gewicht der Magnete unnöthig vermehrt.

Auf eine Expedition sollten nur Apparate mitgenommen worden, welche früher schon vollständig aufgestellt waren und durch einige Zeit anstandslos functionirt haben, da mit ganz neuen Instrumenten bei der ersten Aufstellung immer viel Zeit verloren geht, die bei einer kurzen Beobachtungsreihe sehr werthvoll ist.

Was die Wahl der Empfindlichkeit der Variationsapparate anbelangt, würde ich unter Beibehaltung der Scalendistanz von 1719^{mm} und der Scalenlänge von 800^{mm} für den Werth eines Scalentheiles folgende Grössen empfehlen:

Declination, 1 Scalentheil = 1'

Horizontal- und Vertical-Intensität, 1 Scalentheil = 0·00005 C. G. S.

Die von der Polarconferenz vorgeschlagene Empfindlichkeit erwies sich für die Horizontal-Intensität zu gross, da bei grossen Störungen Ausschläge bis über die Länge der Scala vorkamen und gar nicht oder nur ungenau gemessen werden konnten, was bei der oben vorgeschlagenen Empfindlichkeit, wo die Hälfte der Scala mit 400 Scalentheilen 0·02000 C. G. S. gleichkommt, sich doch nicht mehr ereignen dürfte.

Die Empfindlichkeit der Vertical-Intensimeter war mit 0·0001 zu klein, da zum Beispiel der Magnet der Lloyd'schen Wage gar zu träge war und kleinere Schwingungen nicht anzeigte.

Nothwendig ist es, bei den absoluten Bestimmungen eine Genauigkeit anzustreben, welche mit der Empfindlichkeit der zu controlirenden Variationsapparate im richtigen Verhältnisse steht; so ist es zum Beispiel bei absoluten Declinationsbestimmungen überflüssig, sich bei der Berechnung mit Correctionen auf einzelne Secunden zu plagen; bei den Ablenkungsbeobachtungen zur Bestimmung der Horizontal-Intensität wird es rathlich sein, die kleinere Ablenkungsdistanz so zu wählen, dass der aufgelegte Magnet einen Ablenkungswinkel von mindestens 50° verursacht, weil sonst die Empfindlichkeit des Intensitätsvariationsapparates mit 0·00005 C. G. S. unverhältnissmässig grösser wird, als diejenige am Theodolithen.

Bei den Inclinationsbeobachtungen ist der Übelstand der bedeutenden Ungleichheit in der Empfindlichkeit zwischen dem Inclinatorium und dem Variationsapparate nicht zu beheben; da muss die Sorgfalt und Aufmerksamkeit bei der Beobachtung die mangelhafte Empfindlichkeit des Inclinatoriums zu ersetzen trachten.

Da es hoffentlich im Laufe der Jahre doch wieder zu einer internationalen Übereinkunft kommen wird, die arktischen Beobachtungsstationen wieder für ein oder zwei Jahre zu beziehen, muss ich hier noch anmerken, dass nach den bedeutenden localen Einflüssen, die auf Jan Mayen in magnetischer Beziehung vorgefunden wurden, diese Insel als Glied einer Kette von Beobachtungsstationen zur Anstellung synchronischer magnetischer Beobachtungen nicht geeignet ist, da anzunehmen ist, dass sowohl die Variationen der magnetischen Elemente als auch die Störungen in Bezug auf die Grösse durch locale Einflüsse verändert werden.

Terminbeobachtungen.

Die Azimuthe in den Nordlichtanmerkungen sind auf den astronomischen Meridian bezogen.
Bei der Declination ist das Maximum als westliches Maximum, das Minimum als östliches Maximum zu verstehen.

Termintage.

Göttinger Zeit.

Jan Mayen.

D = 25° + West.											
1. September 1882.											
Zeit	D	Zeit	D	Zeit	D	Zeit	D	Zeit	D	Zeit	D
0h 0m	4° 56' 4	4h 0m	4° 54' 5	8h 0m	4° 58' 9	12h 0m	5° 8' 0	16h 0m	5° 5' 4	20h 0m	5° 3' 7
5	4 58' 1	5	4 56' 4	5	4 56' 3	5	5 6' 9	5	5 5' 0	5	5 3' 7
10	4 56' 5	10	4 56' 4	10	4 55' 8	10	5 6' 6	10	5 5' 4	10	5 3' 4
15	4 56' 5	15	4 58' 0	15	4 58' 2	15	5 6' 8	15	5 4' 8	15	5 3' 1
20	4 55' 2	20	4 55' 6	20	4 59' 4	20	5 6' 4	20	5 4' 4	20	5 2' 3
25	4 53' 4	25	4 55' 5	25	4 58' 2	25	5 8' 6	25	5 4' 7	25	5 2' 0
30	4 50' 7	30	4 55' 8	30	4 57' 6	30	5 8' 5	30	5 4' 3	30	5 2' 4
35	4 45' 7	35	4 56' 0	35	4 56' 7	35	5 8' 5	35	5 4' 4	35	5 2' 5
40	4 40' 8	40	4 55' 5	40	4 57' 9	40	5 9' 1	40	5 4' 3	40	5 4' 0
45	4 33' 2	45	4 56' 8	45	4 56' 3	45	5 10' 3	45	5 5' 0	45	5 4' 7
50	4 50' 2	50	4 56' 4	50	4 56' 8	50	5 9' 5	50	5 5' 2	50	5 4' 7
55	4 45' 5	55	4 55' 1	55	4 57' 9	55	5 9' 9	55	5 4' 7	55	5 3' 4
1 0	4 29' 7	5 0	4 53' 9	9 0	5 2' 1	13 0	5 9' 2	17 0	5 5' 6	21 0	5 2' 5
5	4 48' 5	5	4 53' 8	5	4 54' 2	5	5 8' 6	5	5 5' 3	5	5 1' 8
10	4 49' 6	10	4 54' 2	10	4 57' 7	10	5 8' 1	10	5 4' 8	10	5 0' 5
15	4 40' 8	15	4 55' 7	15	4 58' 7	15	5 9' 6	15	5 5' 1	15	5 0' 1
20	4 46' 6	20	4 54' 7	20	4 59' 0	20	5 9' 7	20	5 4' 6	20	4 58' 9
25	4 53' 0	25	4 54' 5	25	4 59' 4	25	5 10' 1	25	5 4' 5	25	4 58' 9
30	4 56' 8	30	4 55' 1	30	5 0' 1	30	5 8' 6	30	5 5' 3	30	4 58' 9
35	4 58' 0	35	4 53' 4	35	4 59' 9	35	5 9' 2	35	5 5' 5	35	4 59' 1
40	4 56' 0	40	4 53' 5	40	4 55' 6	40	5 7' 4	40	5 5' 2	40	4 58' 8
45	4 54' 5	45	4 52' 8	45	4 56' 3	45	5 9' 8	45	5 5' 0	45	4 58' 9
50	4 52' 8	50	4 53' 2	50	4 57' 6	50	5 9' 1	50	5 4' 1	50	4 59' 5
55	4 54' 5	55	4 53' 1	55	5 0' 4	55	5 9' 7	55	5 3' 3	55	4 59' 2
2 0	4 53' 5	6 0	4 54' 0	10 0	5 0' 2	14 0	5 7' 6	18 0	5 2' 5	22 0	4 59' 7
5	4 54' 5	5	4 54' 3	5	5 0' 1	5	5 6' 9	5	5 2' 8	5	4 59' 9
10	4 56' 1	10	4 51' 5	10	4 58' 6	10	5 8' 7	10	5 2' 4	10	4 59' 8
15	4 55' 3	15	4 54' 7	15	4 59' 5	15	5 10' 6	15	5 2' 2	15	4 58' 7
20	4 54' 9	20	4 53' 8	20	5 2' 1	20	5 8' 0	20	5 1' 9	20	4 58' 9
25	4 55' 8	25	4 53' 7	25	5 3' 6	25	5 8' 1	25	5 1' 9	25	4 59' 1
30	4 56' 6	30	4 50' 1	30	5 2' 1	30	5 6' 6	30	5 2' 0	30	4 59' 0
35	4 53' 5	35	4 55' 0	35	5 3' 0	35	5 5' 5	35	5 2' 0	35	4 59' 2
40	4 54' 5	40	4 53' 5	40	5 3' 2	40	5 6' 7	40	5 2' 2	40	4 59' 7
45	4 56' 7	45	4 51' 2	45	5 0' 4	45	5 8' 2	45	5 2' 3	45	4 59' 5
50	4 55' 5	50	4 51' 7	50	5 0' 4	50	5 6' 6	50	5 3' 5	50	4 59' 9
55	4 55' 7	55	4 54' 3	55	5 0' 7	55	5 6' 6	55	5 3' 6	55	5 1' 4
3 0	4 55' 2	7 0	4 54' 5	11 0	5 2' 3	15 0	5 8' 0	19 0	5 3' 7	23 0	5 0' 5
5	4 54' 5	5	4 53' 5	5	5 3' 8	5	5 4' 8	5	5 3' 6	5	5 0' 5
10	4 56' 6	10	4 52' 9	10	5 5' 2	10	5 4' 7	10	5 3' 5	10	4 59' 8
15	4 55' 5	15	4 57' 8	15	5 4' 1	15	5 5' 1	15	5 3' 0	15	5 1' 8
20	4 54' 4	20	4 54' 5	20	5 5' 7	20	5 6' 9	20	5 2' 6	20	5 1' 5
25	4 54' 0	25	4 53' 8	25	5 6' 2	25	5 6' 3	25	5 2' 9	25	5 0' 0
30	4 55' 5	30	4 56' 0	30	5 4' 3	30	5 6' 4	30	5 2' 4	30	4 59' 4
35	4 54' 9	35	4 58' 6	35	5 3' 8	35	5 5' 6	35	5 3' 9	35	4 59' 1
40	4 54' 2	40	4 57' 9	40	5 2' 1	40	5 5' 4	40	5 4' 4	40	4 59' 2
45	4 53' 5	45	4 56' 5	45	5 3' 8	45	5 5' 4	45	5 3' 6	45	4 59' 1
50	4 52' 5	50	4 57' 8	50	5 4' 9	50	5 5' 6	50	5 3' 6	50	4 58' 9
55	4 54' 8	55	4 56' 6	55	5 6' 2	55	5 6' 3	55	5 3' 4	55	4 58' 8
8h 58m plötzliche rasche Schwingung über 10 Scalentheile.										Mittel .	5 0' 0
Heiteres Wetter. Lufttemperatur 0°2. Der Wind dreht im Laufe des Tages von N über W und S nach SE.										Max . .	5 10' 6
										Min. . .	4 29' 7

Termintage.

Göttinger Zeit.

Jan Mayen.

 $D = 25^\circ +$

West

 $H = 0.09000 + 0.00\dots$ $V = 0.49000 + 0.00\dots$ C. G. S.

15. September 1882.

Zeit	D	H	V	Anmerkungen.
0 ^h 0 ^m	5° 0' 9	754	1466	
5	5 0' 9	754	1468	
10	4 58' 9	748	1470	
15	4 59' 6	744	1467	
20	5 0' 5	750	1467	
25	5 2' 6	757	1468	
30	5 1' 2	742	1472	
35	4 59' 1	739	1471	
40	4 57' 2	739	1471	
45	4 56' 5	743	1466	
50	4 56' 7	740	1468	
55	4 53' 6	736	1473	
1 0	4 51' 5	737	1476	
5	4 48' 6	730	1484	
10	4 48' 7	719	1488	
15	4 49' 3	714	1497	
20	4 46' 6	682	1520	
25	4 46' 6	631	1546	
30	4 47' 7	592	1564	
35	4 43' 5	560	1588	
40	4 42' 3	577	1571	
45	4 48' 6	604	1571	
50	4 52' 9	554	1588	
55	4 45' 0	558	1585	
2 0	4 40' 6	584	1556	
5	4 52' 7	617	1543	
10	4 55' 8	621	1541	
15	4 50' 8	630	1531	
20	4 53' 2	652	1515	
25	4 50' 7	637	1527	
30	4 57' 6	689	1503	
35	4 54' 4	674	1510	
40	4 49' 3	687	1496	
45	4 49' 5	701	1484	
50	4 50' 0	700	1477	
55	4 56' 8	722	1472	
3 0	4 50' 2	672	1490	
5	4 55' 5	704	1473	
10	4 57' 6	730	1464	
15	4 55' 1	742	1467	
20	4 54' 4	740	1467	
25	4 50' 3	724	1459	
30	4 48' 3	716	1447	
35	4 52' 5	731	1445	
40	4 55' 4	730	1442	
45	4 51' 5	702	1447	
50	4 51' 6	702	1445	
55	4 48' 7	703	1434	
4 0	4 48' 8	720	1432	
5	4 47' 1	704	1433	
10	4 51' 5	715	1422	
15	4 48' 4	707	1423	
20	4 51' 2	718	1428	
25	4 52' 2	717	1431	
30	4 52' 7	711	1433	
35	4 51' 5	725	1434	
40	4 48' 5	698	1438	
45	4 49' 9	704	1426	
50	4 44' 4	700	1433	
55	5 6' 1	659	1450	

Polarlicht Nr. 5.

2^h 37^m Streifenförmiges Band (α), NE—SW über magnetischen Zenith.
 40 Bogenförmiger Schein von Nord nach Süd.
 42 Derselbe hellt auf. Ausserdem ein Streifen sichtbar.
 43 Das Band (α) biegt im Zenith gegen Süd ab. Der bogenförmige Schein senkt sich gegen den Südhorizont.
 53 Das Band α zertheilt sich in parallele Strahlen; es entstehen drei Bögen die sich nach Süden senken und an Lichtintensität stets abnehmen.

3^h 3^m Nur mehr ein Schein in S+47°, $h = 30^\circ$.
 4 Ein Strahl läuft längs dem Horizonte.
 5 Ein Strahl gegen den magnetischen Zenith. Bifilar Magnet sehr unruhig.
 10 Ein Bogen in S+39°, $h = 55$.
 15 Der Bogen hat sich nach S—8°, $h = 82^\circ$ verschoben.
 18 Ein Band entsteht parallel dem Bogen.
 25 Alle Erscheinungen wandern gegen Norden und werden lichtschwächer.
 32 Streifenförmiges Band in der Richtung des magnetischen Meridianes.
 37 Intensiver bogenförmiger Streifen, Mitte S+140°, $h = 72^\circ$.
 39 Passirt derselbe den Polarstern und α des grossen Bären.
 42 Ein neues Band in der Position 3^h 37^m, verharrt daselbst 7 Minuten und senkt sich verblassend gegen NW.
 57 Ein Streifenband passirt den Zenith, hellt daselbst auf und sinkt verblassend gegen Nord.
 58—4^h 0^m Ein Band bildet sich Süd, $h = 60^\circ$.

4^h 5^m passirt es bei seiner Bewegung den Zenith und verschwindet am Nordhorizonte.
 Ein neues Band von Süden aufsteigend ist weiters von den Cir.-Wolken beim Tagesgrauen nicht zu unterscheiden.
 17 steigt ein Band von S—39° auf, das den Zenith passirt und sich von den Cir.-Wolken scharf abgrenzt.
 21 Das Band steht über NW-Horizont, $h = 45^\circ$ und scheint unter den Cir.-Wolken zu sein.
 22 Auf der Höhe von 40° verblasst es bei zunehmender Tageshelle.
 35 Alle drei Magnete sehr unruhig; besonders der Bifilar-Magnet.

Die Unruhe der Magnete dauert fort.

Terminstage.

Göttinger Zeit.

Jan Mayen.

$D = 25^\circ +$ West

$H = 0.09000 + 0.00 \dots$ C. G. S.

$V = 0.49000 + 0.0 \dots$ C. G. S.

15. September 1882.

Zeit	D	H	V	Anmerkungen	Zeit	D	H	V	Anmerkungen
5 ^h 0 ^m	4° 50' 13	682	1445		10 ^h 0 ^m	5° 0' 13	780	1418	
5	4 44' 2	677	1455		5	4 58' 8	787	1426	
10	4 48' 6	651	1457		10	5 4' 1	784	1421	
15	4 34' 4	651	1456		15	5 4' 6	762	1423	
20	4 39' 4	649	1443		20	4 57' 3	756	1424	
25	4 37' 5	677	1431		25	5 5' 1	750	1423	
30	4 51' 5	698	1411		30	5 5' 5	754	1426	
35	4 50' 2	711	1402		35	5 8' 8	762	1426	
40	4 40' 0	686	1415		40	5 7' 8	773	1427	
45	4 40' 7	674	1400		45	5 5' 8	762	1434	
50	4 35' 7	623	1400		50	5 4' 6	765	1432	
55	4 41' 5	619	1380		55	5 4' 9	762	1434	
6 0	4 43' 5	624	1371		11 0	5 4' 6	733	1437	
5	4 47' 5	647	1357		5	5 2' 1	738	1441	
10	4 50' 3	653	1353		10	5 3' 4	729	1436	
15	4 50' 0	653	1347	6 ^h 15 ^m Der Bifilar-Magnet ist in Schwingungen bis zu 15 Scalentheilen.	15	5 6' 1	734	1434	
20	4 40' 7	606	1362		20	5 7' 5	751	1443	
25	4 39' 4	531	1375		25	5 6' 1	747	1432	
30	4 41' 1	525	1379		30	5 6' 9	747	1432	
35	4 34' 8	513	1389		35	5 7' 9	748	1432	
40	4 30' 7	485	1420		40	5 2' 7	745	1432	
45	4 45' 7	543	1392		45	5 6' 6	758	1427	
50	4 32' 7	553	1382		50	5 6' 5	751	1431	
55	4 45' 9	620	1369		55	5 4' 7	733	1434	
7 0	4 44' 0	607	1373		12 0	5 7' 4	733	1434	
5	4 37' 0	660	1367		5	5 7' 8	727	1434	
10	4 58' 0	707	1371		10	5 10' 4	798	1438	
15	4 52' 5	687	1375	7 ^h 15 ^m Magnet des Bifilars in weiten raschen Schwingungen.	15	5 12' 0	717	1438	
20	4 53' 1	727	1339		20	5 11' 6	727	1436	
25	4 51' 5	745	1348		25	5 11' 9	732	1437	
30	4 48' 7	718	1355		30	5 11' 6	741	1437	
35	4 47' 7	678	1366		35	5 11' 2	747	1440	
40	4 54' 1	756	1338		40	5 11' 5	754	1441	
45	4 52' 6	755	1348		45	5 10' 6	742	1442	
50	4 54' 8	755	1355		50	5 9' 5	770	1437	
55	4 55' 6	754	1359		55	5 9' 1	777	1440	
8 0	4 52' 7	762	1364		13 0	5 9' 6	791	1436	
5	4 49' 5	762	1369		5	5 12' 7	798	1447	
10	4 47' 6	722	1388		10	5 1' 1	803	1421	
15	4 45' 2	707	1391		15	5 2' 5	758	1443	
20	4 44' 5	700	1391		20	5 6' 1	764	1438	
25	4 51' 4	722	1388		25	5 9' 8	766	1440	
30	4 53' 5	743	1389		30	5 12' 3	776	1438	
35	4 51' 9	730	1385		35	5 12' 9	764	1445	
40	4 50' 8	743	1391	8 ^h 40 ^m Der Bifilarmagnet schwingt über 10 Scalentheile.	40	5 12' 4	789	1445	
45	4 49' 2	725	1395		45	5 11' 0	795	1444	
50	4 52' 5	740	1385		50	5 13' 7	801	1445	
55	4 51' 5	738	1391		55	5 9' 0	792	1455	
9 0	4 47' 5	734	1392		14 0	5 9' 6	814	1448	
5	4 49' 3	735	1394		5	5 10' 3	809	1456	
10	4 50' 8	739	1398		10	5 7' 5	812	1451	
15	4 56' 3	744	1391		15	5 7' 9	809	1447	
20	4 54' 3	750	1394		20	5 8' 6	824	1447	
25	4 50' 2	762	1394		25	5 9' 3	815	1440	
30	4 46' 0	746	1397		30	5 9' 2	795	1445	
35	4 56' 8	762	1389		35	5 10' 7	796	1441	
40	5 0' 2	784	1376		40	5 12' 1	792	1441	
45	4 51' 7	761	1402		45	5 10' 4	807	1435	
50	5 0' 1	780	1394		50	5 7' 5	809	1434	
55	5 1' 6	781	1416		55	5 7' 4	814	1432	

Termintage.

Göttinger Zeit.

Jan Mayen.

 $D = 25^\circ +$ West $H = 0.09000 + 0.00 \dots$ C. G. S. $V = 0.49000 + 0.0 \dots$ C. G. S.

15. September 1882.

Zeit	D	H	V	Anmerkungen	Zeit	D	H	V	Anmerkungen
15 ^h 0 ^m	5° 8' 4	816	1407		20 ^h 0 ^m	4° 59' 9	772	1434	
5	5 8' 2	807	1431		5	5 1' 7	768	1434	
10	5 8' 8	807	1428		10	5 1' 3	772	1432	
15	5 9' 2	800	1430		15	5 1' 9	769	1431	
20	5 10' 6	800	1426		20	5 2' 3	763	1434	
25	5 9' 8	794	1428		25	5 3' 4	760	1434	
30	5 9' 5	797	1427		30	5 4' 4	754	1434	
35	5 9' 2	797	1430		35	5 4' 9	752	1436	
40	5 9' 7	795	1430		40	5 5' 9	749	1435	
45	5 7' 8	805	1434		45	5 6' 6	749	1435	
50	5 6' 6	802	1438		50	5 6' 4	751	1436	
55	5 6' 0	817	1436		55	5 2' 9	751	1437	
16 0	5 1' 6	828	1437		21 0	5 2' 9	750	1442	
5	4 56' 7	829	1429		5	5 2' 0	752	1443	
10	4 55' 6	809	1438		10	5 2' 9	751	1442	
15	4 56' 5	817	1432		15	5 3' 4	754	1442	
20	4 58' 2	820	1423		20	5 9' 8	747	1455	
25	4 51' 4	821	1423		25	5 14' 1	651	1483	
30	5 1' 1	800	1423		30	5 0' 8	631	1459	
35	5 2' 1	806	1419		35	5 7' 5	609	1429	
40	5 3' 6	815	1418		40	5 7' 4	693	1450	
45	5 4' 2	817	1418		45	5 3' 5	665	1473	
50	5 4' 1	817	1418		50	5 5' 2	688	1474	
55	4 54' 5	807	1422		55	5 1' 8	666	1485	
17 0	5 4' 6	803	1423		22 0	5 3' 6	692	1490	
5	5 4' 6	800	1423		5	5 4' 0	690	1487	
10	5 5' 8	798	1426		10	5 6' 7	698	1478	
15	5 6' 9	799	1426		15	5 9' 1	701	1479	
20	5 5' 1	788	1431		20	5 7' 6	703	1475	
25	5 5' 3	785	1432		25	5 4' 5	707	1470	
30	5 4' 8	778	1434		30	5 1' 5	714	1468	
35	5 3' 6	770	1434		35	4 55' 8	700	1448	
40	5 3' 4	769	1436		40	4 55' 4	702	1494	
45	5 2' 9	766	1437		45	4 52' 6	715	1490	
50	5 3' 4	768	1437		50	5 15' 7	759	1477	
55	5 2' 6	769	1440		55	5 11' 8	802	1468	
18 0	5 3' 4	767	1441		23 0	5 11' 8	738	1463	
5	5 2' 8	767	1443		5	5 5' 0	764	1449	
10	5 2' 8	766	1443		10	5 17' 6	751	1434	
15	5 3' 4	768	1445		15	5 13' 4	656	1445	
20	5 3' 6	776	1442		20	5 9' 7	671	1433	
25	5 3' 9	775	1443		25	4 58' 9	652	1434	
30	5 4' 6	778	1443		30	4 58' 3	668	1423	
35	5 4' 6	779	1443		35	4 57' 9	684	1426	
40	5 4' 1	787	1443		40	5 0' 4	694	1426	
45	5 3' 8	780	1445		45	5 4' 0	712	1423	
50	5 3' 8	784	1445		50	4 59' 4	736	1423	
55	5 4' 6	792	1443		55	5 3' 9	736	1424	
19 0	5 5' 9	802	1443			4 59' 0	734	1438	Tagesmittel
5	5 6' 3	807	1443			5 17' 6	829	1588	Maximum
10	5 5' 3	803	1445			4 30' 7	485	1338	Minimum
15	5 3' 7	802	1444						
20	5 1' 5	795	1443						
25	5 1' 3	792	1441						
30	5 0' 5	788	1441						
35	4 58' 6	784	1440						
40	4 58' 3	786	1435						
45	4 59' 4	784	1434						
50	5 0' 2	780	1433						
55	5 0' 6	777	1433						

Lufttemperatur 1°6. Vormittag SE 2, Nachmittag E 3
und dicht bewölkt.

Terminstage.

Göttinger Zeit.

Jan Mayen.

$D = 25^\circ +$ West

$H = 0.09000 + 0.00 \dots C. G. S.$

$V = 0.49000 + 0.0 \dots C. G. S.$

1. October 1882.

Zeit	D	H	V	Zeit	D	H	V	Zeit	D	H	V	Zeit	D	H	V
0 ^h 0 ^m	4°50'8	751	1312	5 ^h 0 ^m	4°51'3	732	1279	10 ^h 0 ^m	4°55'1	747	1290	15 ^h 0 ^m	5° 0'7	864	1302
5	4 51'9	756	1313	5	4 52'0	736	1273	5	4 54'9	747	1281	5	5 4'2	860	1300
10	4 52'3	762	1309	10	4 50'9	727	1277	10	4 50'9	749	1281	10	5 1'9	854	1302
15	4 51'1	754	1311	15	4 50'4	719	1275	15	4 53'4	743	1282	15	5 0'4	837	1306
20	4 53'3	757	1311	20	4 48'3	713	1274	20	4 55'6	747	1282	20	5 0'9	832	1304
25	4 51'8	750	1311	25	4 48'6	708	1271	25	4 50'6	742	1283	25	5 2'0	835	1303
30	4 51'6	754	1308	30	4 47'9	704	1270	30	4 57'0	742	1285	30	5 2'3	847	1301
35	4 52'8	760	1303	35	4 46'1	702	1269	35	4 58'6	740	1285	35	5 1'9	850	1299
40	4 53'3	762	1302	40	4 46'6	706	1266	40	4 57'3	747	1285	40	5 2'2	849	1301
45	4 53'8	763	1301	45	4 46'9	707	1266	45	4 59'0	744	1285	45	5 1'7	848	1303
50	4 53'3	762	1301	50	4 42'9	698	1270	50	4 50'9	744	1286	50	5 2'7	851	1300
55	4 52'3	755	1299	55	4 42'0	697	1263	55	4 57'9	742	1286	55	5 1'5	853	1301
1 0	4 53'2	758	1297	6 0	4 45'3	711	1259	11 0	4 58'3	737	1293	16 0	5 1'8	853	1300
5	4 53'3	779	1296	5	4 45'9	710	1262	5	4 58'1	731	1293	5	5 2'0	867	1298
10	4 53'5	761	1296	10	4 47'6	718	1271	10	4 59'4	732	1294	10	5 1'6	867	1299
15	4 53'6	762	1296	15	4 47'4	719	1260	15	5 0'3	737	1294	15	4 59'3	864	1299
20	4 52'9	759	1296	20	4 49'8	732	1260	20	4 59'5	738	1294	20	4 59'6	862	1298
25	4 52'7	763	1295	25	4 50'1	723	1266	25	4 59'1	736	1295	25	4 58'9	855	1298
30	4 53'9	764	1294	30	4 49'8	734	1260	30	4 59'5	729	1299	30	4 59'1	845	1296
35	4 54'3	766	1294	35	4 51'8	742	1260	35	4 59'9	729	1299	35	4 59'6	834	1295
40	4 53'9	765	1293	40	4 50'1	740	1260	40	4 59'7	730	1299	40	5 0'4	822	1295
45	4 53'2	763	1294	45	4 49'6	743	1260	45	5 0'4	727	1300	45	5 0'6	821	1294
50	4 52'9	760	1294	50	4 49'6	744	1260	50	5 0'2	731	1300	50	5 0'5	823	1290
55	4 52'8	753	1294	55	4 51'4	749	1260	55	5 0'4	731	1299	55	5 1'4	827	1290
2 0	4 52'7	754	1295	7 0	4 52'6	748	1262	12 0	5 0'1	730	1301	17 0	5 1'6	826	1291
5	4 52'9	753	1294	5	4 51'8	755	1260	5	5 1'6	736	1298	5	5 0'4	827	1293
10	4 52'9	757	1291	10	4 52'6	753	1262	10	5 1'7	740	1299	10	4 59'6	821	1294
15	4 53'6	762	1290	15	4 52'2	755	1260	15	5 2'6	739	1298	15	4 58'6	836	1295
20	4 53'4	761	1289	20	4 51'6	759	1259	20	5 1'3	737	1299	20	4 58'3	830	1295
25	4 53'8	759	1290	25	4 52'5	760	1258	25	5 2'0	735	1298	25	4 57'6	817	1294
30	4 53'6	757	1291	30	4 53'4	762	1258	30	5 3'4	739	1296	30	4 56'1	817	1294
35	4 53'7	755	1291	35	4 52'9	760	1259	35	5 2'1	744	1295	35	4 57'4	817	1294
40	4 53'0	752	1291	40	4 52'6	754	1262	40	5 2'6	755	1293	40	4 57'2	813	1291
45	4 52'8	747	1291	45	4 45'1	764	1259	45	5 2'6	750	1294	45	4 56'6	807	1294
50	4 52'4	744	1291	50	4 52'4	766	1258	50	5 2'0	747	1295	50	4 56'7	806	1289
55	4 52'1	742	1291	55	4 52'7	765	1259	55	5 3'8	760	1296	55	4 57'2	799	1293
3 0	4 52'1	742	1291	8 0	4 51'4	764	1260	13 0	5 3'7	760	1296	18 0	4 56'5	799	1289
5	4 52'0	744	1289	5	4 53'3	769	1260	5	5 4'6	760	1295	5	4 56'9	797	1289
10	4 51'5	742	1289	10	4 48'5	767	1260	10	5 3'9	766	1294	10	4 57'1	799	1289
15	4 50'8	741	1289	15	4 50'6	762	1263	15	5 4'4	768	1293	15	4 56'2	798	1289
20	4 50'5	740	1289	20	4 54'4	768	1260	20	5 7'0	791	1288	20	4 56'4	793	1289
25	4 51'2	741	1289	25	4 52'7	759	1268	25	5 6'6	790	1291	25	4 56'1	793	1287
30	4 51'5	739	1289	30	4 51'5	762	1267	30	5 4'8	794	1291	30	4 55'8	793	1287
35	4 51'5	742	1288	35	4 49'9	761	1267	35	5 3'5	797	1293	35	4 55'9	790	1287
40	4 50'5	741	1288	40	4 52'4	760	1268	40	5 3'9	793	1290	40	4 55'7	790	1284
45	4 51'6	748	1286	45	4 51'6	754	1271	45	5 4'5	794	1296	45	4 56'8	794	1283
50	4 51'5	749	1288	50	4 47'7	753	1268	50	5 6'0	795	1296	50	4 57'1	790	1281
55	4 50'1	748	1289	55	4 52'2	754	1270	55	5 6'7	799	1297	55	4 56'6	797	1280
4 0	4 49'4	741	1290	9 0	4 46'6	762	1267	14 0	5 6'7	792	1300	19 0	4 56'8	797	1279
5	4 50'2	740	1291	5	4 56'7	754	1285	5	5 8'0	796	1299	5	4 56'6	796	1280
10	4 50'6	740	1291	10	4 51'4	754	1284	10	5 7'3	816	1297	10	4 56'1	797	1275
15	4 51'1	743	1288	15	4 52'7	745	1286	15	5 5'7	811	1300	15	4 56'1	794	1275
20	4 50'6	743	1286	20	4 50'4	757	1281	20	5 3'3	799	1304	20	4 55'1	788	1277
25	4 51'1	747	1284	25	4 52'8	755	1282	25	5 2'9	784	1296	25	4 55'6	787	1275
30	4 50'8	741	1286	30	4 52'1	754	1283	30	5 2'8	766	1297	30	4 56'1	786	1275
35	4 48'6	729	1286	35	4 53'9	755	1283	35	5 5'4	782	1301	35	4 56'0	782	1275
40	4 49'0	742	1281	40	4 53'6	754	1283	40	5 8'7	788	1296	40	4 57'6	782	1275
45	4 51'1	729	1279	45	4 54'1	753	1283	45	5 9'7	836	1294	45	4 57'8	784	1273
50	4 50'8	729	1280	50	4 54'8	754	1280	50	5 11'0	862	1294	50	4 56'7	786	1274
55	4 52'3	736	1275	55	4 54'6	751	1290	55	5 9'4	869	1296	55	4 55'8	785	1273

$D = 22^\circ +$ West

$H = 0.09000 + 0.00 \dots$ C. G. S.

$V = 0.49000 + 0.0 \dots$ C. G. S.

1. October 1882.

15. October 1882.

1. October 1882.				15. October 1882.				15. October 1882.							
Zeit	D	H	V	Zeit	D	H	V	Zeit	D	H	V	Zeit	D	H	V
20 ^h 0 ^m	4° 56' 3	784	1273	0 ^h 0 ^m	4° 51' 9	731	1486	5 ^h 0 ^m	4° 32' 8	514	1475	10 ^h 0 ^m	4° 57' 6	788	1388
5	4 56' 4	781	1273	5	4 53' 5	729	1486	5	4 42' 0	519	1404	5	4 53' 2	787	1391
10	4 56' 1	778	1273	10	4 53' 0	739	1491	10	3 57' 4	513	1403	10	5 57' 4	773	1397
15	4 56' 1	777	1274	15	4 55' 5	797	1502	15	4 14' 2	480	1379	15	4 57' 9	797	1394
20	4 55' 8	778	1273	20	4 59' 4	643	1520	20	4 9' 4	434	1450	20	4 55' 1	788	1398
25	4 55' 6	779	1273	25	5 12' 0	500	1528	25	4 51' 9	565	1394	25	4 56' 8	777	1403
30	4 56' 1	782	1272	30	4 21' 8	419	1528	30	4 29' 0	607	1373	30	5 0' 2	789	1405
35	4 56' 6	781	1269	35	4 36' 2	421	1524	35	4 31' 4	622	1371	35	5 1' 1	802	1408
40	4 56' 1	778	1269	40	4 44' 1	432	1537	40	4 35' 9	661	1370	40	5 3' 2	804	1411
45	4 58' 1	776	1268	45	4 17' 8	438	1540	45	4 50' 9	702	1382	45	5 2' 2	816	1415
50	4 58' 6	779	1268	50	5 0' 2	513	1552	50	4 44' 4	692	1408	50	5 4' 2	827	1419
55	4 57' 5	779	1270	55	5 0' 2	460	1568	55	4 48' 3	731	1395	55	5 0' 2	838	1418
21 0	4 57' 3	779	1273	1 0	4 46' 1	408	1585	6 0	4 53' 2	759	1406	11 0	5 2' 2	844	1418
5	4 57' 7	779	1273	5	4 29' 0	438	1596	5	4 49' 9	757	1413	5	4 58' 2	847	1421
10	4 57' 4	780	1275	10	4 26' 7	437	1610	10	4 58' 9	784	1421	10	5 0' 2	854	1421
15	4 57' 0	782	1275	15	4 22' 0	505	1607	15	4 49' 2	749	1422	15	4 56' 9	862	1419
20	4 58' 6	784	1275	20	4 39' 1	600	1621	20	5 1' 3	803	1415	20	4 57' 3	845	1428
25	4 57' 7	788	1274	25	4 48' 1	670	1610	25	4 52' 8	770	1427	25	4 57' 8	854	1423
30	4 58' 7	786	1275	30	4 52' 1	609	1601	30	4 48' 7	784	1418	30	4 59' 2	855	1423
35	4 56' 3	784	1275	35	4 48' 1	677	1603	35	4 36' 2	759	1413	35	5 0' 8	840	1428
40	4 57' 0	784	1275	40	4 44' 7	604	1631	40	4 33' 6	738	1417	40	5 3' 5	862	1423
45	4 56' 6	789	1276	45	4 53' 9	574	1645	45	4 31' 1	711	1416	45	5 3' 4	868	1423
50	4 56' 3	790	1276	50	4 49' 9	547	1650	50	4 46' 1	722	1403	50	4 58' 2	869	1427
55	4 57' 7	789	1277	55	4 48' 5	481	1652	55	4 44' 9	760	1394	55	4 58' 5	862	1428
22 0	4 57' 4	785	1281	2 0	4 41' 8	446	1656	7 0	4 49' 1	727	1392	12 0	4 58' 5	871	1423
5	4 57' 1	787	1280	5	4 12' 8	454	1629	5	4 49' 9	708	1397	5	4 57' 2	859	1426
10	4 56' 9	788	1276	10	4 22' 5	510	1615	10	4 49' 9	718	1390	10	4 58' 2	857	1422
15	4 56' 2	786	1281	15	4 27' 4	505	1612	15	4 51' 4	732	1380	15	4 52' 6	865	1420
20	4 56' 1	786	1283	20	4 37' 4	479	1621	20	4 55' 4	724	1382	20	4 58' 2	884	1403
25	4 55' 8	786	1282	25	4 31' 0	513	1607	25	4 49' 0	738	1371	25	4 58' 3	889	1402
30	4 56' 4	786	1285	30	4 25' 0	537	1608	30	4 51' 4	754	1368	30	4 57' 7	905	1402
35	4 55' 7	782	1285	35	4 29' 9	570	1609	35	4 48' 0	768	1369	35	4 57' 9	922	1402
40	4 56' 0	782	1285	40	4 40' 0	631	1607	40	4 47' 2	764	1370	40	4 59' 5	939	1402
45	4 55' 5	784	1284	45	4 41' 1	653	1606	45	4 47' 3	766	1371	45	5 4' 1	927	1402
50	4 55' 8	787	1282	50	4 40' 4	658	1605	50	4 48' 1	739	1377	50	4 58' 9	933	1402
55	4 55' 7	786	1282	55	4 39' 8	673	1597	55	4 46' 9	730	1377	55	5 0' 4	905	1413
23 0	4 55' 6	787	1283	3 0	4 36' 2	674	1596	8 0	4 46' 6	687	1391	13 0	4 51' 5	936	1416
5	4 55' 4	786	1280	5	4 35' 6	664	1583	5	4 51' 4	713	1383	5	4 54' 1	887	1407
10	4 55' 4	786	1280	10	4 37' 6	708	1575	10	4 57' 9	723	1385	10	4 56' 6	855	1405
15	4 54' 8	784	1280	15	4 36' 1	685	1577	15	5 5' 7	778	1382	15	4 54' 1	866	1387
20	4 54' 6	785	1277	20	4 34' 3	689	1569	20	5 0' 2	794	1382	20	4 48' 1	856	1369
25	4 55' 3	785	1276	25	4 33' 9	688	1566	25	4 52' 1	780	1380	25	4 49' 1	857	1348
30	4 55' 7	783	1276	30	4 33' 8	689	1566	30	4 49' 6	777	1359	30	5 1' 1	878	1315
35	4 55' 8	783	1276	35	4 31' 0	694	1566	35	4 46' 1	784	1357	35	5 0' 5	880	1333
40	4 55' 7	783	1276	40	4 31' 2	702	1561	40	4 46' 0	753	1361	40	4 56' 1	893	1335
45	4 55' 9	782	1275	45	4 22' 2	656	1573	45	4 48' 4	761	1355	45	4 59' 2	870	1338
50	4 56' 4	782	1275	50	4 22' 7	600	1548	50	4 48' 1	747	1350	50	4 50' 5	868	1339
55	4 54' 9	783	1276	55	4 25' 2	632	1544	55	4 50' 6	754	1344	55	4 55' 6	868	1337
Mittel	4 56' 0	771	1285	4 0	4 24' 0	607	1551	9 0	4 58' 2	764	1344	14 0	4 54' 0	896	1315
Max.	5 11' 0	869	1313	5	4 28' 9	563	1551	5	5 1' 2	798	1337	5	4 47' 3	895	1326
Min.	4 42' 0	697	1258	10	4 26' 0	603	1528	10	5 1' 0	821	1350	10	4 51' 6	912	1317
				15	4 24' 1	563	1528	15	4 58' 2	809	1346	15	4 50' 4	910	1316
				20	4 27' 5	538	1524	20	4 54' 6	793	1359	20	4 51' 1	916	1315
				25	4 13' 9	512	1510	25	4 56' 3	800	1356	25	4 55' 1	899	1319
				30	4 11' 5	515	1511	30	4 54' 7	769	1371	30	4 59' 3	885	1308
				35	4 39' 4	518	1498	35	4 55' 1	761	1361	35	4 53' 0	820	1304
				40	4 16' 2	482	1500	40	4 56' 3	729	1369	40	4 49' 5	797	1293
				45	4 21' 9	493	1504	45	4 58' 2	763	1367	45	4 57' 8	776	1282
				50	4 42' 2	513	1489	50	5 0' 6	788	1373	50	5 0' 2	793	1261
				55	3 40' 9	493	1475	55	5 2' 4	779	1383	55	4 59' 4	820	1240

Sinkender Luftdruck. Lufttemperatur 24. Vormittag leichter West mit Nebel, Nachmittag dicht bewölkt. ESE 2. Abends Nebel.

Termintage.

Göttinger Zeit.

Jan Mayen.

$D = 25^\circ +$ West				$H = 0.09000 + 0.0 \dots$ C. G. S.				$V = 0.49000 + 0.0 \dots$ C. G. S.											
15. October 1882.								1. November 1882.											
Zeit	D	H	V	Zeit	D	H	V	Zeit	D	H	V	Zeit	D	H	V				
15 ^h 0 ^m	5° 7' 8	803	1227	20 ^h 0 ^m	4° 55' 3	789	1422	0 ^h 0 ^m	4° 52' 7	671	1477	5 ^h 0 ^m	4° 45' 4	749	1422				
5	5 16' 4	864	1210	5	4 57' 2	792	1424	5	4 54' 4	659	1504	5	4 46' 4	759	1420				
10	5 32' 3	828	1246	10	4 57' 4	796	1426	10	4 53' 8	710	1498	10	4 47' 3	759	1421				
15	5 34' 3	836	1272	15	4 57' 9	804	1423	15	4 55' 6	682	1505	15	4 45' 5	707	1421				
20	5 32' 3	826	1293	20	4 57' 2	802	1424	20	5 2' 6	659	1520	20	4 49' 7	780	1419				
25	5 27' 8	864	1287	25	4 59' 8	786	1427	25	5 0' 0	651	1518	25	4 49' 6	791	1421				
30	5 25' 2	847	1283	30	5 5' 9	782	1427	30	4 50' 3	690	1515	30	4 53' 6	797	1424				
35	5 25' 0	827	1291	35	5 8' 2	789	1426	35	4 55' 6	693	1523	35	4 49' 3	796	1431				
40	5 16' 5	843	1299	40	5 4' 2	794	1423	40	4 45' 1	651	1539	40	4 46' 2	784	1432				
45	5 15' 7	832	1304	45	5 11' 7	798	1419	45	4 48' 6	682	1521	45	4 50' 0	790	1427				
50	5 21' 0	809	1311	50	5 0' 6	805	1416	50	4 47' 8	689	1518	50	4 49' 2	787	1428				
55	5 21' 0	808	1299	55	4 57' 7	818	1414	55	4 47' 9	680	1524	55	4 54' 6	782	1429				
16 0	5 20' 4	788	1317	21 0	4 59' 0	820	1414	1 0	4 46' 9	694	1522	6 0	4 40' 4	804	1423				
5	5 20' 4	785	1324	5	5 0' 5	818	1414	5	4 45' 7	706	1524	5	4 48' 1	805	1423				
10	5 17' 0	779	1328	10	5 2' 7	813	1415	10	4 47' 6	727	1510	10	4 49' 0	782	1430				
15	5 14' 1	777	1329	15	4 59' 4	814	1419	15	4 49' 7	744	1508	15	4 45' 5	765	1431				
20	5 9' 4	774	1329	20	4 58' 4	815	1419	20	4 50' 0	728	1505	20	4 45' 4	770	1427				
25	5 8' 5	767	1335	25	4 58' 1	819	1419	25	4 49' 2	714	1507	25	4 48' 3	778	1421				
30	5 11' 2	775	1338	30	4 59' 2	818	1419	30	4 47' 4	699	1500	30	4 47' 8	782	1421				
35	5 4' 6	725	1354	35	4 55' 9	807	1422	35	4 44' 3	694	1498	35	4 48' 1	791	1420				
40	5 0' 1	719	1346	40	4 54' 9	808	1421	40	4 45' 3	709	1495	40	4 48' 9	771	1422				
45	5 5' 3	749	1319	45	4 55' 1	808	1419	45	4 47' 5	719	1494	45	4 47' 9	783	1415				
50	5 5' 2	757	1314	50	4 56' 1	805	1417	50	4 45' 4	723	1498	50	4 48' 6	782	1416				
55	5 11' 4	759	1310	55	4 55' 8	804	1414	55	4 45' 3	724	1510	55	4 49' 0	781	1416				
17 0	5 8' 7	774	1306	22 0	4 56' 1	802	1415	2 0	4 46' 2	717	1518	7 0	4 50' 7	778	1414				
5	5 3' 4	802	1299	5	4 52' 3	804	1414	5	4 43' 5	708	1476	5	4 51' 3	762	1414				
10	4 57' 2	819	1300	10	4 55' 6	800	1411	10	4 46' 6	721	1474	10	4 52' 6	762	1411				
15	5 6' 3	914	1282	15	4 55' 4	794	1415	15	4 44' 6	734	1467	15	4 51' 3	759	1416				
20	5 15' 5	958	1295	20	4 58' 2	794	1415	20	4 46' 6	744	1464	20	4 49' 0	759	1421				
25	4 53' 2	923	1291	25	4 53' 9	803	1415	25	4 48' 8	755	1464	25	4 50' 1	759	1415				
30	5 37' 5	883	1308	30	4 53' 5	806	1423	30	4 49' 7	759	1451	30	4 49' 4	778	1409				
35	5 29' 9	904	1300	35	4 59' 2	796	1423	35	4 47' 6	743	1448	35	4 50' 7	770	1413				
40	5 2' 1	880	1329	40	4 55' 0	792	1424	40	4 44' 7	742	1444	40	4 56' 4	786	1402				
45	5 5' 7	863	1344	45	4 56' 9	807	1417	45	4 43' 8	749	1440	45	4 57' 6	781	1408				
50	4 56' 6	873	1338	50	4 57' 2	809	1415	50	4 41' 5	740	1445	50	4 56' 6	768	1415				
55	5 8' 3	837	1359	55	4 57' 2	800	1419	55	4 37' 8	717	1462	55	4 54' 3	779	1415				
18 0	5 9' 3	869	1337	23 0	4 57' 2	802	1418	3 0	4 40' 3	709	1476	8 0	4 52' 3	773	1420				
5	5 3' 0	878	1340	5	4 58' 1	802	1418	5	4 42' 6	717	1481	5	4 53' 6	776	1419				
10	4 57' 3	848	1353	10	4 58' 7	799	1420	10	4 45' 4	724	1479	10	4 52' 6	779	1418				
15	5 0' 5	829	1362	15	4 56' 7	799	1420	15	4 47' 8	728	1510	15	4 53' 6	786	1417				
20	4 53' 1	807	1366	20	4 57' 5	796	1421	20	4 47' 1	724	1487	20	4 53' 8	784	1421				
25	5 0' 3	810	1365	25	4 55' 6	801	1422	25	4 47' 8	732	1477	25	4 54' 9	784	1420				
30	4 59' 4	816	1363	30	4 56' 6	800	1423	30	4 43' 7	721	1462	30	4 54' 3	786	1418				
35	4 55' 4	803	1370	35	4 56' 9	803	1424	35	4 41' 8	706	1454	35	4 54' 7	786	1420				
40	4 56' 9	766	1382	40	4 56' 0	806	1423	40	4 40' 5	705	1449	40	4 55' 2	791	1421				
45	4 58' 7	784	1369	45	4 54' 2	801	1424	45	4 42' 1	718	1443	45	4 55' 6	784	1421				
50	4 58' 8	795	1368	50	4 54' 1	797	1422	50	4 47' 2	736	1418	50	4 54' 6	784	1423				
55	4 55' 1	792	1369	55	4 54' 4	797	1420	55	4 39' 9	677	1429	55	4 56' 5	781	1423				
19 0	4 56' 4	789	1377	Mittel	4 53' 0	753	1417	4 0	4 42' 7	672	1468	9 0	4 56' 4	781	1423				
5	4 56' 3	776	1384	Max.	5 37' 5	958	1656	5	4 43' 4	677	1460	5	4 58' 0	778	1423				
10	4 57' 3	790	1379	Min.	3 40' 9	408	1216	10	4 42' 0	683	1449	10	4 58' 3	774	1424				
15	4 56' 2	784	1390	Lufttemperatur 3°6. Vor- mittag steifer SE 6—7, Nach- mittag SE 5—3 abflauend mit Regen.				15	4 38' 9	689	1443	15	5 0' 9	767	1423				
20	4 54' 4	779	1393					20	4 39' 4	704	1438	20	4 39' 4	704	1438	20	5 2' 4	767	1421
25	4 58' 0	778	1397					25	4 35' 4	676	1448	25	4 35' 4	676	1448	25	4 56' 5	766	1421
30	5 3' 1	777	1403					30	4 31' 7	636	1453	30	4 31' 7	636	1453	30	4 58' 5	774	1420
35	5 2' 7	776	1411					35	4 34' 9	636	1444	35	4 34' 9	636	1444	35	4 56' 0	780	1420
40	4 59' 2	784	1411					40	4 37' 2	668	1437	40	4 37' 2	668	1437	40	4 59' 1	777	1422
45	4 57' 0	796	1413					45	4 40' 2	702	1430	45	4 40' 2	702	1430	45	4 57' 4	784	1422
50	4 56' 0	799	1415					50	4 42' 6	727	1423	50	4 42' 6	727	1423	50	4 53' 4	775	1427
55	4 56' 0	798	1417					55	4 43' 9	746	1422	55	4 43' 9	746	1422	55	4 57' 6	782	1423

Terminstage.

Göttinger Zeit.

Jan Mayen.

 $D = 25^\circ +$ West $H = 0.09000 + 0.00 \dots C. G. S.$ $V = 0.49000 + 0.0 \dots C. G. S.$

1. November 1882.

Zeit	D	H	V	Zeit	D	H	V	Zeit	D	H	V	Anmerkungen
10 ^h 0 ^m	4° 55' 6	776	1429	15 ^h 0 ^m	5° 2' 2	907	1404	20 ^h 0 ^m	5° 12' 0	762	1352	Polarlicht Nr. 27. 20 ^h 45 ^m Dunstflecke in Nord nahe dem Zenithe. Bifilar-Magnet in star- ken Schwingungen. 23 ^h 7 ^m Ein Band in SW gegen Zenith. 9 Weitere Dunstflecke in NNE. 10 Ein Dunstfleck in Nord, $h = 80^\circ$. 13 Dunstflecke über den ganzen Horizont zer- streut, wegen Bewöl- kung wenig intensiv und formlos. 16 Zwei Dunstbänder, in Nord und SW hellen auf. 25 Dunstfleck in WSW. 30 Derselbe verschwun- den. Im Norden einige sichtbar. 33 Alles verschwunden. 34 Im Norden, $h = 70-$ 80° Flecke, die gleich darauf verschwinden. 52 In SW Flecke sicht- bar. 54 verschwunden.
5	4 56' 8	782	1428	5	4 55' 9	905	1408	5	5 14' 7	758	1351	
10	4 55' 8	777	1432	10	4 55' 9	908	1406	10	5 18' 2	720	1347	
15	4 55' 6	784	1430	15	4 52' 8	905	1403	15	5 22' 1	741	1337	
20	4 54' 6	790	1428	20	4 58' 3	906	1397	20	5 12' 7	766	1327	
25	4 56' 3	791	1432	25	4 59' 6	930	1390	25	5 6' 5	790	1322	
30	4 54' 4	794	1434	30	4 56' 5	910	1397	30	5 11' 0	758	1329	
35	4 59' 3	779	1436	35	4 50' 5	909	1396	35	5 16' 7	691	1343	
40	4 58' 4	784	1438	40	4 57' 8	907	1402	40	5 24' 5	715	1349	
45	4 54' 7	790	1434	45	4 47' 6	905	1402	45	5 13' 9	738	1357	
50	4 56' 3	804	1434	50	4 59' 1	895	1393	50	5 18' 0	714	1374	
55	4 54' 6	831	1420	55	4 51' 2	902	1393	55	5 13' 7	753	1376	
11 0	4 55' 1	862	1427	16 0	4 51' 6	892	1402	21 0	5 15' 4	729	1377	
5	4 54' 7	851	1433	5	4 48' 4	911	1402	5	5 13' 7	739	1376	
10	4 57' 6	829	1442	10	4 47' 6	895	1407	10	5 14' 2	748	1391	
15	4 56' 9	823	1438	15	4 58' 6	892	1406	15	5 10' 7	752	1403	
20	4 56' 6	820	1440	20	4 57' 6	887	1410	20	5 7' 8	757	1414	
25	4 55' 4	826	1430	25	5 1' 6	887	1410	25	5 4' 7	763	1423	
30	4 54' 5	819	1441	30	5 0' 1	871	1420	30	5 4' 1	766	1428	
35	4 53' 2	829	1433	35	4 57' 6	861	1421	35	5 3' 9	782	1435	
40	4 52' 7	813	1443	40	4 53' 5	855	1428	40	5 4' 4	757	1454	
45	4 57' 6	799	1442	45	4 58' 7	865	1421	45	5 8' 7	774	1460	
50	4 57' 4	800	1438	50	5 3' 6	849	1430	50	5 9' 7	751	1464	
55	4 55' 4	778	1443	55	4 55' 9	855	1436	55	5 9' 4	754	1466	
12 0	4 55' 5	769	1444	17 0	4 58' 9	850	1433	22 0	5 10' 2	753	1462	
5	4 55' 8	772	1442	5	4 57' 2	859	1434	5	5 14' 7	755	1457	
10	4 53' 2	765	1436	10	5 3' 0	872	1432	10	4 58' 2	752	1455	
15	4 58' 4	810	1428	15	5 1' 7	868	1437	15	4 57' 6	747	1453	
20	5 0' 1	829	1432	20	5 4' 8	884	1428	20	5 6' 0	753	1453	
25	4 57' 2	838	1436	25	5 2' 8	892	1433	25	5 1' 0	754	1449	
30	5 2' 1	839	1435	30	5 0' 9	894	1421	30	5 2' 8	749	1455	
35	5 2' 1	830	1435	35	5 2' 4	894	1422	35	5 2' 6	684	1511	
40	5 1' 0	828	1435	40	4 57' 2	888	1421	40	5 2' 1	676	1502	
45	4 58' 9	810	1436	45	4 57' 7	887	1417	45	4 51' 6	581	1498	
50	5 0' 3	788	1438	50	4 50' 9	885	1413	50	4 48' 6	659	1446	
55	5 0' 1	785	1436	55	4 56' 3	877	1404	55	5 7' 0	636	1455	
13 0	4 59' 2	784	1437	18 0	4 55' 7	875	1410	23 0	5 4' 8	702	1448	
5	4 58' 2	784	1438	5	4 54' 9	852	1410	5	4 59' 4	716	1445	
10	5 0' 1	790	1434	10	4 54' 2	850	1408	10	4 54' 7	718	1445	
15	4 59' 7	787	1436	15	4 53' 3	851	1404	15	4 49' 6	718	1451	
20	5 0' 8	799	1433	20	5 0' 7	846	1400	20	4 58' 1	702	1468	
25	5 1' 2	807	1434	25	4 50' 7	868	1385	25	4 54' 9	701	1457	
30	5 1' 9	820	1434	30	4 58' 2	847	1393	30	4 57' 4	691	1459	
35	5 2' 6	822	1435	35	5 3' 6	832	1391	35	5 4' 6	667	1449	
40	5 4' 3	832	1435	40	4 59' 8	824	1392	40	5 3' 6	724	1435	
45	5 3' 1	833	1438	45	5 3' 3	821	1390	45	4 55' 8	707	1437	
50	5 1' 4	834	1442	50	5 9' 1	804	1390	50	4 51' 6	700	1457	
55	5 0' 5	823	1443	55	5 9' 9	799	1390	55	4 55' 0	707	1463	
14 0	5 1' 9	818	1445	19 0	5 8' 8	784	1384	Mittel	4 55' 6	779	1432	
5	5 0' 7	826	1445	5	5 5' 4	808	1363	Max.	5 24' 5	930	1539	
10	5 0' 1	834	1445	10	5 4' 5	805	1359	Min.	4 31' 7	636	1322	
15	4 59' 7	844	1443	15	5 4' 3	782	1373					
20	4 57' 6	863	1445	20	4 59' 6	768	1377					
25	4 57' 8	860	1445	25	5 3' 5	753	1384					
30	4 59' 4	879	1441	30	5 4' 4	752	1385					
35	4 58' 7	871	1447	35	4 59' 2	725	1400					
40	5 0' 9	893	1433	40	4 48' 7	728	1392					
45	4 53' 6	912	1429	45	4 48' 8	774	1371					
50	4 52' 9	914	1422	50	5 3' 9	758	1368					
55	4 54' 7	909	1419	55	5 7' 4	767	1360					

Luftdruck sinkt um 6.8^{mm}. Lufttemperatur -2° , steigend. Leichte Brisen von SSE bis ENE drehend. Ganz bewölkt; erst spät Abends etwas aufklarend.

Terminstage.

Göttinger Zeit.

Jan Mayen.

$D = 25^\circ +$ West

$H = 0.09000 + 0.00 \dots$ C. G. S.

$V = 0.49000 + 0.0 \dots$ C. G. S.

15. November 1882.

Zeit	D	H	V	Anmerkungen
0 ^h 0 ^m	6° 1'7	727	1303	
5	6 20'7	792	1304	
10	5 52'7	822	1276	
15	6 5'7	790	1276	
20	5 55'7	788	1272	
25	5 31'7	832	1240	
30	5 13'8	953	1243	
35	5 2'4	882	1260	
40	4 43'9	820	1275	
45	5 6'9	842	1252	
50	5 10'8	874	1229	
55	5 29'7	864	1215	
1 0	5 24'5	765	1260	
5	5 44'6	725	1275	
10	5 17'7	635	1310	
15	5 37'8	621	1304	
20	5 24'4	723	1293	
25	5 17'5	656	1357	
30	5 28'9	685	1336	
35	5 44'7	580	1361	
40	6 5'8	589	1374	
45	6 4'8	627	1359	
50	5 30'3	501	1369	
55	4 51'7	542	1391	
2 0	5 25'3	636	1379	
5	5 10'5	640	1404	
10	4 55'5	627	1432	
15	4 59'2	615	1441	
20	4 49'4	634	1427	
25	5 3'5	623	1447	
30	5 10'5	575	1478	
35	5 8'1	558	1449	
40	5 0'4	542	1455	
45	5 5'2	547	1457	
50	5 24'1	548	1461	
55	5 15'5	535	1457	
3 0	4 52'6	469	1438	
5	4 52'3	554	1384	
10	5 19'3	579	1396	
15	5 22'6	653	1380	
20	5 22'3	638	1352	
25	5 13'8	543	1363	
30	4 39'4	533	1373	
35	4 21'4	519	1394	
40	4 21'1	569	1433	
45	4 18'5	521	1464	
50	4 33'1	487	1467	
55	4 42'0	534	1423	
4 0	4 30'1	547	1406	
5	4 23'7	548	1374	
10	3 55'2	508	1361	
15	4 8'1	608	1315	
20	4 16'0	873	1228	
25	4 20'1	1033	1221	
30	3 39'7	970	1288	
35	4 16'5	1099	1275	
40	4 14'3	970	1416	
45	4 34'0	903	1461	
50	4 54'2	925	1470	
55	5 18'8	911	1501	

Polarlicht Nr. 35.

- 0^h 1^m Ein helles wallendes Band in Süden.
- 5 Helligkeit nimmt ab.
- 5-20^m Strahlenwurf über dem Süd-Horizonte, Band in Wallungen aber weniger zusammenhängend, starke Lichtbewegung; oberer Rand grün, Mitte weisslich, Unterrand roth.
- 21 Verblässend, im Westen am andauernsten.
- 22 Dunststreifen von $S + 60^\circ$ gegen Zenith.
- 25 In Süd hellt ein in Stücke gerissenes Band auf. Ein Dunstband von $S + 60^\circ$ über Zenith gegen $S - 120^\circ$.
- 30 Westlicher Theil wird lichtschwach, östlich entsteht ein Doppelband.
- 45 Lichtschwaches farbloses Band in Süden.
- 50 Ein Band SW gegen NNE; ein Band nördlich parallel zu ersterem.
- 1^h 5^m Breiter Streifen, im Zenith zweitheilig.
- 10 Der Streifen windet sich schlangenförmig im Westen.
- 13-32^m Mehrere Streifen nacheinander mit lebhafter Lichtbewegung, zertheilen sich zeitweise, winden sich an ihren Enden.
- 34 Kleine Corona, löst sich in Bänder.
- 42 Corona lebhaft gefärbt. Dauer 30 Secunden; löst sich in Bänder und Streifen.
- 50 Bänder werden intensiver.
- 55 Mehrere Streifen mit dunklem Unterrande.
- 2^h 5^m Lichtbogen in SE, $h = 50^\circ$; verschwindet nach 9 Minuten.
- 15 Dunstfleck in SW.
- 16-35^m Mit Ausnahme eines hellen kurzen Strahles bloss schwache Erscheinungen, meist Dunstbänder.
- 40 Kurz andauernde Dunstfleck in SW und Süd.
- 45 Kurz andauernde Strahlen im Osten. Bifilar-Magnet schwingt.
- 53 Band von ENE bis SSW; färbig im östlichen Theile.
- 53-3^h 20^m Schwache Erscheinungen von kurzer Dauer.
- 3^h 20^m Strahlenmantel vom magnetischen Zenith abwärts; verschwindet bald.
- 27-43^m Dunstbänder und Dunstfleck.
- 50 Band mit langen Strahlen, die gegen Zenith convergiren; lebhafte Lichtbewegung.
- Hierauf ein Strahlenbüschel.
- 4^h 11-15^m Breites Band, das sich nordwärts senkt.
- 20 Dunstbogen mit wechselnder Intensität andauernd.
- 35 Zeigt er einen Strahlenwurf in West. Wird zum Band, in Nord breit.
- 36-45^m Wird lichtschwächer, sinkt nordwärts. Mitte hebt sich wieder; dann verschwindet der östliche Theil.
- 45 Zwei Dunststrahlen von kurzer Dauer.
- 47-5^h 15^m Schwache Dunsterscheinungen und einzelne Strahlenbündel.

$D = 25^\circ +$ West $H = 0.09000 + 0.00 \dots$ C. G. S. $V = 0.49000 + 0.0 \dots$ C. G. S.

15. November 1882.

Zeit	D	H	V	Anmerkungen	Zeit	D	H	V	Anmerkungen
5 ^h 0 ^m	5° 18' 6	800	1540		10 ^h 0 ^m	5° 0' 7	1145	1361	
5	5 32' 3	741	1533		5	4 46' 4	1095	1415	
10	4 44' 7	675	1558		10	5 0' 7	1295	1339	
15	4 30' 3	545	1591		15	4 35' 3	1318	1371	
20	4 26' 3	641	1527		20	4 45' 4	780	1517	
25	3 54' 4	639	1525		25	5 13' 0	956	1413	
30	4 12' 0	746	1460		30	4 50' 4	900	1404	
35	4 24' 2	692	1493		35	5 8' 5	1203	1294	
40	4 5' 1	681	1526		40	5 11' 4	1256	1328	
45	3 43' 1	641	1592		45	5 23' 5	1004	1436	
50	3 55' 2	595	1661		50	5 8' 3	855	1409	
55	4 19' 3	538	1655		55	4 58' 9	946	1379	
6 0	4 19' 8	426	1660		11 0	4 58' 9	921	1377	
5	4 5' 3	581	1629	5 ^h 15 ^m Alles verschwunden.	5	5 5' 5	920	1370	
10	4 3' 4	564	1662	50 Bifilar-Magnet	10	4 55' 9	843	1379	
15	4 20' 9	656	1625	schwingt über 50 p.	15	4 59' 0	840	1374	
20	4 29' 7	644	1609	im abnehmenden	20	5 2' 4	874	1349	
25	4 21' 1	584	1567	Sinne.	25	5 0' 1	880	1357	
30	4 9' 3	605	1494	7 ^h 35 ^m Alle drei Magnete in	30	5 6' 2	882	1346	
35	4 12' 4	676	1479	heftigen Schwingun-	35	5 12' 8	822	1363	
40	4 5' 8	798	1447	gen.	40	4 52' 3	882	1357	
45	3 47' 6	724	1501	40 Alle drei Magnete in	45	5 9' 6	863	1383	
50	3 49' 9	636	1514	heftigen Schwingun-	50	4 55' 9	842	1367	
55	4 4' 5	686	1445	gen.	55	4 48' 2	761	1384	
7 0	3 58' 3	683	1481	40 Alle drei Magnete in	12 0	5 2' 0	838	1351	
5	4 25' 8	536	1562	heftigen Schwingun-	5	4 56' 8	804	1353	
10	4 23' 8	366	1573	gen.	10	4 50' 4	840	1353	
15	4 10' 2	496	1456	55 Dunst im Zenithe.	15	5 1' 7	813	1323	
20	3 56' 2	608	1437	Wetter heitert sich	20	4 49' 6	859	1307	
25	3 58' 2	642	1427	auf.	25	5 10' 7	738	1339	
30	4 10' 5	752	1396	8 ^h 3 ^m Dunst im Westen und	30	5 2' 5	803	1302	
35	4 25' 1	723	1395	Norden. Firmament	35	4 56' 4	785	1327	
40	4 25' 6	724	1377	fast ganz klar.	40	5 7' 0	917	1254	
45	4 15' 2	763	1335	45 Strahlenfächer am	45	4 59' 7	734	1333	
50	4 27' 3	805	1314	Südfirmamente.	50	5 6' 5	793	1295	
55	4 20' 3	767	1329	50 Strahlenförmige	55	5 6' 0	810	1290	
8 0	4 39' 0	825	1309	Dunststreifen von Ost	13 0	5 0' 4	785	1301	
5	4 44' 4	906	1300	nach West durch den	5	4 51' 2	767	1283	
10	4 53' 4	725	1361	Zenith.	10	4 42' 2	780	1280	
15	4 53' 4	858	1319	55 Alles verschwunden.	15	5 9' 8	711	1306	
20	4 26' 3	704	1362		20	4 38' 3	934	1208	
25	4 6' 2	661	1394		25	4 57' 3	786	1281	
30	3 38' 1	621	1443		30	4 42' 2	802	1259	
35	3 50' 1	500	1448		35	4 43' 2	764	1259	
40	3 31' 6	549	1405		40	4 42' 3	788	1242	
45	5 2' 4	511	1435		45	4 55' 6	828	1239	
50	3 32' 6	897	1271		50	4 59' 2	839	1295	
55	4 24' 3	1294	1167		55	4 40' 6	900	1214	
9 0	4 0' 2	1424	1183		14 0	5 8' 0	972	1212	
5	4 26' 0	1353	1232		5	5 2' 6	789	1248	
10	4 36' 9	1297	1262		10	4 56' 9	832	1241	
15	4 8' 2	1344	1281		15	4 59' 2	905	1232	
20	4 22' 8	1217	1287		20	4 56' 4	910	1224	
25	4 41' 4	1166	1297		25	4 56' 4	863	1248	
30	4 34' 5	812	1493		30	5 10' 2	874	1223	
35	4 50' 7	1052	1319		35	4 49' 6	859	1253	
40	4 49' 7	936	1414		40	4 54' 9	829	1256	
45	4 43' 4	1146	1330		45	5 4' 3	732	1277	
50	5 7' 4	1255	1307		50	4 55' 4	787	1259	
55	5 4' 5	1312	1330		55	5 1' 5	812	1258	

Terminstage.

Göttinger Zeit.

Jan Mayen.

$D = 25^\circ +$ West

$H = 0.09000 + 0.00 \dots$ C. G. S.

$V = 0.49000 + 0.0 \dots$ C. G. S.

15. November 1882.

Zeit	D	H	V	Anmerkungen	Zeit	D	H	V	Anmerkungen
15 ^h 0 ^m	5° 2' 4	776	1255		20 ^h 0 ^m	4° 59' 0	860	1078	
5	5 10' 5	774	1252		5	5 0' 0	850	1087	
10	4 56' 4	863	1239		10	5 6' 5	837	1093	
15	5 2' 4	857	1230		15	5 6' 7	839	1104	
20	4 54' 7	917	1218		20	5 1' 9	842	1115	
25	5 8' 5	784	1270		25	4 57' 4	844	1128	
30	4 56' 2	873	1240		30	4 58' 6	817	1145	
35	4 56' 4	875	1248		35	4 57' 6	840	1146	
40	4 58' 3	915	1230		40	5 0' 7	832	1160	
45	5 3' 0	813	1272		45	5 0' 7	828	1167	
50	5 6' 5	821	1256		50	4 55' 8	794	1178	
55	4 58' 8	820	1241		55	4 55' 7	770	1178	
16 0	4 59' 2	897	1242		21 0	4 55' 4	763	1180	
5	5 7' 0	850	1253		5	4 55' 4	744	1188	
10	4 57' 4	876	1247		10	4 53' 3	746	1190	
15	5 0' 7	887	1245		15	4 54' 4	768	1192	
20	5 0' 8	903	1255		20	4 52' 4	768	1200	
25	4 56' 4	886	1252		25	4 54' 4	769	1207	
30	5 0' 2	915	1252		30	4 44' 9	771	1213	
35	5 0' 0	907	1254		35	4 40' 3	741	1219	
40	4 49' 3	952	1248		40	4 43' 9	762	1215	
45	4 54' 1	980	1248		45	4 30' 4	795	1210	
50	4 57' 9	946	1263		50	4 35' 8	783	1221	
55	4 51' 4	1005	1250	16 ^h 0 ^m Biflarmagnet in raschen weiten Schwingungen.	55	4 36' 4	792	1221	
17 0	4 51' 9	992	1241		22 0	4 43' 4	793	1221	
5	4 46' 4	1034	1252		5	4 45' 2	764	1230	
10	4 51' 2	973	1284	20 Die Lesungen der Declination stimmen zufällig, aber der Declinationsmagnet ist in raschen Schwingungen.	10	4 46' 6	798	1221	
15	4 49' 9	959	1281		15	4 39' 3	797	1235	
20	4 56' 0	985	1264		20	4 44' 6	778	1220	
25	4 56' 2	1008	1244		25	4 44' 5	786	1223	
30	5 6' 7	897	1261		30	4 33' 5	799	1227	
35	5 1' 5	969	1233		35	4 35' 1	792	1233	
40	4 58' 8	897	1250		40	4 37' 1	758	1243	
45	4 56' 9	915	1239		45	4 20' 3	794	1235	
50	5 3' 2	916	1230		50	4 34' 5	802	1242	
55	5 14' 6	899	1212		55	4 27' 3	794	1243	
18 0	5 18' 3	939	1182		23 0	4 30' 5	814	1250	
5	5 7' 7	932	1170		5	3 48' 9	819	1263	
10	5 21' 8	894	1164		10	4 38' 3	834	1271	
15	4 53' 4	867	1165		15	4 33' 3	788	1287	
20	5 0' 0	842	1166		20	4 36' 0	767	1298	
25	4 36' 3	872	1166		25	4 40' 3	795	1303	
30	4 15' 7	888	1163		30	4 49' 9	784	1308	
35	4 14' 8	888	1161		35	4 39' 1	802	1307	
40	4 19' 3	877	1138		40	4 49' 0	797	1298	
45	4 33' 1	844	1140		45	4 45' 4	777	1298	
50	4 35' 0	827	1138		50	4 51' 9	701	1289	
55	4 37' 6	884	1122		55	4 56' 2	739	1289	
19 0	4 31' 9	905	1119		Mittel	4 49' 0	808	1309	
5	4 36' 9	912	1109		Max. .	6 20' 7	1424	1662	
10	4 33' 9	914	1098		Min. .	3 31' 6	366	1060	
15	4 45' 2	860	1105						
20	4 52' 2	878	1093						
25	4 54' 3	888	1081						
30	5 2' 6	887	1070						
35	4 55' 9	911	1060						
40	4 50' 1	897	1061						
45	4 59' 1	873	1078						
50	5 0' 7	899	1062						
55	5 1' 9	875	1071						

Luftdruck steigt um 8.8^{mm}. Lufttemperatur 1.9. Vormittag SE 4 mit wechselnder Bewölkung; Nachmittag ESE 5 mit Nebel und Regen.

$D = 25^\circ +$ West

$H = 0.09000 + 0.00 \dots$ C. G. S.

$V = 0.49000 + 0.0 \dots$ C. G. S.

1. December 1882.

Zeit	D	H	V	Zeit	D	H	V	Zeit	D	H	V	Zeit	D	H	V
0 ^h 0 ^m	5° 0' 2"	726	1509	5 ^h 0 ^m	4° 46' 4"	720	1393	10 ^h 0 ^m	4° 57' 2"	792	1341	15 ^h 0 ^m	4° 56' 6"	836	1260
5	4 56' 5"	729	1510	5	4 57' 1"	758	1309	5	4 47' 1"	739	1361	5	4 53' 6"	829	1257
10	4 56' 9"	767	1487	10	4 40' 1"	702	1415	10	4 56' 7"	782	1350	10	5 1' 5"	838	1258
15	4 55' 9"	747	1491	15	4 33' 5"	613	1436	15	4 51' 8"	752	1352	15	5 2' 0"	806	1285
20	4 54' 5"	756	1478	20	4 30' 7"	562	1435	20	4 55' 4"	770	1359	20	5 8' 4"	777	1289
25	4 54' 7"	767	1461	25	4 19' 3"	536	1426	25	4 52' 6"	765	1354	25	5 3' 5"	767	1288
30	4 54' 5"	769	1447	30	4 15' 6"	548	1393	30	4 51' 1"	743	1352	30	5 0' 1"	787	1285
35	4 53' 2"	760	1446	35	4 28' 7"	611	1392	35	4 57' 7"	782	1353	35	4 57' 1"	778	1287
40	4 49' 9"	747	1442	40	4 34' 1"	617	1389	40	4 49' 6"	733	1361	40	4 55' 9"	774	1284
45	4 45' 5"	735	1438	45	4 30' 9"	626	1391	45	4 57' 2"	781	1346	45	4 55' 0"	785	1272
50	4 47' 1"	738	1430	50	4 26' 3"	596	1394	50	4 58' 5"	784	1351	50	4 51' 1"	807	1259
55	4 46' 1"	749	1416	55	4 21' 2"	592	1391	55	4 55' 2"	756	1360	55	4 51' 5"	799	1266
1 0	4 45' 0"	746	1414	6 0	4 28' 0"	611	1381	11 0	4 56' 4"	766	1353	16 0	4 54' 3"	802	1269
5	4 57' 3"	786	1400	5	4 29' 8"	637	1371	5	4 55' 5"	746	1356	5	4 50' 4"	807	1274
10	5 2' 4"	809	1409	10	4 37' 9"	641	1309	10	4 55' 0"	748	1360	10	4 52' 9"	822	1279
15	4 54' 2"	793	1419	15	4 36' 8"	645	1370	15	4 55' 4"	774	1351	15	4 52' 1"	812	1291
20	4 53' 6"	778	1421	20	4 45' 4"	690	1334	20	4 56' 3"	767	1352	20	4 53' 3"	812	1297
25	4 52' 1"	772	1414	25	4 51' 7"	751	1324	25	5 0' 2"	799	1347	25	4 56' 5"	812	1309
30	4 54' 9"	754	1411	30	4 54' 2"	773	1327	30	5 0' 1"	785	1355	30	4 54' 6"	809	1309
35	4 51' 9"	742	1409	35	4 56' 9"	789	1326	35	4 55' 8"	769	1362	35	4 54' 1"	798	1317
40	4 50' 4"	739	1402	40	4 55' 3"	782	1336	40	4 50' 4"	757	1364	40	4 58' 7"	794	1321
45	4 48' 9"	732	1398	45	4 51' 8"	786	1337	45	4 54' 5"	756	1360	45	5 0' 2"	793	1324
50	4 44' 1"	734	1391	50	4 50' 7"	780	1348	50	4 55' 0"	767	1362	50	4 57' 0"	778	1335
55	4 43' 9"	737	1384	55	4 49' 1"	769	1352	55	4 50' 5"	763	1362	55	4 55' 6"	779	1337
2 0	4 44' 2"	750	1377	7 0	4 47' 8"	758	1356	12 0	4 57' 0"	754	1362	17 0	4 58' 2"	776	1335
5	4 49' 2"	764	1377	5	4 49' 1"	785	1350	5	4 53' 3"	750	1363	5	4 57' 4"	774	1339
10	4 51' 9"	772	1376	10	4 49' 9"	808	1340	10	4 54' 1"	761	1360	10	4 57' 2"	769	1340
15	4 52' 0"	782	1383	15	4 51' 3"	779	1359	15	4 52' 5"	756	1362	15	4 56' 9"	770	1339
20	4 50' 4"	782	1388	20	4 53' 9"	809	1346	20	4 56' 4"	761	1360	20	4 58' 2"	775	1336
25	4 50' 6"	776	1393	25	4 53' 0"	804	1356	25	4 56' 9"	759	1362	25	4 57' 4"	784	1335
30	4 47' 0"	760	1398	30	4 51' 9"	802	1353	30	4 59' 8"	780	1360	30	4 55' 8"	774	1343
35	4 50' 8"	753	1400	35	4 49' 5"	765	1366	35	4 57' 3"	774	1362	35	4 55' 3"	774	1344
40	4 51' 5"	754	1401	40	4 52' 3"	773	1367	40	4 55' 1"	756	1364	40	4 55' 1"	774	1316
45	4 48' 3"	752	1401	45	4 50' 0"	782	1346	45	4 54' 8"	760	1365	45	4 56' 1"	773	1346
50	4 47' 7"	743	1410	50	4 48' 6"	770	1354	50	4 55' 2"	759	1362	50	4 55' 8"	777	1346
55	4 43' 3"	732	1419	55	4 46' 5"	782	1340	55	4 56' 8"	754	1365	55	4 55' 6"	772	1350
3 0	4 41' 1"	728	1424	8 0	4 50' 8"	795	1337	13 0	4 57' 7"	773	1361	18 0	4 55' 1"	773	1350
5	4 39' 4"	714	1438	5	4 58' 4"	799	1357	5	4 56' 5"	775	1361	5	4 55' 2"	768	1352
10	4 36' 0"	706	1444	10	4 53' 5"	793	1357	10	4 57' 1"	782	1361	10	4 54' 3"	754	1353
15	4 40' 0"	704	1456	15	4 32' 0"	653	1414	15	4 57' 1"	777	1363	15	4 55' 1"	760	1352
20	4 37' 5"	707	1466	20	4 53' 4"	777	1351	20	4 59' 2"	779	1361	20	4 56' 2"	756	1351
25	4 40' 0"	723	1467	25	4 48' 1"	737	1359	25	5 1' 5"	776	1365	25	4 57' 4"	752	1352
30	4 38' 4"	726	1474	30	4 55' 2"	797	1357	30	5 0' 3"	780	1360	30	4 56' 1"	765	1346
35	4 43' 0"	692	1490	35	4 51' 6"	761	1360	35	5 3' 9"	789	1360	35	4 55' 2"	755	1349
40	4 43' 6"	698	1485	40	4 52' 9"	784	1359	40	5 5' 4"	792	1363	40	4 55' 0"	759	1346
45	4 36' 1"	711	1476	45	4 53' 7"	790	1349	45	5 2' 2"	800	1361	45	4 55' 6"	759	1345
50	4 35' 9"	706	1484	50	4 51' 6"	766	1360	50	5 5' 3"	795	1357	50	4 58' 2"	772	1337
55	4 38' 1"	677	1508	55	4 53' 7"	781	1349	55	5 5' 5"	795	1359	55	4 57' 1"	766	1342
4 0	4 37' 1"	659	1507	9 0	4 49' 9"	757	1357	14 0	5 5' 4"	792	1353	19 0	4 58' 6"	769	1342
5	4 41' 6"	663	1496	5	4 52' 6"	772	1344	5	5 5' 0"	787	1353	5	4 56' 5"	774	1341
10	4 36' 7"	659	1489	10	4 49' 4"	764	1352	10	5 3' 2"	791	1344	10	4 54' 9"	770	1340
15	4 40' 1"	652	1479	15	4 50' 1"	763	1340	15	5 3' 2"	798	1340	15	4 53' 9"	770	1340
20	4 41' 3"	659	1468	20	4 55' 2"	758	1344	20	5 1' 6"	794	1331	20	4 53' 0"	769	1341
25	4 38' 8"	659	1464	25	4 53' 4"	758	1339	25	4 56' 2"	787	1321	25	4 52' 3"	769	1339
30	4 38' 4"	641	1468	30	4 53' 8"	771	1339	30	4 53' 2"	771	1307	30	4 52' 3"	774	1336
35	4 36' 1"	634	1451	35	4 52' 2"	772	1339	35	5 1' 2"	809	1276	35	4 54' 2"	778	1333
40	4 40' 4"	644	1436	40	4 53' 6"	798	1334	40	5 9' 4"	824	1276	40	4 54' 0"	777	1337
45	4 39' 6"	665	1416	45	4 54' 4"	781	1342	45	5 3' 4"	838	1277	45	4 55' 0"	784	1337
50	4 43' 6"	727	1396	50	4 53' 5"	783	1341	50	5 0' 4"	829	1271	50	4 57' 3"	796	1333
55	4 43' 8"	719	1398	55	4 56' 5"	779	1346	55	4 53' 6"	817	1269	55	4 57' 1"	796	1334

Termtage.

Göttinger Zeit.

Jan Mayen.

$D = 25^\circ +$ West

$H = 0.09000 + 0.00 \dots$ C. G. S.

$V = 0.49000 + 0.0 \dots$ C. G. S.

1. December 1882.					15. December 1882.				
Zeit	D	H	V	Anmerkungen	Zeit	D	H	V	Anmerkungen
20 ^h 0 ^m	4° 54' 9	798	1333		0 ^h 0 ^m	4° 50' 1	766	1400	
5	4 55' 2	800	1333		5	4 50' 4	769	1407	
10	4 53' 2	797	1334		10	4 52' 2	769	1400	
15	4 51' 9	787	1335		15	4 52' 5	765	1402	
20	4 54' 0	777	1331		20	4 50' 0	769	1402	
25	4 54' 8	778	1330		25	4 46' 0	766	1402	
30	4 53' 2	779	1330		30	4 40' 9	772	1402	
35	4 52' 9	776	1329		35	4 50' 2	777	1397	
40	4 52' 7	774	1330		40	4 49' 8	770	1400	
45	4 53' 4	772	1330		45	4 47' 6	779	1397	
50	4 53' 7	771	1330		50	4 50' 8	772	1397	
55	4 56' 0	767	1330		55	4 58' 3	739	1397	
21 0	4 56' 8	766	1330		1 0	4 55' 5	743	1400	
5	4 56' 0	759	1329		5	4 54' 7	749	1405	
10	4 56' 5	750	1330		10	4 54' 2	744	1409	
15	4 58' 3	738	1333		15	4 53' 2	759	1403	
20	4 58' 0	734	1333		20	4 51' 1	742	1409	
25	4 59' 2	734	1333		25	4 48' 5	742	1403	
30	4 58' 4	724	1330		30	4 49' 0	732	1400	
35	4 57' 2	707	1333		35	4 50' 5	737	1393	
40	4 59' 7	684	1341		40	4 52' 5	741	1389	
45	5 6' 7	642	1354		45	4 49' 0	739	1381	
50	4 52' 9	618	1349		50	4 50' 3	754	1381	
55	5 10' 2	572	1376		55	4 49' 6	754	1382	
22 0	5 12' 2	492	1381		2 0	4 49' 1	755	1384	
5	5 25' 1	779	1281		5	4 49' 1	758	1384	
10	4 48' 5	610	1235		10	4 50' 2	764	1383	
15	5 11' 4	603	1209		15	4 50' 8	770	1381	
20	5 30' 3	649	1237		20	4 50' 7	766	1388	
25	5 21' 8	721	1220		25	4 51' 6	773	1384	
30	5 22' 3	752	1246		30	4 52' 8	777	1388	
35	5 13' 7	801	1257		35	4 51' 7	773	1390	
40	4 41' 6	817	1267		40	4 51' 8	770	1395	
45	4 32' 7	751	1278		45	4 50' 6	768	1395	
50	5 19' 9	538	1258		50	4 50' 2	769	1395	
55	5 39' 7	689	1267		55	4 52' 3	768	1394	
23 0	5 16' 4	841	1260		3 0	4 51' 6	761	1395	
5	5 15' 2	784	1280		5	4 50' 9	765	1391	
10	5 3' 2	743	1299		10	4 51' 2	767	1391	
15	4 48' 4	704	1290		15	4 52' 5	769	1391	
20	4 54' 7	683	1285		20	4 53' 8	767	1391	
25	5 5' 4	672	1294		25	4 54' 0	769	1391	
30	4 59' 2	643	1328		30	4 53' 5	767	1391	
35	5 0' 2	726	1333		35	4 52' 4	759	1391	
40	4 57' 1	747	1342		40	4 51' 8	761	1390	
45	5 0' 7	759	1339		45	4 52' 0	764	1389	
50	5 8' 7	766	1339		50	4 52' 1	769	1387	
55	5 16' 3	742	1388		55	4 51' 1	758	1390	
Mittel	4 53' 4	750	1359		4 0	4 51' 3	759	1390	
Max. .	5 39' 7	841	1510		5	4 50' 3	762	1389	
Min. .	4 15' 6	492	1209		10	4 51' 7	763	1390	
					15	4 51' 1	761	1390	
					20	4 50' 4	759	1390	
					25	4 51' 6	764	1390	
					30	4 51' 6	764	1390	
					35	4 51' 2	757	1390	
					40	4 51' 0	759	1390	
					45	4 52' 0	767	1389	
					50	4 51' 0	757	1390	
					55	4 51' 2	757	1390	

Luftdruck sinkt um 8.0^{mm}, Lufttemperatur —4°8, steigend. Vormittag SE 4 und dicht bewölkt. Nachmittag SE 6; Abends Schneefall und starkes Schneegestöber.

Polarlicht Nr. 59.
 0^h 10^m Dunstband in ENE.
 15 Von einem SW gelegenen Lichtfleck zieht ein schwaches Band gegen Ost.
 20 Lichtmassen in SSW,
 25 verwandeln sich in einen schwachen Bogen.
 40 Schwach beleuchtete Wolkenränder in Süd und SW.
 44—47^m Schwache Strahlen und ein Bogen.
 50 Ein schwaches gefärbtes Band von SW nach ENE; andauernd.
 1^h 10^m Das Band wird schmaler, zieht südwärts und verblasst.
 14 Entsteht ein Bogen NE über Zenith, der für kurze Zeit verschwindet und wieder erscheint.
 20 Der Bogen verschwindet zur Dunstmasse, die sich verbreitet und allmählich das ganze Firmament überzieht.
 28 Verschwindet der Dunstüberzug; es bleibt ein schwacher Bogen NE—SW, der auch nach 5 Minuten verblasst.
 33—50^m Regellose einzeln auftretende Dunstmassen.

$D = 25^\circ +$ West

$H = 0.09000 + 0.00 \dots$ C. G. S.

$V = 0.49000 + 0.0 \dots$ C. G. S.

15. December 1882.

Zeit	D	H	V	Zeit	D	H	V	Zeit	D	H	V	Anmerkungen
5 ^h 0 ^m	4° 51' 8"	761	1390	10 ^h 0 ^m	4° 51' 5"	757	1388	15 ^h 0 ^m	4° 57' 9"	772	1376	<p>Polarlicht Nr. 60.</p> <p>17^h 40^m Zwei Strahlen von West gegen Zenith.</p> <p>18^h 0^m Schwaches Dunstband mit einem Parallelstrahle in WSW.</p> <p>5 Verblasst Alles; hellt dann wieder auf.</p> <p>10 Kurzer Strahl, verschwindet sofort. Das Band theilt sich im Westen und wird in Osten heller.</p> <p>15 Im NW-Quadranten breiter Strahlenwurf, gegen Zenith convergirend.</p> <p>20 Fäden vereinigen sich gruppenweise.</p> <p>26-48^m Mehrereschwache Dunstbänder und Streifen, welche zeitweise etwas aufhellen und verblasen.</p> <p>50 Verschmilzt Alles zu einem breiten Dunstbände, das sich südwärts senkt und zum Bogen wird, sich dann aber wieder zertheilt.</p> <p>52-19^h 18^m Schwache Strahlen aufhellend und verschwindend.</p> <p>19^h 20^m Bogen in SW über Zenith, verschwindet bald.</p> <p>30-50^m Schwache Strahlen und Bänder von kurzer Dauer.</p>
5	4 52' 0"	761	1389	5	4 52' 3"	756	1389	5	4 56' 8"	775	1375	
10	4 50' 7"	757	1390	10	4 51' 5"	754	1389	10	4 56' 8"	778	1375	
15	4 50' 8"	758	1388	15	4 51' 7"	756	1388	15	4 57' 8"	769	1378	
20	4 51' 5"	760	1387	20	4 53' 0"	756	1385	20	4 57' 4"	769	1378	
25	4 51' 3"	761	1388	25	4 52' 6"	755	1387	25	4 57' 5"	770	1377	
30	4 51' 5"	759	1388	30	4 52' 6"	753	1389	30	4 59' 2"	767	1377	
35	4 52' 4"	763	1389	35	4 52' 1"	754	1388	35	4 58' 5"	769	1377	
40	4 52' 1"	762	1387	40	4 52' 0"	754	1389	40	4 58' 2"	769	1377	
45	4 52' 0"	762	1387	45	4 52' 9"	755	1389	45	4 57' 5"	775	1374	
50	4 51' 7"	761	1387	50	4 52' 1"	754	1390	50	4 57' 3"	777	1373	
55	4 51' 5"	762	1387	55	4 51' 4"	755	1389	55	4 58' 6"	781	1374	
6 0	4 51' 8"	764	1387	11 0	4 47' 7"	753	1387	16 0	4 59' 1"	784	1376	
5	4 51' 9"	764	1388	5	4 45' 5"	764	1390	5	4 58' 9"	783	1375	
10	4 52' 4"	766	1387	10	4 53' 1"	756	1391	10	4 58' 1"	784	1378	
15	4 52' 1"	764	1388	15	4 51' 7"	754	1389	15	4 57' 6"	786	1377	
20	4 51' 8"	762	1388	20	4 52' 4"	756	1384	20	4 57' 8"	792	1378	
25	4 51' 9"	764	1387	25	4 51' 8"	752	1384	25	4 57' 1"	791	1379	
30	4 52' 1"	765	1385	30	4 52' 1"	757	1381	30	4 57' 3"	788	1379	
35	4 53' 6"	764	1385	35	4 51' 6"	762	1379	35	4 57' 9"	787	1381	
40	4 51' 8"	762	1387	40	4 52' 5"	757	1380	40	4 57' 9"	795	1378	
45	4 51' 8"	762	1387	45	4 52' 1"	761	1380	45	4 57' 6"	799	1378	
50	4 52' 2"	760	1388	50	4 52' 5"	761	1380	50	4 57' 9"	792	1381	
55	4 52' 1"	764	1384	55	4 54' 7"	763	1379	55	4 58' 1"	798	1379	
7 0	4 52' 4"	763	1383	12 0	4 54' 7"	759	1381	17 0	4 59' 7"	793	1379	
5	4 51' 9"	761	1383	5	4 55' 3"	761	1385	5	4 59' 6"	801	1378	
10	4 52' 5"	762	1382	10	4 54' 0"	762	1382	10	5 2' 8"	799	1379	
15	4 52' 4"	759	1382	15	4 54' 0"	754	1385	15	5 2' 5"	813	1371	
20	4 52' 2"	758	1383	20	4 53' 6"	756	1383	20	5 3' 9"	823	1369	
25	4 52' 0"	762	1382	25	4 53' 9"	759	1381	25	5 0' 8"	818	1371	
30	4 52' 6"	763	1382	30	4 53' 3"	764	1380	30	5 0' 8"	822	1367	
35	4 52' 1"	761	1382	35	4 55' 1"	757	1381	35	4 59' 9"	816	1363	
40	4 52' 5"	763	1382	40	4 52' 3"	761	1380	40	4 56' 9"	817	1359	
45	4 52' 7"	762	1382	45	4 54' 3"	761	1381	45	4 56' 6"	818	1356	
50	4 52' 8"	766	1380	50	4 55' 6"	769	1381	50	4 56' 2"	810	1351	
55	4 51' 8"	763	1382	55	4 56' 6"	764	1383	55	4 54' 7"	811	1346	
8 0	4 51' 8"	760	1383	13 0	4 55' 8"	761	1382	18 0	4 57' 6"	805	1342	
5	4 52' 6"	767	1381	5	4 55' 5"	764	1380	5	4 56' 9"	809	1337	
10	4 51' 7"	766	1382	10	4 54' 7"	758	1382	10	4 56' 6"	816	1329	
15	4 52' 4"	765	1382	15	4 53' 9"	755	1381	15	4 56' 8"	819	1333	
20	4 53' 3"	764	1383	20	4 54' 2"	759	1380	20	4 57' 7"	818	1330	
25	4 52' 8"	764	1382	25	4 54' 7"	762	1378	25	4 57' 8"	821	1334	
30	4 52' 8"	764	1383	30	4 54' 8"	764	1377	30	4 55' 9"	816	1329	
35	4 52' 9"	764	1383	35	4 54' 8"	763	1377	35	4 53' 1"	817	1320	
40	4 52' 5"	760	1383	40	4 55' 9"	765	1375	40	4 52' 6"	815	1325	
45	4 52' 9"	763	1383	45	4 56' 2"	765	1376	45	4 52' 5"	813	1322	
50	4 52' 2"	762	1383	50	4 55' 8"	759	1377	50	4 51' 7"	816	1322	
55	4 52' 7"	762	1383	55	4 55' 6"	762	1378	55	4 53' 8"	815	1319	
9 0	4 51' 8"	762	1382	14 0	4 55' 3"	765	1376	19 0	4 54' 9"	817	1316	
5	4 52' 3"	763	1383	5	4 54' 9"	764	1375	5	4 54' 7"	818	1314	
10	4 52' 5"	762	1383	10	4 53' 6"	767	1376	10	4 55' 4"	814	1316	
15	4 52' 4"	761	1383	15	4 54' 8"	762	1379	15	4 56' 3"	824	1314	
20	4 53' 2"	762	1383	20	4 57' 2"	760	1377	20	4 55' 1"	830	1313	
25	4 52' 1"	760	1383	25	4 58' 1"	760	1377	25	4 57' 0"	828	1316	
30	4 52' 6"	761	1384	30	4 59' 7"	781	1371	30	4 58' 5"	829	1316	
35	4 52' 7"	761	1384	35	4 58' 9"	777	1373	35	5 0' 9"	829	1316	
40	4 52' 0"	758	1385	40	4 56' 6"	777	1374	40	4 58' 1"	822	1319	
45	4 51' 9"	758	1387	45	4 58' 9"	766	1370	45	5 2' 0"	820	1317	
50	4 52' 1"	758	1388	50	5 1' 0"	783	1374	50	5 3' 0"	811	1316	
55	4 51' 9"	757	1388	55	4 58' 3"	774	1376	55	5 3' 9"	806	1317	

Terminstage.

Göttinger Zeit.

Jan Mayen.

$D=25^{\circ} +$ West

$H=0.09000 + 0.00 \dots$ C. G. S.

$V=0.49000 + 0.0 \dots$ C. G. S.

15. December 1882.

Zeit	D	H	V	Anmerkungen	
20 ^h 0 ^m	5° 4'9	798	1319	20 ^h 6—16 ^m Zwei schwache Bögen in steter Wanderung. 20 Die Bögen sind heller geworden; der eine biegt bandartig im Zenith ab. 21—30 ^m Zeitweise aufgehellt mit Strahlenanordnung und Strahlenwurf. 30 In SSE ein Bogen aus gleichmässigem Lichte, wird etwas flacher und intensiver. 40 Schiessen an den beiden Enden des Bogens in ESE und SW Strahlen gegen den Zenith empor. 44—47 ^m Aus dem Bogen hat sich ein Vorhang abgesondert, sehr hell, mit einem mehrfachen farbigen Saume, lebhafter Lichtbewegung. Der Bogen ist dann in mehrere Stücke und Strahlenbündel zerfallen. 50 Breitet sich die ganze Erscheinung mehr aus und der Vorhang rollt sich zu einer Düte zusammen. Nebenbei sind kleine Strahlenfächer. 55 Die langen Fäden zeigen lebhaftes Wallungen und Farbenspiel, und reichen scheinbar tief gegen die Erde herab.	
5	5 3'8	796	1326		
10	5 3'2	793	1314		
15	5 1'8	790	1307		
20	5 4'3	772	1310		
25	5 4'2	767	1314		
30	5 7'0	764	1315		
35	5 8'9	774	1316		
40	5 7'9	789	1317		
45	5 19'5	788	1333		
50	5 23'4	772	1349		
55	5 21'9	751	1360		
21 0	5 16'8	698	1391		21 ^h 0 ^m Die Entwicklung des Vorhanges wiederholt sich intensiver. 4 Wird eine Krone mit lebhaften Farben gebildet. 7 Zertheilt sie sich in Fächer und die werden zu Dunstmassen. 11—16 ^m Aus gegen Zenith convergirenden Strahlen und Fäden entwickelt sich eine Krone mit langem Strahlenwurfe von NE über Nord bis SW. 20 Verblasst. Nur Dunst im Zenithe. 25 Ein Vorhang und ein Dunstbogen von kurzer Dauer. 35 Bandartiger Bogen, dessen Westheil verschwindet. 40 Ein Vorhang entwickelt sich an der Stelle des Bogens. 45 Löst sich der Vorhang nach vorhergegangenen Aufrollen in einen Dunstbogen auf. 47 Krone im Zenithe. Band von West über Zenith nach NE. 51 Krone verschwindet. Das Band wird zum Dunstbogen, der auch bald verblasst. 55—59 ^m Schwache kurze Strahlen und Theile eines Bogens; verschwinden abwechselnd. Die drei Magnete während der ganzen Stunde in kurzen aber raschen Schwingungen.
5	5 32'5	611	1393		
10	5 46'3	646	1336		
15	5 34'7	624	1350		
20	5 39'0	572	1346		
25	5 30'0	501	1363		
30	5 34'0	531	1351		
35	5 25'3	562	1351		
40	5 9'2	559	1357		
45	5 3'0	611	1342		
50	4 56'2	496	1340		
55	5 16'9	560	1352		
22 0	5 10'3	604	1361	22 ^h 0 ^m Bogenstück hellt auf, wird zum horizontalen Bande mit Farben. 15 Bifilar-Magnet in sehr rascher Schwingung. 7—20 ^m Lichtdunst mit abnehmender Lichtintensität. 25 Schwach leuchtende gegen Zenith laufende Strahlen. 30 Alles verblasst. 33—45 ^m In WNW helle Strahlen, die dann schwächer werden. 55 Über diesen eine zweite schwache Strahlenreihe. 23 ^h 7 ^m Breiter Dunstbogen, WSW—NNW. 10 WSW-Ende theilt sich in einen dreifachen Fadenvorhang, der abblasst und wieder aufgehellt. 15 Nimmt er unter lebhafter Lichtbewegung ab. 20 Ein Streifen von WSW bis Nord; nur das WSW-Ende ist hell und entsendet zeitweise Strahlen. 22—31 ^m Dunstflecke an verschiedenen Stellen. 32—38 ^m Aus einem Strahle in SW wird ein Band über Zenith reichend. In NE ein Dunstfleck, gegen welchen vom Zenithende des Bandes zeitweise Strahlen schiessen. 40—42 ^m Im Zenithe verblasst. SW-Theil spaltet sich, die Theile krümmen sich. 45—47 ^m Nach Abnehmen an Intensität vereinigen sich wieder die Theile zu einem Bande mit vorhangartigem Ansatz; die langen Strahlen bis zum Zenithe bilden eine schwache Krone, die sich in ein langes Band auflöst. 50 Das Band theilt sich wieder in vier breite Bänder, aus denen nach Zusammenballen eine schöne farbige Krone entsteht. Ein stark leuchtender Strahl, NE gegen Zenith. 55 Nur mehr Dunstmassen. Später nur mehr 59 ein Dunststreifen, der in NNE etwas aufgehellt.	
5	5 20'1	684	1333		
10	5 25'1	569	1348		
15	5 23'0	672	1325		
20	5 10'7	768	1319		
25	5 7'6	724	1325		
30	5 7'4	779	1307		
35	5 9'6	751	1314		
40	5 10'9	784	1308		
45	5 9'6	783	1307		
50	5 17'0	793	1317		
55	5 18'1	827	1303		
23 0	5 4'4	799	1299	23 ^h 0	
5	5 7'9	822	1294		
10	4 57'8	797	1297		
15	5 4'8	766	1306		
20	5 4'5	767	1303		
25	4 57'2	762	1306		
30	4 51'8	751	1303		
35	5 0'8	754	1295		
40	5 4'1	732	1303		
45	5 1'6	719	1306		
50	5 7'1	676	1307		
55	4 50'5	686	1280		
Mittel .	4 56'8	761	1369		
Max. .	5 46'3	830	1409		
Min. .	4 45'5	496	1280		

Luftdruck zeigt äusserst geringe Schwankungen. Lufttemperatur $-14^{\circ}8$. Vormittag leichter N und NE 1—2 mit zunehmender Bewölkung. Nachmittag NW 4; Abends heiter.

$D = 25^\circ +$ West $H = 0.09000 + 0.00 \dots$ C. G. S. $V = 0.49000 + 0.0 \dots$ C. G. S.

2. Jänner 1883.

Zeit	D	H	V	Anmerkungen
0 ^h 0 ^m	4° 51' 0	752	1291	
5	4 51' 2	756	1290	
10	4 52' 5	763	1291	
15	4 59' 9	768	1291	
20	4 59' 5	761	1296	
25	4 57' 1	743	1303	
30	4 55' 1	728	1311	
35	4 54' 5	743	1307	
40	4 52' 4	746	1299	
45	4 55' 6	744	1299	
50	4 53' 7	739	1302	
55	4 49' 6	727	1304	
1 0	4 54' 3	741	1307	
5	4 54' 4	739	1311	
10	4 50' 2	736	1311	
15	4 48' 4	736	1312	
20	4 46' 0	725	1316	
25	4 48' 5	732	1314	
30	4 49' 6	718	1330	
35	4 46' 3	732	1324	
40	4 47' 9	730	1339	
45	4 59' 4	676	1370	
50	4 46' 8	659	1392	
55	4 49' 4	668	1401	
2 0	4 46' 4	678	1407	
5	4 50' 7	675	1408	
10	4 51' 5	696	1404	
15	4 55' 7	661	1410	
20	4 55' 6	636	1429	
25	4 39' 8	631	1410	
30	4 39' 4	663	1373	
35	4 52' 9	621	1360	
40	4 42' 7	550	1364	
45	4 34' 9	487	1387	
50	4 46' 5	559	1373	
55	4 31' 4	675	1355	
3 0	4 39' 4	687	1349	
5	4 41' 1	681	1335	
10	4 39' 4	662	1333	
15	4 43' 5	672	1322	
20	4 51' 5	656	1323	
25	4 47' 2	661	1319	
30	4 42' 5	661	1315	
35	4 50' 5	679	1311	
40	4 51' 4	704	1302	
45	4 50' 4	711	1298	
50	4 46' 4	721	1293	
55	4 48' 9	738	1289	
4 0	4 53' 1	764	1282	
5	4 50' 7	779	1263	
10	4 50' 7	798	1254	
15	4 53' 7	812	1260	
20	4 50' 9	808	1263	
25	4 52' 3	809	1259	
30	4 56' 4	819	1258	
35	4 55' 4	810	1266	
40	4 55' 3	811	1267	
45	4 54' 4	816	1267	
50	4 53' 7	809	1272	
55	4 52' 8	799	1280	

Polarlicht Nr. 71.

- 0^h 10^m Strahlenförmiges Band über dem NW-Quadranten,
 12 verblasst es.
 15 Dunstband über den NW-Quadranten;
 20 steigt es auf und verblasst nach 2 Minuten.
 28—42^m Aus einem Dunstbogen entstehen durch Theilung längliche Dunstmassen, die sich wieder zu einem Bogen vereinigen, der bis zum Zenith aufsteigt.
 46 Der Bogen theilt sich in Bänder. Strahlen von Süd gegen Zenith.
 50 Die Strahlen in Süd bilden Büschel. Alles wird blässer.
 55—57^m Die Bänder vereinigen sich nacheinander.
- 1^h 8—15^m Zwei schwache Dunststreifen von SW bis NE.
 25 Schwacher Dunststreifen,
 30 verschwindet derselbe.
 35 Band von SW über Zenith nach NE mit lebhafter Lichtbewegung. Bogen über dem Südhorizonte. Das Band verschwindet und ein Strahl tritt auf.
 40 Lichtfleck in SW.
 45 Schwacher Bogen über dem NW-Quadranten.
- 2^h 5 Schwaches Dunstband von NE über Zenith nach SW; daselbst ein kurzer Fächeransatz. Dunstbogen in NNW.
 10 Dunstband erlischt. Bogen verblasst.
 28—35^m Aus einem Dunstfleck in SW wird ein Band mit Strahlenansatz im Zenith, aus dem sich ein Fächer entwickelt. Ausserdem mehrere Strahlenbüschel.
 36 Der Fächer zieht sich zum Bande zusammen, die Strahlenbüschel vereinigen sich in SW. Drei lange Bänder laufen über das Firmament.
 40 Zwei Bänder verschwinden, das hellste bleibt, wird breiter, zeigt Strahlenstructur.
 45 Wird das Band lichtschwach. Helles Band über NNW-Horizont.
 50 Nordende des Bandes rollt sich auf und steigt auf, entsendet einen langen Fadenmantel gegen den Zenith, der sich unter lebhafter Lichtbewegung in zwei Theile theilt.
- 2^h 55^m Es wurden aus Vorigem zwei Bänder, die im östlichen Theile verblasen, in NW sich krümmen.
- 3^h 5 Kurzer Strahl in NW.
 20 Lichtschwacher unentwickelter Bogen über dem WNW-Horizonte.
 40 Dieser Bogen krümmt sich mehr und wird heller.
- 4^h 5 Ein schwaches Band, NE—SW;
 10 dasselbe erblasst.
 16 Aus Strahlen, die sich verlängern und mit Streifen in Ost vereinigen, entsteht ein Bogen, der gegen Horizont liegt. Andere Strahlen treten in SW auf.
 20 Bogen erloschen. Die Strahlen in SW blässen ab.
 30 Bogen über Nordhorizont verblasst nach 6 Minuten.
 50 Dunststreifen wenige Secunden sichtbar.

Terminstage.

Göttinger Zeit.

Jan. Mayen.

$D = 25^\circ +$ West

$H = 0.09000 + 0.00 \dots$ C. G. S.

$V = 0.49000 + 0.0 \dots$ C. G. S.

2. Jänner 1883.

Zeit	D	H	V	Anmerkungen	Zeit	D	H	V	Anmerkungen
5 ^h 0 ^m	4° 52' 3	796	1279		10 ^h 0 ^m	4° 56' 4	764	1267	
5	4 53' 2	788	1285		5	4 55' 4	767	1264	
10	4 53' 6	768	1289		10	4 54' 9	777	1264	
15	4 46' 0	754	1300		15	4 55' 9	781	1264	
20	4 46' 3	756	1290		20	4 56' 2	785	1261	
25	4 52' 7	772	1275		25	4 53' 5	785	1263	
30	4 59' 3	796	1298		30	4 55' 6	785	1264	
35	5 1' 7	811	1288		35	4 56' 4	785	1266	
40	4 55' 4	811	1269		40	4 55' 2	782	1268	
45	4 56' 3	794	1279		45	4 54' 4	784	1268	
50	4 49' 5	784	1279		50	4 55' 9	782	1268	
55	4 50' 7	788	1273		55	4 55' 4	773	1270	
6 0	4 51' 5	784	1266		11 0	4 55' 3	772	1270	
5	4 53' 3	769	1280		5	4 55' 7	770	1271	
10	4 50' 6	781	1276		10	4 56' 1	774	1270	
15	4 55' 2	777	1271		15	4 56' 4	781	1269	
20	4 47' 9	759	1274		20	4 58' 0	769	1272	
25	4 50' 2	767	1279		25	4 58' 4	771	1272	
30	4 52' 4	772	1275		30	4 55' 6	771	1272	
35	4 50' 1	766	1277		35	4 58' 2	781	1272	
40	4 52' 1	761	1279		40	4 54' 0	764	1273	
45	4 53' 4	773	1271		45	4 57' 6	778	1271	
50	4 51' 8	781	1270		50	4 56' 7	777	1273	
55	4 51' 4	778	1271		55	4 57' 3	776	1277	
7 0	4 51' 5	783	1269		12 0	4 58' 2	788	1276	
5	4 50' 5	780	1270		5	4 57' 4	783	1282	
10	4 52' 3	779	1272		10	4 56' 6	771	1286	
15	4 50' 4	774	1276		15	5 1' 6	796	1281	
20	4 51' 3	758	1283		20	5 2' 6	804	1285	
25	4 50' 8	765	1281		25	5 3' 2	806	1293	
30	4 51' 5	770	1274		30	5 2' 4	789	1301	
35	4 52' 4	772	1271		35	5 0' 0	775	1303	
40	4 52' 3	771	1272		40	4 57' 5	767	1301	
45	4 52' 2	761	1274		45	4 57' 1	764	1296	
50	4 49' 8	772	1270		50	4 56' 5	760	1293	
55	4 50' 4	769	1269		55	4 55' 6	762	1293	
8 0	4 50' 9	765	1270		13 0	4 55' 2	762	1291	
5	4 53' 9	766	1271		5	4 54' 4	759	1291	
10	4 50' 9	769	1272		10	4 55' 3	761	1291	
15	4 49' 5	781	1264		15	4 54' 4	762	1291	
20	4 55' 9	775	1268		20	4 54' 7	764	1289	
25	4 53' 4	787	1260		25	4 55' 4	764	1290	
30	4 52' 4	774	1270		30	4 56' 4	768	1289	
35	4 48' 8	768	1268		35	4 56' 2	764	1289	
40	4 51' 4	776	1264		40	4 56' 7	759	1290	
45	4 56' 4	771	1264		45	4 56' 1	764	1290	
50	4 47' 4	769	1275		50	4 58' 5	765	1290	
55	4 54' 9	766	1275		55	4 57' 7	759	1294	
9 0	4 50' 4	769	1275		14 0	4 57' 4	766	1291	
5	4 53' 4	779	1270		5	4 56' 7	759	1293	
10	4 54' 0	785	1268		10	4 55' 5	764	1291	
15	4 55' 1	776	1268		15	4 56' 9	761	1291	
20	4 54' 3	790	1252		20	4 56' 5	772	1290	
25	4 54' 4	755	1268		25	4 53' 8	782	1289	
30	4 53' 4	767	1266		30	4 57' 7	791	1289	
35	4 52' 2	793	1258		35	4 59' 0	799	1293	
40	4 52' 8	777	1261		40	4 58' 1	799	1294	
45	4 56' 7	764	1267		45	4 56' 4	792	1296	
50	4 54' 4	769	1262		50	4 57' 3	789	1296	
55	4 54' 2	779	1259		55	4 53' 7	791	1295	

$D = 25^\circ +$ West		$H = 0.09000 + 0.00 \dots C. G. S.$		$V = 0.49000 + 0.0 \dots C. G. S.$			
<i>2. Jänner 1883.</i>							
Zeit	<i>D</i>	<i>H</i>	<i>V</i>	Anmerkungen			
15 ^h 0 ^m	4° 56' 5	794	1296	Polarlicht Nr. 72.			
5	4 53' 2	801	1296				
10	4 58' 3	805	1298				
15	4 55' 4	814	1297				
20	4 54' 9	820	1300				
25	4 55' 4	812	1302				
30	4 55' 9	816	1302				
35	4 52' 3	810	1312				
40	4 52' 7	795	1310				
45	4 54' 4	781	1308				
50	4 55' 2	773	1307				
55	4 54' 1	781	1301				
16 0	4 53' 4	781	1300			<p>18^h 20^m Dunstbogen von WSW nach ENE mit drei Dunststrahlen am WSW-Ende.</p> <p>24 zertheilt sich der Bogen in drei Bögen, nachdem er über Zenith etwas südwärts gewandert ist. Firmament stark neblig.</p> <p>29 Nur diffuses Licht im Zenithe.</p> <p>31—39^m Aus einem Dunstfleck in West entwickeln sich lange Streifen, die sich wirbelartig winden und ausdehnen. Das Centrum bewegt sich über NW nach Nord, die Streifen werden zu einem dreifachen Bogen.</p> <p>40 Alles zu einem breiten Dunstbogen verschmolzen. In NNW ein Stück eines Dunstbogens entstanden.</p> <p>42—47^m Aus den beiden Bögen wird durch Krümmung und Theilung eine dreifache Schlinge, die allmählich durch Nebel verdeckt wird.</p> <p>50 Nur stellenweise Lichtfleck sichtbar.</p> <p>58—59^m Ein Dunststreifen durch Nebel sichtbar.</p>	
5	4 56' 5	785	1304				
10	4 57' 2	787	1308				
15	4 55' 2	791	1303				
20	4 53' 5	801	1302				
25	4 54' 5	799	1302				
30	4 51' 7	802	1300				
35	4 52' 3	803	1302				
40	4 58' 2	801	1303				
45	4 58' 2	812	1306				
50	4 54' 3	814	1310				
55	4 53' 1	801	1312				
17 0	4 53' 8	784	1312	<p>19^h 0^m Der Streifen dreht sich wie um ein Pivot in SW und verblasst. Schneetreiben und Nebeldunst.</p> <p>6 Ein kurzes Bogenstück durch den Nebel sichtbar.</p> <p>20 Dunstbogen über Zenith leuchtet durch den Nebel.</p> <p>25 Der östliche Theil des Bogens biegt nordwärts und der Bogen zerfällt in Fäden.</p> <p>29—34^m Eine Spitzbogenform, deren Westhälfte allein mehr sichtbar bleibt. Dann auch verblasst.</p>			
5	4 55' 2	775	1310				
10	4 53' 4	777	1304				
15	4 55' 5	790	1299				
20	4 54' 9	799	1296				
25	4 54' 5	794	1295				
30	4 58' 2	797	1291				
35	4 55' 7	802	1290				
40	4 55' 9	817	1285				
45	4 55' 9	819	1284				
50	4 57' 4	809	1281				
55	4 59' 7	803	1273				
18 0	5 4' 7	778	1261				
5	5 3' 3	748	1243				
10	5 10' 1	701	1227				
15	5 9' 6	684	1249				
20	5 13' 7	638	1242				
25	4 55' 3	648	1267				
30	4 37' 5	684	1202				
35	4 57' 6	553	1182				
40	4 26' 6	518	1151				
45	4 32' 8	705	1100				
50	4 22' 3	665	1090				
55	4 10' 8	616	1078				
19 0	4 12' 4	664	1029				
5	4 49' 0	703	1015				
10	4 34' 5	744	1032				
15	4 26' 2	808	1034				
20	4 38' 4	803	1032				
25	4 36' 9	787	1052				
30	4 39' 9	787	1034				
35	4 46' 4	844	1044				
40	4 55' 2	826	1072				
45	5 3' 5	837	1087				
50	4 47' 2	858	1078				
55	4 55' 1	837	1103				

Terminstage.

Göttinger Zeit.

Jan Mayen.

$D = 25^\circ +$ West

$H = 0.09000 + 0.00 \dots$ C. G. S.

$V = 0.49000 + 0.0 \dots$ C. G. S.

2. Jänner 1883.

15. Jänner 1883.

Zeit	D	H	V	Anmerkungen	Zeit	D	H	V	Anmerkungen	
20 ^h 0 ^m	4° 47' 6	821	1119		0 ^h 0 ^m	4° 54' 0	779	1262		
5	4 53' 4	866	1110		5	4 57' 1	788	1264		
10	5 4' 5	862	1127		10	5 0' 9	755	1268		
15	4 51' 2	885	1133	21 ^h 2—22 ^m Zwei parallele Bögen entstehen, vereinigen sich dann, ein neuer Bogen entsteht. Alle Erscheinungen sind lichtschwach und machen den Eindruck grosser Höhe.	15	5 1' 0	731	1284		
20	5 1' 5	887	1129		20	4 55' 2	751	1269		
25	5 3' 1	862	1139		25	4 54' 8	762	1264		
30	5 9' 0	847	1150		30	4 52' 8	769	1264		
35	5 6' 5	784	1168		35	4 58' 8	663	1297		
40	5 10' 5	780	1161		40	4 57' 2	767	1266		
45	5 3' 5	744	1176		45	4 54' 9	755	1285		
50	5 6' 9	704	1190		50	4 51' 7	776	1285		
55	5 5' 0	654	1186		55	4 49' 8	772	1287		
					25—32 ^m Ein Bogenstück von ENE gegen Polarstern, verblasst theilweise im Zenithe, um wieder aufzuhellen. Spaltet sich dann zu einem Zweiecke. Ein dritter Bogen entsteht.	1	0	4 51' 3	772	1286
21 0	5 0' 2	672	1214		5	4 51' 6	772	1283		
5	5 3' 8	723	1208		10	4 51' 9	770	1284		
10	5 2' 5	775	1208		15	4 51' 1	770	1285		
15	5 2' 7	763	1220		20	4 50' 7	768	1285		
20	5 5' 5	721	1237		25	4 50' 8	768	1287		
25	5 0' 6	734	1245		30	4 52' 1	767	1287		
30	4 59' 6	732	1247		35	4 51' 6	769	1287		
35	4 58' 5	721	1247	35 Drei Bögen sichtbar, wovon der durch den Zenith gehende am hellsten ist.	40	4 52' 7	770	1287		
40	4 57' 7	712	1243		45	4 52' 0	767	1287		
45	4 59' 9	739	1232		50	4 52' 9	762	1287		
50	4 47' 2	719	1228		55	4 51' 9	766	1287		
55	4 54' 4	666	1228	40 Ein Dunstband über dem Nordhorizonte.	2	0	4 50' 9	764	1286	
22 0	4 52' 2	636	1235		5	4 49' 8	764	1286		
5	5 6' 5	668	1213		10	4 50' 0	765	1286		
10	5 9' 0	661	1212		15	4 50' 6	767	1286		
15	4 57' 2	660	1204		20	4 50' 1	767	1286		
20	4 53' 6	609	1242		25	4 50' 0	769	1283		
25	4 54' 5	649	1249		30	4 51' 7	771	1282		
30	5 5' 5	659	1290		35	4 50' 8	767	1279		
35	5 7' 8	662	1314		40	4 50' 8	767	1279		
40	5 5' 8	708	1300		45	4 48' 7	761	1277		
45	5 4' 4	716	1295		50	4 49' 8	769	1275		
50	5 1' 4	734	1288		55	4 50' 6	764	1276		
55	4 59' 6	742	1287	48 kommt ein vierter Bogen hinzu.	3	0	4 52' 1	762	1276	
23 0	4 58' 4	738	1291		5	4 48' 8	754	1269		
5	4 57' 4	739	1299		10	4 49' 2	761	1261		
10	4 56' 2	739	1293		15	4 50' 2	761	1258		
15	4 53' 6	739	1293		20	4 52' 1	773	1253		
20	4 51' 7	742	1293		25	4 52' 3	774	1256		
25	4 51' 4	744	1293		30	4 51' 5	775	1260		
30	4 51' 6	737	1296		35	4 49' 5	769	1258		
35	4 52' 6	738	1294		40	4 50' 7	773	1263		
40	4 51' 4	730	1301		45	4 50' 7	777	1261		
45	4 51' 4	721	1300		50	4 51' 3	784	1261		
50	4 48' 9	710	1295		55	4 51' 6	786	1262		
55	4 42' 7	686	1301	50 verblassen zwei Bögen, einer leuchtet wieder auf.	4	0	4 50' 9	788	1262	
Mittel	4 53' 6	755	1269		5	4 51' 7	788	1266		
Max. .	5 13' 7	887	1429		10	4 51' 5	789	1267		
Min. .	4 10' 8	487	1015		15	4 51' 5	783	1269		
					20	4 50' 8	777	1270		
					25	4 50' 3	772	1271		
					30	4 49' 8	778	1269		
					35	4 49' 8	780	1267		
					40	4 50' 5	783	1268		
					45	4 50' 1	784	1269		
					50	4 51' 5	783	1273		
					55	4 50' 6	781	1275		
				53 Nur vom Zenithe südwärts eine Dunstmasse zu sehen.						
				22 ^h 0 ^m Firmament umzogen. Schneefall.						
				5 Nebel im Zenithe erscheint heller.						
				33 Ein lichter Fleck im Süden, kurz andauernd.						

Lufttemperatur —23°6. Leichter N und NW 1—2. Vormittag heiter; Nachmittag und gegen Abend Bewölkung zunehmend.

D = 25° + West

H = 0.09000 + 0.00... C. G. S.

V = 0.49000 + 0.0... C. G. S.

15. Jänner 1883.

Zeit	D	H	V	Zeit	D	H	V	Zeit	D	H	V	Zeit	D	H	V
5 ^h 0 ^m	4° 50' 0	773	1276	10 ^h 0 ^m	4° 53' 2	770	1255	15 ^h 0 ^m	4° 58' 9	805	1259	20 ^h 0 ^m	5° 24' 0	712	1108
5	4 49' 0	762	1276	5	4 52' 8	766	1259	5	4 56' 4	843	1270	5	5 22' 2	756	1112
10	4 48' 1	769	1270	10	4 53' 1	768	1250	10	4 52' 7	833	1240	10	5 21' 3	753	1117
15	4 50' 3	773	1269	15	4 53' 8	769	1256	15	4 56' 7	824	1243	15	5 8' 3	764	1123
20	4 50' 3	776	1270	20	4 54' 6	770	1256	20	4 54' 6	820	1248	20	4 48' 3	759	1120
25	4 51' 8	764	1274	25	4 54' 9	770	1256	25	4 57' 8	809	1250	25	4 54' 8	788	1065
30	4 44' 9	755	1272	30	4 54' 1	772	1255	30	4 56' 1	812	1252	30	4 57' 9	782	1093
35	4 48' 7	772	1266	35	4 55' 2	773	1252	35	4 57' 0	820	1247	35	5 5' 8	751	1093
40	4 48' 1	770	1268	40	4 55' 6	772	1255	40	5 0' 4	837	1242	40	5 10' 5	718	1096
45	4 49' 0	769	1268	45	4 55' 2	772	1255	45	5 3' 1	854	1237	45	5 23' 4	741	1085
50	4 47' 7	765	1263	50	4 55' 4	770	1250	50	5 4' 2	874	1237	50	5 22' 0	763	1088
55	4 48' 1	768	1263	55	4 55' 9	769	1256	55	4 55' 2	855	1250	55	5 14' 4	784	1096
6 0	4 48' 9	770	1263	11 0	4 56' 0	770	1256	16 0	4 56' 6	834	1255	21 0	5 15' 1	775	1107
5	4 49' 7	774	1263	5	4 55' 1	767	1255	5	4 54' 1	845	1246	5	5 0' 8	752	1112
10	4 50' 4	774	1261	10	4 56' 2	771	1254	10	4 56' 9	850	1244	10	5 8' 0	651	1139
15	4 51' 2	775	1262	15	4 56' 1	774	1254	15	5 3' 1	848	1244	15	5 2' 4	636	1117
20	4 52' 0	775	1264	20	4 56' 3	778	1254	20	5 0' 5	839	1247	20	4 55' 2	757	1103
25	4 51' 7	776	1267	25	4 56' 4	770	1258	25	4 59' 1	848	1232	25	4 46' 3	788	1096
30	4 52' 8	775	1268	30	4 56' 7	772	1258	30	4 55' 9	839	1232	30	4 42' 3	784	1091
35	4 52' 0	770	1268	35	4 55' 9	772	1255	35	4 56' 4	843	1223	35	4 44' 8	775	1088
40	4 51' 2	771	1267	40	4 57' 4	777	1254	40	4 52' 8	837	1217	40	4 39' 3	733	1096
45	4 51' 1	767	1267	45	4 57' 5	770	1258	45	4 54' 1	840	1205	45	4 24' 7	692	1109
50	4 49' 8	767	1264	50	4 56' 8	769	1257	50	4 56' 5	832	1190	50	4 36' 3	702	1110
55	4 50' 5	770	1261	55	4 56' 8	767	1257	55	4 59' 9	829	1189	55	5 3' 9	688	1117
7 0	4 51' 7	769	1263	12 0	4 56' 3	769	1258	17 0	5 1' 0	829	1180	22 0	5 1' 9	732	1099
5	4 51' 5	766	1263	5	4 57' 0	770	1259	5	5 1' 5	821	1178	5	5 1' 6	673	1096
10	4 49' 0	769	1260	10	4 58' 1	774	1258	10	4 59' 7	814	1172	10	4 57' 2	669	1111
15	4 50' 8	773	1260	15	4 59' 0	787	1256	15	5 0' 3	793	1164	15	5 25' 1	607	1113
20	4 52' 9	776	1260	20	4 59' 2	785	1258	20	5 5' 0	779	1161	20	5 44' 6	724	1107
25	4 51' 5	770	1266	25	4 59' 9	783	1259	25	5 10' 5	755	1165	25	5 23' 9	786	1104
30	4 50' 8	780	1262	30	4 58' 6	769	1263	30	5 10' 9	788	1153	30	5 17' 0	764	1117
35	4 54' 9	781	1264	35	5 0' 1	775	1262	35	5 3' 8	781	1141	35	5 20' 3	748	1126
40	4 54' 2	779	1267	40	4 57' 5	774	1268	40	5 1' 1	777	1142	40	5 8' 7	786	1139
45	4 51' 3	774	1269	45	4 57' 7	774	1269	45	5 59' 7	764	1150	45	5 15' 3	825	1136
50	4 52' 5	777	1268	50	4 55' 9	771	1269	50	4 56' 8	776	1141	50	5 3' 9	800	1132
55	4 52' 8	777	1268	55	4 56' 1	771	1269	55	4 55' 7	776	1142	55	5 12' 6	822	1139
8 0	4 52' 5	775	1269	13 0	4 53' 9	766	1271	18 0	4 54' 2	787	1137	23 0	5 9' 9	817	1157
5	4 52' 4	776	1268	5	4 52' 7	766	1268	5	4 56' 7	802	1129	5	4 59' 6	817	1168
10	4 52' 9	777	1268	10	4 53' 4	765	1268	10	4 54' 1	794	1135	10	5 2' 3	806	1176
15	4 52' 8	777	1268	15	4 53' 4	766	1268	15	4 48' 6	774	1140	15	4 58' 2	809	1180
20	4 52' 7	776	1267	20	4 56' 0	772	1266	20	4 51' 6	764	1136	20	4 57' 4	798	1110
25	4 53' 0	776	1266	25	4 56' 6	774	1267	25	4 54' 6	791	1110	25	4 54' 2	799	1194
30	4 52' 9	772	1267	30	4 54' 7	772	1269	30	4 47' 8	791	1098	30	4 56' 9	800	1190
35	4 52' 2	772	1266	35	4 53' 2	766	1270	35	4 46' 7	783	1096	35	4 57' 3	766	1195
40	4 52' 6	770	1266	40	4 55' 5	769	1268	40	4 51' 7	789	1093	40	4 54' 0	730	1205
45	4 53' 0	770	1264	45	4 56' 5	773	1269	45	4 55' 5	791	1090	45	4 48' 8	777	1193
50	4 52' 2	769	1264	50	4 57' 3	782	1267	50	4 52' 5	791	1097	50	4 51' 2	772	1203
55	4 52' 1	770	1263	55	4 51' 9	782	1271	55	4 59' 4	802	1095	55	4 54' 1	772	1212
9 0	4 51' 8	767	1263	14 0	4 55' 9	794	1267	19 0	5 2' 2	799	1101	Mittel	4 56' 0	777	1224
5	4 52' 6	766	1262	5	4 56' 2	804	1269	5	5 2' 1	798	1110	Max. . .	5 44' 6	874	1297
10	4 52' 0	767	1259	10	4 55' 9	810	1269	10	5 4' 8	787	1119	Min. . .	4 24' 7	607	1065
15	4 52' 6	767	1259	15	4 54' 7	804	1270	15	5 4' 9	783	1123				
20	4 52' 3	766	1258	20	4 55' 2	814	1270	20	5 5' 8	775	1126				
25	4 52' 6	764	1258	25	4 54' 3	823	1269	25	5 6' 7	771	1128				
30	4 52' 4	765	1257	30	4 55' 7	830	1269	30	5 3' 8	750	1137				
35	4 52' 9	767	1257	35	4 54' 9	822	1270	35	5 8' 5	742	1142				
40	4 52' 5	764	1257	40	4 56' 8	845	1268	40	4 59' 8	716	1138				
45	4 52' 3	766	1257	45	4 54' 9	845	1269	45	4 57' 6	659	1129				
50	4 51' 1	763	1257	50	4 55' 5	847	1268	50	5 9' 5	646	1100				
55	4 53' 0	769	1257	55	4 59' 7	854	1261	55	5 22' 3	691	1098				

Luftdruck sinkt um 10.5mm.
 Lufttemperatur 1°. Ganz be-
 wölkt, Morgens Regen,
 Abends Regen u. Schneefall;
 Vormittag ESE bis ENE 2-4,
 Nachmittag steifer ENE 6-7.

Fermtage.

Göttinger Zeit.

Jan. Mayen.

$D = 25^\circ +$ West

$H = 0.09000 + 0.00 \dots$ C. G. S.

$V = 0.49000 + 0.0 \dots$ C. G. S.

1. Februar 1883.

Zeit	D	H	V	Anmerkungen	Zeit	D	H	V	Anmerkungen
0 ^h 0 ^m	4° 57' 3	691	1256		5 ^h 0 ^m	4° 42' 7	692	1304	
5	4 57' 1	702	1260		5	4 40' 7	683	1303	
10	4 54' 3	775	1258		10	4 36' 7	694	1286	
15	4 54' 1	768	1262		15	4 49' 2	736	1275	
20	4 55' 1	760	1273		20	4 46' 3	761	1267	
25	4 58' 9	738	1287		25	4 54' 5	793	1262	
30	4 56' 4	757	1286		30	4 56' 6	803	1266	
35	4 56' 5	737	1295		35	4 57' 0	801	1271	
40	4 52' 9	734	1295		40	4 54' 6	803	1272	
45	4 54' 5	726	1307		45	4 54' 0	794	1274	
50	4 55' 0	739	1307		50	4 51' 8	786	1275	
55	4 53' 8	752	1314		55	4 52' 7	792	1273	
1 0	4 49' 1	764	1313		6 0	4 54' 5	795	1273	
5	4 52' 0	773	1308		5	4 53' 7	797	1273	
10	4 57' 9	755	1325		10	4 53' 7	797	1274	
15	4 57' 0	762	1328		15	4 53' 7	802	1274	
20	4 54' 7	763	1328		20	4 53' 7	791	1279	
25	4 53' 9	759	1328		25	4 53' 6	790	1282	
30	4 55' 5	767	1327		30	4 52' 7	787	1283	
35	5 2' 7	338	1499		35	4 53' 7	779	1283	
40	5 16' 8	346	1435		40	4 53' 6	777	1282	
45	4 44' 4	406	1454		45	4 52' 7	781	1277	
50	4 52' 6	451	1467		50	4 51' 9	764	1282	
55	4 13' 6	416	1424		55	4 49' 9	768	1276	
2 0	4 59' 9	538	1402		7 0	4 52' 0	773	1273	
5	4 24' 7	547	1347		5	4 53' 0	775	1272	
10	4 33' 6	480	1351		10	4 52' 0	771	1274	
15	4 28' 6	508	1330		15	4 51' 6	771	1272	
20	4 41' 6	576	1335		20	4 43' 4	782	1271	
25	4 41' 0	573	1349		25	4 54' 8	786	1272	
30	4 39' 7	568	1356		30	4 54' 8	779	1274	
35	4 44' 6	648	1324		35	4 53' 2	781	1275	
40	4 36' 4	683	1307		40	4 53' 6	773	1276	
45	4 38' 6	706	1271		45	4 53' 0	771	1275	
50	4 46' 4	735	1279		50	4 53' 3	772	1274	
55	4 44' 2	738	1285		55	4 50' 8	768	1274	
3 0	4 47' 4	753	1285		8 0	4 50' 8	764	1272	
5	4 46' 4	762	1286		5	4 53' 7	765	1273	
10	4 43' 6	748	1289		10	4 47' 7	765	1272	
15	4 43' 4	736	1283		15	4 50' 8	764	1295	
20	4 46' 0	747	1271		20	4 51' 0	763	1291	
25	4 49' 0	759	1263		25	4 51' 5	770	1286	
30	4 47' 1	758	1267		30	4 53' 0	774	1289	
35	4 50' 5	769	1259		35	4 55' 6	784	1288	
40	4 51' 9	780	1257		40	4 51' 9	779	1293	
45	4 53' 9	790	1256		45	4 49' 8	776	1295	
50	4 52' 4	786	1260		50	4 52' 7	773	1294	
55	4 51' 6	787	1262		55	4 51' 7	774	1295	
4 0	4 50' 9	782	1266		9 0	4 50' 5	767	1294	
5	4 48' 1	766	1276		5	4 51' 8	766	1297	
10	4 45' 6	742	1287		10	4 49' 6	764	1295	
15	4 47' 6	734	1289		15	4 49' 3	768	1289	
20	4 47' 7	739	1283		20	4 53' 2	763	1293	
25	4 50' 5	749	1274		25	4 52' 6	762	1291	
30	4 54' 5	759	1272		30	4 53' 8	773	1287	
35	4 47' 1	752	1281		35	4 57' 7	779	1289	
40	4 52' 5	737	1285		40	4 50' 4	778	1293	
45	4 50' 4	724	1296		45	4 50' 7	774	1295	
50	4 52' 1	723	1297		50	4 49' 9	767	1294	
55	4 48' 7	714	1304		55	4 51' 7	764	1294	

Polarlicht Nr 83.

0^h 43^m Ein lichtschwacher Bogen über Zenith verblasst nach 10 Minuten.

1^h 3—11^m Dunstfleck im Zenithe.

36 Lichtschimmer in SE, dem Strahlen entsteigen, welche zwei Bögen bilden; diese steigen auf und bilden

39—41^m eine Krone mit Wallen und Farbewicklung.

43—48^m Zwei Bänder mit wechselnder Helligkeit bleiben übrig, wovon eines bald verschwindet.

50 Das zweite Band ist gegen Zenith aufgestiegen und senkt sich nun formlos südwärts; ebenso ein darauffolgender Dunstreifen.

55 Band im Norden, das wallend aufsteigt.

58 Ein Band, von Süden kommend, erreicht den Zenith.

2^h 0^m Alles in Auflösung.

5 Bandförmige Lichtansammlungen in NW in zwei Höhen, beide zerstioben zu Dunst.

10 Unregelmässige, schwachleuchtende Dunstflecke.

20 Ein Streifen von SW über Zenith gegen Norden, wo eine Dunstmasse steht. Nebelschleier und Schneetreiben vereiteln die Sichtbarkeit der Erscheinungen.

22—39^m Zeitweise Dunstflocke und Streifen sichtbar.

40 Alles verschwunden.

58^m—3^h 1^m Dunst in SE.

3^h 24—26^m Dunst im Süden.

Terminstage.

Göttinger Zeit.

Jan Mayen.

 $D = 25^\circ +$ West $H = 0.09000 + 0.00 \dots C. G. S.$ $V = 0.49000 + 0.0 \dots C. G. S.$

1. Februar 1883.

Zeit	D	H	V	Anmerkungen	Zeit	D	H	V	Anmerkungen
10 ^h 0 ^m	4° 53' 0	762	1291		15 ^h 0 ^m	4° 57' 9	772	1273	
5	4 51' 0	762	1289		5	4 58' 7	784	1266	
10	4 51' 1	769	1283		10	4 58' 7	782	1269	
15	4 47' 3	769	1284		15	5 0' 9	771	1272	
20	4 50' 5	776	1282		20	5 2' 1	776	1267	
25	4 52' 8	764	1284		25	5 4' 2	775	1269	
30	4 54' 2	774	1279		30	5 3' 0	792	1263	
35	4 56' 6	778	1277		35	5 4' 7	793	1262	
40	4 54' 4	755	1284		40	5 8' 0	811	1254	
45	4 54' 1	764	1280		45	5 8' 9	819	1258	
50	4 58' 3	760	1275		50	5 5' 5	839	1253	
55	4 53' 7	752	1277		55	5 3' 2	825	1203	
11 0	4 55' 5	758	1275		16 0	5 6' 4	839	1262	
5	4 53' 7	758	1273		5	4 59' 6	824	1267	
10	4 57' 1	760	1274		10	5 5' 0	807	1274	
15	4 55' 4	757	1274		15	5 4' 6	801	1274	
20	4 55' 0	758	1273		20	5 1' 0	788	1280	
25	4 54' 5	758	1274		25	5 1' 1	788	1277	
30	4 54' 7	759	1276		30	5 1' 4	785	1275	
35	4 55' 1	757	1280		35	5 0' 0	779	1275	
40	4 54' 7	764	1279		40	4 59' 0	791	1274	
45	4 55' 1	768	1280		45	5 1' 8	789	1273	
50	4 55' 8	754	1283		50	5 3' 7	794	1273	
55	4 54' 4	764	1280		55	5 4' 3	800	1273	
12 0	4 55' 7	754	1283		17 0	5 8' 2	814	1263	
5	4 57' 7	748	1262		5	5 9' 6	826	1264	
10	4 56' 7	750	1261		10	5 7' 7	842	1263	
15	4 56' 3	752	1262		15	5 9' 7	855	1263	
20	4 56' 8	758	1263		20	5 12' 8	884	1253	
25	4 56' 7	758	1263		25	5 12' 8	891	1252	
30	4 55' 8	755	1264		30	5 13' 8	910	1223	
35	4 56' 3	756	1264		35	5 18' 8	879	1224	
40	4 56' 0	756	1264		40	5 17' 7	858	1215	
45	4 57' 4	759	1264		45	5 10' 7	827	1205	
50	4 57' 0	758	1266		50	5 19' 0	802	1197	
55	4 57' 3	760	1263		55	5 22' 5	780	1195	
13 0	4 57' 8	762	1263		18 0	5 23' 7	767	1193	
5	4 56' 9	759	1266		5	5 24' 2	756	1193	
10	4 57' 8	764	1263		10	5 22' 8	747	1196	
15	4 57' 9	768	1263		15	5 24' 8	746	1199	
20	4 59' 5	762	1266		20	5 24' 2	742	1203	
25	4 57' 9	754	1267		25	5 23' 7	744	1204	
30	4 58' 5	757	1269		30	5 25' 9	734	1210	
35	5 1' 0	779	1266		35	5 26' 1	713	1220	
40	4 59' 5	793	1266		40	5 27' 8	692	1229	
45	4 59' 7	800	1270		45	5 34' 1	681	1231	
50	4 58' 7	789	1274		50	5 34' 9	653	1240	
55	5 1' 1	797	1274		55	5 48' 8	601	1254	
14 0	4 59' 5	786	1277		19 0	5 44' 2	593	1257	
5	5 1' 9	792	1275		5	5 43' 7	572	1263	
10	5 2' 4	792	1274		10	5 34' 0	586	1252	
15	4 59' 0	776	1281		15	5 37' 9	564	1253	
20	4 59' 9	779	1275		20	5 35' 1	549	1250	
25	4 58' 4	774	1276		25	5 37' 1	604	1237	
30	4 58' 7	770	1276		30	5 24' 5	650	1220	
35	4 59' 9	771	1274		35	5 15' 9	722	1157	
40	4 59' 7	784	1272		40	5 10' 7	748	1156	
45	4 57' 7	801	1264		45	5 21' 5	744	1152	
50	4 56' 2	792	1272		50	5 20' 8	757	1134	
55	4 57' 5	779	1273		55	5 23' 8	789	1123	

Polarlicht Nr. 84.

18^h 54^m Ein Bogen im Süden mit lichtschwachen Strahlen gegen den Zenith.

19 10 Ein Bogen über Süd, $h=20^\circ$.

15 Der Bogen wird doppelt;

20 fast ganz verschwunden;

25 verblasst.

30—47^m Diffuser Lichtfleck in SSE—Süd, dann andere ganz schwache Erscheinungen von kurzer Dauer.

Terminstage.

Göttlinger Zeit.

Jan Mayen.

$D = 25^\circ +$ West

$H = 0.09000 + 0.00 \dots$ C. G. S.

$V = 0.49000 + 0.0 \dots$ C. G. S.

1. Februar 1883.

Zeit	D	H	V	Anmerkungen
20 ^h 0 ^m	5° 16' 1	796	1126	
5	5 14' 1	821	1120	
10	5 12' 0	822	1124	
15	5 8' 6	818	1126	
20	5 10' 0	817	1136	20 ^h 0 ^m Ein Strahl von ENE gegen Zenith und drei matt leuchtende Streifen. In NNE ein Dunstfleck.
25	5 15' 7	822	1137	
30	5 21' 9	842	1143	10 Dunstfleck erloschen. Die Streifen verlängern und verkürzen sich abwechselnd. Verblässen dann allmählich.
35	5 20' 8	847	1152	15 Längs dem NE-Horizonte schwach leuchtende Strahlen, bis $h = 25^\circ$. Verblässen nach zwei Minuten.
40	5 17' 5	837	1163	17—34 ^m Mehrere lichtschwache Erscheinungen, breite Streifen mit wechselnder Länge, einzelne Strahlen.
45	5 18' 4	812	1174	35 ^m Ein langer Streifen von ENE über Zenith, etliche kürzere daneben, welche bald verschwinden.
50	5 19' 6	813	1181	36—42 ^m Der lange Streifen verkürzt und verbreitet sich.
55	5 28' 8	796	1194	45 ^m Nur mehr ein kleiner Fleck in ENE.
21 0	5 29' 2	770	1215	46—49 ^m Daraus entwickelt sich ein gefalteter Schleier bis zum Zenith, der untere Theil verschwindet zuerst, das Übrige senkt sich und verschwindet langsam.
5	5 30' 5	773	1227	55 ^m Strahlen in NNW und in Nord, verblässen bald.
10	5 31' 1	782	1228	21 0 Ein Streifen, der sich südwärts senkt. In NE ein Theil eines früheren Bogens sichtbar.
15	5 25' 9	782	1232	15 Ein Dunstfleck im Osten.
20	5 28' 7	774	1232	30 Ein Dunststreifen im Osten zenithwärts.
25	5 34' 8	756	1240	40 Ein Dunstfleck in ENE.
30	5 49' 7	723	1253	22 25 Strahlen in Osten, die am Horizonte gegen Süden ziehen.
35	5 51' 8	689	1271	30 Aus diesen und neu hinzugekommenen Strahlen bildet sich ein lichtstarker gefalteter Vorhang, dessen unterer Saum grün gefärbt ist.
40	5 58' 7	665	1285	35 Alles bis auf einen Dunstfleck im Süden verschwunden.
45	5 59' 0	643	1291	40 Strahlen, von verschiedener Richtung kommend, vereinigen sich im Zenith zu einer kronenartigen Erscheinung, die längere Zeit andauert und sich allmählich auflöst.
50	5 56' 3	606	1312	52 Helles gewundenes Band, ENE—WNW mit lebhaftem Wallen und Wogen, senkt sich südwärts und entsendet Strahlen.
55	5 53' 9	631	1313	23 0 Strahlenbüschel blieben vom Früheren übrig.
22 0	5 51' 4	605	1339	10 Ein Streifen vom Zenith gegen SW.
5	5 48' 9	406	1474	15 Ein schwacher breiter Streifen von Nord gegen NE abgelenkt. Ziemlich dichter Nebel.
10	5 23' 8	210	1593	20 Lichtschein in SE und SSW.
15	5 11' 7	314	1521	25 Von einem hellen Bogen sind jetzt mehrere Streifen in Norden und NNE, in WSW der Bogenheil geblieben. Alles verwandelt sich in Dunst.
20	5 23' 8	423	1479	30 Über den SE-Horizont steht eine lange Reihe von Dunstwölkchen, die aus einem früheren Bogen entstanden sind.
25	5 14' 1	426	1467	35 Nach einer früheren Vorhangerscheinung ist jetzt nur mehr diffuses Licht.
30	5 23' 5	527	1393	36—39 ^m Trotz Nebel helle Strahlenercheinungen und eine Kronenbildung.
35	5 16' 7	628	1362	40 Ein Streif von SW über Zenith nach NE nebst kleinen Dunstwölkchen. Gleich darauf eine grosse Kronenbildung, der ein Vorhang folgt.
40	5 28' 1	694	1357	45 Mehrere breite Dunststreifenstücke nach Süden ziehend.
45	5 10' 9	712	1370	50 Grosse Krone, Strahlenwurf über Nordhorizont und ein langer heller Strahl gegen SE.
50	5 6' 9	672	1351	55 Neuerdings eine Krone mit kurzem Strahlenwurfe, verwandelt sich dann in ein Band und schwimmt dann zu einem Dunststreifen.
55	5 12' 3	616	1393	
23 0	5 26' 2	719	1388	
5	5 17' 1	737	1390	
10	5 8' 6	776	1393	
15	5 2' 4	802	1383	
20	4 57' 0	774	1374	
25	5 0' 2	775	1362	
30	4 54' 3	750	1371	
35	4 56' 9	799	1364	
40	4 48' 7	781	1367	
45	5 40' 1	766	1422	
50	5 28' 7	802	1379	
55	5 11' 1	842	1343	
Mittel .	5 2' 3	742	1280	
Max. .	5 59' 0	910	1593	
Min. .	4 13' 6	210	1120	

Luftdruck steigt um $10 \cdot 4$ mm. Lufttemperatur $-17^\circ 0$. Frischer NW 4—5; häufig wechselnde Bewölkung; Schneetreiben; Mittags Schneefall.

Terminstage.

Göttinger Zeit.

Jan Mayen.

 $D = 25^\circ +$ West $H = 0.09000 + 0.00 \dots$ C. G. S. $V = 0.49000 + 0.0 \dots$ C. G. S.

15. Februar 1883.

Zeit	D	H	V	Zeit	D	H	V	Zeit	D	H	V	Zeit	D	H	V
0 ^h 0 ^m	4°45'8	481	1317	5 ^h 0 ^m	4°52'1	750	1183	10 ^h 0 ^m	4°53'5	760	1174	15 ^h 0 ^m	4°57'6	757	1193
5	4 40'1	402	1304	5	4 50'5	747	1181	5	4 54'7	759	1176	5	4 55'1	756	1194
10	4 58'2	452	1277	10	4 51'2	704	1174	10	4 52'2	754	1182	10	4 55'3	752	1195
15	4 56'9	434	1249	15	4 47'1	737	1180	15	4 53'4	755	1176	15	4 56'3	753	1194
20	4 41'4	478	1224	20	4 50'1	749	1173	20	4 54'3	765	1176	20	4 56'4	757	1194
25	5 8'7	483	1258	25	4 50'0	753	1174	25	4 53'1	755	1177	25	4 56'3	761	1193
30	5 7'9	523	1262	30	4 48'7	750	1179	30	4 54'2	755	1182	30	4 56'2	755	1195
35	5 8'4	553	1254	35	4 48'1	731	1170	35	4 54'9	754	1182	35	4 56'4	753	1195
40	4 41'2	501	1243	40	4 47'9	742	1170	40	4 53'3	749	1182	40	4 56'6	755	1194
45	4 56'4	595	1243	45	4 55'7	793	1164	45	4 53'4	755	1181	45	4 55'8	752	1194
50	4 52'9	580	1247	50	4 51'5	750	1174	50	4 53'2	755	1182	50	4 56'9	754	1193
55	4 47'3	612	1223	55	4 54'6	793	1170	55	4 53'7	756	1182	55	4 56'8	757	1192
1 0	4 54'4	652	1209	6 0	4 53'5	760	1175	11 0	4 52'9	747	1183	16 0	4 56'0	761	1191
5	5 0'7	643	1219	5	4 51'3	757	1176	5	4 54'4	749	1183	5	4 56'2	757	1193
10	5 20'0	615	1230	10	4 50'3	753	1176	10	4 54'3	757	1182	10	4 56'8	756	1193
15	5 20'1	604	1222	15	4 54'3	765	1174	15	4 54'0	750	1183	15	4 56'3	759	1192
20	5 18'8	693	1219	20	4 54'7	760	1178	20	4 54'2	747	1183	20	4 56'1	764	1190
25	5 20'9	695	1229	25	4 54'5	758	1179	25	4 53'3	749	1183	25	4 55'5	760	1192
30	5 15'1	732	1232	30	4 54'1	759	1179	30	4 53'4	747	1183	30	4 54'7	762	1192
35	4 58'3	701	1249	35	4 48'9	746	1184	35	4 53'4	745	1184	35	4 55'1	757	1193
40	4 55'9	698	1246	40	4 51'1	757	1177	40	4 54'1	745	1184	40	4 55'1	756	1194
45	4 55'3	709	1244	45	4 57'1	706	1174	45	4 53'8	742	1184	45	4 55'0	759	1192
50	4 53'7	720	1236	50	4 53'6	759	1172	50	4 54'4	745	1183	50	4 54'6	759	1193
55	4 51'2	745	1234	55	4 52'3	758	1177	55	4 55'2	742	1184	55	4 54'1	759	1193
2 0	4 46'6	727	1246	7 0	4 50'3	754	1175	12 0	4 55'3	744	1186	17 0	4 54'0	753	1195
5	4 46'2	719	1244	5	4 50'7	755	1172	5	4 58'0	751	1184	5	4 53'6	757	1193
10	4 48'1	736	1233	10	4 52'3	750	1181	10	4 57'0	752	1187	10	4 54'1	759	1193
15	4 47'3	743	1230	15	4 49'3	702	1169	15	4 55'9	750	1190	15	4 53'5	761	1193
20	4 50'3	759	1223	20	4 47'1	706	1170	20	4 54'4	744	1191	20	4 53'6	764	1193
25	4 57'0	773	1220	25	4 51'3	758	1172	25	4 55'0	743	1192	25	4 54'1	769	1190
30	4 54'3	764	1224	30	4 50'0	765	1169	30	4 55'7	747	1191	30	4 52'4	777	1189
35	4 49'0	739	1226	35	4 54'3	772	1163	35	4 55'7	745	1191	35	4 53'0	775	1191
40	4 49'5	746	1216	40	4 52'2	762	1168	40	4 55'9	744	1192	40	4 51'3	784	1191
45	4 41'2	727	1224	45	4 50'8	766	1166	45	4 56'3	746	1190	45	4 53'5	772	1195
50	4 39'2	725	1219	50	4 53'9	762	1168	50	4 56'3	747	1191	50	4 52'8	773	1194
55	4 45'1	719	1223	55	4 48'8	747	1178	55	4 55'3	741	1193	55	4 53'2	766	1195
3 0	4 37'2	692	1245	8 0	5 0'4	772	1169	13 0	4 55'2	744	1190	18 0	4 53'8	763	1195
5	4 38'2	693	1245	5	4 47'1	732	1182	5	4 56'3	744	1191	5	4 53'6	764	1193
10	4 45'3	714	1224	10	4 55'1	784	1162	10	4 57'4	752	1187	10	4 53'8	764	1192
15	4 49'3	717	1224	15	4 50'4	754	1172	15	4 58'1	751	1189	15	4 53'3	762	1192
20	4 46'4	727	1233	20	4 52'9	707	1170	20	4 58'2	752	1188	20	4 54'2	761	1192
25	4 48'9	733	1235	25	4 53'0	776	1166	25	4 57'1	752	1190	25	4 53'5	763	1192
30	4 49'0	739	1239	30	4 52'3	764	1170	30	4 56'5	747	1192	30	4 53'8	758	1193
35	4 49'5	734	1242	35	4 52'6	763	1183	35	4 56'3	746	1192	35	4 53'3	763	1192
40	4 48'7	730	1248	40	4 53'8	775	1169	40	4 56'0	747	1192	40	4 53'2	760	1193
45	4 45'7	722	1242	45	4 52'7	767	1173	45	4 57'3	748	1191	45	4 53'5	759	1192
50	4 46'1	733	1234	50	4 53'4	769	1169	50	4 57'1	745	1193	50	4 53'0	764	1189
55	4 47'4	744	1236	55	4 55'0	766	1172	55	4 57'2	745	1193	55	4 52'6	764	1192
4 0	4 49'1	753	1229	9 0	4 53'4	754	1174	14 0	4 57'7	751	1190	19 0	4 52'3	762	1192
5	4 48'3	759	1227	5	4 55'1	758	1174	5	4 58'3	754	1191	5	4 53'3	762	1190
10	4 46'0	755	1227	10	4 52'9	754	1175	10	4 56'9	751	1192	10	4 53'4	764	1191
15	4 49'3	793	1218	15	4 54'6	770	1170	15	4 58'6	755	1189	15	4 53'6	767	1190
20	4 51'9	762	1209	20	4 53'0	752	1181	20	4 57'9	754	1192	20	4 53'4	764	1192
25	4 50'3	760	1208	25	4 53'4	764	1173	25	4 57'9	745	1192	25	4 53'6	763	1193
30	4 49'7	748	1215	30	4 53'6	756	1177	30	4 58'4	762	1187	30	4 53'5	762	1192
35	4 46'5	744	1210	35	4 53'3	757	1175	35	4 57'5	762	1187	35	4 52'5	764	1190
40	4 49'8	754	1201	40	4 53'2	759	1175	40	4 58'6	759	1188	40	4 52'7	764	1190
45	4 47'0	758	1201	45	4 52'5	750	1170	45	4 57'7	755	1192	45	4 53'1	770	1187
50	4 48'3	747	1190	50	4 52'8	757	1176	50	4 57'6	767	1188	50	4 53'1	774	1186
55	4 49'8	747	1189	55	4 52'1	759	1177	55	4 57'3	749	1194	55	4 53'3	772	1188

Terminstage.

Göttinger Zeit.

Jan. Mayen.

D = 25° + West				H = 0.09000 + 0.00... C. G. S.				V = 0.49000 + 0.0... C. G. S.			
15. Februar 1883.				1. März 1883.							
Zeit	D	H	V	Zeit	D	H	V	Anmerkungen			
20 ^h 0 ^m	4° 53' 8"	770	1188	0 ^h 0 ^m	5° 30' 8"	796	1302	<p>Polarlicht Nr. 96.</p> <p>2^h 2^m Ein Vorhang in SW. Ein grosser Dunstfleck ragt aus einer in Süd stehenden Stratus-Bank hervor.</p> <p>10 Eine Krone. Concentrirungspunkt der Strahlen im grossen Bären.</p> <p>15 In Auflösung zu Bändern.</p> <p>20 Die Bänder haben sich in wallende Lichtmassen ausgebreitet, welche den grössten Theil des Firmamentes bedecken.</p> <p>25 Ein Band mit Strahlentextur. Lichtdunst im Süden.</p> <p>30 Ein stark gekrümmtes Band.</p> <p>35 Ein neues Band schliesst sich an.</p> <p>38—47^m Der grösste Theil des Firmamentes mit Lichtdunst überzogen, in welchem zeitweise Bänder und Streifen aufhellen.</p> <p>50 Sehr verbreiteter Lichtdunst.</p> <p>52—57^m Treten in dem Lichtdunste einzelne helle Bänder auf.</p> <p>3^h 5^m Dunststreifen gegen Zenith mit strahlenförmigem Ende.</p> <p>10 Nur ein Bogen von SW über Süd, $\lambda = 20^\circ$ nach SE.</p> <p>14—21^m Zwei in SW stehende Bögen zertheilen sich zu Dunststreifen von verschiedener Krümmung und zu mehreren Dunstflecken.</p> <p>25 Nach Vereinigung zu einem Bogen verschwindet Alles.</p> <p>30 Ein mehrfach gewundenes Band im Westen mit Färbung.</p> <p>40 Mehrere schwache Dunstflecke in Süd und SSW.</p> <p>45 Ein früher entstandener Strahl mit abnehmender Lichtstärke.</p> <p>50 Nur mehr lichte Stellen in Süd und SE.</p> <p>55 Von einigen Erscheinungen nur ein Lichtfleck in Ost sichtbar.</p> <p>4^h 0^m Kurzer Strahl von NW zenithwärts. Es bewölkt sich ganz.</p> <p>53 Durch eine Wolkenlücke ein Strahl in NW sichtbar.</p>			
5	4 53' 3"	768	1189	5	5 24' 7"	731	1291				
10	4 53' 4"	764	1190	10	5 21' 8"	690	1244				
15	4 54' 2"	759	1191	15	5 17' 8"	631	1235				
20	4 53' 3"	765	1186	20	5 14' 4"	654	1204				
25	4 53' 3"	767	1184	25	5 4' 1"	641	1207				
30	4 53' 5"	766	1187	30	5 7' 7"	616	1232				
35	4 53' 7"	767	1184	35	4 59' 1"	684	1222				
40	4 54' 6"	769	1184	40	4 57' 9"	730	1227				
45	4 54' 3"	765	1184	45	4 57' 8"	745	1236				
50	4 53' 4"	753	1186	50	4 59' 2"	742	1242				
55	4 56' 3"	749	1184	55	4 59' 8"	747	1242				
21 0	4 57' 2"	752	1183	1 0	4 59' 8"	735	1247				
5	4 55' 1"	754	1184	5	4 54' 2"	724	1252				
10	4 57' 1"	754	1183	10	4 40' 1"	729	1258				
15	4 55' 4"	753	1184	15	4 48' 0"	697	1283				
20	4 54' 7"	754	1186	20	4 53' 5"	591	1359				
25	4 54' 9"	759	1186	25	5 15' 7"	559	1374				
30	4 54' 6"	760	1186	30	5 22' 1"	422	1282				
35	4 54' 9"	764	1186	35	5 23' 8"	253	1312				
40	4 56' 1"	761	1188	40	5 36' 4"	520	1334				
45	4 55' 7"	761	1191	45	5 8' 2"	523	1347				
50	4 54' 1"	762	1192	50	4 55' 3"	477	1393				
55	4 53' 5"	762	1192	55	4 28' 7"	575	1370				
22 0	4 52' 4"	759	1191	2 0	4 1' 6"	586	1414				
5	4 51' 4"	756	1192	5	4 17' 5"	517	1363				
10	4 52' 7"	752	1194	10	4 14' 0"	598	1307				
15	4 52' 3"	752	1194	15	4 25' 3"	656	1282				
20	4 53' 6"	755	1195	20	4 10' 5"	644	1267				
25	4 55' 4"	749	1194	25	3 43' 2"	650	1240				
30	4 52' 5"	740	1196	30	4 47' 4"	548	1250				
35	4 51' 6"	739	1205	35	5 4' 5"	735	1176				
40	4 53' 3"	739	1206	40	4 51' 6"	697	1175				
45	4 55' 3"	734	1204	45	4 48' 3"	716	1150				
50	4 52' 7"	739	1197	50	4 41' 8"	713	1146				
55	4 53' 8"	744	1202	55	4 34' 4"	697	1143				
23 0	4 51' 8"	750	1200	3 0	4 30' 5"	672	1148				
5	4 51' 5"	754	1200	5	4 41' 4"	660	1113				
10	4 50' 6"	757	1204	10	4 33' 4"	645	1111				
15	4 52' 4"	756	1203	15	4 24' 4"	665	1121				
20	4 53' 4"	752	1205	20	4 35' 2"	626	1136				
25	4 54' 1"	750	1207	25	4 26' 7"	594	1161				
30	4 54' 8"	765	1205	30	4 20' 7"	571	1167				
35	4 55' 0"	768	1204	35	4 17' 4"	533	1195				
40	4 53' 8"	767	1205	40	4 25' 1"	555	1200				
45	4 53' 6"	764	1206	45	4 9' 6"	541	1219				
50	4 53' 4"	762	1207	50	4 18' 6"	541	1237				
55	4 50' 0"	757	1212	55	4 32' 3"	591	1245				
Mittel	4 53' 7"	742	1196	4 0	4 29' 6"	563	1253				
Max.	5 20' 9"	784	1317	5	4 15' 7"	640	1233				
Min.	4 37' 2"	402	1163	10	4 9' 4"	583	1264				
				15	4 23' 4"	602	1270				
				20	4 19' 8"	596	1272				
				25	4 13' 3"	576	1271				
				30	4 21' 0"	585	1267				
				35	4 25' 0"	583	1260				
				40	4 2' 1"	490	1287				
				45	4 20' 4"	590	1245				
				50	4 26' 1"	583	1257				
				55	4 26' 1"	564	1271				

Niederer Luftdruck 738.7 mm.
 Lufttemperatur — 0°1, langsam
 steigend, dicht bewölkt Vormittag
 ENE 5—7 mit Regen in den Morgen-
 stunden. Nachmittag ESE 5—7 mit
 Regen und Abends mit Schneefall.

Terminstage.

Göttinger Zeit.

Jan Mayen.

 $D = 25^\circ +$ West $H = 0.09000 + 0.00 \dots$ C. G. S. $V = 0.49000 + 0.0 \dots$ C. G. S.

1. März 1883.

Zeit	D	H	V	Anmerkungen	Zeit	D	H	V	Anmerkungen
5 ^h 0 ^m	4° 25' 9	547	1262		10 0 ^m	5° 1' 0	761	1031	
5	4 7' 7	528	1266		5	4 55' 0	815	1034	
10	4 16' 2	526	1258	5 ^h 12 ^m Stück eines schwachen Dunstbogens im Westen; wird gleich wieder durch Wolken verdeckt.	10	4 48' 3	759	1048	
15	4 25' 7	563	1255		15	4 50' 0	714	1078	
20	4 29' 3	558	1246		20	4 51' 0	738	1072	
25	4 19' 4	553	1241		25	4 59' 0	762	1067	
30	4 35' 8	533	1233		30	5 1' 5	730	1081	
35	4 26' 2	557	1217		35	5 3' 8	751	1074	
40	4 29' 1	554	1213		40	5 6' 9	794	1044	
45	4 38' 5	494	1231	15 Einen Moment ein Stück eines senkrechten Strahles in SW durch eine Wolkenlücke sichtbar.	45	5 4' 6	769	1103	
50	4 30' 3	544	1208		50	5 2' 0	815	1092	
55	4 34' 0	561	1193		55	4 58' 0	851	1094	
6 0	4 12' 6	569	1184		11 0	4 55' 5	873	1105	
5	4 17' 9	629	1170		5	5 4' 0	852	1125	
10	4 18' 0	573	1186		10	5 2' 5	907	1094	
15	4 21' 7	611	1165	30 Ein heller Strahl scheint durch die Wolken; hierauf schimmert eine Kronenerscheinung durch die Wolkendecke.	15	5 0' 5	891	1124	
20	4 18' 4	616	1167		20	4 51' 3	841	1127	
25	4 21' 9	642	1167		25	4 57' 8	880	1097	
30	4 14' 1	658	1176		30	5 1' 5	1026	1084	
35	4 15' 5	640	1174		35	4 53' 0	982	1087	
40	4 20' 4	615	1167		40	4 40' 8	1004	1095	
45	4 15' 3	575	1172		45	4 38' 5	898	1105	
50	4 2' 6	548	1159		50	4 42' 9	899	1090	
55	4 4' 3	572	1136	34 — 42 ^m Zeitweise durch Wolkenlücken helle Lichtschimmer und manchmal auch Stücke von Streifen sichtbar.	55	4 38' 6	850	1065	
7 0	3 59' 8	573	1143		12 0	4 37' 7	833	1044	
5	4 15' 4	577	1145		5	4 58' 2	817	1051	
10	4 18' 0	570	1147		10	4 48' 2	834	1045	
15	4 35' 5	603	1143		15	4 57' 5	863	1044	
20	4 2' 0	526	1140		20	4 44' 8	896	1030	
25	4 10' 8	593	1110		25	4 32' 9	896	1011	
30	3 48' 2	528	1143		30	4 30' 2	863	1007	
35	3 48' 2	510	1129		35	4 25' 9	850	987	
40	3 40' 3	568	1115		40	4 47' 9	867	957	
45	4 13' 6	508	1098	54 Schwacher Bogen von NE nach WSW, Scheitel $\lambda = 25^\circ$. Gleich darauf dicht bewölkt.	45	4 43' 4	890	933	
50	4 36' 8	549	1091		50	4 40' 5	861	949	
55	4 47' 7	566	1108		55	4 47' 4	871	960	
8 0	4 26' 4	619	1048		13 0	4 39' 7	840	976	
5	4 10' 3	636	1039		5	4 31' 4	851	966	
10	4 37' 3	677	1044		10	4 32' 6	819	945	
15	4 8' 8	667	1039		15	4 48' 8	787	914	
20	4 37' 2	724	1017		20	4 35' 3	676	924	
25	5 12' 4	770	1028		25	4 44' 7	742	901	
30	4 44' 5	797	1030		30	4 42' 9	797	877	
35	4 54' 0	785	1066		35	4 55' 9	707	885	
40	5 7' 8	829	1032		40	5 5' 1	730	850	
45	4 43' 5	767	1071		45	5 17' 2	792	859	
50	4 48' 5	744	1080		50	5 10' 0	815	879	
55	4 47' 5	809	1044		55	5 29' 4	777	879	
9 0	4 39' 4	778	1041		14 0	5 13' 0	740	885	
5	4 43' 0	756	1077		5	4 59' 7	735	890	
10	4 31' 7	733	1058		10	4 52' 2	721	900	
15	4 36' 4	730	1062		15	4 48' 9	722	913	
20	4 50' 9	717	1060		20	4 45' 6	728	903	
25	4 38' 4	730	1048		25	4 57' 5	767	876	
30	4 43' 0	759	1027		30	5 7' 6	763	900	
35	4 50' 5	751	1030		35	5 4' 5	742	912	
40	4 47' 8	702	1040		40	4 53' 5	732	921	
45	4 56' 2	674	1047		45	4 49' 7	737	912	
50	5 0' 5	727	1028		50	5 4' 0	740	911	
55	5 6' 9	695	1042		55	5 9' 4	742	918	

Terminstage.

Göttinger Zeit.

Jan Mayen.

$D = 25^\circ +$ West

$H = 0.09000 + 0.00 \dots C. G. S.$

$V = 0.49000 + 0.0 \dots C. G. S.$

1. März 1883.

15. März 1883.

1. März 1883.				15. März 1883.			
Zeit	D	H	V	Zeit	D	H	V
15 ^h 0 ^m	5° 11' 9"	806	893	20 ^h 0 ^m	5° 34' 0"	481	818
5	5 8' 2"	824	903	5	5 24' 7"	422	864
10	4 53' 7"	788	923	10	5 26' 8"	450	905
15	4 50' 9"	740	929	15	5 21' 4"	425	948
20	4 49' 4"	746	917	20	5 15' 7"	481	985
25	4 56' 8"	742	891	25	5 28' 8"	524	999
30	5 8' 9"	705	837	30	5 43' 8"	583	1002
35	5 7' 4"	811	808	35	5 49' 1"	582	1029
40	5 5' 2"	793	818	40	5 31' 0"	626	1051
45	5 20' 8"	791	837	45	5 30' 9"	659	1067
50	5 35' 9"	724	846	50	5 31' 5"	669	1094
55	5 17' 0"	681	864	55	5 30' 4"	705	1093
16 0	5 7' 6"	638	895	21 0	5 31' 7"	722	1091
5	5 7' 3"	676	911	5	5 25' 1"	717	1096
10	5 11' 1"	723	912	10	5 22' 1"	707	1101
15	5 1' 5"	729	930	15	5 24' 3"	733	1096
20	5 2' 5"	689	935	20	5 15' 6"	734	1098
25	5 6' 1"	697	934	25	5 17' 6"	732	1099
30	5 10' 7"	737	920	30	5 18' 1"	701	1112
35	5 14' 1"	753	912	35	5 11' 2"	677	1117
40	5 20' 6"	755	918	40	5 8' 6"	686	1115
45	5 19' 5"	758	927	45	4 58' 5"	680	1120
50	5 18' 8"	779	925	50	4 56' 5"	551	1137
55	5 19' 5"	794	936	55	5 4' 0"	582	1120
17 0	5 15' 2"	777	941	22 0	4 53' 5"	631	1092
5	5 19' 0"	750	952	5	4 48' 7"	605	1082
10	5 13' 6"	734	960	10	4 57' 8"	642	1058
15	5 12' 0"	707	957	15	4 43' 4"	679	1040
20	5 14' 4"	792	958	20	4 56' 5"	716	1048
25	5 8' 1"	799	958	25	4 44' 5"	704	1051
30	5 6' 3"	785	971	30	4 54' 5"	749	1028
35	4 51' 7"	770	948	35	4 24' 8"	707	1056
40	4 59' 0"	862	903	40	4 22' 0"	632	1094
45	5 3' 3"	816	949	45	4 43' 0"	671	1073
50	5 0' 5"	854	951	50	4 22' 2"	715	1056
55	5 7' 1"	872	958	55	4 22' 9"	704	1080
18 0	5 4' 9"	851	977	23 0	4 32' 2"	687	1109
5	5 6' 8"	812	992	5	4 38' 4"	716	1109
10	5 10' 0"	812	996	10	4 47' 4"	717	1148
15	5 8' 2"	803	1000	15	4 42' 0"	728	1169
20	5 9' 1"	800	1007	20	4 53' 5"	674	1204
25	5 7' 9"	778	1016	25	5 47' 2"	544	1299
30	5 12' 6"	753	1017	30	5 29' 7"	553	1269
35	5 11' 7"	767	1010	35	5 52' 3"	611	1288
40	5 11' 7"	756	1010	40	5 50' 7"	593	1304
45	5 16' 6"	742	1012	45	6 5' 4"	542	1334
50	5 22' 2"	725	1011	50	5 45' 7"	572	1355
55	5 31' 0"	716	1011	55	5 52' 8"	508	1344
19 0	5 34' 7"	681	1026	Mittel	4 49' 9"	679	1084
5	5 35' 9"	602	1061	Max.	6 5' 4"	1026	1414
10	5 22' 1"	526	1098	Min.	0 58' 7"	0	787
15	4 36' 2"	372	1167	Rasch sinkender Luftdruck (um 11.9mm). Lufttemperatur — 1°. WSW 4—6. Dreht über S bis ESE 4—6. Vor- mittag Schneetreiben. Nach- mittag dicht bewölkt.			
20	0 58' 7"	443	1206				
25	1 57' 6"	165	1142				
30	2 22' 3"	0	1218				
35	4 58' 5"	270	1010				
40	4 41' 5"	251	883				
45	5 4' 3"	349	867				
50	5 15' 6"	340	851				
55	5 24' 6"	476	787				
15. März 1883. 0 ^h 0 ^m	4° 43' 8"	659	1289				
5	4 47' 8"	592	1311	5	4 41' 7"	672	1222
10	5 7' 9"	585	1298	10	4 35' 1"	617	1230
15	4 55' 9"	563	1311	15	4 41' 9"	646	1206
20	4 58' 1"	566	1307	20	4 33' 2"	611	1190
25	4 53' 0"	610	1276	25	4 33' 8"	610	1191
30	4 46' 8"	629	1267	30	4 33' 6"	594	1199
35	4 50' 9"	669	1272	35	4 36' 7"	611	1192
40	4 49' 3"	684	1271	40	4 36' 6"	632	1193
45	4 51' 7"	711	1267	45	4 39' 3"	666	1188
50	4 49' 9"	712	1258	50	4 33' 6"	652	1200
55	4 48' 3"	716	1254	55	4 37' 8"	671	1193
1 0	4 48' 6"	725	1245	6 0	4 40' 0"	657	1204
5	4 50' 1"	733	1237	5	4 49' 9"	707	1184
10	4 49' 5"	731	1227	10	4 40' 8"	689	1199
15	4 50' 2"	731	1242	15	4 43' 5"	675	1197
20	4 49' 6"	743	1233	20	4 43' 8"	711	1182
25	4 49' 1"	744	1226	25	4 44' 4"	722	1182
30	4 51' 7"	744	1227	30	4 52' 8"	732	1181
35	4 50' 9"	741	1223	35	4 51' 3"	744	1166
40	4 49' 9"	745	1223	40	4 44' 2"	727	1183
45	4 48' 8"	741	1220	45	4 51' 7"	719	1182
50	4 48' 4"	735	1221	50	4 59' 0"	741	1181
55	4 48' 0"	745	1213	55	5 3' 9"	794	1166
2 0	4 49' 3"	756	1210	7 0	4 57' 0"	771	1166
5	4 50' 9"	756	1210	5	4 40' 0"	779	1187
10	4 50' 4"	757	1209	10	4 46' 2"	747	1181
15	4 50' 4"	759	1205	15	4 51' 1"	718	1190
20	4 51' 9"	759	1205	20	4 49' 6"	724	1191
25	4 51' 8"	759	1204	25	4 52' 2"	728	1176
30	4 50' 7"	759	1203	30	4 49' 3"	736	1177
35	4 53' 4"	766	1204	35	4 46' 6"	726	1165
40	4 49' 6"	753	1207	40	4 49' 9"	736	1161
45	4 48' 9"	746	1212	45	4 52' 3"	736	1169
50	4 47' 2"	739	1205	50	4 51' 3"	732	1170
55	4 46' 2"	728	1204	55	4 50' 6"	706	1179
3 0	4 50' 1"	740	1214	8 0	4 50' 7"	722	1173
5	4 47' 9"	747	1193	5	4 58' 8"	715	1175
10	4 53' 6"	725	1221	10	4 59' 7"	724	1168
15	4 47' 1"	722	1201	15	4 59' 3"	754	1160
20	4 48' 0"	721	1210	20	4 56' 0"	763	1163
25	4 40' 8"	684	1221	25	4 58' 1"	758	1175
30	4 44' 8"	715	1197	30	4 57' 7"	760	1174
35	4 49' 7"	716	1213	35	4 53' 7"	762	1174
40	4 46' 8"	690	1220	40	4 53' 8"	763	1181
45	4 46' 5"	689	1220	45	4 56' 1"	765	1183
50	4 40' 7"	673	1228	50	4 52' 5"	764	1186
55	4 43' 0"	706	1219	55	4 52' 7"	770	1187
4 0	4 44' 9"	724	1217	9 0	4 52' 4"	761	1193
5	4 47' 3"	732	1215	5	4 52' 1"	764	1193
10	4 41' 9"	706	1226	10	4 50' 9"	754	1195
15	4 43' 4"	719	1212	15	4 53' 3"	760	1193
20	4 43' 8"	715	1214	20	4 50' 0"	754	1196
25	4 46' 7"	717	1218	25	4 51' 7"	749	1197
30	4 45' 7"	722	1217	30	4 50' 8"	759	1200
35	4 47' 4"	733	1208	35	4 49' 6"	753	1200
40	4 47' 7"	729	1216	40	4 54' 7"	754	1195
45	4 44' 8"	719	1224	45	4 55' 4"	753	1193
50	4 42' 8"	705	1230	50	4 54' 3"	746	1193
55	4 39' 8"	684	1235	55	4 54' 2"	737	1192

D = 25° + West

H = 0.09000 + 0.00... C. G. S.

V = 0.49000 + 0.0... C. G. S.

15. März 1883.

1. April 1883.

15. März 1883.				1. April 1883.															
Zeit	D	H	V	Zeit	D	H	V	Zeit	D	H	V	Zeit	D	H	V				
10 ^h 0 ^m	4°55'8"	737	1193	15 ^h 0 ^m	4°56'7"	789	1217	20 ^h 0 ^m	4°50'5"	774	1196	0 ^h 0 ^m	4°42'7"	659	1322				
5	4 56'9"	729	1181	5	4 57'5"	790	1217	5	4 48'7"	782	1194	5	4 48'7"	685	1315				
10	4 51'7"	733	1191	10	4 57'6"	789	1217	10	4 52'5"	792	1188	10	4 44'8"	680	1326				
15	4 58'3"	754	1182	15	4 56'2"	785	1217	15	4 53'4"	789	1190	15	4 43'2"	676	1327				
20	4 50'6"	732	1194	20	4 58'1"	790	1217	20	4 51'9"	785	1189	20	4 46'6"	704	1325				
25	4 59'7"	754	1181	25	5 0'9"	783	1219	25	4 52'9"	788	1187	25	4 48'8"	721	1316				
30	4 55'8"	726	1191	30	4 56'9"	790	1217	30	4 54'4"	779	1190	30	4 44'2"	706	1313				
35	4 55'6"	749	1184	35	4 58'9"	784	1217	35	4 53'9"	791	1184	35	4 46'7"	703	1308				
40	4 55'7"	752	1183	40	4 56'5"	787	1217	40	4 51'9"	791	1187	40	4 43'8"	712	1295				
45	4 56'4"	749	1188	45	4 57'4"	785	1217	45	4 53'0"	783	1189	45	4 48'5"	728	1296				
50	4 55'5"	747	1192	50	4 56'9"	791	1216	50	4 54'9"	792	1184	50	4 44'6"	729	1288				
55	4 54'8"	748	1193	55	4 56'4"	793	1215	55	4 56'2"	796	1186	55	4 44'7"	732	1283				
11 0	4 58'5"	757	1192	16 0	4 57'7"	781	1217	21 0	4 53'7"	792	1187	1 0	4 42'4"	717	1281				
5	4 54'4"	758	1191	5	4 58'8"	775	1218	5	4 53'7"	793	1184	5	4 50'5"	743	1274				
10	4 55'5"	772	1192	10	4 57'0"	775	1218	10	4 53'0"	780	1184	10	4 49'8"	751	1272				
15	4 55'3"	761	1195	15	4 56'8"	776	1218	15	4 53'9"	782	1186	15	4 47'6"	741	1275				
20	4 56'4"	749	1199	20	4 56'4"	774	1219	20	4 52'8"	774	1186	20	4 51'6"	752	1270				
25	4 54'2"	752	1199	25	4 56'7"	776	1219	25	4 54'2"	772	1186	25	4 49'3"	744	1270				
30	4 55'6"	752	1199	30	4 55'3"	783	1218	30	4 54'6"	768	1190	30	4 50'7"	745	1268				
35	4 56'8"	749	1200	35	4 56'1"	777	1220	35	4 53'4"	769	1194	35	4 51'8"	749	1264				
40	4 54'0"	753	1201	40	4 56'3"	779	1223	40	4 52'7"	772	1192	40	4 52'8"	762	1262				
45	4 53'5"	760	1200	45	4 55'9"	797	1219	45	4 52'9"	767	1191	45	4 50'3"	763	1260				
50	4 55'0"	759	1200	50	4 55'9"	804	1219	50	4 52'9"	766	1192	50	4 48'8"	761	1252				
55	4 53'7"	749	1203	55	4 56'0"	814	1218	55	4 52'9"	768	1192	55	4 48'9"	764	1249				
12 0	4 55'8"	749	1202	17 0	4 55'7"	811	1219	22 0	4 51'3"	759	1195	2 0	4 49'3"	767	1250				
5	4 55'9"	755	1199	5	4 55'1"	817	1215	5	4 51'3"	759	1196	5	4 47'9"	766	1250				
10	4 58'3"	754	1201	10	4 54'3"	811	1214	10	4 53'6"	766	1194	10	4 47'6"	764	1250				
15	4 57'9"	751	1203	15	4 54'3"	804	1215	15	4 54'8"	764	1194	15	4 46'7"	764	1250				
20	4 54'9"	757	1202	20	4 53'8"	804	1209	20	4 56'8"	753	1194	20	4 47'4"	762	1250				
25	4 59'2"	738	1205	25	4 55'3"	802	1209	25	5 0'9"	750	1193	25	4 45'6"	755	1252				
30	4 59'3"	767	1196	30	4 55'3"	800	1210	30	4 58'3"	762	1196	30	4 44'5"	738	1256				
35	4 58'1"	774	1194	35	4 54'8"	798	1214	35	4 53'6"	762	1197	35	4 42'5"	729	1258				
40	4 57'8"	796	1192	40	4 55'4"	799	1213	40	4 53'0"	761	1197	40	4 40'4"	727	1257				
45	4 59'6"	803	1194	45	4 55'0"	801	1215	45	4 53'0"	757	1200	45	4 34'5"	703	1262				
50	4 58'9"	811	1194	50	4 53'7"	802	1217	50	4 53'0"	756	1200	50	4 24'7"	672	1276				
55	5 2'1"	777	1204	55	4 54'8"	804	1217	55	4 52'9"	757	1200	55	4 25'9"	631	1310				
13 0	4 56'6"	771	1207	18 0	4 53'5"	810	1217	23 0	4 53'0"	757	1200	3 0	4 32'0"	602	1330				
5	4 56'4"	759	1210	5	4 52'6"	812	1216	5	4 53'6"	757	1200	5	4 36'5"	572	1347				
10	5 0'5"	763	1207	10	4 52'8"	811	1216	10	4 52'5"	754	1201	10	4 29'0"	542	1349				
15	5 3'0"	749	1212	15	4 52'0"	813	1217	15	4 52'0"	759	1202	15	4 23'4"	538	1351				
20	4 57'3"	779	1201	20	4 50'9"	807	1216	20	4 52'6"	759	1203	20	4 29'6"	539	1353				
25	5 1'9"	757	1206	25	4 52'6"	818	1217	25	4 52'8"	756	1205	25	4 36'8"	571	1343				
30	5 0'5"	766	1207	30	4 53'8"	842	1214	30	4 52'9"	756	1206	30	4 31'2"	538	1356				
35	5 0'9"	782	1205	35	4 51'9"	855	1207	35	4 52'6"	754	1206	35	4 28'6"	527	1364				
40	5 0'4"	765	1213	40	4 52'9"	840	1208	40	4 51'9"	753	1207	40	4 28'3"	573	1359				
45	5 0'6"	762	1213	45	4 53'2"	832	1208	45	4 51'4"	752	1208	45	4 35'4"	604	1339				
50	5 2'6"	757	1221	50	4 50'9"	825	1208	50	4 51'0"	752	1212	50	4 36'0"	596	1340				
55	4 57'7"	757	1216	55	4 47'8"	816	1214	55	4 50'6"	751	1215	55	4 35'1"	616	1337				
14 0	4 56'8"	762	1212	19 0	4 47'5"	826	1207	Mittel.	4 52'4"	752	1205	4 0	4 32'9"	609	1340				
5	4 58'3"	760	1212	5	4 49'4"	832	1201	Max.	5 7'9"	855	1311	5	4 33'6"	602	1341				
10	5 0'9"	759	1210	10	4 49'7"	821	1202	Min.	4 33'2"	563	1160	10	4 34'2"	572	1340				
15	4 58'9"	788	1205	15	4 51'7"	809	1212	Luftdruck 762.9mm, steigend. Lufttemperatur -4.8. ESE 3-1. Ganz bewölkt. Nachmittag zeitweise Schneefall.								15	4 36'1"	572	1335
20	4 56'7"	786	1205	20	4 53'5"	803	1199									20	4 26'9"	561	1322
25	4 56'6"	777	1209	25	4 49'9"	809	1194									25	4 29'4"	553	1320
30	4 56'6"	789	1207	30	4 47'7"	797	1196									30	4 41'4"	596	1291
35	4 56'9"	788	1212	35	4 51'1"	797	1193									35	4 38'3"	616	1270
40	5 0'8"	794	1224	40	4 48'6"	792	1193									40	4 36'3"	609	1282
45	4 59'4"	778	1219	45	4 49'4"	796	1189									45	4 35'6"	621	1263
50	4 59'7"	772	1223	50	4 51'8"	786	1194									50	4 32'4"	582	1280
55	4 58'7"	784	1216	55	4 51'0"	783	1194									55	4 32'8"	573	1267

Terminstage.

Göttinger Zeit.

Jan. Mayen.

$D = 25^{\circ} +$ West

$H = 0.09000 + 0.00 \dots$ C. G. S.

$V = 0.49000 + 0.0 \dots$ C. G. S.

1. April 1882.

Zeit	D	H	V	Zeit	D	H	V	Zeit	D	H	V	Zeit	D	H	V
5 ^h 0 ^m	4°25'2	553	1268	10 ^h 0 ^m	4°53'9	764	1189	15 ^h 0 ^m	4°58'3	835	1218	20 ^h 0 ^m	4°54'1	801	1202
5	4 31'1	575	1244	5	4 52'6	769	1190	5	4 56'9	839	1220	5	4 55'5	799	1201
10	4 20'3	593	1229	10	4 55'5	770	1192	10	4 57'5	848	1221	10	4 53'8	805	1199
15	4 29'1	609	1234	15	4 52'8	781	1192	15	4 50'6	854	1224	15	4 54'9	797	1202
20	4 29'1	596	1244	20	4 52'9	784	1193	20	4 56'4	862	1224	20	4 54'5	799	1202
25	4 20'6	595	1244	25	4 54'9	767	1200	25	4 57'8	867	1224	25	4 55'0	792	1204
30	4 20'1	588	1242	30	4 56'8	777	1197	30	4 55'9	871	1227	30	4 53'9	796	1204
35	4 22'6	600	1221	35	4 58'1	784	1199	35	4 57'6	879	1223	35	4 51'1	795	1204
40	4 29'6	617	1215	40	4 56'7	786	1201	40	4 58'7	898	1219	40	4 54'7	795	1202
45	4 23'1	620	1207	45	4 58'6	772	1210	45	5 0'7	900	1219	45	4 56'8	789	1202
50	4 23'6	626	1199	50	4 56'7	769	1210	50	4 59'0	898	1216	50	5 0'3	784	1197
55	4 29'6	649	1205	55	4 55'9	767	1212	55	4 59'1	892	1215	55	5 3'6	800	1197
6 0	4 30'4	665	1177	11 0	4 59'9	756	1216	16 0	4 55'5	890	1216	21 0	5 2'5	801	1201
5	4 31'2	677	1168	5	5 0'6	737	1217	5	4 55'4	878	1218	5	5 3'5	796	1196
10	4 33'2	688	1174	10	5 0'3	757	1217	10	4 55'1	874	1220	10	5 3'1	794	1201
15	4 28'8	689	1176	15	4 55'5	766	1217	15	4 54'3	879	1216	15	5 2'7	795	1204
20	4 35'9	682	1178	20	4 55'5	784	1216	20	4 55'9	883	1215	20	5 0'8	799	1205
25	4 34'6	696	1183	25	4 55'6	780	1213	25	4 55'4	871	1219	25	4 59'7	799	1210
30	4 39'2	718	1181	30	4 56'8	787	1213	30	4 51'9	855	1220	30	4 58'0	798	1214
35	4 42'1	732	1186	35	4 57'8	770	1219	35	4 49'9	844	1229	35	4 55'8	792	1215
40	4 43'5	746	1187	40	4 56'1	779	1220	40	4 48'8	840	1227	40	4 56'6	789	1217
45	4 38'6	748	1191	45	4 56'5	777	1222	45	4 48'0	841	1222	45	4 55'7	777	1229
50	4 37'4	743	1194	50	4 56'2	779	1222	50	4 46'5	851	1217	50	4 57'7	777	1231
55	4 38'1	734	1197	55	4 56'3	773	1226	55	4 49'0	856	1214	55	4 55'9	774	1227
7 0	4 39'8	725	1201	12 0	4 58'7	766	1227	17 0	4 50'0	853	1213	22 0	4 53'0	769	1224
5	4 34'6	710	1209	5	4 59'4	753	1231	5	4 52'4	848	1213	5	4 54'7	768	1221
10	4 39'6	729	1197	10	5 2'5	754	1230	10	4 54'5	846	1213	10	4 56'8	767	1221
15	4 40'7	728	1200	15	4 56'9	766	1223	15	4 55'1	844	1213	15	4 56'9	764	1223
20	4 37'8	719	1201	20	4 57'1	757	1231	20	4 56'2	841	1219	20	4 51'5	759	1235
25	4 38'8	729	1193	25	4 58'8	771	1227	25	4 55'7	842	1218	25	4 51'0	679	1277
30	4 40'7	728	1193	30	4 57'1	766	1230	30	4 57'7	862	1218	30	4 38'9	664	1227
35	4 43'7	737	1190	35	4 59'7	789	1223	35	4 54'5	877	1217	35	4 38'2	671	1196
40	4 43'8	728	1194	40	4 57'4	807	1222	40	4 50'7	887	1215	40	4 41'5	725	1174
45	4 39'7	736	1189	45	4 55'5	810	1224	45	4 56'9	889	1215	45	4 47'5	717	1172
50	4 40'4	726	1190	50	4 54'6	814	1222	50	4 57'5	899	1212	50	4 54'0	725	1172
55	4 34'9	726	1188	55	4 52'1	817	1221	55	4 57'2	881	1213	55	4 49'9	713	1173
8 0	4 39'6	732	1181	13 0	4 55'7	814	1220	18 0	4 56'5	877	1215	23 0	4 46'6	717	1189
5	4 40'2	743	1178	5	4 54'0	827	1216	5	4 50'4	869	1216	5	4 46'8	717	1182
10	4 46'8	747	1176	10	4 56'5	831	1216	10	4 52'7	871	1216	10	4 47'9	714	1193
15	4 45'8	759	1177	15	4 54'2	820	1216	15	4 51'7	878	1218	15	4 56'7	734	1206
20	4 49'2	776	1177	20	4 55'5	814	1216	20	4 54'5	842	1219	20	4 59'7	749	1205
25	4 52'3	768	1187	25	4 55'1	812	1213	25	4 53'8	840	1217	25	4 59'0	742	1203
30	4 48'8	776	1180	30	4 56'8	818	1208	30	4 55'8	844	1214	30	4 54'0	739	1202
35	4 49'7	781	1181	35	4 57'6	810	1209	35	4 57'0	845	1216	35	4 52'7	742	1204
40	4 49'8	772	1189	40	5 0'3	820	1204	40	4 53'9	842	1216	40	4 47'5	719	1212
45	4 56'2	764	1191	45	4 58'7	837	1200	45	4 52'8	833	1217	45	4 52'7	729	1215
50	4 56'3	741	1200	50	4 59'1	839	1199	50	4 53'0	830	1213	50	4 45'7	728	1216
55	4 49'2	740	1199	55	4 59'5	832	1202	55	4 49'5	822	1216	55	4 47'7	729	1217
9 0	4 46'9	753	1191	14 0	4 59'3	831	1201	19 0	4 56'4	821	1212	Mittel.	4 49'3	758	1226
5	4 44'9	745	1187	5	5 0'6	841	1197	5	4 56'9	826	1212	Max.	5 4'1	900	1364
10	4 49'9	757	1180	10	5 3'5	850	1199	10	4 57'7	829	1212	Min.	4 20'1	527	1168
15	4 52'7	749	1186	15	5 4'1	848	1201	15	4 50'8	823	1208	Luftdruck steigt von 739.8 bis 746.6mm. Lufttemperatur - 0.9; sinkend. Vormittag ENEB-4, bewölkt, zeitweise Regen und Schneefall. Nachmittag SE 2-5, bewölkt, zeitweise Schneefall.			
20	4 53'9	748	1181	20	5 1'6	839	1208	20	4 50'7	820	1205				
25	4 54'6	744	1181	25	5 0'5	831	1212	25	4 55'8	821	1208				
30	4 51'2	757	1176	30	5 1'5	840	1210	30	4 53'9	811	1205				
35	4 59'1	764	1177	35	4 59'0	828	1215	35	4 53'0	821	1205				
40	4 53'8	769	1178	40	5 0'7	815	1220	40	4 53'7	802	1206				
45	4 57'9	780	1177	45	5 1'7	826	1216	45	4 53'2	797	1203				
50	4 53'7	773	1183	50	5 2'0	829	1218	50	4 52'7	802	1204				
55	4 59'1	770	1180	55	5 0'2	833	1216	55	4 53'0	799	1202				

15. April 1883.

D = 25° + West

H = 0.09000 + 0.00... C. G. S.

V = 0.49000 + 0.0... C. G. S.

Zeit	D	H	V	Zeit	D	H	V	Zeit	D	H	V	Zeit	D	H	V
0 ^h 0 ^m	4°49'6	766	1295	5 ^h 0 ^m	4°46'2	759	1286	10 ^h 0 ^m	4°43'4	749	1266	15 ^h 0 ^m	4°54'2	870	1279
5	4 49'7	767	1298	5	4 47'3	763	1283	5	4 42'3	749	1266	5	4 54'6	869	1281
10	4 50'1	768	1298	10	4 48'6	764	1277	10	4 44'5	747	1264	10	4 50'9	882	1280
15	4 49'8	768	1298	15	4 47'5	756	1281	15	4 44'2	750	1264	15	4 54'7	872	1284
20	4 50'6	767	1300	20	4 40'1	758	1279	20	4 44'2	741	1263	20	4 56'6	897	1281
25	4 50'5	766	1299	25	4 45'3	756	1279	25	4 47'2	737	1267	25	4 54'3	909	1280
30	4 49'7	768	1298	30	4 43'2	752	1280	30	4 48'2	742	1267	30	4 46'0	925	1272
35	4 50'0	766	1298	35	4 43'5	758	1279	35	4 48'5	739	1267	35	4 53'9	896	1277
40	4 49'8	766	1297	40	4 44'3	758	1277	40	4 48'6	745	1267	40	4 53'1	930	1264
45	4 49'7	767	1297	45	4 43'1	758	1276	45	4 49'8	747	1267	45	4 52'9	927	1266
50	4 49'8	766	1296	50	4 43'9	755	1277	50	4 48'6	744	1267	50	4 52'6	937	1262
55	4 48'6	768	1296	55	4 43'3	758	1275	55	4 50'4	748	1267	55	4 54'9	948	1260
1 0	4 49'0	769	1296	6 0	4 42'4	755	1276	11 0	4 53'9	746	1267	16 0	4 52'5	964	1255
5	4 48'6	767	1297	5	4 42'9	756	1276	5	4 55'8	740	1268	5	4 53'0	964	1249
10	4 49'1	770	1297	10	4 41'4	757	1275	10	4 56'8	737	1270	10	4 53'6	981	1236
15	4 49'1	772	1296	15	4 43'0	758	1273	15	4 55'5	737	1273	15	4 57'2	996	1227
20	4 49'3	770	1296	20	4 46'0	762	1269	20	4 54'5	735	1275	20	4 54'6	1002	1226
25	4 49'4	769	1296	25	4 46'5	758	1269	25	4 56'7	731	1277	25	4 55'1	987	1219
30	4 49'0	770	1295	30	4 45'3	759	1269	30	4 56'3	733	1277	30	4 54'4	1008	1203
35	4 49'5	771	1294	35	4 44'5	762	1267	35	4 56'5	733	1279	35	4 52'6	980	1208
40	4 49'6	771	1293	40	4 43'1	754	1272	40	4 56'7	729	1280	40	4 49'6	959	1205
45	4 49'8	769	1294	45	4 43'6	758	1271	45	4 56'3	735	1277	45	4 50'1	942	1200
50	4 48'1	761	1294	50	4 43'1	756	1270	50	4 55'9	736	1277	50	4 51'4	926	1206
55	4 48'5	758	1296	55	4 43'9	751	1271	55	4 55'8	742	1276	55	4 53'0	922	1204
2 0	4 49'1	761	1296	7 0	4 44'1	752	1269	12 0	4 55'5	736	1277	17 0	4 50'4	927	1207
5	4 48'3	757	1296	5	4 42'8	753	1271	5	4 54'9	735	1277	5	4 54'6	910	1214
10	4 48'4	759	1295	10	4 44'4	754	1269	10	4 54'2	735	1276	10	4 55'0	908	1215
15	4 48'5	757	1294	15	4 43'5	753	1269	15	4 55'6	736	1275	15	4 55'6	912	1216
20	4 49'6	763	1288	20	4 43'0	753	1269	20	4 54'6	740	1272	20	4 55'6	895	1224
25	4 49'6	764	1288	25	4 44'1	752	1269	25	4 55'0	739	1271	25	4 55'4	875	1229
30	4 50'5	767	1287	30	4 44'4	755	1268	30	4 53'4	743	1268	30	4 50'3	869	1228
35	4 50'5	767	1288	35	4 44'1	753	1268	35	4 54'0	737	1270	35	4 58'0	869	1228
40	4 49'7	769	1288	40	4 45'1	754	1268	40	4 53'5	752	1267	40	4 58'4	865	1232
45	4 50'3	769	1289	45	4 44'9	754	1267	45	4 55'5	745	1269	45	4 58'7	857	1235
50	4 48'9	764	1294	50	4 45'2	752	1268	50	4 50'7	751	1267	50	4 58'5	852	1236
55	4 48'9	761	1293	55	4 45'2	753	1268	55	4 53'0	752	1267	55	4 59'8	850	1236
3 0	4 48'5	757	1291	8 0	4 45'1	755	1267	13 0	4 52'6	746	1267	18 0	4 59'5	840	1237
5	4 47'7	757	1289	5	4 43'7	755	1267	5	4 55'2	753	1268	5	5 0'4	839	1239
10	4 47'4	759	1288	10	4 43'3	752	1268	10	4 53'1	747	1268	10	5 0'0	839	1240
15	4 47'3	760	1287	15	4 46'4	753	1267	15	4 53'5	752	1268	15	5 2'5	846	1239
20	4 47'6	761	1287	20	4 43'4	749	1267	20	4 54'5	750	1268	20	5 2'8	839	1241
25	4 47'4	760	1287	25	4 44'1	752	1266	25	4 54'5	750	1268	25	5 3'3	839	1241
30	4 48'5	763	1286	30	4 44'3	751	1268	30	4 54'6	754	1268	30	5 1'9	840	1242
35	4 48'0	760	1287	35	4 44'0	754	1267	35	4 55'3	764	1267	35	5 2'1	837	1243
40	4 48'3	760	1287	40	4 45'2	752	1267	40	4 54'6	778	1266	40	5 1'1	835	1243
45	4 48'6	761	1287	45	4 45'3	752	1267	45	4 55'3	787	1267	45	5 3'9	842	1240
50	4 48'4	762	1286	50	4 43'8	752	1267	50	4 55'3	789	1268	50	5 1'8	849	1241
55	4 47'4	758	1287	55	4 42'7	751	1267	55	4 53'8	784	1274	55	5 2'4	841	1242
4 0	4 46'5	757	1287	9 0	4 42'1	749	1267	14 0	4 54'4	789	1276	19 0	5 2'6	834	1242
5	4 46'4	758	1286	5	4 44'6	749	1267	5	4 53'9	786	1279	5	5 2'6	846	1239
10	4 45'5	758	1286	10	4 44'3	747	1267	10	4 53'9	781	1279	10	5 0'6	838	1240
15	4 45'5	759	1286	15	4 45'5	747	1267	15	4 53'5	792	1277	15	5 0'8	829	1241
20	4 45'4	757	1286	20	4 47'3	749	1267	20	4 56'5	805	1275	20	5 1'0	824	1240
25	4 45'6	756	1286	25	4 47'4	747	1267	25	4 56'8	817	1275	25	4 59'2	829	1239
30	4 45'5	757	1285	30	4 47'5	748	1267	30	4 55'6	829	1276	30	4 59'3	817	1240
35	4 46'2	762	1284	35	4 47'5	747	1267	35	5 0'2	832	1277	35	4 59'0	811	1239
40	4 46'8	762	1285	40	4 44'7	741	1268	40	4 56'5	853	1275	40	4 58'7	817	1237
45	4 46'0	755	1286	45	4 43'6	747	1267	45	4 56'1	856	1275	45	4 57'0	809	1240
50	4 45'5	755	1285	50	4 42'5	746	1264	50	4 56'7	858	1279	50	4 56'8	809	1239
55	4 46'2	759	1285	55	4 43'5	747	1264	55	4 56'4	862	1279	55	4 56'9	803	1239

Terminstage.

Göttinger Zeit.

Jan Mayen.

D = 25° + West					H = 0.09000 + 0.00... C. G. S.					V = 0.49000 + 0.0... C. G. S.				
15. April 1883.					1. Mai 1883.									
Zeit	D	H	V	Anmerkungen	Zeit	D	H	V	Anmerkungen					
20 ^h 0 ^m	4° 56' 0	799	1239		0 ^h 0 ^m	4° 40' 4	688	1329						
5	4 55' 6	791	1240		5	4 35' 6	688	1309						
10	4 55' 5	797	1237		10	4 42' 4	722	1308						
15	4 57' 1	794	1239		15	4 41' 3	711	1304						
20	4 59' 1	787	1241		20	4 41' 7	709	1301						
25	4 59' 1	789	1239		25	4 41' 1	724	1298						
30	4 58' 8	795	1236		30	4 43' 9	737	1296						
35	4 57' 6	797	1240		35	4 40' 7	748	1293						
40	4 58' 6	800	1242		40	4 42' 9	749	1291						
45	4 58' 9	802	1237		45	4 42' 5	749	1290						
50	4 58' 4	798	1236		50	4 43' 9	745	1296						
55	4 57' 1	797	1234		55	4 43' 3	732	1298						
				Polarlicht Nr. 123.										
21 0	4 57' 9	792	1234	22 ^h 5 ^m Ein Strahl in SSW,	1 0	4 44' 6	735	1300						
5	4 57' 5	790	1232	der gleich verschwin-	5	4 43' 7	741	1298						
10	4 58' 1	790	1232	det.	10	4 43' 7	737	1300						
15	4 58' 4	791	1233		15	4 44' 5	740	1298						
20	4 57' 9	792	1233	23 15 Ein Strahl in SW.	20	4 42' 7	737	1297						
25	4 57' 3	794	1234		25	4 41' 0	735	1295						
30	4 57' 3	791	1235		30	4 41' 3	740	1294						
35	4 56' 0	790	1237	30 An der früheren Stel-	35	4 42' 0	742	1294						
40	4 55' 6	788	1237	le wieder ein Strahl,	40	4 42' 7	747	1291						
45	4 55' 3	788	1236	der mittlerweile sich	45	4 41' 5	749	1289						
50	4 55' 4	788	1234	schon zweimal gebil-	50	4 39' 4	751	1286						
55	4 55' 7	787	1234	det hat u. verschwand.	55	4 39' 6	753	1282						
22 0	4 55' 6	784	1234	34 Ein Strahl leuchtet	2 0	4 40' 0	749	1284						
5	4 56' 1	787	1234	mehrmals rasch auf	5	4 38' 2	743	1285						
10	4 55' 5	790	1234	und verschwindet.	10	4 39' 3	745	1281						
15	4 54' 9	784	1237		15	4 40' 7	747	1276						
20	4 54' 6	786	1236	40 Ein Strahl in SW, ver-	20	4 41' 1	752	1275						
25	4 54' 6	789	1236	wandelt sich in ein	25	4 42' 3	758	1269						
30	4 55' 1	791	1234	Dunstband, das bald	30	4 43' 2	705	1207						
35	4 55' 6	794	1236	verschwindet.	35	4 39' 4	756	1274						
40	4 57' 6	795	1236		40	4 38' 3	749	1273						
45	4 57' 6	794	1240	58 Ein Strahl in SW.	45	4 38' 9	747	1274						
50	4 57' 1	795	1240	Bifilar-Magnet in sehr	50	4 41' 2	747	1273						
55	4 55' 6	793	1240	unregelmässigen	55	4 40' 3	742	1275						
				Schwingungen über										
23 0	4 55' 5	792	1240	30 p.	3 0	4 40' 9	746	1274						
5	4 54' 6	794	1245		5	4 40' 5	737	1270						
10	4 54' 8	793	1248		10	4 38' 7	732	1280						
15	4 54' 0	798	1250		15	4 37' 5	719	1280						
20	4 54' 8	793	1259		20	4 38' 4	723	1277						
25	4 53' 3	788	1270		25	4 38' 4	717	1276						
30	4 50' 3	788	1282		30	4 37' 7	714	1276						
35	4 54' 8	780	1288		35	4 37' 4	716	1270						
40	5 4' 6	700	1337		40	4 37' 4	722	1269						
45	5 5' 8	670	1367		45	4 37' 2	724	1266						
50	5 1' 8	686	1355		50	4 37' 8	727	1264						
55	4 57' 6	723	1357		55	4 39' 4	727	1264						
Mittel	4 51' 8	789	1265		4 0	4 38' 8	719	1273						
Max.	5 5' 8	1008	1367		5	4 42' 3	744	1264						
Min.	4 42' 1	670	1204		10	4 35' 0	708	1281						
					15	4 40' 5	739	1272						
					20	4 38' 6	734	1273						
					25	4 39' 3	738	1272						
					30	4 40' 3	740	1273						
					35	4 48' 2	722	1279						
					40	4 38' 4	710	1276						
					45	4 37' 2	699	1266						
					50	4 36' 9	687	1274						
					55	4 35' 3	667	1281						

Luftdruck langsam sinkend. Lufttemperatur — 9°9.
 Vormittag NNE 3, ganz bewölkt. Schneefall. Nachmittag
 NE bis ENE 3—4. Aufheiternd, leichter Schnellfall. Abends
 heiter.

D = 25° + West				H = 0.09000 + 0.00... C. G. S.				V = 0.49000 + 0.0... C. G. S.							
1. Mai 1883.															
Zeit	D	H	V	Zeit	D	H	V	Zeit	D	H	V	Zeit	D	H	V
5 ^h 0 ^m	4° 31' 7	659	1285	10 ^h 0 ^m	4° 47' 8	785	1240	15 ^h 0 ^m	4° 56' 7	774	1275	20 ^h 0 ^m	5° 11' 6	798	1149
5	4 29' 8	669	1277	5	4 48' 3	783	1241	5	4 56' 6	777	1276	5	5 11' 5	786	1137
10	4 31' 1	671	1271	10	4 49' 6	780	1244	10	4 56' 0	783	1275	10	5 3' 9	818	1121
15	4 26' 0	654	1267	15	4 50' 0	771	1244	15	4 56' 2	789	1275	15	5 8' 4	799	1148
20	4 25' 7	636	1281	20	4 53' 1	770	1245	20	4 56' 9	791	1276	20	5 14' 5	737	1148
25	4 25' 0	619	1268	25	4 52' 8	770	1247	25	4 57' 3	792	1276	25	5 11' 1	808	1124
30	4 27' 7	619	1269	30	4 53' 0	765	1247	30	4 56' 7	796	1276	30	5 0' 4	782	1115
35	4 25' 7	609	1266	35	4 56' 3	752	1248	35	4 56' 8	799	1276	35	5 1' 7	799	1107
40	4 24' 0	627	1261	40	4 55' 8	732	1253	40	4 56' 7	804	1276	40	5 14' 4	828	1104
45	4 27' 8	636	1257	45	4 55' 3	722	1254	45	4 56' 0	819	1275	45	5 10' 4	824	1115
50	4 26' 2	629	1259	50	4 58' 8	733	1248	50	4 58' 7	833	1274	50	5 4' 9	827	1121
55	4 29' 1	616	1257	55	4 59' 2	747	1247	55	5 2' 2	850	1274	55	4 57' 3	827	1117
6 0	4 22' 7	596	1256	11 0	4 56' 3	754	1248	16 0	5 0' 5	871	1274	21 0	4 58' 3	794	1121
5	4 28' 1	587	1247	5	4 57' 7	767	1245	5	4 57' 3	876	1276	5	5 1' 6	784	1124
10	4 32' 0	584	1233	10	4 54' 5	770	1248	10	4 55' 1	874	1277	10	5 2' 9	726	1132
15	4 30' 6	587	1233	15	4 52' 6	763	1253	15	4 53' 2	873	1276	15	4 58' 3	714	1140
20	4 41' 1	573	1242	20	4 53' 7	763	1253	20	4 53' 4	875	1275	20	4 56' 3	717	1135
25	4 37' 6	561	1239	25	4 51' 7	779	1249	25	4 51' 1	877	1274	25	4 58' 0	708	1134
30	4 33' 1	554	1237	30	4 49' 7	773	1254	30	4 50' 9	882	1270	30	4 58' 3	646	1157
35	4 44' 9	585	1232	35	4 51' 2	762	1256	35	4 52' 0	892	1266	35	5 9' 4	707	1149
40	4 47' 4	583	1231	40	4 53' 3	757	1258	40	4 56' 4	894	1267	40	5 9' 4	719	1162
45	4 33' 9	559	1240	45	4 53' 9	763	1258	45	4 51' 9	886	1271	45	5 19' 6	727	1181
50	4 34' 8	556	1233	50	4 54' 5	766	1259	50	4 51' 2	882	1266	50	5 18' 6	749	1189
55	4 34' 9	551	1232	55	4 53' 3	776	1259	55	4 53' 8	889	1255	55	5 13' 6	753	1193
7 0	4 30' 3	576	1218	12 0	4 57' 1	779	1261	17 0	4 52' 5	886	1254	22 0	5 17' 4	764	1192
5	4 19' 6	550	1219	5	4 53' 2	793	1260	5	4 51' 4	893	1245	5	5 14' 4	765	1197
10	4 22' 6	526	1219	10	4 51' 3	799	1263	10	4 51' 0	892	1244	10	5 14' 4	767	1197
15	4 34' 6	553	1212	15	4 49' 4	805	1266	15	4 50' 3	880	1239	15	5 17' 9	763	1203
20	4 39' 2	577	1197	20	4 52' 0	803	1267	20	4 49' 8	865	1228	20	5 14' 2	760	1208
25	4 36' 0	611	1182	25	4 50' 5	799	1275	25	4 52' 3	866	1219	25	5 15' 9	750	1214
30	4 21' 9	617	1186	30	4 50' 5	806	1275	30	4 56' 6	863	1210	30	5 13' 9	756	1214
35	4 33' 3	638	1186	35	4 44' 6	801	1275	35	4 55' 3	862	1204	35	5 11' 3	764	1214
40	4 41' 3	666	1186	40	4 48' 6	791	1275	40	4 56' 4	854	1201	40	5 10' 6	762	1214
45	4 40' 1	700	1183	45	4 52' 0	780	1276	45	4 58' 3	846	1196	45	5 10' 6	764	1214
50	4 38' 9	722	1189	50	4 52' 4	776	1275	50	5 0' 4	842	1195	50	5 11' 4	764	1215
55	4 40' 2	734	1189	55	4 53' 1	764	1276	55	4 55' 7	867	1157	55	5 11' 8	762	1220
8 0	4 45' 0	759	1189	13 0	4 56' 0	757	1277	18 0	4 53' 5	870	1137	23 0	5 8' 8	757	1235
5	4 44' 3	761	1190	5	4 59' 4	772	1275	5	4 50' 0	862	1137	5	5 9' 6	740	1252
10	4 46' 1	794	1190	10	5 2' 1	787	1273	10	4 50' 8	860	1125	10	5 13' 2	763	1248
15	4 47' 7	792	1200	15	5 0' 3	790	1275	15	4 51' 4	867	1127	15	5 10' 6	760	1254
20	4 41' 3	787	1204	20	4 55' 4	791	1273	20	4 55' 3	869	1126	20	5 11' 3	773	1246
25	4 46' 1	792	1199	25	4 54' 4	784	1275	25	4 59' 9	886	1123	25	5 10' 1	787	1243
30	4 46' 2	793	1199	30	4 54' 5	778	1275	30	5 8' 2	877	1115	30	5 7' 6	794	1242
35	4 45' 6	777	1205	35	4 52' 3	774	1274	35	5 15' 1	873	1117	35	5 8' 3	794	1241
40	4 43' 6	795	1202	40	4 53' 2	765	1274	40	5 7' 8	872	1124	40	5 12' 2	789	1246
45	4 42' 6	765	1210	45	4 54' 5	756	1275	45	5 9' 4	879	1124	45	5 7' 4	755	1267
50	4 42' 3	761	1213	50	4 56' 5	758	1274	50	5 9' 2	877	1126	50	5 5' 7	726	1297
55	4 47' 2	767	1214	55	4 57' 6	763	1274	55	5 9' 3	869	1129	55	5 2' 7	654	1346
9 0	4 44' 9	754	1221	14 0	4 59' 6	762	1275	19 0	5 10' 8	872	1126	Mittel	4 51' 6	759	1235
5	4 48' 1	762	1223	5	4 58' 4	766	1275	5	5 6' 5	880	1123	Max.	5 23' 2	894	1346
10	4 43' 1	765	1226	10	4 56' 3	762	1276	10	5 8' 4	877	1119	Min.	4 19' 6	526	1104
15	4 43' 3	797	1221	15	4 56' 2	754	1277	15	5 14' 9	855	1114	Luftdruck 770.2mm langsam sinkend. Lufttemperatur -11.0. Vormittag NNW 5-3, heiter. Nachmittag NNW 3-1, leichter Schneefall; Abends wieder heiter.			
20	4 45' 8	794	1224	20	4 55' 2	763	1276	20	5 23' 2	851	1120				
25	4 43' 4	795	1231	25	4 54' 8	759	1276	25	5 17' 2	858	1127				
30	4 41' 3	797	1231	30	4 54' 7	757	1276	30	5 16' 4	860	1135				
35	4 41' 2	804	1231	35	4 55' 1	755	1276	35	5 19' 0	857	1134				
40	4 39' 8	799	1227	40	4 56' 1	753	1277	40	5 21' 4	862	1136				
45	4 44' 4	782	1237	45	4 57' 7	762	1276	45	5 17' 9	851	1142				
50	4 46' 9	785	1242	50	4 57' 7	762	1276	50	5 11' 0	844	1141				
55	4 46' 8	787	1241	55	4 57' 1	767	1275	55	5 14' 8	821	1150				

Termtage.

Göttinger Zeit.

Jan Mayen.

D = 25° + West

H = 0.09000 + 0.00... C. G. S.

V = 0.49000 + 0.0... C. G. S.

15. Mai 1883.

Table with 16 columns: Zeit, D, H, V (repeated 4 times). It contains magnetic observation data for May 15, 1883, organized by hour (0h to 19h) and minutes. Each entry includes time, declination (D), horizontal force (H), and vertical force (V).

D = 25° + West				H = 0.09000 + 0.00... C. G. S.				V = 0.49000 + 0.0... C. G. S.							
15. Mai 1883.				1. Juni 1883.											
Zeit	D	H	V	Zeit	D	H	V	Zeit	D	H	V	Zeit	D	H	V
20 ^h 0 ^m	5° 5' 0"	868	1084	0 ^h 0 ^m	4° 49' 4"	781	1220	5 ^h 0 ^m	4° 20' 8"	606	1222	10 ^h 0 ^m	4° 42' 1"	771	1199
5	5 8.0	850	1084	5	4 51.0	784	1220	5	4 21.3	629	1201	5	4 39.9	772	1197
10	5 4.0	846	1081	10	4 51.4	786	1222	10	4 17.6	606	1200	10	4 42.5	767	1197
15	5 9.4	837	1079	15	4 48.9	786	1226	15	4 15.9	604	1193	15	4 46.6	757	1201
20	5 13.2	827	1075	20	4 47.9	794	1222	20	4 22.5	614	1190	20	4 49.7	751	1201
25	5 34.1	778	1073	25	4 50.8	797	1221	25	4 27.5	628	1179	25	4 51.0	754	1200
30	5 25.2	784	1095	30	4 52.0	782	1232	30	4 25.7	654	1164	30	4 49.3	757	1199
35	5 23.4	774	1111	35	4 52.5	773	1234	35	4 25.1	647	1165	35	4 44.3	763	1197
40	5 21.3	819	1095	40	4 50.9	766	1239	40	4 34.5	656	1167	40	4 42.8	770	1195
45	5 28.1	822	1096	45	4 50.7	763	1240	45	4 39.4	667	1179	45	4 42.0	784	1193
50	5 29.1	819	1105	50	4 48.6	769	1233	50	4 32.5	700	1167	50	4 40.6	783	1195
55	5 18.3	838	1100	55	4 48.7	772	1233	55	4 32.8	723	1164	55	4 34.9	786	1195
21 0	5 15.3	812	1099	1 0	4 48.3	766	1234	6 0	4 32.6	707	1170	11 0	4 37.6	794	1189
5	5 11.1	818	1106	5	4 47.4	762	1234	5	4 35.1	711	1169	5	4 39.0	789	1201
10	5 1.6	808	1116	10	4 48.7	759	1234	10	4 35.0	715	1169	10	4 37.6	782	1205
15	5 1.6	801	1127	15	4 50.7	769	1232	15	4 35.0	715	1172	15	4 38.7	792	1200
20	4 58.9	802	1127	20	4 54.1	770	1232	20	4 35.7	711	1175	20	4 41.4	779	1204
25	4 58.5	812	1125	25	4 54.7	772	1232	25	4 34.2	709	1179	25	4 39.5	793	1201
30	4 57.9	807	1128	30	4 54.4	771	1232	30	4 32.5	711	1179	30	4 42.9	790	1205
35	4 56.1	808	1127	35	4 55.7	764	1235	35	4 32.7	704	1187	35	4 45.9	802	1201
40	4 58.9	794	1129	40	4 52.5	756	1240	40	4 36.7	714	1181	40	4 47.6	803	1201
45	4 53.3	796	1128	45	4 50.9	746	1243	45	4 43.8	743	1183	45	4 43.6	806	1202
50	4 54.5	791	1128	50	4 50.8	742	1244	50	4 47.9	751	1189	50	4 39.5	810	1200
55	4 53.2	788	1133	55	4 51.5	736	1245	55	4 50.8	762	1178	55	4 39.6	787	1202
22 0	4 55.7	791	1137	2 0	4 52.4	731	1250	7 0	4 50.7	774	1180	12 0	4 43.0	790	1200
5	4 52.9	787	1139	5	4 49.7	713	1259	5	4 51.3	784	1182	5	4 48.8	796	1197
10	4 52.3	785	1139	10	4 45.1	717	1262	10	4 52.2	793	1183	10	4 44.4	822	1193
15	4 52.6	790	1139	15	4 43.9	705	1273	15	4 54.1	801	1188	15	4 44.6	811	1196
20	4 49.7	788	1140	20	4 48.5	671	1286	20	4 50.9	805	1190	20	4 51.7	797	1199
25	4 50.3	786	1143	25	4 49.8	648	1298	25	4 53.8	805	1190	25	4 49.7	799	1200
30	4 51.0	772	1150	30	4 48.0	604	1329	30	4 50.8	801	1191	30	4 57.0	799	1202
35	4 51.1	779	1149	35	4 46.5	573	1338	35	4 48.0	807	1191	35	4 52.8	819	1200
40	4 51.2	780	1150	40	4 39.1	556	1330	40	4 50.0	810	1191	40	4 52.4	817	1200
45	4 50.5	776	1151	45	4 42.6	563	1329	45	4 50.4	802	1197	45	4 57.7	812	1204
50	4 51.3	774	1151	50	4 41.4	537	1327	50	4 48.6	797	1195	50	4 56.9	807	1203
55	4 52.5	777	1151	55	4 39.1	549	1329	55	4 47.2	788	1199	55	4 59.7	798	1202
23 0	4 52.1	774	1151	3 0	4 48.3	550	1325	8 0	4 48.6	786	1199	13 0	5 2.1	787	1204
5	4 51.1	769	1151	5	4 31.1	517	1320	5	4 46.9	784	1199	5	5 5.3	780	1208
10	4 51.3	767	1151	10	4 24.7	521	1320	10	4 46.7	782	1199	10	5 6.5	769	1210
15	4 51.9	767	1151	15	4 31.7	556	1314	15	4 46.8	779	1199	15	5 5.7	759	1210
20	4 52.1	769	1151	20	4 36.3	543	1324	20	4 47.1	779	1199	20	5 4.5	768	1210
25	4 51.4	767	1153	25	4 20.7	552	1291	25	4 48.0	779	1195	25	5 5.8	754	1210
30	4 51.1	764	1156	30	4 16.1	561	1294	30	4 47.8	779	1196	30	5 5.3	765	1209
35	4 51.0	763	1160	35	4 27.2	582	1289	35	4 46.5	775	1199	35	5 2.9	767	1208
40	4 50.5	760	1161	40	4 30.5	605	1275	40	4 47.8	781	1194	40	5 4.4	753	1210
45	4 49.4	758	1162	45	4 23.5	611	1266	45	4 46.1	774	1197	45	5 4.3	743	1213
50	4 49.1	756	1162	50	4 20.4	616	1250	50	4 45.6	770	1195	50	5 6.7	747	1213
55	4 50.5	761	1162	55	4 25.7	649	1236	55	4 50.6	771	1194	55	5 3.2	765	1210
Mittel	4 51.7	787	1167	4 0	4 30.4	665	1246	9 0	4 45.0	765	1200	14 0	5 7.4	752	1214
Max.	5 34.1	979	1222	5	4 32.5	661	1255	5	4 44.1	776	1193	5	5 6.5	765	1214
Min.	4 26.9	642	1046	10	4 29.9	654	1255	10	4 46.1	771	1197	10	5 9.9	776	1214
				15	4 25.4	629	1259	15	4 46.6	772	1196	15	5 7.1	774	1212
				20	4 21.7	621	1255	20	4 46.2	772	1195	20	5 4.0	741	1222
				25	4 12.5	602	1260	25	4 46.7	769	1199	25	4 59.9	792	1204
				30	4 28.6	623	1248	30	4 46.5	769	1200	30	4 57.0	777	1212
				35	4 33.5	660	1237	35	4 44.2	768	1201	35	5 2.9	817	1201
				40	4 22.1	636	1243	40	4 42.7	777	1199	40	4 59.9	813	1201
				45	4 19.6	618	1244	45	4 40.5	779	1201	45	5 3.8	821	1201
				50	4 23.8	609	1239	50	4 38.6	777	1200	50	5 2.2	830	1199
				55	4 25.6	615	1229	55	4 39.6	769	1201	55	5 3.9	846	1195

Stetiger Luftdruck. Luft-temp. - 2° 0. Wechselnde Winde 1-4. Früh morgens Schneefall u. Nebel. Vormitt. aufheiternd. Nachmittag heiter. Abends Schneetreiben.

Terminstage.

Göttinger Zeit.

Jan Mayen.

D = 25° + West

H = 0.09000 + 0.00... C. G. S.

V = 0.49000 + 0.0... C. G. S.

1. Juni 1883.

15. Juni 1883.

1. Juni 1883.								15. Juni 1883.															
Zeit	D	H	V	Zeit	D	H	V	Zeit	D	H	V	Zeit	D	H	V								
15 ^h 0 ^m	5° 1' 6	867	1194	20 ^h 0 ^m	5° 15' 1	850	1078	0 ^h 0 ^m	4° 53' 0	762	1243	5 ^h 0 ^m	4° 35' 1	735	1213								
5	5 2' 6	881	1192	5	5 12' 1	839	1085	5	4 55' 2	761	1241	5	4 35' 4	737	1213								
10	5 1' 6	888	1200	10	5 15' 1	817	1095	10	4 54' 6	762	1240	10	4 35' 4	743	1209								
15	4 59' 0	897	1201	15	5 16' 3	828	1100	15	4 54' 0	766	1236	15	4 37' 3	743	1207								
20	4 58' 8	894	1203	20	5 19' 4	862	1095	20	4 54' 2	769	1236	20	4 38' 6	754	1205								
25	4 57' 9	894	1205	25	5 14' 6	873	1111	25	4 54' 6	769	1237	25	4 39' 5	753	1207								
30	4 56' 9	891	1209	30	5 14' 8	844	1122	30	4 55' 8	764	1241	30	4 40' 2	757	1207								
35	4 59' 5	885	1204	35	5 14' 6	844	1122	35	4 56' 1	764	1244	35	4 40' 1	760	1206								
40	4 58' 6	890	1205	40	5 20' 8	887	1108	40	4 54' 9	765	1267	40	4 40' 2	763	1206								
45	4 58' 9	888	1204	45	5 17' 8	868	1127	45	4 54' 1	769	1246	45	4 40' 9	764	1208								
50	5 2' 0	891	1200	50	5 26' 0	845	1128	50	4 54' 0	768	1246	50	4 41' 2	763	1209								
55	5 1' 7	892	1199	55	5 24' 0	858	1112	55	4 54' 1	764	1248	55	4 41' 1	766	1209								
16 0	5 2' 9	901	1194	21 0	5 27' 0	761	1106	1 0	4 54' 3	765	1249	6 0	4 41' 1	765	1212								
5	4 59' 4	902	1193	5	5 28' 1	800	1121	5	4 52' 7	764	1253	5	4 40' 7	768	1209								
10	5 1' 1	891	1193	10	5 30' 1	826	1138	10	4 51' 9	762	1255	10	4 41' 1	768	1212								
15	5 3' 4	897	1192	15	5 20' 1	801	1139	15	4 52' 2	762	1256	15	4 40' 7	766	1212								
20	5 4' 2	892	1192	20	5 23' 6	805	1136	20	4 50' 2	759	1256	20	4 41' 1	762	1214								
25	5 6' 3	901	1190	25	5 15' 6	837	1134	25	4 51' 5	759	1257	25	4 41' 0	763	1214								
30	5 6' 7	911	1189	30	5 23' 2	817	1137	30	4 52' 3	754	1258	30	4 41' 3	762	1213								
35	5 3' 9	918	1182	35	5 21' 4	829	1122	35	4 52' 7	751	1258	35	4 41' 2	762	1213								
40	5 2' 1	927	1180	40	5 34' 7	783	1132	40	4 50' 3	742	1261	40	4 41' 4	762	1214								
45	4 58' 7	937	1170	45	5 21' 5	820	1155	45	4 47' 3	738	1263	45	4 41' 4	763	1213								
50	4 59' 7	921	1168	50	5 19' 3	800	1169	50	4 46' 0	737	1263	50	4 41' 2	761	1213								
55	5 1' 1	917	1161	55	5 16' 4	837	1163	55	4 47' 4	746	1260	55	4 41' 9	759	1213								
17 0	4 59' 6	928	1156	22 0	5 30' 3	742	1156	2 0	4 50' 1	738	1271	7 0	4 41' 9	759	1213								
5	4 59' 7	910	1159	5	5 30' 7	721	1160	5	4 51' 3	753	1269	5	4 42' 0	761	1214								
10	4 58' 1	920	1149	10	5 38' 9	745	1160	10	4 51' 5	741	1273	10	4 41' 8	760	1213								
15	4 56' 5	920	1136	15	5 23' 8	762	1160	15	4 52' 7	739	1279	15	4 41' 6	757	1214								
20	4 59' 2	926	1124	20	5 20' 9	761	1170	20	4 49' 7	731	1283	20	4 41' 9	755	1214								
25	5 2' 9	907	1120	25	5 19' 8	778	1170	25	4 49' 5	730	1285	25	4 42' 3	754	1214								
30	5 3' 0	900	1107	30	5 26' 7	760	1188	30	4 48' 3	728	1286	30	4 43' 0	754	1214								
35	4 57' 8	888	1100	35	5 19' 7	701	1197	35	4 42' 9	703	1290	35	4 40' 7	751	1214								
40	4 58' 6	875	1092	40	5 27' 1	695	1192	40	4 42' 7	687	1299	40	4 41' 6	751	1214								
45	5 0' 4	860	1084	45	5 20' 3	777	1169	45	4 40' 1	687	1297	45	4 41' 1	751	1214								
50	5 2' 7	837	1083	50	5 33' 2	714	1201	50	4 37' 9	668	1299	50	4 42' 1	751	1213								
55	5 1' 5	833	1078	55	5 16' 0	769	1192	55	4 38' 2	661	1299	55	4 42' 1	749	1213								
18 0	5 1' 7	826	1072	23 0	5 15' 9	705	1197	3 0	4 37' 7	648	1302	8 0	4 41' 3	751	1213								
5	5 1' 3	814	1073	5	5 18' 2	698	1219	5	4 39' 2	665	1298	5	4 41' 9	750	1214								
10	5 0' 2	818	1068	10	5 19' 1	729	1215	10	4 42' 2	686	1289	10	4 42' 2	749	1215								
15	4 58' 6	811	1065	15	5 13' 3	784	1224	15	4 45' 2	722	1284	15	4 42' 2	747	1215								
20	4 58' 2	804	1065	20	5 14' 1	771	1226	20	4 39' 5	693	1294	20	4 42' 2	747	1214								
25	4 58' 6	808	1062	25	5 9' 8	775	1235	25	4 37' 0	691	1295	25	4 42' 2	745	1215								
30	4 58' 9	802	1061	30	5 4' 5	760	1232	30	4 34' 3	684	1290	30	4 43' 0	747	1214								
35	5 1' 3	802	1062	35	4 59' 2	735	1235	35	4 37' 7	696	1281	35	4 41' 7	741	1214								
40	4 59' 8	802	1062	40	5 9' 0	753	1245	40	4 40' 0	697	1277	40	4 41' 9	739	1215								
45	5 2' 2	810	1062	45	4 57' 5	740	1244	45	4 43' 2	711	1268	45	4 42' 2	742	1212								
50	5 1' 5	809	1064	50	4 53' 3	725	1250	50	4 41' 6	716	1260	50	4 42' 8	742	1212								
55	5 1' 9	810	1070	55	5 5' 8	757	1256	55	4 40' 8	714	1259	55	4 44' 4	741	1213								
19 0	5 4' 6	800	1075	Mittel	4 54' 2	770	1190	4 0	4 41' 5	726	1255	9 0	4 44' 2	740	1210								
5	5 8' 0	797	1078	Max. .	5 38' 9	937	1338	5	4 40' 7	722	1249	5	4 45' 9	743	1208								
10	5 6' 6	794	1085	Min. .	4 12' 5	517	1061	10	4 39' 8	720	1242	10	4 43' 6	745	1207								
15	5 12' 6	782	1088	Hoher Luftdruck 764·8mm langsam steigend. Luftt. -0°1. Vormitt. NW 2, bis Mittag ganz bewölkt, zeitweise Schneefall. Nachmitt. NW. Abends SSE 2-3, aufheiternd.								15	4 41' 8	735	1230	15	4 44' 2	748	1207				
20	5 24' 3	821	1077									20	4 42' 6	750	1226	20	4 42' 6	750	1226	20	4 44' 2	751	1206
25	5 10' 8	799	1074									25	4 41' 4	765	1228	25	4 41' 4	765	1228	25	4 43' 0	754	1206
30	5 19' 0	822	1062									30	4 39' 4	740	1228	30	4 39' 4	740	1228	30	4 44' 0	756	1206
35	5 15' 2	783	1069									35	4 37' 1	741	1228	35	4 37' 1	741	1228	35	4 44' 6	758	1206
40	5 0' 2	841	1073									40	4 38' 1	718	1227	40	4 38' 1	718	1227	40	4 44' 8	758	1206
45	4 54' 7	837	1075									45	4 43' 5	724	1222	45	4 43' 5	724	1222	45	4 45' 4	758	1206
50	5 13' 6	831	1070									50	4 37' 4	714	1226	50	4 37' 4	714	1226	50	4 45' 6	758	1205
55	5 17' 5	841	1073									55	4 34' 7	727	1216	55	4 34' 7	727	1216	55	4 45' 3	758	1206

D = 25° + West				H = 0.09000 + 0.00... C. G. S.				V = 0.49000 + 0.0... C. G. S.											
15. Juni 1883.								1. Juli 1883.											
Zeit	D	H	V	Zeit	D	H	V	Zeit	D	H	V	Zeit	D	H	V				
10 ^h 0 ^m	4°46'2	759	1205	15 ^h 0 ^m	4°56'6	764	1197	20 ^h 0 ^m	5°14'3	842	1165	0 ^h 0 ^m	5° 8'7	680	1432				
5	4 46'2	758	1205	5	4 56'8	767	1197	5	5 15'1	839	1170	5	5 24'0	541	1460				
10	4 47'9	759	1205	10	4 58'0	766	1200	10	5 10'4	839	1177	10	4 56'7	484	1427				
15	4 48'7	757	1205	15	4 57'6	770	1201	15	5 6'1	818	1190	15	4 30'6	468	1464				
20	4 49'3	754	1205	20	4 57'2	781	1199	20	5 3'3	809	1165	20	4 36'9	297	1464				
25	4 50'0	752	1205	25	4 54'8	787	1202	25	5 3'0	819	1159	25	4 19'5	269	1497				
30	4 50'1	753	1204	30	4 55'2	787	1204	30	5 3'4	819	1153	30	4 7'0	216	1562				
35	4 50'3	751	1204	35	4 55'9	788	1205	35	5 2'4	828	1152	35	3 14'2	198	1533				
40	4 51'1	751	1203	40	4 57'0	788	1206	40	5 5'9	822	1154	40	2 52'9	203	1516				
45	4 51'4	749	1203	45	4 57'7	783	1207	45	4 59'1	794	1154	45	3 32'5	83	1537				
50	4 51'9	749	1203	50	4 58'0	785	1206	50	4 56'9	789	1157	50	3 37'5	48	1475				
55	4 51'0	751	1202	55	4 59'0	782	1208	55	4 59'4	788	1164	55	3 42'4	76	1454				
11 0	4 52'2	751	1202	16 0	4 58'8	779	1210	21 0	5 0'1	792	1168	1 0	4 2'5	48	1448				
5	4 53'0	753	1202	5	4 57'9	777	1210	5	5 0'1	794	1168	5	4 43'1	110	1414				
10	4 53'6	749	1203	10	4 56'6	783	1210	10	4 55'3	787	1196	10	5 6'7	299	1407				
15	4 54'0	748	1200	15	4 57'0	777	1212	15	5 8'3	805	1195	15	3 32'6	206	1362				
20	4 53'3	745	1200	20	4 55'8	797	1206	20	5 15'3	799	1194	20	4 17'5	311	1421				
25	4 52'7	748	1197	25	4 55'5	797	1208	25	5 11'3	790	1199	25	5 41'9	498	1421				
30	4 55'1	753	1196	30	4 54'6	799	1209	30	5 5'7	789	1200	30	5 4'7	519	1440				
35	4 56'3	753	1197	35	4 54'2	800	1212	35	5 2'1	797	1201	35	5 4'2	566	1454				
40	4 56'1	748	1197	40	4 55'1	808	1212	40	5 0'2	801	1199	40	4 56'7	525	1475				
45	4 57'0	747	1197	45	4 53'6	809	1213	45	4 56'6	811	1197	45	4 44'1	621	1466				
50	4 57'3	747	1195	50	4 54'4	806	1217	50	4 51'7	857	1179	50	4 36'6	673	1454				
55	4 58'0	746	1194	55	4 54'5	803	1217	55	4 52'0	841	1177	55	4 24'0	671	1491				
12 0	4 58'1	745	1194	17 0	4 53'5	799	1219	22 0	4 53'2	842	1177	2 0	4 50'7	764	1495				
5	4 57'9	744	1195	5	4 54'2	816	1214	5	4 54'2	836	1174	5	5 6'7	765	1498				
10	4 59'2	742	1195	10	4 53'9	819	1216	10	4 56'1	820	1175	10	4 48'2	716	1499				
15	4 57'5	742	1194	15	4 55'2	817	1218	15	4 56'8	810	1174	15	4 47'2	730	1497				
20	4 58'1	744	1193	20	4 54'3	803	1222	20	5 0'7	796	1172	20	4 55'2	831	1470				
25	4 59'7	746	1194	25	4 53'4	803	1222	25	4 59'5	796	1176	25	5 0'3	855	1475				
30	5 0'7	746	1195	30	4 53'7	809	1219	30	4 55'9	784	1177	30	4 45'2	795	1478				
35	5 0'0	747	1195	35	4 53'4	825	1214	35	4 56'9	789	1176	35	4 47'3	763	1490				
40	5 0'1	746	1195	40	4 54'0	832	1217	40	4 55'7	786	1177	40	4 41'8	724	1496				
45	5 0'7	745	1195	45	4 53'0	842	1218	45	4 55'7	787	1177	45	4 17'7	670	1501				
50	5 1'0	747	1194	50	4 52'0	851	1218	50	4 55'4	784	1178	50	5 7'4	648	1505				
55	5 0'6	746	1195	55	4 52'0	850	1219	55	4 56'2	786	1178	55	5 1'0	683	1486				
13 0	5 0'8	744	1195	18 0	4 52'2	843	1222	23 0	4 56'2	779	1182	3 0	5 2'7	715	1486				
5	5 1'2	744	1195	5	4 51'9	840	1226	5	4 54'3	790	1180	5	5 18'8	621	1531				
10	5 0'7	745	1195	10	4 51'6	833	1228	10	4 55'8	788	1184	10	5 3'5	475	1539				
15	5 0'5	747	1195	15	4 51'5	829	1229	15	4 55'1	774	1188	15	4 7'5	401	1532				
20	5 0'3	747	1195	20	4 51'0	830	1229	20	4 54'3	765	1188	20	4 18'5	462	1517				
25	4 59'8	749	1195	25	4 52'0	840	1226	25	4 53'6	768	1188	25	4 19'3	493	1532				
30	4 59'3	753	1195	30	4 52'6	861	1221	30	4 54'5	764	1188	30	4 15'3	503	1551				
35	4 59'2	751	1196	35	4 54'4	888	1217	35	4 54'2	768	1188	35	4 47'2	517	1540				
40	4 58'2	757	1196	40	4 57'0	907	1210	40	4 55'4	758	1190	40	4 20'9	406	1550				
45	4 57'3	753	1196	45	4 57'4	902	1214	45	4 56'0	752	1189	45	2 55'0	465	1441				
50	4 58'1	757	1195	50	4 55'6	890	1215	50	4 56'3	755	1190	50	3 53'9	541	1475				
55	5 0'0	759	1195	55	4 54'2	880	1216	55	4 56'7	749	1195	55	4 8'5	593	1451				
14 0	5 0'0	759	1196	19 0	4 52'3	864	1216	Mittel	4 51'6	771	1213	4 0	4 26'0	663	1435				
5	5 0'7	759	1196	5	4 50'2	852	1214	Max. .	5 15'3	907	1302	5	4 10'2	649	1423				
10	5 0'5	759	1196	10	4 47'5	850	1208	Min. .	4 35'1	648	1152	10	4 28'6	716	1416				
15	4 59'9	757	1196	15	4 47'5	855	1205	Stetiger Luftdr. 763·6mm. Lufttemp. -0°8. Vormitt. N bis NNW 3—4. Nachm. NW 3—1. Abends Caln. Bis Abends ganz bewölkt und Nebel, zeitweiser Schneefall. Abends heiter.								15	4 23'3	677	1445
20	4 59'2	758	1196	20	4 50'0	857	1199									20	4 24'8	712	1419
25	4 58'9	759	1195	25	4 53'1	864	1196									25	4 34'4	733	1402
30	4 58'2	762	1194	30	4 54'7	878	1187									30	4 21'3	732	1400
35	4 57'4	763	1195	35	4 56'7	882	1187									35	4 23'4	745	1398
40	4 57'3	760	1196	40	4 59'7	885	1183									40	4 20'7	752	1398
45	4 58'2	761	1196	45	5 4'4	884	1176									45	4 20'6	756	1407
50	4 57'3	765	1196	50	5 5'2	878	1170									50	4 19'6	771	1394
55	4 56'9	765	1197	55	5 10'5	865	1162									55	4 26'6	787	1391

Terminstage.

Göttinger Zeit.

Jan. Mayen.

$D = 25^\circ +$ West

$H = 0.09000 + 0.00 \dots$ C. G. S.

$V = 0.49000 + 0.0 \dots$ C. G. S.

1. Juli 1883.

Zeit	D	H	V	Zeit	D	H	V	Zeit	D	H	V	Zeit	D	H	V
5 ^h 0 ^m	4° 21' 9"	773	1400	10 ^h 0 ^m	4° 25' 5"	743	1163	15 ^h 0 ^m	5° 16' 8"	1022	1010	20 ^h 0 ^m	5° 55' 0"	747	1038
5	4 35' 0"	780	1408	5	4 29' 5"	749	1164	5	5 14' 0"	1007	1013	5	5 47' 1"	787	1044
10	4 30' 5"	771	1409	10	4 28' 9"	719	1176	10	5 16' 2"	1019	996	10	5 47' 7"	812	1047
15	4 31' 4"	781	1409	15	4 35' 6"	724	1176	15	5 18' 8"	942	1012	15	5 44' 4"	825	1057
20	4 50' 9"	796	1414	20	4 38' 0"	722	1179	20	5 27' 8"	933	996	20	5 38' 3"	824	1069
25	4 56' 5"	841	1397	25	4 30' 0"	727	1184	25	5 19' 8"	927	964	25	5 36' 4"	840	1069
30	5 0' 5"	825	1422	30	4 30' 9"	732	1184	30	5 24' 8"	842	967	30	5 33' 6"	812	1080
35	4 49' 0"	856	1431	35	4 32' 2"	752	1186	35	5 17' 8"	849	948	35	5 34' 9"	819	1088
40	4 20' 5"	851	1432	40	4 36' 9"	786	1182	40	4 56' 7"	797	976	40	5 33' 9"	777	1091
45	4 15' 3"	829	1444	45	4 42' 4"	795	1190	45	5 8' 7"	937	893	45	5 30' 3"	789	1095
50	4 22' 8"	784	1478	50	4 29' 6"	808	1194	50	5 24' 8"	880	895	50	5 32' 6"	775	1113
55	4 28' 4"	737	1500	55	4 21' 8"	846	1187	55	5 40' 9"	850	919	55	5 33' 1"	793	1105
6 0	4 21' 9"	767	1475	11 0	4 27' 2"	842	1194	16 0	5 45' 3"	955	900	21 0	5 32' 5"	771	1112
5	4 20' 7"	745	1467	5	4 19' 1"	857	1203	5	5 25' 5"	959	916	5	5 35' 2"	775	1121
10	4 42' 2"	646	1505	10	4 16' 6"	889	1194	10	5 33' 1"	980	923	10	5 35' 3"	734	1128
15	4 16' 6"	549	1505	15	4 17' 4"	878	1204	15	5 42' 9"	976	918	15	5 59' 3"	722	1154
20	4 12' 0"	520	1487	20	4 16' 0"	905	1199	20	5 42' 9"	986	970	20	5 52' 4"	745	1151
25	4 29' 8"	486	1473	25	4 24' 3"	910	1209	25	5 30' 3"	1006	974	25	5 30' 8"	787	1145
30	4 26' 9"	487	1433	30	4 12' 6"	885	1224	30	5 32' 8"	1029	979	30	5 30' 6"	800	1153
35	4 9' 6"	519	1389	35	4 10' 4"	925	1207	35	5 39' 5"	1048	979	35	5 31' 8"	831	1149
40	4 8' 4"	602	1347	40	4 4' 3"	936	1202	40	5 33' 6"	1068	993	40	5 37' 8"	829	1155
45	4 19' 1"	604	1354	45	4 13' 0"	933	1187	45	5 27' 7"	1073	996	45	5 34' 8"	821	1166
50	4 31' 6"	614	1329	50	4 10' 5"	942	1187	50	5 22' 7"	1076	1003	50	5 30' 8"	802	1173
55	4 35' 6"	647	1302	55	4 11' 3"	958	1176	55	5 28' 3"	1070	1005	55	5 32' 5"	841	1172
7 0	4 37' 7"	655	1302	12 0	4 12' 3"	990	1179	17 0	5 18' 8"	1098	1007	22 0	5 35' 9"	822	1176
5	4 34' 6"	662	1277	5	4 0' 1"	1008	1182	5	5 24' 2"	1125	1004	5	5 25' 6"	816	1190
10	4 27' 8"	668	1271	10	4 0' 7"	1034	1164	10	5 38' 3"	1077	1023	10	5 24' 6"	817	1189
15	4 29' 6"	681	1266	15	3 58' 6"	1035	1161	15	5 40' 9"	1066	1025	15	5 23' 4"	810	1194
20	4 34' 1"	709	1261	20	4 9' 9"	1003	1164	20	5 43' 6"	1059	1026	20	5 27' 1"	821	1189
25	4 40' 6"	767	1246	25	4 12' 5"	970	1166	25	5 42' 3"	1023	1032	25	5 26' 4"	843	1180
30	4 31' 6"	800	1205	30	4 11' 8"	923	1169	30	5 40' 7"	1026	1017	30	5 13' 8"	819	1186
35	4 15' 8"	587	1281	35	4 20' 8"	933	1141	35	5 43' 9"	1022	1020	35	5 18' 5"	832	1188
40	4 22' 9"	609	1260	40	4 25' 6"	922	1136	40	5 44' 4"	1030	1013	40	5 18' 6"	805	1201
45	4 12' 3"	643	1226	45	4 32' 3"	924	1136	45	5 38' 8"	1013	1015	45	5 15' 1"	817	1201
50	4 32' 6"	639	1197	50	4 35' 2"	898	1146	50	5 40' 8"	955	1027	50	5 16' 1"	819	1199
55	4 32' 6"	654	1188	55	4 32' 0"	904	1145	55	5 43' 9"	930	1017	55	5 11' 3"	818	1200
8 0	4 34' 6"	630	1192	13 0	4 33' 4"	907	1152	18 0	5 51' 9"	946	985	23 0	5 10' 0"	808	1210
5	4 35' 4"	619	1200	5	4 33' 8"	892	1162	5	5 44' 7"	969	972	5	5 11' 5"	788	1216
10	4 32' 6"	602	1203	10	4 34' 6"	900	1157	10	5 46' 3"	917	979	10	5 9' 1"	677	1279
15	4 28' 7"	629	1190	15	4 38' 6"	919	1153	15	6 1' 1"	880	1003	15	5 5' 5"	628	1349
20	4 22' 8"	636	1192	20	4 47' 6"	915	1163	20	5 51' 8"	870	1015	20	5 20' 3"	652	1350
25	4 29' 7"	638	1187	25	4 53' 7"	927	1174	25	5 43' 0"	893	996	25	5 32' 3"	723	1321
30	4 32' 4"	643	1181	30	4 50' 2"	944	1179	30	5 49' 7"	862	1013	30	5 13' 5"	699	1352
35	4 30' 7"	645	1186	35	4 45' 6"	941	1190	35	5 40' 9"	853	1013	35	5 8' 1"	674	1370
40	4 30' 4"	631	1181	40	4 41' 6"	942	1194	40	5 45' 6"	818	1027	40	5 8' 3"	701	1357
45	4 28' 6"	636	1184	45	4 41' 1"	975	1191	45	5 47' 0"	812	1031	45	5 23' 0"	813	1315
50	4 30' 4"	633	1184	50	4 41' 6"	1007	1177	50	5 30' 9"	849	1005	50	5 12' 2"	815	1311
55	4 33' 5"	651	1182	55	4 41' 6"	991	1175	55	5 44' 7"	871	994	55	5 12' 9"	793	1306
9 0	4 26' 7"	645	1179	14 0	4 51' 4"	1057	1142	19 0	5 36' 9"	872	993	Mittel	4 53' 7"	770	1220
5	4 35' 6"	667	1175	5	4 57' 9"	1061	1122	5	5 30' 8"	838	992	Max.	6 1' 1"	1125	1562
10	4 32' 1"	665	1174	10	4 58' 7"	1028	1135	10	5 36' 6"	806	973	Min.	2 52' 9"	48	893
15	4 31' 1"	665	1184	15	4 57' 3"	1008	1132	15	5 33' 8"	820	960	Hoher Luftdr. 765.2mm langsam steigend. Lufttemp. 392. Ganz bewölkt und Nebel. Vormittag NW 1—2. Nach- mittag NNW bis NW 1—2.			
20	4 30' 0"	669	1179	20	4 57' 8"	1014	1124	20	5 35' 8"	841	953				
25	4 27' 8"	675	1183	25	5 1' 0"	1021	1107	25	5 51' 2"	873	951				
30	4 36' 4"	685	1178	30	4 40' 8"	1040	1085	30	5 41' 4"	805	1000				
35	4 30' 4"	671	1190	35	4 49' 3"	1029	1084	35	5 58' 8"	753	1007				
40	4 26' 1"	690	1188	40	4 42' 6"	988	1081	40	5 54' 1"	756	1038				
45	4 32' 0"	711	1180	45	4 40' 9"	1000	1048	45	5 47' 9"	814	1056				
50	4 33' 9"	744	1170	50	5 0' 7"	995	1027	50	5 25' 2"	825	1058				
55	4 30' 4"	732	1169	55	5 23' 6"	993	1005	55	5 47' 4"	774	1048				

$D = 25^\circ +$ West

$H = 0.09000 + 0.00 \dots$ C. G. S.

$V = 0.49000 + 0.0 \dots$ C. G. S.

15. Juli 1883.

Zeit	D	H	V	Zeit	D	H	V	Zeit	D	H	V	Zeit	D	H	V
0 ^h 0 ^m	5° 0' 2	786	1170	5 ^h 0 ^m	4° 39' 5	733	1181	10 ^h 0 ^m	4° 48' 4	724	1202	15 ^h 0 ^m	5° 1' 2	827	1187
5	4 58' 8	779	1173	5	4 38' 9	732	1180	5	4 47' 4	724	1201	5	5 0' 3	855	1181
10	4 56' 7	768	1180	10	4 39' 5	739	1180	10	4 48' 0	727	1201	10	4 57' 5	855	1187
15	4 55' 3	765	1181	15	4 41' 1	747	1177	15	4 48' 9	724	1201	15	5 0' 4	889	1180
20	4 51' 5	764	1181	20	4 40' 2	746	1179	20	4 46' 8	726	1202	20	4 59' 5	890	1181
25	4 50' 3	763	1181	25	4 40' 0	754	1176	25	4 46' 0	729	1201	25	5 0' 0	931	1179
30	4 50' 3	760	1181	30	4 38' 4	757	1176	30	4 46' 4	732	1201	30	4 58' 1	961	1173
35	4 48' 9	760	1181	35	4 40' 1	758	1179	35	4 47' 4	729	1202	35	4 53' 2	994	1166
40	4 48' 5	760	1181	40	4 40' 7	760	1179	40	4 48' 4	733	1202	40	4 52' 2	987	1180
45	4 48' 2	759	1180	45	4 41' 3	758	1182	45	4 47' 8	733	1204	45	4 46' 3	977	1183
50	4 49' 0	762	1177	50	4 41' 2	757	1182	50	4 49' 5	734	1205	50	4 44' 9	972	1189
55	4 49' 6	764	1174	55	4 38' 5	740	1190	55	4 48' 5	733	1206	55	4 47' 5	908	1178
1 0	4 49' 3	758	1176	6 0	4 41' 5	757	1181	11 0	4 48' 4	735	1206	16 0	4 44' 0	991	1184
5	4 49' 6	760	1173	5	4 40' 2	751	1183	5	4 49' 9	734	1207	5	4 38' 1	1001	1181
10	4 49' 7	764	1172	10	4 41' 3	755	1183	10	4 49' 6	734	1207	10	4 46' 9	967	1180
15	4 51' 2	765	1172	15	4 40' 2	750	1183	15	4 49' 8	736	1205	15	4 53' 3	979	1169
20	4 51' 4	743	1170	20	4 40' 2	752	1183	20	4 51' 4	734	1207	20	4 53' 2	984	1160
25	4 49' 3	740	1172	25	4 40' 1	752	1183	25	4 51' 0	737	1206	25	4 53' 3	995	1150
30	4 49' 0	756	1173	30	4 41' 6	752	1183	30	4 52' 4	737	1207	30	4 52' 3	1008	1139
35	4 47' 7	769	1173	35	4 40' 2	744	1186	35	4 52' 1	739	1205	35	4 55' 0	1009	1127
40	4 49' 9	777	1173	40	4 41' 8	747	1186	40	4 54' 0	739	1205	40	4 59' 5	1027	1096
45	4 49' 3	779	1174	45	4 43' 4	755	1184	45	4 53' 3	736	1207	45	4 56' 1	969	1093
50	4 48' 7	769	1181	50	4 41' 4	744	1190	50	5 54' 2	742	1203	50	4 55' 3	946	1061
55	4 48' 4	760	1186	55	4 44' 9	750	1189	55	4 56' 2	742	1203	55	5 0' 1	886	1039
2 0	4 49' 3	753	1192	7 0	4 42' 0	739	1194	12 0	4 55' 4	739	1204	17 0	5 2' 1	862	1018
5	4 46' 7	749	1193	5	4 42' 3	743	1188	5	4 57' 8	740	1205	5	5 5' 9	846	1027
10	4 47' 6	757	1190	10	4 39' 7	749	1192	10	4 57' 3	740	1204	10	5 9' 2	831	1005
15	4 48' 9	757	1192	15	4 39' 3	752	1191	15	4 58' 4	736	1208	15	5 13' 7	817	1003
20	4 46' 8	749	1193	20	4 39' 5	743	1193	20	4 59' 1	738	1207	20	5 16' 7	785	1010
25	4 45' 5	749	1191	25	4 38' 7	729	1200	25	4 59' 2	735	1208	25	5 16' 3	778	1010
30	4 44' 7	751	1189	30	4 37' 1	725	1197	30	4 59' 2	734	1208	30	5 6' 3	798	1001
35	4 43' 0	749	1186	35	4 33' 2	707	1201	35	4 58' 2	734	1209	35	5 14' 7	763	1000
40	4 43' 0	753	1183	40	4 34' 9	707	1194	40	4 58' 4	736	1208	40	5 35' 6	768	989
45	4 41' 4	749	1184	45	4 37' 5	712	1192	45	4 59' 2	737	1209	45	5 52' 3	783	986
50	4 42' 0	748	1183	50	4 37' 4	719	1190	50	5 0' 1	737	1208	50	5 51' 3	789	994
55	4 39' 1	742	1187	55	4 38' 7	723	1187	55	4 59' 4	739	1208	55	5 39' 7	713	1030
3 0	4 37' 9	745	1182	8 0	4 40' 2	732	1186	13 0	4 59' 4	742	1207	18 0	5 17' 2	698	1035
5	4 40' 1	751	1179	5	4 40' 7	734	1190	5	4 55' 7	724	1213	5	4 58' 5	723	1005
10	4 42' 0	753	1175	10	4 42' 0	738	1188	10	4 54' 6	757	1202	10	5 28' 1	723	990
15	4 42' 4	752	1175	15	4 42' 5	737	1190	15	4 58' 7	753	1203	15	5 25' 8	717	988
20	4 42' 0	754	1173	20	4 40' 4	733	1193	20	4 59' 3	757	1202	20	5 37' 2	806	957
25	4 44' 7	761	1172	25	4 40' 2	738	1193	25	4 59' 2	747	1204	25	5 37' 6	783	967
30	4 46' 0	759	1173	30	4 40' 3	740	1194	30	4 59' 3	742	1205	30	5 35' 5	791	956
35	4 45' 1	752	1177	35	4 39' 2	738	1195	35	4 59' 0	748	1203	35	5 34' 9	754	965
40	4 45' 9	754	1176	40	4 43' 4	744	1196	40	4 58' 4	748	1202	40	5 35' 3	762	948
45	4 44' 2	750	1179	45	4 46' 0	744	1199	45	4 57' 5	747	1202	45	5 43' 4	785	954
50	4 44' 0	748	1176	50	4 45' 9	745	1199	50	4 59' 1	749	1202	50	5 44' 1	803	946
55	4 44' 4	754	1173	55	4 45' 2	739	1202	55	4 57' 2	753	1201	55	6 7' 6	844	941
4 0	4 44' 2	751	1173	9 0	4 45' 6	739	1203	14 0	4 59' 2	751	1201	19 0	5 15' 8	1032	901
5	4 46' 0	759	1173	5	4 46' 9	739	1203	5	4 56' 4	751	1200	5	5 14' 3	885	986
10	4 46' 4	756	1176	10	4 45' 2	735	1203	10	4 56' 2	758	1195	10	5 19' 5	852	1007
15	4 45' 8	755	1178	15	4 46' 7	738	1203	15	4 57' 2	758	1193	15	5 28' 4	852	1002
20	4 43' 4	759	1182	20	4 46' 3	735	1203	20	4 58' 9	763	1192	20	5 23' 2	852	1011
25	4 42' 3	736	1183	25	4 46' 2	734	1202	25	4 56' 2	768	1191	25	5 22' 5	832	1031
30	4 42' 2	734	1183	30	4 46' 2	729	1203	30	4 58' 6	759	1197	30	5 21' 4	851	1040
35	4 43' 2	738	1180	35	4 47' 2	732	1202	35	4 57' 2	772	1194	35	5 15' 9	842	1049
40	4 42' 0	736	1181	40	4 47' 2	725	1203	40	4 56' 7	767	1199	40	5 19' 7	812	1055
45	4 40' 7	735	1181	45	4 46' 2	725	1203	45	4 56' 8	771	1196	45	5 25' 8	797	1065
50	4 39' 2	732	1181	50	4 47' 0	725	1201	50	4 58' 9	775	1196	50	5 29' 2	805	1065
55	4 40' 0	740	1177	55	4 47' 2	724	1203	55	4 59' 8	786	1192	55	5 27' 2	796	1073

Termtage.

Göttinger Zeit.

Jan Mayen.

D = 25° + West				H = 0.09000 + 0.00... C. G. S.				V = 0.49000 + 0.0... C. G. S.							
15. Juli 1883.				1. August 1883.											
Zeit	D	H	V	Zeit	D	H	V	Zeit	D	H	V	Zeit	D	H	V
20 ^h 0 ^m	5° 27' 2	791	1075	0 ^h 0 ^m	5° 3' 4	370	1295	5 ^h 0 ^m	4° 33' 2	302	1402	10 ^h 0 ^m	4° 13' 5	622	1127
5	5 16' 4	819	1068	5	4 22' 9	387	1271	5	4 6' 6	323	1457	5	3 53' 6	655	1078
10	5 7' 9	782	1071	10	3 5' 1	273	1237	10	3 52' 7	281	1426	10	3 52' 1	678	1077
15	5 3' 2	762	1081	15	3 43' 5	379	1295	15	3 16' 4	316	1394	15	3 40' 0	554	1079
20	5 10' 2	767	1084	20	5 36' 4	518	1263	20	3 31' 0	296	1402	20	4 1' 6	578	1040
25	5 6' 0	770	1085	25	5 20' 9	450	1291	25	3 57' 5	353	1380	25	3 52' 6	574	1040
30	5 8' 3	764	1083	30	4 51' 0	516	1281	30	3 52' 8	377	1328	30	3 58' 9	642	1044
35	5 18' 3	761	1085	35	4 56' 8	404	1264	35	4 6' 0	392	1312	35	3 49' 5	546	1034
40	5 18' 3	768	1139	40	5 37' 8	375	1297	40	4 18' 5	444	1320	40	4 3' 6	540	1013
45	5 17' 1	756	1100	45	5 48' 2	497	1303	45	3 34' 0	403	1311	45	4 6' 7	511	1002
50	5 11' 6	726	1116	50	5 28' 2	459	1376	50	3 45' 0	439	1338	50	4 47' 0	526	961
55	5 10' 6	711	1116	55	4 21' 3	407	1401	55	4 24' 5	456	1346	55	3 52' 4	403	959
21 0	5 13' 6	725	1101	1 0	5 32' 8	463	1385	6 0	3 52' 6	435	1324	11 0	3 49' 5	419	948
5	5 18' 5	767	1084	5	5 22' 9	476	1365	5	4 1' 6	503	1313	5	3 45' 5	378	920
10	5 12' 1	727	1099	10	4 52' 6	479	1356	10	4 6' 1	509	1321	10	3 16' 6	470	851
15	5 21' 8	724	1100	15	5 36' 0	516	1313	15	3 49' 5	515	1300	15	3 35' 2	561	823
20	5 17' 3	751	1088	20	4 38' 8	311	1397	20	3 58' 4	537	1307	20	3 59' 5	756	831
25	5 14' 1	732	1088	25	5 6' 0	480	1354	25	4 7' 3	555	1306	25	3 59' 6	811	883
30	5 8' 9	730	1090	30	4 55' 5	447	1333	30	4 5' 1	564	1286	30	4 1' 6	851	936
35	5 4' 9	754	1092	35	5 9' 0	443	1343	35	4 5' 8	580	1274	35	4 16' 4	894	978
40	5 8' 8	738	1104	40	5 9' 8	430	1351	40	4 5' 7	604	1262	40	4 21' 7	915	1002
45	5 13' 8	751	1107	45	4 50' 7	451	1366	45	4 16' 2	646	1249	45	4 16' 7	867	1037
50	5 9' 3	768	1106	50	4 48' 8	539	1349	50	4 26' 7	691	1233	50	4 46' 2	921	1023
55	5 4' 4	777	1107	55	4 35' 1	464	1362	55	4 34' 8	720	1229	55	5 5' 9	902	1067
22 0	4 55' 0	775	1116	2 0	4 29' 1	477	1351	7 0	4 33' 3	722	1233	12 0	4 24' 8	938	1086
5	4 59' 1	787	1111	5	4 28' 9	540	1333	5	4 33' 4	722	1223	5	4 24' 7	935	1090
10	5 2' 9	820	1108	10	4 18' 7	497	1328	10	4 26' 4	708	1223	10	4 37' 7	919	1101
15	5 3' 7	809	1116	15	4 17' 6	543	1350	15	4 26' 5	707	1217	15	4 40' 6	903	1099
20	5 1' 6	802	1123	20	4 51' 9	538	1370	20	4 22' 8	712	1218	20	4 13' 6	880	1120
25	4 59' 4	815	1119	25	4 45' 8	514	1383	25	4 24' 8	731	1203	25	4 18' 9	921	1101
30	5 5' 2	804	1122	30	4 36' 6	588	1376	30	4 37' 4	783	1190	30	4 27' 1	887	1124
35	5 2' 3	809	1109	35	4 47' 8	566	1420	35	4 42' 9	793	1189	35	4 30' 9	853	1125
40	5 0' 3	822	1139	40	4 27' 7	517	1461	40	4 43' 1	808	1190	40	4 34' 8	812	1132
45	4 54' 2	830	1146	45	4 13' 1	558	1427	45	4 39' 6	804	1200	45	4 51' 3	802	1134
50	4 56' 3	824	1150	50	4 56' 9	617	1419	50	4 37' 7	801	1207	50	5 0' 0	794	1145
55	5 6' 2	819	1151	55	4 39' 8	660	1423	55	4 42' 2	809	1209	55	5 2' 8	786	1155
23 0	5 10' 6	850	1138	3 0	4 34' 7	681	1427	8 0	4 43' 8	824	1212	13 0	5 18' 0	761	1172
5	5 26' 6	860	1149	5	4 46' 3	678	1434	5	4 43' 1	828	1218	5	5 18' 2	780	1176
10	5 21' 6	839	1192	10	4 51' 7	659	1447	10	4 40' 8	828	1218	10	5 12' 7	775	1190
15	5 16' 1	798	1237	15	4 33' 7	622	1466	15	4 51' 2	844	1218	15	5 6' 8	905	1168
20	5 10' 6	804	1250	20	4 38' 8	668	1443	20	4 47' 9	870	1231	20	5 1' 0	985	1163
25	5 9' 3	802	1277	25	4 52' 5	647	1458	25	4 41' 8	809	1240	25	4 38' 8	976	1181
30	4 47' 4	280	1413	30	4 52' 8	610	1457	30	4 43' 8	819	1244	30	4 28' 8	967	1188
35	3 59' 0	265	1403	35	4 48' 8	703	1485	35	4 33' 7	782	1267	35	4 35' 7	940	1205
40	4 40' 3	295	1411	40	4 53' 1	740	1479	40	4 26' 7	755	1264	40	4 32' 7	922	1221
45	5 9' 0	338	1413	45	4 56' 6	569	1462	45	4 15' 8	792	1241	45	4 28' 3	934	1228
50	4 21' 1	216	1434	50	4 42' 2	536	1481	50	4 20' 2	734	1260	50	4 24' 8	943	1231
55	4 57' 5	233	1391	55	4 37' 0	533	1481	55	4 13' 9	714	1242	55	4 31' 3	964	1234
Mittel	4 56' 0	765	1158	4 0	3 48' 4	556	1469	9 0	4 17' 2	753	1216	14 0	4 42' 5	948	1257
Max. .	6 7' 6	1032	1434	5	4 43' 3	573	1529	5	3 45' 5	726	1226	5	4 36' 9	1001	1247
Min. .	3 59' 0	216	901	10	4 51' 0	573	1550	10	3 59' 9	692	1202	10	4 27' 8	977	1258
				15	4 52' 5	611	1555	15	3 59' 2	671	1197	15	4 34' 8	985	1273
				20	5 36' 1	655	1540	20	4 12' 6	610	1210	20	4 26' 4	986	1291
				25	3 50' 0	595	1531	25	3 49' 4	651	1203	25	4 45' 2	1056	1282
				30	3 45' 5	433	1493	30	4 8' 4	600	1226	30	4 28' 5	1004	1306
				35	4 19' 0	494	1479	35	4 3' 9	609	1222	35	5 6' 0	972	1301
				40	3 16' 4	349	1475	40	3 41' 8	593	1214	40	5 1' 7	905	1313
				45	4 1' 6	522	1466	45	3 53' 2	591	1191	45	4 54' 8	884	1296
				50	4 59' 5	550	1515	50	4 30' 5	609	1155	50	4 52' 8	854	1284
				55	4 50' 9	544	1402	55	4 31' 7	674	1166	55	4 50' 8	829	1274

Stetiger Luftdruck 759.6mm.
Lufttemperatur 3°0. SE 2-3.
Abends ENE 2.

Terminstage.

Göttinger Zeit.

Jan Mayen.

 $D = 29^\circ +$ West $H = 0.09000 + 0.00 \dots$ C. G. S. $V = 0.49000 + 0.0 \dots$ C. G. S.

1. August 1883.

Zeit	D	H	V	Anmerkungen	Zeit	D	H	V	Anmerkungen
15 ^h 0 ^m	4° 52' 2	810	1267		20 ^h 0 ^m	5° 8' 0	865	1177	
5	4 56' 2	801	1253		5	5 24' 1	843	1181	
10	4 59' 8	813	1247		10	5 22' 4	832	1179	
15	4 58' 6	827	1240		15	5 9' 2	872	1176	
20	5 3' 0	863	1222		20	5 5' 5	880	1182	
25	5 5' 8	913	1215		25	4 59' 1	891	1195	
30	4 59' 6	959	1210		30	4 59' 1	844	1206	
35	4 54' 1	997	1209		35	5 8' 9	810	1210	
40	4 57' 8	1050	1199		40	5 13' 6	776	1222	
45	5 0' 6	1034	1209		45	5 14' 7	659	1233	
50	4 50' 9	1055	1177		50	5 18' 2	453	1217	
55	4 48' 7	1057	1143		55	5 18' 2	574	1202	
16 0	5 7' 8	1015	1112		21 0	6 2' 1	699	1192	
5	5 1' 9	988	1112		5	6 3' 6	680	1229	
10	4 43' 0	922	1116		10	6 5' 1	724	1206	
15	4 46' 6	892	1092		15	6 2' 4	744	1208	
20	5 1' 1	874	1060		20	6 0' 5	784	1217	
25	4 57' 1	829	1061		25	5 58' 3	754	1240	
30	5 8' 4	835	1051		30	5 21' 3	744	1242	
35	4 59' 0	813	1052		35	5 55' 5	730	1242	
40	5 1' 1	779	1048		40	5 34' 3	693	1262	
45	5 3' 1	784	1038		45	5 29' 4	620	1282	
50	5 6' 3	787	1031		50	5 24' 7	710	1249	
55	5 3' 2	840	1023		55	5 12' 1	718	1262	
17 0	4 56' 8	854	1025		22 0	5 16' 1	739	1245	
5	4 53' 7	867	1034		5	5 9' 4	656	1232	
10	4 53' 4	920	1025		10	5 32' 0	604	1233	
15	4 42' 6	960	1026		15	5 24' 0	572	1208	
20	4 41' 8	913	1040		20	5 17' 9	554	1221	
25	4 46' 8	887	1052		25	5 17' 9	627	1230	
30	5 6' 5	867	1054		30	5 22' 9	561	1249	
35	5 5' 9	870	1040		35	5 20' 8	534	1273	
40	5 33' 5	847	1032		40	5 27' 0	616	1269	
45	5 56' 1	839	1040		45	5 25' 5	597	1289	
50	5 42' 2	896	1020		50	5 17' 4	606	1293	
55	5 31' 9	876	1029		55	5 11' 9	664	1298	
18 0	5 27' 8	889	1037		23 0	5 1' 9	705	1306	
5	5 30' 0	874	1051		5	5 1' 9	752	1306	
10	5 26' 0	871	1052		10	5 5' 9	795	1316	
15	5 18' 5	882	1055		15	5 8' 9	766	1337	
20	5 11' 3	871	1055		20	4 56' 9	740	1340	
25	5 11' 6	823	1073		25	4 46' 9	759	1329	
30	5 19' 5	807	1086		30	4 19' 9	781	1327	
35	5 22' 9	842	1090		35	4 30' 8	813	1330	
40	5 16' 4	847	1101		40	4 28' 5	724	1384	
45	5 13' 9	852	1103		45	4 23' 9	641	1424	
50	5 10' 2	848	1117		50	5 25' 7	505	1489	
55	5 1' 1	841	1140		55	5 29' 8	524	1473	
19 0	4 55' 3	821	1147		Mittel	4 44' 0	706	1229	
5	4 45' 6	820	1148		Max. .	6 5' 1	1057	1555	
10	4 53' 3	795	1143		Min. .	3 5' 1	273	823	
15	5 11' 7	817	1148						
20	5 6' 0	817	1156						
25	5 7' 1	836	1145						
30	5 16' 4	799	1146						
35	5 13' 3	852	1152						
40	5 9' 6	858	1154						
45	5 21' 6	825	1163						
50	5 18' 5	845	1186						
55	5 16' 2	841	1183						

Stetiger Luftdruck 759.6^{mm}. Lufttemperatur 8°2. Ganz bewölkt. Vormittag ESE 4—6, zeitweise leichter Nebel. Nachmittag SE 6—1. Abends sehr dichter Nebel.

Terminstunden.

Göttinger Zeit.

Jan Mayen.

$D = 25^\circ +$ West

$H = 0.09000 + 0.00 \dots$ C. G. S.

$V = 0.49000 + 0.0 \dots$ C. G. S.

1. September 1882.

2^h—3^h p. m.

Zeit	D	Zeit	D	Zeit	D	Zeit	D	Zeit	D
0 ^m 0 ^s	5° 7'6	12 ^m 0 ^s	5° 6'7	24 ^m 0 ^s	5° 8'4	36 ^m 0 ^s	5° 6'1	48 ^m 0 ^s	5° 6'5
20	5 7'4	20	5 7'0	20	5 8'2	20	5 6'3	20	5 6'4
40	5 7'3	40	5 7'5	40	5 8'2	40	5 6'4	40	5 6'4
1 0	5 7'6	13 0	5 7'9	25 0	5 8'1	37 0	5 6'8	49 0	5 6'1
20	5 7'6	20	5 7'8	20	5 7'8	20	5 7'4	20	5 6'3
40	5 7'7	40	5 8'4	40	5 7'2	40	5 7'5	40	5 6'6
2 0	5 8'5	14 0	5 8'9	26 0	5 6'6	38 0	5 7'4	50 0	5 6'6
20	5 8'6	20	5 9'6	20	5 6'8	20	5 7'4	20	5 6'6
40	5 8'5	40	5 10'4	40	5 7'1	40	5 7'6	40	5 6'8
3 0	5 8'6	15 0	5 10'6	27 0	5 7'0	39 0	5 7'4	51 0	5 7'3
20	5 8'6	20	5 11'3	20	5 7'1	20	5 7'3	20	5 7'0
40	5 8'6	40	5 10'8	40	5 7'1	40	5 7'1	40	5 6'6
4 0	5 8'2	16 0	5 10'2	28 0	5 7'4	40 0	5 6'7	52 0	5 6'6
20	5 7'6	20	5 9'6	20	5 7'6	20	5 6'8	20	5 6'4
40	5 7'4	40	5 9'5	40	5 7'6	40	5 7'1	40	5 6'1
5 0	5 6'9	17 0	5 9'1	29 0	5 7'6	41 0	5 7'3	53 0	5 6'9
20	5 7'0	20	5 8'6	20	5 7'6	20	5 7'3	20	5 5'7
40	5 6'7	40	5 8'1	40	5 7'2	40	5 7'2	40	5 5'8
6 0	5 6'1	18 0	5 7'6	30 0	5 6'6	42 0	5 7'4	54 0	5 5'9
20	5 6'3	20	5 7'6	20	5 6'8	20	5 7'4	20	5 6'1
40	5 5'9	40	5 7'4	40	5 6'9	40	5 7'2	40	5 6'4
7 0	5 6'2	19 0	5 7'6	31 0	5 6'8	43 0	5 7'1	55 0	5 6'6
20	5 6'6	20	5 7'6	20	5 6'9	20	5 7'0	20	5 7'0
40	5 7'4	40	5 7'6	40	5 6'8	40	5 7'2	40	5 7'3
8 0	5 7'8	20 0	5 8'0	32 0	5 6'5	44 0	5 7'6	56 0	5 7'5
20	5 8'3	20	5 8'3	20	5 6'1	20	5 7'9	20	5 7'5
40	5 8'7	40	5 8'5	40	5 6'1	40	5 8'1	40	5 7'0
9 0	5 8'9	21 0	5 9'0	33 0	5 6'0	45 0	5 8'2	57 0	5 7'8
20	5 9'1	20	5 9'2	20	5 5'5	20	5 8'2	20	5 7'6
40	5 9'0	40	5 8'9	40	5 5'4	40	5 8'2	40	5 7'8
10 0	5 8'7	22 0	5 9'0	34 0	5 5'2	46 0	5 8'3	58 0	5 7'6
20	5 8'5	20	5 9'6	20	5 5'2	20	5 7'8	20	5 7'6
40	5 8'3	40	5 10'1	40	5 5'3	40	5 7'6	40	5 7'8
11 0	5 7'9	23 0	5 9'9	35 0	5 5'5	47 0	5 7'3	59 0	5 7'7
20	5 7'6	20	5 9'4	20	5 5'6	20	5 6'8	20	5 8'0
40	5 6'6	40	5 8'6	40	5 5'9	40	5 6'6	40	5 8'1

Stundenmittel: $D = 5^\circ 7'5$.

$D = 25^{\circ} +$ West

$H = 0.09000 + 0.00 \dots$ C. G. S.

$V = 0.49000 + 0.0 \dots$ C. G. S.

15. September 1882.

3^h—4^h p. m.

Zeit	D	H	V	Zeit	D	H	V	Zeit	D	H	V
0 ^m 0 ^s	5° 8'4	816	1407	20 ^m 0 ^s	5° 10'6	800	1426	40 ^m 0 ^s	5° 9'7	795	1430
20	5 7'9	817	1420	20	5 10'6	800	1426	20	5 9'4	796	1430
40	5 7'6	818	1420	40	5 10'5	801	1424	40	5 9'1	796	1429
1 0	5 7'4	818	1397	21 0	5 10'3	801	1426	41 0	5 8'8	797	1429
20	5 7'4	818	1429	20	5 9'9	801	1426	20	5 8'4	798	1429
40	5 7'6	817	1426	40	5 9'6	802	1426	40	5 8'4	798	1429
2 0	5 7'7	816	1428	22 0	5 9'3	802	1426	42 0	5 8'3	800	1429
20	5 7'8	815	1429	20	5 8'9	802	1424	20	5 8'3	800	1430
40	5 7'9	815	1431	40	5 8'7	801	1424	40	5 8'2	799	1429
3 0	5 7'8	814	1431	23 0	5 8'8	802	1426	43 0	5 8'0	799	1430
20	5 7'8	812	1431	20	5 8'8	800	1426	20	5 7'9	799	1429
40	5 7'8	810	1432	40	5 8'9	799	1426	40	5 7'8	799	1436
4 0	5 7'9	809	1432	24 0	5 9'4	798	1427	44 0	5 7'8	799	1433
20	5 7'8	807	1431	20	5 9'5	797	1428	20	5 7'8	802	1433
40	5 8'1	807	1432	40	5 9'6	796	1429	40	5 7'8	805	1434
5 0	5 8'2	807	1431	25 0	5 9'8	794	1428	45 0	5 7'8	805	1434
20	5 7'9	806	1432	20	5 9'8	793	1429	20	5 7'7	805	1434
40	5 8'1	806	1432	40	5 10'0	793	1429	40	5 7'6	805	1434
6 0	5 8'3	804	1430	26 0	5 10'4	793	1430	46 0	5 7'6	804	1434
20	5 8'6	805	1429	20	5 10'5	792	1430	20	5 7'8	802	1434
40	5 8'7	805	1429	40	5 10'6	792	1429	40	5 7'6	802	1436
7 0	5 8'8	804	1429	27 0	5 10'6	792	1430	47 0	5 7'7	801	1436
20	5 8'9	804	1430	20	5 10'6	793	1429	20	5 7'4	802	1437
40	5 9'2	804	1430	40	5 10'6	794	1429	40	5 7'3	802	1437
8 0	5 9'3	804	1429	28 0	5 10'4	794	1428	48 0	5 7'0	803	1437
20	5 9'4	804	1427	20	5 10'1	796	1429	20	5 6'9	802	1438
40	5 9'9	805	1428	40	5 9'6	796	1428	40	5 6'8	802	1438
9 0	5 9'0	805	1427	29 0	5 9'6	797	1427	49 0	5 6'6	802	1438
20	5 8'9	806	1428	20	5 9'4	798	1428	20	5 6'6	802	1440
40	5 8'9	806	1427	40	5 9'4	797	1427	40	5 6'7	802	1440
10 0	5 8'8	807	1428	30 0	5 9'5	797	1427	50 0	5 6'6	802	1438
20	5 8'8	807	1427	20	5 9'6	797	1427	20	5 6'7	804	1437
40	5 8'7	807	1427	40	5 9'9	798	1427	40	5 6'9	807	1436
11 0	5 8'8	807	1427	31 0	5 10'0	798	1427	51 0	5 7'2	809	1436
20	5 8'9	807	1427	20	5 9'9	799	1427	20	5 7'1	810	1436
40	5 9'0	807	1428	40	5 9'9	799	1427	40	5 6'6	811	1436
12 0	5 9'1	806	1430	32 0	5 9'8	798	1427	52 0	5 6'1	812	1435
20	5 8'9	805	1428	20	5 9'7	798	1427	20	5 5'6	812	1436
40	5 8'7	804	1430	40	5 9'5	797	1428	40	5 5'4	813	1437
13 0	5 8'6	803	1430	33 0	5 9'6	797	1429	53 0	5 5'1	812	1436
20	5 8'7	803	1430	20	5 9'6	796	1428	20	5 5'4	812	1437
40	5 8'7	802	1430	40	5 9'7	797	1429	40	5 5'6	812	1437
14 0	5 8'9	801	1429	34 0	5 9'8	797	1429	54 0	5 5'6	813	1436
20	5 9'2	800	1429	20	5 9'5	796	1429	20	5 5'7	814	1436
40	5 9'3	800	1429	40	5 9'5	797	1428	40	5 5'8	815	1436
15 0	5 9'2	800	1430	35 0	5 9'2	797	1430	55 0	5 6'0	817	1436
20	5 9'4	800	1429	20	5 8'9	797	1431	20	5 5'9	817	1436
40	5 9'7	801	1427	40	5 8'8	797	1430	40	5 5'8	819	1436
16 0	5 9'6	801	1426	36 0	5 8'4	797	1431	56 0	5 5'5	820	1436
20	5 10'0	801	1426	20	5 7'9	796	1431	20	5 5'5	824	1435
40	5 10'0	801	1426	40	5 8'0	795	1434	40	5 4'4	825	1435
17 0	5 9'9	802	1426	37 0	5 8'4	794	1434	57 0	5 3'6	826	1436
20	5 9'9	802	1426	20	5 8'6	794	1430	20	5 2'6	827	1436
40	5 9'8	802	1426	40	5 8'7	793	1431	40	5 2'3	827	1436
18 0	5 10'3	802	1426	38 0	5 8'8	794	1430	58 0	5 1'7	827	1436
20	5 10'6	801	1426	20	5 8'8	794	1431	20	5 1'5	828	1436
40	5 10'6	800	1426	40	5 9'1	793	1430	40	5 1'6	828	1436
19 0	5 10'6	800	1426	39 0	5 9'3	793	1430	59 0	5 1'7	828	1436
20	5 10'6	800	1426	20	5 9'4	792	1431	20	5 1'9	828	1436
40	5 10'6	800	1426	40	5 9'7	794	1429	40	5 1'6	829	1436

Stundenmittel: $D = 5^{\circ} 8'2$; $H = 804$; $V = 1430$.

Terminstunden.

Göttinger Zeit.

Jan Mayen.

$D = 25^\circ +$ West

$H = 0.09000 + 0.00 \dots$ C. G. S.

$V = 0.49000 + 0.0 \dots$ C. G. S.

1. October 1882.

4^h—5^h p. m.

Zeit	D	H	V	Zeit	D	H	V	Zeit	D	H	V
0 ^m 0 ^s	5° 1' 8	853	1300	20 ^m 0 ^s	4° 59' 6	862	1298	40 ^m 0 ^s	5° 0' 4	822	1295
20	5 1' 7	855	1300	20	4 59' 4	862	1298	20	5 0' 1	822	1295
40	5 1' 6	856	1300	40	4 59' 1	862	1298	40	4 59' 9	823	1295
1 0	5 1' 6	854	1299	21 0	4 58' 9	863	1298	41 0	4 59' 8	823	1295
20	5 1' 6	860	1298	20	4 58' 8	863	1298	20	4 59' 6	822	1295
40	5 1' 3	862	1298	40	4 58' 7	863	1297	40	4 59' 6	822	1295
2 0	5 0' 9	864	1298	22 0	4 58' 9	862	1297	42 0	4 59' 6	822	1295
20	5 0' 7	865	1297	20	4 59' 1	862	1296	20	4 59' 7	822	1295
40	5 0' 6	868	1297	40	4 59' 2	860	1296	40	4 59' 9	822	1294
3 0	5 0' 3	867	1296	23 0	4 59' 2	860	1297	43 0	5 0' 3	822	1294
20	5 0' 3	868	1296	20	4 59' 2	859	1297	20	5 0' 4	822	1294
40	5 0' 5	868	1296	40	4 59' 1	858	1297	40	5 0' 6	822	1294
4 0	5 0' 6	868	1296	24 0	4 59' 0	857	1297	44 0	5 0' 6	822	1294
20	5 1' 1	867	1297	20	4 58' 9	857	1297	20	5 0' 6	822	1294
40	5 1' 6	866	1298	40	4 58' 9	856	1298	40	5 0' 6	822	1294
5 0	5 2' 0	867	1298	25 0	4 58' 9	855	1298	45 0	5 0' 6	821	1294
20	5 2' 5	865	1299	20	4 58' 9	855	1297	20	5 0' 6	821	1294
40	5 2' 7	864	1299	40	4 58' 9	854	1297	40	5 0' 4	821	1294
6 0	5 3' 1	864	1300	26 0	4 58' 9	854	1297	46 0	5 0' 1	821	1294
20	5 3' 3	863	1301	20	4 59' 0	853	1296	20	4 59' 8	820	1294
40	5 3' 3	864	1301	40	4 59' 1	853	1296	40	4 59' 6	819	1294
7 0	5 3' 1	865	1300	27 0	4 59' 3	852	1295	47 0	4 59' 2	819	1295
20	5 3' 0	867	1300	20	4 59' 5	852	1295	20	4 59' 1	819	1295
40	5 2' 9	868	1299	40	4 59' 5	851	1295	40	4 59' 1	820	1294
8 0	5 2' 9	868	1298	28 0	4 59' 6	840	1295	48 0	4 59' 1	819	1294
20	5 2' 7	867	1298	20	4 59' 6	850	1295	20	4 59' 3	819	1294
40	5 2' 6	867	1298	40	4 59' 6	848	1295	40	4 59' 6	819	1293
9 0	5 2' 5	867	1298	29 0	4 59' 6	847	1295	49 0	4 59' 8	819	1293
20	5 2' 0	867	1298	20	4 59' 5	846	1296	20	5 0' 1	820	1293
40	5 1' 6	866	1298	40	4 59' 4	845	1296	40	5 0' 4	821	1291
10 0	5 1' 6	867	1299	30 0	4 59' 1	845	1296	50 0	5 0' 5	823	1290
20	5 1' 6	866	1299	20	4 58' 8	845	1297	20	5 0' 6	824	1290
40	5 1' 6	865	1300	40	4 58' 6	845	1295	40	5 0' 7	826	1289
11 0	5 1' 6	864	1301	31 0	4 58' 3	845	1296	51 0	5 0' 6	827	1289
20	5 1' 5	864	1302	20	4 58' 3	844	1296	20	5 0' 6	829	1289
40	5 1' 4	864	1302	40	4 58' 4	844	1296	40	5 0' 4	830	1288
12 0	5 1' 1	864	1302	32 0	4 58' 5	843	1296	52 0	5 0' 1	831	1288
20	5 0' 7	865	1302	20	4 58' 6	842	1295	20	5 0' 0	832	1288
40	5 0' 4	865	1302	40	4 58' 6	842	1295	40	5 0' 0	833	1288
13 0	5 0' 0	866	1302	33 0	4 59' 0	841	1295	53 0	5 0' 0	833	1288
20	4 59' 8	866	1302	20	4 59' 1	840	1295	20	5 0' 3	832	1288
40	4 59' 6	867	1301	40	4 59' 4	839	1295	40	5 0' 5	831	1288
14 0	4 59' 5	867	1300	34 0	4 59' 6	838	1295	54 0	5 0' 7	830	1289
20	4 59' 4	867	1300	20	4 59' 7	837	1295	20	5 1' 1	829	1289
40	4 59' 3	866	1300	40	4 59' 6	836	1295	40	5 1' 2	828	1289
15 0	4 59' 3	864	1299	35 0	4 59' 6	834	1295	55 0	5 1' 4	827	1290
20	4 59' 6	865	1299	20	4 59' 6	833	1295	20	5 1' 6	827	1290
40	4 59' 8	864	1299	40	4 59' 6	832	1295	40	5 1' 7	828	1290
16 0	5 0' 2	863	1299	36 0	4 59' 6	831	1296	56 0	5 1' 8	826	1290
20	5 0' 8	862	1298	20	4 59' 7	830	1296	20	5 1' 8	829	1290
40	5 0' 6	862	1299	40	4 59' 8	829	1296	40	5 1' 8	829	1290
17 0	5 0' 6	861	1300	37 0	4 59' 7	829	1296	57 0	5 1' 8	829	1290
20	5 0' 6	860	1300	20	4 59' 7	829	1296	20	5 1' 8	829	1290
40	5 0' 6	860	1299	40	4 59' 6	828	1296	40	5 1' 4	828	1290
18 0	5 0' 6	860	1300	38 0	4 59' 8	828	1296	58 0	5 1' 4	828	1290
20	5 0' 6	860	1299	20	4 59' 8	827	1295	20	5 1' 4	827	1291
40	5 0' 5	860	1299	40	4 59' 9	826	1296	40	5 1' 4	826	1291
19 0	5 0' 2	861	1298	39 0	5 0' 1	824	1296	59 0	5 1' 6	826	1291
20	5 0' 1	861	1298	20	5 0' 3	823	1295	20	5 1' 6	825	1291
40	5 0' 0	862	1298	40	5 0' 3	822	1295	40	5 1' 6	826	1291

Stundenmittel: $D = 5^\circ 0' 3$; $H = 845$; $V = 1296$.

$D = 25^\circ + \text{ West}$				$H = 0.09000 + 0.00 \dots \text{C. G. S.}$				$V = 0.49000 + 0.0 \dots \text{C. G. S.}$			
15. October 1882.											
5 ^h –6 ^h p. m.											
Zeit	D	H	V	Zeit	D	H	V	Zeit	D	H	V
0 ^m 0 ^s	5° 8'7	774	1306	20 ^m 0 ^s	5° 15'5	958	1295	40 ^m 0 ^s	5° 2'1	880	1329
20	5 8'3	775	1307	20	5 15'3	974	1287	20	5 1'9	872	1330
40	5 7'9	777	1306	40	5 17'8	988	1283	40	5 1'3	868	1331
1 0	5 7'3	779	1306	21 0	5 21'6	997	1280	41 0	5 1'0	867	1330
20	5 7'1	780	1304	20	5 18'5	1001	1282	20	5 2'0	870	1327
40	5 7'1	782	1304	40	5 15'5	998	1283	40	5 3'3	871	1325
2 0	5 6'9	785	1303	22 0	5 11'4	988	1286	42 0	5 6'5	872	1325
20	5 7'0	787	1302	20	5 6'5	984	1287	20	5 8'9	873	1325
40	5 7'1	789	1302	40	5 3'4	979	1280	40	5 8'6	870	1326
3 0	5 6'3	790	1303	23 0	5 1'2	972	1286	43 0	5 8'5	869	1328
20	5 5'1	792	1303	20	4 58'2	966	1286	20	5 9'0	867	1329
40	5 4'1	795	1302	40	4 56'3	958	1285	40	5 9'5	859	1334
4 0	5 8'1	798	1302	24 0	4 55'5	948	1285	44 0	5 9'1	855	1336
20	5 3'3	800	1301	20	4 56'8	944	1284	20	5 10'2	853	1341
40	5 3'3	801	1300	40	4 55'1	938	1286	40	5 6'3	864	1340
5 0	5 3'4	802	1299	25 0	4 53'2	923	1291	45 0	5 5'7	863	1344
20	5 3'3	803	1299	20	4 53'2	912	1295	20	5 2'6	866	1347
40	5 3'5	802	1300	40	4 50'8	894	1303	40	5 2'9	869	1346
6 0	5 4'4	804	1299	26 0	4 51'2	843	1310	46 0	5 2'8	880	1343
20	5 5'0	805	1299	20	4 56'6	810	1306	20	5 1'5	887	1338
40	5 4'5	807	1299	40	5 1'7	797	1298	40	5 1'1	896	1335
7 0	5 4'0	810	1299	27 0	5 9'4	789	1319	47 0	5 1'2	897	1329
20	5 3'3	813	1299	20	5 15'3	792	1319	20	5 0'8	899	1328
40	5 1'1	809	1301	40	5 24'4	822	1313	40	5 0'9	902	1328
8 0	4 59'1	808	1302	28 0	5 28'6	877	1302	48 0	5 0'1	900	1328
20	4 56'8	807	1303	20	5 56'9	935	1293	20	4 58'5	898	1329
40	4 56'0	811	1302	40	6 6'9	965	1284	40	4 57'7	896	1329
9 0	4 56'6	816	1299	29 0	6 5'5	966	1286	49 0	4 58'3	890	1331
20	4 57'6	820	1298	20	5 56'5	953	1296	20	4 58'0	884	1335
40	4 57'7	820	1299	40	5 39'8	915	1306	40	4 57'6	879	1336
10 0	4 57'2	819	1300	30 0	5 37'5	883	1308	50 0	4 56'6	872	1338
20	4 57'0	819	1301	20	5 34'9	859	1324	20	4 56'1	872	1338
40	4 57'0	819	1299	40	5 26'2	839	1336	40	4 56'7	872	1338
11 0	5 1'0	822	1294	31 0	5 16'1	834	1340	51 0	4 57'1	869	1339
20	5 5'5	831	1289	20	5 9'2	840	1338	20	4 57'9	868	1339
40	5 8'1	839	1287	40	5 10'4	850	1328	40	4 58'9	864	1340
12 0	5 8'4	845	1285	32 0	5 17'2	861	1319	52 0	5 0'3	859	1341
20	5 10'5	855	1284	20	5 20'0	870	1315	20	5 2'0	855	1343
40	5 12'3	869	1283	40	5 21'0	880	1312	40	5 2'7	850	1347
13 0	5 11'4	884	1282	33 0	5 19'3	886	1309	53 0	5 5'3	846	1348
20	5 12'0	886	1282	20	5 18'6	885	1308	20	5 6'3	842	1350
40	5 10'9	903	1281	40	5 16'1	880	1309	40	5 8'9	840	1351
14 0	5 10'2	907	1282	34 0	5 13'8	875	1308	54 0	5 10'0	836	1354
20	5 6'2	905	1283	20	5 17'3	874	1297	20	5 9'7	835	1357
40	5 4'8	908	1281	40	5 24'3	888	1301	40	5 8'9	836	1359
15 0	5 6'3	914	1282	35 0	5 29'9	904	1300	55 0	5 8'3	837	1359
20	5 3'1	920	1280	20	5 31'9	916	1303	20	5 7'6	840	1359
40	5 8'1	937	1272	40	5 29'4	922	1308	40	5 6'7	840	1359
16 0	5 11'1	937	1277	36 0	5 24'1	926	1315	56 0	5 6'0	843	1359
20	5 10'3	936	1282	20	5 19'1	927	1311	20	5 4'9	847	1357
40	5 12'5	940	1282	40	5 16'1	932	1319	40	5 3'5	850	1356
17 0	5 14'1	928	1284	37 0	5 12'8	931	1319	57 0	5 2'2	856	1355
20	5 15'0	921	1289	20	5 13'1	928	1317	20	5 1'7	860	1352
40	5 14'5	914	1290	40	5 14'6	922	1319	40	5 1'7	863	1349
18 0	5 16'6	917	1293	38 0	5 14'7	917	1320	58 0	5 1'6	863	1349
20	5 15'9	910	1297	20	5 13'8	914	1323	20	5 3'0	863	1343
40	5 14'9	910	1301	40	5 10'1	907	1326	40	5 5'0	865	1340
19 0	5 14'1	917	1302	39 0	5 5'1	899	1329	59 0	5 6'5	867	1338
20	5 14'5	925	1302	20	5 1'6	891	1330	20	5 8'4	871	1336
40	5 15'4	935	1299	40	5 1'3	885	1330	40	5 9'7	870	1336

Stundenmittel: $D = 5^\circ 8'8$; $H = 873$; $V = 1314$.

Terminstunden.

Göttinger Zeit.

Jan Mayen.

$D = 25^\circ +$ West

$H = 0.09000 + 0.00 \dots$ C. G. S.

$V = 0.49000 + 0.0 \dots$ C. G. S.

1. November 1882.

6^h—7^h p. m.

Zeit	D	H	V	Zeit	D	H	V	Zeit	D	H	V
0 ^m 0 ^s	4° 55' 17	875	1410	20 ^m 0 ^s	5° 0' 17	846	1400	40 ^m 0 ^s	4° 59' 18	824	1392
20	4 55' 4	875	1411	20	5 1' 1	843	1398	20	5 0' 3	823	1392
40	4 55' 6	876	1410	40	5 1' 2	843	1400	40	5 0' 9	821	1392
1 0	4 55' 8	874	1410	21 0	5 0' 7	844	1400	41 0	5 1' 7	820	1391
20	4 55' 6	873	1410	20	5 0' 2	843	1400	20	5 2' 6	820	1390
40	4 54' 6	871	1413	40	4 59' 7	843	1400	40	5 2' 8	820	1390
2 0	4 53' 9	867	1413	22 0	4 59' 5	846	1397	42 0	5 3' 2	820	1390
20	4 54' 1	863	1414	20	4 59' 1	847	1395	20	5 3' 6	820	1390
40	4 54' 4	860	1414	40	4 58' 5	850	1395	40	5 3' 7	819	1390
3 0	4 54' 6	859	1413	23 0	4 57' 4	853	1394	43 0	5 3' 6	819	1390
20	4 54' 9	860	1411	20	5 0' 5	857	1394	20	5 3' 6	821	1390
40	4 55' 4	859	1411	40	4 53' 7	860	1392	40	5 3' 6	821	1390
4 0	4 55' 6	858	1411	24 0	4 52' 9	863	1390	44 0	5 3' 6	820	1390
20	4 55' 4	855	1411	20	4 52' 1	860	1389	20	5 3' 6	820	1390
40	4 55' 0	853	1411	40	4 51' 4	868	1387	40	5 3' 5	819	1390
5 0	4 54' 9	852	1410	25 0	4 50' 7	868	1385	45 0	5 3' 3	821	1390
20	4 55' 5	851	1410	20	4 50' 5	869	1384	20	5 3' 1	821	1389
40	4 55' 5	850	1410	40	4 50' 9	869	1384	40	5 2' 8	821	1389
6 0	4 55' 3	850	1409	26 0	4 51' 5	869	1383	46 0	5 2' 7	820	1389
20	4 55' 3	850	1408	20	4 52' 4	872	1381	20	5 2' 8	819	1389
40	4 55' 4	851	1407	40	4 53' 4	873	1381	40	5 3' 1	818	1389
7 0	4 55' 9	850	1406	27 0	4 54' 5	871	1381	47 0	5 3' 5	817	1389
20	4 56' 3	850	1406	20	4 55' 8	868	1382	20	5 3' 7	817	1389
40	4 56' 4	850	1406	40	4 57' 1	865	1384	40	5 4' 5	817	1388
8 0	4 56' 4	850	1406	28 0	4 58' 2	860	1385	48 0	5 5' 2	816	1388
20	4 56' 6	852	1405	20	4 58' 5	857	1389	20	5 5' 8	815	1388
40	4 56' 4	852	1405	40	4 58' 0	854	1390	40	5 6' 5	813	1388
9 0	4 56' 3	852	1406	29 0	4 58' 5	852	1390	49 0	5 7' 5	811	1388
20	4 55' 7	852	1406	20	4 58' 4	850	1392	20	5 8' 0	809	1389
40	4 54' 8	852	1407	40	4 58' 4	848	1393	40	5 8' 7	807	1390
10 0	4 54' 2	850	1408	30 0	4 58' 2	847	1393	50 0	5 9' 1	804	1390
20	4 53' 9	848	1409	20	4 58' 3	845	1393	20	5 9' 2	803	1391
40	4 54' 0	848	1409	40	4 58' 3	844	1394	40	5 9' 0	804	1390
11 0	4 53' 5	849	1407	31 0	4 58' 1	843	1394	51 0	5 8' 8	804	1390
20	4 53' 6	843	1406	20	4 58' 0	842	1395	20	5 8' 9	804	1389
40	4 53' 2	855	1405	40	4 58' 2	841	1395	40	5 8' 9	805	1388
12 0	4 53' 6	857	1403	32 0	4 58' 6	839	1395	52 0	5 9' 0	807	1388
20	4 52' 9	859	1403	20	4 58' 8	837	1390	20	5 9' 1	809	1387
40	4 52' 6	862	1402	40	4 58' 7	836	1390	40	5 9' 4	808	1387
13 0	4 52' 3	865	1401	33 0	4 58' 8	834	1390	53 0	5 9' 6	808	1388
20	4 51' 9	865	1401	20	4 59' 4	831	1395	20	5 9' 9	807	1388
40	4 51' 6	864	1401	40	5 0' 4	829	1395	40	5 9' 9	804	1389
14 0	4 52' 3	862	1401	34 0	5 1' 6	820	1393	54 0	5 9' 9	802	1389
20	4 53' 1	859	1402	20	5 2' 6	829	1392	20	5 10' 0	801	1390
40	4 53' 4	854	1403	40	5 2' 9	829	1391	40	5 10' 0	799	1390
15 0	4 53' 3	851	1404	35 0	5 3' 6	832	1391	55 0	5 9' 9	799	1390
20	4 53' 6	848	1404	20	5 3' 8	833	1390	20	5 10' 0	799	1388
40	4 53' 9	844	1405	40	5 3' 3	834	1390	40	5 10' 0	800	1387
16 0	4 54' 4	842	1404	36 0	5 2' 3	836	1390	56 0	5 10' 2	801	1385
20	4 54' 7	842	1404	20	5 1' 4	837	1390	20	5 10' 5	802	1384
40	4 53' 4	842	1404	40	5 0' 0	837	1390	40	5 10' 5	803	1383
17 0	4 55' 7	840	1404	37 0	5 0' 3	837	1390	57 0	5 10' 0	803	1383
20	4 56' 1	842	1403	20	5 0' 3	830	1390	20	5 9' 6	802	1383
40	4 56' 4	842	1403	40	5 0' 3	830	1390	40	5 9' 6	801	1383
18 0	4 56' 6	843	1402	38 0	5 0' 0	834	1390	58 0	5 9' 4	800	1382
20	4 56' 8	844	1400	20	4 59' 7	832	1391	20	5 9' 1	799	1382
40	4 56' 9	844	1402	40	4 59' 6	830	1391	40	5 8' 8	798	1382
19 0	4 57' 7	844	1401	39 0	4 59' 9	829	1391	59 0	5 8' 2	797	1381
20	4 58' 7	843	1400	20	5 0' 0	828	1391	20	5 8' 0	794	1381
40	5 0' 1	843	1398	40	4 59' 9	820	1391	40	5 8' 4	790	1382

Stundenmittel: $D = 5^\circ 0' 0$; $H = 837$; $V = 1395$.

$D = 25^\circ +$ West

$H = 0.09000 + 0.00 \dots C. G. S.$

$V = 0.49000 + 0.0 \dots C. G. S.$

15. November 1882.

7^h—8^h p. m.

Zeit	D	H	V	Zeit	D	H	V	Zeit	D	H	V
0 ^m 0 ^s	4° 31' 9	905	1119	20 ^m 0 ^s	4° 52' 2	878	1093	40 ^m 0 ^s	4° 50' 1	897	1061
20	4 32' 0	902	1121	20	4 54' 3	870	1095	20	4 50' 5	897	1061
40	4 32' 6	903	1121	40	4 55' 5	871	1096	40	4 51' 5	894	1064
1 0	4 33' 9	905	1120	21 0	4 56' 3	869	1097	41 0	4 52' 4	892	1060
20	4 35' 3	905	1116	20	4 56' 4	870	1096	20	4 54' 2	885	1068
40	4 37' 1	911	1113	40	4 57' 2	875	1094	40	4 55' 4	877	1070
2 0	4 38' 0	918	1111	22 0	4 57' 7	878	1083	42 0	4 56' 9	870	1073
20	4 37' 6	916	1112	20	4 57' 5	879	1092	20	4 57' 4	864	1077
40	4 38' 1	901	1115	40	4 57' 4	878	1092	40	4 57' 7	860	1077
3 0	4 38' 9	882	1119	23 0	4 56' 7	879	1091	43 0	4 58' 7	859	1077
20	4 40' 3	875	1121	20	4 56' 0	882	1090	20	4 59' 2	860	1077
40	4 41' 5	880	1120	40	4 56' 1	888	1086	40	4 59' 0	860	1070
4 0	4 41' 6	887	1119	24 0	4 55' 4	894	1082	44 0	5 0' 1	862	1075
20	4 40' 4	894	1115	20	4 54' 8	898	1080	20	5 0' 4	866	1075
40	4 38' 7	905	1112	40	4 54' 9	895	1080	40	5 0' 2	870	1077
5 0	4 36' 9	912	1109	25 0	4 54' 3	888	1081	45 0	4 59' 1	873	1078
20	4 34' 6	911	1110	20	4 53' 4	883	1082	20	4 59' 1	875	1078
40	4 32' 8	907	1110	40	4 52' 9	876	1084	40	4 59' 9	878	1078
6 0	4 31' 9	904	1109	26 0	4 52' 4	868	1085	46 0	5 0' 4	880	1078
20	4 31' 0	903	1109	20	4 53' 1	860	1087	20	4 59' 8	882	1077
40	4 31' 5	901	1109	40	4 55' 0	855	1086	40	4 59' 8	883	1077
7 0	4 31' 3	895	1109	27 0	4 58' 4	855	1083	47 0	5 0' 6	885	1074
20	4 32' 8	890	1109	20	5 0' 9	859	1082	20	5 1' 5	884	1073
40	4 35' 4	889	1107	40	5 3' 2	862	1080	40	5 2' 4	882	1073
8 0	4 37' 4	896	1105	28 0	5 4' 7	866	1080	48 0	5 3' 7	879	1072
20	4 38' 6	898	1105	20	5 5' 3	871	1078	20	5 4' 1	880	1071
40	4 39' 4	899	1105	40	5 5' 7	878	1074	40	5 4' 2	883	1069
9 0	4 38' 5	902	1104	29 0	5 5' 9	879	1074	49 0	5 4' 1	880	1069
20	4 37' 4	907	1101	20	5 4' 7	881	1073	20	5 3' 0	890	1068
40	4 35' 4	912	1100	40	5 3' 2	885	1072	40	5 1' 9	896	1066
10 0	4 33' 9	914	1098	30 0	5 2' 6	887	1070	50 0	5 0' 7	899	1062
20	4 34' 1	917	1096	20	5 1' 7	890	1069	20	5 0' 0	902	1060
40	4 35' 2	918	1094	40	5 0' 6	891	1070	40	4 59' 0	902	1060
11 0	4 36' 5	917	1094	31 0	4 58' 9	892	1069	51 0	4 57' 6	898	1061
20	4 36' 6	912	1094	20	4 58' 1	892	1068	20	4 56' 7	894	1062
40	4 37' 3	905	1096	40	4 58' 2	890	1067	40	4 56' 7	890	1064
12 0	4 36' 5	897	1099	32 0	4 59' 3	892	1066	52 0	4 57' 1	886	1065
20	4 36' 0	891	1101	20	4 59' 9	895	1065	20	4 57' 6	882	1066
40	4 36' 3	882	1104	40	4 59' 7	900	1064	40	4 58' 1	880	1067
13 0	4 36' 9	871	1107	33 0	4 59' 7	905	1061	53 0	4 58' 8	876	1068
20	4 37' 6	864	1109	20	4 59' 1	910	1060	20	4 59' 6	874	1069
40	4 40' 0	858	1109	40	4 58' 2	914	1059	40	5 0' 9	873	1069
14 0	4 41' 8	855	1108	34 0	4 58' 5	918	1057	54 0	5 2' 0	875	1069
20	4 43' 6	856	1106	20	4 59' 1	917	1057	20	5 2' 4	876	1069
40	4 44' 2	858	1105	40	4 57' 9	912	1059	40	5 2' 4	876	1069
15 0	4 45' 2	860	1105	35 0	4 55' 9	911	1060	55 0	5 1' 9	875	1071
20	4 47' 1	861	1101	20	4 54' 1	916	1060	20	5 1' 9	871	1071
40	4 49' 5	866	1100	40	4 52' 7	917	1059	40	5 0' 9	868	1072
16 0	4 50' 0	872	1098	36 0	4 52' 4	913	1060	56 0	5 0' 5	866	1074
20	4 51' 5	871	1098	20	4 52' 5	907	1061	20	4 59' 4	865	1077
40	4 53' 1	868	1099	40	4 52' 5	905	1061	40	4 58' 0	866	1077
17 0	4 54' 0	866	1099	37 0	4 52' 4	903	1061	57 0	4 57' 7	865	1077
20	4 54' 4	865	1100	20	4 52' 8	899	1062	20	4 58' 3	864	1077
40	4 53' 4	865	1100	40	4 52' 4	895	1065	40	4 58' 9	861	1077
18 0	4 51' 1	866	1100	38 0	4 52' 3	896	1065	58 0	4 59' 4	861	1078
20	4 49' 2	870	1099	20	4 51' 4	897	1064	20	4 59' 4	859	1078
40	4 48' 0	877	1096	40	4 51' 6	897	1062	40	4 59' 4	859	1077
19 0	4 47' 9	882	1096	39 0	4 51' 7	895	1061	59 0	4 58' 7	860	1077
20	4 49' 1	883	1093	20	4 51' 4	895	1061	20	4 58' 2	860	1077
40	4 49' 4	882	1093	40	4 50' 6	897	1061	40	4 58' 6	859	1078

Stundenmittel: $D = 4^\circ 52' 0$; $H = 885$; $V = 1084$.

Terminstunden.

Göttinger Zeit.

Jan. Mayen.

$D = 25^\circ +$ West

$H = 0.09000 + 0.00 \dots$ C. G. S.

$V = 0.49000 + 0.0 \dots$ C. G. S.

1. December 1882.

8^h—9^h p. m.

Zeit	D	H	V	Zeit	D	H	V	Zeit	D	H	V
0 ^m 0 ^s	4° 54' 9	798	1333	20 ^m 0 ^s	4° 54' 0	777	1331	40 ^m 0 ^s	4° 52' 7	774	1330
20	4 55' 0	798	1333	20	4 54' 2	777	1331	20	4 52' 8	774	1330
40	4 55' 0	798	1333	40	4 54' 5	777	1331	40	4 52' 8	773	1330
1 0	4 55' 0	799	1333	21 0	4 54' 9	777	1331	41 0	4 52' 9	773	1330
20	4 54' 9	799	1333	20	4 55' 0	777	1330	20	4 52' 9	773	1330
40	4 55' 0	799	1333	40	4 55' 9	777	1330	40	4 52' 9	773	1330
2 0	4 55' 0	799	1333	22 0	4 55' 1	777	1330	42 0	4 52' 9	773	1330
20	4 55' 0	799	1333	20	4 55' 0	777	1330	20	4 52' 7	773	1329
40	4 55' 0	799	1333	40	4 55' 0	777	1331	40	4 52' 7	773	1329
3 0	4 55' 0	799	1333	23 0	4 54' 9	777	1331	43 0	4 52' 8	773	1330
20	4 55' 0	800	1333	20	4 54' 9	777	1331	20	4 52' 8	773	1329
40	4 55' 0	800	1333	40	4 54' 8	777	1331	40	4 53' 0	772	1329
4 0	4 55' 0	800	1333	24 0	4 54' 6	778	1330	44 0	4 53' 2	772	1329
20	4 55' 1	800	1333	20	4 54' 5	778	1330	20	4 53' 2	772	1330
40	4 55' 1	801	1333	40	4 54' 7	778	1330	40	4 53' 4	772	1330
5 0	4 55' 2	800	1333	25 0	4 54' 8	778	1330	45 0	4 53' 4	772	1330
20	4 55' 2	800	1333	20	4 54' 8	778	1330	20	4 53' 6	772	1330
40	4 55' 2	800	1333	40	4 54' 8	778	1330	40	4 53' 7	771	1330
6 0	4 55' 2	800	1333	26 0	4 54' 9	777	1330	46 0	4 53' 0	772	1330
20	4 55' 0	799	1333	20	4 54' 9	777	1330	20	4 53' 0	772	1330
40	4 54' 7	799	1333	40	4 55' 0	778	1330	40	4 53' 5	772	1329
7 0	4 54' 2	799	1333	27 0	4 54' 9	778	1330	47 0	4 53' 4	772	1330
20	4 54' 0	799	1333	20	4 54' 7	778	1330	20	4 53' 4	771	1330
40	4 53' 7	799	1333	40	4 54' 4	778	1330	40	4 53' 2	771	1330
8 0	4 53' 0	799	1333	28 0	4 54' 2	779	1330	48 0	4 53' 3	771	1330
20	4 53' 5	799	1333	20	4 54' 0	779	1330	20	4 53' 3	771	1330
40	4 53' 3	799	1333	40	4 53' 9	779	1330	40	4 53' 3	771	1330
9 0	4 53' 3	799	1333	29 0	4 53' 0	779	1330	49 0	4 53' 4	771	1330
20	4 53' 4	798	1334	20	4 53' 4	779	1330	20	4 53' 5	771	1330
40	4 53' 3	798	1334	40	4 53' 2	779	1330	40	4 53' 0	771	1330
10 0	4 53' 2	797	1334	30 0	4 53' 2	779	1330	50 0	4 53' 7	771	1330
20	4 53' 0	796	1334	20	4 53' 1	778	1330	20	4 53' 7	771	1330
40	4 52' 7	795	1334	40	4 53' 0	777	1330	40	4 53' 8	770	1330
11 0	4 52' 8	795	1334	31 0	4 52' 8	777	1330	51 0	4 54' 0	770	1330
20	4 53' 0	795	1334	20	4 52' 9	777	1330	20	4 54' 1	770	1330
40	4 53' 2	794	1334	40	4 52' 9	770	1330	40	4 54' 2	770	1329
12 0	4 53' 1	794	1334	32 0	4 53' 2	777	1330	52 0	4 54' 2	770	1329
20	4 53' 1	793	1334	20	4 52' 1	777	1329	20	4 54' 3	770	1329
40	4 53' 0	792	1334	40	4 53' 4	777	1329	40	4 54' 5	769	1329
13 0	4 53' 0	792	1334	33 0	4 53' 5	777	1329	53 0	4 54' 7	769	1328
20	4 53' 0	791	1334	20	4 53' 5	777	1329	20	4 55' 0	769	1328
40	4 53' 1	790	1334	40	4 53' 4	777	1329	40	4 55' 2	769	1329
14 0	4 53' 2	790	1335	34 0	4 53' 3	777	1329	54 0	4 55' 4	769	1329
20	4 53' 0	789	1335	20	4 53' 2	777	1329	20	4 55' 6	768	1329
40	4 52' 3	788	1335	40	4 53' 1	777	1329	40	4 55' 8	768	1329
15 0	4 51' 9	787	1335	35 0	4 52' 9	770	1329	55 0	4 50' 0	767	1330
20	4 51' 4	787	1335	20	4 52' 8	776	1329	20	4 50' 2	767	1329
40	4 51' 3	787	1334	40	4 52' 7	776	1329	40	4 50' 2	767	1329
16 0	4 51' 3	780	1333	36 0	4 52' 7	776	1329	56 0	4 50' 5	767	1329
20	4 51' 5	786	1334	20	4 52' 6	776	1329	20	4 50' 6	767	1329
40	4 51' 8	785	1333	40	4 52' 6	776	1329	40	4 50' 7	767	1329
17 0	4 52' 1	784	1333	37 0	4 52' 6	776	1329	57 0	4 50' 9	767	1330
20	4 52' 3	783	1333	20	4 52' 6	776	1329	20	4 57' 0	767	1330
40	4 52' 7	782	1333	40	4 52' 6	776	1329	40	4 57' 0	767	1330
18 0	4 52' 9	781	1333	38 0	4 52' 6	776	1329	58 0	4 57' 1	767	1330
20	4 53' 0	780	1333	20	4 52' 5	775	1329	20	4 57' 1	767	1330
40	4 53' 2	779	1333	40	4 52' 6	775	1329	40	4 57' 2	767	1330
19 0	4 53' 2	779	1333	39 0	4 52' 6	775	1329	59 0	4 57' 1	767	1330
20	4 53' 4	778	1333	20	4 52' 6	774	1329	20	4 57' 0	766	1330
40	4 53' 6	777	1333	40	4 52' 6	774	1329	40	4 56' 9	766	1330

Stundenmittel: $D = 4^\circ 53' 9$; $H = 780$; $V = 1331$.

$D = 25^\circ +$ West $H = 0.09000 + 0.00 \dots$ C. G. S. $V = 0.49000 + 0.0 \dots$ C. G. S.

15. December 1882.

9^h—10^h p. m.

Zeit	D	H	V	Anmerkungen
0 ^m 0 ^s	5° 16' 8	698	1391	
20	5 16' 9	702	1393	
40	5 12' 5	686	1403	
1 0	5 10' 6	680	1403	
20	5 11' 5	692	1401	
40	5 18' 3	700	1393	
2 0	5 29' 2	710	1393	
20	5 38' 5	687	1395	
40	5 41' 0	654	1403	
3 0	5 38' 5	648	1404	
20	5 35' 6	650	1403	
40	5 32' 7	646	1402	
4 0	5 33' 8	631	1404	
20	5 29' 9	599	1411	
40	5 25' 5	581	1409	
5 0	5 32' 5	611	1393	
20	5 37' 5	623	1388	
40	5 43' 5	615	1382	
6 0	5 49' 6	590	1382	
20	5 42' 7	579	1383	
40	5 40' 2	574	1382	
7 0	5 39' 3	590	1378	
20	5 34' 1	588	1381	
40	5 29' 9	611	1363	
8 0	5 39' 8	636	1343	
20	5 52' 8	650	1331	
40	5 49' 9	672	1330	
9 0	5 48' 1	673	1336	
20	5 43' 3	672	1336	
40	5 42' 0	663	1334	
10 0	5 46' 3	646	1336	
20	5 45' 6	628	1339	
40	5 34' 3	619	1346	
11 0	5 28' 8	593	1350	
20	5 35' 7	509	1356	
40	5 31' 7	561	1360	
12 0	5 34' 4	549	1365	
20	5 39' 0	544	1365	
40	5 42' 7	555	1364	
13 0	5 43' 5	565	1364	
20	5 43' 1	571	1361	
40	5 44' 5	591	1359	
14 0	5 41' 2	603	1354	
20	5 40' 4	612	1353	
40	5 39' 0	616	1350	
15 0	5 34' 7	624	1350	
20	5 26' 0	615	1350	
40	5 25' 1	608	1344	
16 0	5 33' 5	614	1337	
20	5 34' 3	624	1337	
40	5 37' 0	604	1336	
17 0	5 40' 0	588	1339	
20	5 34' 5	567	1347	
40	5 32' 2	555	1347	
18 0	5 37' 5	557	1339	
20	5 40' 9	554	1338	
40	5 42' 0	560	1335	
19 0	5 44' 8	565	1335	
20	5 43' 2	507	1338	
40	5 44' 0	572	1340	

9^h 0^m Aus einem Bogen entwickeln sich viele Fäden und Strahlen mit lebhafter Lichtbewegung.

4 Entwickelt sich eine Krone aus den Strahlen unter lebhaftem Farbenspiel.

7 Im Zenithe verblasst. Ein langer Strahlenwurf gegen West und Nord. In Ost und SE hat sich Alles zu Dunst mit leicht grünlicher Färbung zusammengezogen.

11 Es convergiren von allen Richtungen Strahlen und Fäden gegen den Zenith, während ein leichter Dunstbogen von NE über Zenith nach SW reicht.

13 Die Strahlen gegen West bekommen intensive Farben. Die anderen verblassen und verschwinden in Norden ganz.

16 Eine Krone mit Strahlenwurf von NE über Nord bis SW. Im Zenithe lichtschwach aber intensiv gefärbt.

19 Erblasst. Im Zenithe, in Norden und SW schwacher Dunst.

Terminstunden.

Göttinger Zeit.

Jan Mayen.

 $D = 25^\circ +$ West $H = 0.09000 + 0.00 \dots$ C. G. S. $V = 0.49000 + 0.0 \dots$ C. G. S.

15. December 1882.

9^h—10^h p. m.

Zeit	D	H	V	Anmerkungen
20 ^m 0 ^s	5° 39' 0"	572	1346	
20	5 36' 0"	578	1346	
40	5 36' 5"	576	1344	
21 0	5 38' 0"	576	1344	
20	5 37' 0"	584	1346	
40	5 35' 8"	588	1344	
22 0	5 35' 8"	586	1346	
20	5 34' 0"	579	1349	
40	5 30' 5"	565	1353	
23 0	5 30' 1"	553	1356	
20	5 30' 4"	545	1359	
40	5 31' 0"	539	1360	
24 0	5 29' 8"	528	1362	
20	5 29' 0"	523	1362	
40	5 28' 7"	513	1363	
25 0	5 30' 0"	501	1363	
20	5 32' 2"	503	1362	
40	5 31' 0"	494	1363	
26 0	5 31' 5"	486	1362	
20	5 32' 5"	480	1361	
40	5 31' 8"	480	1361	
27 0	5 30' 1"	484	1360	
20	5 27' 1"	485	1359	
40	5 25' 7"	491	1355	
28 0	5 28' 3"	490	1355	
20	5 28' 1"	482	1360	
40	5 27' 7"	472	1362	
29 0	5 29' 4"	479	1361	
20	5 31' 8"	500	1357	
40	5 32' 9"	517	1352	
30 0	5 34' 0"	531	1351	
20	5 33' 5"	539	1350	
40	5 33' 5"	552	1348	
31 0	5 32' 7"	555	1349	
20	5 33' 1"	552	1350	
40	5 33' 5"	551	1351	
32 0	5 33' 5"	553	1351	
20	5 33' 5"	555	1352	
40	5 32' 0"	556	1353	
33 0	5 30' 5"	565	1351	
20	5 26' 3"	568	1353	
40	5 23' 2"	556	1357	
34 0	5 21' 2"	550	1359	
20	5 22' 1"	548	1356	
40	5 22' 4"	558	1352	
35 0	5 25' 3"	562	1351	
20	5 25' 2"	561	1351	
40	5 26' 0"	559	1350	
36 0	5 27' 7"	557	1351	
20	5 28' 2"	559	1351	
40	5 27' 8"	563	1351	
37 0	5 26' 8"	568	1350	
20	5 25' 0"	573	1350	
40	5 25' 2"	573	1349	
38 0	5 24' 9"	571	1350	
20	5 24' 0"	561	1352	
40	5 22' 0"	552	1357	
39 0	5 18' 6"	546	1357	
20	5 15' 0"	547	1361	
40	5 11' 0"	553	1361	

9^h 22.ⁿ Im Zenithe ganz verschwunden. Dunstwölkchen rundherum.

24 Ein Vorhang von SW bis NW mit farbigen Strahlen. In Ost, SE und Süd schwacher Dunst.

25 Schwacher Bogen in NE über Zenith nach SW von kurzer Dauer. Der Vorhang verblasst und löst sich in matte Dunstmassen. Der Dunst in Ost, Süd und SE verschwunden.

33 Von SW über West nach Nord ein Bogen mit Strahlenansatz in SW.

35 Von SW bis West wird aus dem Bogen ein Band.

36 Der Theil von West bis Nord verschwindet ganz.

37 Nur mehr ein länglicher Dunst in SW.

38 Der Dunst breitet sich aus und wird formlos. Einzelne Dunstwölkchen ziehen nach Westen.

D = 25° + West		H = 0·09000 + 0·00... C. G. S.		V = 0·49000 + 0·0... C. G. S.	
15. December 1882.				9 ^h —10 ^h p. m.	
Zeit	D	H	V	Anmerkungen	
40 ^m 0 ^s	5° 9' 2	559	1357		
20	5 8' 7	570	1353		
40	5 8' 9	575	1352		
41 0	5 9' 7	580	1350		
20	5 8' 0	593	1350		
40	5 7' 5	607	1347		
42 0	5 4' 5	608	1348		
20	5 1' 9	614	1343		
40	5 3' 2	616	1341		
43 0	5 5' 2	612	1341		
20	5 5' 6	615	1341		
40	5 5' 2	617	1341		
44 0	5 4' 3	612	1343		
20	5 2' 6	614	1344		
40	4 59' 7	614	1347		
45 0	5 3' 0	611	1342		
20	5 9' 9	609	1340		
40	5 14' 1	603	1342		
46 0	5 15' 9	598	1346		
20	5 16' 7	594	1347		
40	5 17' 9	593	1344		
47 0	5 14' 4	600	1341		
20	5 10' 4	608	1339		
40	5 16' 6	609	1336		
48 0	5 11' 0	600	1334		
20	4 59' 9	583	1334		
40	4 55' 3	501	1338		
49 0	4 54' 5	541	1339		
20	4 54' 8	523	1341		
40	4 55' 1	512	1342		
50 0	4 50' 2	496	1340		
20	4 58' 0	499	1333		
40	4 55' 1	499	1333		
51 0	4 54' 1	473	1339		
20	5 2' 4	448	1347		
40	5 5' 4	447	1351		
52 0	5 5' 6	450	1357		
20	5 5' 5	455	1359		
40	5 8' 0	475	1355		
53 0	5 9' 4	485	1356		
20	5 9' 9	499	1357		
40	5 10' 3	512	1357		
54 0	5 12' 1	521	1357		
20	5 15' 3	535	1355		
40	5 16' 2	546	1354		
55 0	5 16' 9	560	1352		
20	5 17' 0	575	1351		
40	5 17' 6	582	1350		
56 0	5 18' 8	588	1350		
20	5 18' 3	632	1351		
40	5 18' 0	591	1352		
57 0	5 18' 6	589	1353		
20	5 18' 3	591	1354		
40	5 18' 3	593	1355		
58 0	5 18' 4	594	1356		
20	5 17' 5	594	1357		
40	5 17' 8	594	1357		
59 0	5 18' 5	596	1357		
20	5 17' 3	601	1359		
40	5 13' 0	604	1361		

9^h 40^m Entfaltet sich ein Vorhang an der Stelle des früheren Bogens. Die Strahlen darin sind färbig.

41 In SW verdoppelt sich der Vorhang.

42 In NE bis auf ein Dunstbogenstück verschwunden.

44 Der Vorhang rollt sich in SW fast zu einem Cylinder zusammen.

45 Der ganze Vorhang schrumpft zu einem geschlungenen Dunstbande von SW über NW bis NE, wo er über das dort stehende Dunstbogenstück greift.

47 Eine Krone im Zenith mit Strahlenwurf von SW bis NW. In NE kurze Strahlen. Ein Band durch die Krone von West durch Zenith nach NE.

51 Krone verschwunden. Das Band besteht. Dunstmassen in NW.

54 Band abgeblasst. Dunst in Ost und Süd.

55 Dunstbogenstück in West bis NW.

56 Dunst in Osten und Süden verschwunden.

57 Schwache kurze Strahlen von Westen gegen Zenith.

59 Die Strahlen verändern rasch ihre Lage und Richtung.

Stundenmittel: D = 5° 25' 1; H = 574; V = 1356.

Terminstunden.

Göttinger Zeit.

Jan Mayen.

$D = 25^\circ +$ West

$H = 0.09000 + 0.00 \dots$ C. G. S.

$V = 0.49000 + 0.0 \dots$ C. G. S.

2. Jänner 1883.

10^h—11^h p. m.

Zeit	D	H	V	Zeit	D	H	V	Zeit	D	H	V
0 ^m 0 ^s	4° 52' 2	636	1235	20 ^m 0 ^s	4° 53' 6	609	1242	40 ^m 0 ^s	5° 5' 8	708	1300
20	4 54' 4	634	1236	20	4 52' 3	606	1245	20	5 5' 8	711	1299
40	4 57' 4	626	1241	40	4 51' 9	606	1245	40	5 6' 3	715	1298
1 0	4 57' 9	621	1242	21 0	4 54' 4	614	1243	41 0	5 6' 1	715	1296
20	4 56' 4	622	1237	20	4 57' 0	621	1241	20	5 5' 8	721	1295
40	4 54' 2	628	1232	40	4 57' 3	629	1240	40	5 5' 7	722	1294
2 0	4 54' 5	636	1226	22 0	4 57' 6	632	1239	42 0	5 5' 5	722	1294
20	4 57' 9	624	1230	20	4 56' 4	634	1239	20	5 4' 9	721	1294
40	4 52' 9	601	1231	40	4 56' 1	636	1239	40	5 4' 3	718	1294
3 0	5 0' 1	601	1233	23 0	4 55' 1	636	1240	43 0	5 3' 9	716	1295
20	5 2' 0	617	1228	20	4 54' 5	640	1240	20	5 3' 9	717	1295
40	5 2' 4	645	1222	40	4 54' 9	646	1239	40	5 3' 8	715	1295
4 0	5 2' 5	656	1219	24 0	4 55' 2	649	1240	44 0	5 3' 9	712	1296
20	5 2' 6	658	1217	20	4 53' 4	649	1245	20	5 4' 2	712	1296
40	5 7' 0	667	1212	40	4 52' 9	649	1247	40	5 4' 4	713	1296
5 0	5 6' 5	668	1213	25 0	4 54' 5	649	1249	45 0	5 4' 4	710	1295
20	5 2' 1	661	1209	20	4 55' 8	649	1253	20	5 4' 7	717	1294
40	5 4' 2	664	1204	40	4 56' 7	647	1258	40	5 4' 5	718	1295
6 0	5 7' 5	671	1201	26 0	4 56' 4	649	1259	46 0	5 4' 3	718	1295
20	5 7' 2	661	1202	20	4 56' 7	654	1260	20	5 3' 9	720	1295
40	5 10' 0	654	1204	40	4 57' 1	657	1262	40	5 3' 4	722	1294
7 0	5 10' 3	642	1206	27 0	4 58' 2	659	1266	47 0	5 3' 1	724	1293
20	5 11' 3	643	1206	20	4 59' 5	659	1269	20	5 2' 9	725	1293
40	5 10' 5	651	1207	40	5 0' 1	654	1274	40	5 2' 5	727	1291
8 0	5 7' 5	655	1209	28 0	5 0' 3	651	1279	48 0	5 2' 2	728	1291
20	5 5' 0	653	1213	20	5 1' 8	650	1281	20	5 1' 9	729	1290
40	5 3' 7	650	1216	40	3' 4	654	1283	40	5 1' 6	732	1290
9 0	5 2' 0	650	1216	29 0	5 4' 6	656	1285	49 0	5 1' 7	732	1289
20	5 5' 0	650	1213	20	5 5' 7	659	1288	20	5 1' 6	732	1288
40	5 8' 2	664	1209	40	5 6' 0	660	1289	40	5 1' 4	732	1288
10 0	5 9' 0	661	1212	30 0	5 5' 5	659	1290	50 0	5 1' 4	734	1288
20	5 8' 5	657	1209	20	5 5' 3	658	1293	20	5 1' 0	733	1288
40	5 6' 9	659	1209	40	5 5' 0	654	1297	40	5 0' 5	734	1288
11 0	5 3' 5	655	1209	31 0	5 4' 9	649	1299	51 0	5 0' 3	735	1288
20	5 1' 0	657	1208	20	5 4' 7	648	1301	20	5 0' 2	737	1287
40	5 1' 2	655	1206	40	5 4' 8	644	1303	40	5 0' 3	738	1287
12 0	5 0' 4	656	1205	32 0	5 5' 2	646	1304	52 0	5 0' 3	739	1287
20	4 59' 0	654	1205	20	5 5' 7	649	1306	20	5 0' 3	741	1286
40	4 58' 4	652	1205	40	5 6' 2	649	1309	40	5 0' 4	742	1285
13 0	5 2' 7	650	1203	33 0	5 6' 3	649	1310	53 0	5 0' 5	744	1285
20	5 6' 3	653	1204	20	5 6' 7	649	1312	20	5 0' 5	744	1285
40	5 5' 0	648	1205	40	5 7' 2	648	1313	40	5 0' 4	743	1285
14 0	5 5' 7	654	1204	34 0	5 7' 4	650	1314	54 0	5 0' 2	744	1286
20	5 3' 5	652	1205	20	5 7' 5	654	1314	20	4 59' 7	744	1287
40	5 2' 5	656	1202	40	5 7' 5	659	1314	40	4 59' 6	742	1287
15 0	4 57' 2	660	1204	35 0	5 7' 8	662	1314	55 0	4 59' 6	742	1287
20	4 49' 4	655	1205	20	5 8' 5	667	1312	20	4 59' 6	742	1287
40	4 47' 9	642	1206	40	5 8' 6	671	1312	40	4 59' 2	743	1287
16 0	4 47' 5	634	1207	36 0	5 7' 8	671	1312	56 0	4 59' 1	743	1287
20	4 48' 8	629	1207	20	5 7' 5	675	1312	20	4 58' 8	742	1287
40	4 49' 6	629	1209	40	5 6' 7	681	1311	40	4 59' 0	743	1287
17 0	4 49' 9	625	1212	37 0	5 6' 5	686	1309	57 0	4 59' 1	744	1287
20	4 46' 4	624	1216	20	5 6' 3	692	1307	20	4 58' 9	744	1287
40	4 44' 9	620	1220	40	5 6' 1	697	1304	40	4 58' 8	743	1288
18 0	4 48' 2	619	1223	38 0	5 6' 3	699	1303	58 0	4 58' 9	742	1289
20	4 51' 6	623	1226	20	5 6' 5	701	1303	20	4 58' 8	741	1289
40	4 55' 4	628	1227	40	5 6' 4	702	1302	40	4 58' 7	740	1288
19 0	4 57' 3	629	1230	39 0	5 6' 3	704	1301	59 0	4 58' 4	739	1290
20	4 56' 9	625	1234	20	5 6' 1	705	1301	20	4 58' 4	739	1290
40	4 55' 8	619	1236	40	5 5' 9	708	1300	40	4 58' 4	738	1291

Stundenmittel: $D = 5^\circ 1' 4$; $H = 676$; $V = 1262$.

10^h 5^m Der Nebel erscheint im Zenithe gegen den umliegenden Theil desselben erhellt.
33 In Süden, $h = 40^\circ$ ein lichter Fleck kurze Zeit hindurch sichtbar.

$D = 25^\circ + \text{West}$

$H = 0.09000 + 0.00 \dots \text{C. G. S.}$

$V = 0.49000 + 0.0 \dots \text{C. G. S.}$

15. Jänner 1883.

11^h—12^a p. m.

Zeit	D	H	V	Zeit	D	H	V	Zeit	D	H	V
0 ^m 0 ^s	5° 9' 9"	817	1157	20 ^m 0 ^s	4° 57' 4"	798	1190	40 ^m 0 ^s	4° 54' 0"	730	1205
20	5 9' 0"	816	1160	20	4 57' 4"	798	1190	20	4 54' 1"	735	1204
40	5 8' 0"	815	1161	40	4 57' 3"	797	1190	40	4 54' 4"	741	1204
1 0	5 6' 9"	813	1162	21 0	4 57' 2"	797	1191	41 0	4 54' 9"	747	1202
20	5 5' 9"	811	1164	20	4 57' 3"	797	1191	20	4 55' 1"	752	1201
40	5 4' 7"	809	1165	40	4 57' 4"	790	1192	40	4 55' 1"	757	1199
2 0	5 3' 7"	809	1166	22 0	4 57' 4"	795	1192	42 0	4 54' 7"	701	1197
20	5 2' 9"	808	1167	20	4 57' 4"	795	1193	20	4 54' 0"	705	1190
40	5 1' 9"	809	1168	40	4 57' 3"	795	1193	40	4 53' 4"	708	1195
3 0	5 1' 1"	809	1168	23 0	4 56' 9"	790	1193	43 0	4 52' 0"	771	1195
20	5 0' 5"	809	1169	20	4 56' 3"	790	1193	20	4 51' 8"	773	1194
40	4 59' 9"	811	1168	40	4 55' 8"	796	1194	40	4 51' 1"	774	1194
4 0	4 59' 6"	812	1168	24 0	4 55' 3"	796	1194	44 0	4 50' 2"	770	1193
20	4 59' 2"	813	1168	20	4 55' 0"	797	1194	20	4 48' 8"	777	1193
40	4 59' 2"	815	1168	40	4 54' 7"	798	1194	40	4 49' 0"	777	1193
5 0	4 59' 6"	817	1168	25 0	4 54' 2"	799	1194	45 0	4 48' 8"	777	1193
20	4 59' 9"	818	1168	20	4 53' 9"	799	1194	20	4 48' 6"	778	1193
40	5 0' 3"	818	1168	40	4 53' 4"	799	1194	40	4 48' 0"	779	1194
6 0	5 0' 9"	818	1168	26 0	4 53' 0"	798	1194	46 0	4 48' 5"	780	1194
20	5 1' 3"	816	1169	20	4 52' 8"	790	1194	20	4 48' 1"	780	1195
40	5 1' 9"	813	1172	40	4 52' 8"	793	1195	40	4 47' 8"	780	1195
7 0	5 2' 2"	810	1172	27 0	4 52' 9"	789	1195	47 0	4 47' 7"	779	1196
20	5 2' 3"	807	1173	20	4 53' 0"	788	1195	20	4 47' 0"	778	1197
40	5 2' 3"	804	1175	40	4 53' 4"	787	1195	40	4 47' 0"	777	1197
8 0	5 2' 4"	803	1175	28 0	4 53' 9"	788	1195	48 0	4 47' 8"	770	1199
20	5 2' 4"	802	1176	20	4 54' 4"	790	1194	20	4 48' 0"	770	1200
40	5 2' 4"	801	1176	40	4 54' 8"	792	1193	40	4 48' 6"	774	1201
9 0	5 2' 4"	802	1176	29 0	4 55' 4"	795	1193	49 0	4 48' 9"	774	1201
20	5 2' 4"	803	1176	20	4 55' 8"	797	1191	20	4 49' 0"	774	1202
40	5 2' 5"	804	1176	40	4 56' 2"	798	1191	40	4 50' 5"	773	1202
10 0	5 2' 3"	806	1176	30 0	4 56' 9"	800	1190	50 0	4 51' 2"	772	1203
20	5 1' 9"	807	1176	20	4 57' 2"	801	1191	20	4 52' 1"	772	1203
40	5 1' 3"	807	1177	40	4 57' 8"	802	1190	40	4 52' 8"	772	1203
11 0	5 1' 9"	807	1177	31 0	4 58' 1"	803	1189	51 0	4 53' 3"	772	1203
20	5 0' 8"	808	1177	20	4 58' 3"	803	1189	20	4 53' 0"	771	1204
40	5 0' 3"	808	1177	40	4 58' 4"	802	1190	40	4 53' 8"	770	1204
12 0	4 59' 7"	809	1178	32 0	4 58' 6"	800	1190	52 0	4 54' 1"	709	1205
20	4 59' 2"	809	1178	20	4 58' 8"	798	1191	20	4 54' 2"	768	1205
40	4 59' 1"	810	1179	40	4 58' 9"	794	1191	40	4 54' 4"	767	1208
13 0	4 58' 9"	811	1179	33 0	4 58' 8"	791	1192	53 0	4 54' 6"	767	1207
20	4 58' 3"	810	1179	20	4 58' 6"	787	1192	20	4 54' 6"	766	1207
40	4 58' 0"	811	1179	40	4 58' 2"	783	1193	40	4 54' 6"	767	1208
14 0	4 57' 7"	810	1180	34 0	4 57' 9"	779	1193	54 0	4 54' 6"	768	1209
20	4 57' 9"	810	1180	20	4 57' 7"	774	1195	20	4 54' 6"	769	1209
40	4 57' 9"	809	1180	40	4 57' 4"	769	1195	40	4 54' 3"	770	1210
15 0	4 58' 2"	809	1180	35 0	4 57' 3"	766	1195	55 0	4 54' 1"	772	1212
20	4 58' 3"	810	1180	20	4 57' 0"	764	1190	20	4 53' 9"	774	1212
40	4 58' 3"	811	1180	40	4 56' 8"	761	1199	40	4 53' 7"	775	1211
16 0	4 58' 2"	810	1181	36 0	4 56' 1"	759	1200	56 0	4 53' 5"	776	1212
20	4 57' 9"	810	1181	20	4 55' 7"	750	1201	20	4 53' 2"	776	1212
40	4 57' 3"	810	1182	40	4 55' 1"	752	1202	40	4 53' 1"	775	1213
17 0	4 56' 9"	808	1183	37 0	4 54' 8"	747	1203	57 0	4 52' 9"	774	1214
20	4 56' 5"	807	1184	20	4 54' 4"	741	1204	20	4 52' 7"	774	1214
40	4 56' 1"	804	1184	40	4 54' 4"	737	1204	40	4 52' 5"	774	1214
18 0	4 56' 1"	803	1186	38 0	4 54' 4"	733	1204	58 0	4 52' 1"	773	1215
20	4 56' 1"	801	1186	20	4 54' 6"	730	1205	20	4 51' 9"	772	1215
40	4 56' 3"	800	1186	40	4 54' 7"	728	1206	40	4 51' 8"	772	1215
19 0	4 56' 6"	799	1187	39 0	4 54' 6"	726	1206	59 0	4 51' 6"	772	1215
20	4 56' 9"	799	1188	20	4 54' 3"	726	1206	20	4 51' 3"	772	1215
40	4 57' 1"	798	1189	40	4 54' 1"	727	1206	40	4 51' 1"	772	1215

Stundenmittel: $D = 4^\circ 56' 1''$; $H = 787$; $V = 1192$.

Terminstunden.

Götttinger Zeit.

Jan Mayen.

$D = 25^\circ + \text{West}$

$H = 0.09000 + 0.00 \dots \text{C. G. S.}$

$V = 0.49000 + 0.0 \dots \text{C. G. S.}$

1. Februar 1883.

12^h—1^h a. m.

Zeit	D	H	V	Zeit	D	H	V	Zeit	D	H	V
0 ^m 0 ^s	4° 57' 3	691	1256	20 ^m 0 ^s	4° 55' 1	760	1273	40 ^m 0 ^s	4° 52' 9	734	1295
20	4 57 0	687	1256	20	4 54 9	759	1273	20	4 52 7	732	1296
40	4 57 9	686	1250	40	4 55 6	758	1273	40	4 52 4	728	1299
1 0	4 58 2	685	1257	21 0	4 56 1	757	1274	41 0	4 52 7	725	1301
20	4 57 2	686	1257	20	4 56 8	755	1274	20	4 52 9	724	1300
40	4 57 1	690	1256	40	4 57 8	752	1275	40	4 54 0	724	1303
2 0	4 58 4	694	1254	22 0	4 58 5	751	1276	42 0	4 54 5	718	1303
20	4 58 8	697	1254	20	4 58 9	749	1279	20	4 54 4	717	1303
40	4 58 2	699	1257	40	4 59 4	748	1280	40	4 54 1	724	1303
3 0	4 56 7	696	1258	23 0	4 59 5	747	1282	43 0	4 54 1	728	1303
20	4 56 2	699	1258	20	4 59 4	744	1283	20	4 53 7	729	1303
40	4 57 7	697	1258	40	4 59 3	742	1284	40	4 52 8	723	1306
4 0	4 58 3	699	1258	24 0	4 59 5	740	1285	44 0	4 52 9	718	1308
20	4 59 2	702	1258	20	4 59 4	739	1280	20	4 53 4	720	1307
40	4 59 1	704	1259	40	4 59 3	738	1286	40	4 53 7	724	1307
5 0	4 57 1	702	1260	25 0	4 58 9	738	1287	45 0	4 54 5	726	1307
20	4 58 9	711	1258	20	4 58 3	738	1287	20	4 55 3	729	1306
40	4 59 4	719	1258	40	4 57 0	740	1288	40	4 55 7	730	1306
6 0	4 59 9	728	1255	26 0	4 56 8	742	1287	46 0	4 50 0	733	1304
20	4 59 9	731	1250	20	4 56 7	747	1286	20	4 56 3	739	1303
40	4 59 7	730	1257	40	4 56 6	749	1285	40	4 56 1	741	1303
7 0	4 59 1	744	1257	27 0	4 56 5	752	1284	47 0	4 56 0	741	1303
20	4 58 6	751	1250	20	4 56 3	754	1284	20	4 55 2	739	1303
40	4 57 6	759	1255	40	4 55 7	754	1284	40	4 54 8	741	1303
8 0	4 50 6	706	1254	28 0	4 50 2	750	1284	48 0	4 54 7	740	1303
20	4 55 0	771	1255	20	4 56 7	757	1284	20	4 54 7	741	1303
40	4 55 1	774	1255	40	4 56 8	758	1284	40	4 54 7	743	1303
9 0	4 54 6	775	1256	29 0	4 57 0	761	1284	49 0	4 54 7	745	1303
20	4 54 5	777	1258	20	4 50 8	760	1284	20	4 54 7	744	1303
40	4 54 7	770	1258	40	4 50 6	759	1284	40	4 54 7	742	1306
10 0	4 54 3	775	1258	30 0	4 50 4	757	1280	50 0	4 55 0	739	1307
20	4 54 3	775	1259	20	4 56 5	756	1287	20	4 54 8	740	1308
40	4 54 1	775	1260	40	4 56 3	755	1288	40	4 54 6	738	1309
11 0	4 54 4	776	1260	31 0	4 55 7	753	1289	51 0	4 53 7	738	1310
20	4 54 4	776	1260	20	4 50 2	750	1289	20	4 53 7	741	1309
40	4 53 4	777	1260	40	4 56 7	749	1290	40	4 53 8	738	1313
12 0	4 51 5	778	1261	32 0	4 56 7	747	1290	52 0	4 53 7	732	1314
20	4 50 5	777	1261	20	4 57 2	744	1293	20	4 53 7	732	1315
40	4 50 2	777	1261	40	4 56 5	740	1293	40	4 53 4	731	1316
13 0	4 50 7	776	1261	33 0	4 56 5	739	1293	53 0	4 53 7	733	1316
20	4 51 3	776	1260	20	4 56 5	737	1294	20	4 53 5	736	1316
40	4 52 8	774	1260	40	4 56 4	738	1294	40	4 53 1	740	1315
14 0	4 52 2	773	1261	34 0	4 56 2	736	1294	54 0	4 53 7	742	1314
20	4 53 0	771	1261	20	4 56 1	734	1295	20	4 54 1	747	1314
40	4 53 9	770	1262	40	4 56 7	738	1294	40	4 54 5	751	1313
15 0	4 54 1	768	1262	35 0	4 56 5	737	1295	55 0	4 53 8	752	1314
20	4 54 5	767	1262	20	4 55 7	737	1295	20	4 53 4	751	1314
40	4 54 3	766	1263	40	4 55 3	737	1295	40	4 52 7	750	1314
16 0	4 54 2	765	1264	36 0	4 54 4	734	1296	56 0	4 52 0	751	1314
20	4 53 8	764	1267	20	4 53 7	730	1298	20	4 51 7	752	1314
40	4 53 5	762	1268	40	4 53 7	727	1300	40	4 51 7	752	1314
17 0	4 54 1	761	1268	37 0	4 53 0	717	1302	57 0	4 51 3	753	1314
20	4 54 4	763	1268	20	4 53 0	711	1303	20	4 50 5	754	1313
40	4 54 5	764	1268	40	4 53 7	702	1303	40	4 49 9	757	1313
18 0	4 54 7	765	1268	38 0	4 52 3	709	1302	58 0	4 49 8	760	1312
20	4 54 5	766	1269	20	4 52 7	717	1298	20	4 49 7	762	1312
40	4 54 4	764	1271	40	4 52 4	724	1297	40	4 49 8	762	1312
19 0	4 53 7	763	1271	39 0	4 52 2	727	1295	59 0	4 49 7	762	1312
20	4 53 7	761	1272	20	4 52 7	734	1294	20	4 49 7	763	1312
40	4 54 5	760	1272	40	4 52 9	734	1294	40	4 49 6	764	1312

Stundenmittel: $D = 4^\circ 55' 1$; $H = 742$; $V = 1286$.

ob 43^m Ein Bogen von beiläufig ENE—WSW-Richtung über Zenith laufend. Im Zenithe lichtschrach; verschwindet nach zehn Minuten ganz.

D = 25° + West				H = 0·09000 + 0·00... C. G. S.				V = 0·49000 + 0·0... C. G. S.			
15. Februar 1883.											
1 ^h —2 ^h a. m.											
Zeit	D	H	V	Zeit	D	H	V	Zeit	D	H	V
0 ^m 0 ^s	4° 54' 4	652	1209	20 ^m 0 ^s	5° 18' 8	693	1219	40 ^m 0 ^s	4° 55' 9	698	1246
20	4 54' 9	653	1208	20	5 20' 2	691	1220	20	4 56' 5	699	1246
40	4 55' 7	649	1209	40	5 21' 9	695	1219	40	4 57' 2	700	1245
1 0	4 57' 2	649	1208	21 0	5 24' 0	695	1218	41 0	4 57' 7	702	1245
20	4 59' 1	651	1206	20	5 24' 4	695	1219	20	4 58' 1	703	1245
40	5 0' 5	655	1205	40	5 24' 3	697	1219	40	4 58' 1	704	1244
2 0	5 2' 1	658	1205	22 0	5 25' 0	697	1219	42 0	4 57' 8	705	1244
20	5 4' 0	659	1206	20	5 27' 0	697	1218	20	4 57' 3	705	1244
40	5 5' 8	660	1207	40	5 28' 1	692	1221	40	4 56' 9	706	1244
3 0	5 7' 4	661	1209	23 0	5 27' 0	686	1223	43 0	4 56' 5	707	1244
20	5 9' 3	661	1210	20	5 26' 2	682	1226	20	4 56' 0	707	1244
40	5 10' 4	659	1212	40	5 26' 2	683	1228	40	4 55' 4	708	1244
4 0	5 10' 5	654	1213	24 0	5 25' 3	685	1229	44 0	4 55' 2	709	1244
20	5 9' 8	651	1215	20	5 23' 3	690	1230	20	4 55' 0	709	1244
40	5 9' 6	647	1216	40	5 21' 5	695	1229	40	4 54' 9	709	1244
5 0	5 9' 7	643	1219	25 0	5 20' 9	695	1229	45 0	4 55' 3	709	1244
20	5 9' 8	638	1220	20	5 19' 7	699	1231	20	4 55' 4	710	1244
40	5 10' 0	633	1221	40	5 17' 7	699	1232	40	4 55' 2	710	1244
6 0	5 9' 5	626	1222	26 0	5 15' 8	703	1232	46 0	4 55' 1	711	1243
20	5 9' 5	622	1223	20	5 15' 9	709	1231	20	4 55' 2	711	1243
40	5 10' 2	619	1224	40	5 17' 9	716	1228	40	4 55' 1	712	1243
7 0	5 11' 3	612	1228	27 0	5 18' 4	727	1227	47 0	4 54' 7	713	1242
20	5 13' 4	607	1230	20	5 17' 6	729	1227	20	4 54' 5	714	1242
40	5 15' 7	605	1231	40	5 16' 5	728	1229	40	4 54' 5	714	1242
8 0	5 18' 0	606	1231	28 0	5 16' 1	727	1230	48 0	4 54' 4	716	1241
20	5 19' 4	607	1231	20	5 15' 0	727	1232	20	4 54' 6	717	1240
40	5 21' 1	608	1232	40	5 14' 4	724	1232	40	4 54' 5	717	1239
9 0	5 19' 4	606	1233	29 0	5 14' 4	724	1233	49 0	4 54' 4	717	1237
20	5 20' 0	612	1232	20	5 15' 1	725	1232	20	4 54' 3	718	1237
40	5 19' 7	611	1231	40	5 15' 4	730	1232	40	4 54' 1	719	1236
10 0	5 20' 9	615	1230	30 0	5 15' 1	732	1232	50 0	4 53' 7	720	1236
20	5 22' 4	615	1231	20	5 14' 3	731	1233	20	4 53' 3	722	1235
40	5 24' 1	613	1231	40	5 13' 1	729	1235	40	4 53' 3	724	1235
11 0	5 23' 6	624	1232	31 0	5 11' 9	726	1237	51 0	4 53' 3	726	1234
20	5 20' 7	626	1233	20	5 10' 5	720	1241	20	4 53' 1	728	1234
40	5 17' 8	624	1233	40	5 9' 4	714	1243	40	4 53' 1	730	1234
12 0	5 16' 3	630	1232	32 0	5 8' 4	709	1244	52 0	4 53' 0	731	1234
20	5 17' 1	637	1228	20	5 7' 7	706	1245	20	4 52' 6	734	1234
40	5 19' 3	639	1223	40	5 7' 1	704	1246	40	4 52' 3	735	1234
13 0	5 19' 0	640	1227	33 0	5 6' 2	703	1246	53 0	4 52' 1	735	1234
20	5 15' 7	632	1229	20	5 4' 8	702	1247	20	4 51' 7	737	1234
40	5 14' 6	635	1229	40	5 3' 6	701	1248	40	4 51' 4	739	1234
14 0	5 15' 2	642	1227	34 0	5 2' 3	700	1249	54 0	4 51' 4	740	1234
20	5 19' 2	651	1223	20	5 0' 8	700	1249	20	4 51' 3	742	1234
40	5 21' 7	659	1222	40	4 59' 3	700	1250	40	4 51' 3	744	1234
15 0	5 20' 1	664	1222	35 0	4 58' 3	701	1249	55 0	4 51' 2	745	1234
20	5 19' 5	666	1223	20	4 57' 7	703	1248	20	4 51' 0	745	1234
40	5 18' 4	669	1222	40	4 57' 2	703	1247	40	4 50' 7	746	1234
16 0	5 17' 4	673	1221	36 0	4 56' 4	704	1247	56 0	4 50' 4	744	1235
20	5 17' 3	676	1220	20	4 55' 8	703	1246	20	4 50' 3	744	1235
40	5 16' 3	675	1221	40	4 56' 0	702	1246	40	4 50' 1	742	1237
17 0	5 15' 8	678	1221	37 0	4 55' 6	700	1246	57 0	4 49' 9	740	1240
20	5 16' 2	684	1219	20	4 54' 9	697	1248	20	4 49' 4	739	1242
40	5 17' 3	686	1218	40	4 54' 3	695	1248	40	4 49' 1	738	1242
18 0	5 18' 3	689	1216	38 0	4 53' 6	693	1249	58 0	4 48' 6	737	1243
20	5 18' 6	690	1216	20	4 52' 9	692	1249	20	4 48' 4	736	1243
40	5 18' 7	692	1216	40	4 52' 6	691	1250	40	4 48' 2	735	1244
19 0	5 18' 5	694	1217	39 0	4 53' 3	693	1248	59 0	4 47' 9	734	1244
20	5 18' 4	695	1217	20	4 54' 2	695	1248	20	4 47' 5	731	1245
40	5 18' 3	693	1218	40	4 55' 3	697	1247	40	4 47' 2	729	1245

Stundenmittel: D = 5° 6' 0; H = 691; V = 1232.

Terminstunden.

Göttinger Zeit.

Jan Mayen.

$$D = 25^{\circ} + \text{West}$$

$$H = 0.09000 + 0.00 \dots \text{C. G. S.}$$

$$V = 0.49000 + 0.0 \dots \text{C. G. S.}$$

1. März 1883.

2^h—3^h a. m.

Zeit	D	H	V	Anmerkungen
0 ^m 0 ^s	4° 1'6	586	1414	
20	4 2'6	595	1405	
40	4 13'5	586	1405	
1 0	4 27'2	587	1400	
20	4 40'5	563	1403	
40	4 41'8	511	1424	
2 0	4 34'6	468	1440	
20	4 30'5	475	1430	
40	4 33'1	483	1424	
3 0	4 26'9	474	1418	
20	4 27'7	498	1403	
40	4 26'2	490	1403	
4 0	4 15'3	467	1403	
20	4 9'6	479	1388	
40	4 16'4	483	1375	
5 0	4 17'5	517	1303	
20	4 24'5	538	1349	
40	4 28'1	562	1338	
6 0	4 30'7	578	1329	
20	4 31'4	589	1325	
40	4 29'1	604	1320	
7 0	4 26'2	608	1316	
20	4 26'7	607	1314	
40	4 25'2	607	1312	
8 0	4 22'2	611	1307	
20	4 20'2	602	1308	2 ^h 2 ^m Ein Vorhang steht in SW. Aus einer in Süden stehenden Wolkenbank ragt ein grosser Dunstfleck hervor.
40	4 19'3	593	1299	
9 0	4 17'2	590	1311	
20	4 13'9	597	1308	
40	4 15'8	603	1306	10 Eine Krone mit hauptsächlichlicher Entwicklung ENE—WSW. Concentrationsort der Strahlen im magnetischen Zenithe.
10 0	4 14'0	598	1307	
20	4 9'2	599	1306	
40	4 8'6	601	1304	
11 0	4 15'4	603	1302	17 Nach dem Erblassen bleiben drei Bänder, wovon eines in Norden, ein geschlungenes im Zenithe und eines über dem Südhorizonte steht.
20	4 22'6	609	1299	
40	4 27'6	611	1298	
12 0	4 29'9	618	1296	
20	4 29'8	626	1294	
40	4 32'2	633	1291	
13 0	4 33'3	636	1289	
20	4 33'3	640	1287	
40	4 31'8	643	1286	
14 0	4 30'2	646	1284	
20	4 28'4	651	1284	
40	4 25'7	658	1283	
15 0	4 25'3	656	1282	
20	4 25'0	642	1283	
40	4 25'3	636	1286	
16 0	4 23'6	626	1290	
20	4 24'4	637	1291	
40	4 24'3	651	1287	
17 0	4 22'8	659	1285	
20	4 23'0	664	1282	
40	4 24'9	656	1283	
18 0	4 18'1	635	1284	
20	4 15'2	635	1283	
40	4 13'9	620	1287	
19 0	3 55'3	601	1287	
20	3 54'3	612	1282	
40	3 53'8	627	1273	

Terminstunden.

Göttinger Zeit.

Jan Mayen.

 $D = 25^\circ + \text{West}$ $H = 0.09000 + 0.00 \dots \text{C. G. S.}$ $V = 0.49000 + 0.0 \dots \text{C. G. S.}$

1. März 1883.

2^h—3^h a. m.

Zeit	D	H	V	Anmerkungen
20 ^m 0 ^s	4° 10' 5	644	1267	
20	4 7' 8	661	1270	
40	4 14' 9	672	1270	
21 0	4 23' 3	671	1271	
20	4 24' 5	672	1272	
40	4 21' 5	679	1274	
22 0	4 15' 6	679	1273	
20	4 13' 3	677	1273	
40	4 1' 5	649	1283	
23 0	3 46' 3	605	1302	
20	3 38' 4	580	1301	
40	3 46' 2	577	1289	
24 0	3 49' 3	598	1272	
20	3 43' 2	624	1258	2 ^h 20 ^m Das nördliche Band verschwindet, die andern breiten sich aus und bedecken 60% des Firmamentes mit wogender Dunstmasse.
40	3 36' 0	656	1244	
25 0	3 43' 2	650	1240	
20	3 39' 2	638	1240	
40	3 36' 1	624	1239	21 In WSW entsteht ein neues Band.
26 0	3 43' 6	626	1230	
20	3 35' 2	586	1246	
40	3 35' 7	572	1249	22 Dasselbe biegt in Norden gegen Osten ab.
27 0	3 43' 2	539	1261	
20	3 45' 4	490	1280	
40	3 46' 2	462	1283	24 Im Bande ist Strahlentextur sichtbar. Lichtschwacher Dunst in Süden. Das Band leuchtet intensiver.
28 0	4 5' 3	464	1273	
20	4 17' 5	481	1262	
40	4 26' 1	485	1272	
29 0	4 29' 3	483	1273	26 Das Band wird dunstförmig und breitet sich aus. In WSW entstehen drei Bänder, welche gegen Süden verlaufen. $h = 7, 9$ und 15° .
20	4 34' 8	522	1269	
40	4 39' 5	533	1259	
30 0	4 47' 4	548	1250	
20	4 53' 6	544	1254	27 Ein Band läuft über Zenith, wird ruthenförmig gegen NNE. Nördlicher Rand scharf begrenzt. Starke fließende Lichtbewegung.
40	4 57' 2	568	1247	
31 0	5 1' 2	593	1239	
20	5 0' 3	618	1231	
40	5 0' 0	631	1222	
32 0	5 0' 7	660	1210	30 Westende löst sich ab, das Nordende sinkt herab und krümmt sich aufwärts.
20	5 2' 5	695	1197	
40	4 57' 8	697	1197	
33 0	4 54' 5	679	1199	32 In NW, $h = 10^\circ$ ein lichtstarkes Band, das Übrige bildet streifenartigen Dunst mit E—W-Richtung.
20	4 52' 6	695	1191	
40	4 53' 7	704	1188	
34 0	4 56' 3	699	1189	35 Schliessen sich die Enden der beiden Erscheinungen aneinander.
20	5 0' 6	721	1186	
40	5 1' 1	737	1179	
35 0	5 4' 5	735	1176	38 Fast ganz verblasst. Grössere Lichtansammlung in Westen, $h = 20^\circ$. 60% des Firmamentes bedeckt schwacher Lichtdunst.
20	5 8' 6	730	1177	
40	5 7' 8	728	1179	
36 0	5 4' 0	723	1183	
20	5 1' 5	720	1183	
40	4 58' 8	721	1183	
37 0	4 56' 5	722	1180	
20	4 55' 9	727	1179	
40	4 54' 5	724	1178	
38 0	4 54' 7	722	1177	
20	4 53' 7	723	1177	
40	4 52' 8	719	1176	
39 0	4 52' 5	714	1176	
20	4 52' 7	708	1175	
40	4 52' 4	702	1175	

Terminstunden.

Göttinger Zeit.

Jan Mayen.

$D = 25^\circ +$ West

$H = 0.09000 + 0.00 \dots$ C. G. S.

$V = 0.49000 + 0.0 \dots$ C. G. S.

1. März 1883.

2^h—3^h a. m.

Zeit	D	H	V	Anmerkungen
40 ^m 0 ^s	4° 51' 6	697	1175	
20	4 50' 9	695	1175	
40	4 49' 6	692	1174	
41 0	4 49' 2	690	1172	
20	4 47' 6	685	1173	
40	4 45' 7	682	1173	
42 0	4 44' 5	676	1172	
20	4 44' 5	668	1170	
40	4 45' 6	669	1168	
43 0	4 46' 3	676	1166	
20	4 46' 8	686	1164	
40	4 47' 3	700	1161	
44 0	4 47' 5	712	1157	
20	4 47' 4	720	1155	
40	4 47' 8	722	1155	
45 0	4 48' 3	716	1156	
20	4 48' 5	717	1156	
40	4 48' 7	721	1155	
46 0	4 49' 4	725	1155	
20	4 48' 7	726	1155	2 ^h 43 ^m Der Bandtheil in Norden wieder aufleuchtend, die übrigen Lichtmassen sind WSW—ENE in Stränge gruppirt; in Westen heller.
40	4 47' 0	728	1155	
47 0	4 44' 1	728	1155	
20	4 40' 4	721	1155	
40	4 36' 4	717	1156	44 Alles ist dunstförmig, ohne besonderer Gruppierung 80% des Firmamentes bedeckend.
48 0	4 34' 2	707	1156	
20	4 35' 1	705	1155	
40	4 38' 4	703	1154	
49 0	4 40' 7	707	1153	47 Unregelmässiges Band in NW, $h = 15^\circ$, der übrige Dunst gruppirt sich strahlenförmig zu einem Fächer.
20	4 40' 7	708	1153	
40	4 40' 7	709	1149	
50 0	4 41' 8	713	1146	
20	4 42' 6	713	1145	50 Es wird Alles wieder dunstförmig.
40	4 43' 8	708	1145	
51 0	4 45' 3	706	1143	
20	4 45' 7	706	1143	
40	4 47' 4	706	1142	
52 0	4 47' 6	708	1142	
20	4 45' 2	712	1142	
40	4 41' 4	704	1143	
53 0	4 39' 2	706	1143	
20	4 36' 1	706	1143	
40	4 34' 5	706	1143	
54 0	4 33' 7	708	1143	
20	4 33' 0	709	1143	
40	4 33' 6	702	1143	
55 0	4 34' 4	697	1143	
20	4 36' 3	695	1143	
40	4 37' 5	701	1141	
56 0	4 39' 3	699	1140	
20	4 40' 2	692	1142	
40	4 40' 5	688	1142	
57 0	4 40' 7	684	1143	
20	4 39' 7	677	1143	
40	4 42' 2	676	1143	
58 0	4 42' 6	678	1142	
20	4 42' 6	679	1141	
40	4 40' 5	683	1141	
59 0	4 40' 1	683	1142	
20	4 35' 4	676	1146	
40	4 31' 6	674	1147	

Stundenmittel: $D = 4^\circ 31' 2$; $H = 644$; $V = 1237$.

$D = 25^\circ +$ West

$H = 0.09000 + 0.00 \dots$ C. G. S.

$V = 0.49000 + 0.0 \dots$ C. G. S.

15. März 1883.

3^h—4^h a. m.

Zeit	D	H	V	Zeit	D	H	V	Zeit	D	H	V
0 ^m 0 ^s	4° 50' 1	740	1214	20 ^m 0 ^s	4° 48' 0	721	1210	40 ^m 0 ^s	4° 46' 8	690	1220
20	4 50' 0	743	1212	20	4 47' 8	720	1210	20	4 46' 7	692	1219
40	4 49' 9	745	1201	40	4 47' 8	719	1210	40	4 46' 6	691	1219
1 0	4 49' 9	747	1201	21 0	4 47' 8	717	1210	41 0	4 46' 2	690	1219
20	4 49' 9	749	1201	20	4 47' 7	715	1212	20	4 45' 9	690	1220
40	4 49' 6	747	1202	40	4 47' 5	712	1213	40	4 45' 9	690	1220
2 0	4 49' 0	747	1202	22 0	4 47' 8	710	1214	42 0	4 45' 3	690	1220
20	4 48' 3	744	1203	20	4 46' 1	706	1215	20	4 44' 7	692	1218
40	4 47' 2	741	1204	40	4 45' 3	703	1216	40	4 44' 8	693	1218
3 0	4 46' 0	738	1205	23 0	4 44' 7	702	1217	43 0	4 44' 8	694	1218
20	4 45' 0	736	1205	20	4 44' 0	697	1218	20	4 44' 8	694	1217
40	4 44' 4	734	1205	40	4 43' 5	697	1219	40	4 45' 0	693	1217
4 0	4 44' 2	733	1204	24 0	4 42' 7	692	1220	44 0	4 45' 7	693	1217
20	4 44' 6	735	1203	20	4 41' 8	689	1221	20	4 45' 9	692	1218
40	4 45' 8	739	1197	40	4 41' 3	687	1221	46	4 46' 1	691	1218
5 0	4 47' 9	747	1193	25 0	4 40' 8	684	1221	45 0	4 46' 5	689	1220
20	4 50' 1	755	1190	20	4 40' 2	683	1221	20	4 46' 4	688	1221
40	4 52' 8	763	1186	40	4 39' 2	681	1220	40	4 45' 9	687	1222
6 0	4 54' 9	769	1183	26 0	4 39' 0	682	1219	20	4 45' 7	686	1223
20	4 56' 8	776	1181	20	4 38' 8	682	1217	40	4 45' 0	685	1223
40	4 58' 9	782	1181	40	4 38' 8	684	1216	40	4 44' 7	684	1224
7 0	5 0' 6	784	1181	27 0	4 39' 0	686	1214	47 0	4 44' 1	684	1224
20	5 1' 1	782	1186	20	4 39' 1	687	1213	20	4 43' 7	682	1224
40	5 0' 7	778	1191	40	4 39' 2	688	1210	40	4 43' 1	681	1224
8 0	4 59' 4	768	1196	28 0	4 39' 3	689	1210	48 0	4 42' 8	680	1224
20	4 58' 3	759	1202	20	4 39' 8	692	1207	20	4 42' 7	679	1224
40	4 56' 8	750	1207	40	4 40' 8	693	1205	40	4 42' 6	678	1226
9 0	4 56' 1	742	1212	29 0	4 41' 7	699	1204	49 0	4 42' 5	677	1226
20	4 55' 3	736	1216	20	4 42' 6	704	1203	20	4 42' 0	676	1226
40	4 54' 6	731	1218	40	4 43' 5	709	1200	40	4 41' 3	674	1227
10 0	4 53' 6	725	1221	30 0	4 44' 8	715	1197	50 0	4 40' 7	673	1228
20	4 52' 1	717	1224	20	4 46' 0	723	1194	20	4 40' 1	674	1228
40	4 50' 3	710	1227	40	4 46' 8	729	1193	40	4 39' 8	676	1228
11 0	4 47' 7	705	1227	31 0	4 48' 5	733	1192	51 0	4 39' 8	677	1227
20	4 45' 7	700	1227	20	4 49' 6	736	1192	20	4 39' 8	680	1227
40	4 44' 4	699	1224	40	4 50' 0	738	1192	40	4 39' 7	682	1226
12 0	4 44' 1	695	1222	32 0	4 50' 5	739	1193	52 0	4 39' 7	684	1225
20	4 44' 2	695	1219	20	4 50' 6	738	1195	20	4 39' 8	687	1225
40	4 44' 8	697	1216	40	4 50' 4	736	1197	40	4 39' 9	689	1225
13 0	4 45' 2	701	1212	33 0	4 50' 2	734	1201	53 0	4 40' 6	690	1225
20	4 46' 2	706	1208	20	4 50' 2	730	1203	20	4 41' 0	693	1224
40	4 47' 0	710	1206	40	4 50' 0	728	1204	40	4 41' 8	695	1224
14 0	4 47' 0	714	1204	34 0	4 49' 8	725	1206	54 0	4 42' 3	699	1223
20	4 47' 0	720	1203	20	4 49' 8	724	1208	20	4 42' 8	701	1222
40	4 47' 0	719	1202	40	4 49' 8	720	1210	40	4 42' 9	703	1221
15 0	4 47' 1	722	1201	35 0	4 49' 7	716	1213	55 0	4 43' 0	706	1219
20	4 47' 5	724	1201	20	4 49' 4	714	1214	20	4 43' 4	710	1218
40	4 47' 8	727	1201	40	4 49' 2	711	1214	40	4 43' 8	714	1216
16 0	4 48' 4	729	1201	36 0	4 48' 6	709	1214	56 0	4 43' 8	716	1216
20	4 48' 8	730	1201	20	4 48' 7	706	1215	20	4 43' 8	718	1216
40	4 49' 0	730	1203	40	4 48' 3	704	1216	40	4 44' 0	720	1215
17 0	4 49' 0	729	1204	37 0	4 47' 8	702	1216	57 0	4 44' 6	722	1214
20	4 49' 0	728	1205	20	4 47' 3	699	1218	20	4 45' 0	724	1214
40	4 49' 1	728	1207	40	4 47' 0	697	1219	40	4 45' 2	725	1214
18 0	4 49' 0	726	1208	38 0	4 46' 8	695	1220	58 0	4 45' 3	725	1214
20	4 48' 9	726	1210	20	4 46' 3	694	1222	20	4 45' 4	725	1214
40	4 48' 6	724	1210	40	4 45' 9	692	1222	40	4 45' 4	725	1215
19 0	4 48' 4	724	1212	39 0	4 46' 0	691	1222	59 0	4 45' 4	724	1215
20	4 48' 2	722	1212	20	4 46' 2	691	1221	20	4 45' 2	724	1216
40	4 48' 1	721	1212	40	4 46' 7	691	1220	40	4 45' 0	724	1217

Stundenmittel: $D = 4^\circ 46' 4$; $H = 712$; $V = 1212$.

Terminstunden.

Göttinger Zeit.

Jan Mayen.

$D = 25^\circ +$ West

$H = 0.09000 + 0.00 \dots$ C. G. S.

$V + 0.49000 + 0.0 \dots$ C. G. S.

1. April 1883.

4^h—5^h a. m.

Zeit	D	H	V	Zeit	D	H	V	Zeit	D	H	V
0 ^m 0 ^s	4° 32' 9	609	1340	20 ^m 0 ^s	4° 26' 9	561	1322	40 ^m 0 ^s	4° 36' 3	609	1282
20	4 33' 0	609	1340	20	4 20' 3	559	1321	20	4 34' 1	601	1285
40	4 33' 3	611	1341	40	4 26' 8	557	1321	40	4 32' 8	591	1285
1 0	4 33' 8	610	1341	21 0	4 26' 9	560	1319	41 0	4 32' 0	590	1284
20	4 34' 0	609	1341	20	4 25' 9	550	1320	20	4 33' 7	589	1279
40	4 34' 6	609	1341	40	4 24' 0	559	1320	40	4 35' 7	591	1274
2 0	4 34' 6	610	1341	22 0	4 23' 0	553	1321	42 0	4 35' 9	592	1274
20	4 34' 3	610	1342	20	4 23' 2	558	1320	20	4 35' 4	598	1269
40	4 33' 8	610	1342	40	4 22' 6	558	1320	40	4 34' 6	606	1264
3 0	4 33' 9	606	1342	23 0	4 24' 4	554	1320	43 0	4 34' 6	619	1261
20	4 34' 4	608	1341	20	4 24' 8	550	1323	20	4 35' 1	632	1255
40	4 34' 9	606	1340	40	4 26' 2	548	1323	40	4 35' 1	641	1254
4 0	4 34' 3	608	1340	24 0	4 26' 6	551	1323	44 0	4 34' 3	646	1255
20	4 33' 8	609	1341	20	4 28' 4	553	1321	20	4 33' 5	644	1258
40	4 33' 6	605	1341	40	4 29' 4	557	1319	40	4 32' 6	639	1261
5 0	4 33' 6	602	1341	25 0	4 29' 4	553	1320	45 0	4 35' 6	621	1263
20	4 33' 5	599	1340	20	4 29' 9	553	1320	20	4 32' 9	610	1269
40	4 33' 0	599	1340	40	4 30' 7	555	1316	40	4 31' 5	605	1271
6 0	4 32' 9	598	1340	26 0	4 32' 8	558	1313	46 0	4 31' 8	599	1271
20	4 33' 0	597	1340	20	4 35' 3	564	1311	20	4 31' 6	599	1270
40	4 33' 4	593	1340	40	4 36' 4	570	1309	40	4 34' 6	601	1267
7 0	4 33' 6	591	1340	27 0	4 37' 2	570	1307	47 0	4 36' 4	605	1266
20	4 33' 0	591	1340	20	4 36' 8	571	1306	20	4 38' 3	609	1263
40	4 34' 0	588	1339	40	4 39' 2	575	1303	40	4 39' 5	607	1264
8 0	4 34' 4	586	1339	28 0	4 39' 9	579	1302	48 0	4 41' 1	608	1263
20	4 34' 2	584	1340	20	4 40' 5	582	1300	20	4 40' 6	609	1266
40	4 33' 7	583	1340	40	4 40' 5	586	1298	40	4 39' 7	609	1268
9 0	4 33' 2	579	1340	29 0	4 40' 7	589	1296	49 0	4 38' 6	602	1271
20	4 33' 5	579	1340	20	4 40' 8	591	1295	20	4 36' 1	590	1275
40	4 34' 0	576	1340	40	4 41' 0	594	1294	40	4 33' 6	592	1280
10 0	4 34' 2	572	1340	30 0	4 41' 4	596	1291	50 0	4 32' 4	582	1280
20	4 33' 7	571	1340	20	4 41' 1	598	1291	20	4 31' 8	578	1279
40	4 33' 6	571	1339	40	4 41' 2	600	1287	40	4 32' 8	573	1280
11 0	4 34' 0	571	1338	31 0	4 41' 1	605	1284	51 0	4 31' 9	573	1277
20	4 35' 0	573	1337	20	4 42' 5	607	1284	20	4 33' 1	576	1276
40	4 36' 2	577	1336	40	4 43' 3	611	1282	40	4 34' 4	576	1274
12 0	4 36' 4	580	1334	32 0	4 43' 7	613	1279	52 0	4 34' 6	577	1273
20	4 36' 4	583	1333	20	4 43' 9	618	1276	20	4 36' 9	581	1272
40	4 36' 4	584	1331	40	4 43' 8	624	1274	40	4 36' 6	582	1273
13 0	4 36' 2	582	1331	33 0	4 43' 6	626	1273	53 0	4 35' 6	577	1273
20	4 35' 5	579	1333	20	4 43' 0	631	1272	20	4 35' 6	578	1272
40	4 36' 0	580	1331	40	4 42' 7	632	1273	40	4 35' 7	584	1270
14 0	4 36' 8	581	1330	34 0	4 41' 3	630	1273	54 0	4 35' 5	577	1270
20	4 37' 0	582	1330	20	4 40' 3	626	1274	20	4 33' 1	574	1270
40	4 36' 6	568	1331	40	4 39' 7	622	1275	40	4 33' 1	576	1267
15 0	4 36' 1	572	1335	35 0	4 38' 3	616	1276	55 0	4 32' 8	573	1267
20	4 35' 2	567	1335	20	4 37' 8	614	1277	20	4 34' 5	576	1267
40	4 35' 6	565	1335	40	4 37' 3	611	1276	40	4 34' 8	572	1268
16 0	4 35' 8	565	1335	36 0	4 37' 3	609	1274	56 0	4 34' 6	574	1269
20	4 36' 0	563	1335	20	4 38' 5	611	1272	20	4 35' 7	576	1268
40	4 36' 2	566	1334	40	4 38' 8	618	1268	40	4 34' 7	570	1268
17 0	4 36' 4	559	1331	37 0	4 39' 9	627	1263	57 0	4 35' 1	572	1270
20	4 35' 6	561	1330	20	4 40' 7	634	1262	20	4 33' 0	570	1271
40	4 35' 2	564	1328	40	4 40' 2	639	1261	40	4 33' 1	567	1271
18 0	4 34' 9	563	1327	38 0	4 39' 3	641	1262	58 0	4 32' 6	566	1272
20	4 33' 0	564	1325	20	4 38' 6	643	1263	20	4 33' 7	559	1272
40	4 32' 0	565	1324	40	4 37' 6	638	1267	40	4 31' 8	555	1273
19 0	4 30' 6	567	1324	39 0	4 37' 3	627	1273	59 0	4 28' 7	556	1274
20	4 26' 9	563	1321	20	4 36' 9	617	1275	20	4 27' 6	551	1273
40	4 27' 6	564	1322	40	4 37' 1	617	1279	40	4 25' 6	550	1272

Stundenmittel: $D = 4^\circ 34' 8$; $H = 589$; $V = 1300$.

$D = 25^\circ + \text{West}$

$H = 0.09000 + 0.00 \dots \text{C. G. S.}$

$V = 0.49000 + 0.0 \dots \text{C. G. S.}$

15. April 1883.

5^h—6^h a. m.

Zeit	D	H	V	Zeit	D	H	V	Zeit	D	H	V
0 ^m 0 ^s	4°46'2	759	1286	20 ^m 0 ^s	4°46'1	758	1279	40 ^m 0 ^s	4°44'3	758	1277
20	4 45'6	758	1287	20	4 46'0	757	1279	20	4 44'4	757	1277
40	4 45'0	756	1287	40	4 45'5	759	1280	40	4 44'5	756	1277
1 0	4 44'5	754	1287	21 0	4 45'1	758	1281	41 0	4 44'9	755	1276
20	4 44'3	753	1287	20	4 44'5	757	1281	20	4 45'6	755	1276
40	4 44'2	754	1287	40	4 44'0	756	1281	40	4 46'1	756	1276
2 0	4 44'2	753	1287	22 0	4 43'5	756	1282	42 0	4 46'6	756	1276
20	4 44'5	753	1286	20	4 43'2	754	1282	20	4 46'6	755	1276
40	4 44'8	756	1285	40	4 43'3	754	1282	40	4 46'5	755	1276
3 0	4 45'4	758	1284	23 0	4 43'5	751	1283	43 0	4 45'9	756	1276
20	4 46'1	759	1282	20	4 44'0	752	1282	20	4 45'1	756	1276
40	4 46'9	761	1281	40	4 44'1	754	1281	40	4 44'4	757	1277
4 0	4 47'5	762	1280	24 0	4 44'5	754	1280	44 0	4 43'4	757	1277
20	4 47'7	764	1280	20	4 44'9	754	1280	20	4 43'0	757	1277
40	4 47'9	764	1281	40	4 45'2	757	1279	40	4 42'8	757	1276
5 0	4 47'3	763	1283	25 0	4 45'3	756	1279	45 0	4 43'1	758	1276
20	4 46'5	761	1285	20	4 45'2	757	1277	20	4 43'7	758	1275
40	4 45'5	759	1286	40	4 45'4	758	1277	40	4 44'5	759	1274
6 0	4 44'2	754	1287	26 0	4 45'3	759	1277	46 0	4 45'4	761	1273
20	4 43'1	751	1287	20	4 45'5	759	1277	20	4 46'5	762	1272
40	4 42'2	749	1288	40	4 45'6	759	1277	40	4 47'5	763	1272
7 0	4 42'0	747	1288	27 0	4 45'6	758	1279	47 0	4 48'4	765	1272
20	4 42'2	747	1288	20	4 45'3	759	1279	20	4 48'4	763	1274
40	4 42'9	748	1287	40	4 45'3	757	1279	40	4 48'1	763	1274
8 0	4 44'0	750	1285	28 0	4 45'4	754	1280	48 0	4 47'3	762	1275
20	4 45'3	753	1283	20	4 45'1	756	1280	20	4 46'4	761	1276
40	4 46'5	756	1279	40	4 44'7	754	1281	40	4 45'4	760	1276
9 0	4 47'6	759	1277	29 0	4 44'1	751	1282	49 0	4 44'5	759	1277
20	4 48'5	761	1276	20	4 43'9	753	1281	20	4 43'6	757	1277
40	4 48'9	763	1276	40	4 43'4	751	1281	40	4 43'5	754	1279
10 0	4 48'6	764	1277	30 0	4 43'2	752	1280	50 0	4 43'9	755	1277
20	4 48'1	763	1279	20	4 43'2	754	1279	20	4 43'8	753	1277
40	4 47'2	762	1281	40	4 43'4	756	1277	40	4 44'5	752	1276
11 0	4 46'0	761	1283	31 0	4 43'9	757	1276	51 0	4 45'0	757	1275
20	4 44'6	759	1285	20	4 44'5	759	1276	20	4 45'8	758	1275
40	4 43'6	756	1286	40	4 45'0	760	1276	40	4 46'5	759	1274
12 0	4 42'9	754	1286	32 0	4 45'5	761	1275	52 0	4 46'6	760	1274
20	4 42'7	751	1286	20	4 45'8	763	1275	20	4 46'5	759	1274
40	4 43'1	749	1286	40	4 46'2	763	1275	40	4 46'0	760	1275
13 0	4 43'9	750	1285	33 0	4 46'4	762	1276	53 0	4 45'3	759	1275
20	4 44'7	750	1284	20	4 46'3	763	1276	20	4 44'3	760	1275
40	4 46'1	751	1284	40	4 45'8	761	1276	40	4 43'6	759	1276
14 0	4 46'9	752	1281	34 0	4 45'3	761	1277	54 0	4 42'8	759	1276
20	4 47'6	750	1281	20	4 44'7	760	1277	20	4 42'6	759	1276
40	4 47'6	754	1280	40	4 44'1	759	1277	40	4 42'6	759	1276
15 0	4 47'5	756	1281	35 0	4 43'5	758	1279	55 0	4 43'3	758	1275
20	4 47'0	755	1282	20	4 43'5	755	1279	20	4 43'9	759	1275
40	4 46'3	756	1282	40	4 43'5	756	1277	40	4 44'8	761	1274
16 0	4 45'3	756	1283	36 0	4 43'8	755	1277	56 0	4 45'5	760	1273
20	4 44'4	754	1284	20	4 44'6	754	1276	20	4 46'6	765	1271
40	4 43'5	753	1285	40	4 45'5	755	1276	40	4 46'7	765	1272
17 0	4 43'0	752	1285	37 0	4 46'2	757	1276	57 0	4 46'8	765	1272
20	4 42'6	751	1285	20	4 46'9	757	1275	20	4 46'5	765	1273
40	4 42'7	752	1285	40	4 47'3	759	1275	40	4 45'5	763	1275
18 0	4 42'9	751	1284	38 0	4 47'4	756	1276	58 0	4 44'6	762	1275
20	4 43'7	753	1282	20	4 47'2	758	1276	20	4 43'5	760	1276
40	4 44'3	754	1281	40	4 46'5	759	1276	40	4 42'5	758	1277
19 0	4 44'7	755	1280	39 0	4 45'6	758	1277	59 0	4 42'0	757	1277
20	4 45'6	755	1279	20	4 45'0	758	1277	20	4 41'6	755	1277
40	4 45'9	756	1280	40	4 44'5	758	1277	40	4 42'1	754	1277

Stundenmittel: $D = 4^\circ 45'10''$; $H = 757$; $V = 1279$.

Terminstunden.

Göttinger Zeit.

Jan Mayen.

D=25° + West				H=0.09000 + 0.00... C. G. S.				V=0.49000 + 0.0... C. G. S.			
1. Mai 1883.											
6 ^h —7 ^h a. m.											
Zeit	D	H	V	Zeit	D	H	V	Zeit	D	H	V
0 ^m 0 ^s	4° 22' 7	596	1256	20 ^m 0 ^s	4° 41' 1	573	1242	40 ^m 0 ^s	4° 47' 4	583	1231
20	4 20' 5	591	1257	20	4 41' 0	569	1243	20	4 47' 4	583	1231
40	4 22' 0	586	1256	40	4 39' 5	570	1244	40	4 47' 3	585	1230
1 0	4 23' 0	580	1257	21 0	4 40' 4	574	1242	41 0	4 47' 2	584	1231
20	4 24' 1	579	1256	20	4 42' 1	578	1239	20	4 45' 3	581	1232
40	4 24' 1	580	1255	40	4 41' 4	581	1237	40	4 44' 6	579	1232
2 0	4 24' 7	580	1254	22 0	4 40' 2	580	1243	42 0	4 43' 9	573	1234
20	4 26' 1	578	1253	20	4 39' 4	575	1242	20	4 42' 4	569	1235
40	4 27' 2	578	1252	40	4 38' 6	574	1241	40	4 41' 2	568	1235
3 0	4 28' 1	579	1252	23 0	4 39' 3	578	1237	43 0	4 40' 1	565	1236
20	4 27' 7	585	1248	20	4 38' 6	578	1236	20	4 41' 1	565	1236
40	4 28' 1	589	1245	40	4 37' 9	579	1235	40	4 39' 1	562	1239
4 0	4 29' 2	591	1245	24 0	4 37' 4	577	1235	44 0	4 37' 6	563	1239
20	4 30' 1	590	1246	20	4 37' 9	571	1236	20	4 36' 6	563	1239
40	4 29' 7	587	1248	40	4 37' 7	566	1241	40	4 35' 9	561	1237
5 0	4 28' 1	587	1247	25 0	4 37' 6	561	1239	45 0	4 33' 9	559	1240
20	4 27' 5	589	1246	20	4 39' 9	565	1234	20	4 31' 7	556	1240
40	4 29' 2	589	1245	40	4 41' 5	569	1233	40	4 30' 3	556	1240
6 0	4 30' 6	590	1244	26 0	4 43' 4	569	1232	46 0	4 29' 9	552	1239
20	4 32' 6	592	1242	20	4 43' 9	572	1231	20	4 29' 4	549	1239
40	4 34' 0	595	1241	40	4 42' 5	577	1231	40	4 29' 6	542	1242
7 0	4 32' 8	596	1240	27 0	4 41' 7	579	1229	47 0	4 29' 7	543	1242
20	4 32' 4	599	1240	20	4 41' 5	576	1229	20	4 29' 8	541	1241
40	4 30' 4	600	1239	40	4 40' 5	576	1231	40	4 31' 9	545	1237
8 0	4 30' 2	598	1237	28 0	4 39' 1	573	1232	48 0	4 31' 2	546	1237
20	4 31' 3	594	1237	20	4 37' 3	571	1233	20	4 30' 2	551	1236
40	4 32' 1	593	1236	40	4 36' 2	569	1233	40	4 31' 0	552	1234
9 0	4 31' 9	590	1236	29 0	4 36' 5	567	1233	49 0	4 33' 5	550	1233
20	4 30' 7	586	1237	20	4 34' 7	564	1235	20	4 34' 0	551	1234
40	4 30' 5	582	1236	40	4 33' 1	559	1237	40	4 34' 2	555	1233
10 0	4 32' 0	584	1233	30 0	4 33' 1	554	1237	50 0	4 34' 8	556	1233
20	4 34' 0	586	1233	20	4 34' 4	553	1237	20	4 35' 2	558	1233
40	4 36' 3	586	1233	40	4 34' 6	554	1235	40	4 33' 5	556	1234
11 0	4 38' 3	588	1232	31 0	4 36' 6	557	1233	51 0	4 33' 8	557	1233
20	4 39' 2	590	1232	20	4 40' 3	563	1232	20	4 34' 6	558	1233
40	4 38' 1	590	1233	40	4 44' 2	566	1230	40	4 34' 2	556	1234
12 0	4 35' 3	587	1235	32 0	4 47' 0	570	1228	52 0	4 32' 8	554	1235
20	4 32' 8	589	1235	20	4 48' 1	578	1227	20	4 31' 5	552	1235
40	4 32' 2	589	1234	40	4 49' 0	586	1224	40	4 32' 3	554	1233
13 0	4 31' 8	588	1235	33 0	4 49' 8	590	1226	53 0	4 33' 6	556	1233
20	4 32' 0	582	1236	20	4 50' 1	592	1227	20	4 33' 4	555	1233
40	4 33' 2	579	1235	40	4 49' 2	593	1229	40	4 33' 2	552	1233
14 0	4 35' 6	583	1233	34 0	4 47' 4	593	1231	54 0	4 33' 2	553	1233
20	4 35' 6	586	1233	20	4 45' 7	593	1231	20	4 33' 1	552	1233
40	4 33' 5	588	1234	40	4 44' 9	588	1232	40	4 34' 5	550	1233
15 0	4 30' 6	587	1233	35 0	4 44' 9	585	1232	55 0	4 34' 9	551	1232
20	4 31' 7	589	1233	20	4 44' 1	580	1232	20	4 35' 2	554	1231
40	4 33' 9	588	1233	40	4 45' 2	578	1232	40	4 34' 8	559	1228
16 0	4 34' 9	586	1234	36 0	4 46' 6	578	1231	56 0	4 34' 2	561	1227
20	4 35' 5	586	1234	20	4 47' 0	582	1229	20	4 34' 0	562	1226
40	4 36' 0	583	1235	40	4 48' 7	582	1227	40	4 33' 4	561	1226
17 0	4 37' 5	583	1235	37 0	4 49' 3	587	1227	57 0	4 32' 5	562	1224
20	4 38' 8	581	1236	20	4 49' 7	588	1226	20	4 32' 7	565	1224
40	4 39' 2	576	1240	40	4 49' 9	591	1226	40	4 32' 9	563	1223
18 0	4 38' 6	575	1242	38 0	4 50' 0	590	1226	58 0	4 32' 5	563	1223
20	4 38' 3	574	1243	20	4 50' 2	591	1226	20	4 31' 9	562	1223
40	4 38' 2	571	1243	40	4 49' 5	588	1228	40	4 30' 2	564	1222
19 0	4 40' 0	574	1243	39 0	4 49' 3	587	1229	59 0	4 31' 6	568	1222
20	4 41' 7	575	1242	20	4 49' 0	585	1229	20	4 31' 5	570	1221
40	4 42' 0	578	1242	40	4 48' 4	586	1230	40	4 31' 0	573	1219

Stundenmittel: D=4° 36' 5; H=574; V=1235.

Terminstunden.

Göttinger Zeit.

Jan Mayen.

 $D = 25^\circ +$ West $H = 0.09000 + 0.00 \dots$ C. G. S. $V = 0.49000 + 0.0 \dots$ C. G. S.

15. Mai 1883.

7^h—8^h a. m.

Zeit	D	H	V	Zeit	D	H	V	Zeit	D	H	V
0 ^m 0 ^s	4° 36' 8	693	1143	20 ^m 0 ^s	4° 34' 0	719	1142	40 ^m 0 ^s	4° 37' 8	734	1145
20	4 35' 5	692	1145	20	4 34' 0	721	1142	20	4 37' 7	733	1145
40	4 34' 5	690	1145	40	4 34' 6	720	1142	40	4 37' 6	733	1145
1 0	4 33' 4	688	1146	21 0	4 35' 0	722	1142	41 0	4 37' 6	733	1145
20	4 32' 0	688	1146	20	4 35' 5	722	1141	20	4 37' 4	734	1145
40	4 31' 3	687	1146	40	4 36' 0	724	1141	40	4 37' 3	735	1145
2 0	4 30' 9	687	1145	22 0	4 36' 1	724	1142	42 0	4 37' 1	735	1145
20	4 31' 2	687	1145	20	4 36' 8	723	1142	20	4 37' 1	735	1145
40	4 32' 2	688	1143	40	4 36' 2	722	1142	40	4 36' 9	735	1145
3 0	4 32' 8	690	1142	23 0	4 36' 4	721	1142	43 0	4 36' 6	735	1146
20	4 34' 1	692	1142	20	4 36' 1	720	1143	20	4 36' 8	737	1146
40	4 34' 6	694	1141	40	4 36' 3	719	1143	40	4 36' 4	737	1146
4 0	4 35' 3	696	1140	24 0	4 36' 1	720	1143	44 0	4 36' 2	738	1146
20	4 36' 3	698	1140	20	4 36' 1	720	1143	20	4 36' 4	738	1146
40	4 36' 5	700	1140	40	4 36' 2	720	1143	40	4 36' 6	739	1146
5 0	4 36' 0	701	1139	25 0	4 36' 6	722	1143	45 0	4 36' 2	739	1146
20	4 34' 8	702	1140	20	4 36' 4	722	1143	20	4 36' 2	740	1145
40	4 33' 6	702	1141	40	4 36' 5	722	1143	40	4 36' 6	740	1145
6 0	4 32' 2	701	1141	26 0	4 36' 4	722	1143	46 0	4 37' 0	742	1145
20	4 31' 8	702	1141	20	4 36' 6	723	1143	20	4 37' 2	740	1143
40	4 31' 7	702	1140	40	4 36' 1	722	1143	40	4 37' 2	744	1143
7 0	4 32' 1	703	1139	27 0	4 35' 9	723	1143	47 0	4 37' 9	744	1143
20	4 32' 6	703	1139	20	4 35' 8	722	1143	20	4 38' 0	745	1143
40	4 32' 5	703	1139	40	4 35' 6	721	1145	40	4 38' 1	745	1143
8 0	4 34' 1	702	1139	28 0	4 35' 0	720	1145	48 0	4 38' 1	746	1143
20	4 35' 0	703	1139	20	4 35' 1	720	1145	20	4 38' 2	744	1143
40	4 35' 4	703	1139	40	4 35' 1	720	1145	40	4 38' 2	744	1145
9 0	4 35' 3	704	1140	29 0	4 35' 6	721	1143	49 0	4 37' 8	742	1147
20	4 34' 9	703	1142	20	4 35' 9	721	1143	20	4 37' 5	741	1148
40	4 33' 9	704	1142	40	4 36' 1	722	1143	40	4 37' 1	740	1149
10 0	4 33' 1	704	1142	30 0	4 36' 1	724	1143	50 0	4 37' 0	740	1149
20	4 32' 1	706	1141	20	4 36' 6	724	1142	20	4 37' 0	739	1149
40	4 31' 8	707	1140	40	4 37' 0	724	1143	40	4 37' 1	739	1149
11 0	4 31' 8	708	1140	31 0	4 37' 2	726	1143	51 0	4 37' 9	739	1148
20	4 32' 0	709	1139	20	4 37' 2	727	1142	20	4 38' 2	739	1148
40	4 32' 3	710	1139	40	4 37' 7	727	1142	40	4 39' 1	740	1147
12 0	4 33' 2	711	1139	32 0	4 38' 0	729	1142	52 0	4 39' 9	742	1146
20	4 33' 8	711	1139	20	4 38' 0	729	1142	20	4 40' 0	743	1147
40	4 34' 8	712	1139	40	4 37' 9	729	1142	40	4 40' 0	744	1146
13 0	4 35' 3	712	1139	33 0	4 37' 9	729	1142	53 0	4 39' 6	744	1147
20	4 35' 8	712	1140	20	4 38' 1	729	1142	20	4 39' 1	744	1148
40	4 35' 9	711	1141	40	4 38' 9	729	1143	40	4 38' 9	743	1148
14 0	4 35' 7	711	1141	34 0	4 38' 0	729	1143	54 0	4 38' 8	742	1149
20	4 35' 6	710	1142	20	4 38' 1	728	1143	20	4 38' 0	740	1150
40	4 34' 7	709	1142	40	4 37' 9	728	1143	40	4 37' 8	739	1151
15 0	4 34' 0	711	1142	35 0	4 38' 0	727	1143	55 0	4 37' 3	738	1151
20	4 33' 4	711	1142	20	4 38' 0	727	1145	20	4 37' 4	735	1151
40	4 33' 9	711	1142	40	4 38' 0	727	1145	40	4 37' 4	735	1151
16 0	4 32' 5	711	1142	36 0	4 37' 9	728	1145	56 0	4 37' 8	734	1151
20	4 32' 2	712	1142	20	4 37' 9	729	1145	20	4 37' 9	735	1151
40	4 32' 2	716	1142	40	4 38' 3	729	1143	40	4 38' 0	735	1151
17 0	4 32' 4	716	1142	37 0	4 38' 6	731	1143	57 0	4 38' 5	736	1150
20	4 32' 9	718	1141	20	4 39' 0	732	1143	20	4 39' 0	739	1149
40	4 33' 2	718	1141	40	4 39' 1	734	1143	40	4 39' 7	742	1148
18 0	4 33' 6	718	1142	38 0	4 39' 0	734	1143	58 0	4 39' 7	743	1148
20	4 33' 9	719	1142	20	4 38' 9	735	1143	20	4 39' 5	744	1148
40	4 33' 8	718	1142	40	4 38' 8	735	1143	40	4 39' 0	744	1148
19 0	4 33' 5	718	1142	39 0	4 38' 3	734	1143	59 0	4 38' 1	744	1148
20	4 33' 8	719	1142	20	4 37' 9	734	1143	20	4 37' 1	743	1150
40	4 34' 0	719	1142	40	4 37' 8	734	1145	40	4 36' 9	742	1150

Stundenmittel: $D = 4^\circ 36' 1$; $H = 723$; $V = 1144$.

Terminstunden.

Göttinger Zeit.

Jan Mayen.

$D=25^\circ +$ West

$H=0.09000 + 0.00 \dots$ C. G. S.

$V=0.49000 + 0.0 \dots$ C. G. S.

1. Juni 1883.

8^h—9^h a. m.

Zeit	D	H	V	Zeit	D	H	V	Zeit	D	H	V
0 ^m 0 ^s	4°48'6	786	1199	20 ^m 0 ^s	4°47'1	779	1199	40 ^m 0 ^s	4°47'8	781	1194
20	4 48'2	784	1199	20	4 46'8	780	1199	20	4 47'9	782	1194
40	4 48'1	784	1200	40	4 46'6	781	1199	40	4 47'5	780	1195
1 0	4 48'2	784	1199	21 0	4 46'6	782	1197	41 0	4 47'1	778	1196
20	4 48'4	784	1200	20	4 46'5	783	1196	20	4 46'8	778	1196
40	4 48'3	784	1199	40	4 46'1	784	1195	40	4 47'0	778	1196
2 0	4 47'6	783	1199	22 0	4 46'1	784	1195	42 0	4 47'0	777	1197
20	4 47'6	783	1200	20	4 46'4	784	1194	20	4 47'1	777	1197
40	4 48'1	783	1200	40	4 46'6	784	1194	40	4 47'4	776	1197
3 0	4 46'9	782	1200	23 0	4 47'0	784	1194	43 0	4 47'4	777	1197
20	4 46'9	782	1200	20	4 47'6	784	1193	20	4 47'2	774	1197
40	4 46'8	784	1199	40	4 47'6	784	1193	40	4 46'9	776	1199
4 0	4 46'7	784	1199	24 0	4 47'8	782	1193	44 0	4 46'6	775	1199
20	4 46'8	784	1199	20	4 47'8	780	1194	20	4 46'2	774	1199
40	4 46'9	784	1199	40	4 48'0	779	1195	40	4 46'0	775	1197
5 0	4 46'9	784	1199	25 0	4 48'0	779	1195	45 0	4 46'1	774	1197
20	4 46'9	784	1199	20	4 48'1	779	1195	20	4 46'1	775	1197
40	4 47'1	783	1199	40	4 48'2	779	1194	40	4 45'9	774	1197
6 0	4 47'6	782	1199	26 0	4 48'5	779	1194	46 0	4 46'0	775	1197
20	4 47'8	783	1199	20	4 48'5	779	1194	20	4 45'4	773	1197
40	4 48'2	783	1199	40	4 48'7	780	1194	40	4 45'2	772	1199
7 0	4 48'2	783	1199	27 0	4 48'7	780	1194	47 0	4 44'5	771	1199
20	4 48'3	784	1199	20	4 49'2	781	1194	20	4 44'6	772	1197
40	4 48'1	783	1200	40	4 49'0	781	1195	40	4 44'5	769	1197
8 0	4 47'9	784	1199	28 0	4 49'0	780	1195	48 0	4 45'0	773	1196
20	4 47'7	784	1199	20	4 48'8	781	1195	20	4 44'8	772	1196
40	4 47'5	784	1199	40	4 48'8	780	1195	40	4 45'3	774	1195
9 0	4 47'4	784	1199	29 0	4 48'7	780	1195	49 0	4 45'3	772	1195
20	4 47'1	783	1199	20	4 48'6	780	1190	20	4 45'5	774	1194
40	4 46'9	783	1199	40	4 48'3	780	1196	40	4 46'0	772	1195
10 0	4 46'7	782	1199	30 0	4 47'8	779	1196	50 0	4 45'6	770	1195
20	4 46'6	782	1200	20	4 47'6	780	1195	20	4 45'6	771	1195
40	4 46'1	782	1200	40	4 47'6	781	1195	40	4 46'0	769	1195
11 0	4 45'6	782	1200	31 0	4 47'5	781	1195	51 0	4 46'0	768	1195
20	4 45'4	782	1200	20	4 47'4	781	1195	20	4 46'4	769	1195
40	4 45'1	783	1199	40	4 47'4	781	1196	40	4 46'9	769	1194
12 0	4 45'1	784	1199	32 0	4 47'2	780	1196	52 0	4 47'2	770	1194
20	4 45'6	784	1199	20	4 47'4	780	1195	20	4 47'5	772	1194
40	4 45'9	786	1196	40	4 47'5	780	1195	40	4 47'6	773	1192
13 0	4 46'5	786	1196	33 0	4 47'9	780	1195	53 0	4 48'2	776	1191
20	4 46'6	786	1196	20	4 48'0	779	1196	20	4 48'8	777	1191
40	4 46'7	786	1197	40	4 47'9	778	1197	40	4 49'1	776	1191
14 0	4 46'9	784	1197	34 0	4 47'7	777	1197	54 0	4 49'3	777	1192
20	4 46'8	782	1199	20	4 47'6	777	1197	20	4 49'5	776	1193
40	4 47'0	781	1199	40	4 47'2	776	1199	40	4 50'5	774	1194
15 0	4 46'8	779	1199	35 0	4 46'5	775	1199	55 0	4 50'6	771	1194
20	4 46'8	780	1199	20	4 46'3	775	1200	20	4 51'5	772	1195
40	4 47'2	779	1197	40	4 46'4	776	1199	40	4 51'8	772	1195
16 0	4 47'6	779	1197	36 0	4 46'7	777	1197	56 0	4 52'1	769	1196
20	4 47'8	780	1197	20	4 46'9	779	1196	20	4 51'4	769	1197
40	4 47'7	781	1196	40	4 47'4	782	1194	40	4 50'3	768	1200
17 0	4 47'9	782	1196	37 0	4 47'9	784	1194	57 0	4 48'6	767	1200
20	4 48'0	782	1196	20	4 48'0	784	1194	20	4 47'8	767	1200
40	4 47'8	782	1197	40	4 46'9	782	1195	40	4 46'4	764	1201
18 0	4 47'6	781	1197	38 0	4 46'0	781	1196	58 0	4 45'6	766	1200
20	4 47'6	781	1197	20	4 45'4	780	1196	20	4 46'0	767	1199
40	4 47'6	781	1199	40	4 45'5	779	1196	40	4 45'9	768	1200
19 0	4 47'6	780	1199	39 0	4 45'9	781	1195	59 0	4 45'7	769	1200
20	4 47'6	780	1199	20	4 46'7	781	1194	20	4 46'2	768	1199
40	4 47'4	779	1199	40	4 47'3	780	1194	40	4 45'6	766	1200

Stundenmittel: $D=4^\circ47'3$; $H=779$; $V=1197$.

$D = 25^\circ + \text{ West}$				$H = 0.09000 + 0.00 \dots \text{ C. G. S.}$				$V = 0.49000 + 0.0 \dots \text{ C. G. S.}$			
15. Juni 1883.											
9^h—10^h a. m.											
Zeit	D	H	V	Zeit	D	H	V	Zeit	D	H	V
0 ^m 0 ^s	4°44'2	740	1210	20 ^m 0 ^s	4°44'2	751	1206	40 ^m 0 ^s	4°44'8	758	1206
20	4 44'2	740	1209	20	4 44'2	752	1206	20	4 44'8	758	1207
40	4 44'2	740	1209	40	4 44'1	752	1206	40	4 45'0	758	1207
1 0	4 44'3	740	1209	21 0	4 43'7	752	1206	41 0	4 45'1	759	1206
20	4 44'6	741	1209	20	4 43'3	751	1206	20	4 45'2	759	1206
40	4 45'1	741	1209	40	4 43'2	751	1206	40	4 45'2	758	1206
2 0	4 45'4	742	1208	22 0	4 43'2	751	1207	42 0	4 45'0	758	1206
20	4 45'6	743	1208	20	4 43'3	751	1207	20	4 44'7	758	1206
40	4 45'7	743	1209	40	4 43'4	751	1207	40	4 45'0	758	1206
3 0	4 45'5	743	1208	23 0	4 43'5	751	1206	43 0	4 45'1	757	1206
20	4 45'2	742	1208	20	4 43'7	752	1206	20	4 45'3	757	1206
40	4 45'1	742	1209	40	4 43'5	753	1206	40	4 45'3	757	1206
4 0	4 45'2	742	1209	24 0	4 43'5	753	1206	44 0	4 45'3	757	1206
20	4 45'3	742	1209	20	4 43'2	753	1206	20	4 45'4	756	1206
40	4 45'6	743	1209	40	4 43'2	753	1206	40	4 45'4	757	1206
5 0	4 45'9	743	1208	25 0	4 43'0	754	1206	45 0	4 45'4	758	1206
20	4 45'9	743	1208	20	4 43'1	754	1206	20	4 45'4	758	1206
40	4 46'0	743	1208	40	4 43'1	754	1206	40	4 45'5	758	1206
6 0	4 45'7	743	1209	26 0	4 43'2	754	1206	46 0	4 45'5	759	1205
20	4 45'4	743	1209	20	4 43'2	755	1206	20	4 45'4	759	1205
40	4 45'1	743	1209	40	4 43'2	755	1206	40	4 45'6	759	1206
7 0	4 45'0	743	1209	27 0	4 43'3	756	1206	47 0	4 45'7	758	1205
20	4 44'6	743	1209	20	4 43'4	756	1205	20	4 45'9	758	1206
40	4 44'3	742	1209	40	4 43'3	756	1206	40	4 46'0	758	1206
8 0	4 43'9	742	1209	28 0	4 43'3	756	1206	48 0	4 45'9	758	1206
20	4 43'3	741	1210	20	4 43'3	756	1206	20	4 46'0	758	1206
40	4 43'3	743	1209	40	4 43'2	755	1206	40	4 46'0	759	1205
9 0	4 43'3	743	1209	29 0	4 43'3	755	1206	49 0	4 46'0	759	1205
20	4 43'4	744	1208	20	4 43'3	755	1206	20	4 45'7	759	1206
40	4 43'6	745	1208	40	4 44'0	756	1206	40	4 45'7	759	1206
10 0	4 43'6	745	1207	30 0	4 44'0	756	1206	50 0	4 45'6	758	1205
20	4 43'6	745	1207	20	4 44'0	757	1206	20	4 45'6	758	1205
40	4 43'5	745	1208	40	4 44'1	757	1206	40	4 45'8	758	1206
11 0	4 43'4	744	1208	31 0	4 44'1	758	1206	51 0	4 46'0	758	1205
20	4 43'2	744	1208	20	4 44'2	759	1206	20	4 46'1	758	1206
40	4 42'7	744	1208	40	4 44'3	759	1206	40	4 46'1	758	1206
12 0	4 42'3	744	1208	32 0	4 44'2	758	1206	52 0	4 46'0	758	1206
20	4 42'9	745	1208	20	4 44'1	759	1206	20	4 46'0	758	1206
40	4 43'2	746	1207	40	4 44'1	758	1206	40	4 45'9	758	1206
13 0	4 43'3	747	1207	33 0	4 44'1	758	1206	53 0	4 45'7	758	1206
20	4 43'4	748	1206	20	4 44'2	757	1206	20	4 45'8	758	1206
40	4 43'6	749	1206	40	4 44'3	757	1206	40	4 45'6	758	1206
14 0	4 43'9	749	1206	34 0	4 44'4	758	1206	54 0	4 45'3	758	1206
20	4 44'1	749	1206	20	4 44'6	758	1206	20	4 45'3	758	1206
40	4 44'2	748	1206	40	4 44'6	758	1206	40	4 45'4	758	1206
15 0	4 44'2	748	1207	35 0	4 44'6	758	1206	55 0	4 45'3	758	1206
20	4 44'2	748	1206	20	4 44'5	758	1206	20	4 45'3	759	1205
40	4 44'2	748	1206	40	4 44'5	758	1206	40	4 45'3	759	1205
16 0	4 44'2	749	1206	36 0	4 44'5	758	1206	56 0	4 45'4	759	1205
20	4 44'3	749	1206	20	4 44'4	758	1206	20	4 45'4	759	1205
40	4 44'4	750	1206	40	4 44'4	758	1206	40	4 46'1	759	1205
17 0	4 44'3	750	1206	37 0	4 44'6	758	1206	57 0	4 46'2	759	1205
20	4 44'2	749	1206	20	4 44'8	758	1206	20	4 46'2	759	1205
40	4 44'2	749	1207	40	4 45'0	758	1206	40	4 46'1	758	1205
18 0	4 44'1	749	1207	38 0	4 45'1	758	1206	58 0	4 46'1	758	1206
20	4 44'1	749	1207	20	4 45'1	758	1207	20	4 46'1	758	1206
40	4 44'1	749	1206	40	4 45'1	758	1207	40	4 46'1	758	1205
19 0	4 44'1	749	1207	39 0	4 45'1	758	1206	59 0	4 46'1	759	1205
20	4 44'1	749	1206	20	4 45'1	758	1206	20	4 46'2	759	1205
40	4 44'1	750	1206	40	4 45'0	758	1206	40	4 46'2	759	1205

Stundenmittel: $D = 4^\circ 44' 6$; $H = 753$; $V = 1207$.

Terminstunden.

Göttinger Zeit.

Jan Mayen.

$D=25^{\circ}+$ West

$H=0.09000+0.00\dots$ C. G. S.

$V=0.49000+0.0\dots$ C. G. S.

1. Juli 1883.

10^h—11^h a. m.

Zeit	D	H	V	Zeit	D	H	V	Zeit	D	H	V
0 ^m 0 ^s	4°25'5	743	1163	20 ^m 0 ^s	4°38'0	722	1179	40 ^m 0 ^s	4°36'9	786	1182
20	4 27'6	749	1162	20	4 36'7	725	1180	20	4 36'7	787	1182
40	4 27'1	743	1164	40	4 36'9	725	1181	40	4 35'6	792	1182
1 0	4 25'6	743	1166	21 0	4 38'0	721	1182	41 0	4 36'4	794	1181
20	4 24'6	732	1172	20	4 37'8	720	1183	20	4 37'9	792	1182
40	4 24'5	724	1172	40	4 39'0	717	1183	40	4 37'0	793	1183
2 0	4 25'3	720	1173	22 0	4 39'1	717	1183	42 0	4 37'6	798	1182
20	4 25'7	720	1175	20	4 38'6	729	1182	20	4 39'7	794	1183
40	4 26'1	722	1170	40	4 37'9	724	1182	40	4 40'5	791	1184
3 0	4 25'4	728	1168	23 0	4 38'3	728	1181	43 0	4 40'7	789	1186
20	4 25'4	742	1163	20	4 37'0	731	1181	20	4 43'5	788	1186
40	4 25'9	747	1162	40	4 35'9	729	1182	40	4 44'1	789	1187
4 0	4 26'7	751	1162	24 0	4 35'3	733	1181	44 0	4 44'2	790	1188
20	4 27'6	756	1162	20	4 32'6	730	1183	20	4 43'6	791	1189
40	4 28'2	754	1162	40	4 31'3	726	1184	40	4 41'9	792	1190
5 0	4 29'5	749	1164	25 0	4 30'0	727	1184	45 0	4 42'4	795	1190
20	4 31'3	747	1166	20	4 29'9	724	1184	20	4 39'6	796	1189
40	4 31'0	743	1169	40	4 30'2	722	1183	40	4 40'3	794	1190
6 0	4 29'8	741	1172	26 0	4 31'3	726	1183	46 0	4 39'3	791	1191
20	4 29'4	734	1173	20	4 32'5	729	1182	20	4 38'2	792	1191
40	4 28'3	729	1173	40	4 33'6	728	1182	40	4 38'7	795	1190
7 0	4 28'0	724	1174	27 0	4 34'6	731	1180	47 0	4 38'7	802	1189
20	4 28'6	728	1172	20	4 34'9	737	1180	20	4 39'0	807	1187
40	4 30'7	729	1170	40	4 34'1	742	1179	40	4 39'0	816	1184
8 0	4 33'2	728	1170	28 0	4 33'0	749	1178	48 0	4 38'3	819	1184
20	4 33'6	726	1173	20	4 31'4	748	1180	20	4 36'8	819	1186
40	4 32'3	727	1174	40	4 29'3	743	1182	40	4 34'6	822	1187
9 0	4 30'5	723	1175	29 0	4 38'4	739	1183	49 0	4 34'0	818	1189
20	4 30'1	718	1177	20	4 38'4	737	1184	20	4 33'6	812	1191
40	4 28'4	715	1178	40	4 38'9	734	1184	40	4 32'4	809	1193
10 0	4 28'9	719	1176	30 0	4 30'9	732	1184	50 0	4 29'6	808	1194
20	4 29'1	722	1174	20	4 32'2	734	1183	20	4 26'9	813	1194
40	4 30'8	727	1173	40	4 35'2	733	1183	40	4 23'8	818	1194
11 0	4 32'6	737	1169	31 0	4 35'8	735	1183	51 0	4 22'5	822	1192
20	4 36'9	742	1164	20	4 35'4	738	1184	20	4 20'0	820	1192
40	4 41'5	741	1165	40	4 33'8	739	1184	40	4 20'1	825	1189
12 0	4 39'9	734	1172	32 0	4 31'0	744	1184	52 0	4 21'5	831	1187
20	4 36'1	726	1176	20	4 30'1	748	1183	20	4 23'2	825	1187
40	4 33'5	727	1176	40	4 31'1	753	1178	40	4 24'5	822	1190
13 0	4 32'4	724	1177	33 0	4 33'0	757	1180	53 0	4 25'5	822	1190
20	4 31'5	721	1177	20	4 34'6	755	1181	20	4 24'9	819	1191
40	4 33'1	723	1174	40	4 35'8	754	1182	40	4 23'7	827	1191
14 0	4 34'6	722	1174	34 0	4 36'6	757	1183	54 0	4 21'9	827	1192
20	4 35'7	722	1175	20	4 34'7	753	1184	20	4 21'5	834	1190
40	4 35'6	726	1175	40	4 32'7	749	1186	40	4 22'1	840	1187
15 0	4 35'6	724	1176	35 0	4 32'2	752	1186	55 0	4 21'8	846	1187
20	4 33'6	724	1176	20	4 32'2	756	1183	20	4 22'2	844	1184
40	4 31'4	727	1177	40	4 32'4	757	1183	40	4 22'5	844	1186
16 0	4 30'3	726	1176	36 0	4 33'3	759	1182	56 0	4 22'3	843	1188
20	4 31'3	726	1176	20	4 34'2	764	1182	20	4 22'5	836	1190
40	4 31'2	719	1179	40	4 35'2	769	1181	40	4 22'7	834	1192
17 0	4 28'1	714	1183	37 0	4 36'1	771	1181	57 0	4 20'5	832	1194
20	4 26'8	711	1182	20	4 35'6	770	1182	20	4 19'8	836	1193
40	4 30'3	709	1181	40	4 35'1	769	1183	40	4 20'2	838	1192
18 0	4 34'8	709	1180	38 0	4 35'7	771	1183	58 0	4 21'9	844	1190
20	4 37'6	709	1179	20	4 34'2	772	1183	20	4 23'2	846	1190
40	4 39'3	714	1178	40	4 33'7	776	1183	40	4 24'0	844	1191
19 0	4 38'9	721	1177	39 0	4 34'8	778	1182	59 0	4 24'9	841	1192
20	4 39'0	727	1176	20	4 36'6	780	1182	20	4 26'4	838	1193
40	4 40'0	729	1175	40	4 37'2	784	1182	40	4 26'4	838	1194

Stundenmittel: $D=4^{\circ}32'3$; $H=762$; $V=1181$.

$D = 25^\circ +$ West

$H = 0.09000 + 0.00 \dots$ C. G. S.

$V = 0.49000 + 0.0 \dots$ C. G. S.

15. Juli 1883.

11^h–12^h a. m.

Zeit	D	H	V	Zeit	D	H	V	Zeit	D	H	V
0 ^m 0 ^s	4°48'4	735	1206	20 ^m 0 ^s	4°51'4	734	1207	40 ^m 0 ^s	4°54'0	739	1205
20	4 48'5	736	1206	20	4 51'4	735	1207	20	4 54'2	739	1205
40	4 48'6	736	1205	40	4 51'4	735	1207	40	4 54'5	739	1205
1 0	4 48'7	736	1205	21 0	4 51'2	755	1207	41 0	4 54'9	739	1205
20	4 48'9	736	1205	20	4 51'2	735	1207	20	4 54'9	739	1205
40	4 49'1	736	1205	40	4 51'2	735	1207	40	4 55'1	739	1205
2 0	4 49'2	736	1206	22 0	4 51'1	735	1207	42 0	4 55'3	738	1205
20	4 49'4	736	1206	20	4 51'1	736	1207	20	4 55'6	737	1205
40	4 49'6	735	1206	40	4 51'0	736	1207	40	4 55'7	737	1205
3 0	4 49'7	735	1206	23 0	4 51'1	737	1207	43 0	4 55'3	737	1206
20	4 49'9	734	1206	20	4 51'0	737	1206	20	4 55'2	737	1206
40	4 49'9	734	1206	40	4 51'0	737	1206	40	4 54'5	737	1207
4 0	4 49'9	734	1206	24 0	4 51'0	737	1206	44 0	4 54'2	737	1206
20	4 49'9	734	1207	20	4 51'0	737	1206	20	4 54'1	737	1206
40	4 49'9	734	1207	40	4 51'0	737	1206	40	4 53'7	737	1207
5 0	4 49'9	734	1207	25 0	4 51'0	737	1206	45 0	4 53'3	736	1207
20	4 49'8	734	1207	20	4 51'0	737	1206	20	4 53'2	736	1207
40	4 49'8	734	1207	40	4 51'1	737	1206	40	4 53'0	736	1206
6 0	4 49'7	734	1207	26 0	4 51'2	738	1206	46 0	4 52'5	737	1206
20	4 49'6	734	1207	20	4 51'3	737	1206	20	4 52'4	737	1205
40	4 49'6	734	1207	40	4 51'6	737	1206	40	4 52'4	737	1204
7 0	4 49'6	734	1207	27 0	4 52'0	737	1206	47 0	4 52'5	738	1204
20	4 49'5	734	1207	20	4 52'2	737	1206	20	4 52'6	739	1204
40	4 49'4	734	1207	40	4 52'2	738	1206	40	4 52'6	739	1203
8 0	4 49'4	734	1207	28 0	4 52'2	738	1206	48 0	4 52'7	740	1203
20	4 49'4	734	1207	20	4 52'4	737	1206	20	4 52'9	741	1203
40	4 49'4	734	1207	40	4 52'5	737	1206	40	4 53'2	741	1202
9 0	4 49'4	734	1207	29 0	4 52'4	737	1206	49 0	4 53'3	741	1203
20	4 49'5	734	1207	20	4 52'4	737	1206	20	4 53'7	742	1202
40	4 49'6	734	1207	40	4 52'4	737	1206	40	4 54'1	742	1202
10 0	4 49'6	734	1207	30 0	4 52'4	737	1207	50 0	4 54'2	742	1203
20	4 49'6	734	1207	20	4 52'4	737	1206	20	4 54'3	742	1203
40	4 49'7	734	1207	40	4 52'3	737	1206	40	4 54'8	742	1203
11 0	4 49'6	734	1207	31 0	4 52'3	737	1206	51 0	4 55'1	742	1203
20	4 49'6	734	1207	20	4 52'3	737	1207	20	4 55'2	741	1203
40	4 49'5	733	1207	40	4 52'2	737	1207	40	4 55'3	741	1203
12 0	4 49'4	733	1207	32 0	4 52'2	738	1206	52 0	4 56'0	740	1203
20	4 49'2	734	1207	20	4 52'4	738	1206	20	4 56'2	739	1204
40	4 49'2	734	1207	40	4 52'2	739	1206	40	4 56'2	740	1204
13 0	4 49'3	734	1207	33 0	4 52'1	739	1206	53 0	4 56'3	739	1204
20	4 49'3	734	1207	20	4 51'9	739	1205	20	4 56'2	739	1204
40	4 49'4	734	1207	40	4 51'7	739	1205	40	4 56'2	740	1204
14 0	4 49'5	735	1206	34 0	4 51'7	739	1205	54 0	4 56'2	740	1203
20	4 49'4	735	1206	20	4 51'8	740	1205	20	4 56'2	741	1203
40	4 49'6	736	1206	40	4 52'0	739	1205	40	4 56'2	742	1203
15 0	4 49'8	736	1205	35 0	4 52'1	739	1205	55 0	4 56'2	742	1203
20	4 50'0	737	1205	20	4 52'2	739	1206	20	4 56'1	743	1202
40	4 50'1	737	1205	40	4 52'2	739	1205	40	4 56'1	744	1202
16 0	4 50'3	738	1205	36 0	4 52'4	739	1207	56 0	4 56'0	744	1202
20	4 50'4	738	1205	20	4 52'4	739	1206	20	4 55'8	744	1202
40	4 50'6	739	1205	40	4 52'4	739	1206	40	4 55'5	744	1203
17 0	4 50'7	738	1205	37 0	4 52'4	739	1206	57 0	4 55'4	744	1203
20	4 50'7	739	1205	20	4 52'4	739	1206	20	4 55'3	743	1203
40	4 50'7	738	1205	40	4 52'4	739	1206	40	4 55'3	743	1203
18 0	4 50'8	738	1205	38 0	4 52'4	739	1206	58 0	4 55'2	742	1203
20	4 50'9	737	1206	20	4 52'5	739	1206	20	4 55'2	741	1204
40	4 51'0	737	1206	40	4 52'9	739	1205	40	4 55'2	741	1204
19 0	4 51'2	736	1207	39 0	4 53'2	739	1205	59 0	4 55'3	740	1204
20	4 51'4	735	1207	20	4 53'3	739	1205	20	4 55'3	740	1204
40	4 51'4	735	1207	40	4 53'7	739	1205	40	4 55'4	740	1204

Stundenmittel: $D=4^\circ 52' 1$; $H=737$; $V=1205$.

Terminstunden.

Göttinger Zeit.

Jan Mayen.

$D = 25^\circ +$ West

$H = 0.09000 + 0.00\dots$ C. G. S.

$V = 0.49000 + 0.0\dots$ C. G. S.

1. August 1883.

12^h—1^h p. m.

Zeit	D	H	V	Zeit	D	H	V	Zeit	D	H	V
0 ^m 0 ^s	4°24'8	938	1086	20 ^m 0 ^s	4°13'6	880	1120	40 ^m 0 ^s	4°34'8	812	1132
20	4 23'0	933	1081	20	4 12'8	873	1120	20	4 35'7	812	1133
40	4 25'5	958	1075	40	4 13'9	872	1117	40	4 36'9	812	1133
1 0	4 25'5	964	1069	21 0	4 13'9	876	1116	41 0	4 38'1	814	1132
20	4 26'7	962	1068	20	4 13'8	881	1114	20	4 39'7	811	1133
40	4 23'7	967	1069	40	4 16'7	885	1111	40	4 40'6	808	1133
2 0	4 18'1	958	1078	22 0	4 16'9	889	1110	42 0	4 40'6	806	1135
20	4 14'6	950	1079	20	4 15'8	897	1109	20	4 41'1	799	1137
40	4 14'4	949	1083	40	4 14'5	902	1107	40	4 42'7	794	1139
3 0	4 14'0	937	1088	23 0	4 14'6	908	1103	43 0	4 43'7	790	1140
20	4 15'8	942	1087	20	4 16'1	902	1101	20	4 45'8	793	1137
40	4 16'8	937	1090	40	4 15'9	906	1101	40	4 48'5	796	1134
4 0	4 17'6	940	1090	24 0	4 17'5	912	1101	44 0	4 50'2	796	1134
20	4 19'1	941	1088	20	4 18'5	919	1100	20	4 50'7	799	1134
40	4 22'9	944	1088	40	4 18'2	921	1100	40	4 51'2	802	1134
5 0	4 24'7	935	1090	25 0	4 18'9	921	1101	45 0	4 51'3	802	1134
20	4 25'2	928	1091	20	4 18'5	923	1103	20	4 51'5	800	1135
40	4 27'9	920	1093	40	4 20'0	925	1106	40	4 52'1	797	1136
6 0	4 27'7	916	1097	26 0	4 20'1	925	1107	46 0	4 53'6	794	1138
20	4 26'8	922	1090	20	4 20'0	918	1107	20	4 54'9	794	1138
40	4 26'8	921	1095	40	4 20'0	915	1108	40	4 55'9	794	1139
7 0	4 28'6	918	1095	27 0	4 20'7	916	1109	47 0	4 56'9	791	1141
20	4 32'4	919	1096	20	4 22'1	915	1108	20	4 57'5	787	1143
40	4 35'9	921	1097	40	4 24'1	912	1110	40	4 57'4	782	1145
8 0	4 35'5	919	1099	28 0	4 26'5	906	1111	48 0	4 57'1	779	1146
20	4 35'9	920	1099	20	4 28'5	897	1116	20	4 56'7	778	1147
40	4 36'1	926	1099	40	4 29'5	893	1120	40	4 57'4	779	1147
9 0	4 36'8	922	1099	29 0	4 29'3	891	1122	49 0	4 57'5	779	1147
20	4 38'3	918	1100	20	4 27'9	886	1123	20	4 58'6	779	1147
40	4 37'7	906	1107	40	4 28'3	888	1124	40	4 59'8	782	1145
10 0	4 37'7	919	1101	30 0	4 27'1	887	1124	50 0	5 0'0	794	1145
20	4 36'3	920	1101	20	4 26'7	887	1125	20	4 58'3	791	1146
40	4 35'8	912	1106	40	4 25'2	885	1126	40	5 1'1	778	1149
11 0	4 36'5	907	1108	31 0	4 23'7	882	1127	51 0	5 5'0	769	1152
20	4 37'2	907	1108	20	4 23'3	885	1123	20	5 7'2	763	1153
40	4 38'9	907	1109	40	4 22'7	886	1122	40	5 8'9	763	1154
12 0	4 40'5	910	1107	32 0	4 22'7	883	1121	52 0	5 11'4	759	1157
20	4 41'1	915	1104	20	4 23'7	885	1120	20	5 11'4	757	1101
40	4 43'0	923	1100	40	4 25'2	882	1120	40	5 10'4	760	1162
13 0	4 43'0	935	1099	33 0	4 27'0	880	1120	53 0	5 9'0	763	1162
20	4 42'8	945	1098	20	4 28'7	877	1121	20	5 6'9	765	1162
40	4 43'8	959	1092	40	4 30'4	874	1120	40	5 4'1	776	1160
14 0	4 46'5	970	1088	34 0	4 30'9	870	1121	54 0	5 2'4	782	1157
20	4 46'3	974	1091	20	4 31'1	863	1121	20	5 1'9	784	1155
40	4 43'8	971	1097	40	4 30'7	857	1123	40	5 1'5	785	1156
15 0	4 40'6	963	1099	35 0	4 30'9	853	1125	55 0	5 2'8	786	1155
20	4 39'2	956	1103	20	4 30'6	845	1129	20	5 5'0	786	1153
40	4 38'7	949	1107	40	4 29'7	842	1130	40	5 7'7	787	1153
16 0	4 36'0	939	1110	36 0	4 28'9	836	1130	56 0	5 9'9	787	1153
20	4 33'5	930	1114	20	4 29'0	833	1130	20	5 11'1	787	1153
40	4 31'7	924	1117	40	4 28'7	832	1130	40	5 12'3	787	1153
17 0	4 29'9	918	1119	37 0	4 28'2	834	1129	57 0	5 12'4	789	1153
20	4 28'6	912	1120	20	4 28'9	832	1127	20	5 12'9	788	1153
40	4 27'3	905	1121	40	4 29'6	831	1127	40	5 13'1	788	1154
18 0	4 24'8	900	1122	38 0	4 29'7	829	1128	58 0	5 12'4	784	1156
20	4 21'6	898	1121	20	4 29'0	825	1130	20	5 12'2	782	1159
40	4 19'5	892	1121	40	4 29'7	819	1132	40	5 12'1	781	1161
19 0	4 17'5	889	1121	39 0	4 30'9	815	1132	59 0	5 12'7	772	1164
20	4 16'4	889	1120	20	4 32'2	813	1132	20	5 14'5	768	1165
40	4 15'3	884	1120	40	4 33'4	811	1132	40	5 16'3	764	1168

Stundenmittel: $D=4^\circ 37'6$; $H=865$; $V=1121$.

Stündliche

Nach mittlerer Ortszeit zusammengestellt, die Extreme sind fett,

Zeichenerklärung:

z ruhig.

↑ stetig ansteigend.

↓ „ abnehmend.

Declination.

August 1882.

25° + West.

Jan Mayen.

Datum	1	2	3	4	5	6	7	8	9	10	11	Mittag	1	2
27.	4°55'0z	5° 1'6	4°58'2	4°57'1	4°52'8	4°50'7	4°52'2	4°55'0	4°50'2	4°50'8	4°54'9	5°14'2	4°55'2	5° 0'4
28.	4 44'1↓	4 39'5	4 55'6	4 47'8	4 41'2	4 49'2	4 49'4	4 55'5↑	4 50'0	5 18'1	5 12'3	5 12'3	5 0'0z	4 54'1
29.	4 50'8	4 52'1	4 47'1	4 37'3	4 40'7	4 41'5	4 52'5	4 58'5	4 55'0	4 53'7	4 53'9	5 3'7	5 12'5	5 5'7
30.	4 51'6	4 39'1	4 35'4	4 40'2	4 35'0	4 57'1	4 48'5	4 52'9	4 59'4	4 50'2	4 50'8	5 5'4	5 0'1	5 8'8z
31.	4 55'0	4 51'9	4 53'9	4 48'4	4 43'0	4 49'4	4 47'7	4 54'0	4 47'0	4 58'9	4 47'8	5 1'4	5 5'0	5 7'3
Mittel	4 51'3	4 48'8	4 50'0	4 46'2	4 42'8	4 50'8	4 50'1	4 55'3	4 53'9	5 0'7	4 57'1	5 7'4	5 3'9	5 3'3

September 1882.

φ = +70° 59' 48".

1.	4°53'7z	4°55'3	4°54'5z	4°54'1	4°53'3	4°53'7	4°57'8	5° 0'1	5° 0'3	5° 2'4	5° 7'5	5° 9'4	5° 7'9	5° 7'4↓
2.	4 57'1	4 55'2z	4 54'4	4 53'6	4 51'7	4 52'0	4 51'6	4 53'8	5 1'8	4 58'4	5 0'7	5 11'4	5 10'2	5 4'7
3.	4 28'7	4 55'0	4 59'7	4 55'4	4 50'6	4 50'6	5 0'4	5 5'1	5 9'6	5 9'2	5 10'4	4 59'5	4 53'3	4 50'0
4.	4 54'9z	4 43'1	4 42'7	4 46'9	4 42'7	4 55'4	4 52'7	4 54'0	5 0'7	4 59'7	5 7'3	5 8'1	5 8'3	5 13'0
5.	4 50'6	4 52'2	4 29'9	4 46'6	4 45'5	4 47'2	4 53'0↑	5 1'9	5 14'0	4 40'7	4 55'0	4 32'5	4 37'1	5 12'3
6.	4 51'4	4 47'5	4 51'3	4 31'3	4 24'9	5 3'3	4 58'2	5 1'3	5 0'9	4 52'3	4 55'3	4 42'5	5 19'9	5 20'9
7.	4 45'9	4 40'2	4 42'1	4 50'0	4 47'0	4 44'0	4 52'0	4 50'0	4 51'9	4 55'3	4 55'8	5 6'3	5 4'5	5 3'8
8.	4 48'0	4 45'9	4 48'1	4 44'3	4 37'8	4 35'4	4 55'1	4 49'4	4 47'7	4 50'8	5 10'9	5 2'8	5 8'6	5 3'5
9.	4 47'1	4 52'6	4 44'0	4 16'5	4 13'8	4 39'5	4 40'6	4 53'0	4 58'2	4 59'1	4 57'4	5 3'8	5 3'9	5 11'1
10.	4 43'6	4 46'8	4 38'8	4 51'5	4 49'6	4 49'2	4 52'3	4 52'5	4 53'0	4 55'4	4 50'1	4 59'0	4 58'9	5 0'2
11.	4 41'6	4 37'8	4 19'3	4 23'2	4 27'8	4 32'9	4 52'5	4 49'8	4 49'6	4 54'4	4 58'0	5 1'1	5 3'4	5 3'0
12.	5 3'7	4 39'9	3 55'8	3 27'2	4 27'4	4 45'9	4 54'5	4 55'2	5 4'0	4 58'7	5 0'0	5 3'5	5 12'3	5 8'7
13.	4 54'2	4 44'4	4 33'0	4 47'3	4 48'4	4 40'7	4 51'4	4 52'9	5 0'0	4 57'3	5 5'1	5 7'4	4 59'9	5 3'8
14.	4 56'8	4 45'8	4 44'2	4 20'6	4 36'2	4 51'1	4 47'3	4 43'6	4 58'0	4 55'6	5 4'0	5 10'1	5 14'7	5 13'0
15.	4 42'4	4 51'3	4 49'3	4 47'4	4 44'9	4 49'9	4 52'2	4 49'1	5 0'2	5 7'6	5 7'2	5 10'8	5 9'2	5 8'5
16.	4 51'1	4 54'0	4 53'5	4 52'8	4 52'0	4 50'5	4 50'8	4 51'4	4 53'8	4 57'7	5 0'1	5 3'6	5 4'0	5 2'0
17.	4 47'2	4 53'2	4 40'6	4 20'6	4 24'9	4 41'2	4 47'7	4 50'7	4 52'6	4 52'4	4 59'1	5 4'3	5 5'1	5 4'6
18.	4 43'7	4 48'6	4 52'7	4 51'1	4 53'1	4 52'0	4 47'2	4 55'2	4 53'2	4 56'0	4 59'7	5 3'7	5 4'6	5 7'6
19.	4 53'8	4 53'0	4 51'1	4 51'8	4 52'4	4 53'3	4 55'3	4 52'9	5 1'6	4 57'3	4 59'0	5 5'1	5 6'9	5 7'3
20.	4 53'3	4 40'2	4 37'0	4 44'6	4 46'7	4 48'0	4 49'8	4 48'0	4 54'2	4 54'0	4 50'1	5 6'5	5 4'8	5 4'0
21.	4 40'9	4 44'3	4 37'9	4 44'2	4 50'5	4 46'9	4 53'5	4 50'5	4 42'5	4 58'6	5 1'5	5 4'1	5 3'9	5 4'0
22.	4 53'2	4 53'0	4 54'0	4 53'4	4 52'4	4 52'1	4 46'9	4 52'5	4 56'0	4 59'3	5 1'8	5 4'1	5 6'1	5 2'6
23.	4 53'1	4 48'5	4 41'8	4 46'2	4 41'3	4 50'9	4 52'3	4 52'9	4 53'6	4 57'1	4 57'7	5 1'7	5 4'6	4 55'2
24.	4 51'8	4 52'3	4 50'1	4 53'2	4 51'1	4 46'7	4 52'0	4 51'8	4 57'1	4 58'3	5 1'5	5 2'8	5 7'3	5 2'4
25.	4 39'8	3 50'3	3 30'2	4 36'8	3 59'7	4 1'9	4 57'6	4 49'9	4 41'4	4 42'5	4 50'9	4 53'3	5 4'9	5 23'1
26.	4 46'2	4 51'5	4 47'9	4 43'8	4 29'4	4 54'8	4 51'1	4 45'9	5 0'1	5 6'1	4 58'5	5 4'3z	5 3'4	5 4'5z
27.	4 53'0	4 34'7	4 22'0	4 34'8	4 30'5	4 37'2	4 48'8	4 57'5	5 1'9	5 0'6	5 2'2	5 2'7	5 3'6	4 59'9
28.	4 45'9	4 40'8	4 40'9	4 48'5	4 49'3	4 50'8	4 52'3	4 53'2	4 53'8	5 0'8	5 1'5	5 1'4z	5 3'5	5 1'9z
29.	4 48'5	4 51'8	4 48'3	4 47'5	4 46'5	4 51'2	4 52'8	4 55'2	4 57'0	4 58'4	5 0'2	5 5'4z	5 7'7	5 3'3
30.	4 52'4	4 50'4	4 51'8	4 48'2	4 47'7	4 49'3	4 52'2	4 55'6	4 57'8	5 2'6	5 2'4	5 3'9z	5 4'4z	5 2'1
Mittel	4 49'1	4 46'0	4 40'2	4 41'1	4 41'0	4 46'6	4 52'1	4 53'2	4 56'9	4 57'3	5 1'4	5 2'5	5 4'9	5 5'6

Beobachtungen.

interpolirte (genäherte) Lesungen mit Cursivlettern gedruckt.

- † stufenweise ansteigend.
- ‡ „ abnehmend.
- ‡ ansteigend mit Schwingungen.
- ‡ abnehmend „ „

Declination.

August 1882.

Correction auf M. O. Z. — 13^m6.

Unifilar.

3	4	5	6	7	8	9	10	11	12	Tagesmittel	Höchste Lesung	Niederste Lesung	Differenz
5° 9'5↓	5° 1'4	5° 5'4	5° 8'6	5° 2'4↓	5° 2'1↓	5° 0'6	5° 3'1	4° 58'7↓	4° 38'7↓	4° 59'0	5° 18'4	4° 26'4	0° 52'0
4 57'3↑	5 12'1↑	5 19'0	5 33'9	5 22'1	5 34'0	5 25'2	5 0'0	4 41'8	4 48'5	5 2'1	5 43'1	4 33'5	1 9'6
5 11'5	5 3'3	5 8'7	5 7'1	5 18'1	5 14'0	5 5'0	4 58'0†	4 49'2	4 58'1	4 58'3	5 23'7	4 36'9	0 46'8
5 0'6	5 9'5	5 5'4	4 57'1	5 5'4	5 9'1	5 8'5	5 0'4	4 56'4	4 52'0	4 56'3	5 14'0	4 33'4	0 40'6
5 1'1	4 59'9	5 3'5	4 58'0z	5 1'4z	5 5'6	4 56'8z	4 56'6z	4 53'8z	4 28'1z	4 54'9	5 7'8	4 25'6	0 42'2
5 4'0	5 5'2	5 8'4	5 8'9	5 9'9	5 18'0	5 7'2	4 59'6	4 52'0	4 45'1	4 58'1	5 21'4	4 31'2	0 50'2

λ = — 0^h 33^m 52^s 5.

September 1882.

5° 5'2z	5° 5'4z	5° 2'7z	5° 3'7z	5° 3'7z	5° 2'4↓	4° 59'6z	5° 0'4	4° 58'7z	4° 58'5	5° 0'7	5° 11'3	4° 40'8	0° 30'5
5 10'5	5 13'3	5 32'4	5 49'4	5 17'3	5 17'8	5 19'1	5 14'8	4 50'8	4 57'0	5 6'0	5 53'1	4 48'3	1 4'8
5 28'7↓	4 45'8	5 17'7	5 11'2	6 21'9↓	5 33'6	5 24'8	4 58'6	5 3'2	4 56'6	5 6'1	6 36'6	4 22'5	2 14'1
5 7'1	4 59'7	4 53'9	5 20'6	5 9'7	5 14'0	5 5'9	5 8'5	5 3'1	4 46'1	4 59'9	5 21'7	4 41'4	0 40'3
5 20'1	5 47'0	5 35'7	5 49'6	6 6'8↓	5 28'6↓	5 13'7	5 10'9	4 38'3↓	4 48'8	5 4'1	6 31'4	4 23'6	2 7'8
4 58'4	4 54'3	5 21'1	5 4'9	5 46'7	5 10'5z	5 10'3	4 56'7	4 55'8	4 53'3	4 59'7	5 56'8	4 22'4	1 34'4
5 2'5	5 1'6	4 53'9	4 59'4	5 3'9	5 18'0	5 9'0	5 2'7	5 1'0	4 50'9	4 50'4	5 26'5	4 38'2	0 48'3
5 1'9	4 58'2	5 1'5	5 2'6	5 4'4	5 0'5	5 5'7	4 57'3	4 53'1	4 40'3	4 55'0	5 12'5	4 34'2	0 38'3
4 59'8	4 56'5	5 0'7	5 4'3	4 56'8	5 12'2	5 19'4	5 10'3	4 50'6	4 40'7	4 54'3	5 28'2	4 12'1	1 16'1
4 57'5	5 1'3	5 0'6	4 54'4	4 59'4	4 55'3	4 54'6	4 54'3	4 54'4	4 51'5	4 53'8	5 1'5	4 38'3	0 23'2
5 1'6	5 4'6	4 59'8	5 36'4	5 31'3	5 27'9	5 10'4	5 6'9	5 23'3	5 1'5	4 57'4	5 36'9	4 16'7	1 20'2
5 4'3	5 11'0	5 17'4	5 20'2	5 20'8	5 16'6	5 0'4	5 1'9	5 7'0	4 59'5	4 55'7	5 22'6	3 4'6	2 18'0
4 57'0	5 5'7	5 19'2	5 17'6	5 18'0	5 29'1	5 17'1	4 57'5	4 58'0	4 58'2	5 0'2	5 47'5	4 32'2	1 15'3
5 17'5	4 53'1	5 3'4	5 1'0	5 5'7	5 34'6	5 35'9↓	5 4'2	5 1'0	4 51'7	4 59'5	5 38'9	4 6'5	1 32'4
5 1'5	5 4'7	5 3'1	5 6'0	4 59'9	5 2'9	5 3'0	5 9'9	4 57'8	4 56'8	4 59'0	5 17'6	4 25'5	0 52'1
5 5'1	4 56'2	4 55'7	4 55'7	4 55'5	4 58'1	5 6'8	5 23'9	4 51'5	4 46'6	4 57'2	5 43'7	4 44'8	0 58'9
5 1'5	5 0'4	4 57'5	4 57'7	4 55'3	4 55'6	4 59'8	5 15'0↓	4 50'0	4 28'9	4 52'2	5 47'6	4 10'9	1 30'7
5 3'9	5 2'2	5 10'3	5 12'7	5 37'6	5 33'2	5 6'7	4 55'8	4 50'8	4 53'9	5 0'6	5 38'9	4 41'8	0 57'1
5 6'9	5 5'5	5 1'1	4 58'9	5 7'5	5 7'5	5 5'3	4 53'0	4 40'2	4 45'0	4 58'3	5 9'9	4 43'7	0 26'2
5 4'7	4 59'1	5 0'9	5 1'2	5 3'4	5 4'3	5 11'5	5 17'0	4 23'4	4 47'9	4 55'0	5 21'1	4 22'9	0 58'2
5 5'3	4 58'1	5 0'2	4 58'5	5 0'9	5 2'7	5 2'5	4 50'7	4 55'9	4 51'9	4 54'8	5 5'6	4 32'8	0 32'8
4 58'1	4 59'0	4 56'8	5 8'5	5 7'5	5 3'6↓	4 55'3	4 50'2	4 54'5	4 55'1	4 57'6	5 18'1	4 46'1	0 32'0
4 49'2	4 57'6	5 4'3	4 56'1	5 14'2	5 8'1	5 1'9	5 7'0↓	4 54'1	4 53'9	4 50'0	5 16'0	4 40'6	0 35'4
4 59'6	5 1'2	5 0'3	5 1'9	4 57'1	4 59'0	5 8'1	4 54'7	4 40'0	4 48'2	4 56'6	5 14'6	4 44'9	0 29'7
5 11'5	5 45'6	5 21'1	5 6'3	5 16'6	5 51'2	5 15'9	5 10'3	4 53'3	4 49'4	4 52'3	5 56'4	3 13'8	2 42'6
5 1'4	5 0'3	4 57'5	4 58'4	4 57'4	5 3'6	5 7'3	5 18'8	4 44'9	4 42'3	4 55'8	5 22'4	4 23'5	0 58'9
5 4'8	4 59'4	5 3'0	5 3'2	4 14'8	5 8'2	5 3'1	4 40'1	4 48'3	4 47'1	4 51'3	5 10'9	3 55'3	1 15'6
5 1'0	4 59'1	4 55'4	4 51'3	4 52'0	5 13'4	5 5'0	4 58'0	4 54'1	4 47'1	4 55'0	5 15'7	4 39'2	0 36'5
5 2'4	5 1'3	4 57'4	4 55'4	4 58'1	5 2'5	4 57'1	4 54'0	4 51'8	4 52'1	4 50'1	5 9'5	4 45'5	0 24'0
5 1'7	5 2'7	4 57'3	4 59'7	4 57'2	4 50'7	4 54'3z	4 52'0z	4 50'1	4 53'2	4 56'1	5 5'1	4 40'7	0 18'4
5 4'4	5 3'7	5 5'4	5 7'6	5 10'7	5 12'4	5 7'7	5 3'5	4 54'3	4 50'9	4 57'4	5 25'9	4 26'2	0 59'7

Declination.
October 1882.

Correction auf M. O. Z. — 13^m6.

Unifilar.

3	4	5	6	7	8	9	10	11	12	Tages- mittel	Höchste Lesung	Niederste Lesung	Differenz
5° 1' 7z	5° 1' 5z	4° 56' 4z	4° 56' 8z	4° 56' 2z	4° 57' 3z	4° 57' 3z	4° 55' 5z	4° 55' 4z	4° 52' 3	4° 56' 0	5° 11' 0	4° 42' 0	0° 29' 0
5 38.2	5 58.0	6 54.9	6 22.0	6 46.2	5 35.0	5 56.9	4 23.0	4 5.0	4 45.8	4 57.9	7 1.0	2 54.4	4 6.6
5 18.9	5 7.7	4 54.5	5 0.0	5 3.1	4 56.1	4 54.9	5 6.3	4 58.1	4 51.4	4 52.2	5 14.5	4 10.4	1 4.1
4 50.5	5 4.2	5 14.0	5 34.4	5 34.8z	5 40.2	5 24.1	5 16.8	4 49.8	4 50.8	4 58.4	5 54.1	4 15.7	1 38.4
4 58.1	5 13.8	5 22.0	5 52.5	6 21.2	5 56.0	5 33.2	4 51.7	4 48.5	4 45.0	5 5.0	6 41.0	4 23.0	2 18.0
5 50.6	5 35.4	5 9.9	4 54.0	5 8.2	5 0.9	5 3.0	4 56.4	4 54.3	4 53.3	4 46.1	5 53.7	3 46.1	2 7.6
4 58.6	5 0.0	5 5.2	5 0.2	4 54.8	5 10.6	5 9.3	5 3.0	5 13.4	4 54.3	4 59.1	5 10.1	4 50.9	0 25.2
4 57.5	4 54.7	4 53.5	4 56.1	5 10.5	5 6.4	5 0.3	4 53.2	5 1.0	4 29.9	4 50.1	5 11.1	4 22.3	0 48.8
4 59.3	4 56.5	4 55.0	4 57.5	5 14.7	5 30.3	5 16.0	4 49.5	4 42.9	4 47.2	4 57.2	5 32.1	4 40.8	0 51.3
5 3.4	5 3.6	5 7.7	5 26.7	5 15.9	5 0.2	4 59.0	4 45.8	4 57.1	4 48.1	4 55.7	5 28.2	4 34.1	0 54.1
5 8.5	4 55.2	5 5.5	4 43.5	5 8.8	5 13.7	4 58.0	4 46.3	4 43.4	5 0.9	4 55.4	5 17.2	4 9.4	1 7.8
4 59.6	4 57.1	4 54.6	4 50.1	4 55.6	5 2.0	5 0.5	5 13.9	5 1.0	4 48.3	4 53.6	5 20.3	4 18.3	1 2.0
4 57.3	5 1.1	4 54.4	4 56.6	4 55.3	4 55.0	4 54.2z	4 57.4z	4 55.5	4 54.9	4 54.3	5 5.5	4 32.1	0 33.4
5 2.8	4 45.1	4 59.6	5 18.1	5 13.2	4 57.8	4 53.6	4 55.6	4 53.4	4 49.6	4 57.5	5 18.2	4 44.1	0 34.1
5 20.8	5 8.4	5 6.4	4 50.1	4 55.4	4 58.9	4 55.9	4 57.3	4 53.6	4 57.0	4 54.2	6 6.9	3 40.9	2 26.0
4 59.0	5 0.7	5 5.0	5 10.0	5 19.5	5 6.4z	5 49.6	5 21.8	5 13.6	4 21.6	4 59.8	6 3.2	4 8.1	1 55.1
5 3.6	4 59.3	4 58.5	5 5.7	5 11.0	5 6.9	5 8.0	4 45.7	4 43.4	4 50.7	4 54.8	5 12.4	3 54.5	1 17.9
4 56.7	4 55.5	4 55.5	4 55.6	4 48.8	4 58.2	4 34.1	5 4.8	4 54.2	4 46.8	4 51.0	5 7.1	3 50.0	1 11.1
5 3.4	5 6.2	4 55.9	4 56.6	4 54.6	4 54.8	4 52.6	4 52.7	4 50.6	4 53.8	4 55.0	5 8.9	4 40.4	0 22.5
5 0.1	4 57.9	4 57.1	4 58.3z	4 58.9	4 58.9	4 55.4	4 55.9	4 55.9	4 53.4	4 55.9	5 4.3	4 51.6	0 13.2
5 0.5	4 59.7	4 58.7	4 58.8	4 58.2	4 54.6	4 54.4z	4 54.8z	4 56.3z	4 47.9	4 55.5	5 2.3	4 46.6	0 15.7
6 6.0	5 16.3	5 5.5	5 23.2	5 44.3	5 56.6	5 30.8	4 52.6	4 43.7	4 59.7	5 1.1	7 26.8	4 24.6	3 2.2
5 8.0	5 0.7	4 55.4	4 59.3	5 2.4	5 2.6	5 0.5	4 54.9	4 56.4	4 53.3	4 51.6	5 4.1	4 21.3	0 42.8
5 2.0	5 6.1	4 58.4	4 58.9	5 6.6	5 6.4	4 51.4	4 56.9	4 56.3	5 0.6	4 52.1	5 26.5	3 54.2	1 32.3
4 59.6	4 55.6	4 56.5	5 7.0	5 16.5	4 51.5	5 8.1	5 11.5z	4 55.9	4 52.4	4 51.5	5 17.9	4 12.2	1 5.7
4 55.5	5 0.0	4 55.8	4 57.2	5 1.9	5 3.6	5 9.1	4 49.1z	5 0.4	4 45.8	4 52.6	5 10.3	4 29.8	0 40.5
4 56.8	4 57.4	4 53.2	4 57.5	4 56.8	5 9.6	5 9.9	5 5.2	4 47.7	4 48.2	4 52.4	5 14.4	4 27.0	0 47.4
5 26.5	4 41.7	5 25.5	5 10.6	5 18.1	5 33.6	5 17.9	5 0.2	4 44.0	4 45.8	4 58.8	5 47.1	4 10.9	1 36.2
4 54.4	5 2.7	5 15.6	5 3.8	5 54.9z	5 10.1	5 20.7	5 3.2	4 46.2	4 30.9	4 55.1	6 1.7	4 19.0	1 42.7
4 50.3	4 59.3	4 57.3	5 8.5	4 50.4	4 53.9	5 1.7	4 59.9	4 53.3	4 45.7	4 53.4	5 5.9	4 26.5	0 39.4
4 55.7z	4 54.8z	4 53.0z	4 55.6z	4 56.3z	4 55.8z	4 28.8	5 33.5z	4 55.3	4 48.4	4 53.7	5 40.5	4 23.5	1 17.0
5 4.3	5 3.1	5 5.2	5 6.9	5 13.3	5 9.2	5 6.1	5 1.8	4 52.7	4 49.0	4 55.3	5 33.4	4 18.6	1 14.8

λ = — 0^h 33^m 52^s 5.

November 1882.

4° 51' 1	4° 58' 1	4° 56' 2	5° 8' 8	5° 9' 0	5° 15' 4	5° 9' 6	5° 4' 0	4° 58' 6	4° 46' 5	4° 56' 1	5° 24' 5	4° 31' 7	0° 52' 8
4 56.6	4 55.4	5 3.5	4 57.7	4 56.7	5 34.7	5 12.4	4 53.6	4 59.6	4 44.2	4 56.5	5 36.3	4 35.6	1 0.7
4 55.3	4 55.2	4 54.7	4 54.1	4 55.2	4 55.9	4 54.3	4 52.2	5 2.6	4 50.1z	4 51.1	5 12.9	4 14.7	0 58.2
4 55.5	4 58.0	4 55.4	4 54.6	4 53.4	4 54.5	4 53.8	4 53.4	4 53.3	4 54.8	4 56.2	5 40.3	4 48.4	0 51.9
4 56.9	4 55.5	4 55.0	4 57.9	5 4.9	5 47.2	5 3.9	5 24.7	4 50.3	5 2.5	4 59.0	5 52.7	4 47.6	1 5.1
5 0.1	4 58.3	5 8.0	5 15.8	5 5.1	5 3.3	4 55.8	4 54.9	4 54.8	5 10.1	4 55.5	5 24.6	4 1.0	1 23.6
5 17.4	5 30.3	5 9.3z	5 5.8	5 1.1	5 10.0	4 56.2	4 48.0	5 0.2	4 32.0	4 58.9	5 31.9	4 28.9	1 3.0
4 54.5	4 56.2	4 54.0	5 16.0z	4 51.3	5 11.7	5 1.2	5 5.2	4 49.1	4 53.6	4 56.1	5 24.8	4 32.4	0 52.4
5 4.0	4 52.6	5 8.3	5 32.8	5 18.9	5 17.8	5 1.0	4 53.3	3 57.7	4 45.0	4 54.8	5 33.7	3 27.5	2 6.2
4 53.8	4 56.3	4 56.8	4 55.2	4 54.4	4 54.5	4 59.0	4 49.1z	4 44.6	4 49.5	4 54.3	4 59.9	4 43.8	1 16.1
4 57.8	4 56.6	5 2.8	4 59.1	5 1.8	5 6.3	4 43.8	5 8.1	5 0.6	4 56.4	4 56.5	5 11.3	4 33.4	0 37.9
5 24.4	5 45.0	5 49.1	5 28.0	5 26.4	5 33.1	5 12.9	4 50.5	4 41.0	4 22.6	4 55.5	6 4.4	4 8.0	0 56.4
5 15.2	10 33.2z	6 33.1	5 43.0	5 40.4	4 42.4z	4 38.7	5 16.0	3 24.6	4 47.8	5 2.3	10 52.2	3 7.1	7 45.1
5 18.9	5 32.7	6 3.8	6 5.4	5 57.4	5 16.5	3 59.0	5 15.0	5 59.6	5 26.4	5 1.8	6 20.8	3 40.5	2 40.3
5 1.2	4 50.1	5 17.5	4 32.6	4 59.3	4 55.5z	4 43.3	4 30.9	4 47.4	5 4.4	4 52.3	6 5.9	3 30.2	2 35.7
4 59.6	4 56.6	5 0.7	5 0.7	4 56.9	4 58.1	6 1.1	4 46.6	5 31.9	4 7.9	4 53.0	6 6.9	3 35.3	2 31.6
5 59.7	3 16.5	6 19.6	7 16.8	6 22.6	5 49.6	5 31.2	6 7.6	5 1.9	2 57.2	4 45.7	7 38.6	0 8.7	7 34.9
6 13.5	5 19.0	5 24.5	4 43.3	2 18.6	4 58.5	5 42.5	4 29.0	4 24.3	5 44.2	4 30.6	6 22.0	1 57.2	4 24.8
5 46.4	5 37.7	5 41.6	6 33.8	4 46.9	4 56.1	4 39.7	4 26.7	4 51.4	4 41.5	4 56.0	6 41.9	2 25.8	4 16.1
5 9.9	5 17.0	5 34.2	5 54.4	6 29.2	5 31.2	4 46.9	5 24.3z	5 3.6	4 37.6	4 34.9	6 34.8	2 27.0	4 4.8
4 53.7	5 55.9	6 7.7	7 49.5z	6 17.6	5 54.3	5 4.4	4 17.9	4 57.5	4 59.7	5 12.8	8 8.7	4 9.7	3 59.0
4 53.5	4 52.7	4 51.3	4 48.1	4 53.8	4 49.2	5 11.0	4 57.0	4 44.8	4 52.0	4 51.0	5 15.2	4 34.4	0 40.8
4 47.0	4 50.7	4 57.1	4 57.2	5 8.3	5 2.3	5 4.6	4 48.5	4 48.2	4 51.4	4 53.0	5 17.0	4 34.3	0 42.7
4 59.9	4 46.4	5 4.0	5 20.3	5 21.6	5 38.5	5 57.8	5 6.2	4 59.6	5 8.5	4 57.9	6 9.9	4 18.4	1 51.5
4 49.1	4 37.1	5 28.9	5 50.6	5 38.3	5 35.6	5 26.5	4 18.6	5 21.1	4 10.2	4 53.2	5 52.3	3 52.5	1 59.8
5 13.0	4 52.9	4 49.8	4 55.0	5 13.1	5 21.8z	5 43.8	4 55.2	5 14.3	4 36.3	4 54.7	5 52.1	4 27.2	1 24.9
4 56.3	4 52.7	4 51.5	4 52.6	5 0.7	5 17.8z	5 17.6	4 48.9	5 21.9	4 49.9	4 53.6	5 39.9	4 35.2	1 4.7
4 54.6	4 50.6	4 48.6	4 41.9	4 50.3	4 51.4	4 49.7	5 6.5	4 51.0	4 46.7	4 51.8	5 8.0	4 35.1	0 32.9
4 56.4	4 55.9	4 53.8	4 53.0	4 53.6	4 54.6	4 53.2	4 52.4	4 48.3	4 45.2	4 49.2	4 58.3	4 4.1	1 54.2
5 0.8	4 59.3	5 0.9	5 4.3	5 2.8	5 5.6	5 5.8	5 17.6	4 58.1	4 46.2	4 57.3	5 23.7	4 40.2	0 43.5
5 6.5	5 11.2	5 15.7	5 21.0	5 9.0	5 12.8	5 5.3	4 56.7	4 54.1	4 46.2	4 54.1	6 0.8	3 55.0	2 5.8

Correction M. O. Z. — 13^m6.

Unifilar.

December 1882.

3	4	5	6	7	8	9	10	11	12	Tages- mittel	Höchste Lesung	Niederste Lesung	Differenz
4°53'4	4°57'9	4°55'2	4°58'3	4°55'0	4°56'8	5°18'6	5°15'0	5°16'3	4°51'1	4°54'7	5°39'6	4°15'5	1°24'1
4°56'3	4°57'1	4°57'8	4°52'9	4°50'5	4°51'9	4°52'5	4°51'1	4°51'9	4°52'9	4°53'4	4°59'5	4°46'0	0°13'5
4°54'4	4°54'1	4°49'9	5°5'6	4°47'0	5°31'3	5°3'9	4°49'0	4°50'2	4°57'7	4°53'5	5°39'0	4°32'8	1°6'2
5°1'1	5°9'3	5°4'9	5°15'8	5°20'7	5°18'9	5°13'2	5°18'2	5°50'1	4°48'7	5°3'2	6°11'3	4°41'0	1°30'3
4°55'8	4°52'5	4°53'9	4°53'8	4°54'3	4°59'8	4°54'8	5°11'8	4°58'3	4°42'4	4°53'6	5°17'5	4°38'7	0°38'8
4°53'8	4°53'4z	4°53'5	4°50'7	4°59'7	4°15'9	4°47'0	4°53'8	5°10'2	4°53'5	4°52'1	5°12'1	4°1'5	1°10'6
4°51'5	4°52'6	5°0'3	5°1'5	4°47'9	5°20'0	5°19'9	4°58'8	4°52'8	4°51'0	4°54'9	5°38'7	4°44'8	0°53'9
4°53'3z	4°54'5z	4°54'2z	4°54'1z	4°52'8z	4°51'9z	4°51'3z	4°52'4z	4°52'7z	4°52'5z	4°52'9	4°56'9	4°49'7	1°7'2
5°0'7	4°54'8	4°44'4	5°12'2	4°58'7	4°53'8	4°56'1	5°35'4	4°59'0	4°54'0	4°54'9	5°37'0	4°36'9	1°0'1
4°53'6z	4°54'2z	4°53'9	4°54'6	4°53'1	4°52'9z	4°52'1z	4°54'3z	4°49'7	4°53'6z	4°51'5	4°57'0	4°33'3	0°23'7
4°52'5	5°0'4	4°49'5	5°0'0	5°14'7	5°10'0	5°4'0	4°39'5	4°31'7	4°41'0	4°52'9	5°15'3	4°29'0	0°46'3
4°51'9	4°48'0	5°4'0	4°52'2	4°49'5	4°54'0	4°58'7z	4°58'7	4°55'0z	4°56'6	4°53'8	5°4'7	4°40'9	0°23'8
4°54'4	4°54'3	4°49'9	4°53'3z	4°55'3	4°52'6	4°56'6	5°13'2	5°2'1	4°52'0	4°53'3	5°18'6	4°30'3	0°42'3
4°54'1	4°53'8z	4°52'5	4°54'8	4°52'3	4°47'6	5°1'8	4°55'8	4°50'1	4°55'9	4°54'2	5°2'1	4°46'0	0°16'1
4°58'7	4°59'3z	4°57'6z	4°54'6z	5°4'5	5°18'7	5°11'7	5°4'6	4°49'5	4°20'5	4°54'8	5°52'8	3°58'4	1°54'4
4°51'3	4°45'5	5°1'7	4°53'9	5°7'8	5°35'2	4°40'7	5°6'1	5°18'2	4°48'7	4°43'7	5°38'6	3°49'8	1°48'8
4°55'5	4°55'7	4°54'4	4°52'8	4°53'0	4°52'3	4°57'1	4°29'8	5°7'0	4°50'4	4°53'8	5°7'9	4°9'0	0°58'9
4°54'5	4°54'5	4°53'5	4°53'0	4°53'0	4°51'5	4°59'0	5°9'9	5°7'2	4°40'9	4°54'5	5°30'9	4°30'4	1°0'5
4°54'4z	4°53'6z	4°53'3	4°53'1	4°59'1	4°58'9	4°59'8	4°52'2	4°52'2	4°44'4	4°50'7	5°39'9	4°16'5	1°23'4
4°52'0	5°44'2	5°25'7	6°19'1	5°40'9	4°58'4	4°53'1	4°57'2	5°35'6	1°50'7	4°56'3	6°28'8	0°47'8	5°41'5
5°5'5	4°59'6	5°5'6	5°6'7	5°21'8	5°24'7	5°16'7	4°50'5	5°12'7	4°44'9	4°44'2	5°43'9	3°3'3	2°40'6
4°52'9	4°49'5	4°54'8	4°53'0	5°3'7	4°22'3	5°12'6	5°6'8	4°59'6	4°46'6	4°49'8	5°14'1	4°16'1	0°58'0
4°59'5	5°0'8	4°54'6	5°6'4	4°44'5	5°51'4	5°7'4	4°58'5	4°50'7	4°52'8	4°56'3	6°11'5	4°32'2	1°39'3
4°59'2	5°0'3	4°52'1	4°30'5	4°40'7	4°53'9	4°59'7	4°53'0	4°52'7	4°50'9	4°52'9	5°3'4	4°25'7	0°37'7
4°49'5	4°54'6	4°52'7	4°58'6	4°31'3	4°55'9	4°55'2	4°55'3	4°50'2	4°52'4	4°51'0	5°4'9	4°28'9	0°36'0
4°57'7	4°51'5	4°53'1	5°1'1	5°3'4	5°0'7	5°35'4	5°21'3	4°54'2	5°1'8	4°58'0	5°46'9	4°49'5	0°57'4
4°56'7	4°55'0	4°54'9	4°53'1	4°56'1	4°58'5	5°4'4	4°52'1	4°54'6	4°50'7	4°53'5	5°6'2	4°43'9	0°22'3
4°59'9	4°56'4	4°54'0	4°53'3	4°53'1	4°53'7	4°54'5	4°55'2	4°51'9	5°8'8	4°51'5	5°6'9	3°52'9	1°14'0
4°53'2	5°9'7	4°49'4	5°10'1	5°17'1	4°51'4	5°15'6	5°15'9	5°1'9	5°8'4	4°57'2	5°23'3	4°11'0	1°12'3
4°55'9	4°57'6	5°11'9	5°12'8	5°11'6	4°53'3	4°46'0	5°8'0	4°53'2	4°59'1	4°55'5	5°13'5	4°24'5	0°49'0
4°54'0	4°48'8	4°58'2	5°8'6	4°25'5	5°3'3	5°59'8	4°49'9	4°59'0	5°10'2	4°56'3	6°7'4	3°43'0	2°23'8
4°55'4	4°57'2	4°56'5	5°0'7	4°58'0	5°0'7	5°3'9	5°0'5	5°0'0	4°46'2	4°53'5	5°35'4	4°20'6	1°14'8

λ = — 0^h33^m52^s.5.

Jänner 1883.

5°0'1	4°56'5	4°54'5	4°54'0	4°56'5	4°34'3	4°50'2	5°0'0	4°51'1	4°53'7	4°50'9	5°11'5	4°17'9	0°53'6
4°54'0	4°53'9	5°1'6	4°29'9	4°48'3	5°0'0	4°52'9	4°58'3	4°44'9	4°49'2	4°52'0	5°11'3	4°10'8	1°0'5
4°51'4	4°54'2	4°54'8	4°54'0	4°53'9	4°52'8	4°57'4	4°55'8	4°53'4	4°52'5	4°54'2	4°59'6	4°49'4	0°10'2
4°53'4	4°53'7	4°54'6	4°53'3	4°53'1	4°58'3	4°57'8	5°12'7	4°47'1	4°53'8	4°54'9	5°15'0	4°45'0	0°30'0
4°56'3	4°55'6	4°56'2	4°54'2	4°59'2	5°9'9	5°18'9	5°2'8	5°30'7	4°59'8	4°55'0	5°33'0	4°26'6	1°6'4
4°52'4	5°15'7	5°10'9	4°54'1	5°2'4	5°16'6	5°17'7	5°13'9	4°54'0	4°51'6	4°56'2	5°22'4	4°31'4	0°51'0
4°50'4	5°0'8	5°1'7	4°41'1	5°14'8	5°24'8	4°59'6	5°0'4	4°58'1	5°31'3	4°57'4	5°35'4	4°37'1	0°58'3
4°56'4	5°1'4	4°58'4	4°9'5	4°43'2	5°2'5	4°35'9	4°48'0	5°1'7	4°58'5	4°50'7	5°9'9	3°58'9	1°11'0
4°56'0	4°52'2	4°53'6	5°1'5	4°51'7	4°50'9	4°50'4	4°43'6	4°50'6	4°54'5	4°50'7	5°2'9	4°34'0	0°28'9
4°52'4	4°52'6	4°52'4	4°53'3	4°54'2	4°57'4	5°19'6	4°57'0	4°54'1	4°49'1	4°53'8	5°20'7	4°43'9	0°36'8
4°53'0	4°52'5	4°52'8	4°51'7	4°51'8	4°51'8	4°51'0	4°51'6	4°52'2	4°52'7	4°50'1	4°50'2	4°23'7	0°32'5
4°54'7	4°56'9	4°56'5	4°55'1	5°10'3	4°54'6	5°0'9	4°59'0	4°51'9	4°54'8	4°54'9	5°13'0	4°46'9	0°26'1
4°55'1	4°56'8	4°56'2	4°52'2	4°50'9	4°51'8	4°51'2	4°52'7	4°50'4	5°9'2	4°54'5	5°15'3	4°50'8	0°24'5
4°54'1	4°55'7	4°53'7	5°0'4	4°59'2	4°54'1	4°54'7	4°52'5	4°55'0	4°51'1	4°54'7	5°2'4	4°42'7	0°19'7
4°58'0	5°0'6	4°53'4	5°1'5	5°23'5	5°15'0	5°1'9	5°6'8	4°51'1z	4°53'1	4°57'0	5°44'6	4°24'8	1°19'8
4°56'2	4°54'0	4°52'4	4°56'5	4°57'4	4°58'0	4°55'3	4°59'1	4°54'5	4°51'6	4°54'0	4°59'7	4°43'1	0°16'6
4°57'7	4°34'8	4°51'2	4°55'5	4°53'1	4°56'8	4°54'2	4°54'9	4°58'4	4°45'6	4°51'8	5°6'1	4°33'0	0°33'1
4°55'9	4°55'9	4°54'4	5°3'5	4°40'8	4°52'8	5°2'8	4°48'7	4°50'5	5°8'8	4°52'5	5°15'9	4°26'2	0°49'7
4°50'9	4°49'4	4°49'5	4°57'0	4°54'8	4°58'6	4°55'6	4°57'0	5°6'4	5°1'8	4°53'3	5°8'3	4°37'0	0°31'3
4°57'2	5°2'8	4°53'6	4°58'4	6°3'9	5°11'1	5°20'6	5°5'3	4°53'0	5°6'8	4°56'8	6°12'0	4°25'1	1°46'9
5°4'0	5°1'6	4°57'4	5°6'0	5°4'4	5°5'8	4°55'0	5°8'8	5°5'6	4°51'0	4°55'8	5°20'4	4°38'4	0°42'0
4°54'6	5°3'5	4°54'5	4°53'7	4°59'6	5°4'2	4°54'2	4°36'5	4°39'5	4°40'9	4°53'8	5°5'6	4°35'4	0°30'2
4°56'8	4°52'9	4°56'6	4°52'9	4°52'3	4°53'2	4°52'3	4°57'6	4°54'4	4°52'2	4°53'6	4°59'9	4°39'0	1°20'9
4°58'9	4°57'0	5°2'5	5°9'4	5°16'4	5°2'7	5°14'9	5°12'5	4°51'0	4°48'7	4°57'0	5°17'4	4°47'3	0°30'1
4°48'5	5°13'4	5°7'9	5°24'7	5°24'2	5°25'5	5°0'3	4°58'2	4°54'7	4°53'4	4°58'1	6°9'9	4°39'3	1°30'6
4°51'4	5°2'1	5°21'1	4°48'7	5°28'1	4°41'1	5°6'5	5°13'7	4°30'8	5°4'3	4°53'5	5°29'9	2°58'7	2°31'2
4°48'6	5°3'9	4°58'8	5°11'5	5°21'6	4°48'9	4°54'4	4°58'8	5°41'4	5°20'4	4°57'5	5°42'4	4°23'9	1°18'5
4°55'9	4°54'9	4°56'1	5°5'2	4°27'9	4°49'9	5°9'6	4°53'3	4°47'2	4°44'6	4°50'6	5°16'6	4°21'8	0°54'8
4°58'0	4°55'1	4°56'8	4°55'1	5°1'4	5°8'0	4°52'6	4°55'2	4°55'4	4°54'7	4°53'6	5°3'5	4°38'4	0°25'1
4°59'7	4°56'3	4°53'3	4°53'8	4°52'1	4°54'3	4°59'9	5°0'6	4°57'7	4°45'7	4°54'7	5°1'4	4°44'2	0°17'2
5°0'2	4°57'4	5°2'0	5°13'0	5°14'7	5°10'5	5°9'9	6°5'8	4°56'0	4°49'6	4°56'6	6°19'4	4°37'8	1°41'6
4°55'2	4°57'2	4°57'4	4°55'8	5°2'1	4°59'7	4°59'9	5°0'7	4°55'8	4°56'2	4°54'3	5°25'9	4°39'7	0°46'2

Declination.

Februar 1883.

25° + West.

Jan Mayen.

Datum	1	2	3	4	5	6	7	8	9	10	11	Mittag	1	2
1.	5° 5'9	4°47'2	4°51'1	4°42'8	4°54'2	4°48'9	4°51'0	4°50'4	4°52'9	4°55'5	4°56'0	5° 2'4	4°59'5	4°58'0
2.	4 43'9	8 48'9	4 11'2	4 50'5	4 31'3	4 57'9	4 52'0	4 56'4	4 53'1	4 44'0	4 55'0†	4 56'3‡	5 6'2	5 14'7
3.	4 39'6	4 45'2	4 49'5	4 45'9	4 32'3	4 17'5	4 18'0	4 50'9	4 54'1	4 45'4	4 52'8	5 9'4	4 54'9	5 6'9
4.	5 4'7	4 44'0	4 38'6	4 32'5	4 42'7	4 47'7	4 29'8	5 2'0	5 13'8	4 54'4	5 0'8	4 54'7	4 58'2	4 16'9
5.	4 50'9	4 43'2	4 38'5	4 34'8	4 25'5	4 36'3	4 43'8	4 46'9	4 50'2	4 49'1	4 54'9	4 54'7	4 56'6	4 57'6
6.	4 53'1	4 37'5	4 45'4	4 40'1	4 36'3	4 47'7	4 45'7	4 56'4‡	4 55'4z	4 51'9	4 54'5	4 55'1	4 58'1	4 57'7
7.	4 55'1	4 49'8	4 49'4	4 46'2	4 42'8	4 49'7	4 49'0†	4 53'7	4 49'5	4 53'2	4 50'0	4 58'3	4 55'6	4 56'1
8.	4 49'9	4 53'1	4 47'8	4 51'2	4 48'6	4 50'9	4 50'8	4 51'0	4 53'2	4 54'4	4 56'5	4 57'8z	4 59'8	4 57'2
9.	4 48'8	4 50'4	4 46'0	4 52'7	4 47'2	4 50'0	4 52'5	4 51'2	4 51'8	4 55'8	4 55'7	4 55'6z	4 57'7	4 54'3
10.	4 50'7	4 43'4	4 38'6	4 38'5	4 34'8	4 36'4	4 48'5	4 50'7	4 52'4	4 56'0	4 55'8	5 0'6	5 1'1	5 1'9
11.	4 52'7	4 53'2	4 52'9	4 52'3	4 52'3	4 52'2	4 52'9	4 50'9	4 58'9	4 57'1	4 55'9	4 57'6z	4 58'8	5 0'8
12.	4 52'7	4 53'3	4 51'3	4 51'3	4 51'8	4 51'1	4 51'5	4 52'5	4 52'9	4 54'4	4 54'6	4 58'2z	4 58'8	5 0'1
13.	4 50'1	4 51'3	4 52'3	4 52'2	4 51'6	4 51'4	4 51'4	4 51'1	4 51'3	4 52'8	4 55'3	4 57'6z	4 58'9	4 58'1
14.	4 48'7	4 50'4	4 47'9	4 48'6	4 48'9	4 50'6	4 49'7	4 53'8	4 58'9	4 55'9	4 56'4	4 59'3	5 3'7	4 57'8
15.	4 47'4↓	4 37'8z	4 49'0	4 52'2	4 53'7	4 51'2	4 59'1	4 53'6	4 53'7	4 53'2	4 55'3	4 55'4z	4 57'9	4 57'5
16.	4 54'2	4 45'8	4 38'8	4 38'6	4 49'4	4 56'5	4 53'4	4 53'1	4 56'4	4 54'9	4 55'7	4 55'8	4 58'6	5 2'4
17.	4 49'5	4 51'1	4 52'9	4 50'0	4 51'4	4 51'4	4 54'6	5 1'1	4 58'9	4 56'2	4 59'1	5 2'0	5 0'7	5 2'2
18.	4 48'8	4 50'2	4 51'9z	4 53'8	4 51'2	4 50'8	4 51'7	4 50'7	4 49'6	4 52'8	4 54'4	4 56'5	4 55'7	4 56'5
19.	4 51'3	4 52'8	4 48'4	4 38'3‡	4 22'7‡	4 36'9	4 57'2	4 50'6	4 52'0	4 53'2	4 55'1	4 55'4z	4 55'6	4 55'5
20.	4 26'2	4 42'2	4 40'4	4 49'7	4 49'2	4 47'9	4 54'5	4 56'9	4 59'4	4 59'9	4 58'0	4 39'7	4 55'6	4 50'1
21.	4 52'6	4 50'3	4 52'1	4 52'4	4 53'5	4 53'6	4 52'9	4 52'7	4 46'9	4 51'7	4 51'3	4 59'8	5 0'0	4 59'9
22.	4 40'5	4 37'1	4 40'4	4 31'8	4 31'6	4 52'0	4 56'1	4 49'5	4 55'1	4 57'8	4 52'5‡	4 55'5	4 51'9	5 2'8
23.	4 37'7	4 42'2	4 37'6	4 35'1	4 38'7	4 16'3‡	4 32'7	4 28'8	4 48'1	5 2'1	4 53'8	4 52'5‡	4 49'6‡	4 49'8
24.	4 51'9	4 34'8	4 43'0	4 38'1	4 24'8	4 51'6	4 48'9	4 53'5	4 52'6	4 55'2	4 53'5	5 1'1	5 0'0	4 45'2
25.	4 49'8	7 24'9	2 44'5	2 39'9	2 17'3‡	4 4'7	4 34'5	4 7'0	4 15'7	4 29'3	4 50'7	4 51'0	5 5'3	5 4'4
26.	4 42'9†	4 43'4	4 39'7	4 44'3	4 32'0	4 44'4	4 40'6	4 45'5	4 56'7	4 55'8	4 54'1	4 53'8	4 58'0	4 52'7
27.	4 35'0	4 54'3	4 38'2	4 44'8	4 37'5	4 52'3	4 53'6	4 53'2	4 51'9	4 51'1	4 55'6	4 57'4	4 59'5	4 58'0
28.	4 44'8	4 40'3	4 29'5	4 18'8	4 26'0	4 33'2	4 47'7	4 45'9‡	4 53'2	4 47'1‡	4 46'2	4 35'3‡	5 9'4‡	5 12'1
Mittel	4 48'2	4 49'9	4 39'5	4 39'2	4 36'4	4 44'7	4 47'8	4 50'0	4 52'8	4 52'9	4 54'8	4 56'0	4 58'8	4 59'5

März 1883.

φ = +70° 59' 48".

1.	4°19'3‡	4°37'4	4°29'6	4°25'9	4°13'3	4° 8'5	4°28'8	4°42'9	5° 2'8‡	4°56'7	4°36'5	4°38'4‡	5°19'1	5°10'8
2.	4 43'7	4 32'0	4 23'5‡	4 12'6	4 22'7	4 24'0	4 52'9	4 41'7‡	4 52'9‡	4 46'0‡	4 38'1	5 5'6‡	4 37'6	5 7'4
3.	4 46'5	4 52'6†	4 24'5	4 23'4‡	4 18'4‡	4 42'3	4 51'5	4 49'1	5 2'7	5 2'7	5 4'7	4 56'6	5 2'3	4 59'8
4.	4 35'5	4 41'1↓	4 47'3	4 34'2	4 36'9	4 43'3	4 54'3	5 1'7	4 51'5	4 59'6	4 57'0	4 57'7	5 3'3	4 59'4
5.	4 52'2	4 37'2	4 3'9	8 39'1	4 38'9	4 29'5	4 48'9	4 46'8	4 54'4	4 55'2	4 44'5	4 56'3‡	4 57'2	4 55'2
6.	4 47'5	4 50'1	4 50'6	4 45'1	4 46'1	4 49'4	4 50'7	4 49'8	4 51'4	4 54'1	4 55'5	4 59'0z	5 0'0	5 1'9
7.	5 8'4	4 55'9	4 33'5	4 35'8	4 32'3	8 45'5†	4 24'1	4 47'6	4 38'9	4 56'9	4 58'9	4 55'1	5 6'9	5 5'9
8.	4 22'3	4 45'1	4 15'7	4 33'8	4 50'2	4 14'2	4 39'8	4 43'9	4 48'9	4 51'0	4 54'3	4 53'1	4 59'2	4 57'1
9.	4 44'9	4 18'3	4 14'0	4 6'8	4 7'7	4 35'9	4 51'8	4 56'2	4 51'1	4 45'9	4 46'1	5 0'4‡	5 3'1	5 3'5
10.	4 48'6	4 48'5	4 47'8	4 39'2	4 43'2	4 47'9	4 45'9	4 50'1	4 53'3	4 59'2	5 3'9	5 3'2	5 5'5	5 2'9
11.	4 45'6	4 47'4	4 48'5	4 45'1	4 50'8	4 49'4	4 53'8	4 51'1	4 56'9	4 57'9	5 0'0	4 58'7z	5 1'2	4 59'6
12.	4 51'2z	4 50'6z	4 50'1z	4 51'4z	4 51'0z	4 50'7z	4 51'1z	4 49'3z	4 51'1z	4 56'0z	4 58'4	4 59'6	5 6'3	4 53'4
13.	4 39'6	4 46'1	4 46'3	4 38'5	4 16'8	4 16'7	4 31'2	4 32'4	4 39'0‡	5 6'1	4 45'1	4 54'2‡	5 0'8	4 59'0
14.	4 49'3	4 50'8	4 44'3	4 39'1	4 41'5	4 46'3	4 40'6	4 51'3	5 12'0	4 57'7‡	4 57'2	4 56'1z	4 59'8	5 3'6
15.	4 49'7	4 50'0	4 44'8z	4 44'0	4 40'4↓	4 50'5	4 56'1	4 52'6	4 55'2	4 57'9	4 56'1	4 56'1	4 57'6	4 57'8
16.	4 49'2	4 49'5	4 49'2	4 45'7	4 47'7	4 40'6	4 48'7	4 50'3	4 58'0	4 51'9	4 53'7	4 59'2	5 2'5	5 0'8
17.	4 41'1	4 49'0	4 43'7	4 47'6	4 49'0	4 45'2	4 47'4	4 46'0	4 50'7	4 53'4	4 56'9	4 58'7	4 59'8	4 58'5
18.	4 43'0	4 45'1	4 47'5	4 45'5	4 44'1	4 47'9	4 45'9	4 47'0	4 50'7	4 48'2	4 54'9	4 56'7	4 58'8	4 57'8
19.	4 49'3	4 48'0	4 50'4	4 49'7	4 47'5	4 48'3	4 48'3	4 49'3	4 46'7	4 53'1	4 57'4	5 0'0	5 1'5	5 1'2
20.	4 50'6	4 50'1	4 45'5	4 49'9	4 46'0	4 49'0z	4 48'4z	4 48'2z	4 49'4z	4 51'4z	4 54'8z	4 58'6z	5 1'1z	5 1'0z
21.	4 48'6	4 47'4	4 37'9	4 26'7†	4 39'3	4 17'7	4 38'4	4 42'4	4 50'4	4 43'0	4 55'9	5 2'0	5 11'0	5 2'8
22.	4 49'6†	4 20'3	8 30'5†	4 9'8↓	4 27'6	4 31'0	4 16'5↓	4 48'9	4 40'0	4 44'2	4 49'9↓	4 51'7†	4 47'3	5 0'6
23.	4 36'7	4 20'7	4 30'5	4 33'6	4 26'3†	4 24'7	4 40'5‡	4 51'6†	4 52'6	4 58'1	4 54'5	4 59'6	4 56'0	4 49'9
24.	4 33'3z	4 33'1‡	4 36'7z	4 32'6	4 27'3	4 41'1	4 48'6	4 55'6	4 52'4	4 50'4	4 55'0	4 59'7z	5 3'7	5 2'7
25.	4 47'2	4 42'2	4 32'6	4 20'6†	4 37'2	4 46'1z	4 42'8z	4 50'6	4 47'4	4 55'7	4 55'1z	5 0'3z	5 2'1	5 0'0
26.	4 47'3	4 43'4	4 43'2	4 23'0	4 42'7	4 33'3	4 37'2	4 51'9	4 56'9	4 49'1	4 50'9	4 54'4	4 41'9†	4 55'6
27.	4 42'3	4 23'9	4 17'9	8 50'5†	4 40'8	4 48'4	4 25'0	4 20'0	3 58'8‡	4 35'7†	4 52'0	4 40'5‡	4 57'3	5 16'8
28.	4 45'2	4 42'4	4 34'3	4 27'8	8 55'6	4 20'7	4 18'4↓	4 39'4	4 46'8	4 53'2	4 45'7	4 55'7†	4 57'8	5 4'0‡
29.	4 49'9	4 23'6	4 22'9	4 16'6	8 47'5‡	4 28'8‡	4 30'5‡	4 48'4	4 55'8	4 41'1	4 40'5	4 53'7	4 57'1	5 7'7
30.	4 28'0	4 25'0†	4 0'8‡	4 48'1	4 49'8	5 4'3	4 44'5	4 46'3	4 48'6	4 52'8	4 48'1‡	4 54'9	5 0'7	5 1'0
31.	4 53'1	4 30'5	4 80'1‡	4 41'6z	4 43'6	4 42'6	4 46'1‡	4 43'8	4 45'8	4 48'6	4 54'4	4 57'3z	4 57'6	5 1'5
Mittel	4 44'5	4 41'1	4 32'5	4 31'1	4 34'1	4 36'1	4 42'2	4 47'3	4 50'1	4 52'7	4 52'8	4 56'6	4 59'9	5 1'3

Correction M. O. Z. — 13^m6.

Unifilar.

Declination.
Februar 1883.

3	4	5	6	7	8	9	10	11	12	Tages- mittel	Höchste Lesung	Niederste Lesung	Differenz
5° 9'5	5° 7'7	5° 23'5	5° 45'8	5° 16'3	5° 29'4	5° 51'5	5° 25'5	5° 9'5	4° 42'4	5° 4'9	6° 1'4	4° 24'7	1° 36'7
5 0'1	5 10'9	5 10'7	5 40'5	5 5'3	5 15'8	5 26'4	5 8'8	5 10'8	4 44'3	4 56'5	5 59'3	3 47'4	2 11'9
4 53'3	4 59'7	5 13'9	4 35'7	5 29'4	4 49'5	4 38'2	4 52'0	4 46'9	4 59'5	4 49'8	5 38'5	4 11'8	1 26'7
5 16'8	4 54'3	3 46'6	5 21'3	5 23'7	5 21'3	5 22'3	5 18'8	4 58'9	5 0'6	4 55'2	5 42'9	3 40'6	2 2'3
4 57'2	5 7'5	4 53'0	4 44'8	4 54'6	4 53'5	5 3'1	5 20'5	4 57'1	4 51'5	4 51'1	5 32'9	4 23'9	1 9'0
5 2'4	5 14'6	4 22'0	5 28'7	4 55'8	5 16'7	5 41'2	4 49'2	4 53'2	4 51'9	4 55'4	6 2'2	4 9'0	1 53'2
4 55'0	4 54'7	4 55'7	5 0'4	4 55'7	5 1'1	5 1'0	5 12'8	4 53'3	5 4'5	4 54'9	5 19'5	4 41'2	0 38'3
4 58'4	4 55'0	4 53'1	4 54'5	4 51'1	5 3'0	5 6'3	4 56'6	4 59'5	4 54'2	4 54'7	5 20'0	4 47'0	0 33'0
4 54'3	4 55'2	4 53'9	5 0'9	5 1'6	5 12'8	4 59'3	5 11'5	4 55'0	4 53'8	4 55'1	5 13'1	4 41'4	0 31'7
5 2'8	4 53'2	4 54'0	4 56'2	4 54'9	4 54'9	5 3'2	4 54'6	4 49'6	4 51'3	4 51'8	5 5'9	4 34'1	0 31'8
4 59'8	4 56'1	4 54'2	4 54'3	4 53'0	4 52'2	4 52'8	4 51'8	4 51'5	4 53'2	4 54'5	5 2'9	4 49'6	0 13'3
4 57'2	4 54'6	4 53'3	4 54'4	4 52'4	4 51'6	4 51'4	4 52'4	4 52'0	4 50'3	4 53'5	5 0'2	4 49'5	0 10'7
4 57'9	4 55'4	4 50'1	4 57'3	4 54'9	4 54'0	4 57'2	4 58'0	4 58'1	4 40'4	4 54'0	4 59'0	4 36'8	0 22'2
4 58'7	5 6'3	5 19'6	5 3'5	4 54'0	4 58'5	5 1'1	5 10'6	4 43'9	4 54'8	4 56'5	5 22'1	4 27'3	0 54'8
4 56'8	4 53'9	4 53'5	4 52'4	4 53'7	4 56'9	4 52'4	4 51'8	4 48'6	4 39'6	4 52'4	5 0'2	4 33'5	0 26'7
4 51'4	4 59'2	4 55'8	4 56'2	4 57'9	4 58'4	5 0'7	4 50'9	4 52'8	4 51'5	4 53'7	5 2'5	4 37'2	0 25'3
5 2'2	4 58'6	5 4'2	4 45'8	4 59'1	5 9'4	4 59'2	5 13'4	5 0'9	4 48'7	4 57'6	5 25'7	4 42'4	0 43'3
4 57'2	4 51'0	4 56'8	4 53'8	5 0'5	5 10'4	5 24'1	5 7'3	4 55'6	4 51'4	4 55'7	5 32'5	4 42'5	0 50'0
4 53'7	4 52'9	4 54'4	4 55'2	4 54'7	4 55'3	4 54'9	4 52'5	4 58'7	4 52'5	4 51'2	5 0'3	4 9'4	0 50'9
4 51'7	4 59'1	4 53'3	4 53'5	4 58'6	4 57'6	4 56'9	4 50'5	4 49'2	4 55'2	4 51'5	5 1'1	4 17'1	0 44'0
4 57'4	4 54'2	4 53'8	4 53'4	4 55'1	5 9'3	4 49'2	5 3'7	5 1'4	5 17'5	4 56'0	5 22'2	4 39'9	0 42'3
4 51'9	5 43'1	6 6'1	7 17'7	5 51'9	5 20'4	5 14'9	5 5'3	4 52'9	4 45'8	5 6'0	8 27'0	4 29'4	3 57'6
4 56'3	5 3'5	5 8'9	4 52'9	5 1'3	5 18'7	5 1'3	5 19'5	4 52'5	4 44'1	4 50'1	5 25'3	4 9'7	1 15'6
4 57'6	5 21'3	4 54'5	4 58'4	5 21'1	5 50'4	6 25'0	4 58'8	4 51'6	4 21'9	5 0'6	6 27'0	4 15'6	2 11'4
5 3'2	5 0'3	4 54'9	4 57'8	4 56'1	4 55'9	4 55'6	4 52'6	4 48'5	4 51'5	4 36'5	7 37'0	2 8'2	5 28'8
5 5'9	5 1'9	5 13'2	5 48'6	5 18'5	5 8'4	5 17'9	5 13'8	4 58'0	4 52'4	4 57'6	5 56'5	4 31'2	1 25'3
5 15'1	5 5'4	5 37'6	6 30'6	5 58'0	5 24'6	5 19'6	5 4'9	4 52'9	4 17'4	5 2'9	6 34'9	3 57'3	2 37'6
5 5'5	4 53'8	5 10'4	5 40'7	5 50'6	4 49'6	4 53'7	6 11'2	5 31'3	5 0'1	4 58'0	6 19'0	4 8'2	2 10'8
4 59'6	5 1'6	5 0'3	5 12'0	5 7'1	5 6'4	5 8'6	5 5'7	4 56'2	4 50'1	4 54'9	5 41'5	4 20'2	1 21'3

λ = — 0^h 33^m 52^s.5.

März 1883.

5° 8'8	5° 15'9	5° 4'9	5° 33'6	5° 29'3	5° 30'6	4° 58'4	4° 31'9	5° 33'8	4° 50'2	4° 52'6	6° 5'5	0° 58'7	5° 6'8
5 38'5	5 11'0	5 50'4	5 38'2	5 11'4	5 32'5	5 9'6	5 5'2	4 37'0	5 0'1	4 55'6	5 54'9	4 11'7	1 43'2
4 46'7	4 55'6	5 3'9	4 39'8	4 59'2	5 0'4	4 51'8	5 16'4	5 6'4	4 34'4	4 51'1	5 26'3	3 46'3	1 40'0
5 0'4	4 53'7	5 3'3	5 0'0	4 40'1	5 9'1	5 0'1	5 29'8	5 1'1	4 51'7	4 54'7	5 47'8	4 29'6	1 18'2
5 0'6	4 54'7	4 51'5	4 54'0	4 47'9	4 54'7	4 57'4	4 50'1	4 48'7	4 46'8	4 45'2	5 2'1	3 32'7	1 29'4
4 56'4	5 6'5	5 5'5	5 8'8	5 32'8	4 49'6	5 21'3	5 0'4	5 5'2	5 30'8	4 59'5	5 40'6	4 43'5	0 57'1
5 1'1	5 11'3	5 5'4	5 2'5	4 53'4	4 52'3	4 49'9	4 57'2	4 52'8	4 53'8	4 50'2	5 14'7	3 29'3	1 45'4
4 59'0	4 42'3	4 53'4	5 0'8	5 11'3	5 20'4	4 44'6	5 3'3	4 40'6	4 40'7	4 48'0	5 21'1	4 7'7	1 13'4
4 59'7	5 8'0	5 8'9	5 18'9	5 15'0	5 0'4	4 53'3	4 51'9	4 53'2	4 52'5	4 49'5	5 19'7	4 4'6	1 15'1
4 56'5	5 1'8	4 58'7	5 8'0	5 11'9	5 14'8	5 6'1	5 21'7	4 56'5	4 41'0	4 57'3	5 34'5	4 38'5	0 56'0
5 2'6	5 4'9	4 53'7	4 52'9	4 54'8	4 57'4	4 54'1	4 52'7	4 54'9	4 51'3	4 54'4	5 7'9	4 44'6	0 23'3
4 54'6	4 53'0	5 0'3	5 12'7	5 3'3	5 0'9	4 52'8	4 50'5	4 52'8	4 49'2	4 55'0	5 13'1	4 48'2	0 24'9
4 55'3	4 51'9	4 53'1	4 52'3	4 55'0	4 55'9	4 58'9	4 55'6	4 51'8	4 53'0	4 47'3	5 8'4	4 11'9	0 56'5
5 1'5	5 1'3	4 53'3	4 58'7	5 4'4	4 47'7	5 4'1	4 54'3	4 47'0	4 48'7	4 53'8	5 14'1	4 35'6	0 38'5
4 58'0	4 56'0	4 53'5	4 48'0	4 50'8	4 54'1	4 51'4	4 53'0	4 50'1	4 48'9	4 52'2	5 3'0	4 32'1	0 30'9
4 54'8	4 57'3	4 51'9	4 56'7	5 2'1	5 9'1	4 56'2	4 59'6	4 54'7	4 48'5	4 54'1	5 11'4	4 39'2	0 32'2
4 55'8	4 56'9	4 52'8	4 55'0	4 54'8	4 56'9	4 57'9	4 37'1	4 51'4	4 46'5	4 51'3	5 11'4	4 14'6	0 56'8
4 59'6	4 57'0	4 54'5	4 58'8	4 54'5	5 1'7	5 3'0	5 6'7	4 48'6	4 49'3	4 52'6	5 7'6	4 40'5	0 27'1
4 59'3	4 56'8	4 53'9	4 52'3	4 51'2	4 54'2	4 55'5	4 53'3	4 51'6	4 51'0	4 52'9	5 1'8	4 45'6	0 16'2
4 59'1	4 56'7	4 54'4	4 53'1	4 55'0	4 54'4	4 57'1	4 54'0	4 50'2	4 33'3	4 52'1	5 1'6	4 21'7	0 39'9
5 20'6	5 30'8	4 58'5	4 13'9	5 46'8	5 41'3	5 22'5	5 5'9	4 11'2	4 48'6	4 56'8	5 51'4	4 5'7	1 45'7
5 0'4	5 19'5	5 16'1	4 12'0	5 4'0	5 16'7	5 6'7	4 59'2	4 51'0	4 44'0	4 44'1	5 21'9	3 9'4	2 12'5
5 3'7	4 56'0	4 56'0	5 8'7	5 5'0	4 52'2	5 3'4	4 30'5	5 4'8	4 51'7	4 49'3	5 11'9	4 23'0	0 48'9
4 59'7	4 59'4	4 59'9	4 53'5	4 55'4	4 58'5	5 0'1	5 6'0	5 1'7	4 37'0	4 50'6	5 32'0	4 25'5	1 6'5
4 58'4	4 58'8	5 2'3	5 18'1	5 7'4	5 9'6	5 1'3	4 58'2	4 49'5	4 47'8	4 52'8	5 16'4	4 17'6	0 58'8
5 5'4	5 3'5	5 3'3	5 2'3	5 17'7	5 24'3	4 5'6	5 17'3	4 33'5	5 6'3	4 51'3	5 31'5	3 56'0	1 35'5
5 12'0	4 59'2	6 18'6	5 44'2	5 28'8	5 50'3	5 43'2	4 55'3	4 43'0	4 48'8	4 53'7	6 15'8	3 40'5	2 35'3
4 35'2	5 33'6	5 7'1	5 48'8	5 18'8	5 41'6	5 19'6	5 14'9	4 30'9	4 49'3	4 52'6	6 1'1	3 49'5	2 11'6
4 58'6	4 38'6	5 22'5	5 13'7	5 9'2	5 15'8	5 18'8	5 26'7	4 52'1	4 34'7	4 49'0	5 31'6	3 38'8	1 52'8
4 56'6	4 44'4	4 55'3	4 57'2	4 51'8	5 7'7	4 44'8	4 58'3	4 49'4	4 49'2	4 48'6	5 7'9	3 58'5	1 9'4
5 3'4	4 55'5	5 3'1	5 1'9	5 0'7	5 2'7	5 9'7	4 57'6	4 46'7	4 43'2	4 51'7	5 12'6	4 26'4	0 46'2
5 0'7	5 1'0	5 4'0	5 4'1	5 5'3	5 8'3	5 0'6	4 59'9	4 51'0	4 49'3	4 51'9	5 24'6	4 6'7	1 17'9

Correction M. O. Z. — 13^m6.

Unifilar.

Declination.
April 1883.

3	4	5	6	7	8	9	10	11	12	Tagesmittel	Höchste Lesung	Niederste Lesung	Differenz
4°56'7	4°49'8z	4°56'5z	4°55'7z	4°54'4z	5° 2'8z	4°54'3z	4°47'0	4°51'8	4°50'7	4°49'3	5° 3'6	4°19'5	0°44'1
4 55'3	5 4'2	5 10'3	4 54'5	4 57'0	5 13'0	4 31'3	4 40'4	4 58'6	4 55'5z	4 52'6	5 14'3	4 3'5	1 10'8
4 47'3	6 33'4	5 38'6	5 17'1	5 17'3	5 6'9z	5 29'8	5 33'9	4 29'1	4 40'2	4 49'1	6 42'3	2 59'3	3 14'0
5 1'2	5 15'3	5 25'8z	7 21'6	5 34'2	6 15'3	5 4'1	4 55'0	4 21'9	4 49'3	4 55'8	7 55'7	4 3'0	3 52'7
5 7'5	4 49'9	4 56'5	5 4'1	5 45'8	5 30'0	5 34'9	3 14'6	5 5'5	4 47'6z	4 52'7	5 59'3	2 15'6	3 43'7
4 53'8z	4 56'0z	4 52'8	4 57'0z	5 14'3	5 21'6	4 44'4	4 53'9z	4 48'0z	4 51'6z	4 48'6	5 27'4	3 44'4	1 43'0
4 57'2z	4 54'7z	4 53'9z	4 53'5z	4 52'6z	4 52'7z	4 51'6z	4 51'6z	4 54'8z	4 48'2z	4 50'8	5 1'3	4 39'6	0 21'7
4 52'7	4 58'4	5 7'0	5 9'4z	5 29'2	5 15'4z	5 10'4z	5 6'7	4 58'0	4 45'9z	4 55'0	5 34'1	4 33'0	1 1'1
5 1'8	4 58'6z	4 58'3	4 53'4	5 14'7	4 57'9	4 59'2	4 50'5	4 50'1	4 48'3z	4 51'2	5 18'7	4 29'2	0 49'5
5 0'9	4 55'5	4 54'8z	4 55'7z	4 56'8z	4 57'6z	4 57'7z	5 3'1z	4 52'0	4 47'4	4 52'9	5 5'1	4 40'5	0 24'6
4 59'8z	4 56'0z	4 58'4	4 58'3z	5 5'8z	4 58'4	4 54'7	4 51'6z	4 54'2z	4 48'8z	4 51'4	5 6'4	4 23'5	0 42'9
4 56'1	5 0'8	5 0'4	5 0'7	5 1'9	5 5'3z	5 0'7z	4 45'7	4 53'8	4 51'6	4 53'1	5 5'6	4 36'8	0 28'8
5 1'7	5 1'2	5 2'5	5 5'2	5 28'9	4 57'5	4 54'8	4 54'0z	5 5'0	4 47'7	4 55'0	5 40'1	4 40'3	0 59'8
4 56'0z	4 55'3z	4 55'5z	4 52'8z	4 51'1z	4 53'7z	4 55'2z	4 51'1z	4 49'6z	4 49'1z	4 50'3	4 58'5	4 37'0	0 21'5
4 55'0	4 51'0	4 59'5z	5 2'5z	4 56'1z	4 57'8z	4 55'6z	4 55'2z	4 57'2	4 44'4	4 51'4	5 3'9	4 41'6	0 22'3
5 1'6	4 58'0	4 59'1z	4 56'4z	5 3'6z	5 17'5	5 1'1	4 59'2z	4 51'4z	4 48'5z	4 51'1	5 20'2	4 22'0	0 58'2
4 56'8z	4 57'6z	4 55'7z	4 56'6z	4 55'1z	4 57'8z	4 54'2z	4 52'0z	4 47'8z	4 48'9z	4 49'0	5 2'4	4 16'6	0 45'8
5 5'3	4 59'7	5 21'5z	5 12'5	5 8'0z	5 6'1z	5 10'1	4 51'4	4 50'6	4 55'3z	4 54'2	5 22'2	4 31'7	0 50'5
5 12'7	5 12'6z	5 8'9	5 22'2	5 32'8	5 36'8	5 43'7	5 10'6	5 15'3	5 5'6z	4 52'6	5 50'2	3 28'0	2 22'2
5 54'5	5 27'7	5 57'2	6 3'5	5 10'0	5 6'8	5 0'6	4 53'7	4 53'0z	4 48'5z	4 51'7	6 22'9	3 30'1	2 52'8
4 56'1z	4 57'1z	4 55'2	4 53'9	4 53'8z	4 54'3z	4 53'2z	4 53'7z	4 50'6z	4 48'4z	4 51'4	4 59'5	4 34'5	0 25'0
4 56'5	4 58'7	4 54'4z	4 55'3z	4 52'3z	4 53'6z	4 54'1	4 53'4z	4 50'6z	4 51'8z	4 52'2	5 1'0	4 41'9	0 19'1
4 57'4z	4 53'0z	4 55'5z	4 56'1z	4 54'2z	4 55'8z	4 51'9z	4 50'1z	4 49'4z	4 48'0z	4 51'0	5 1'4	4 41'6	0 19'8
5 1'0	5 3'9	5 11'5	5 34'9	5 22'2	6 0'8	5 31'5	5 2'3	4 55'1	4 2'1	4 57'5	6 5'7	3 55'6	2 10'1
4 55'1	5 19'8	5 7'1	5 45'4z	5 13'0	5 34'6	5 5'9	5 13'7	5 32'1	5 3'2	4 54'4	6 9'7	3 57'0	2 12'7
4 47'6	5 17'3	5 8'4	5 16'2	5 11'0	5 19'4	5 15'4z	4 39'0	5 10'5	4 41'7	4 49'9	5 22'3	3 43'1	1 39'2
5 1'2	4 56'2	5 1'8	5 3'6	5 5'3	5 14'5	5 7'5	4 55'1	4 54'5	4 47'3	4 47'4	5 16'7	3 43'9	1 32'8
4 57'3z	4 53'9z	5 3'6	5 14'5	5 3'5z	4 54'4	5 1'9	4 53'2z	4 51'1z	4 51'8z	4 51'1	5 17'4	4 24'2	0 53'2
4 54'7z	4 45'5z	5 3'1	4 59'2	5 5'0	5 12'0	5 3'2	5 0'2	5 11'1	4 47'8	4 51'9	5 18'6	4 34'4	0 44'2
5 0'2z	5 2'5	5 1'2z	5 23'8z	5 52'5	5 30'1	5 18'7	4 49'5	4 39'9	4 44'5z	4 55'3	6 8'6	4 37'6	1 31'0
5 0'0	5 3'5	5 5'2	5 11'9	5 10'1	5 12'0	5 3'7	4 52'8	4 55'3	4 48'2	4 52'0	5 31'8	4 11'6	1 20'2

λ = — 0^h33^m52^s.5.

Mat 1883.

5° 0'7	4°53'1	4°51'7	5°10'0	5°12'2	4°58'4	5°16'8	5°10'0	4°59'1	4°42'0z	4°51'7	5°23'2	4°19'5	1° 3'7
4 56'0	4 58'4	4 55'6	4 57'2	5 43'5	5 31'5	4 46'6	5 8'7	4 59'0	4 50'5	4 48'4	5 54'0	3 57'2	1 56'8
4 59'1z	4 59'3z	5 1'1	4 59'9z	5 10'0	5 14'1	5 6'4z	5 4'5	5 2'0	4 54'6	4 52'3	5 17'4	4 17'4	1 0'0
4 57'5	4 54'2	5 0'6	5 2'5	5 8'5	4 54'3	5 2'0	4 59'9z	4 50'4	4 49'4z	4 50'5	5 10'4	4 22'4	0 48'0
4 51'9z	4 58'3z	4 59'4	5 4'5	5 30'8	5 16'0	5 15'7	5 8'2	4 53'3	4 43'7	4 53'6	5 45'3	4 27'2	1 18'1
5 0'4	4 56'3	5 18'1	5 1'6	4 47'5	4 54'4z	4 58'4z	4 57'0z	4 48'2z	4 44'4z	4 48'2	5 19'2	4 21'1	0 58'1
4 56'1	4 59'1	4 58'1z	4 54'1z	4 54'9z	4 48'2z	4 59'8z	4 52'9z	4 50'5z	4 50'4z	4 51'8	5 0'4	4 31'7	0 28'7
4 53'2	4 47'4	4 57'1	5 3'6	4 58'0	5 5'1	4 55'4	5 8'1	4 55'3	4 45'3z	4 51'6	5 11'1	4 37'7	0 33'4
4 55'4z	4 53'7	4 49'0z	5 8'3	4 57'8	4 53'8z	4 57'6z	4 54'5z	4 52'0z	4 49'6z	4 51'7	5 8'3	4 40'1	0 28'2
4 55'4	4 57'6	4 55'5z	5 5'5	5 8'9	5 2'7	4 59'2	4 53'0z	4 47'0	4 44'5	4 52'5	5 10'9	4 36'1	0 34'8
4 55'7z	4 57'0z	4 54'9z	4 54'8z	4 54'2z	4 53'3z	4 54'5z	4 53'7z	4 53'8z	4 47'2	4 50'0	5 0'7	4 33'7	0 27'0
4 59'3z	4 57'8z	4 56'7z	4 53'7z	4 52'8	4 57'0z	4 51'5	4 59'5	4 53'0	4 50'1z	4 49'0	5 1'0	4 19'6	0 41'4
4 50'6z	4 58'4	5 8'0	5 4'4z	4 59'4z	5 2'0	5 10'8	5 5'2z	5 2'6	4 53'6	4 53'6	5 15'7	4 37'3	0 38'4
4 52'2z	4 58'3z	4 56'5z	4 55'4z	4 52'8z	4 52'0z	4 51'0z	4 50'9z	4 48'8z	4 47'0z	4 46'5	5 11'6	3 38'0	1 33'6
4 57'0z	5 0'8z	5 3'9	5 10'0	5 6'3	5 15'8	4 55'5z	4 52'1	4 50'8	4 47'1z	4 52'5	5 34'2	4 26'1	1 8'1
4 55'9	4 50'3	4 49'3	4 50'9	4 47'1z	4 58'7z	5 11'9z	4 56'0z	4 45'6z	4 40'0z	4 46'1	5 13'1	4 26'1	1 47'0
5 0'7	4 50'6z	4 49'6z	4 58'5z	6 3'9	4 50'6	4 57'8	4 50'6	4 50'4	4 1'8	4 52'6	6 16'4	3 56'9	2 19'5
4 51'7z	4 52'7z	4 46'7z	4 55'2z	4 53'0z	4 50'0	5 0'6	4 56'4	4 53'2	4 50'3	4 49'3	5 11'2	4 31'6	0 39'6
4 51'4z	4 52'0z	5 2'9	5 24'4	4 53'5	4 59'4	4 57'3z	5 2'3	4 52'7z	4 57'8	4 47'6	5 20'3	4 17'1	1 9'2
4 53'3	4 54'5	5 5'0	5 40'6	5 21'4	5 28'6	5 41'5	5 13'1	5 2'6	4 41'5	4 56'7	5 43'5	4 23'2	1 20'3
4 59'0	4 57'0	5 3'9	5 23'0	5 36'2	5 38'0	6 19'1	4 55'6	5 2'1	4 52'4	4 46'2	6 24'6	3 31'4	2 53'2
4 57'7	5 4'3	5 34'8	5 27'5	5 21'4	5 43'1	5 16'0	5 1'1	5 21'2	3 36'7	4 51'5	5 58'6	3 34'9	2 23'7
4 57'7	5 8'9	4 53'5	4 49'8z	4 51'2z	4 55'1z	4 59'5z	4 50'4	5 1'4	4 40'7	4 45'0	5 10'9	3 55'7	1 15'2
4 58'0z	4 48'7	4 58'7z	5 11'0z	5 35'7	4 55'5	5 7'5	5 11'7	4 55'0	4 50'9	4 52'7	5 37'7	4 20'4	1 11'3
4 52'4	4 57'3	5 2'1z	5 0'4z	4 56'8z	5 16'0	5 0'3	4 50'5	4 58'6	4 41'5	4 51'2	5 20'4	4 27'1	0 53'3
5 5'0	5 27'2	4 54'3	5 15'7	5 41'7	5 22'9	5 17'2	5 11'2	4 53'5	4 48'8	4 54'8	5 45'7	4 14'6	1 31'1
4 58'8	4 56'9	4 59'9	5 1'0	5 4'2	5 87'8	5 8'8	5 20'9	4 54'8	5 8'0	4 55'4	5 43'1	4 26'2	1 16'9
4 57'0z	5 1'5	5 1'8z	5 3'1z	5 4'1z	5 1'0z	4 59'7	4 59'5z	4 52'3	4 51'6	4 49'3	5 31'0	3 46'8	1 44'2
4 57'7	4 59'8	4 59'5	4 59'9z	4 59'3z	5 1'6z	5 3'8	5 9'5	4 56'8	4 46'3	4 51'6	5 24'1	4 26'4	0 57'7
4 56'6	4 53'5	4 48'8	5 2'3	5 1'0	5 11'9	5 8'8	5 4'6	4 48'1	4 48'7	4 50'5	5 19'3	4 31'8	0 47'5
4 52'6	5 1'9	4 59'5z	5 24'8	5 6'8z	5 1'7	5 5'8	4 57'4	4 49'3z	4 48'0z	4 49'3	5 30'5	4 0'0	1 30'5
4 56'3	4 57'6	4 59'3	5 5'4	5 9'2	5 7'2	5 6'6	5 1'8	4 55'3	4 45'2	4 50'7	5 27'1	4 16'8	1 10'3

Declination.

Junii 1883.

25° + West.

Jan Mayen.

Datum	1	2	3	4	5	6	7	8	9	10	11	Mittag	1	2
1.	4°52'5	4°45'5	4°30'2	4°21'4	4°33'4	4°51'0	4°48'2	4°43'8	4°41'1	4°37'1	4°44'0	5° 2'8	5° 5'1	5° 2'9
2.	4 55'2	4 49'1	4 23'7	4 14'9	4 7'5	3 53'5	4 37'5	4 39'8	4 53'3	4 51'9	4 42'9	4 41'3	4 18'9	4 51'7
3.	4 54'3	4 52'8	4 14'5	4 25'0	4 31'5	4 39'0	4 31'3	4 20'0	4 54'2	4 58'6	4 54'8	5 3'3	5 3'3	4 58'7
4.	4 47'7	4 45'4	4 35'9	4 33'0	4 39'3	4 40'7	4 46'6	4 55'4	4 56'6	4 54'9	4 57'0	4 53'1	4 47'1	4 57'3
5.	4 45'6	4 37'3	4 35'5	4 36'4	4 41'3	4 41'0	4 43'5	4 44'1	4 45'4	4 54'1	4 54'0	4 57'1	4 58'6	4 57'7
6.	4 43'3	4 50'1	4 41'5	4 31'4	4 31'1	4 36'6	4 36'0	4 41'2	4 30'4	3 49'2	4 44'5	4 57'4	5 6'4	5 7'1
7.	4 47'2	4 27'8	4 16'6	4 16'8	4 29'9	4 24'9	4 40'1	4 45'4	4 53'9	4 51'1	4 56'8	4 58'7	4 58'8	4 56'3
8.	4 41'5	4 34'6	4 10'9	4 27'6	4 26'9	4 35'1	4 34'0	4 45'1	4 50'6	4 53'3	4 53'3	4 40'5	4 50'7	4 27'0
9.	4 28'8	4 32'4	4 55'1	4 31'1	4 23'0	4 35'2	4 43'0	4 37'9	4 43'1	4 59'8	4 59'7	4 50'6	4 21'3	4 56'0
10.	4 41'5	4 40'3	4 33'6	4 41'2	4 37'8	4 38'1	4 43'0	4 45'5	4 48'8	4 48'5	4 55'0	4 58'9	4 55'6	4 57'4
11.	4 41'9	4 38'4	4 29'6	4 21'9	4 10'1	4 24'6	4 40'3	4 44'0	4 49'4	4 55'6	4 55'8	4 58'7	4 58'0	4 59'7
12.	4 46'0	4 46'5	4 48'7	4 43'7	4 41'2	4 41'5	4 45'0	4 49'0	4 44'1	5 1'7	4 56'0	4 50'5	4 49'6	4 57'2
13.	4 49'7	4 49'4	4 47'2	4 53'3	4 41'8	4 32'2	4 49'6	4 44'5	4 49'2	4 55'2	4 55'1	4 54'2	4 56'2	4 56'0
14.	4 41'6	4 43'0	4 27'4	4 25'7	4 46'0	4 39'8	4 44'5	4 51'7	4 53'7	4 59'1	5 2'5	5 3'8	4 53'9	4 55'4
15.	4 50'2	4 37'0	4 41'2	4 35'7	4 40'8	4 41'9	4 41'3	4 44'4	4 46'2	4 52'1	4 58'0	5 0'8	5 0'8	4 56'7
16.	4 53'0	4 32'1	4 47'2	4 42'5	4 44'7	4 42'9	4 42'3	4 47'7	4 51'8	4 53'5	4 55'0	4 56'1	4 57'7	4 55'9
17.	5 5'6	4 51'9	3 13'1	3 48'4	3 43'6	3 42'0	4 25'6	4 41'6	4 50'4	4 24'4	4 50'4	4 52'9	4 50'8	5 9'4
18.	4 29'9	4 52'2	4 31'3	4 25'6	4 3'5	4 6'7	4 31'1	4 20'9	4 53'7	4 2'1	4 45'4	4 58'6	4 49'1	4 52'4
19.	4 40'5	4 41'0	4 19'9	4 13'8	4 20'2	4 17'2	4 32'6	4 43'5	4 35'1	4 44'3	4 52'9	4 54'9	4 47'6	4 41'2
20.	4 31'8	4 28'7	4 37'1	4 34'3	4 24'6	4 37'4	4 18'8	4 39'4	4 38'4	4 41'4	5 0'3	5 0'2	5 2'4	5 4'1
21.	4 29'2	4 34'8	4 34'7	4 24'7	4 33'5	4 31'4	4 40'4	4 39'6	4 40'9	4 48'2	4 55'8	4 57'0	4 57'4	5 1'4
22.	4 41'7	4 41'5	4 41'9	4 42'7	4 38'7	4 38'3	4 41'7	4 40'5	4 49'1	4 41'1	5 3'3	5 7'4	5 5'6	5 5'3
23.	4 22'2	4 11'0	4 27'6	4 18'4	4 2'3	4 1'0	4 27'2	4 40'9	4 26'3	4 37'2	4 29'7	4 40'2	4 54'2	5 4'9
24.	4 53'0	4 58'3	4 39'4	4 0'2	4 18'9	4 18'0	4 40'0	4 44'4	4 41'8	4 49'4	4 50'6	4 58'4	5 3'0	5 0'4
25.	4 38'2	4 34'6	4 29'1	4 33'5	4 37'5	4 39'3	4 38'1	4 38'4	4 47'1	4 47'4	4 53'0	4 57'6	4 58'4	4 57'2
26.	4 24'3	4 34'3	4 33'6	4 34'1	4 38'1	4 35'6	4 34'7	4 31'2	4 31'3	4 52'2	4 46'5	5 5'5	5 1'7	5 8'1
27.	4 35'4	4 37'6	4 26'7	4 29'1	3 57'4	4 7'0	4 35'3	4 40'7	3 59'8	4 13'2	3 48'6	4 4'0	3 49'5	5 12'9
28.	4 22'5	4 32'8	4 23'3	4 17'6	3 55'2	4 30'2	4 43'8	4 33'5	4 52'1	4 55'0	4 49'6	4 37'9	4 55'0	4 58'0
29.	4 45'6	4 44'1	4 38'6	4 31'3	4 32'7	4 33'8	4 33'0	4 33'0	4 29'5	4 39'9	4 49'2	4 50'6	4 56'7	4 55'3
30.	4 41'6	4 38'0	4 29'9	4 21'9	4 35'7	4 34'7	4 56'0	4 40'6	5 8'9	4 31'9	3 47'0	3 43'2	4 38'3	4 51'8
Mittel	4 42'1	4 40'1	4 30'2	4 27'2	4 26'3	4 29'0	4 38'2	4 40'8	4 44'9	4 44'4	4 48'3	4 51'4	4 50'0	4 57'9

Juli 1883.

φ = +70° 59' 48".

1.	4°55'4	5° 5'5	4°25'1	4°23'8	4°25'8	4°38'8	4°32'5	4°28'1	4°26'6	4°26'0	4°11'4	4°34'0	4°51'4	5°18'4
2.	4 44'2	4 26'6	4 20'9	4 19'9	3 56'2	4 12'5	4 23'5	4 39'4	4 42'3	4 38'5	4 57'0	4 58'2	4 50'8	5 0'2
3.	4 41'4	4 55'6	4 36'7	4 35'3	4 22'9	4 37'1	4 38'3	4 26'0	4 32'9	4 39'7	4 50'8	4 48'4	4 53'4	4 52'0
4.	4 42'8	4 38'9	4 29'3	4 31'2	4 33'4	4 32'1	4 40'8	4 49'2	4 49'1	4 49'4	4 56'5	5 0'1	4 53'1	5 3'2
5.	4 52'6	4 50'6	4 23'9	4 33'1	4 28'6	4 31'8	4 30'6	4 30'4	4 54'6	4 47'3	4 49'0	4 52'0	4 38'5	4 35'6
6.	4 48'4	4 18'8	4 18'0	4 21'1	4 1'2	4 26'1	4 28'9	4 47'0	4 56'0	4 50'3	4 42'7	5 2'3	4 55'4	5 2'5
7.	4 55'0	4 25'2	4 32'7	4 32'7	4 33'4	4 35'6	4 25'5	4 47'2	4 39'2	4 51'7	4 54'4	4 59'4	5 2'9	4 57'4
8.	4 39'4	4 40'7	4 34'6	4 35'8	4 29'7	4 28'5	4 16'5	4 28'5	5 6'4	4 39'2	4 59'8	4 30'2	4 27'0	5 22'1
9.	4 44'0	4 36'1	4 24'9	4 31'1	4 30'2	4 37'0	4 39'5	4 44'9	4 44'1	4 51'5	4 52'2	4 55'1	4 57'9	4 56'9
10.	4 42'7	4 41'4	4 38'8	4 35'0	4 37'9	4 24'1	4 1'6	3 46'8	4 55'9	4 41'2	4 52'2	4 59'7	4 57'0	4 58'4
11.	5 9'0	3 54'0	4 38'5	4 43'0	4 31'9	4 33'6	4 34'2	4 22'2	4 30'7	4 52'9	4 55'6	5 1'5	5 1'0	5 0'4
12.	1 24'3	4 26'1	4 43'0	4 53'9	4 59'3	4 18'4	4 24'0	4 25'3	4 43'1	4 45'5	4 46'8	4 51'4	4 58'4	4 55'2
13.	4 44'3	4 43'5	4 42'0	4 39'2	4 40'6	4 37'4	4 35'8	4 35'2	4 38'4	4 40'6	4 39'9	4 48'1	4 26'2	4 41'8
14.	4 48'9	4 31'9	4 31'9	4 35'4	4 40'2	4 38'7	4 40'0	4 42'0	4 31'4	4 31'2	4 28'4	4 11'3	4 31'9	4 48'5
15.	4 48'9	4 37'7	4 44'1	4 39'4	4 40'7	4 39'6	4 38'8	4 46'0	4 48'3	4 48'5	4 55'9	5 0'0	4 59'2	5 1'9
16.	4 42'8	4 33'5	4 29'6	4 27'7	4 4'5	4 35'8	4 41'7	4 40'9	4 55'6	4 50'0	4 52'4	4 51'2	4 59'5	5 3'3
17.	4 40'5	4 29'5	4 18'3	4 34'2	4 27'1	4 39'6	4 31'4	4 49'7	4 32'6	4 46'2	4 25'7	4 52'9	4 53'3	4 56'1
18.	4 38'0	4 39'9	4 37'9	4 24'6	4 18'6	4 32'5	4 25'1	4 36'5	4 33'4	5 17'7	4 56'6	4 51'4	4 39'2	4 55'4
19.	4 17'0	4 0'6	4 4'5	4 49'9	4 33'2	4 36'2	4 35'6	4 41'1	4 35'4	4 43'5	5 0'4	5 1'9	5 0'1	4 55'9
20.	4 13'9	4 12'1	4 16'2	4 8'0	4 19'6	4 33'1	4 27'1	4 33'5	4 39'0	4 40'3	4 45'4	4 51'4	4 53'7	4 57'1
21.	4 42'8	4 36'7	4 35'0	4 35'5	4 34'4	4 32'7	4 28'0	4 31'2	4 41'8	4 44'4	4 51'6	4 59'2	4 59'1	4 59'7
22.	4 45'8	4 43'4	4 40'9	4 32'9	4 39'3	4 36'8	4 37'6	4 40'3	4 44'0	4 48'0	4 55'8	5 0'2	5 4'0	5 0'5
23.	4 46'3	4 35'9	4 33'5	4 34'4	4 33'1	4 38'0	4 40'6	4 45'6	4 54'3	4 51'3	5 1'7	5 2'5	4 55'2	4 58'5
24.	4 41'4	4 50'2	4 39'4	4 14'1	4 12'7	4 13'7	4 15'1	4 37'0	4 44'1	5 1'3	4 49'2	5 3'5	4 55'8	4 53'4
25.	4 39'8	4 44'8	4 25'0	4 9'2	4 13'4	4 22'5	4 39'6	4 44'4	4 43'4	4 46'2	4 49'1	4 46'7	4 49'9	4 51'9
26.	4 43'2	4 45'6	4 29'7	4 25'0	4 34'3	4 27'2	4 39'5	4 36'2	4 40'1	4 47'9	4 50'8	4 49'3	4 53'2	4 55'2
27.	4 26'5	4 35'3	4 45'0	4 23'5	4 27'8	4 12'3	4 38'6	4 46'4	4 54'7	4 51'9	4 55'2	4 57'4	4 45'6	4 27'5
28.	4 45'0	4 43'1	4 40'1	4 40'0	4 39'8	4 42'5	4 41'9	4 41'5	4 44'2	4 47'2	4 51'4	4 55'5	4 55'5	4 55'7
29.	4 41'7	4 41'9	4 38'4	4 30'5	4 37'8	4 37'8	4 40'3	4 42'5	4 48'4	4 49'3	4 49'5	4 52'0	4 51'9	4 53'7
30.	4 38'6	4 28'4	4 56'4	4 4'5	4 27'8	4 18'7	4 19'8	4 53'4	4 47'5	4 34'8	4 24'0	4 14'9	4 35'3	5 6'8
31.	4 58'5	4 25'1	5 0'6	4 15'2	4 18'5	4 12'5	3 51'0	3 56'5	4 19'0	4 12'4	4 5'5	4 12'0	4 33'7	5 0'3
Mittel	4 36'9	4 34'8	4 33'2	4 29'7	4 28'2	4 30'4	4 30'3	4 36'0	4 43'1	4 45'4	4 47'0	4 50'1	4 50'6	4 57'0

Declination.
Juni 1883.

Correction M. O. Z. — 13^m6.

Unifilar.

Table with 14 columns: 3, 4, 5, 6, 7, 8, 9, 10, 11, 12, Tagesmittel, Höchste Lesung, Niederste Lesung, Differenz. Rows contain numerical data for June 1883.

λ = — 0^h33^m52^s.5.

Juli 1883.

Table with 14 columns: 3, 4, 5, 6, 7, 8, 9, 10, 11, 12, Tagesmittel, Höchste Lesung, Niederste Lesung, Differenz. Rows contain numerical data for July 1883.

Declination.

August 1883.

25° + West.

Jan Mayen.

Datum	1	2	3	4	5	6	7	8	9	10	11	Mittag	1	2
1.	4°30'21	4°37'22	3°48'8	4°40'9	3°53'8	4°33'0	4°42'9	4°24'0	3°59'6	3°49'1	4°32'4	5°15'1	4°41'7	4°52'8
2.	4 28'51	4 22'6z	4 23'6	4 30'7z	4 29'4f	4 36'9f	4 29'1f	4 44'1	4 33'7	4 38'6	4 48'3z	4 50'7z	4 50'0z	4 55'0z
3.	4 46'4	4 42'7	4 34'5	4 39'1	4 35'9	4 41'2	4 43'5	4 42'1	4 39'8	4 38'9	4 52'6	4 53'1	4 54'1	4 57'4
Mittel . .	4 35'0	4 34'2	4 14'0	4 36'9	4 19'7	4 37'0	4 38'5	4 36'7	4 24'4	4 22'2	4 44'4	4 59'6	4 48'6	4 55'1

September 1882 bis Juli 1883.

25° + West.

Declination.

Sept. 1882	4°49'1	4°46'0	4°40'2	4°41'1	4°41'0	4°46'6	4°52'1	4°53'2	4°56'9	4°57'3	5° 1'4	5° 2'5	5° 4'9	5° 5'6
Oct. "	4 46'1	4 44'8	4 43'9	4 39'2	4 40'4	4 45'4	4 49'8	4 50'7	4 49'7	4 51'0	4 53'9	4 58'7	4 59'8	5 1'4
Nov. "	4 51'5	4 37'6	4 39'1	4 42'8	4 36'4	4 40'7	4 42'5	4 40'7	4 46'8	4 44'1	4 44'5	4 53'9	4 56'0	5 2'2
Dec. "	4 51'3	4 43'2	4 43'5	4 41'8	4 47'6	4 47'4	4 48'9	4 50'1	4 52'0	4 51'5	4 54'7	4 55'8	4 56'8	4 56'4
Jän. 1883	4 52'3	4 48'7	4 46'1	4 44'6	4 43'8	4 47'7	4 49'6	4 53'8	4 55'0	4 54'8	4 55'4	4 56'7	4 56'8	4 57'8
Febr. "	4 48'2	4 49'9	4 39'5	4 39'2	4 36'4	4 44'7	4 47'8	4 50'0	4 52'8	4 52'9	4 54'8	4 56'0	4 58'8	4 59'5
März "	4 44'5	4 41'1	4 32'5	4 31'1	4 34'1	4 36'1	4 42'2	4 47'3	4 50'1	4 52'7	4 52'8	4 56'6	4 59'9	5 1'3
April "	4 43'8	4 39'9	4 36'9	4 34'6	4 32'4	4 35'1	4 41'6	4 45'3	4 45'2	4 48'9	4 53'4	4 53'9	4 56'3	4 57'9
Mai "	4 45'9	4 38'0	4 32'6	4 29'6	4 32'4	4 34'2	4 41'2	4 43'1	4 47'3	4 52'8	4 51'5	4 55'1	4 55'2	4 55'2
Juni "	4 42'1	4 40'1	4 30'2	4 27'2	4 26'3	4 29'0	4 38'2	4 40'8	4 44'9	4 44'4	4 48'3	4 51'4	4 50'0	4 57'9
Juli "	4 36'9	4 34'8	4 33'2	4 29'7	4 28'2	4 30'4	4 30'3	4 36'0	4 43'1	4 45'4	4 47'0	4 50'1	4 50'6	4 57'0
Mittel	4 46'5	4 42'6	4 38'0	4 36'4	4 36'8	4 39'8	4 44'0	4 46'5	4 49'4	4 50'5	4 52'5	4 55'5	4 56'8	4 59'3

September 1882 bis Juli 1883.

J = 78° +

Inclination.

Sept. 1882	67'5	67'2	70'6	68'1	67'1	65'8	64'4	63'9	63'0	63'3	61'9	61'4	60'0	58'5
Oct. "	68'2	67'3	67'4	69'9	67'5	66'0	63'0	62'1	61'5	60'7	59'5	56'1	60'2	58'3
Nov. "	71'3	70'7	69'4	67'6	67'8	64'8	61'7	62'1	61'5	61'3	62'4	62'0	60'2	60'3
Dec. "	66'8	67'0	67'4	68'9	65'6	64'2	63'8	62'6	61'7	61'3	60'3	60'0	59'7	59'4
Jän. 1883	65'2	63'8	62'9	63'2	63'4	61'6	60'1	59'6	59'5	59'4	59'0	58'2	58'1	57'8
Febr. "	65'7	67'4	65'3	64'8	64'2	61'5	61'4	60'2	60'7	60'3	59'2	58'1	57'0	56'4
März "	64'4	67'3	69'2	68'1	67'5	65'9	64'4	61'2	61'1	59'8	59'1	57'9	57'2	55'0
April "	63'7	64'5	64'8	64'9	65'5	64'5	63'0	61'8	61'3	60'8	60'1	58'4	56'4	55'7
Mai "	65'9	65'3	66'0	65'8	65'1	63'8	61'9	61'2	60'4	60'4	59'0	57'4	55'1	53'9
Juni "	64'8	67'8	68'2	67'5	66'4	64'5	61'8	61'2	60'6	59'9	58'0	56'8	55'7	53'3
Juli "	67'5	67'9	70'1	67'2	66'3	64'2	63'5	63'3	62'1	60'3	58'8	58'3	54'4	54'3
Mittel . .	66'4	66'9	67'3	66'9	66'0	64'3	62'6	61'7	61'2	60'7	59'8	58'6	57'6	56'6

September 1882 bis Juli 1883.

K = 0.51000 + 0.00... C. G. S.

Total.

Sept. 1882	358	348	353	320	306	292	299	306	319	325	332	339	346	347
Oct. "	308	330	371	349	346	320	318	324	331	332	330	336	327	327
Nov. "	372	343	353	370	349	321	313	321	307	309	290	279	278	257
Dec. "	341	341	325	305	304	299	281	294	300	302	309	305	308	294
Jän. 1883	209	218	202	194	181	175	172	176	181	190	196	198	191	190
Febr. "	218	221	200	189	171	158	152	145	154	161	163	154	163	148
März "	238	235	233	223	193	172	143	152	166	169	168	161	156	156
April "	269	262	256	236	213	192	188	200	211	213	218	217	220	221
Mai "	226	234	216	184	164	151	147	164	168	178	186	198	196	193
Juni "	242	242	221	183	156	146	145	161	169	166	172	174	171	163
Juli "	234	250	237	217	191	155	156	149	148	157	166	157	159	139
Mittel	282	279	270	252	234	216	210	217	223	227	230	229	229	221

Declination.

Correction auf M. O. Z. — 13^m6

Unifilar.

August 1883.

3	4	5	6	7	8	9	10	11	12	Tages- mittel	Höchste Lesung	Niederste Lesung	Differenz
5° 3'0 ^f	4° 57'6 ^z	5° 27'9	4° 54'6 ^z	5° 8'7 ^f	6° 6'8 ^z	5° 16'2 ^z	5° 0'8 ^f	4° 43'5 ^f	4° 45'6 ^f	4° 44'2	6° 11'1	3° 5'1	3° 6'0
4 55'3 ^z	4 53'9 ^z	4 56'0	4 45'6	4 51'1	4 58'8	5 8'2	4 51'8	4 45'9	4 38'7	4 43'6	5 14'2	4 15'4	58'8
4 59'6	4 54'0	4 52'6	4 51'7	4 48'9	4 51'0	4 55'8	4 56'6	4 47'6	4 43'0	4 47'6	4 59'8	4 30'8	29'0
4 59'3	4 55'2	5 5'5	4 50'6	4 56'2	5 18'9	5 6'7	4 56'4	4 45'7	4 42'4	4 45'1	5 28'4	3 57'1	1 31'3

n a t i o n .

September 1882 bis Juli 1883.

5° 4'4	5° 3'7	5° 5'4	5° 7'6	5° 10'7	5° 12'4	5° 7'7	5° 3'5	4° 54'3	4° 50'9	4° 57'4	5° 25'9	4° 26'2	0° 59'7
5 4'3	5 3'1	5 5'2	5 6'9	5 13'3	5 9'2	5 6'1	5 1'8	4 52'7	4 49'0	4 55'3	5 33'4	4 18'6	1 14'8
5 6'5	5 11'2	5 15'7	5 21'0	5 9'0	5 12'8	5 5'3	4 56'7	4 54'1	4 46'2	4 54'1	6 0'8	3 55'0	2 5'8
4 55'4	4 57'2	4 56'5	5 0'7	4 58'0	5 0'7	5 3'9	5 0'5	5 0'0	4 46'2	4 53'5	5 35'4	4 20'6	1 14'8
4 55'2	4 57'2	4 57'4	4 55'8	5 2'1	4 59'7	4 59'9	5 0'7	4 55'8	4 56'2	4 54'3	5 25'9	4 39'7	46'2
4 59'6	5 1'6	5 0'3	5 12'0	5 7'1	5 6'4	5 8'6	5 5'7	4 56'2	4 50'1	4 54'9	5 41'5	4 20'6	1 21'3
5 0'7	5 1'0	5 4'0	5 4'1	5 5'3	5 8'3	5 0'6	4 59'9	4 51'0	4 49'3	4 51'9	5 24'6	4 6'7	1 17'9
5 0'0	5 3'5	5 5'2	5 11'9	5 10'1	5 12'0	5 3'7	4 52'8	4 55'3	4 48'2	4 52'0	5 31'8	4 11'6	1 20'2
4 56'3	4 57'6	4 59'3	5 5'4	5 9'2	5 7'2	5 6'6	5 1'8	4 55'3	4 45'2	4 50'7	5 27'1	4 16'8	1 10'3
4 58'5	4 59'0	5 5'0	5 4'5	5 8'1	5 13'1	5 13'0	5 2'2	4 56'8	4 51'9	4 50'1	5 29'4	4 7'3	1 22'1
5 1'3	5 0'5	5 3'6	5 7'1	5 11'6	5 9'8	5 7'2	4 55'8	4 52'6	4 47'2	4 48'7	5 31'2	4 1'5	1 29'7
5 0'2	5 1'4	5 3'4	5 7'0	5 7'7	5 8'3	5 5'7	5 0'1	5 54'9	4 49'1	4 53'0	5 33'4	4 15'0	1 18'4

n a t i o n .

September 1882 bis Juli 1883.

57'9	58'5	58'4	59'7	62'2	63'2	66'8	68'9	66'0	65'9	63'8	70'6	57'9	12'7
57'9	58'7	58'6	62'3	66'2	65'1	65'3	67'2	65'9	65'9	63'4	69'9	56'1	13'8
60'6	64'2	63'6	65'5	63'8	68'0	68'3	68'4	69'0	70'6	65'2	71'3	60'2	11'1
58'9	59'7	61'0	64'9	63'3	66'5	66'2	64'5	65'8	68'3	63'7	68'9	58'9	10'0
56'7	57'5	57'8	59'8	62'4	62'5	63'7	63'3	63'5	64'4	61'0	65'2	56'7	8'5
58'3	59'6	60'2	62'3	60'7	61'3	66'0	63'6	61'6	66'1	61'7	67'4	56'4	11'0
55'6	54'6	55'8	60'1	61'3	63'1	64'7	64'6	65'9	64'6	62'0	69'2	54'6	14'6
55'3	54'9	55'3	57'9	59'4	60'7	62'1	65'7	66'9	64'8	61'2	66'9	54'9	12'0
52'0	52'1	52'2	53'8	57'9	59'9	61'5	62'0	64'8	66'2	60'1	66'2	52'0	14'2
50'9	50'2	52'7	53'3	55'0	59'4	60'8	62'1	62'1	65'0	59'9	68'2	50'2	18'0
51'2	49'6	53'2	52'5	54'5	57'8	60'7	60'7	64'0	64'2	60'3	70'1	49'6	20'5
55'9	56'3	57'2	59'3	60'6	62'5	64'2	64'6	65'0	66'0	62'0	68'5	55'2	13'3

I n t e n s i t ä t .

September 1882 bis Juli 1883.

338	333	318	302	297	302	325	348	351	349	327	358	292	66
324	310	306	306	319	338	360	379	383	386	341	393	306	87
242	242	256	239	261	260	297	331	354	350	304	372	239	133
288	282	274	266	260	262	262	284	320	338	298	341	260	81
180	170	163	144	121	134	154	183	196	198	180	218	121	97
146	120	109	96	118	120	144	170	185	207	159	221	96	125
150	141	137	131	126	159	170	201	235	237	177	238	126	112
208	196	193	183	172	190	227	242	268	275	220	275	172	103
200	182	164	140	140	137	163	190	213	215	181	234	137	97
167	153	122	116	115	117	140	173	201	229	168	242	115	127
130	125	117	114	119	132	142	159	195	216	165	250	114	136
216	205	196	185	186	196	217	242	264	273	229	286	180	106

Horizontal-Intensität.

September 1882.

0.09000+0.00... C. G. S.

Jan Mayen.

Datum	1	2	3	4	5	6	7	8	9	10	11	Mittag	1	2
8.	621	667	691	740	638	557	665 ↑	673	713	732	672	743	759	754
9.	671	662	666	520	469	575	668	719	712	714	763	701	724	876
10.	714	688	656	722	706	710	709	705	717	705	716	726	732	795
11.	445	532	458	508	543	565	745	738	729	725	707	726	738	792
12.	744	682	275 †	289	534	711	737	717	741	736	784	746	784	855
13.	748	701	693	735	671	708 †	772	766	747	730	739	824	841	864
14.	722	675	480	405	699	816	746	730	718	771	792	744	817	835
15.	577 †	681	702	683 †	628	658	763	738	785	739	731	784	810	816
16.	726	741	747	750	754	749	744	734	732	732	724	733	733	754
17.	721	758	663	509	528	685	744	818	751	729	748	756	782	799
18.	613	755	775	769	774	767	751	751	728	723	727	746	754	813
19.	755	769	727	742	757	766	770	759	761	746	749	763	808	782
20.	726	654	611	673	745	742	788	753	745	764	816	754	805	774
21.	765	704	661	749	773	829	770	763	760	760	769	788	766	774
22.	762	761	772	773	768	767	754	743	741	748	781	784	771	806
23.	736	715	607 †	720	719	770	765	751	736	724	752	786 †	826	937
24.	759	735	740	770	769	758	756	744	736	734	741	759	804	762
25.	549	385	376	906	891	448	412	535	794	876	997	974	895	961
26.	768	761	736	721	601	583	685	714	814	734	813	770	779	779
27.	591	720	655	671	564	691	610	731	784	761	809	863	869	857
28.	714	671	670	720	766	764	767	750	762	762	736	743	808	792 z
29.	677	754	747	726	729	762	772	754	757	760	785	809 z	879	800
30.	771	746	751	747	762	773	767	762	753	741	782	797 z	844	871
Mittel	690	692	646	674	686	702	724	733	748	745	767	775	797	819

October 1882.

φ = +70° 59' 48".

1.	754 z	743 z	741 z	733	709	749 z	742	762	748	738	730 z	760 z	797	865
2.	736	730	768	759	747	645	688	750	775	702	927	2202	487	591
3.	548	548	651	541	838	779	762	749	754	746	761	750	750	787
4.	716	661	720	566	528	684	756	753	769	789	818	776	783	890
5.	756	744	760	694	551	648	730	1035	784	753	769	761 †	818	880
6.	754	560	134	100	214	168	617	507	677	898	777	794	578	723
7.	753	749	758	749	753	755	754	754	735	747	764	753	768	837
8.	763	765	758	764	757	757	755	754	749	769	751	740	754	771
9.	721	787	748	754	766	782	762	758	754	775	767	757 z	767	862
10.	631	715	764	714	786	749	788	751	764	805	859	886	792	879
11.	773	727	737	754	645	846	796	801	744	746	785	891	832	856
12.	757	746	687	517	640	756 †	801 †	770	759	769	764	763 z	770	874
13.	737	736	648	691	801	785	751	798	798	764	760	805	806	823
14.	765	758	796	784	785	784	788	777	765	788	835	909 †	879	791
15.	448 †	668	612	500	762	730	690	766	786	842	872	908 †	890	814
16.	803	701	779	788	759	791	787	781	755	699	858	836 †	803	796
17.	706	737	705	392	546	850	786	761	839	782	840	834	914	846
18.	467	569	750	811	779 †	736	752	752	774	787	790	787	796	789
19.	760	768	757	774	776	779	775	776	762	762	776	788	782	811
20.	772	765	771	779	772	774	776	772	763	757	757	761 z	791	794
21.	762	752	786	781	777	776	771	766	763	760	760	769	774 z	781
22.	534	653	711	721	759	737	748	781	796	789	777	829	880	901
23.	678	721	626	523	609	635	863	776	814	865	802	794	865	799
24.	698	626	680 †	171 †	679	364	574	637	799	832	829	900	934	925
25.	755	758	747	672	714	876	644	794	846	872	922	868	818	811
26.	726	726	579	681	758	771	858	784	736	774	774	792	790	835
27.	616	650	642	706	677	655	633	690	831	804	784	777	795	811
28.	361	579	596	642	421	642	677 †	782	806	776	858	843 †	746	787
29.	642	661	683	594	620	787	821	759	752 †	866	798	775	794	809
30.	640	608	733	785	643 †	734	764	770	784	808	837	849	802	857
31.	707	674	666	751	764	792	780	766	775	778	769	805	767	774
Mittel	685	696	693	652	688	704	748	762	773	785	802	853	791	818

Correction auf M. O. Z. —13^m6

Bifilar.

September 1882.

3	4	5	6	7	8	9	10	11	12	Tages- mittel	Höchste Lesung	Niederste Lesung	Differenz
737	759	781	786	749	685	716	715	705	683	706	803	551	252
789	769	734	754	752	711	387	576	664	681	677	901	376	525
810	796	820	758	744	736	722	713	707	684	729	856	651	205
876	834	803	814	791	741	567	715	698	752 ↓	689	887	435	452
809	810	849	784	720	816	631	722	658	749	701	861	142	719
892	875	766	739	740	646	625	444	652	751	736	902	436	466
859	833	811	775	789	621	634 †	764	751	736	730	903	366	537
825	804	767	801	773	751	686	742	741	753	739	829	485	344
811	779	786	765	771	760	726	637	683	579	735	818	554	264
766	869	835	802	781	764	765	595 †	722	540	726	872	500	372
858	892	875	776	587	704	761	772	761	772	756	893	513	380
801	827	854	847	833	786	795	624	719	708	769	859	611	248
796	801	795	785	773	793	728	684	694	736	747	821	607	214
833	786	811	802	789	770	761	759	743	746	768	836	628	208
783	782	798	816	756	772 †	758	760	761	746	769	818	740	78
996	847	894	816	784	796	785	393 †	754	763	765	1013	290	723
797	801	799	786	790	794	723	668	676	659	753	807	648	159
828	709	866	802	788	580	622	622	723	729	719	1004	262	742
776	786	787	791	774	786	685	580	654	651	730	823	543	280
788	771	788	799	600	773	588	573	608	705	715	875	557	318
861	888	866	834	789	769	775	739	749	698	767	891	666	225
823	882	841	821	801	751	769	775	774	764	780	891	661	230
893	891	824	800	774	772	764 z	709 z	751	758 z	786	894	739	155
826	817	815	794	756	742	694	667	711	711	739	872	520	352

$\lambda = -0^h 33^m 52^s.5$.

October 1882.

855	827 z	799 z	798	784 z	779 z	786 z	786 z	781 z	747	771	870	697	173
656	697	788	685	419	515	789	895	583	742	762	2202	380	1822
907	769	765	768	754	729	646	673	759	742	728	915	480	435
963	797	926	712	543 †	644	769	499	752	737	731	978	416	502
888	832	812	718	444	690	584	699	819	772	747	1062	328	734
753	818	806	757	727	741	711	714	759	756	627	922	100	822
812	833	814	731	771	767	724	488	534	688	739	843	411	432
784	808	776	762	774	705	755	724	488	569	739	812	462	350
823	814	786	798	811	693	663	730	736	758	766	870	652	218
867	874	823	804	126	484	734	810	794	768	749	897	124	773
873	840	803	443	687	744	751	756	723	712	761	904	363	541
819	797	795	800	794	707	755	687	749	749	751	876	515	361
801	821	806	806	802	803	796 z	789 z	785	803	780	824	639	185
843	824	799	734	769	744	779	742	725	433	774	916	405	511
789	777	869	790	784	820	802 z	801	794	835	764	1002	435	567
806	838	808	718	700	691 †	593 †	510	728	731	753	872	449	423
836	836	801	795	786	773	759	736	719	759	764	922	357	565
783	787	779	787	767	781	607	511	674	736	731	822	447	375
862	872	884	797	786	779	774	770	770	777	788	892	751	141
795	801	801	796 z	771	762	775	777	776	777	776	803	755	48
798	819	826	813	803	789	788 z	786 z	782 z	774	781	829	747	82
848	785	861	835	249	603	654	648	677	544	722	903	189	714
836	838	840	709	752	779	782	761	769	761	761	880	513	367
821	834	794	774	759	781	736	789	791	772	729	943	133	810
816	806	785	757	584 †	738	773	580 †	621	687	739	932	355	577
832	824	752	789	777	705	761	683 †	736	764	758	892	573	319
840	874	824	821	819	734	544	722	784	718	740	876	526	350
834	614	849	664	781	596	637	692	636	658	687	878	283	595
823	833	794	711	821 †	719	676	760	695	635	743	873	574	299
771	816	774	717	803	794	769	740	611	644	752	867	600	267
773 z	786 z	795 z	784 z	772 z	793 z	726	491 †	667	699	744	809	428	381
823	809	811	756	701	722	723	700	717	718	747	932	454	478

Horizontal-Intensität.

November 1882.

0·0900+0·00... C. G. S.

Jan Mayen.

Datum	1	2	3	4	5	6	7	8	9	10	11	Mittag	1	2
1.	717 ↓	710	672	748	805	776	779	780	778	855	769	783	818	905
2.	729	739	704	738	749	759	765	782	777	785	759	889 †	810	792
3.	710	707	762	767	749 †	759	787	793	777	793	787	904	900	977
4.	408	756	804	763	774	778	766	776	770	773	770	774	773	792
5.	765	773	755	773	778	769	773	782	775	768	772	776	785	794
6.	739	712 †	711	812	809	757	822	807 †	776	794	773	774 †	788	802
7.	762	777	821	759	800	811	748	812	782	814	841	794	806	834
8.	766	727	778	784	722	743	805	800	817	791	768	817	830	822
9.	734	741	588	717	766	762	758	771	791	807	824	803 †	919	870
10.	745	727	774	767	804	782	778	776	774	761	762	763	807	794
11.	781	768	787	781	779	776	773	775	776	769	766	796 †	778 z	778 z
12.	799	709	701	652	692	793	702	652	841	864	866	760	641	769
13.	426	584	430	¹⁾ 100	392 †	592	663	652	638	636	651	628 †	661	609
14.	686	782	710	548 †	408 †	782 †	848	783 †	842	847	906	984 †	919	893
15.	638	484	544	790 †	468 †	678	843	1209	1189	906	834	833 †	940	765
16.	771	737	721	738	742	778	753	611	674	785	957 †	845 †	774	826
17.	852	740	706	694	698	731	758	766	794	773	263	310 †	594	646
18.	³⁾ 100	100	252	685	784	739	884	614	398	450	533	604 †	872	688
19.	674	168	574	554	577	799 †	703	768	808	778	780	751 †	275	328
20.	100	100	⁴⁾ 100	566	285	127	819	388	502	526	287	⁵⁾ 100	545	507
21.	685	583	583	793	670	752	730	783	766	790 †	775	828 †	851	771
22.	710	808	770	760	780	690	820	760	780	792	755	760 †	775	783
23.	693	692	705	705	682	796	784	735	741	799	778	851	796	656
24.	502	599	630	531	525	734	715	775	798	754	796	862 †	810	826
25.	250	558	662	630	713	698	713	871	843	840	858	844 z	978	1006 †
26.	674	722	725	770	730	672	809	791	757	744	764	784	769	799
27.	599	675	722	757	777	746	753	829	777	767	784	779	780	783
28.	687	691	764	771	733	652	654	784 †	853	763	815	761 †	838	776
29.	594	528 z	589	508	568	720	770	786	763	755	761	761 z	754	768
30.	696	717	777	764	716	701	670	581 †	681	850	816	822 z	869	929
Mittel	636	639	661	691	684	722	765	760	768	771	752	755	782	776

December 1882.

φ = +70° 59' 48".

1.	541	727	659	717	614	761	792	759	784	764	755	773 z	790	826
2.	739	781	804	780	779	789	779	775	776	753	769	758	755	789
3.	753	487	641	764	736	697	784	731	789	789	783	766	809	800
4.	593	729	713	737	751	762	810	750 †	779 †	793 †	877	834 †	827	807
5.	737	795	781	787	773	765	754	762	779	779	777	759	736	772
6.	771	755	760	765	768	764	766	756	753 †	772	784	766 †	786	775
7.	708	742	735	759	812	792	764	760	765	755	764	757	755	782
8.	745	781	773	751	767	767	755	761	756	754	755	763 z	755 z	765 z
9.	654 †	747	758	730 z	711	539	596	771	760	760	753	787 z	767	820
10.	735	609	579	713	765	792	780	793	774 †	763	794	767 z	776	767 z
11.	753 z	747	669	448 †	755	766	755	754	744	772	976	777	807	810
12.	595 †	731	795	755	775	780 z	803	802	830	747	809	782 †	800	804
13.	721	722 z	678	750	737	756	735	787	767	758	760	765 z	762	767
14.	683	753	780	777	770	762	761	760	759	758	754	768 z	769 z	782
15.	755 z	762 z	759 z	760 z	765 z	762 z	764	762 z	758	756 z	761 z	762 z	762 z	770
16.	595	636	611	525	744	598	492	712	702	676 †	674	908 †	877	945
17.	784	753	772	766	741	767	751	755	756	754	754	767 z	762	763
18.	742	445 †	594	624	780	780	798	775	764	757	758	759 z	760 z	762 z
19.	720	727	509	100	306	565	521	643	772	847	776	778 z	773 z	772
20.	717	751	722	719	741	749	744	749	803	833 †	792	811 †	865	838
21.	506	601	285	100 †	181	648	723	657	645	710	833	804 †	826 †	767 †
22.	659	576	620	664	654	709	759	766 †	761 †	747 †	890 †	813 †	858 †	800
23.	684	601	659	639	726	717	742	751	780	780	791	779	783	778
24.	737	744	792	772	753	762	752	733	736	737	769	775 †	840	780
25.	723	755	709	568	727	746	745	779	786	765	766	778	820	775
26.	767	756	765	764	756	762	729	760	759	792	766	788 z	770	767
27.	722	752	765	739	681	774	761	772	815	771	767	768 †	756	768
28.	733	606	504	668	651	547	615	771	765	788	786	812	876	780
29.	605	471	627	497	753	752	681 †	663	694	883	824	878	788	865
30.	709	754	756	587	676	770	738	751	810	780	758	808	831	878
31.	674	722	675	707	740	757 †	714 †	785	773	784	792	860	792	831
Mittel	697	694	685	659	708	729	729	750	764	770	786	789	795	797

Anmerkung. Am Unifilar m. Deflect. wurde einige Minuten später ganz kurz beobachtet: 1) 0-3553. 2) 0-3730. 3) 0-3836. 4) 0-3361. 5) 0-3873.0.

Horizontal-Intensität.

Correction auf M. O. Z. - 13^m6

Bifilar.

November 1882.

3	4	5	6	7	8	9	10	11	12	Tages- mittel	Höchste Lesung	Niederste Lesung	Differenz
893	850	875	787	765	725	751 ↓	695	714	735	779	914	581	333
797	788	783	802	783	699	654	694	761	749 ↓	760	844	618	226
802	789	774	785	780	777	760	729	772	789	792	981	674	307
800	791	782	705	810	812	792	791	775	787	769	816	472	344
798	782	775	789	781	864	656	674	779	752	750	799	264	535
804	817	761	532	782	747	783	773	761	618	761	828	503	325
766	737	713 ↓	749	769	742	577	737	809	722	770	854	544	310
847	807	815	700 ↓	827	591 ↓	575	608	662	711	755	860	559	301
802	814	736	577	674	704	796	654	597	698	751	940	574	366
786	779	807	797	785	782	779	616 ↓	743	705	769	809	605	204
799	818	884	810	795	767	454	728	674	654	759	835	441	394
731	193	746	787	543	636	640	374	520	574	674	877	165	712
634	100	495 ↑	636	588	100	270	744	207	733	507	761	0.08550	1211
525	614	751	563	769	620	657	772	723	740	738	952	339	613
897	996	932	912	866	764 ↓	792	811	780	773	819	1424	366	1058
802	806	816	823	854	796	698	823	901	586	774	1001	521	486
320	100	100	598	662	541	747	518	332	759	583	897	100	797
673	587	676	366	607	647	290	339	438	650	538	922	0.08360	1562
640	642	581	524	296	728	710	696	826	633	617	865	146	719
714	806	654	496	537	557	631	428	615	464	452	837	0.08730	1107
862	818	582	331 ↓	663	392	634	471	466	564	652	895	120	775
794	787	784	790	761	620	663	776	720	733	757	863	611	252
858	896	825	812	883	665	708	736	682	639	753	915	618	297
891	838	762	775	791	740	613	658	714	240	703	896	214	682
847	1003	475	701	806	790	753	790	722	100	727	1029	100	929
701	751	862	725	458	657 ↓	596	739	686	549	718	867	399	468
811	827	792	743	733	595 ↓	705	741	575	665	738	895	485	410
782	825	799	746	829	806	799	752	757	647	762	860	621	239
781	779	785	774	769	761	764	766	773	756	722	789	503	286
856	841	778	777	781	744	767	499	518	543	737	934	489	445
769	716	728	697	725	664	667	671	667	643	713	898	342	556

λ = -0^h 33^m 52^s.5.

December 1882.

802	776	772	765	798 z	766	508	827	675	574	730	841	422	419
792	791	772	741	796	799	782	777	764	762	773	809	724	85
783	814	757	706	564	586	629	724	772	754	726	819	475	344
918	746	619	330	758	700	726	639	553 ↓	711	727	930	319	611
766	787	776	777	770	718	758	602	743	678	755	866	568	238
793	784 z	793	776	768	444	657	817	735	692	750	835	412	423
785	839	772	740	769	596	591	755	789	771	752	844	536	308
768 z	765 z	762 z	766 z	763 z	763 z	766 z	764 z	765 z	755 z	762	784	744	40
820	800	723	674	780	748	740	416	718	770	723	831	391	440
773 z	768 z	779	777	766	764 z	761 z	751 z	756	754 z	755	811	566	245
830	836	596	824	746	740	573	751	727	653	739	998	404	589
856	743	737	706	715	770 z	747	733	721	762	762	858	581	277
765	770	782	807 z	752	765	742	707	793	674	751	807	667	140
788	770 z	781	795	757	725	759	774	764	737	762	796	676	120
783	798 ↓	805 z	818 z	799	709	605 ↓	799	657	567	750	830	472	358
852	875	860	826	807	701 ↓	488	762	811	781	725	949	364	585
772	771	795	769	777	792	750	554	745	766	756	798	541	257
765	767	787	773 ↓	782 ↓	782	746	709	614	748	732	794	435	359
775 z	768 z	769	781	754	733	751	744	729	660	681	848	100	748
870	744	603	502	537	813	810	673	385	120 ↓	704	871	100	771
786 ↓	761	763	303 ↓	477 ↑	578 ↑	691 ↑	759	735	631	615	840	100	740
831	792	859	794	732	708	767	695	691	625	738	899	566	333
833	758	809	726	744	528	767	767	728	761	735	834	490	344
765	763	769	708	819	760	740	755	760	735	761	855	704	151
764	797	814	738	751	791	762	746	756	752	755	855	556	299
802	828	832	723	678	712	878	605	705	712	737	834	347	487
777	766	768	765	765	745	691	754	684	589	746	828	571	257
771	775	790	790	770	756	736	755	681 ↓	710	726	882	499	383
894	844	788	693	738	215	705	747	535	348	690	906	158	748
780	798	771	627	689	526	664	788	718	644	734	885	503	382
815	868	825	659	595	715	599	672	716	698	740	871	569	302
802	789	769	715	733	692	690	720	707	674	735	850	470	380

Horizontal-Intensität.

Jänner 1883.

0·09000+0·00... C. G. S.

Jan Mayen.

Datum	1	2	3	4	5	6	7	8	9	10	11	Mittag	1	2
1.	737	712	566 ↓	646	785	758	743	805	765	811	837	777 ↓	840	825
2.	679	685	763	797	785	780	767	777	768	795	785	761 z	765	793
3.	751	770	771	764	763	767	772	759	759	761	771	806	784	806
4.	763	761	762	761	758	758	757	759	759	752	757	767 z	767	740
5.	725	644	496	653	626	715	729	752	754	771	760	785	782	782
6.	220	687	738	776	761	730 †	698	779	806	798	847	780 z	878	684
7.	775	744	745	687	645	585	730	828	818	799	819	889 †	814	890
8.	665	669	755	674	588 †	688	678	781	781	773	774	816 ↓	826	814
9.	786	700	648	804	730	775	782	803	763	813	794	775	792	857
10.	748	765	767	752	783	746	762	782	767	765	761	765	763	765
11.	685	617	614	639	783	804	776	773	767	767	760	767 z	768 z	768
12.	763	767	759	759	745	745	805	777	783	769	773	766 z	771	771
13.	769	774	768	761	765	765	765	762	765	763	769	768	795	806
14.	615	768	826	798	774	769	765	758	754	760	780	770	794	802
15.	764	761	788	775	770	769	775	769	768	770	769	765 z	791	859
16.	756 z	699	685	723	758	763	769	763	783	768	773	772 z	776	787
17.	541	605	707	708	698	744	772	777	730	768	788	858 ↓	834	793
18.	640	755	751	645	526	668	778	767	806	791	760	804 ↓	787	772
19.	700	656	772	784	789	778	776	762	763	756	786	763	785	764
20.	731	754	721	737	757	740	719	693	729	776	811	819	859	831
21.	651	646	650	693	608	698	776	751	766	814	800	826	625	906
22.	753	778	770	771	771	766	768	764	763	767	774	781 z	789	824
23.	728	743	779	778	767	772	783	781	771	769	756	775 z	813 ¹	804
24.	763	754	741	748	784	774	771	769	768	763	766	770	785	791
25.	742	582	808	745	813	771	759	765	788	783	748	888	826	803
26.	799	722	760	698	196 †	693 †	758	679	801	771	832	986 †	916	675
27.	760	755	694	508	784	773	840	800 ¹	791	820	785	799 †	791	823
28.	573	777	725	573	606	621	779	887	822	773	802	798	779	788
29.	524	679	678	774	792	796	774	788	777	765	764	790	802	811
30.	755	779	780	739	761	782	780	767	770	758	778	753	752	778
31.	684	730	742	709	734	664	759	769	759	753	809	761	813	827
Mittel	695	717	727	722	716	741	763	771	773	776	783	795	796	798

Februar 1883.

φ = +70° 59' 48".

1.	525	754	781	693	797	772	765	769	762	759	756	759	791	773
2.	777	507	605	779	658	794	697	671	767	742	829 †	822 †	824	857
3.	520	631	788	749	648	556	483	777	689	813	801	819	908	848
4.	710	652	727	742	715	764	697	687	747	756	809	862	853	669
5.	669	606	644	606	707	739	805	817	805	771	844	757	763	775
6.	695	579	659	674	708	757	734	787 †	767 †	785	799	782	799	775
7.	765	753	734	724	700	750	796 †	751	765	764	799	771	772	767
8.	767	790	746	764	753	765	767	765	765	770	799	776	823	797
9.	712	699	740	788	757	776	769	777	775	777	757	752 z	774	784
10.	743	686	687	686	655	705	769	782	764	762	787	780	800	859
11.	758	757	758	757	756	748	749	750	763	759	748	748 z	761	796
12.	758	760	749	752	757	760	779	760	755	749	742	750 z	759	778
13.	735	755	766	761	762	763	761	756	754	749	750	750 z	751	761
14.	706	731	744	743	764	770	737	711	750	749	733	743	824	911
15.	728 ↓	694	755	753	760	761	769	755	758	749	755	744 z	749	758
16.	727	670	646	682	746	751	769	767	760	775	759	741	765	848
17.	735	745	754	746	750	746	721	695	730	721	744	812	765	798
18.	702	762	761 z	768	758	755	765	766	767	756	750	761	759	800
19.	758	761	730	576 †	549 †	682	765	763	765	754	753	763 z	756	772
20.	684	683	650	647	773	769	762	750	784	785	790	981	857	920
21.	747	752	761	763	763	761	767	762 †	748 †	745 †	752 †	767 †	758	792
22.	720	717	727	686	535	784	742	813	748	825	855 †	856	918	851
23.	706	624	657	693	735	585 †	663	790	728	800	815	883 †	868	894
24.	640	683	706	684	637	858	805	805	783	764	778	798	755	927
25.	609	0·08930	0·08930	318	471 †	698	675	516	513	556	613	825	856	789
26.	651 †	717	703	709	642	718	730	784	795	740	754	792	835	795
27.	468	533	700	711	691	755	730	744	761	760	759	783	807	926
28.	640	723	780	635	718	637	770	917 †	757	771 †	864	771 †	934 †	720
Mittel	689	666	692	698	702	739	739	757	751	757	774	789	806	812

† Verspätete Lesung.

Horizontal-Intensität.

Correction auf M. O. Z. —13^m6

Biflar.

Jänner 1883.

3	4	5	6	7	8	9	10	11	12	Tages- mittel	Höchste Lesung	Niederste Lesung	Differenz
834	777	782	777	661	686	830	778	752	739	759	853	554	299
780	785	775	659	825	674	639	739	717	878	757	902	489	413
771	772	771	782	769	762	715	701	747	762	765	821	694	127
764	767	801	765	767	750	713	660	689	712	750	802	656	146
779	784	799	780	800	762	791	785	774	782	742	802	483	319
947	871	658	837	706	709	562 †	685	738	787	737	950	200	750
768	698	688	627	597	757	713	672	752	575	734	913	525	388
779	817	804	682	801	821	677	783	765	762	749	839	538	301
846	783	807	674	866	801	788	746	745	789	778	866	640	226
777	793	786	782	785	760	529	614	678	679	745	796	458	338
771	770	778	771	771	769	761	764	760	763	749	807	587	220
779	812	815	777	799	798	714	737	758	718	769	821	697	124
808	838	800	779	775	772	783	769	756	610	770	843	596	247
794	819	835	768	690	807	788	763	779	774	773	841	606	235
838	831	785	800	721	776	722	814	770 z	766	780	874	606	268
799	798	805	779	768	760	773	730	761	754	763	812	684	128
838	648	925	829	772	776	770	746	761	689	753	927	522	405
791	795	785	754 z	411	719	751	752	756	678	727	836	382	454
782	784	794	780	773	762	775	766	684	706	760	795	649	146
773	766	789	761	819	779	748	660	631	690	754	927	584	343
954	914	848	794	807	766	733 †	615	608	718	748	957	592	365
792	801	787	796	718	727	456	667	605	721	746	832	435	397
886	829	832	794	783	789	752	766	767	760	780	838	724	114
808	838	800	756	695	786	630	711	755	716	760	842	617	225
873	869	881	717	396	777	472	766	768	769	755	896	392	504
852	817	747	695	698	0.08930	782	742	491	579	690	936	0.08930	1006
873	806	774	744	623	742	685	648	659	590	745	885	500	385
778	782	785	774	418	452	719	576 †	733	345	692	856	319	537
811	798	832	842	783	737	656	730	750	606	752	850	505	345
795	808	802	773	771	782	751	739	616	679	760	809	598	211
828	847	784	757	762	665	739	626 †	699	762	749	849	585	264
813	801	795	761	720	721	707	718	717	705	751	857	526	331

λ = —0^h 33^m 52^s 5.

Februar 1883.

829	816	767	592	796	773	597	709 †	832	700	745	910	210	700
825	743	739	532	674	744	690	380	593	734	708	889	323	566
864	732	537	478	550	672	502	747	883	687	693	933	380	553
761	778	604	666	378	451	674	601	755	737	702	878	347	531
800	869	733	827	797	774	743	431	701	724	738	873	356	517
861	666	486	714	794	699	545	802	783	762	725	865	433	432
769	765	785	782	751	780	745	669	731	735	754	877	630	247
805	721	876	846	844	719	750	711	717	697	776	877	685	192
784	785	802	792	756	726	744	716 †	734	738	759	803	692	111
987	813	795	793	781	767	685 †	765	757	752	763	952	643	309
803	814	803	807	800	767	761	744	751	757	767	824	740	84
798	787	792	773	769	761	764	761	757	744	763	801	742	59
780	801	788	772	780	782	780	782	765	654	761	804	643	161
905	893	741	821	788	778	760	750	464	650 †	757	919	402	517
760	754	763 z	762	770 z	752	759 z	750	751	723	751	784	605	179
822	803	770	766	790	755	753	743	753	751	752	851	622	229
829	797	740	768	799	767	650	493	580	681	732	829	467	362
784	793	758	790	758	770	729	775	771	758	763	807	692	115
766	772	765	768	763	766	760	766	778	767	742	780	496	284
837	762	818	806	763	760	762	659	702	698	763	931	580	351
839	785	760	784	793	682	608	790	531	597	742	841	497	344
702	541 †	635	758	677	730	773	728	657	712	712	921	0.08930	991
913	798	751	782	778	629	518	581	630	407	718	921	376	545
569	661	839	821	779	740	332	714	778	390	719	942	278	664
777	754	795	760	752	757	751	752	755	755	621	862	0.08930	932
907	826	768	779	809	760 ↓	713 †	700	761	694	753	929	616	313
675	765	740	565 †	683	800	238	669	765 †	350 †	682	928	163	765
256	380	847	467	659	731	701	641 ↓	794 ↓	736 †	702	975	65	910
784	760	750	713	744	735	671	692	722	682	734	875	446	429

Horizontal-Intensität.

März 1883.

0.09000+0.00... C. G. S.

Jan Mayen.

Datum	1	2	3	4	5	6	7	8	9	10	11	Mittag	1	2
1.	620 ↓	678	575	548	576	574	609	795	760 ↑	870	812	842 ↓	744	807
2.	719	685	544 ↓	568	565	743	858	765 ↑	875 ↓	878 ↑	905	861 ↑	736	783
3.	756	439 ↑	453	427 ↑	528 ↑	705	660	833	854	808	816	794	863	902
4.	745	578 ↓	738	643	662	756	639	785	766	790	794	786	581	794
5.	740	689	492	428	544	639 ↑	582	800	764	777	835	819 ↑	777	810
6.	759	748	745	709	709	742	775	762	760	764	760	764 z	786	813
7.	698	786	677	700	643	804 ↑	511	711	751	761	780	807	835	904
8.	670	703	520	656	206	455	571	622	735	776	804	850	929	868
9.	766	550	449	552	658	736	802	773	777	804	795	846 ↓	760	778
10.	750	725	750	680	707	744	757	750	738	759	737	798	810	856
11.	716	754	775	759	764	763	762	757	750	755	765	781 z	830	825
12.	753 z	753 z	760 z	760 z	765 z	764 z	763 z	753 z	748 z	744 z	740	751	793	898
13.	719	734	725	690	601	424	665	512	757 ↓	793	696	748 ↑	585	919
14.	734	747	707	646	690	736	664	690	835	758 ↑	762	815 ↑	775	793
15.	756	742	725 z	696	668 ↓	732	733	763	736	756	748	773	760	788
16.	750	753	748	737	736	715	693	774	766	741	745	749	789	775
17.	697	725	726	754	760	754	756	750	743	754	747	753	783	798
18.	690	681	757	747	720	776	768	759	746	738	753	791	829	793
19.	750	733	767	765	761	764	759	753	740	736	729	745	750	760
20.	764	760	726	760	753	760 z	760 z	757 z	748 z	741 z	740 z	745 z	750	753 z
21.	749	737	710	652 ↑	704	643	623	727	766	811	825	864	883	982
22.	755 ↑	718	359 ↑	571 ↓	535	537	556 ↑	718	754	768	842 ↑	761 ↓	961	906
23.	730	702	724	635	612 ↓	621	625 ↓	757 ↓	747	746	774	803	986	879
24.	718 z	549 ↓	524 z	665	634	705 z	744 z	782	755	763	746 z	752 z	796	804
25.	685	652	577	632 z	690	713	742	763	773	742	773	775	772	857
26.	742	719	710	616	696	657	651	763	734	736	770	879	858 ↓	878
27.	659	642	526	464 ↑	764	772	704	719	265 ↓	522 ↑	612	788 ↑	660	684 ↓
28.	734	720	690	691	590	648	519 ↓	664	693	817	849	847 ↑	925	961 ↓
29.	743	570	582	565	590 ↓	562 ↓	721 ↓	765	824	797	858	859	943	884
30.	449	291 ↑	532 ↑	815	767	778	765	745	751	780	802	814 ↓	820	828
31.	738	484	564 ↓	777	751	748	765	752	753	747	760	612	815	831
Mittel	713	669	641	655	659	678	694	742	747	766	777	793	801	834

April 1883.

φ = +70° 59' 48".

1.	766 z	606 ↑	613	566 ↓	669	723	730	748	763	754	763	816 z	832 z	834
2.	747	732	730	733	695	707	731	748	776	769	755	796	823	827
3.	728	674 z	776 z	762	714 ↑	673	633	634	716 ↓	762 ↓	888 ↓	679	619 ↓	590 ↓
4.	673 ↓	622 ↑	642	679	540 ↑	611 ↑	711 ↑	751 ↑	782	820 ↑	793 ↓	861	962	929 ↑
5.	718	761 z	730 ↑	725	761	776	770 ↑	708 ↓	766	801 ↑	785 ↑	791 ↑	868	778
6.	696	735 ↓	640	486 ↓	592 ↓	703 ↓	782	827 ↑	748	805	765	788 ↓	788	836 z
7.	736 z	710	767	781 z	760	754 z	761 z	752 z	747 z	745 z	737 z	751	748 z	758 z
8.	751	688	693 z	690 z	675	705	730	754 z	749 z	749 z	764 z	783 z	872 z	891 z
9.	745	765 z	771	759	780 z	762	763	748 z	740	736 z	754 z	856	958 z	839 ↓
10.	763 z	763 z	727	713	763	764	756 z	748 z	731 z	730 z	744	758	783 z	805
11.	730	741 z	738 z	721	622 ↑	638	650	715	740	790 z	759	770 z	764	775
12.	763 z	753 z	752	720	749 ↑	734	735 z	756	755 z	736 z	764 z	758	887	804
13.	758 z	773	771 z	764 z	761 z	758	745	736	734	752 ↓	771	770 z	773	854
14.	698	742 z	743	717	761	765 z	766 z	759 z	749 z	747 z	744 z	753 z	750 z	769 z
15.	760 z	758 z	758 z	758	761	754 z	754 z	749 z	749 z	745 ↓	737 z	747 z	788	871
16.	662 ↓	626	600 ↑	635 ↓	758	775	775	750	754	751	734	778	803 ↑	801
17.	781 z	750 ↓	751 z	729	629 ↓	603 ↑	711	751	753 z	758 z	772 z	776 z	755	769 z
18.	782 z	768 z	767 z	757 z	758 z	753 ↑	752 z	744 z	749 z	768 z	840 z	906 z	912 ↓	919
19.	670 ↑	690 ↑	720 ↓	624 z	607 ↓	389 ↑	523	731	782 ↑	819	845 z	837	908	980
20.	672	640	539 ↑	674 z	497 ↓	622 ↓	623	727	784 ↑	779 ↓	822	933	1031 ↑	1091 ↓
21.	749 z	760 z	724 ↓	678	730	748	748 z	740	731	755 z	723 z	774 ↓	755 z	753 z
22.	755 z	756 z	753	750	754	747	745	744	741 z	748 z	761	746 z	770 z	793
23.	750 z	708 z	745 z	765 z	756 z	753 z	750 z	748 ↓	742 ↑	746 z	751 z	767 z	778 z	792 z
24.	774 z	773 z	771 z	769 z	768 z	760 z	755 z	747 z	740 z	742 z	740 z	747 z	820	826 z
25.	683 ↑	688 ↓	612 ↑	755 ↓	525 ↑	721 ↑	680 ↑	700 ↑	769 ↓	756 ↑	787 ↑	890 ↓	891 ↓	802
26.	789 ↓	672	693	649 ↓	594 ↑	579 ↑	647 ↓	730 ↑	782 ↓	758	760	815	822 ↓	842 ↑
27.	642 ↑	627 ↓	622 ↑	606 ↓	630 ↑	628 ↑	795 ↑	754	766 ↑	761 ↑	808 ↓	850	926	920
28.	771	723	696	750	669	659	697 ↑	753	746	750	754	791 z	808	843 ↑
29.	664 z	675 z	741 z	709 z	763	754	734	741 z	754	738 z	754 z	795 z	790 ↑	901 ↑
30.	700	769	718	682	701	728 z	733	750 z	737 z	739 z	764 ↑	795 z	826	896 ↓
Mittel	729	715	710	704	691	702	723	743	752	760	771	796	827	837

Horizontal-Intensität.

März 1883.

Correction auf M. O. Z. —13^m6

Bifilar.

3	4	5	6	7	8	9	10	11	12	Tages- mittel	Höchste Lesung	Niederste Lesung	Differenz
649	772	849	692 ↓	470 ↓	715	636 ↓	690 ↑	497	719 ↑	688	1089	0'08930	1159
706	728	725	578 ↓	734	405 ↓	516 ↓	757	537 ↓	787	707	937	340	597
871	795	774	539	707	668	707	727	700	730	711	909	424	485
855	837	896	757	694	742 ↓	725	405 ↓	717	728	729	897	459	438
873	810	817	757	818	779	764	753	695	693	727	875	417	458
810	855	878	803	719	489 ↑	761	758	763	204	735	884	155	729
903	933	813	885	804	745	797	797	707	753	755	971	344	627
963	941	841	791	805	765	524 ↑	650	699	725	715	968	241	727
776	937	768	666	694	743	739	750	750	760 z	735	944	444	500
890	866	821	778	724	717	761	627	715	684	750	905	402	503
844	905	839	792	773	773 z	764 z	766 z	766 z	754 z	781	911	709	202
910	864	854	840	771	740	792	666	748	761	779	913	661	252
856	845	803	805	757	753	736	740	755 z	763 z	725	921	411	510
778	827	850	789	729	757	709	740	658 ↓	727	749	852	503	289
780	812	809	826	777	793	760	758	755	753	758	855	594	261
865	870	853	812	766	717	753	746	776	756	766	877	688	189
773	849	820	823	774	777	782	501	740	592 ↓	747	850	419	431
764	773	790	806	793	758	676	703	721	745	747	832	517	315
773	772	837	811	793	778	703	768	766	764	764	839	725	114
761 z	776	788 z	791 z	780	774 z	773	772	613 ↑	652 ↓	750	791	586	205
901	890	815	788	620	693	731	832	451 ↑	628	749	936	424	512
893	924	854	730 ↓	715	796	777	682 ↑	696 ↑	759	707	971	0'08930	1041
827	900	876	825	444 ↓	615	744	745	642	734 z	735	944	440	504
806	805 z	823	809	790 z	787 ↑	755 ↓	373 ↓	579	639 ↓	713	825	270	555
902	877	906	864	790	682	706	752	739	757	755	909	571	338
842	800	793	780	621	685 ↓	464	831	405	821	727	886	337	549
770 ↓	756	596 ↑	735 ↓	805 ↓	748	516	611 ↑	728	700	656	828	198	630
666	839	733 ↓	679	720	657 ↑	614	740	801	785 ↓	733	995	501	494
830	652	865	839	843	570	279 ↓	709	779	647 ↓	720	963	169	794
889	824	796	810	803	778	740	563	715	732	731	861	273	588
873	903	917	773	804 ↓	804	707	780	669 ↓	722	752	923	462	461
824	887	819	754	737	716	695	702	689	709	735	905	407	498

λ = —0^h 33^m 52^s.5.

April 1883.

886	852 z	878 ↓	802	801 z	800 z	770 z	715	738	762	758	900	527	373
850	921	799	864	814	761	675	442	619 ↓	755 z	753	927	404	523
338 ↑	594	763 ↓	553 ↓	748 ↑	739 z	772 ↓	337 ↓	120 ↑	523	639	932	88	844
794 ↓	805 ↑	779 ↓	578 ↑	694 ↑	632 ↑	763 z	692	618 ↓	725	727	975	429	546
929 ↓	906 ↓	813	811 ↓	540 ↓	439 ↑	666	387 ↓	563 ↓	730 ↑	728	942	60	882
831 z	825 z	859	801 ↓	822	637 ↑	709	755 ↑	769 z	765 z	746	860	385	475
765 z	772 z	778 z	779 z	779 z	769 z	771 z	768 z	778 z	765 z	760	782	705	77
980	975	939	835 z	831	764	773	769	791	770 z	788	989	666	323
841	833 z	888	820 ↓	733	726	768 ↓	760	752	757 z	786	968	704	264
785	808	823 z	824 z	794 z	795 z	799 z	776 z	701	719	766	827	688	139
815 z	803 z	841	804 z	794 z	740	756	772 z	779 z	764 z	751	844	604	240
780	812	906	803	780 ↓	794 ↓	768 z	605	729	748	766	911	588	323
875	868	874	717 ↑	740	797	785 ↓	768 z	672	635 ↓	769	888	629	259
800 z	803 z	797 z	799 z	809 z	788 z	760 z	769 z	766 z	770 z	764	809	693	116
963 z	923 ↑	841 z	836	799 z	793 z	785 z	794	740	592 ↑	782	1008	578	430
810	805	807 z	835 z	886 z	775 ↓	688 ↓	788 z	766 z	780 z	754	837	592	245
770 z	793 z	800 z	802 z	806 z	784 z	789 z	778 z	784 z	781 z	757	807	597	210
945	867	892	836	794 z	803 z	524 ↑	604	513 ↓	698 ↑	778	955	487	468
843 ↓	830	903 ↓	785 ↑	811	770	666 ↑	756 ↓	772 ↓	650 ↓	746	984	334	650
954 ↑	815 ↓	666 ↓	870	860 ↓	849	778	761	755 z	754 z	771	1003	447	646
774 z	781 z	793	788	794 z	781 z	756 z	773 z	768 z	765 z	756	795	669	126
851	945 ↑	867 z	813 z	793 z	791 z	774 z	767 z	764 z	768 z	779	957	740	217
821 z	818 z	789 z	791 z	788 z	825 z	774 z	753 z	778 z	765 z	769	827	707	120
931	959 ↓	1009 ↑	988 ↓	824 ↓	912 ↓	693 ↓	655 ↑	879 ↓	312 ↑	787	1028	271	757
864 ↑	856 ↓	815	722 ↓	743	642 ↓	802 ↓	681 ↑	396 ↓	743	733	905	375	530
890 ↓	897 ↑	707	751	730 ↓	768 z	743 z	694 ↓	524 ↑	710 ↑	731	907	478	429
891 ↓	829	851 ↓	780 ↓	718 ↓	750 ↓	724 ↑	593 ↑	654 ↓	761	748	933	583	350
820 z	825 z	871	780 ↑	854	779	788	765	736	756 z	767	874	651	223
883	844 ↓	837	865	754	723 ↑	734 ↑	781	494 z	642 ↓	755	907	491	416
905 z	957 ↓	871 z	858 z	608 ↑	796 ↓	756 ↑	625 ↓	688 ↓	738	764	973	456	517
839	844	837	797	773	757	744	694	681	713	756	911	521	390

Horizontal-Intensität.

Mai 1883.

0-09000+0-00... C. G. S.

Jan Mayen.

Datum	1	2	3	4	5	6	7	8	9	10	11	Mittag	1	2
1.	749 z	744	720	667	594	570 †	760 †	762 †	786	755	779	760	761	775
2.	712 †	532 z	396 †	627 †	715 †	697	706	735	801	747 †	765	841 †	952	946
3.	530	641	690	633	723	751	759	776 †	752	769	758 †	817	804	817
4.	715	757	702 z	618 z	735 z	754 †	754	741	747 z	768	773	775 z	763	773
5.	628 †	699 †	690	666 †	720	770	778	761	749 †	742 z	757	784 z	835 †	962
6.	757	734	639	690	701	668	729	758	761	746	764 †	835	888	987
7.	774 z	770 z	755 z	629	659	714	691	721 †	734 †	705	749	772 †	820	845 †
8.	748 z	765 z	753 z	711 †	740 †	730	751	739	735	761	803	799 †	880	821
9.	747 †	781	703 †	745	749	743	745	747	747 †	740	768	767	772	793 z
10.	755 z	755 †	752 z	721	761	748	746	746 z	735	750 z	760	749	768	783
11.	734 z	674 z	676 z	774	772 z	770 z	766	766	743	747 z	768 z	784 z	749 z	775 z
12.	727	623 †	630 †	709 z	709	738	764 z	776 z	749	747 z	741 z	748 z	768 z	782
13.	766 z	751	744 †	763	751 †	764	751 z	749 z	749 z	742 z	755 z	761 z	770 †	868 z
14.	756 †	507 †	564 †	493 †	493 †	718 †	766 †	764 †	762 z	758 z	771 z	814 z	853 †	869
15.	765 †	763 z	749 z	695 †	644 †	692	743 †	758 z	760 z	778	774 †	745 z	783	878 z
16.	732 z	770 z	682	693 z	709 z	718	708 †	684	714 †	684 †	802 †	857 z	947	889 †
17.	763 z	764	753	765 z	756 †	755 †	749 z	722 z	734 z	721 z	755 †	800	765 z	796 †
18.	495	637	759	702 z	750	769 †	770	760 z	762 z	758 z	784	793 z	810 z	803
19.	735	748 z	755 †	751	670	506 †	643 †	749	766	732	833	861 †	1029 †	1047
20.	761	734	750 z	762	608	703	756 z	758	737 z	759 z	752	773 z	778 z	803
21.	753	615 †	578 †	643 †	444 †	525	660 †	610	779 †	849	842	928 †	990 †	851 †
22.	266 †	614 †	711	795 †	700 †	701 †	725 †	759 †	708	788	875 †	880	911 †	916 †
23.	508 †	753	675	591 †	617	690 †	751 †	758	794	757	790 z	872 z	866	876
24.	594 z	663	675	695	724	745	747	750	736	765 †	795	809 z	839	907 †
25.	672	699	715	730	723	724	771	763	758	757	767	804	841	838 †
26.	728 z	670 †	726 †	608	716	763	720	743	789 †	781 †	821	896	880 †	888 †
27.	769	744	737 †	695	672 †	773	781 †	773	768	800	809	812 †	846	828 †
28.	626 †	647	531 †	655	775	761	734	744 †	754	764 z	807 z	858 †	834	880 z
29.	624	627	709 †	679	886	651	736 †	748 z	784 †	782 z	761 z	779 †	830	836 †
30.	746 †	699	680 z	718 z	751	769	760 z	743	750	765	795	759 z	840	872
31.	693	741 †	586 z	557 †	499 †	463	469	737	764	786	767	779 z	828 z	790 z
Mittel	688	699	685	683	688	705	732	745	757	760	782	807	840	857

Juni 1883.

φ = +70° 59' 48".

1.	732	544 †	664	606	714 †	774 †	784 z	765	768	792	793	787	757	863
2.	722	730	608	544 †	604 †	783 †	719	712	717	776 †	862	916 †	835	813
3.	813 †	760 †	598	723	728 †	764 †	683	646 †	770 †	790 †	734 †	778 †	759	826 z
4.	741 †	755 †	703 †	718 †	718 †	720 †	770	755	750	753 †	768 †	795	822 †	825 †
5.	754 z	682 †	685 †	723 †	737	743	753	741	742	753	755	773 z	779 z	777
6.	763 z	781 †	749 †	675 †	705 †	730 †	684 †	714 †	737	764 †	790 †	884 †	875	997 †
7.	752 z	600 †	579 †	683 †	730 †	698	765	782	762	760	747	755	821	846 z
8.	740 †	633	593	657 †	659	757 †	774	758	743 z	748 z	797 †	868	967	1020
9.	650 †	695	800 z	651 †	626 †	685 †	730	744	750 †	732 †	738 †	863	993	934
10.	765 †	610 †	728	771 z	773 z	765 z	761 z	759 z	757 z	755	758	773 z	830 z	811 z
11.	758	732 †	700 z	661 z	617 †	692	724 †	759 †	746	730	785 †	744 †	762	800 †
12.	770 z	753 †	761 z	765 z	766 z	764 z	758	757 z	770 z	744	761 †	834 z	836	832
13.	768 z	768 z	766 z	739	616 †	563	729	777 †	768 †	749 z	742 z	733 z	729	770
14.	738	656 †	576 †	720	814	738	770	731	765	751	760	785 z	800	848 †
15.	741	619 †	722	736	765 z	760 z	750 z	740 z	759 z	752 z	745 z	745 z	760	764
16.	738 †	626 z	759 †	773 †	780	769 z	758 z	754 z	757 z	763 z	749	763 †	766	770 †
17.	773 z	791 †	o †	286 †	339 †	508 †	666	748	776 †	853 †	903	861 †	836 †	970 †
18.	658	710 †	747 †	670	508 †	585 †	665 †	687 †	773	839 †	933	844 †	873	967 †
19.	750	703	652 †	365 †	476 †	557 †	665 †	785 z	760 †	772 †	797	808 †	889	856 †
20.	668	661	728	712 †	652	704	651 †	765	776	768	740	799	764	808
21.	688	557	551	639	705 †	762	794	784	757	758	737	744	778	798
22.	720 z	769	785 z	780 z	768 z	765 z	756 z	735	734	747	721	722	803	817 z
23.	503	662	706	486	516	571	709	818	795	797	933	1012	975	926
24.	551	506 †	620 †	614	670	697	745	789	773	744	740	755	763	805
25.	510 †	596 †	717 †	635	730 †	765	764 z	758 z	748 z	753 z	768 z	753 †	802	970 †
26.	565 †	660	758	770	786 z	758 z	735 †	701	700	732	838	736	780 z	820 †
27.	749	742	670 †	752	550	361 †	639	687	659	713 †	838 †	784 †	754 †	989 †
28.	700	201 †	274 †	430 †	590	736	743	760	743	774	786	892 †	866	819 z
29.	756 †	738 z	742 †	706 †	733	758	740	734	731	757 †	761	746 z	769 z	874
30.	714 z	663 z	677	690	655	566	780	713 †	853 †	829 †	998 †	1074 †	1065 †	877
Mittel	708	664	654	656	668	693	732	745	755	765	793	811	827	860

Correction auf M. O. Z. —13^m6

Bifilar.

Mat 1883.

3	4	5	6	7	8	9	10	11	12	Tages- mittel	Höchste Lesung	Niederste Lesung	Differenz
871 ↑	888	867 ↑	873	796	795 ↓	765 †	751	631	740	757	894	527	367
901	857	847	827	584 ↓	629 †	549 †	758	774	506	725	957	371	586
803 z	805 z	841 ↑	838 †	817 †	784 †	770 †	726 ↓	712 †	642 †	748	840	525	321
798	817	901	813	806	805	704	759 z	630 †	752 z	759	905	606	299
914 ↑	923 z	900 †	868	865 †	794 ↓	734 †	701 †	654	706	775	970	611	359
815	864 †	967 †	805 †	796 †	774 z	818 z	793 z	784 z	774 z	785	988	636	352
980 ↑	1000 ↓	905	878 z	834 z	800 z	780 z	791	786 z	788 z	789	1015	626	389
860	901	938 ↑	852	858	835 ↓	793	753 ↓	627	743 z	788	949	613	336
787 z	859	893 z	922 †	838	840 z	798 z	785 z	775 z	758 z	780	935	736	199
786	835	945 z	861	794 †	778 †	757 †	778 z	767 ↓	745	774	948	715	233
881 z	795 z	796 z	803 z	798 z	798 z	791 z	795 z	794 z	756	769	832	670	162
825 z	810 z	840	839 z	828	785 z	733 †	720 †	710 †	763 z	753	844	617	227
934 z	985 ↓	954 †	894 z	842 z	844	705 †	797 z	700 †	715	794	991	691	300
832 †	809 z	818 z	820 †	796 z	779 z	774 z	773 z	762 z	760 z	745	873	481	392
888 ↑	975 z	867 †	833 †	804 †	806 †	791	773	761	757 z	785	979	633	346
1043 †	1027	941	881	810 ↓	743 z	754 z	771 z	762 z	774 z	796	1050	681	369
929 ↑	865 z	898 z	889 z	781	773	770	789	824	100 †	759	936	76	860
878 z	854 z	859 z	811 z	820 z	786	791	764 †	759	755	770	884	493	391
1017 z	917 †	921	886 †	840	770 †	791 z	779	774 z	785	806	1054	494	560
873	881	864	892	613 ↓	653 †	773	800	825	812	767	900	570	330
974 †	741 †	846	820 †	451 †	384 †	377	625	708	398 †	683	1015	358	657
934	885	720 †	870	764 †	552 †	720 †	736	209 †	289 †	716	952	178	774
932	905	899	840 z	827 z	796 z	778 z	784	768	619 †	769	934	499	435
903 z	934	896 z	788 z	771 †	873 †	754 †	746	522	690 †	763	938	510	428
845 ↓	868 †	840 z	838 †	789 †	780 †	740 †	454 †	550 †	688 †	748	866	377	489
870 †	961 †	885 †	880	665 †	713 †	715 †	727	743	767	777	978	598	380
799 ↓	792	853 †	874	869	669	737	664	732	685	770	878	650	228
1014 z	898	884 ↓	851 †	800 z	789 z	829	656 †	572	679	704	1022	529	493
925	926	835	821 z	812 z	814 z	743 †	648 †	710 †	727	758	930	620	310
828	938	908	863	831	753	605 †	705	652	708 †	768	940	566	374
872	846	871 z	804 †	871 z	836	787	792	781 z	766 z	737	877	454	423
887	882	877	849	788	759	741	738	702	682	704	938	539	399

λ = —0^h 33^m 52^s.5.

Junii 1883.

899	927	825 †	800 †	848	770	755	708	754	774 †	767	937	517	420
752	805	821	805	1008	952	931 †	625 †	807 †	817	778	1021	523	498
1032 ↑	947 ↓	879 z	801 z	884 z	834 z	709 z	784 †	748 †	769 †	786	1041	587	454
842 ↓	812 ↓	842 z	865 z	858	767 †	785	747 z	770	748	770	866	696	170
778 z	790 z	808 †	800 z	796 z	803 z	771 z	784 z	778 z	778 z	702	809	674	135
935 †	890	776	780 †	668 †	753 †	736	758 †	700 †	752 †	775	1001	660	341
883	889 †	891 z	836 z	778 ↓	799	774 †	692 †	695	683 †	758	891	571	320
900 ↓	954	881	811	826	753	628 †	734	712 †	711	770	1026	588	438
932	1021	916	886	823	670 †	780	750 †	805	803	791	1039	537	502
869 z	885 z	910 z	831 z	765 †	810 †	702	731 †	733	739	777	912	601	311
828 †	878 †	895	838	830	823	778 z	790 z	780 z	772 z	768	906	606	300
859 z	876 †	826	810 ↓	865 z	807 ↓	776 †	786 †	752	770 z	792	879	743	136
871	977 †	963	822 ↓	825 z	818 †	797	784 z	795	794 ↓	778	983	558	425
959	968 ↓	848 z	864 z	791 z	700 †	784	797 †	703 z	705 z	781	982	558	424
780	801	843 z	865	846	791	840 ↓	780	735	754 z	768	907	642	265
790 z	801 z	866 †	891 †	865	820	803 z	785 ↓	691	680	772	897	613	284
948 ↓	883	825 †	798	767 z	625 †	576 †	750	736	470 †	695	1004	0'08030	1074
909	910	804 †	913	825	747	544 †	794 †	718 ↓	734 †	765	978	470	503
873	914	864	882	866 †	805	503 ↓	500	020	733	731	949	352	597
665	1002	853 †	880	879	651 †	623 †	757	691 ↓	751	748	1008	587	421
800	821 †	844 z	886 z	817 z	775 †	767 †	768	762 z	671 ↓	749	888	548	340
1046 ↑	949	992 †	856 †	788	859 †	850	844 z	872 †	406 †	795	1065	363	702
848	853	865	843	747 z	567	713	558 †	614	635 z	736	1018	425	593
850	885	898	930	851 †	637 †	791 z	746 z	750 z	700	742	933	462	471
1059 z	966 †	875 †	909	776	815 z	703	768	720	780	781	1002	503	559
1002 ↑	810	924	907	887	765	710	696	720	727	770	1009	559	450
1033 †	989 †	835 †	817 †	747	704 †	710	730 †	760 †	739	748	1057	336	721
937	886	708 †	857	852 ↓	628 z	766 z	792 z	780 †	773 z	721	942	192	750
896 z	867 z	867 z	878 †	896 †	767	753	711 †	722	755	777	907	696	211
1116	1114 †	895	795 †	838	799 z	760	508	677 †	58 †	780	1129	34	1095
896	903	861	851	827	762	746	734	739	702	765	968	504	464

Horizontal-Intensität.

Juli 1883.

0.09000+0.00... C. G. S.

Jan Mayen.

Datum	1	2	3	4	5	6	7	8	9	10	11	Mittag	1	2
1.	766	705 ↓	655 ↑	782	767 ↑	661 ↓	628 ↑	654	730 ↑	849 ↑	992 ↓	906 ↓	1045 ↓	1019 ↓
2.	683	353	185 ↓	226 ↓	145 ↓	515 ↓	071	797	705	845 ↑	823 z	794 ↑	799 z	768
3.	778	725	725 ↓	098 ↓	609	757	709 ↑	754	739	701 ↑	780 ↑	812 ↑	859 ↑	858 z
4.	660	005 ↓	586 z	712 z	702	004	715	747	753	744 z	708 z	800 z	888 ↓	898 z
5.	725 z	742 z	628 ↓	082	657 ↓	050 ↑	047	713	709 ↓	700 ↓	807	835	899	991 ↑
6.	608 ↑	508 ↑	605 ↓	634	621	054 ↑	751	707 ↑	737	729	808 ↑	810	842	819 z
7.	708 ↓	640	650	761 ↓	708 ↓	758	738	749 z	739	733 z	736 ↑	742 ↑	700	799
8.	760 ↓	748 ↓	735	760	069 ↑	040 ↓	555 ↓	546 ↑	030 ↑	789	743	904 z	1059 ↑	979 ↓
9.	793	742 ↓	720	758	750 ↓	751 ↓	748	743 ↓	724	750	757	757	780	787
10.	740	831 ↓	588 ↓	075	550 ↑	706	031 ↑	550 ↓	690	792	734 ↑	747	795 ↑	777
11.	280 ↓	428 ↑	646 ↓	686 ↑	723	768	734	723	780	748	755	760 z	762	778 z
12.	33 ↓	538 ↑	803 ↓	20 ↑	057	017 ↓	712	697	731	748	758	769 ↑	774 z	845 z
13.	720 z	746 ↑	783 z	751	701 z	745	728	703	706	775	843 ↓	823 ↑	935 z	908 ↑
14.	506	618 z	680 ↑	734	760 ↓	739	740	741 z	721	780 ↑	859	944 ↑	1110 ↓	707
15.	753 z	745 z	751 z	734 z	752 ↑	741	732 z	738	725 z	735 z	740 z	741 z	750 z	830 ↓
16.	704	760 ↓	713 ↑	636 ↓	528	470 ↑	724	740	738	790 ↑	793 ↑	834 ↑	769 ↓	645 z
17.	662 ↓	518 ↓	606 ↓	745	683	750	733	768	757	750	797 ↑	787 ↓	802	840
18.	707 ↓	738	726	600 ↓	644 ↑	780 ↑	725	745 ↓	663	754 ↑	784 ↑	873 ↓	1019 ↑	1010
19.	355 ↑	321 ↑	198 ↓	639 ↑	754	703 ↑	744	740	749	749	730 z	773 ↑	802 z	843 ↓
20.	629 ↑	549	586	608	723	757 z	745 ↓	738	745	728	774	783 z	800 ↑	850 z
21.	709	690 ↓	744 z	740 ↑	738	737	726	723	730 z	729 z	742	746 z	770 z	766 z
22.	759 z	751 z	748 z	743 z	763	776 z	740 ↓	721 z	720 z	717 ↑	728 z	739 z	736	765
23.	815 ↑	698 ↓	732 ↑	740 ↑	743 z	745 z	737 ↓	747 z	758 z	764 z	735 z	747 z	748 z	770 z
24.	753 z	764 z	712 ↑	747 ↓	505 ↑	613 ↓	637	698	718	726 ↑	775 ↓	758 z	897	1021
25.	688	738 ↓	459 ↓	756	654	682	757	703	749	758	702	839 z	884 z	903 z
26.	726 ↓	722 z	656 ↓	652 ↑	746	716	736	726	724	731	775	819 z	849 z	864 ↓
27.	670	655 ↑	713	638	589	558 z	721	698	771	759	754 z	774 ↑	994 ↓	1072 ↑
28.	772 z	771 z	764 z	771 z	765 z	758 z	759 z	752 z	748 z	755 z	750 z	770 z	791 z	821 z
29.	753	731 ↑	699	092	745 z	741	747 z	750 ↓	761 z	753 z	740	774	777 z	802 z
30.	711 ↓	823 ↓	38 ↓	581 ↓	648 ↑	738	653 ↓	693	779	809	899	406 ↓	006 ↑	610 ↑
31.	738	682	655	773	708	707	629 ↓	408 ↑	504	658	739	745 ↑	886	700
Mittel	666	664	629	667	676	699	710	711	728	757	781	786	843	842

September 1882 bis Juli 1883.

Horizontal-Intensität.

φ = +70° 59' 48"

Sept. 1882	690	692	646	674	686	702	724	733	748	745	767	775	797	819
Oct. "	685	696	693	652	688	704	748	762	773	785	802	858	791	818
Nov. "	636	639	661	691	684	722	765	760	768	771	752	755	782	776
Dec. "	697	694	685	659	708	729	729	750	764	770	786	789	795	797
Jän. 1883	695	717	727	722	716	741	763	771	773	776	783	795	796	798
Febr. "	689	666	692	698	702	739	739	757	751	757	774	789	806	812
März "	713	669	641	655	659	678	694	742	747	766	777	793	801	834
April "	729	715	710	704	691	702	723	743	752	760	771	796	827	837
Mai "	688	699	685	683	688	705	732	745	757	760	782	807	840	857
Juni "	708	664	654	656	668	693	732	745	755	765	793	811	827	860
Juli "	666	664	629	667	676	699	710	711	728	757	781	786	843	842
Mittel	691	683	675	678	688	710	733	747	756	765	779	795	810	823

Horizontal-Intensität.

Correction auf M. O. Z. — 13^m6

Bifilar.

Juli 1883.

3	4	5	6	7	8	9	10	11	12	Tages- mittel	Höchste Lesung	Niederste Lesung	Differenz
949 †	1095	949	873	760 †	779	827	810	793	647	818	1125	110	1015
751	770 z	776 †	808 z	862 z	825 z	769 z	760	785 z	770 z	677	863	136	727
902 z	945 z	957 †	905 z	811 z	669 †	711 †	583 †	621 †	621 †	767	971	568	403
906 z	917	865 †	816	833 z	825 †	779	733 †	690 †	084	762	923	583	340
1057 †	1050 †	834 †	921 †	796	792	674	788 †	820 †	702	787	1069	609	460
814	800 z	854 z	887 z	906 †	834 z	834 z	776 †	764 z	720 z	753	908	502	406
896 †	1013 †	969 †	1003 †	858 z	800 †	760 †	773 z	778	769	788	1036	638	398
834 †	1108 †	806 †	1002 †	1009 †	835 †	891	760	846	816 †	812	1151	528	623
799	803 †	796 †	818	815	774	744	713	705 †	823 †	767	832	709	123
800 †	794 †	836	877 †	810	818 †	556 †	788 †	750	677 †	729	890	335	555
805 z	815 †	821 †	869 †	911 †	821 †	706 †	726 †	876	453 †	724	925	226	699
841 †	838 z	820 z	799 z	779 z	795 †	766	779 z	738 z	743 z	092	855	0 ^o 080 ³⁰	925
986	957 †	913	891 †	814 †	720	570 †	754 †	755 †	743 z	795	992	551	441
868	1027	937	835 †	788	799 z	774 z	775 z	788 z	758 z	791	1149	494	655
997 †	862	705	995 †	792	726	774	845 †	208 †	753 †	755	1032	194	838
956 z	958	896	770 †	728 †	793 †	738 z	528 †	651 †	682 z	731	963	417	546
898	856	871	878 z	807 z	725	686	738 †	710	774	756	900	503	397
992 †	928	1015	841 †	683 †	842 †	743 z	779	754 †	745	795	1033	595	438
881 z	892 †	959 †	847 †	818 †	733 †	592 †	709 †	703 †	631 †	706	978	130	848
906 z	853 †	860 z	916 z	787 †	798 z	773 †	774 z	753 z	701 z	756	919	527	392
763 z	761	769 z	774 z	783 z	786 z	768 z	780 z	735	765 z	749	787	682	105
785	791 z	805 z	821 z	825 z	803 z	782 z	751 z	775 z	763 z	763	828	711	117
790 z	787 z	788 z	834 z	859 z	816 z	746 z	637 †	603	753	757	873	606	267
893 †	972	924	893	855 z	819	778 †	803 z	504 †	646	767	1023	496	527
916 †	886 z	701 z	879 z	810 †	783	758 z	777 z	704 z	746 z	767	928	458	470
1037	929 †	825	876 †	549 †	713 †	805	844 z	518 †	697	760	1051	516	535
896 z	966	920 †	846 †	803 z	809 z	770 z	769 z	773 z	773	779	1079	553	526
857	862	823 z	814 z	790 z	809 z	798 z	752 z	743 z	709 z	782	867	741	126
815 †	888 †	867 z	969	908 z	833	814	787	779	681 †	784	972	664	308
1096	991	836	790	787	751	802	810	803 z	796	730	1101	0 ^o 088 ⁴⁷	1254
737 †	750 †	720 †	643 †	785	801 z	739 †	703	393 †	439 †	680	848	273	575
885	899	852	863	810	788	749	752	710	711	757	964	446	518

λ = —0^h 33^m 52^s.5.

Horizontal-Intensität.

September 1882 bis Juli 1883.

826	817	815	794	756	742	694	667	711	711	739	872	520	352
823	809	811	756	701	722	723	700	717	718	747	932	454	478
769	716	728	697	725	664	667	671	667	643	713	898	342	556
802	789	769	715	733	692	690	720	707	674	735	850	470	380
818	801	795	761	720	721	707	718	717	705	751	857	526	331
784	760	750	713	744	735	671	692	722	682	734	875	446	429
824	837	819	754	737	710	695	702	689	709	735	905	407	498
839	844	837	797	773	757	744	694	681	713	756	911	521	390
887	882	877	849	788	759	741	738	702	682	764	938	539	399
896	903	861	851	827	762	746	734	739	702	765	968	504	464
885	899	852	863	810	788	749	752	710	711	757	964	446	518
882	823	810	777	756	733	712	708	700	695	745	906	470	436

Vertical-Intensität.

September 1882.

0.49000+0.0... C. G. S.

Jan Mayen.

Datum	1	2	3	4	5	6	7	8	9	10	11	Mittag	1	2
8.	1550	1502	1455	1468	1464	1424	1433 ↓	1444	1469	1502	1491	1489	1489	1493
9.	1501	1497	1474	1531	1620	1413	1378	1432	1469	1462	1470	1477	1475	1468
10.	1484	1478	1467	1460	1460	1461	1454	1453	1451	1447	1444	1453	1450	1453
11.	1546	1476	1496	1422	1456	1338	1383	1423	1423	1434	1434	1443	1438	1433
12.	1479	1537	1864 †	1813	1343	1440	1402	1481	1470	1468	1462	1471	1482	1475
13.	1518	1570	1615	1510	1548	1475 †	1405	1451	1461	1478	1471	1456	1464	1451
14.	1498	1500	1669	1581	1441	1402	1444	1450	1479	1474	1468	1477	1478	1474
15.	1556 †	1489	1432	1437 †	1367	1357	1363	1392	1411	1437	1434	1437	1449	1414
16.	1431	1427	1421	1431	1430	1433	1437	1443	1455	1456	1454	1455	1451	1455
17.	1461	1424	1436	1487	1406	1342	1375	1393	1405	1415	1424	1437	1443	1451
18.	1555	1441	1426	1424	1421	1424	1428	1434	1433	1453 †	1458	1467	1471	1472
19.	1282	1275	1277	1282	1271	1277	1288	1291	1288	1300	1311	1310	1316	1323
20.	1307	1340	1331	1254	1259	1260	1272	1271	1263	1269	1250	1268	1282	1282
21.	1352	1368	1336	1286	1281	1280	1283	1282	1293	1313	1321	1311	1303	1299
22.	1335	1343	1344	1346	1338	1336	1334	1335	1333	1337	1338	1347	1350	1357
23.	1334	1350	1336 ↓	1311	1284	1295	1317	1327	1329	1336	1335	1342 ↓	1344	1324
24.	1377	1355	1366	1300	1357	1362	1366	1364	1360	1356	1369	1376	1378	1383
25.	1486	1508	1456	1456	1331	1408	1516	1296	1361	1290	1343	1356	1391	1331
26.	1390	1377	1374	1414	1369	1337	1324	1343	1325	1359	1367	1374	1362	1355
27.	1507	1484	1522	1493	1463	1458	1291	1334	1364	1371	1369	1363	1352	1349
28.	1363	1353	1340	1302	1304	1323	1326	1342	1355	1349	1361	1378	1373	1385 z
29.	1374	1328	1330	1324	1316	1301	1308	1320	1334	1350	1354	1363 z	1356	1376
30.	1334	1338	1322	1297	1295	1298	1298	1298	1314	1334	1336	1351 z	1366 z	1369
Mittel	1436	1425	1439	1400	1384	1367	1369	1374	1385	1391	1394	1400	1403	1399

October 1882.

φ = +70° 59' 48"

1.	1294 z	1291 z	1291 z	1276	1260	1262 z	1260 z	1265	1289	1291	1301 z	1295 z	1300 z	1302
2.	1319	1296	1305	1294	1266	1239	1252	1254	1273	1251	1053	914	1155	1013
3.	1580	1587	1411	1447	1336	1344	1346	1354	1360	1364	1355	1363	1391	1390
4.	1384	1407	1366	1374	1441	1337	1335	1347	1332	1366	1372	1368	1378	1390
5.	1381	1367	1368	1376	1381	1327	1320	1292	1377	1384	1386	1395 ↓	1390	1385
6.	1469	1628	1689	1674	1719	1573	1469	1508	1422	1366	1187	1204	1170	1187
7.	1407	1405	1394	1391	1395	1393	1391	1392	1394	1382	1383	1384	1388	1403
8.	1400	1388	1384	1387	1385	1381	1385	1387	1384	1384	1391	1428	1434	1433
9.	1457	1400	1410	1395	1378	1383	1380	1383	1380	1375	1378	1379 z	1384	1388
10.	1521	1458	1407	1396	1366	1367	1366	1359	1366	1370	1367	1349	1360	1354
11.	1387	1381	1451	1389	1380	1324	1342	1349	1344	1352	1361	1342	1343	1328
12.	1516	1512	1524	1505	1434	1411 †	1448 †	1443	1454	1474	1474	1467	1474	1474
13.	1514	1488	1514	1428	1415	1441	1427	1446	1459	1454	1454	1458 †	1464	1466
14.	1497	1473	1449	1446	1447	1441	1448	1446	1449	1453	1462	1448	1433	1435
15.	1656 †	1597	1550	1475	1406	1395	1390	1342	1388	1418	1424	1416 †	1316	1236
16.	1416	1469	1443	1431	1435	1398	1401	1423	1420	1342	1350	1388	1419	1429
17.	1422	1472	1003	1591	1487	1381	1351	1395	1429	1440	1422	1420	1411	1426
18.	1622	1597	1532	1490	1511	1469	1483	1489	1512	1520	1523	1521	1524	1527
19.	1430	1442	1435	1428	1420	1416	1414	1423	1427	1429	1434	1444	1450	1446
20.	1434	1434	1433	1431	1431	1429	1431	1432	1436	1447	1446	1376 z	1376	1364
21.	1356	1344	1347	1354	1350	1354	1354	1355	1356	1357	1357	1360	1365 z	1365
22.	1417	1395	1369	1351	1324	1323	1314	1336	1336	1340	1352	1360	1363	1281
23.	1524	1470	1510	1488	1420	1411	1338	1353	1351	1346	1344	1357	1359	1369
24.	1432	1395	1378	1281 †	1498	1377	1282	1363	1361	1369	1377	1329	1301	1354
25.	1379	1374	1321	1378	1415	1435	1391	1340	1310	1312	1337	1348	1346	1381
26.	1432	1436	1586	1482	1413	1398	1400	1419	1434	1433	1436	1438	1446	1456
27.	1570	1525	1486	1449	1443	1454	1481	1443	1419	1453	1464	1460	1456	1460
28.	1702	1518	1540	1595	1713	1542	1402 †	1408	1415	1435	1438	1448 †	1339	1331
29.	1677	1570	1494	1506	1441	1374	1430	1424	1388 †	1389	1440	1463	1485	1464
30.	1508	1518	1461	1441	1417 †	1388	1413	1431	1446	1442	1451	1458	1456	1462
31.	1521	1586	1487	1445	1428	1455	1460	1441	1441	1443	1448	1447	1454	1449
Mittel	1472	1457	1448	1434	1424	1394	1384	1388	1392	1391	1386	1382	1385	1379

Vertical-Intensität.
September 1882.

Correction auf M. O. Z. —13^m6.

Lloyd'sche Wage.

3	4	5	6	7	8	9	10	11	12	Tages- mittel	Höchste Lesung	Niederste Lesung	Differenz
1504	1504	1487	1444	1467	1475	1407	1472	1477	1504	1476	1555	1407	148
1487	1476	1478	1454	1455	1453	1598	1528	1525	1518	1485	1623	1374	249
1457	1438	1413	1391	1385	1410	1416	1409	1427	1474	1443	1480	1383	103
1448	1457	1459	1403	1375	1408	1490	1437	1444	1471	1439	1550	1328	222
1400	1453	1428	1388	1389	1482	1426	1500	1554	1517	1473	1879	1252	627
1382	1406	1374	1348	1387	1451	1637	1662	1518	1487	1480	1074	1346	328
1387	1371	1432	1455	1453	1458	1510 †	1475	1467	1470	1472	1681	1368	313
1437	1423	1441	1443	1434	1434	1378	1404	1427	1414	1428	1588	1338	250
1467	1473	1454	1437	1428	1418	1441	1394	1528	1482	1446	1535	1382	153
1454	1461	1429	1431	1420	1427	1440	1581	1559	1580	1445	1589	1339	250
1487	1414	1177	1197	1328	1248	1248	1274	1287	1282	1385	1557	1173	384
1325	1326	1302	1275	1281	1272	1270	1433	1380	1306	1303	1435	1270	165
1281	1275	1268	1271	1270	1261	1321	1275	1378	1441	1290	1442	1250	192
1303	1313	1296	1262	1320	1326	1350	1340	1346	1325	1312	1373	1261	112
1359	1354	1357	1336	1234 †	1291	1310	1326	1331	1324	1333	1360	1229	131
1259	1354	1306	1338	1283	1350	1367	1567	1431	1397	1345	1574	1258	316
1389	1393	1375	1367	1364	1363	1411	1415	1457	1421	1379	1464	1355	109
1221	1228	1246	1362	1408	1382	1451	1477	1473	1432	1384	1527	1209	318
1365	1368	1376	1355	1346	1347	1400	1478	1378	1474	1373	1494	1323	171
1359	1349	1354	1327	1344	1313	1406	1401	1340	1359	1386	1524	1288	236
1378	1363	1328	1312	1290	1299	1323	1343	1366	1404	1344	1408	1289	119
1370	1362	1351	1334	1315	1286	1328	1346	1346	1337	1338	1378	1285	93
1357	1329	1346	1325	1325	1326	1296 z	1295 z	1304	1289	1323	1369	1289	80
1389	1387	1371	1359	1361	1369	1401	1430	1424	1422	1395	1525	1304	221

$\lambda = -0^h 33^m 52^s 5$.

October 1882.

1300 z	1291 z	1289 z	1279 z	1273 z	1273 z	1279 z	1281 z	1278 z	1810	1285	1313	1259	54
1075	1157	1193	1163	1263	1274	1335	1417	1301	1343	1225	1435	874	561
1363	1295	1305	1337	1347	1363	1404	1401	1369	1377	1383	1603	1284	319
1315	1267	1249	1243	1398 †	1443	1397	1502	1411	1369	1366	1515	1243	272
1343	1305	1321	1421	1368	1474	1580	1458	1414	1462	1387	1596	1272	324
1181	1323	1307	1354	1415	1454	1460	1435	1417	1391	1414	1723	1166	557
1394	1370	1357	1341	1362	1368	1400	1401	1379	1437	1388	1440	1341	99
1437	1438	1394	1391	1384	1395	1388	1421	1508	1548	1411	1556	1380	176
1381	1380	1381	1375	1370	1388	1409	1342	1400	1436	1389	1474	1340	134
1846	1356	1362	1353	1448	1416	1404	1403	1435	1402	1389	1522	1343	179
1314	1330	1327	1408	1255	1329	1470	1487	1545	1555	1379	1559	1245	314
1473	1404	1466	1453	1440	1473	1458	1396	1448	1473	1465	1527	1392	135
1464	1451	1429	1421	1436	1444	1448 z	1457 z	1454	1457	1454	1520	1414	166
1428	1333	1312	1382	1479	1472	1407	1428	1486	1584	1443	1585	1309	276
1317	1306	1338	1377	1422	1414 z	1415 z	1419	1420	1391	1409	1661	1216	445
1437	1434	1402	1422	1433	1524 †	1551 †	1628	1573	1532	1446	1630	1337	293
1423	1423	1422	1395	1397	1413	1511	1536	1641	1581	1458	1642	1324	318
1523	1523	1513	1431	1417	1443	1464	1544	1512	1473	1507	1626	1416	210
1444	1397	1369	1427	1427	1421	1424	1430	1414	1421	1426	1451	1367	84
1364	1370	1356	1337 z	1331	1350	1340	1346	1348	1339	1391	1448	1331	117
1362	1359	1336	1338	1326	1331	1339 z	1341 z	1343 z	1362	1350	1366	1326	40
1229	1241	1234	1321	1597	1491	1420	1483	1509	1537	1372	1629	1217	412
1371	1382	1353	1363	1325	1355	1354	1373	1373	1398	1387	1524	1323	201
1379	1376	1336	1343	1350	1380	1352	1347	1368	1368	1362	1500	1249	251
1361	1366	1365	1382	1392 †	1324	1382	1565 †	1539	1456	1383	1573	1308	265
1428	1420	1368	1288	1359	1336	1472	1496 †	1453	1477	1427	1538	1285	253
1456	1433	1395	1401	1420	1446	1537	1550	1527	1496	1468	1570	1395	175
1339	1134	1338	1377	1442	1376	1602	1713	1644	1663	1486	1728	1066	662
1469	1440	1422	1436	1463 †	1453	1471	1549	1590	1584	1479	1680	1370	310
1463	1488	1474	1460	1432	1456	1476	1520	1554	1503	1463	1556	1387	169
1447 z	1442 z	1445 z	1440 z	1435 z	1427	1423	1423 †	1471	1515	1455	1538	1416	122
1375	1364	1360	1370	1394	1410	1431	1455	1456	1459	1408	1549	1329	220

Vertical-Intensität.

November 1882.

0.49000+0.0.... C. G. S.

Jan Mayen.

Datum	1	2	3	4	5	6	7	8	9	10	11	Mittag	1	2
1.	1518 †	1476	1469	1422	1423	1414	1418	1423	1429	1428	1442	1437	1445	1407
2.	1459	1441	1422	1392	1394	1405	1402	1410	1423	1421	1403	1413	1428	1431
3.	1454	1435	1431	1375	1357 †	1325	1338	1340	1338	1331	1329	1320 †	1327	1201
4.	1235	1300	1346	1330	1331	1334	1330	1333	1337	1342	1342	1346	1336	1333
5.	1317	1319	1315	1316	1320	1311	1304	1322	1322	1322	1331	1326	1328	1333
6.	1365	1396	1311	1280	1294	1271	1279	1319	1314	1310	1312	1322 †	1320	1324
7.	1347	1349	1302	1329	1312	1316	1293	1301	1316	1355	1362	1303	1366	1361
8.	1423	1390	1349	1359	1324	1298	1308	1343	1350	1364	1361	1362	1371	1369
9.	1338	1408	1393	1366	1378	1350	1347	1353	1351	1352	1364	1327	1201	1245
10.	1380	1391	1371	1371	1361	1379	1378	1380	1387	1389	1390	1389 z	1397	1395
11.	1368	1376	1384	1387	1384	1383	1382	1385	1385	1383	1382	1381	1385 z	1385 z
12.	1434	1454	1416	1433	1408	1400	1359	1335	1340	1344	1350	1273	1296	1269
13.	1820	1766	1783	1822	1707	1633	1537	1463	1364	1340	1297	1242	1231 †	1285
14.	1454	1392	1416	1616 †	1455 †	1360 †	1344	1397 †	1294	1327	1319	1339	1328	1121
15.	1377	1438	1408	1537 †	1656	1478	1304	1187	1359	1379	1352	1293 †	1215	1258
16.	1346	1351	1283	1284	1276	1285	1335	1409	1350	1361	1382 †	1410 †	1404	1363
17.	1347	1342	1384	1408	1378	1344	1382	1401	1375	1390	1092	1105 †	1226	1255
18.	1928	1657 †	1708	1987	1794	1584	1451	1466	1459	1366	1233	1151 †	1222	1169
19.	1618	1491	1472	1544	1481	1360 †	1329	1311	1342	1304	1235	1217 †	1087	1128
20.	1576	1070 †	1798	1784	2051	1948	1647	1673	1450	1395	1378	1321 †	1359	1244
21.	1377	1569	1535	1398	1396	1357	1356	1360	1382	1392	1400	1410	1381	1367
22.	1457	1423	1423	1422	1392	1382	1302	1360	1376	1374	1385	1389 †	1390	1389
23.	1432	1472	1407	1384	1324	1324	1312	1344	1379	1376	1356	1359	1289	1277
24.	1455	1454	1400	1376	1354	1329	1322	1361	1364	1393	1387	1373 †	1385	1366
25.	1456	1416	1419	1438	1397	1344	1324	1362	1368	1395	1400	1396 †	1393	1219
26.	1565	1530	1476	1457	1383	1368	1394	1391	1392	1401	1407	1408	1403	1395
27.	1557	1503	1445	1421	1409	1400	1395	1379	1388	1388	1395	1397	1407	1416
28.	1438	1436	1420	1406	1388	1349	1339	1387 †	1404	1421	1427	1418 †	1421	1422
29.	1497	1414 z	1402	1380	1353	1351	1361	1379	1396	1393	1407	1404 z	1404	1403
30.	1469	1421	1404	1398	1370	1371	1333	1344 †	1326	1378	1391	1390 z	1379	1360
Mittel	1460	1430	1436	1448	1428	1392	1365	1374	1369	1370	1354	1343	1337	1316

December 1882.

φ = +70° 59' 48"

1.	1377	1426	1508	1394	1382	1356	1340	1357	1344	1354	1362	1361 z	1352 z	1262
2.	1446 z	1395	1328	1354	1333	1334	1348	1341	1337	1353	1343	1351 z	1360	1359
3.	1350	1368	1298	1329	1331	1325	1314	1339	1344	1350	1344	1343	1337	1344
4.	1391	1353	1350	1264	1311	1338	1312	1312 †	1307 †	1295 †	1294	1313 z	1307	1217
5.	1361	1319	1317	1325	1328	1340	1315	1317	1322	1334	1319	1314	1322	1308
6.	1362	1344	1362	1363	1367	1363	1364	1365	1389 †	1374	1376	1378 †	1378	1381
7.	1436	1392	1387	1376	1373	1376	1391	1395	1392	1396	1398	1400	1400	1401
8.	1377	1359	1376	1374	1371	1370	1370	1373	1373	1370	1373	1376 z	1378 z	1379 z
9.	1422 †	1361	1370	1378 z	1370	1401	1239	1312	1346	1356	1367	1368 z	1370	1367
10.	1398	1466	1422	1387	1373	1367 z	1368	1381	1379 †	1385	1380	1390 z	1388	1388 z
11.	1405 z	1402	1447	1451 †	1391	1376	1359	1402	1391	1380	1396	1405	1405	1409
12.	1512 †	1469	1397	1406	1382	1371 z	1379	1398	1398	1398	1408	1408 †	1400	1387
13.	1397	1423 z	1432	1373	1394	1380	1371	1400	1401	1407	1409	1414 z	1418	1414
14.	1440	1411	1381	1392	1401	1401	1400	1404	1409	1408	1413	1418 z	1414 z	1418
15.	1385 z	1395 z	1390 z	1390 z	1388 z	1383 z	1383	1382 z	1388	1396 z	1381 z	1382 z	1387 z	1376
16.	1378	1588	1556	1473	1432	1454	1419	1343	1322	1275 †	1267	1037 †	1303	1269
17.	1366	1390	1398	1370	1378	1379	1370	1369	1370	1374	1378	1379 z	1380	1370
18.	1323	1432	1352	1309	1279	1321	1319	1310	1313	1317	1320	1323 z	1323 z	1322 z
19.	1330	1362	1380	1342	1410	1380	1269	1291	1249	1275	1354	1350 z	1343 z	1349
20.	1375	1341	1350	1334	1350	1312	1288	1328	1341	1338 †	1338	1354 †	1284	1143
21.	1668	1614	1569	1665	1510 †	1453	1388	1378	1347	1274	1289	1343 †	1321 †	1348 †
22.	1504	1453	1415	1381	1347	1319	1309	1350 †	1367	1349 †	1340	1319	1288 †	1306
23.	1462	1466	1431	1342	1395	1371	1335	1378	1393	1429	1402	1392 †	1392	1400
24.	1409	1401	1380	1384	1388	1369	1393	1367	1383	1404	1389	1375 †	1392	1321
25.	1420	1388	1401	1419	1390	1375	1364	1377	1384	1403	1393	1432	1407	1418
26.	1415	1415	1410	1407	1414	1409	1407	1410	1401	1409	1411	1406 z	1403	1402
27.	1436	1419	1369	1326	1451	1457	1432	1430	1453	1460	1472	1464 †	1466	1458
28.	1544	1651	1546	1487	1464	1373	1376	1402	1434	1410	1416	1402	1396	1410
29.	1407	1342	1413	1441	1309	1316	1260	1271	1264	1273	1326	1300	1282	1301
30.	1433	1393	1385	1426	1348	1311	1337 †	1343	1363	1362	1374	1384	1356	1288
31.	1400	1390	1378	1375	1324	1327 †	1329	1316	1321	1347	1355	1339	1344	1339
Mittel	1417	1417	1403	1388	1377	1368	1350	1359	1362	1363	1367	1362	1364	1350

Correction auf M. O. Z. - 13^m6.

Lloyd'sche Wage.

November 1882.

3	4	5	6	7	8	9	10	11	12	Tages- mittel	Höchste Lesung	Niederste Lesung	Differenz
1402	1433	1409	1384	1352	1377	1466	1448	1468	1475	1432	1520	1322	198
1424	1428	1422	1413	1407	1485	1558	1455	1435	1388	1428	1563	1382	181
1333	1337	1339	1326	1319	1322	1317	1319	1281	1285	1337	1468	1196	272
1330	1327	1324	1319	1297	1300	1310	1307	1316	1312	1322	1348	1233	115
1327	1323	1311	1303	1302	1344	1355	1295	1276	1338	1319	1359	1274	85
1322	1312	1304	1178	1230	1258	1319	1310	1319	1348	1305	1400	1168	232
1301	1276	1239 †	1283	1300	1395	1368	1477	1416	1457	1341	1478	1234	244
1353	1340	1323	1257 †	1234	1309	1417	1433	1397	1407	1354	1436	1232	204
1287	1320	1348	1327	1285	1331	1371	1499	1476	1433	1352	1504	1195	309
1390	1380	1370	1369	1365	1369	1369	1402 †	1426	1421	1384	1427	1360	67
1394	1381	1360	1340	1334	1360	1178	1368	1398	1427	1370	1432	1167	265
1276	1162	1246	1359	1531	1485	1591	1640	1607	1663	1403	1667	1150	511
1287	1446 †	1395 †	1311	1362	1374	1508	1577	1841	1457	1494	1852	1230	622
924	926	952	1002	860	925	1094	958	1301	1266	1224	1633	851	782
1239	1262	1184	1116	1078	1181 †	1223	1250	1270	1394	1310	1662	1057	605
1384	1374	1357	1351	1342	1344	1342	1384	1447	1455	1359	1530	1256	274
1115	1257	1355	1337	1352	1357	1354	1701	1395	1393	1335	1707	1046	661
1279	1316	1298	1267	1546	1322	1546	1373	1447	1319	1454	2004	1133	871
1216	1217	1249	1301	1327	1231	1245	1272	1201	1314	1312	1629	1064	565
1294	1098	1250	1481	1622	1505	1501	1611 †	1630	1558	1510	2081	1086	995
1370	1577	1496	1394 †	1516	1601	1489	1580	1521	1475	1446	1602	1350	252
1392	1391	1396	1383	1377	1402	1363	1382	1418	1409	1393	1457	1346	111
1187	1280	1267	1304	1446	1398	1380	1363	1420	1402	1356	1472	1183	289
1335	1329	1335	1240	1231	1233	1313	1428	1462	1675	1371	1681	1216	465
1044	1053	1342	1277	1355	1374	1442	1418	1640	1689	1373	1678	1041	637
1315	1287	1347	1361	1179	1116 †	1344	1388	1389	1540	1385	1568	1105	463
1402	1378	1360	1363	1341	1355 †	1447	1462	1546	1460	1417	1564	1340	224
1414	1407	1401	1308	1272	1338	1362	1368	1424	1464	1393	1468	1271	197
1402	1396	1394	1391	1389	1388	1391	1397	1392	1424	1396	1507	1349	158
1328	1341	1349	1352	1356	1377	1391	1454	1508	1413	1384	1511	1323	188
1302	1312	1324	1313	1330	1341	1378	1411	1436	1437	1375	1573	1206	367

λ = -0^h 33^m 52^s5.

December 1882.

1268	1335	1350	1342	1333	1330	1381	1256	1396	1483	1360	1509	1209	300
1349	1360	1347	1309	1302	1324	1324	1330	1336	1334	1346	1446	1300	146
1342	1328	1280	1253	1312	1282	1240	1301	1325	1357	1323	1368	1239	129
1289	1249	1231	1264	1207	1351	1424	1335	1416	1407	1314	1427	1203	224
1317	1312	1320	1323	1313	1328	1333	1379	1340	1405	1330	1406	1307	99
1381	1376 z	1356	1357	1360	1299	1281	1334	1316	1302	1358	1393	1273	120
1408	1392	1362	1356	1349	1349	1229	1359	1356	1359	1376	1437	1212	225
1379 z	1377 z	1387 z	1385 z	1388 z	1385 z	1381 z	1377 z	1375 z	1375 z	1376	1388	1357	31
1367	1291	1272	1302	1254	1316	1348	1398	1502	1374	1352	1503	1234	269
1379 z	1381 z	1379	1364	1361	1366 z	1377 z	1385 z	1406	1420 z	1387	1467	1357	110
1396	1337	1317	1297	1355	1398	1404	1339	1395	1580	1393	1583	1296	287
1347	1316	1319	1291	1336	1351	1392 z	1400	1417 z	1397	1387	1515	1283	232
1414	1406	1397	1376 z	1371	1378	1413	1373	1385	1404	1398	1433	1369	64
1403	1403 z	1398	1377	1368	1334	1377	1387	1401	1414	1399	1442	1334	108
1376	1380 †	1343 z	1316 z	1319 z	1389	1301 †	1299	1296	1334	1367	1410	1280	130
1245	1284	1203	1328	1356	1390 z	1387	1427	1383	1302	1353	1587	1202	385
1365	1367	1360	1362	1342	1340	1321	1382	1311	1329	1365	1400	1310	90
1323	1320 †	1316	1316 †	1319 †	1306	1308	1299	1377	1362	1325	1434	1277	157
1342 z	1347 z	1340	1326	1331	1325	1245	1285	1361	1383	1332	1441	1240	201
1082	1149	1273	1461	1394	1300	1341	1472	1491	1918 †	1348	1937	1079	858
1298 †	1241	1304	1267 †	1163 †	1230	1338 z	1429	1432	1383	1386	1678	1133	545
1259	1363	1352	1352	1375	1304	1302	1349	1424	1434	1357	1510	1255	255
1383	1335	1342	1384	1239	1214	1316	1353	1408	1408	1374	1468	1190	278
1294	1309	1349	1325	1279	1327	1338	1370	1371	1391	1303	1411	1277	134
1421	1418	1418	1390	1382	1363	1389	1434	1443	1430	1403	1443	1362	81
1406	1396	1387	1377	1389	1387	1170	1294	1410	1521	1394	1525	1149	376
1457	1457	1453	1456	1446	1456	1487	1472	1675	1635	1462	1687	1322	365
1356	1309	1342	1328	1324	1333	1338	1333	1280 †	1299	1401	1650	1277	379
1285	1234	1226	1247	1319	1398	1261	1320	1553	1478	1326	1624	1224	400
1353	1366	1337	1393	1362	1410	1313	1231	1338	1300	1354	1437	1228	209
1337	1323	1325	1234	1210 †	1183	1356	1282	1287	1366	1322	1402	1182	220
1343	1339	1335	1337	1328	1337	1338	1354	1394	1418	1365	1496	1257	239

Vertical-Intensität.

Jänner 1883.

0.49000+0.0.... C. G. S.

Jan Mayen.

Datum	1	2	3	4	5	6	7	8	9	10	11	Mittag	1	2
1.	1307	1389	1285 ↑	1334	1291	1302	1289	1298	1294	1296	1303	1291 ↑	1281	1245
2.	1406	1349	1283	1281	1275	1271	1270	1274	1266	1270	1276	1291 z	1291	1296
3.	1311	1309	1322	1316	1321	1427	1327	1321	1322	1330	1338	1356	1350	1351
4.	1349	1348	1349	1352	1355	1353	1353	1355	1352	1351	1348	1357 z	1362	1352
5.	1322	1408	1371	1308	1271	1260	1236	1241	1258	1273	1282	1300	1285	1280
6.	1444	1322	1335	1269	1247	1234 ↓	1249	1249	1257	1247	1259	1241 z	1212	1155
7.	1247	1273	1269	1315	1301	1210	1178	1216	1193	1283	1261	1243 ↓	1252	1254
8.	1234	1334	1315	1354	1303 ↓	1282	1218	1219	1247	1287	1325	1299 ↑	1281	1301
9.	1339	1395	1374	1287	1312	1268	1274	1291	1310	1311	1316	1310	1306	1307
10.	1250	1273	1284	1289	1291	1306	1276	1293	1293	1290	1349	1294	1286	1286
11.	1341	1371	1327	1291	1297	1302	1316	1328	1323	132	1331	1327 z	1329 z	1327
12.	1312	1311	1309	1308	1302	1289	1281	1290	1298	1303	1307	1303	1303	1300
13.	1282	1279	1261	1282	1280	1279	1280	1282	1284	1283	1284	1286	1289	1295
14.	1313	1263	1268	1294	1285	1277	1267	1263	1271	1273	1286	1287 z	1285	1299
15.	1285	1275	1262	1276	1263	1263	1269	1262	1256	1256	1257	1269 z	1267	1261
16.	1245 z	1319	1311	1268	1247	1250	1256	1262	1260	1267	1269	1276 z	1279	1283
17.	1385	1328	1271	1261	1220	1223	1256	1229	1262	1275	1155	1140 ↑	1138	1150
18.	1239	1153	1130	1157	1149	1083	1098	1111	1125	1117	1143	1154 z	1154	1157
19.	1187	1279	1197	1173	1172	1180	1174	1174	1172	1173	1181	1192	1187	1194
20.	1201	1253	1266	1232	1212	1209	1199	1181	1205	1218	1213	1182	1153	1148
21.	1321	1289	1248	1253	1202	1191	1196	1176	1195	1187	1188	1192	1187	1201
22.	1206	1189	1190	1188	1187	1184	1182	1179	1179	1180	1178	1201 z	1204	1184
23.	1166	1166	1153	1165	1155	1165	1163	1161	1156	1154	1153	1159	1156	1154
24.	1176	1163	1153	1133	1153	1157	1157	1157	1159	1157	1156	1152 z	1151	1154
25.	1189	1240	1169	1143	1135	1150	1145	1155	1148	1159	1137	1134	1108	1146
26.	1130	1202	1184	1236	1214	1126 ↓	1137	1073	1120	1139	1127	1137 ↓	1054	970
27.	1201	1173	1210	1221	1175	1146	1146	1157	1121	1126	1263	1274 ↓	1280	1280
28.	1329	1335	1289	1299	1270	1240	1208	1237	1270	1282	1262	1285	1279	1281
29.	1392	1342	1354	1253	1258	1263	1275	1272	1285	1281	1280	1283	1293	1289
30.	1309	1285	1301	1283	1286	1267	1279	1282	1288	1288	1293	1298	1298	1310
31.	1349	1326	1316	1317	1293	1262	1252	1252	1246	1294	1303	1309	1296	1315
Mittel	1283	1288	1270	1262	1250	1239	1232	1234	1239	1248	1252	1252	1245	1243

Februar 1883.

φ = +70° 59' 48"

1.	1400	1285	1267	1304	1273	1273	1272	1295	1291	1275	1284	1264	1276	1273
2.	1250	1491	1443	1365	1377	1300	1268	1234	1258	1288	1282	1239 ↓	1260 ↓	1226
3.	1601	1478	1342	1329	1328	1422	1488	1243	1256	1254	1275	1261	1197	1219
4.	1312	1395	1379	1368	1276	1261	1241	1184	1214	1262	1287	1263	1268	1167
5.	1204	1423	1400	1334	1286	1217	1224	1222	1283	1268	1274	1285	1287	1300
6.	1352	1353	1280	1283	1166	1222	1234	1224 ↑	1229 ↓	1242	1252	1260	1253	1252
7.	1249	1249	1252	1252	1243	1244	1236 ↓	1252	1253	1254	1246	1254	1249	1252
8.	1236	1222	1245	1232	1235	1235	1243	1254	1257	1257	1250	1254	1253	1266
9.	1243	1254	1224	1220	1230	1221	1233	1241	1245	1245	1249	1252 z	1256	1254
10.	1276	1289	1270	1245	1240	1187	1193	1215	1235	1229	1241	1237	1248	1255
11.	1226	1221	1221	1222	1220	1215	1221	1217	1226	1230	1231	1230 z	1235	1241
12.	1249	1246	1244	1242	1241	1245	1243	1249	1254	1258	1272	1276 z	1282	1287
13.	1270	1239	1242	1243	1239	1234	1236	1239	1236	1233	1232	1235 z	1234	1237
14.	1244	1230	1215	1220	1214	1228	1200	1214	1200	1230	1246	1267	1261	1206
15.	1247 ↑	1246	1229	1183	1174	1174	1167	1174	1174	1183	1186	1190 z	1190	1193
16.	1346	1320	1355	1348	1246	1212	1216	1236	1239	1240	1252	1260	1272	1270
17.	1277	1273	1262	1253	1260	1257	1228	1217	1240	1260	1253	1261	1284	1272
18.	1359	1291	1259 z	1255	1262	1259	1257	1261	1259	1260	1259	1260	1269	1266
19.	1252	1239	1282	1340 ↓	1338 ↓	1192	1226	1241	1259	1262	1259	1258 z	1253	1256
20.	1308	1326	1263	1239	1252	1234	1206	1216	1228	1259	1255	1207	1219	1221
21.	1279	1267	1255	1266	1266	1264	1263	1273	1283	1275	1275	1274	1276	1280
22.	1398	1373	1307	1340	1378	1243	1212	1207	1255	1268	1255 ↑	1243	1205	1139
23.	1143	1170	1112	1015	971	991 ↑	943	878	918	951	980	953 ↓	965	922
24.	1181	1160	1140	1150	1132	1094	1120	1117	1119	1104	1109	1119	1122	923
25.	1361	1540	1491	1445	1430 ↑	1354	1296	1344	1217	1190	1046	993	1082 ↑	1136
26.	1288	1249	1224	1192	1147	1148	1121	1122	1128	1137	1149	1147	1146	1143
27.	1279	1274	1203	1157	1135	1101	1112	1132	1132	1142	1164	1168	1167	1167
28.	1361	1326	1277	1289	1254	1192	1159	1096 ↓	1165	1157 ↑	1108	948 ↓	996 ↑	948
Mittel	1293	1301	1274	1262	1243	1222	1216	1207	1216	1222	1220	1209	1214	1199

Correction auf M. O. Z. —13^m6.

Lloyd'sche Wage.

Jänner 1883.

3	4	5	6	7	8	9	10	11	12	Tages- mittel	Höchste Lesung	Niederste Lesung	Differenz
1301	1301	1301	1264	1293	1188	1179	1353	1291	1307	1289	1391	1127	264
1300	1312	1261	1080	1116	1215	1232	1291	1294	1223	1266	1429	1015	414
1346	1349	1350	1348	1328	1338	1362	1315	1324	1340	1338	1428	1308	120
1348	1352	1347	1349	1341	1329	1347	1374	1333	1327	1349	1376	1326	50
1277	1276	1277	1274	1250	1248	1237	1250	1245	1281	1280	1417	1234	183
1116	1189	1193	1127	1199	1277	1135	1213	1283	1247	1238	1450	1107	343
1132	1172	1175	1159	1134	1169	1293	1339	1299	1346	1238	1353	1130	223
1323	1310	1289	1259	1137	1224	1226	1217	1276	1317	1274	1360	1127	233
1287	1271	1242	1309	1174	1280	1290	1288	1307	1326	1299	1401	1172	229
1287	1293	1290	1288	1282	1272	1300	1203	1364	1350	1296	1415	1247	168
1327	1324	1324	1314	1312	1312	1316	1320	1323	1316	1322	1373	1287	86
1294	1291	1274	1220	1122	1223	1227	1271	1280	1298	1280	1312	1120	192
1266	1253	1281	1288	1286	1284	1276	1282	1288	1342	1283	1348	1252	96
1301	1297	1269	1230	1254	1166	1239	1263	1262	1286	1271	1316	1164	152
1253	1180	1137	1101	1107	1106	1101	1157	1215 z	1235	1221	1288	1066	222
1287	1274	1236	1233	1244	1243	1244	1266	1274	1282	1266	1321	1232	89
1061	956	952	1116	1124	1134	1140	1145	1174	1166	1178	1391	988	453
1156	1159	1147	1135 z	992	1062	1139	1242	1208	1126	1139	1242	981	261
1199	1199	1203	1205	1200	1187	1167	1187	1189	1189	1190	1285	1164	121
1156	1143	1094	1130	968	1120	1105	1146	1245	1249	1176	1266	963	303
1175	1184	1200	1123	1116	1156	1209	1319 †	1232	1224	1207	1324	1114	210
1182	1180	1174	1163	1112	1190	1254	1175	1195	1174	1185	1258	1104	154
1173	1156	1165	1172	1164	1143	1141	1147	1178	1209	1161	1209	1135	74
1163	1103	1084	1093	1101	1004	1088	1182	1167	1152	1138	1184	1003	181
1049	990	1085	1105	1150	1146	1228	1152	1143	1175	1145	1338	982	356
985	1107	1098	1113	1140	1194	1129	1201	1240	1205	1137	1290	968	322
1228	1181	1218	1237	1070	1173	1180	1322	1365	1270	1209	1377	1064	313
1273	1271	1261	1237	1391	1081	1288	1264 †	1331	1479	1281	1487	1205	282
1283	1271	1268	1234	1241	1281	1125	1252	1312	1254	1277	1393	1117	276
1306	1308	1302	1309	1307	1296	1304	1314	1326	1355	1300	1357	1266	91
1301	1249	1207	1169	1197	1317	1288	1266 †	1255	1313	1279	1351	1166	185
1230	1223	1216	1204	1189	1203	1224	1251	1265	1270	1242	1307	1132	175

$\lambda = -0^h 33^m 52^s 5.$

Februar 1883.

1263	1263	1193	1257	1126	1214	1338	1390 †	1329	1303	1280	1592	1120	472
1189	1215	1246	1156	1140	1258	1407	1244	1268	1422	1284	1499	1137	362
1273	1192	1230	1234	1451	1319	1295	1381	1349	1414	1326	1603	1176	427
1155	1181	1145	1233	1242	1112	1114	1199	1088	1215	1232	1396	1071	325
1290	1258	1194	1199	1244	1258	1272	1428	1307	1306	1282	1438	1193	245
1243	1215	1153	962	1136	1235	1220	1290	1208	1242	1229	1356	961	395
1252	1250	1254	1233	1191	1172	1126	1118	1224	1270	1232	1276	1105	171
1264	1248	1244	1224	1202	1188	1193	1223	1212	1273	1238	1276	1186	90
1247	1253	1245	1220	1217	1156	1186	1205 †	1266	1287	1235	1287	1155	132
1239	1243	1231	1229	1221	1228	1282 †	1227	1238	1250	1240	1290	1184	106
1246	1248	1237	1227	1222	1233	1233	1253	1254	1256	1232	1256	1213	43
1294	1286	1274	1263	1261	1257	1252	1250	1256	1263	1260	1294	1241	53
1243	1242	1232	1221	1210	1210	1204	1212	1233	1309	1236	1311	1203	108
1112	1127	1201	1100	1187	1209	1212	1261	1320	1208 †	1213	1330	1099	231
1191	1194	1195 z	1192	1187 z	1184	1191 z	1200	1221	1250	1197	1256	1157	99
1246	1266	1270	1263	1240	1242	1258	1254	1266	1263	1266	1363	1208	155
1285	1220	1181	1133	1204	1246	1334	1365	1381	1400	1264	1403	1121	282
1276	1266	1264	1248	1242	1240	1240	1184	1226	1248	1259	1362	1176	186
1266	1269	1261	1253	1252	1248	1245	1239	1228	1252	1257	1355	1186	169
1236	1220	1235	1253	1237	1235	1247	1360	1281	1270	1250	1364	1195	169
1297	1288	1277	1277	1263	1284 †	1284 †	1313 †	1489 †	1475 †	1294	1497	1254	243
1154	1115 †	1123	1041	995	994	1016	1105	1192	1165	1197	1403	984	419
922	889	894	922	949	1046	965	1090	1206	1247	1002	1255	860	395
970	913	877	971	1059	1101	1255	1181	1174	1327	1101	1328	874	454
1147	1148	1133	1138	1148	1149	1146	1147	1147	1148	1224	1605	989	616
1152	1143	1077	979	1019	1007	1100 †	1103 †	1161	1204	1137	1295	971	324
1052	1021	1017	961 †	1104	1120	1435	1311	1237	1446 †	1168	1477	949	528
1164	894	904	1194	1107	1039	1153	1280 †	1287 †	1230 †	1147	1365	884	481
1202	1181	1171	1164	1181	1185	1222	1243	1252	1284	1224	1376	1102	274

Vertical-Intensität.

März 1883.

0.49000+0.0... C. G. S.

Jan Mayen.

Datum	1	2	3	4	5	6	7	8	9	10	11	Mittag	1	2
1.	1400 ↑	1142	1249	1264	1182	1145	1053	1062	1031 ↓	1106	1048	976 ↓	886	895
2.	1194	1149	1310 ↑	1397	1371	1153	1095	1075 ↓	1133 ↓	1095 ↓	1095	1084	1008	968
3.	1300	1381 ↓	1403	1250 ↓	1200 ↑	1179	1152	1161	1108	1200	1200	1210	1217	1212
4.	1360	1281 ↓	1189	1250	1203	1143	1126	1142	1190	1190	1189	1195	1195	1222
5.	1224	1337	1330	1319	1226	1176 ↑	1168	1161	1210	1206	1213	1217 ↓	1226	1232
6.	1267	1258	1246	1242	1237	1240 ↓	1243	1248	1250	1250	1256	1267 z	1277	1283
7.	1259	1255	1344	1260	1293	1250	1128	1196	1195	1194	1219	1243	1218	1228
8.	1246	1327	1267	1353	1351	1196	1146	1173	1108	1163	1180	1154	1117	986
9.	1262	1429	1431	1427	1214	1179	1181	1203	1212	1206	1179	1191 ↑	1223	1197
10.	1244	1243	1236	1236	1215	1201	1218	1210	1206	1221	1236	1237	1239	1237
11.	1280	1279	1235	1243	1245	1247	1250	1257	1256	1259	1269	1271 z	1271	1277
12.	1245 z	1243 z	1241 z	1236 z	1236 z	1242 z	1240 z	1242 z	1224 z	1230 z	1234	1242	1242	1259
13.	1263	1228	1214	1208	1290	1391	1286	1235	1222 ↓	1256	1132	1117 ↓	1091	1104
14.	1208	1200	1237	1181	1182	1205	1188	1197	1213	1236 ↓	1261	1250	1246	1257
15.	1210	1208	1217 z	1217	1200 ↑	1173	1169	1193	1192	1192	1202	1207	1210	1215
16.	1219	1222	1219	1221	1216	1191	1179	1203	1216	1228	1226	1237	1239	1250
17.	1326	1247	1246	1227	1229	1222	1234	1229	1229	1240	1250	1262	1263	1258
18.	1314	1270	1239	1237	1219	1234	1249	1249	1257	1259	1257	1268	1282	1277
19.	1258	1249	1248	1253	1253	1250	1249	1254	1258	1256	1256	1258	1256	1259
20.	1231	1232	1243	1239	1241	1247 z	1247 z	1253 z	1256 z	1257 z	1259 z	1260 z	1261 z	1262 z
21.	1298	1284	1272	1249 ↓	1281	1344	1187	1197	1233	1231	1257	1258	1279	1234
22.	1383 z	1382	1504 ↑	1507 ↑	1513	1477	1294 ↓	1284	1173	1180	1186 ↓	1101 ↓	1136	1163
23.	1348	1348	1327	1300	1209 ↓	1245	1202 ↓	1191 ↑	1231	1250	1281	1300	1274	1246
24.	1362 z	1434 ↓	1382 z	1351	1329	1279	1284	1297	1317	1313	1303	1301 z	1297	1308
25.	1353	1375	1380	1296 z	1286	1284 z	1259 z	1272	1285	1286	1289 z	1294 z	1300	1297
26.	1320	1334	1373	1406	1296	1227	1229	1261	1275	1281	1242	1105	1110 ↓	1179
27.	1505	1424	1598	1577 ↓	1360	1307	1253	1220	1360 ↑	1212 ↓	1145	1069 ↓	1127	1051
28.	1453	1431	1424	1429	1468	1450	1463	1266	1259	1273	1280	1286 ↓	1274	1243 ↑
29.	1368	1596	1507	1500	1379 ↑	1276 ↑	1235 ↑	1247	1315	1264	1283	1235	1149	1098
30.	1577	1590 ↓	1440 ↓	1313	1293	1283	1289	1290	1296	1302	1294	1314 ↑	1290	1302
31.	1299	1362	1319 ↓	1261	1260	1259	1242	1242	1235	1233	1254	1245	1252	1252
Mittel	1309	1314	1318	1305	1273	1248	1217	1216	1228	1228	1225	1215	1208	1202

April 1883.

φ = +70° 59' 48"

1.	1250 z	1330 ↑	1362	1268 ↓	1176	1201	1182	1191	1189	1215	1228	1221 z	1201 z	1218
2.	1240	1248	1239	1240	1244	1228	1213	1219	1239	1248	1261	1273	1296	1343
3.	1338	1284 z	1274 z	1264	1250 ↓	1245	1178	1214	1277 ↓	1142 ↓	1068 ↓	1001 ↓	1081 ↑	1081 ↑
4.	1470 ↑	1474 ↓	1416 ↓	1320	1362 ↓	1302 ↓	1231 ↑	1236 ↓	1233	1246 ↓	1259 ↑	1250	1200	1148 ↑
5.	1357	1298 z	1307 ↓	1300	1258	1260	1258 ↓	1262 ↓	1264	1279 ↓	1272 ↓	1270 ↓	1258	1256
6.	1317	1319 ↑	1418	1367 ↑	1255 ↓	1233	1266	1263 ↓	1282	1287	1289	1281 ↑	1276	1289 z
7.	1311 z	1296	1264	1273 z	1269	1271 z	1276 z	1283 z	1285 z	1282 z	1277 z	1272 z	1276 z	1277 z
8.	1302	1320	1304 z	1298 z	1274	1237	1243	1247 z	1267 z	1280 z	1288 z	1299 z	1287 z	1281 z
9.	1310	1269 z	1268	1260	1200 z	1272	1271	1274 z	1283	1294 z	1293 z	1299	1280 z	1289 z
10.	1287 z	1287 z	1306	1299	1286	1288	1289 z	1291 z	1290 z	1288 z	1294	1298	1298 z	1294
11.	1347	1353 z	1343 z	1255	1229	1247	1250	1248	1279	1304 z	1336	1304 z	1303	1302
12.	1293 z	1308 z	1302	1298	1295 ↓	1284	1296 z	1304	1309 z	1315 z	1324 z	1337 z	1328	1346
13.	1309 z	1304	1300 z	1298 z	1295 z	1290	1283	1283	1286	1291 ↑	1291	1297 z	1304	1307
14.	1327	1316 z	1309	1288	1272	1273 z	1288 z	1299 z	1300 z	1298 z	1298 z	1302 z	1316 z	1323 z
15.	1296 z	1291 z	1287 z	1286	1275	1268 z	1268 z	1267 z	1266 z	1267 z	1276 z	1267 z	1276	1279 z
16.	1388 ↑	1365	1299	1281 ↑	1232	1266	1273	1276	1276	1283	1291	1299	1313 ↓	1256
17.	1273 z	1293	1289 z	1298	1352 ↑	1266 ↑	1262	1272	1275 z	1273 z	1279 z	1294 z	1322	1302 z
18.	1259 z	1263 z	1261 z	1262 z	1268 z	1267 ↓	1269 z	1267 z	1274 z	1269 z	1284 z	1263 z	1135 ↑	1141
19.	1402 ↓	1414	1391 ↑	1467 ↑	1458 ↑	1369 ↓	1176	1216	1248 ↓	1272	1279 z	1289	1298	1240
20.	1497	1551	1562 ↓	1561 z	1393 ↓	1229 ↑	1210	1281	1310 z	1303 z	1297	1301	1304 ↓	1262 ↓
21.	1298 z	1294 z	1352	1303	1267	1269	1272 z	1283	1288	1300 z	1314 z	1312 z	1313 z	1311 z
22.	1284 z	1290 z	1288 z	1291 z	1287	1289	1290	1290	1296 z	1302 z	1303	1315 z	1308 z	1313 z
23.	1297 z	1324 z	1279 z	1277 z	1284 z	1286 z	1289 z	1293 ↑	1291 ↑	1294 z	1295 z	1297 z	1309 z	1326 z
24.	1272 z	1271 z	1273 z	1275 z	1276 z	1273 z	1280 z	1280 z	1279 z	1280 z	1280 z	1281 z	1281	1295 z
25.	1545	1496 ↑	1473 ↓	1363 ↑	1384 ↓	1283 ↓	1353 ↓	1280 ↓	1288 ↑	1279 ↓	1288 ↓	1256 ↓	1222	1239
26.	1333 ↑	1381	1398	1369 ↑	1391 ↓	1243 ↓	1276 ↑	1294 ↓	1306	1301	1296	1291	1317 ↑	1296
27.	1488 ↓	1435 ↑	1428 ↓	1405 ↓	1256 ↓	1228 ↓	1235 z	1267	1279 ↑	1285 z	1285	1272	1221	1210
28.	1316	1322	1308	1261	1243	1231	1214 ↓	1220	1243	1247	1270	1264 z	1277	1280 ↑
29.	1380 z	1302 z	1268 z	1271 z	1274	1272	1263	1261 z	1266	1270 z	1263 z	1264 z	1284 ↓	1244 ↓
30.	1333	1281	1274	1277	1252	1243 z	1237	1252 z	1257 z	1264 z	1272	1286 z	1295	1286 ↓
Mittel	1337	1333	1328	1309	1288	1264	1256	1264	1274	1275	1278	1272	1270	1268

Correction auf M. O. Z. —13^m6.

Lloyd'sche Wage.

März 1883.

3	4	5	6	7	8	9	10	11	12	Tages- mittel	Höchste Lesung	Niederste Lesung	Differenz
894	939	977	1025 ↑	819 †	1091	1088 ↑	1107 ↑	1327	1227 ↓	1081	1440	798	642
995	1030	1083	1125 †	1127	1413 †	1258 †	1272	1215 ↑	1255	1163	1459	962	497
1161	1119	1140	1084	1062	1150	1347	1214	1218	1263	1208	1404	1031	373
1186	1189	1213	1159	1160	1149 †	1209	1215 †	1243	1246	1202	1362	1114	248
1223	1213	1213	1197	1181	1184	1200	1250	1354	1309	1232	1355	1149	206
1281	1259	1203	1163	1204	1209 †	1174	1221	1232	1421	1247	1434	1163	271
1239	1203	1080	971	1152	1210	1212	1205	1203	1227	1208	1348	968	380
1107	1074	1180	1191	1165	1166	1249 ↓	1309	1307	1270	1202	1375	982	393
1203	1174	1129	1179	1166	1162	1183	1202 z	1230	1234 z	1225	1434	1127	307
1222	1159	1125	1125	1157	1231	1212	1280	1297	1309	1221	1312	1123	189
1272	1244	1210	1223	1226	1223 z	1227 z	1237 z	1236 z	1249 z	1249	1281	1210	71
1226	1236	1237	1219	1207	1228	1243	1330	1271	1256	1242	1333	1206	127
1186	1193	1207	1201	1203	1189	1199	1210	1216 z	1208 z	1210	1392	1091	301
1244	1228	1205	1170	1208	1161	1173	1263	1289 ↑	1245	1219	1311	1152	159
1217	1218	1216	1207	1195	1187	1195	1200	1214	1215	1203	1235	1159	76
1254	1194	1181	1203	1216	1186	1194	1224	1236	1277	1218	1257	1173	84
1258	1260	1249	1244	1240	1228	1229	1331	1280	1322 †	1254	1356	1219	137
1207	1262	1261	1237	1217	1240	1236	1294	1277	1259	1257	1315	1215	100
1257	1245	1252	1221	1226	1213	1221	1240	1232	1237	1246	1259	1212	47
1267 z	1269	1268 z	1259 z	1247	1244 z	1245	1246	1334 ↓	1329 †	1258	1337	1228	109
1124	1142	1162	1204	1257	1204	1263	1261	1531 †	1483	1260	1541	1121	420
1137	1125	1109	1422 ↓	1091	1216 z	1299	1379	1308 z	1307	1281	1516	1090	426
1296	1273	1207	1240	1383 ↓	1294	1322	1350	1402	1387 z	1288	1405	1182	223
1307	1295	1294	1288	1294	1275	1280	1340 ↑	1333	1393 ↓	1319	1436	1273	163
1266	1277 z	1262	1237	1259 z	1298	1296 ↓	1306 ↑	1299	1299	1294	1384	1235	149
1250	1261	1279	1281	1263	1300 ↑	1259	1330	1607	1485	1290	1625	1093	532
1086	1098	1183 ↓	1162 ↓	1224 ↑	1228	1443	1432 ↑	1488	1517	1294	1634	1047	587
1044	1106	1159 †	1128	1227	1361 ↓	1276	1357	1406	1364 ↑	1309	1483	1043	440
1127	1008	1067	1133	1194	1410	1346 †	1250	1330	1426 †	1281	1597	991	606
1307	1282	1281	1276	1264	1252	1291	1356	1313	1282	1324	1596	1250	346
1231	1194	1139	1163	1094 †	1146	1169	1240	1311 ↓	1269	1236	1369	1091	278
1198	1186	1186	1192	1191	1228	1243	1273	1310	1309	1243	1406	1119	287

λ = —0^h 33^m 52^s.5.

April 1883.

1216	1214 z	1214 z	1212 z	1202	1200	1224	1189	1217	1208	1222	1364	1168	196
1314	1259	1151	1218	1241	1258	1291	1294	1349 †	1326 z	1260	1349	1147	202
1093 †	910	1095 ↑	1279 ↑	1219	1190	1316 †	1561 †	1637 †	1558	1224	1642	901	741
1095 †	1111 ↓	1116 ↑	1346 †	1220 †	1197 ↑	1167	1276	1389 †	1366	1268	1482	1085	397
1221	1210	1221	1234	1052 ↓	1175 ↓	1317	1357 †	1267 †	1353 ↓	1263	1395	1044	351
1297 z	1289 z	1284	1231 z	1162	1229 †	1264	1240 ↓	1266 z	1285 z	1279	1422	1157	265
1279 z	1283 z	1279 z	1277 z	1277 z	1268 z	1269 z	1268 z	1268 z	1289 z	1278	1312	1263	49
1214	1199	1176	1184 z	1124	1206	1239	1279	1295	1323 z	1257	1323	1111	212
1282	1304 z	1275	1273	1272	1312	1338	1322	1307	1300 z	1288	1341	1255	86
1298	1289	1277 z	1250 z	1235 z	1250 z	1250 z	1302 z	1374	1353	1291	1378	1224	154
1302 z	1304 z	1301	1280 z	1260 z	1257	1254	1263 z	1279 z	1293 z	1287	1354	1217	137
1352	1348	1326	1300	1255 †	1312 z	1344 z	1280	1327	1302	1312	1353	1254	99
1272	1299	1262	1160 ↓	1252	1244	1266	1285 z	1322	1361 †	1286	1363	1154	209
1341 z	1335 z	1322 z	1316 z	1307 z	1294 z	1297 z	1301 z	1295 z	1296 z	1305	1342	1270	72
1256 z	1207	1237 z	1242 z	1239 z	1234 z	1234 z	1240	1361	1370 †	1270	1371	1201	170
1314	1314	1306 z	1279 z	1277 z	1277 †	1254 ↑	1283 z	1310 z	1286 z	1292	1400	1230	170
1293 z	1289 z	1287 z	1277 z	1267 z	1259 z	1259 z	1254 z	1254 z	1256 z	1281	1355	1253	102
1159	1222	1233	1215	1227 z	1253 z	1420 †	1411	1438 †	1408 †	1270	1444	1126	318
1133 †	1101 z	1140 ↑	1166	1141	1222	1378 ↓	1317	1402	1488	1292	1505	1096	409
1062 ↓	1142	1257	1142	1190	1245	1299	1294	1297 z	1287 z	1303	1582	1045	537
1306 z	1307 z	1302	1298	1293 z	1288 z	1296 z	1294 z	1294 z	1298 z	1298	1357	1259	98
1313	1287 ↓	1271 z	1284 z	1294 z	1281 z	1282 z	1290 z	1287 z	1286 z	1293	1315	1271	44
1336 z	1314 z	1296 z	1285 z	1284 z	1281 z	1285 z	1293 z	1282 z	1282 z	1295	1336	1277	59
1309	1267 †	1234 †	1235 †	1221 †	1236 †	1475 ↑	1455	1446	1717	1312	1725	1217	508
1240	1195	1196	1217 †	1280	1421 †	1347 †	1468 †	1553 †	1377	1335	1574	1190	384
1263 †	1206	1155	1109	1172 ↑	1191 z	1317 z	1364 †	1445 †	1379 †	1296	1468	1105	363
1252 †	1262	1233 z	1182 z	1193 ↓	1224 †	1249 †	1437 †	1376	1295	1292	1490	1181	309
1275 z	1273 z	1254	1182 †	1231	1210	1223	1276	1286	1306 z	1259	1323	1176	147
1266	1274	1277	1236	1233	1264 †	1302 †	1287	1376	1422 †	1284	1426	1231	195
1275 z	1223 ↓	1201 z	1187 z	1294 †	1255 †	1309 ↓	1341 †	1337 ↓	1307	1272	1356	1186	170
1254	1241	1239	1237	1230	1251	1292	1317	1345	1346	1282	1415	1177	238

Vertical-Intensität.

Mat 1883.

0.49000+0.0.... C. G. S.

Jan Mayen.

Datum	1	2	3	4	5	6	7	8	9	10	11	Mittag	1	2
1.	1284 ↑	1275	1271	1282	1254	1220 ↓	1189 ↑	1219 ↑	1241	1247	1261	1276	1275	1275
2.	1406 ↓	1511 ↓	1442 ↓	1274 ↓	1248 ↓	1214	1203	1187	1200	1234 ↓	1253	1267 ↓	1179	1148
3.	1843	1314	1295	1249	1215	1230	1221	1240	1252	1255	1269 ↑	1287	1273	1263
4.	1274	1254	1288 z	1268 ↑	1213 z	1236	1245	1246	1255 z	1243	1254	1268	1253 z	1248
5.	1809	1272 ↓	1270	1253 ↓	1218	1219	1230	1244	1249 ↑	1248 z	1253	1260 z	1273 ↑	1282
6.	1276	1346	1288	1263	1227	1228	1216	1240	1248	1258	1249 ↓	1255	1294	1271
7.	1264 z	1282 z	1296 z	1824	1257	1226	1243	1235 ↓	1242 ↑	1250	1271	1270 ↓	1279	1282 ↑
8.	1272 z	1250 z	1256 z	1261 z	1240 ↑	1239	1242	1250	1256	1275	1297	1327 ↑	1303	1284
9.	1264 ↑	1239	1249 ↑	1235	1241	1230	1231	1243	1252 ↓	1247	1243	1254	1243	1260 z
10.	1255 z	1252 ↓	1243 z	1242	1239	1230	1228	1233 z	1236	1236 z	1232	1237	1232	1239
11.	1264 z	1280 z	1236 z	1208	1218 z	1218 z	1219	1215	1224	1226 z	1230 z	1237 z	1256 z	1237 z
12.	1294	1293 ↓	1248 ↓	1213 z	1164	1162	1183 z	1199 z	1203	1213 z	1213	1216 z	1216 z	1226
13.	1223 z	1228	1217 ↓	1209	1217 ↓	1209	1213 z	1215 z	1219 z	1222 z	1217 z	1224 z	1237 z	1249 z
14.	1249 z	1282 ↑	1381 ↑	1342	1247	1142 ↓	1164 ↓	1184 ↑	1213 z	1235 z	1257 z	1274 z	1257 ↓	1253
15.	1208 z	1204 z	1205 z	1203 ↓	1186 ↓	1143	1150 ↑	1163 z	1175 z	1186	1187 ↓	1213 z	1206	1218 z
16.	1199 z	1187 z	1219	1203 z	1166 z	1157	1165 ↓	1156	1173 ↑	1204 ↓	1209 z	1288 z	1253	1244 ↓
17.	1247 z	1248	1254	1258 z	1261	1258	1259 z	1253 z	1252 z	1268 z	1262 ↑	1268 z	1276 z	1267 ↓
18.	1410	1383	1281 ↓	1284 z	1246	1285 ↑	1235	1246 z	1254 z	1255 z	1267	1284 z	1279 z	1301
19.	1281	1204 z	1249 ↓	1244	1254	1288 ↓	1176 ↓	1222	1213	1239	1244	1276 ↓	1154 ↓	1122
20.	1266	1263	1246 z	1243	1232	1232	1241 z	1239	1240 z	1246 z	1245	1234 z	1231 z	1239
21.	1529	1558 ↑	1570	1482	1591 ↑	1371	1207 ↑	1414	1154 ↓	1187	1113	1029 ↑	1043 ↓	916 ↓
22.	1467 ↑	1584 ↓	1517	1367 ↓	1325 ↑	1289 ↓	1217 ↓	1261 ↓	1202	1259	1277 ↑	1247	1226 ↓	1210 ↑
23.	1291 ↑	1320	1378	1436 ↑	1266	1210	1209	1219	1239	1241	1263 z	1282 z	1279	1276
24.	1840 z	1276	1248	1257	1240	1243	1239	1243	1249	1246 ↓	1252	1266 z	1245	1229 z
25.	1329	1270	1234	1216	1170	1172	1205	1204	1215	1223	1222	1232	1242	1248 ↑
26.	1282 z	1307 ↑	1286 ↑	1319	1228	1218	1229	1216	1224 ↓	1258 ↑	1267	1280	1258 ↓	1240
27.	1261	1300	1269 ↑	1227	1235 ↑	1213	1222 ↓	1232	1250	1250	1249	1252 ↓	1262	1243 ↓
28.	1417 ↑	1335	1268 ↓	1215	1194	1205	1200	1203	1220	1230 z	1220 z	1237 ↓	1227	1232 z
29.	1368	1338	1274 ↑	1271	1240	1210	1200	1212 z	1241	1246 z	1262 z	1252 ↓	1273	1270 z
30.	1237	1258	1275 z	1249 z	1212	1215	1239 z	1245	1241	1248	1248	1249 z	1258	1272
31.	1250	1256 ↓	1298 z	1220 ↑	1136 ↑	1217	1199	1173	1210	1219	1237	1227 z	1229 z	1241 z
Mittel	1302	1307	1292	1268	1238	1222	1213	1227	1229	1239	1243	1250	1242	1235

Junii 1883.

φ = +70° 59' 48"

1.	1282	1826 ↓	1246	1222	1168 ↓	1179 ↑	1199 z	1200	1200	1196	1199	1204	1214	1195
2.	1308	1346	1446	1298 ↓	1264 ↑	1307 ↑	1150	1186	1227	1221 ↑	1228	1189 ↓	1092	979
3.	1360 ↓	1354	1376	1299	1263 ↑	1243 ↓	1264	1355 ↑	1288 ↑	1249 ↑	1263 ↓	1250 ↓	1234	1264 z
4.	1821 z	1308 ↑	1293 z	1269 z	1246 ↓	1239 ↑	1219	1234	1233	1245 ↓	1256 ↑	1264	1259 ↓	1252 ↓
5.	1266 z	1298 z	1270 ↓	1217 ↑	1215	1223	1235	1242	1250	1259	1262	1262 z	1267 z	1268
6.	1279 z	1270 ↑	1283 ↑	1300 ↑	1279 ↑	1257 ↑	1269 ↑	1263 ↑	1294	1294	1274 ↑	1286 ↓	1291	1213 ↑
7.	1314 z	1400 ↑	1374 ↑	1280 ↓	1215 ↑	1191	1203	1223	1231	1231	1234	1244 z	1248	1271 z
8.	1295 ↑	1314	1279	1207 ↑	1169	1178 ↑	1214	1232	1244 z	1250 z	1243 z	1250 z	1195	1059
9.	1287	1234	1209 z	1258 ↓	1273	1160	1174	1201	1195 ↑	1214 z	1217 ↓	1230	1206	1186
10.	1296 ↑	1324 ↓	1207	1175 z	1179 z	1182 z	1183 z	1192 z	1195 z	1196	1206	1214 z	1220 z	1233 z
11.	1295	1295 ↑	1333 z	1298 z	1214	1189	1191 ↓	1192 ↑	1208	1200	1202 ↑	1241 ↓	1247	1250 z
12.	1235 z	1233 ↓	1222 z	1218 z	1218 z	1232 z	1229	1232 z	1232 z	1223	1221 ↓	1220 ↑	1272 ↑	1273
13.	1206 z	1206 z	1207 z	1212	1237	1199	1187	1215	1222 z	1248 z	1245 z	1250 z	1254	1255
14.	1314	1395	1329	1256	1242	1244	1248	1244	1256	1253	1263	1262 z	1259	1267 z
15.	1270	1302 ↓	1259	1213	1210 z	1213 z	1214 z	1210 z	1205 z	1202 z	1194 z	1196 z	1196	1197
16.	1250 ↑	1317 z	1239 ↑	1228 ↑	1228	1228 z	1229 z	1226 z	1230 z	1237 z	1247 z	1247 z	1246 z	1257 z
17.	1337 z	1369 ↓	1481 ↓	1415 ↓	1320 ↓	1175 ↑	1112	1148	1202	1240	1282	1232 ↑	1240 z	1217
18.	1420	1351	1413	1326	1319 ↑	1334 ↓	1237 ↓	1272 ↓	1289	1242	1205	1233	1230	1210 ↓
19.	1320	1343	1423 ↑	1398 ↓	1174 ↑	1223 ↓	1150 ↓	1192 z	1226 ↓	1235	1233	1259 ↑	1257	1262
20.	1402	1343	1300	1252 ↑	1244	1255	1224	1213	1230	1232	1239	1256	1263	1247
21.	1389	1444	1331	1197	1207	1209	1234	1257	1258	1256	1256	1252	1247	1246
22.	1274	1239	1230 z	1231 z	1228 z	1230 z	1235 z	1241	1239	1227	1228	1241	1246	1249 z
23.	1397	1341	1382	1585	1399	1317	1279	1192	1207	1221	1212	1167	1146	1120
24.	1416	1461	1383	1223	1187	1193	1178	1210	1222	1224	1220	1230	1229	1235
25.	1408 ↑	1313	1267	1245	1229 ↑	1219	1230 z	1237 z	1239 z	1242 z	1239 z	1259 z	1250 z	1260 ↓
26.	1859 ↓	1301	1218	1215	1226 z	1227 z	1228 ↑	1239	1210	1227	1219	1248	1270	1241 z
27.	1259	1252	1246 ↓	1227	1216	1197 ↓	1148	1186	1180	1042 ↓	1083 ↑	964 ↑	916 ↓	1039 ↑
28.	1339	1434 ↓	1349 ↓	1287 ↑	1221	1180	1175	1206	1214	1209	1205	1200 z	1205	1212 z
29.	1252 z	1237 z	1224 ↑	1219 ↓	1217	1213	1212	1206	1200	1199 z	1214	1202 z	1207	1205 z
30.	1284 z	1296 z	1271	1208	1203	1121	1272	1263	1271 ↑	1249	1189 ↑	1181 ↑	1137 ↓	986
Mittel	1314	1322	1303	1264	1234	1219	1211	1224	1230	1225	1226	1224	1218	1203

Correction auf M. O. Z. — 13^m6.

Lloyd'sche Wage.

Mat 1883.

3	4	5	6	7	8	9	10	11	12	Tages- mittel	Höchste Lesung	Niederste Lesung	Differenz
1274 †	1252	1142 †	1126	1149	1119 †	1192 †	1235	1354	1316	1239	1302	1110	252
1207	1201	1210	1176	1221 †	1215 †	1236 †	1289	1298	1385	1259	1515	1145	370
1261 z	1255 z	1244 †	1199	1166 †	1166 †	1172 †	1180 †	1246 †	1306 †	1240	1350	1164	186
1253	1258	1244	1179	1107	1166	1187	1170 z	1316 †	1282 z	1240	1317	1102	155
1287	1293 z	1201 †	1212	1186 †	1197 †	1252 †	1271 †	1293	1302	1250	1310	1184	126
1313	1289 †	1237 †	1229 †	1256 †	1240 z	1239 z	1270 z	1281 z	1262 z	1262	1350	1204	146
1269 †	1230 †	1226	1233 z	1232 z	1195 z	1187 z	1196 z	1250 z	1259 z	1250	1325	1186	139
1282	1271	1208 †	1234	1233	1212 †	1270	1276 †	1370	1279	1269	1377	1209	168
1260 z	1268	1240 z	1196 †	1216	1205 z	1218 z	1240 z	1241 z	1256 z	1240	1269	1183	86
1242	1253	1216 z	1177	1178 †	1206 †	1197 †	1245	1241 †	1267	1232	1268	1175	93
1240 z	1231 z	1210 z	1199 z	1199 z	1189 z	1184 z	1188 z	1203 z	1231	1223	1280	1183	97
1234 z	1239 z	1235	1216 z	1193	1192 z	1197 †	1192 †	1182 †	1216 z	1214	1299	1161	138
1237 z	1135 †	1119	1168 z	1173 z	1163	1136 †	1192 z	1257 †	1236	1205	1262	1117	145
1249	1253 z	1258 z	1240 z	1230 z	1227 z	1217 z	1216 z	1219 z	1218 z	1246	1385	1140	245
1193 †	1149 †	1105	1047 †	1082 †	1099 †	1130 z	1152	1164	1179 z	1165	1219	1043	176
1132 †	1120	1173	1220	1237 z	1217 z	1222 z	1257 z	1258 z	1249 z	1204	1287	1117	170
1261 †	1203 z	1202 z	1222 z	1190	1232	1235	1268	1257	1443 †	1256	1455	1173	282
1297 z	1306 z	1272 z	1248 z	1253 z	1249	1270	1303 †	1291	1298	1281	1415	1233	182
1195 z	1243 †	1247	1184 †	1196	1214 †	1227 z	1247	1259 z	1250	1229	1291	1120	171
1252	1232	1215	1162	1142 †	1147	1201	1269	1259	1270	1232	1281	1139	142
1021 †	1012 †	1108	1128 †	1334 †	1165 †	1431	1365	1432	1582 †	1281	1505	906	689
1227	1321	1154 †	1090	1196 †	1335 †	1389 †	1374	1539 †	1319 †	1311	1589	1079	510
1254	1191	1213	1239 z	1243 z	1262 z	1275 z	1271	1296	1341 †	1271	1456	1190	266
1226 z	1193	1142 z	1114 z	1106 †	1155 †	1254 †	1229	1339	1325	1236	1349	1097	252
1222 †	1215 †	1220 z	1168 †	1145 †	1148 †	1210 †	1898 †	1397 †	1304 †	1234	1418	1143	275
1221 †	1109 †	1111 †	1159	1142 †	1217 †	1263 †	1249	1241	1231	1232	1324	1100	224
1239 †	1241	1222 †	1222	1186	1209	1214	1268	1322	1880	1249	1384	1183	201
1239 z	1143	1123 †	1164 †	1205 z	1218 z	1230	1321 †	1310	1284	1235	1422	1119	303
1253	1232	1239	1246 z	1237 z	1230 z	1245 †	1313 †	1254	1271	1257	1370	1196	174
1249	1209	1207	1207	1201	1176	1160 †	1247	1276	1264 †	1235	1285	1141	144
1231	1221	1177 z	1071 †	1130 z	1153	1176	1197	1220 z	1234 z	1205	1301	1066	235
1236	1218	1201	1183	1194	1197	1227	1255	1286	1292	1242	1358	1141	217

$\lambda = -0^h 33^m 52^s.5$.

Junii 1883.

1195	1156	1072 †	1077 †	1077	1112	1160	1203	1253	1291 †	1193	1338	1061	277
1023	964	968	1029	1141	1181	1170 †	1282 †	1351 †	1355	1196	1455	961	494
1222 †	1189 †	1161 z	1189 z	1209 z	1212 z	1219 z	1269 †	1319 z	1303 †	1263	1384	1127	257
1259 †	1258	1252 z	1236 z	1190	1212 †	1177	1219 z	1254 z	1255	1248	1323	1177	146
1273 z	1283 z	1288 †	1282 z	1271 z	1262 z	1254 z	1270 z	1277 z	1272 z	1261	1298	1213	85
1176 †	1141	1126	1122 †	1200 †	1270 †	1254 †	1286 †	1299 †	1329 †	1252	1336	1120	216
1254 z	1243 z	1210 z	1165 z	1162 †	1189	1192 †	1205 †	1301	1311 †	1246	1407	1156	251
1182 †	1184	1104	1126	1135	1178	1200 †	1214	1274 †	1306	1210	1317	1040	277
1213	1107	1087	1042	1104	1187 †	1177	1210 †	1227	1235	1193	1288	1040	248
1243 z	1233 z	1192 z	1172 z	1152 z	1163 †	1206	1316 †	1326	1302	1221	1328	1151	177
1258 †	1261 †	1223	1209	1194	1193	1194 z	1202 z	1209 z	1227 z	1230	1333	1187	146
1248 †	1257 †	1241	1228 z	1221 z	1196 z	1257 †	1237 †	1240 z	1226 z	1234	1274	1194	80
1263	1293 †	1272	1231 †	1244 z	1218	1257	1271 z	1263	1281	1239	1296	1186	110
1297	1214 †	1235 z	1219 z	1221 z	1177 †	1201	1221	1243 z	1249 z	1255	1400	1176	224
1209	1219	1222 z	1216	1165	1168	1177	1182	1197	1208 z	1210	1308	1152	156
1246	1249 z	1254 †	1178 †	1145	1186	1196 z	1207 †	1287	1322	1237	1325	1142	183
1097	1103	1085 †	1156	1166 z	1183 †	1232 †	1201	1283	1445 †	1238	1496	1083	413
1186	1152	1142 †	1130	1148	1156	1333 †	1222 †	1273 †	1291 z	1255	1426	1125	301
1241	1206	1149	1181	1186 †	1197	1342 †	1411	1343	1367	1263	1431	1133	298
1235	1186	1117	1121	1151	1191 †	1119	1205	1290	1355	1236	1407	1116	291
1258 z	1273 †	1270 z	1241 z	1195 z	1192	1179 †	1226	1269 z	1321 z	1259	1453	1177	276
1217 †	1247	1114	1139 †	1108	1099 †	1152	1186 z	1194 z	1464 †	1219	1482	1099	383
1165	1189	1219	1191	1179 z	1136	1204	1244 †	1248	1300 †	1250	1539	1116	423
1254	1212	1196	1180	1189 z	1174 z	1229 z	1226 z	1247 z	1310	1243	1483	1168	315
1240 z	1173 †	1111 †	1142	1108	1191 z	1214 z	1208	1241	1335	1233	1413	1103	310
1156 †	1092	1067	1142	1143	1167	1180	1206	1239	1258	1212	1361	1065	296
1012 †	1069 †	1098 z	1112 †	1173	1143 †	1199	1243 †	1186 z	1224	1142	1259	890	369
1209	1184	1188 z	1180	1170 z	1153 z	1179 z	1196 z	1219 z	1243 z	1223	1442	1153	289
1216 z	1197 z	1181 z	1128 †	1070 †	1092	1116	1209 †	1234	1224	1195	1253	1069	184
981	1073 †	1017	970 †	1046	1138 z	1149 †	1353 †	1426 †	1438 †	1186	1553	931	622
1201	1185	1162	1158	1162	1177	1204	1238	1267	1302	1288	1380	1110	270

Vertical-Intensität.

Juli 1883.

0.49000+0.0.... C. G. S.

Jan Mayen.

Datum	1	2	3	4	5	6	7	8	9	10	11	Mittag	1	2
1.	1491	1489 †	1436	1397	1473 †	1296 †	1196 †	1178	1167 †	1193 †	1176 †	1151 †	1143 †	1006 †
2.	1473	1659	1589 ↓	1514 †	1481 †	1210 †	1201	1240	1231	1205	1220 z	1233 ↓	1247 z	1240
3.	1255	1276	1335 †	1289	1230	1220	1237 ↓	1242	1245	1241 †	1246 z	1257 ↓	1246 z	1245 z
4.	1316	1382 z	1325 ↓	1215 z	1232	1214	1181	1106	1140 z	1150 z	1181 z	1205 z	1236 z	1199 z
5.	1236 z	1247 z	1260 †	1160	1143 †	1140 †	1139	1132	1152	1173 z	1157	1182	1210	1188 ↓
6.	1375 †	1426 †	1370 †	1300	1216	1141 ↓	1107	1146	1200	1215	1220 †	1239	1221	1235 z
7.	1268 ↓	1273	1276	1188 †	1183 ↓	1168	1157	1165 z	1174	1174 z	1165 ↓	1161 ↓	1146	1150
8.	1174 z	1168 z	1162	1152	1155	1201 †	1260 †	1212 ↓	1175 †	1147	1193	1188 z	1190 ↓	1010 †
9.	1178	1184 †	1205	1179	1155 †	1145 †	1149	1160 †	1168	1168	1164	1161	1152	1159
10.	1203	1221 †	1397 †	1385	1275	1161	1266	1286	1127	1167	1188	1183 z	1182 †	1212
11.	1541 †	1566 †	1368 †	1246	1202	1199	1191	1194	1187	1192	1200	1197 z	1200	1192 z
12.	1528 †	1544 †	1392	1608 †	1397	1262 ↓	1208	1177	1189	1210	1216	1220 z	1241 z	1235 z
13.	1224 z	1207 ↓	1191 z	1201	1200 z	1200	1194	1200	1191	1155	1195 †	1215 ↓	1229 z	1197 ↓
14.	1380	1285 z	1205 ↓	1188	1202 ↓	1199	1197	1204 z	1200	1227 ↓	1202	1110 †	932 †	947
15.	1191 z	1182 z	1173 z	1181 z	1182 z	1193	1186 z	1203	1202 z	1206 z	1204 z	1208 z	1201 z	1186 †
16.	1274 ↓	1228 †	1287 ↓	1354 †	1450	1200 †	1161	1178	1207	1212 †	1221 †	1229 ↓	1226 z	1223 z
17.	1290 †	1349 †	1268 †	1243	1228	1180	1214	1223	1224	1226	1209 †	1255 †	1250	1245
18.	1257	1219	1202	1230 †	1202 †	1203 †	1216	1212 †	1254	1242	1217	1200 ↓	1152 ↓	1149
19.	1315 ↓	1449 †	1311 †	1254 †	1207	1206 †	1209	1209	1210	1210	1216 z	1231 †	1258 z	1246 †
20.	1333 †	1343	1383	1258	1221	1209 z	1230 †	1217	1223	1232	1231	1233 z	1253 ↓	1233 z
21.	1273 z	1253 z	1228 z	1229 ↓	1234	1229	1227	1221	1227 z	1229 z	1226	1229 z	1231 z	1234 z
22.	1286 z	1274 z	1272 z	1267 z	1266	1266 z	1275 z	1276 z	1271 z	1274 ↓	1274 z	1270 z	1274	1269
23.	1269 †	1311 †	1263	1255	1264 ↓	1263	1267 †	1272 z	1277 z	1288 z	1288 z	1270 z	1244 z	1240 z
24.	1254 z	1259 z	1312	1402 ↓	1310	1215 †	1182	1188	1209	1218 ↓	1284 †	1301 z	1295	1222
25.	1375	1411 †	1503	1335	1247	1202	1203	1247	1258	1270	1288	1309 z	1281 z	1290 z
26.	1306 †	1304 z	1334 z	1273 †	1245	1258	1252	1255	1247	1236	1258	1263 z	1282 z	1307 †
27.	1382	1351 †	1311	1320	1314	1268 z	1287 z	1250	1252	1286	1282 z	1277 z	1276	1232
28.	1262 z	1258 z	1255 z	1252 z	1254 z	1247 z	1249 z	1249 z	1249 z	1246 z	1245 z	1249 z	1254 z	1260 z
29.	1260	1258 ↓	1258	1236	1233 z	1242	1235 z	1245 †	1249 z	1254 z	1257	1246	1246 z	1248 z
30.	1303 †	1419 z	1687 †	1673 †	1555 †	1497	1461 †	1301	1279	1268	1321	1098 †	1040 ↓	993 ↓
31.	1458	1451	1498	1431	1303	1404	1473 †	1391 ↓	1247	1233	1152	987 †	965	904
Mittel	1314	1331	1324	1297	1268	1227	1226	1219	1214	1218	1222	1212	1203	1184

September 1882 bis Juli 1883.

Vertical-

Sept. 1882	1436	1425	1439	1400	1384	1367	1369	1374	1385	1391	1394	1400	1403	1399
Oct. "	1472	1457	1448	1434	1424	1394	1384	1388	1392	1391	1386	1382	1385	1379
Nov. "	1460	1430	1436	1448	1428	1392	1365	1374	1369	1370	1354	1343	1337	1316
Dec. "	1417	1417	1403	1388	1377	1368	1350	1359	1362	1363	1367	1362	1364	1350
Jän. 1883	1283	1288	1270	1262	1250	1239	1232	1234	1239	1248	1252	1252	1245	1243
Febr. "	1293	1301	1274	1262	1243	1222	1216	1207	1216	1222	1220	1209	1214	1199
März "	1309	1314	1318	1305	1273	1248	1217	1216	1228	1228	1225	1215	1208	1202
April "	1337	1333	1328	1309	1288	1264	1256	1264	1274	1275	1278	1272	1270	1268
Mai "	1302	1307	1292	1268	1238	1222	1213	1227	1229	1239	1243	1250	1242	1235
Juni "	1314	1322	1303	1264	1234	1219	1211	1224	1230	1225	1226	1224	1218	1203
Juli "	1314	1331	1324	1297	1268	1227	1226	1219	1214	1218	1222	1212	1203	1184
Mittel	1358	1357	1349	1331	1310	1287	1276	1281	1285	1288	1288	1284	1281	1271

Correction auf M. O. Z. —13^m6.

Lloyd'sche Wage.

Juli 1883.

3	4	5	6	7	8	9	10	11	12	Tages- mittel	Höchste Lesung	Niederste Lesung	Differenz
904	1006	993	993	1039 †	1110	1180	1210	1306	1428	1207	1551	881	670
1258	1259 z	1270 z	1258 z	1249 z	1232 z	1246 z	1247	1248 z	1270 z	1303	1671	1196	475
1226 z	1227 z	1166 †	1173 z	1162 z	1184 †	1191 †	1173 †	1254 †	1282 †	1233	1339	1160	179
1154 z	1151	1156 z	1167	1163 z	1135 †	1138	1181 z	1239	1244	1200	1383	1091	292
1157 †	1080 †	1084	1059	1103	1141	1243	1203	1217	1285	1170	1290	1057	233
1245 z	1210 z	1192 z	1129 z	1114 z	1139 z	1170 z	1170 †	1183 z	1194 z	1215	1431	1105	326
1208 †	1115 †	991 †	1017 †	1070 z	1145 †	1123 z	1138 z	1168	1151	1157	1280	988	292
786 †	1107 †	1012 †	1026	1047 †	1206 †	1137	1142	1217 †	1200 z	1136	1266	746	520
1148	1152 †	1155	1146	1193	1150	1145	1145	1097	1184	1160	1208	1096	112
1210 †	1224	1221	1210 †	1164	1226 †	1263 †	1366 †	1263	1279 †	1237	1401	1119	282
1190 z	1205 z	1228 †	1160 †	1173 †	1216 †	1254	1246 †	1316	1440 †	1254	1570	1155	415
1250 †	1243 z	1233 z	1223 z	1213 z	1203 z	1212 z	1214 z	1240 z	1232 z	1279	1617	1169	448
1195	1139	1123	1156 †	1161 †	1179	1199 †	1149 z	1160 †	1231 z	1287	1232	1115	117
845	978	1030	1081 †	1105	1137 z	1159 z	1160 z	1170 z	1165 z	1138	1385	840	545
1182	1017	1035	913 †	1075	1101	1114	1139 †	1379 †	1326 †	1166	1434	900	534
1191 z	1107	1086 †	1119 †	1166 †	1117 †	1160 z	1342 †	1284 †	1259 z	1120	1453	1074	379
1246	1227	1228	1224 z	1175 z	1181	1141 †	1190 †	1208	1240	1228	1354	1134	220
1145 †	1146	1182	1157 †	1132 †	1072 †	1147 †	1141	1164 †	1220 †	1186	1269	1062	207
1248 z	1236 †	1187 †	1200	1154 †	1190 †	1188 †	1212 †	1366 †	1390 †	1246	1461	1150	311
1217 z	1226 †	1232 z	1201 z	1206 †	1193 z	1199 †	1222 z	1264 z	1273 z	1243	1384	1192	192
1239 z	1240	1253 z	1230 z	1308 z	1297 z	1288 z	1287 z	1288	1285 z	1249	1308	1219	89
1270	1289 z	1299 z	1299 z	1273 z	1256 z	1245 z	1272 z	1276 z	1298 z	1275	1299	1245	54
1249 z	1254 z	1248 z	1240 z	1216 z	1204 z	1226 z	1222 †	1301	1262	1258	1314	1203	111
1054 †	967	1081	1120	1159 z	1175	1215 z	1268 z	1419 †	1383	1229	1438	959	479
1249 †	1235 z	1261 z	1259 z	1271 †	1248	1255 z	1258 z	1269 z	1275 z	1283	1505	1200	305
1254	1113	1113	1081 †	1259 †	1273 †	1269	1289 z	1451	1418	1264	1461	1078	383
1288 z	1214	1223	1231 †	1236 z	1229 z	1249 z	1267 z	1276 z	1270	1274	1390	1212	178
1291	1283	1259 z	1270 z	1261 z	1248 z	1235 z	1249 z	1264 z	1260 z	1256	1293	1235	58
1273 †	1257 z	1268 z	1243	1165 z	1205	1262 †	1248	1274	1340 z	1250	1346	1164	182
1027	1004	1088	1162	1204	1313	1342	1321 z	1411 z	1434	1300	1755	988	767
960 †	987 †	1028 z	1020 †	1023	1097 †	1149 †	1175 †	1283 †	1389	1211	1509	898	611
1166	1158	1159	1154	1169	1187	1205	1221	1266	1287	1226	1406	1085	321

Intensität.

September 1882 bis Juli 1883.

1389	1387	1371	1359	1361	1369	1401	1430	1424	1422	1395	1525	1304	221
1375	1364	1360	1370	1394	1410	1431	1455	1456	1459	1408	1549	1329	220
1302	1312	1324	1313	1330	1341	1378	1411	1436	1437	1375	1573	1206	367
1343	1339	1335	1337	1328	1337	1338	1354	1394	1418	1365	1496	1257	239
1230	1223	1216	1204	1189	1203	1224	1251	1265	1270	1242	1307	1132	175
1202	1181	1171	1164	1181	1185	1222	1243	1252	1284	1224	1376	1102	274
1198	1186	1186	1192	1191	1228	1243	1273	1310	1309	1243	1406	1119	287
1254	1241	1239	1237	1230	1251	1292	1317	1345	1346	1282	1415	1177	238
1236	1218	1201	1183	1194	1197	1227	1255	1286	1292	1242	1358	1141	217
1201	1185	1162	1158	1162	1177	1204	1238	1267	1302	1228	1380	1110	270
1166	1158	1159	1154	1169	1187	1205	1221	1266	1287	1226	1406	1085	321
1263	1254	1248	1243	1248	1262	1288	1313	1336	1348	1294	1436	1178	258

Tabelle 22. Tagesmittel der Total-Intensität.

$$K = 0.50000 + 0.0 \dots C. G. S.$$

	Sept.	October	Nov.	Dec.	Jänner	Februar	März	April	Mai	Juni	Juli
1.	.	1224	1371	1292	1227	1215	1009	1162	1177	1134	1158
2.	.	1165	1364	1287	1204	1212	1094	1208	1190	1139	1225
3.	.	1314	1281	1256	1276	1251	1139	1142	1180	1206	1174
4.	.	1297	1244	1247	1284	1161	1136	1201	1178	1189	1141
5.	.	1321	1257	1268	1216	1215	1166	1197	1197	1200	1117
6.	.	1324	1245	1294	1174	1163	1181	1215	1204	1193	1154
7.	.	1321	1282	1311	1173	1171	1147	1216	1194	1184	1104
8.	1400	1343	1292	1313	1211	1180	1133	1202	1211	1153	1088
9.	1404	1326	1289	1284	1240	1174	1160	1232	1183	1137	1103
10.	1371	1323	1324	1323	1231	1179	1160	1231	1173	1163	1172
11.	1359	1315	1308	1325	1258	1173	1192	1224	1164	1170	1186
12.	1396	1396	1324	1324	1220	1199	1184	1251	1152	1179	1204
13.	1410	1392	1381	1333	1223	1175	1043	1226	1151	1179	1231
14.	1401	1380	1161	1336	1212	1153	1156	1243	1182	1197	1085
15.	1359	1345	1261	1303	1165	1136	1142	1213	1110	1151	1107
16.	1375	1379	1300	1285	1205	1203	1159	1230	1150	1178	1057
17.	1373	1393	1240	1302	1118	1198	1189	1219	1194	1105	1167
18.	1320	1435	1348	1259	1076	1198	1192	1212	1218	1194	1133
19.	1243	1366	1225	1256	1131	1192	1185	1228	1176	1196	1174
20.	1225	1330	1377	1276	1116	1189	1194	1243	1171	1173	1181
21.	1251	1291	1362	1295	1146	1228	1195	1235	1158	1195	1186
22.	1273	1301	1329	1290	1124	1129	1209	1235	1123	1165	1214
23.	1284	1323	1294	1307	1106	938	1221	1235	1210	1184	1196
24.	1314	1293	1298	1301	1080	1036	1247	1255	1175	1177	1170
25.	1313	1316	1304	1339	1085	1138	1231	1267	1170	1176	1222
26.	1305	1361	1314	1326	1066	1077	1222	1229	1173	1154	1202
27.	1314	1398	1350	1395	1147	1095	1213	1229	1189	1081	1216
28.	1283	1406	1330	1332	1207	1078	1241	1200	1174	1155	1199
29.	1280	1410	1325	1251	1214	.	1211	1222	1194	1138	1193
30.	1266	1395	1317	1288	1237	.	1256	1211	1174	1130	1232
31.	.	1387	.	1257	1216	.	1173	.	1140	.	1136

Tabelle 23. Tagesmittel der Inclination.

$$J = 78^\circ + x'$$

1.	.	60'4	61'6	63'9	61'1	61'6	63'0	60'4	60'4	59'3	56'1
2.	.	60'1	62'8	61'0	60'8	64'1	62'8	61'3	62'7	58'6	66'4
3.	.	64'3	59'6	63'7	61'3	65'7	63'0	68'2	61'2	59'0	59'7
4.	.	64'0	60'9	63'6	62'3	63'9	61'9	62'9	60'4	59'3	59'7
5.	.	63'2	62'1	61'9	62'0	62'2	62'4	62'8	59'4	60'5	57'6
6.	.	71'4	61'4	62'6	61'9	62'7	62'0	61'9	58'9	59'4	60'4
7.	.	63'7	61'1	62'7	62'2	60'2	60'2	61'0	58'6	60'5	57'4
8.	67'1	63'9	62'3	62'1	61'5	59'1	62'8	58'8	58'9	58'9	55'6
9.	68'9	62'0	62'5	63'0	60'0	60'2	61'8	59'3	58'7	57'7	58'8
10.	65'1	63'1	61'6	62'6	62'0	60'0	60'4	60'6	58'3	59'0	62'2
11.	67'6	62'2	62'1	63'6	62'1	59'6	59'1	61'6	59'6	59'7	62'8
12.	67'2	63'9	68'0	62'2	60'3	60'3	59'2	60'9	60'6	58'3	65'1
13.	65'1	61'8	80'3	63'0	60'3	60'1	62'3	60'3	57'6	59'1	58'5
14.	65'2	62'2	61'7	62'4	59'9	60'1	60'9	60'9	61'3	59'1	57'0
15.	64'2	62'3	57'4	62'7	59'0	60'3	60'0	59'4	57'8	59'5	59'7
16.	64'6	63'5	60'6	64'3	60'4	61'0	59'6	61'4	57'5	59'6	60'6
17.	65'3	62'9	73'3	62'3	60'2	62'3	61'3	61'1	60'5	64'6	60'4
18.	62'6	65'7	77'6	63'4	61'2	60'3	61'3	59'7	60'2	60'2	57'3
19.	60'7	60'9	70'8	66'8	59'9	61'6	60'2	62'0	57'3	62'6	63'9
20.	61'8	61'4	84'2	65'6	60'0	60'1	61'2	60'4	59'8	61'1	60'6
21.	61'0	60'5	70'0	71'8	60'7	62'0	61'3	61'4	65'9	61'4	61'0
22.	61'1	64'5	62'6	63'4	60'6	62'8	64'3	59'8	64'0	57'8	60'5
23.	61'5	62'3	62'4	63'8	58'2	60'0	62'6	60'4	60'1	61'9	60'7
24.	62'7	64'0	65'9	62'0	59'2	61'2	64'3	59'5	60'1	61'6	59'6
25.	65'0	63'6	64'3	62'9	59'6	69'2	61'3	63'3	61'1	58'9	60'3
26.	64'1	62'8	65'0	63'9	63'6	59'3	63'1	62'9	59'1	59'4	60'6
27.	65'2	64'5	64'1	64'1	61'0	64'4	67'7	61'8	59'8	59'9	59'5
28.	61'4	68'2	62'3	64'7	65'3	62'9	62'9	60'2	60'0	62'6	59'1
29.	60'4	64'4	64'9	66'1	61'4	.	63'5	61'3	60'7	58'7	58'8
30.	60'0	63'8	63'8	63'7	61'2	.	63'2	60'6	59'8	58'4	62'8
31.	.	64'2	.	62'9	61'4	.	60'8	.	61'3	.	65'1

Tabelle 24.

Declination.

Tagesmittel der Abweichungen ohne Rücksicht auf das Zeichen, mit positiven und negativen Zeichen.

Österreichische Expedition auf Jan Mayen.

21

Tag	1882												1883																				
	September			October			November			December			Jänner			Februar			März			April			Mai			Juni			Juli		
	ohne Zeichen	+	-	ohne Zeichen	+	-	ohne Zeichen	+	-	ohne Zeichen	+	-	ohne Zeichen	+	-	ohne Zeichen	+	-	ohne Zeichen	+	-	ohne Zeichen	+	-	ohne Zeichen	+	-	ohne Zeichen	+	-	ohne Zeichen	+	-
1.	3'3	0'0	3'3	1'7	0'5	1'2	5'6	1'8	3'8	6'3	2'5	3'8	5'6	4'5	1'1	13'1	1'6	11'5	19'8	9'5	10'2	5'0	3'9	1'1	6'0	2'5	3'5	11'4	2'7	8'7	25'2	7'4	17'9
2.	9'2	0'3	8'9	40'0	18'7	21'3	5'6	1'6	4'0	2'4	1'2	1'1	4'4	3'3	1'0	14'9	6'7	8'2	19'0	7'6	11'4	5'0	2'2	2'8	11'9	7'2	4'8	25'7	12'1	13'6	8'0	7'2	0'8
3.	14'5	3'0	11'6	6'8	5'0	1'8	5'3	4'2	1'2	5'9	3'0	2'9	1'8	1'0	0'8	11'6	8'4	3'3	9'4	5'1	4'3	28'1	15'5	12'6	7'1	2'8	4'3	9'1	3'8	5'3	10'8	4'5	6'2
4.	6'3	2'0	4'4	12'8	4'9	7'9	2'9	0'4	2'5	11'6	1'0	10'6	3'0	1'2	1'8	16'4	8'0	8'4	7'4	2'3	5'1	24'4	10'3	14'1	4'6	2'4	2'2	5'2	2'0	3'1	4'3	1'7	2'5
5.	18'8	6'1	12'7	15'5	2'9	12'6	5'6	0'3	5'3	3'2	1'6	1'7	8'5	3'9	4'6	7'5	5'7	1'9	8'3	7'5	0'8	14'2	6'7	7'4	7'5	2'3	5'2	1'7	1'0	0'6	13'0	4'9	8'1
6.	10'7	4'2	6'5	21'8	15'5	6'3	5'8	2'2	3'6	4'6	3'0	1'6	8'4	3'2	5'1	10'0	4'7	5'2	8'2	0'3	7'9	8'3	5'9	2'4	6'5	4'5	2'0	13'8	5'0	8'7	8'5	6'0	2'5
7.	4'6	2'9	1'8	4'4	0'3	4'1	7'9	1'6	6'4	5'1	1'8	3'2	8'5	2'7	5'8	3'9	1'9	2'0	10'0	5'8	4'1	2'1	1'1	0'5	3'9	1'4	2'5	6'4	3'8	2'6	11'6	2'4	9'2
8.	5'0	3'7	1'2	5'0	2'1	2'9	4'8	1'4	3'4	1'9	1'2	0'6	8'9	6'2	2'6	2'5	1'3	1'1	9'4	6'7	2'7	7'5	2'3	5'2	4'6	1'9	2'7	11'4	6'3	5'0	18'8	6'6	12'2
9.	8'0	5'5	2'4	5'6	1'9	3'7	10'1	4'7	5'4	5'3	1'9	3'3	4'3	4'0	0'4	4'1	1'9	2'1	11'4	6'9	4'5	4'5	2'6	1'8	2'7	0'9	1'8	12'5	4'7	7'8	3'3	2'4	0'9
10.	3'8	3'7	0'1	6'4	3'0	3'4	2'7	1'2	1'4	2'6	2'3	0'3	3'7	2'1	1'6	4'6	3'8	0'7	6'9	0'7	6'2	2'5	0'8	1'7	3'8	1'0	2'8	4'8	1'1	3'6	11'0	5'4	5'5
11.	12'7	6'4	6'3	6'5	3'2	3'3	3'8	0'7	3'1	6'9	3'7	3'1	4'3	4'2	0'1	1'9	1'1	0'7	2'9	0'2	2'7	4'5	2'6	2'0	1'9	1'3	0'6	4'4	3'3	1'0	12'2	5'6	6'5
12.	13'4	7'6	5'8	5'7	3'7	2'0	20'3	9'4	10'9	3'9	1'8	2'0	3'1	1'3	1'9	2'0	1'7	0'3	4'4	0'6	3'8	3'3	1'1	2'2	2'6	2'2	0'4	4'6	2'3	2'3	16'0	14'0	2'0
13.	7'5	2'4	5'1	3'3	2'1	1'2	52'3	22'0	30'2	3'5	1'9	1'6	2'5	1'2	1'4	2'2	1'6	0'6	7'1	5'9	1'2	4'7	0'9	3'8	5'1	1'1	4'0	5'4	2'0	3'4	11'1	4'5	6'5
14.	9'3	3'6	5'7	4'9	1'4	3'5	26'0	9'1	16'8	2'8	1'1	1'7	2'8	1'2	1'6	4'5	1'4	3'1	4'5	1'3	3'2	2'1	1'9	0'2	7'8	6'0	1'8	6'8	1'5	5'3	13'6	6'8	6'7
15.	3'9	1'2	2'7	6'9	4'0	2'9	17'5	9'6	7'8	5'8	2'3	3'5	4'4	0'8	3'5	3'7	3'1	0'6	2'6	1'2	1'5	3'4	2'0	1'4	4'7	1'5	3'2	3'5	1'0	2'5	8'5	1'2	7'3
16.	3'8	2'0	1'8	10'3	2'9	7'4	12'6	6'8	5'7	22'6	16'2	6'4	2'0	1'1	0'8	3'4	2'3	1'1	3'5	0'7	2'8	6'3	3'6	2'7	7'5	6'0	1'4	4'1	1'1	3'0	12'6	4'4	8'1
17.	6'9	6'0	0'8	8'7	4'6	4'1	54'2	31'3	22'9	3'6	1'7	1'9	4'8	3'7	1'1	4'2	0'7	3'4	2'2	1'4	0'8	4'1	3'6	0'5	9'3	3'7	5'6	21'4	13'5	7'9	7'1	5'3	1'7
18.	6'1	1'4	4'6	5'6	4'9	0'7	50'1	36'8	13'3	5'4	2'2	3'2	5'2	3'5	1'7	4'9	2'0	2'8	2'5	0'9	1'6	7'3	2'5	4'8	4'1	2'7	1'3	14'7	9'2	5'5	11'7	4'6	7'1
19.	3'4	1'3	2'1	2'3	1'3	0'9	25'4	11'7	13'7	8'7	5'8	2'9	3'8	2'4	1'4	4'5	4'1	0'4	2'0	0'5	1'5	22'1	10'8	11'3	9'0	6'1	2'9	11'3	6'6	4'6	10'2	6'0	4'2
20.	6'1	4'2	1'8	1'7	0'6	1'2	44'6	31'9	12'7	20'6	8'9	11'7	11'8	4'6	7'1	5'3	4'3	0'9	2'2	1'0	1'2	24'3	12'3	12'0	11'5	2'8	8'7	7'9	4'0	3'9	9'5	8'7	0'8
21.	3'5	3'0	0'4	1'7	0'7	0'9	25'4	3'4	22'1	21'5	15'5	6'1	7'4	2'9	4'5	4'2	1'5	2'7	15'3	5'2	10'1	1'9	1'3	0'6	23'6	14'1	9'5	4'2	4'0	0'2	4'2	4'0	0'2
22.	2'5	1'2	1'3	11'9	3'0	8'8	5'3	4'2	1'1	8'2	6'0	2'2	3'9	2'2	1'7	20'4	4'6	15'7	16'4	12'1	4'3	1'2	0'5	0'7	20'5	9'9	10'6	10'3	1'0	9'3	2'8	1'0	1'1
23.	4'7	3'0	1'6	5'4	4'5	0'8	6'1	3'6	2'5	7'0	2'1	4'9	1'6	1'2	0'4	11'7	8'3	3'5	8'3	5'4	2'8	1'8	1'4	0'4	8'3	7'0	1'3	17'1	11'7	5'4	3'3	1'0	2'3
24.	2'3	1'6	0'7	10'3	6'7	3'5	13'8	5'0	8'8	4'2	2'4	1'8	5'0	1'1	3'8	15'0	4'7	10'4	6'8	4'0	2'7	12'7	3'6	9'1	6'5	2'3	4'2	9'6	4'3	5'3	15'7	5'6	10'1
25.	22'2	13'7	8'5	9'9	6'9	3'0	20'8	10'8	9'9	3'6	2'7	0'8	8'0	2'1	5'9	33'2	25'8	7'4	5'8	2'5	3'3	18'8	8'2	10'6	5'3	2'4	2'9	7'1	2'7	4'4	7'1	5'4	1'7
26.	5'5	3'6	1'9	5'1	3'9	1'2	10'8	5'1	5'7	6'0	0'8	5'2	14'2	7'5	6'7	11'0	4'1	6'8	12'0	6'3	5'7	14'6	8'3	6'2	10'9	3'4	7'5	12'1	4'7	7'4	12'3	3'6	8'7
27.	8'7	7'5	1'3	6'6	4'7	1'8	7'5	4'0	3'5	2'7	1'3	1'3	8'5	2'6	5'8	16'5	4'2	12'2	23'9	11'1	12'8	11'0	7'8	3'2	7'5	1'4	6'1	26'5	16'6	9'9	7'2	5'8	1'4
28.	4'1	3'3	0'9	13'4	4'9	8'5	4'6	3'4	1'1	5'5	3'8	1'7	7'7	5'7	2'0	18'9	7'9	11'0	17'9	8'6	9'3	5'2	3'1	2'2	7'2	4'3	2'9	8'9	6'7	2'1	3'5	2'5	1'1
29.	2'2	1'8	0'4	11'2	5'7	5'5	6'1	5'5	0'6	9'7	3'0	6'7	2'9	1'8	1'1	.	.	.	16'3	9'6	6'7	6'8	3'4	3'3	5'0	2'0	2'9	6'7	3'9	2'7	4'5	2'8	1'7
30.	2'1	1'7	0'4	4'8	3'3	1'5	6'4	1'6	4'8	6'4	2'2	4'2	2'2	0'9	1'3	.	.	.	7'6	5'4	2'1	10'5	3'6	6'9	5'8	3'0	2'8	27'4	15'0	12'4	22'4	10'2	12'2
31.	.	.	.	5'8	3'7	2'1	.	.	.	9'3	3'3	6'0	9'0	1'8	7'1	.	.	.	5'5	2'9	2'7	.	.	.	8'8	5'1	3'7	.	.	24'7	15'3	9'4	.

Magnetische Beobachtungen.

Tabelle 25.

Declinationen
Abweichungen und deren Mittel

Stunde	1882								1883			
	September		October		November		December		Jänner		Februar	
	Summe	Mittel	Summe	Mittel	Summe	Mittel	Summe	Mittel	Summe	Mittel	Summe	Mittel
1	160'8	5'4	244'5	7'9	398'8	13'3	179'3	5'8	164'2	5'3	179'0	6'4
2	206'4	6'9	221'7	7'2	567'8	18'9	222'3	7'2	145'1	4'7	360'7	12'9
3	381'5	12'7	268'1	8'6	362'9	12'1	278'9	9'0	185'5	6'0	324'0	11'6
4	326'4	10'9	377'5	12'2	473'4	15'8	314'6	10'1	218'2	7'0	339'5	12'1
5	312'5	10'4	316'0	10'2	435'5	14'5	225'4	7'3	210'9	8'1	426'1	15'2
6	190'2	6'3	226'8	7'3	338'9	11'3	155'6	5'0	141'2	4'6	221'7	7'9
7	80'1	2'7	230'6	7'4	315'8	10'5	144'8	4'7	109'1	3'5	175'5	6'3
8	103'9	3'4	202'5	6'5	447'5	14'9	149'9	4'8	73'9	2'4	157'6	5'6
9	155'8	5'2	143'3	4'6	338'2	11'3	156'9	5'1	75'4	2'4	143'0	5'1
10	127'2	4'2	255'3	8'2	383'5	12'8	179'1	5'8	86'5	2'8	131'6	4'7
11	118'5	4'0	234'0	7'5	425'6	14'2	124'2	4'0	114'0	3'7	103'5	3'7
Mittag	127'7	4'3	168'0	5'4	219'7	7'3	115'6	3'7	113'6	3'7	130'6	4'7
1	121'5	4'1	148'1	4'8	183'2	6'1	81'6	2'6	110'5	3'6	83'7	3'0
2	133'8	4'5	96'0	3'1	299'4	10'0	114'0	3'7	112'0	3'6	196'7	7'0
3	146'9	4'9	238'2	7'7	372'3	12'4	102'4	3'3	108'2	3'5	128'3	4'6
4	199'1	6'6	238'0	7'7	773'5	25'8	161'1	5'2	143'2	4'6	200'8	7'2
5	227'5	7'6	305'3	9'8	651'5	21'7	146'2	4'7	126'8	4'1	378'2	13'5
6	295'8	9'9	344'3	11'1	909'0	30'3	280'9	9'1	243'4	7'9	573'7	20'5
7	474'4	15'8	547'8	17'6	786'6	23'2	329'4	10'6	387'1	12'5	363'2	13'0
8	400'3	13'3	396'3	12'8	587'4	19'6	389'5	12'6	276'2	8'9	353'1	12'6
9	275'7	9'2	427'0	13'8	566'4	18'9	369'0	11'9	244'2	7'9	434'4	15'5
10	237'1	7'9	265'5	8'6	452'5	15'1	317'4	10'2	280'7	9'1	357'1	12'8
11	199'7	6'7	209'7	6'8	481'5	16'1	300'7	9'7	219'0	7'1	165'4	5'9
Mitternacht	161'1	5'4	178'1	5'7	510'2	17'0	368'0	11'9	203'7	6'6	215'1	7'7
Monats- summen und Mittel	5183'5	7'2	6282'6	8'4	11281'1	15'5	5206'8	7'0	4132'6	5'6	6142'5	9'1

nation.

ohne Rücksicht auf das Zeichen.

1883										Gesamt- Mittel	Stunde
März		April		Mai		Juni		Juli			
Summe	Mittel	Summe	Mittel	Summe	Mittel	Summe	Mittel	Summe	Mittel		
197'6	6'4	159'2	5'3	200'0	6'5	249'3	8'3	400'0	12'9	7'6	1
256'1	8'3	225'5	7'5	203'8	6'6	221'5	7'4	332'3	10'7	8'9	2
456'0	14'7	284'2	9'5	318'3	10'3	353'8	11'8	285'8	9'2	10'5	3
477'9	15'4	327'4	10'9	324'8	10'5	366'1	12'2	285'3	9'2	11'5	4
405'8	13'1	385'3	12'8	239'9	7'7	403'0	13'4	332'8	10'7	11'2	5
396'1	12'8	326'2	10'9	247'0	8'0	349'7	11'7	244'3	7'9	8'5	6
255'8	8'3	182'9	6'1	133'8	4'3	187'9	6'3	341'2	11'0	6'5	7
144'8	4'7	161'4	5'4	169'1	5'5	178'8	6'0	314'5	10'1	6'3	8
197'5	6'4	216'5	7'2	151'2	4'9	245'2	8'2	273'7	8'8	6'3	9
155'6	5'0	212'5	7'1	117'9	3'8	330'5	11'0	262'8	8'5	6'7	10
167'3	5'4	124'0	4'1	206'9	6'7	283'1	9'4	292'7	9'4	6'6	11
111'9	3'6	176'5	5'9	164'7	5'3	283'1	9'4	303'6	9'8	5'7	Mittag
148'7	4'8	155'6	5'2	184'7	6'0	351'2	11'7	273'8	8'8	5'5	1
122'3	3'9	132'4	4'4	177'2	5'7	173'8	5'8	201'5	6'5	5'3	2
188'4	6'1	169'0	5'6	105'4	3'4	184'8	6'2	335'6	10'8	6'2	3
262'7	8'5	292'2	9'7	133'8	4'3	213'8	7'1	260'2	8'4	8'6	4
318'0	10'3	311'0	10'4	197'7	6'4	329'4	11'0	414'7	13'4	10'3	5
441'1	14'2	527'4	17'6	351'2	11'3	340'2	11'3	476'2	15'4	14'4	6
397'4	12'8	482'8	16'1	499'2	16'1	430'8	14'4	616'6	19'9	15'6	7
460'6	14'9	529'0	17'6	401'4	12'9	569'9	19'0	546'9	17'6	14'7	8
361'6	11'7	363'1	12'1	382'0	12'3	556'6	18'6	472'4	15'2	13'4	9
343'6	11'1	284'0	9'5	255'4	8'2	452'0	15'1	312'6	10'1	10'7	10
256'4	8'3	272'8	9'1	151'7	4'9	185'7	6'2	218'4	7'0	8'0	11
179'4	5'8	137'3	4'6	234'8	7'6	337'0	11'2	232'1	7'5	8'3	Mitternacht
6702'6	9'0	6438'2	8'9	5551'9	7'5	7577'2	10'5	8030'0	10'8	9'1	{ Monats- summen und Mittel

Tabelle 26.

Decl-

Monatssummen der Abweichungen mit posi-

Monat		1	2	3	4	5	6	7	8	9	10
September 1882	Summe	132·6	182·9	362·8	304·0	300·7	161·3	38·8	59·7	66·3	90·8
	Häufigkeit	19	17	23	21	22	20	11	19	13	20
October "	Summe	189·9	179·5	207·3	331·7	283·4	168·6	117·5	115·5	87·9	220·0
	Häufigkeit	18	19	17	19	21	17	9	11	12	19
November "	Summe	197·4	472·2	335·0	331·5	416·8	317·6	297·6	411·0	286·0	372·0
	Häufigkeit	18	22	22	23	23	22	18	16	14	22
December "	Summe	82·7	131·8	236·3	261·8	135·9	118·6	108·1	113·3	109·7	152·1
	Häufigkeit	18	13	16	20	16	16	13	15	20	22
Jänner 1883	Summe	70·6	97·7	146·1	181·8	219·4	119·2	91·4	31·6	33·9	67·0
	Häufigkeit	15	16	16	18	15	15	19	18	21	24
Februar "	Summe	145·6	193·9	310·2	319·9	410·4	205·4	154·6	134·8	107·8	122·3
	Häufigkeit	20	20	21	18	20	19	19	23	20	24
März "	Summe	139·5	201·3	424·8	454·8	373·6	343·9	194·3	86·4	106·5	92·2
	Häufigkeit	15	17	21	22	22	19	17	13	12	17
April "	Summe	130·9	202·9	268·0	320·6	384·4	320·3	166·7	126·3	191·4	177·8
	Häufigkeit	17	18	20	25	29	28	26	20	21	21
Mai "	Summe	93·8	158·7	253·7	283·4	202·3	206·4	97·3	127·1	112·0	66·9
	Häufigkeit	16	19	18	19	22	16	14	20	18	19
Juni "	Summe	167·4	126·0	295·9	326·7	363·9	322·7	150·7	155·3	184·3	289·4
	Häufigkeit	17	17	21	25	19	21	20	24	16	19
Juli "	Summe	302·7	242·2	197·8	231·8	282·8	231·8	340·0	278·7	206·4	223·6
	Häufigkeit	17	18	17	22	23	24	29	21	21	24
September bis Juli	Summe	1653·1	2189·1	3037·9	3348·0	3373·6	2515·8	1757·0	1639·7	1492·2	1874·1
	Häufigkeit	190	196	212	232	232	217	195	200	188	231
Mittlere Abweichung		8·7	11·2	14·3	14·4	14·5	11·6	9·0	8·2	7·9	8·1

n a t i o n.

tiven Zeichen (nach Ost) und deren Häufigkeit.

11	Mittag	1	2	3	4	5	6	7	8	9	10	11	Mitternacht	Summe
68·8	87·8	62·3	51·4	56·1	70·1	40·3	34·5	76·5	15·8	17·1	42·4	134·2	133·1	2590·3
20	16	17	16	16	19	12	11	11	5	4	13	19	22	386
210·8	135·2	122·2	64·4	69·2	64·7	47·3	33·5	34·8	24·6	80·4	98·2	133·5	139·8	3159·9
19	21	21	19	17	13	15	13	10	9	11	15	15	19	379
408·4	179·2	134·4	95·3	52·1	162·5	14·9	54·5	171·5	21·0	128·1	198·8	242·8	355·4	5656·0
18	20	15	19	14	14	6	7	7	5	10	16	14	19	384
96·5	89·8	63·9	81·7	76·1	55·6	40·6	32·8	96·2	91·0	38·1	63·4	50·9	278·6	2605·5
24	25	25	23	23	18	16	11	14	14	7	11	14	14	408
93·4	88·2	91·5	70·9	93·9	58·7	29·3	101·1	73·9	61·9	48·6	54·1	88·0	54·4	2066·6
19	24	25	21	24	16	15	15	13	13	13	9	16	15	415
100·2	111·1	54·8	96·6	47·1	36·7	126·8	50·6	11·7	22·6	38·2	38·7	65·6	158·2	3063·8
26	21	19	16	15	13	15	11	9	8	8	10	15	19	409
141·4	87·7	68·8	27·6	47·4	56·5	19·0	72·6	31·8	17·7	80·9	63·3	129·1	83·5	3344·6
22	17	13	9	9	11	11	9	6	7	8	7	15	15	334
109·7	160·6	127·8	85·4	51·0	38·8	4·5	4·9	9·2	4·8	38·7	145·0	75·1	80·8	3225·6
21	23	17	18	17	12	4	5	6	5	6	12	11	19	401
182·4	144·4	170·7	166·4	94·2	60·1	43·8	10·7	25·5	15·3	17·1	19·5	37·1	183·0	2771·8
24	21	25	27	24	15	11	4	8	7	4	8	11	19	389
257·5	247·9	321·3	113·2	91·5	70·3	15·8	15·1	5·8	7·7	5·0	105·5	24·1	123·0	3786·0
22	19	22	19	17	16	7	5	4	1	2	6	8	14	361
264·2	260·0	256·0	120·1	101·5	48·4	53·9	16·8	15·9	15·7	22·1	109·9	81·4	120·2	4023·9
21	18	23	17	16	10	12	7	6	5	7	10	12	15	395
1933·3	1591·9	1473·7	973·0	780·1	722·4	436·2	427·1	552·8	298·1	514·3	938·8	1061·8	1710·0	36294·0
236	225	222	204	192	157	124	98	94	79	80	117	150	190	4261
8·2	7·1	6·6	4·8	4·1	4·6	3·5	4·4	5·9	3·8	6·4	8·0	7·1	9·0	8·5

Tabelle 27.

Decli-

Monatssummen der Abweichungen mit negativen

Monat		1	2	3	4	5	6	7	8	9	10
September 1882	Summe	28·2	23·5	18·7	22·4	11·8	28·9	41·3	44·2	89·5	36·4
	Häufigkeit	11	12	7	9	7	10	17	11	17	9
October "	Summe	54·6	42·2	60·8	45·8	32·6	58·2	113·1	87·0	55·4	35·3
	Häufigkeit	12	12	14	12	10	14	21	18	19	12
November "	Summe	201·4	95·6	27·9	141·9	18·7	21·3	18·2	36·5	52·2	11·5
	Häufigkeit	12	8	8	7	7	7	12	12	16	8
December "	Summe	96·6	90·5	42·6	52·8	89·5	37·0	36·7	36·6	47·2	27·0
	Häufigkeit	13	17	15	11	15	15	18	15	11	9
Jänner 1883	Summe	93·6	47·4	39·4	36·4	31·5	22·0	17·7	42·3	41·5	19·5
	Häufigkeit	15	15	15	12	15	15	11	13	10	7
Februar "	Summe	33·4	166·8	13·8	19·6	15·7	16·3	20·9	22·8	35·2	9·3
	Häufigkeit	8	8	7	10	8	7	9	5	7	4
März "	Summe	58·1	54·8	31·2	23·1	32·2	52·2	61·5	58·4	91·0	63·4
	Häufigkeit	16	14	10	9	9	12	14	17	19	14
April "	Summe	28·3	22·6	16·2	6·8	0·9	5·9	16·2	35·1	25·1	34·7
	Häufigkeit	13	12	10	5	1	2	4	10	8	9
Mai "	Summe	106·2	45·1	64·6	41·4	37·6	40·6	36·5	42·0	39·2	51·0
	Häufigkeit	15	12	13	11	9	14	16	10	13	12
Juni "	Summe	81·9	95·5	57·9	39·4	39·1	27·0	37·2	23·5	60·9	41·1
	Häufigkeit	13	13	9	5	11	9	10	6	14	11
Juli "	Summe	97·3	90·1	88·0	53·5	50·0	12·5	1·2	35·8	67·3	39·2
	Häufigkeit	14	13	13	8	8	7	2	10	10	6
September bis Juli	Summe	879·6	774·1	461·1	483·1	359·6	321·9	400·5	464·2	604·5	368·4
	Häufigkeit	142	136	121	99	100	112	134	127	144	101
Mittlere Abweichung		6·2	5·7	3·8	4·9	3·6	2·9	3·0	3·7	4·2	3·6

nation.

Zeichen (nach West) und deren Häufigkeit.

11	Mittag	1	2	3	4	5	6	7	8	9	10	11	Mitternacht	Summe
49·7	39·9	59·2	82·4	90·8	129·0	187·2	261·3	397·9	384·5	258·6	194·7	65·5	28·0	2573·6
10	12	13	12	14	14	18	19	19	25	25	17	10	8	323
23·2	32·8	25·9	31·6	169·0	173·3	258·0	310·8	513·0	371·7	346·6	167·3	76·2	38·3	3122·7
12	10	10	11	14	18	15	18	21	22	20	16	16	11	358
17·2	40·5	48·8	204·1	320·2	611·0	636·6	854·5	615·1	566·4	438·3	253·7	238·7	154·8	5625·1
12	10	15	11	16	15	23	23	23	24	20	13	16	11	329
27·7	25·8	17·7	32·3	26·3	105·5	105·6	248·1	233·2	298·5	330·9	254·0	249·8	89·4	2601·3
7	6	6	8	8	13	14	20	17	16	24	19	17	17	331
20·6	25·4	19·0	41·1	14·3	84·5	97·5	142·3	313·2	214·3	195·6	226·6	131·0	149·3	2066·0
12	6	6	10	7	15	16	16	18	18	18	22	14	15	321
3·3	19·5	28·9	100·1	81·2	164·1	251·4	523·1	351·5	330·5	396·2	318·4	99·8	56·9	3078·7
2	6	9	12	12	15	12	17	19	20	20	18	12	9	256
25·9	24·2	79·9	94·7	141·0	206·2	299·0	368·5	365·6	442·9	280·7	280·3	127·3	95·9	3358·0
9	13	18	22	22	20	20	22	24	24	22	24	16	15	405
14·3	15·9	27·8	47·0	118·0	253·4	306·5	522·5	473·6	524·2	324·4	139·0	197·7	56·5	3212·6
9	7	13	12	13	18	26	25	24	25	23	18	19	11	317
24·5	20·3	14·0	10·8	11·2	73·7	153·9	340·5	473·7	386·1	364·9	235·9	114·6	51·8	2780·1
7	10	5	4	6	16	20	26	23	24	26	23	20	12	347
25·6	35·2	29·9	60·6	93·3	143·5	313·6	325·1	425·0	562·2	551·6	346·5	161·6	214·0	3791·2
7	11	8	11	13	14	22	25	26	29	28	24	21	16	356
28·5	43·6	17·8	81·4	234·1	211·8	360·8	459·4	600·7	531·2	450·3	202·7	137·0	111·9	4006·1
10	13	8	14	15	21	18	24	25	26	24	21	19	16	345
260·5	323·1	368·9	786·1	1299·4	2156·0	2970·1	4356·1	4762·5	4612·5	3938·1	2619·1	1599·2	1046·8	36215·4
97	104	111	127	140	176	204	235	239	253	250	215	180	141	3688
2·7	3·1	3·3	6·2	9·2	12·2	14·6	18·5	19·9	18·2	15·7	12·2	8·9	7·4	9·8

Tabelle 28.

Horizontal-Intensität.

Tagesmittel der Abweichungen ohne Rücksicht auf das Zeichen, mit positiven und mit negativen Zeichen.

T a g	1882												1883																				
	September			October			November			December			Jänner			Februar			März			April			Mai			Juni			Juli		
	ohne Zeichen	+	-	ohne Zeichen	+	-	ohne Zeichen	+	-	ohne Zeichen	+	-	ohne Zeichen	+	-	ohne Zeichen	+	-	ohne Zeichen	+	-	ohne Zeichen	+	-	ohne Zeichen	+	-	ohne Zeichen	+	-	ohne Zeichen	+	-
1.	.	.	.	26	25	1	68	67	1	59	27	32	48	28	20	55	33	22	96	24	72	46	24	22	38	15	23	48	25	23	101	81	20
2.	.	.	.	156	85	71	53	50	3	39	39	1	41	24	17	85	29	56	108	40	68	46	22	24	94	28	67	77	45	32	126	23	103
3.	.	.	.	56	18	37	79	79	0	62	26	36	20	17	3	120	39	80	98	37	61	139	11	128	38	11	27	48	34	13	64	37	27
4.	.	.	.	77	31	46	73	65	8	76	34	42	17	8	9	73	21	53	63	28	35	82	27	55	25	10	15	21	16	5	50	28	23
5.	.	.	.	78	39	39	72	54	18	35	28	7	42	16	25	62	33	29	73	33	41	82	27	55	51	31	20	19	8	12	74	52	22
6.	.	.	.	150	15	135	71	59	12	47	31	16	83	34	49	69	30	39	67	34	34	54	22	32	45	33	12	57	33	24	58	27	31
7.	.	.	.	44	18	26	70	64	6	43	30	13	72	28	45	26	23	3	78	49	29	20	12	8	46	35	11	42	17	24	47	39	8
8.	38	3	36	38	15	23	76	59	17	27	27	0	52	25	27	46	44	2	107	44	64	50	41	9	35	29	6	68	39	28	106	80	26
9.	74	6	68	33	26	7	77	57	20	57	22	35	47	37	10	28	26	1	68	34	34	36	33	3	24	23	1	68	47	22	23	16	6
10.	18	4	14	88	45	43	63	59	3	37	29	9	30	12	18	50	39	10	41	31	9	20	15	5	19	14	5	32	22	10	54	13	41
11.	76	13	63	59	37	23	71	59	13	67	36	31	31	14	17	33	33	0	46	46	0	27	11	16	27	16	11	27	14	12	71	19	52
12.	76	19	57	39	22	18	103	32	71	49	38	10	22	20	2	29	29	0	49	47	3	27	19	8	23	6	18	30	28	2	91	13	78
13.	59	28	31	41	37	4	214	4	210	24	20	4	29	24	5	32	29	2	62	26	36	38	25	13	42	36	6	44	28	16	66	52	14
14.	60	26	34	59	43	15	110	68	43	31	29	2	39	30	8	53	38	15	36	25	11	17	12	5	55	18	37	42	29	13	74	54	20
15.	37	18	18	79	48	31	164	135	29	44	30	15	34	32	3	20	19	1	28	26	3	39	32	7	34	28	7	21	11	9	62	30	32
16.	27	12	15	59	32	27	86	73	13	108	49	59	21	16	5	37	28	9	35	33	2	38	18	20	62	47	15	31	18	12	77	25	51
17.	56	22	34	64	41	24	177	24	153	34	27	7	55	28	26	44	21	23	44	28	16	31	16	15	58	27	32	148	39	109	51	25	26
18.	48	33	16	58	21	37	211	18	193	48	23	26	55	15	40	30	30	1	40	26	14	75	48	27	39	22	16	83	41	42	75	57	19
19.	41	35	6	41	41	0	142	23	119	91	18	72	24	16	7	40	24	16	32	30	1	83	37	46	76	58	17	92	29	63	98	23	75
20.	33	20	12	29	29	0	300	7	293	104	36	68	35	19	16	58	43	15	34	25	10	100	57	43	45	24	21	55	19	36	47	23	24
21.	35	32	3	35	34	0	131	35	96	151	16	135	72	35	37	47	28	20	79	47	33	17	8	9	155	37	118	38	11	28	20	6	14
22.	32	31	1	91	33	58	57	51	7	59	31	28	42	19	23	92	35	57	118	45	73	23	23	0	129	40	89	68	49	19	21	13	8
23.	64	45	19	62	38	24	62	51	11	47	24	24	30	29	0	90	37	53	74	37	37	17	15	2	62	33	29	118	44	74	29	14	15
24.	31	22	9	99	41	58	99	44	54	30	28	2	29	19	10	90	37	53	66	22	44	81	56	25	59	28	30	56	17	40	78	44	34
25.	154	68	87	80	36	44	148	81	67	36	28	8	75	39	36	153	20	133	54	37	17	71	24	47	46	15	31	60	38	22	56	33	23
26.	47	19	28	39	25	14	62	34	29	53	27	26	124	32	92	41	30	11	76	34	42	65	20	45	59	36	23	54	29	24	67	35	32
27.	72	24	48	58	26	33	57	41	16	31	21	10	62	28	34	96	22	74	98	9	88	74	33	41	68	25	19	81	32	49	68	45	23
28.	38	33	5	103	21	82	63	56	7	59	25	34	94	17	76	106	37	69	81	39	41	31	21	10	68	34	34	103	29	74	28	26	2
29.	45	43	2	57	26	31	69	39	30	118	35	82	48	25	23	.	.	.	113	49	64	47	23	24	45	20	26	27	20	8	35	31	4
30.	47	47	0	56	31	26	86	55	31	60	29	31	24	16	7	.	.	.	83	39	43	50	29	21	44	24	20	140	77	63	117	45	72
31.	.	.	.	42	19	23	.	.	.	55	30	25	35	16	18	.	.	.	65	41	24	.	.	.	68	20	48	.	.	94	8	86	86

Tabelle 29.

Horizontal-Intensität.

Abweichungen und deren Mittel ohne Rücksicht auf das Zeichen.

Stunde	1882								1883												Gesamt- Mittel		
	September		October		November		December		Jänner		Februar		März		April		Mai		Juni			Juli	
	Summe	Mitt.	Summe	Mitt.	Summe	Mitt.	Summe	Mitt.	Summe	Mitt.	Summe	Mitt.	Summe	Mitt.	Summe	Mitt.	Summe	Mitt.	Summe	Mitt.		Summe	Mitt.
1	1368	59	2292	74	3475	116	1513	49	2092	67	1559	56	1301	42	1058	35	2095	68	1544	51	2792	90	64
2	1231	54	1678	54	3462	115	1984	64	1436	46	2308	82	2249	73	1286	43	1736	56	2565	85	2849	92	69
3	2115	92	2093	67	2959	99	2513	81	1505	49	1876	67	3023	98	1367	46	1847	60	2869	96	3364	109	79
4	2098	91	3503	113	2745	92	3163	102	1572	51	1643	59	2651	86	1549	52	1885	61	2670	89	2741	88	80
5	1912	83	2777	90	2841	95	1944	63	2092	67	1597	57	2458	79	2026	68	1822	59	2558	85	2385	77	75
6	1653	72	2731	88	2092	70	1629	52	1143	37	1283	46	2391	77	1672	56	1639	53	2059	69	1770	57	62
7	1220	53	1728	56	1901	63	1551	50	802	26	1191	43	2240	72	1149	38	1034	33	1022	34	1086	35	46
8	775	34	1689	54	2944	98	1043	34	850	27	1397	50	1524	49	501	17	624	20	830	28	1333	43	41
9	666	29	1432	46	2952	98	1189	38	715	23	985	35	1862	60	497	17	586	19	699	23	841	27	38
10	609	26	1857	59	2769	92	1233	40	750	24	1012	36	1895	61	693	23	686	22	730	24	908	29	40
11	1120	49	2153	69	3416	114	1704	55	1013	33	1355	48	1991	64	956	32	1066	34	1501	50	1311	42	54
Mittag	1007	44	3401	110	4248	142	1654	53	1338	43	1524	54	2120	68	1477	49	1652	53	1900	63	1805	58	67
1	1179	51	1911	62	3683	123	1730	56	1523	49	1910	68	2493	80	2168	72	2277	73	1942	65	2913	94	72
2	1201	52	1734	56	3406	113	1645	52	1516	49	2101	75	2292	74	2105	70	2230	72	2272	76	2942	95	71
3	1093	48	1391	45	2963	99	1526	49	1391	45	2513	90	2128	69	2330	78	2535	82	3163	105	2922	94	73
4	965	42	1073	35	4586	153	1023	33	1250	40	1716	61	2083	67	1685	56	2159	70	2572	86	3062	99	67
5	840	37	796	26	2946	98	1280	41	1046	34	1505	54	1743	56	1704	57	1636	53	1339	45	1962	63	51
6	611	27	1375	44	3106	103	2268	73	1026	33	2531	90	2297	74	1512	50	947	31	1106	37	1958	63	57
7	889	39	2862	92	2954	98	1527	49	2303	74	1589	57	1886	61	1415	47	1634	53	1380	46	1480	48	60
8	1014	44	1783	58	3127	104	2399	77	1976	64	1134	40	1796	58	1524	51	1750	56	1810	60	989	32	59
9	1573	68	1696	55	2804	93	2198	71	1998	64	2429	87	2269	73	1135	38	1501	48	1706	57	1485	48	64
10	1943	84	2445	79	2892	96	1879	61	1458	47	1921	69	2181	70	2379	79	1394	45	1529	51	1390	45	66
11	867	38	1853	60	3294	110	1722	56	1509	49	1969	70	2114	68	2892	96	2381	77	1190	40	2550	82	68
Mitternacht	989	43	1673	54	3126	104	2461	79	2023	65	1832	65	1724	56	1597	53	2646	85	2183	73	1882	61	67
Monats- summen und Mittel	28938	52	47926	64	74691	104	42738	57	34327	46	40880	61	50711	68	36677	51	39642	53	43139	60	48720	65	62

Magnetische Beobachtungen.

Tabelle 30.

Horizontal-Intensität.

Monatssummen und deren Abweichungen mit positiven Zeichen und deren Häufigkeit.

Monat		1	2	3	4	5	6	7	8	9	10	11	Mit- tag	1	2	3	4	5	6	7	8	9	10	11	Mitter- nacht	Summe
1882 <i>September</i>	Summe	307	340	299	610	639	635	637	500	638	586	1039	949	1094	1158	1011	770	733	531	415	478	309	224	224	317	14443
	Häufigkeit	11	10	8	15	12	12	17	17	19	21	19	19	19	20	19	15	16	19	15	15	9	8	9	13	357
<i>October</i>	Summe	435	407	633	687	865	1005	1141	1330	1379	1800	2150	3397	1421	1477	1142	682	627	283	402	411	515	602	609	583	23983
	Häufigkeit	15	16	16	15	17	22	23	28	30	29	30	30	26	27	24	22	19	15	18	13	17	13	15	19	499
<i>November</i>	Summe	881	848	860	1163	1058	1222	1728	2158	2270	2239	2298	2434	2814	2502	2053	1976	1298	957	1416	773	837	1072	1283	837	36977
	Häufigkeit	15	18	18	19	19	22	24	24	25	27	26	26	25	24	22	22	21	18	21	16	14	16	17	15	494
<i>December</i>	Summe	484	596	659	524	631	767	682	736	1018	1147	1643	1654	1727	1605	1526	978	743	459	481	469	525	971	772	626	21423
	Häufigkeit	18	22	14	16	21	22	22	24	27	29	30	31	30	31	31	27	24	16	19	15	17	21	21	14	542
1883 <i>Jänner</i>	Summe	488	429	547	459	583	456	593	717	668	750	1010	1338	1390	1332	1385	1021	791	303	428	462	441	477	567	641	17276
	Häufigkeit	16	16	19	16	20	18	25	27	29	30	30	31	29	28	29	25	24	15	17	20	14	17	20	14	529
<i>Februar</i>	Summe	436	415	510	427	425	747	665	1002	701	819	1233	1524	1910	2002	1707	883	597	639	710	531	444	617	1131	493	20568
	Häufigkeit	13	12	17	13	14	21	19	23	24	26	26	28	28	26	24	20	16	20	22	19	15	14	20	15	475
<i>März</i>	Summe	553	462	466	503	441	628	742	1127	1384	1700	1857	2000	2054	2188	1722	1796	1419	900	662	517	554	684	498	662	25519
	Häufigkeit	19	16	15	10	10	16	16	24	29	30	29	30	26	28	20	24	26	22	18	19	18	18	14	20	497
<i>April</i>	Summe	370	372	400	395	419	319	332	302	451	681	817	1382	1939	1781	1712	1368	1325	843	663	693	427	371	474	355	18291
	Häufigkeit	16	15	16	13	14	14	15	22	25	26	25	24	23	23	22	21	20	19	20	20	20	18	15	17	463
<i>Mai</i>	Summe	319	378	262	277	303	429	469	392	510	577	1059	1629	2237	2178	2458	1939	1461	729	353	271	200	379	491	432	19732
	Häufigkeit	14	16	11	8	11	16	21	24	23	25	30	28	25	26	26	24	27	20	13	9	11	15	15	17	456
<i>Juni</i>	Summe	357	269	306	270	374	465	453	479	509	649	1404	1773	1825	2197	2862	2416	1034	801	811	357	380	376	460	515	21342
	Häufigkeit	17	9	9	8	11	16	17	18	21	24	20	20	20	26	24	23	21	19	19	11	10	13	14	16	406
<i>Juli</i>	Summe	444	495	301	516	506	513	268	324	298	752	1272	1494	2705	2424	2726	2753	1340	1551	730	447	421	691	804	615	24390
	Häufigkeit	12	15	10	15	16	17	16	17	16	22	24	23	26	21	24	22	18	21	13	20	13	20	19	17	437
<i>September bis Juli</i>	Summe	5074	5011	5243	5831	6244	7186	7710	9067	9926	11700	15782	19574	21116	20844	20304	16582	11368	7996	7071	5409	5053	6464	7313	6076	243944
	Häufigkeit	166	165	153	148	165	196	215	248	268	289	289	290	277	280	265	245	232	204	195	177	158	173	179	177	5154
Mittlere Abweichung		32	30	34	39	38	37	36	37	37	40	55	67	76	74	77	68	49	39	36	31	32	37	41	34	47

Tabelle 31.

Horizontal-Intensität.

Monatsummen der Abweichungen mit negativen Zeichen und deren Häufigkeit.

Monat		1	2	3	4	5	6	7	8	9	10	11	Mit- tag	1	2	3	4	5	6	7	8	9	10	11	Mitter- nacht	Summe
1882 September	Summe	1061	891	1816	1488	1273	1018	583	275	28	23	81	58	85	43	82	195	107	80	474	536	1264	1719	643	672	14495
	Häufigkeit	12	13	15	8	11	11	6	6	4	2	4	4	4	3	4	8	6	4	8	8	14	15	14	10	194
October	Summe	1857	1271	1460	2816	1912	1726	587	359	53	57	3	4	490	257	249	391	169	1092	2460	1372	1181	1843	1244	1090	23943
	Häufigkeit	16	15	14	16	14	9	7	3	1	2	1	1	5	4	7	9	12	16	12	18	14	17	16	12	241
November	Summe	2594	2614	2099	1582	1783	870	173	786	682	530	1118	1814	869	904	910	2610	1648	2149	1538	2354	1967	1820	2011	2289	37714
	Häufigkeit	14	12	12	10	11	8	5	6	5	3	4	4	5	6	7	7	9	12	9	14	15	13	13	15	219
December	Summe	1029	1388	1854	2639	1313	862	869	307	171	86	61	0	3	0	0	45	537	1809	1046	1930	1673	908	950	1835	21315
	Häufigkeit	13	9	17	15	10	9	8	7	4	2	1	0	1	0	0	4	6	15	11	16	14	10	10	17	199
1883 Jänner	Summe	1604	1007	958	1113	1509	687	209	133	47	0	3	0	133	184	6	229	255	723	1875	1514	1557	981	942	1382	17051
	Häufigkeit	14	15	12	15	11	13	6	3	2	0	1	0	2	3	2	6	6	16	13	11	17	14	11	17	210
Februar	Summe	1123	1893	1366	1216	1172	536	526	395	284	193	122	0	0	99	806	833	908	1892	879	603	1985	1304	838	1339	20312
	Häufigkeit	15	16	11	15	14	7	8	5	4	2	2	0	0	2	4	8	12	8	6	9	13	14	8	12	195
März	Summe	748	1787	2557	2148	2017	1763	1498	397	478	195	134	120	439	104	406	287	324	1397	1224	1279	1715	1497	1616	1062	25192
	Häufigkeit	10	15	16	21	21	14	15	6	2	1	2	1	5	3	11	7	5	9	13	12	13	13	17	10	242
April	Summe	688	914	967	1154	1607	1353	817	199	46	12	39	95	229	324	618	317	379	669	752	831	708	2008	2418	1242	18386
	Häufigkeit	14	15	14	16	16	16	15	7	5	3	5	5	6	7	8	9	10	10	10	10	10	12	15	12	250
Mai	Summe	1776	1358	1585	1608	1519	1210	565	232	76	109	7	23	40	52	77	220	175	218	1281	1479	1301	1015	1890	2214	20030
	Häufigkeit	16	15	20	23	20	15	10	7	7	6	1	3	6	5	5	7	4	10	18	21	20	15	16	14	284
Juni	Summe	1187	2296	2563	2400	2184	1594	569	351	190	81	97	127	117	75	301	156	305	305	569	1453	1326	1153	730	1668	21797
	Häufigkeit	13	20	21	22	18	14	13	11	9	6	9	10	10	4	6	7	9	11	11	17	19	17	15	14	306
Juli	Summe	2348	2354	3063	2225	1879	1257	818	1009	543	156	39	311	208	518	196	309	622	407	750	542	1064	699	1746	1267	24330
	Häufigkeit	19	16	21	16	15	14	14	14	14	9	7	8	4	10	7	9	13	10	17	11	17	10	12	14	301
September bis Juli	Summe	16015	17773	20288	20389	18168	12876	7214	4443	2598	1442	1704	2552	2613	2560	3651	5592	5429	10741	12848	13893	15741	14947	15028	16060	244565
	Häufigkeit	156	161	173	177	161	130	107	75	57	36	37	36	48	47	61	81	92	121	128	147	166	150	147	147	2641
Mittlere Abweichung		103	110	117	115	113	99	67	59	46	40	46	71	54	54	60	69	59	89	100	95	95	100	102	109	93

Magnetische Beobachtungen.

Tabelle 32.

Vertical-Intensität.

Tagesmittel der Abweichungen ohne Rücksicht auf das Zeichen, mit positiven und mit negativen Zeichen.

T a g	1882												1883																				
	September			October			November			December			Jänner			Februar			März			April			Mai			Juni			Juli		
	ohne Zeichen	+	-	ohne Zeichen	+	-	ohne Zeichen	+	-	ohne Zeichen	+	-	ohne Zeichen	+	-	ohne Zeichen	+	-	ohne Zeichen	+	-	ohne Zeichen	+	-	ohne Zeichen	+	-	ohne Zeichen	+	-	ohne Zeichen	+	-
1.	.	.	.	123	0	123	57	57	0	44	20	24	59	53	6	65	60	5	186	12	174	71	6	66	35	16	19	54	10	45	144	62	82
2.	.	.	.	185	1	184	52	52	0	29	5	24	52	38	14	78	69	9	134	27	107	40	9	31	62	39	23	108	38	70	85	81	4
3.	.	.	.	60	18	43	56	9	47	43	0	43	96	96	0	112	107	4	78	22	56	144	43	101	25	15	11	54	44	10	27	17	10
4.	.	.	.	59	9	51	53	0	53	69	9	60	107	107	0	65	36	29	56	8	49	94	40	54	23	11	13	23	21	2	56	15	41
5.	.	.	.	56	17	39	56	0	56	41	3	38	38	38	0	64	61	3	50	20	31	49	15	34	21	17	4	34	34	1	67	6	62
6.	.	.	.	139	72	66	72	1	71	11	2	9	51	23	28	46	26	20	24	14	10	30	13	17	23	21	2	58	41	17	57	23	34
7.	.	.	.	24	2	22	59	12	46	22	17	5	54	25	29	27	18	10	55	10	45	11	3	8	18	13	5	34	25	8	79	5	74
8.	81	81	0	23	13	10	44	12	32	13	12	1	45	39	7	18	16	2	87	23	64	40	8	33	27	27	0	48	15	33	94	2	92
9.	90	90	0	27	4	23	55	16	39	41	14	27	61	59	2	18	15	3	67	25	43	16	11	5	8	3	5	46	6	41	66	0	66
10.	48	48	0	43	12	31	11	10	1	22	22	0	54	54	0	22	19	3	38	8	30	21	15	6	15	2	13	42	17	24	59	35	24
11.	49	46	2	71	21	50	19	7	12	42	35	7	80	80	0	11	10	2	14	10	4	20	13	8	23	2	21	24	13	11	72	50	22
12.	88	83	5	57	57	0	110	69	41	40	31	9	48	43	5	36	36	0	17	8	9	31	31	1	35	4	32	14	10	4	68	60	8
13.	95	90	5	46	46	0	179	149	30	33	33	0	41	41	0	14	13	1	58	13	45	23	13	9	39	1	38	25	18	7	39	0	39
14.	82	80	3	53	44	9	192	21	172	35	34	1	34	31	3	33	11	22	32	4	28	23	23	0	34	19	15	30	28	2	105	8	97
15.	39	36	3	64	33	31	123	29	94	23	13	10	44	12	32	35	4	32	40	0	40	30	9	21	78	0	78	28	5	23	81	10	71
16.	51	51	0	55	46	8	37	11	26	91	39	51	25	24	1	43	43	1	28	2	27	19	14	5	46	4	42	19	14	5	62	28	34
17.	54	52	2	60	55	5	80	20	60	13	6	7	93	14	79	54	47	7	14	11	3	13	6	7	25	19	6	83	46	36	21	11	10
18.	79	35	44	99	99	0	183	131	52	47	4	43	104	1	104	37	30	1	16	15	1	61	24	37	39	39	0	71	49	22	46	3	43
19.	97	2	95	24	22	3	125	31	94	42	5	38	55	2	54	35	34	1	11	7	4	101	56	46	30	8	22	62	48	13	39	30	10
20.	110	2	108	45	14	31	224	180	45	97	40	57	71	3	69	36	31	5	18	17	1	89	55	34	21	5	16	45	26	18	26	21	5
21.	83	0	83	58	0	58	79	75	4	106	63	43	56	10	46	69	69	0	62	40	23	16	16	0	196	117	79	39	35	5	30	27	3
22.	62	0	62	91	27	64	22	20	2	48	20	28	60	1	59	94	34	61	133	86	48	13	12	1	102	85	17	38	14	23	48	48	0
23.	69	10	60	55	17	38	61	21	40	41	25	16	81	0	81	225	1	223	59	52	7	13	13	0	43	36	7	76	49	28	34	33	1
24.	30	7	23	56	5	51	60	28	32	29	13	15	104	0	104	136	7	130	76	76	0	56	43	13	39	16	23	43	29	14	77	40	37
25.	79	34	45	59	17	42	88	43	45	37	37	0	106	4	101	124	62	62	51	51	0	97	75	22	48	20	28	36	21	16	60	59	2
26.	40	9	31	41	30	11	64	37	27	49	39	10	106	1	106	95	4	91	83	65	18	68	41	27	37	13	24	39	11	28	68	53	15
27.	62	27	35	62	61	1	47	44	2	100	98	1	60	14	47	113	29	84	151	101	50	67	38	29	23	15	8	93	3	89	52	50	2
28.	52	1	51	134	106	28	37	28	10	60	48	12	54	47	8	123	23	100	117	92	25	35	6	29	48	20	28	45	20	25	30	30	0
29.	57	0	57	76	73	3	25	23	2	83	22	61	43	39	4	.	.	.	123	81	43	33	17	15	26	20	5	35	1	34	28	26	2
30.	72	0	73	56	56	0	36	22	14	36	13	23	58	58	0	.	.	.	81	81	0	33	12	21	18	6	13	35	77	179	126	53	95
31.	.	.	.	47	47	0	.	.	.	52	4	47	48	43	6	.	.	.	46	19	26	.	.	.	42	2	39	.	.	174	80	95	

Tabelle 33.

Vertical-Intensität.

Abweichungen und deren Mittel ohne Rücksicht auf das Zeichen.

Stunde	1882								1883												Gesamt-Mittel		
	September		October		November		December		Jänner		Februar		März		April		Mai		Juni			Juli	
	Summe	Mitt.	Summe	Mitt.	Summe	Mitt.	Summe	Mitt.	Summe	Mitt.	Summe	Mitt.	Summe	Mitt.	Summe	Mitt.	Summe	Mitt.	Summe	Mitt.		Summe	Mitt.
1	1939	84	2708	87	3259	109	1854	60	2269	73	2251	80	2321	75	1891	63	1849	60	2362	79	2834	91	78
2	1718	75	2437	79	2710	90	1916	62	2289	74	2443	87	2864	92	1695	57	2048	66	2612	87	3433	111	80
3	2204	96	2397	77	2602	87	1649	53	2014	65	1943	69	2713	88	1708	57	1669	54	2344	78	3414	110	76
4	1878	82	2176	70	2968	99	1506	49	1761	57	1995	71	2406	78	1279	43	1379	44	1520	51	2927	94	67
5	1746	76	1942	63	2678	89	1204	39	1625	52	1869	67	1863	60	1147	38	1154	37	984	33	2245	72	57
6	1381	60	1512	49	2035	68	953	31	1708	55	1447	52	1760	57	671	22	949	31	1001	33	1392	45	46
7	1361	59	1501	48	1557	52	1141	37	1606	52	1422	51	1664	54	865	29	777	25	944	31	1518	49	44
8	1380	60	1513	49	1424	47	985	32	1663	53	1381	49	1319	43	657	22	857	28	811	27	1277	41	41
9	1399	61	1389	45	978	33	1082	35	1643	53	1233	44	1383	45	519	17	626	20	673	22	1061	34	37
10	1460	63	1614	52	796	23	1184	38	1710	55	1251	45	1173	38	606	20	472	15	699	23	1003	32	37
11	1361	59	1919	62	1375	46	1033	33	1778	57	1411	50	1376	44	670	22	659	21	788	26	1186	38	42
Mittag	1335	58	2108	68	1769	59	1266	41	1783	58	1582	57	1852	60	964	32	836	27	945	31	1532	49	49
1	1334	58	2080	67	1972	66	1143	37	1878	61	1259	54	2078	67	1209	40	1045	34	1289	43	1823	59	53
2	1335	58	2284	74	2520	84	1594	51	2006	65	1877	67	2310	75	1400	47	1251	40	1730	58	2398	77	63
3	1551	67	2340	75	2834	94	1657	53	2308	74	1824	65	2367	76	1798	60	1178	38	1732	58	2859	92	68
4	1363	59	2444	79	2962	99	1576	51	2353	76	2161	77	2474	80	1985	66	1579	51	2063	69	2815	91	73
5	1515	66	2239	72	2136	71	1486	48	2216	71	2213	79	2273	73	1730	58	1428	46	2379	79	2649	85	68
6	1407	61	1634	53	2137	71	1423	46	2270	73	2251	80	2163	70	1586	53	1488	48	1948	65	2488	80	64
7	1303	57	1605	52	2825	94	1411	46	2802	90	1968	70	1966	63	1494	50	1286	41	1469	47	1933	62	61
8	1496	65	1813	58	2302	77	1340	43	2221	72	1820	65	1634	53	1139	38	1092	35	1032	34	1504	49	54
9	1702	74	1939	63	2418	81	1523	49	2148	69	2173	78	1542	50	1397	47	1273	41	1102	37	1465	47	58
10	2038	89	2491	80	3105	103	1452	47	1871	60	2066	74	1839	59	1735	58	1552	50	1034	34	1578	51	64
11	1664	72	2570	83	3265	109	1909	62	1774	57	1680	60	2528	82	2272	76	1849	60	1482	49	2175	70	71
Mitternacht	1733	75	2486	80	2807	94	2293	74	2065	67	2103	75	2295	74	2169	72	1725	56	2129	71	2258	73	74
Monats-Summen und Mittel	37603	68	49141	66	55434	77	34580	46	47761	64	43893	65	48163	65	32586	45	30021	40	35072	49	49767	67	55

Magnetische Beobachtungen.

Tabelle 34.

Vertical-Intensität.

Monatssummen der Abweichungen mit positiven Zeichen und deren Häufigkeit.

Monat		1	2	3	4	5	6	7	8	9	10	11	Mit- tag	1	2	3	4	5	6	7	8	9	10	11	Mitter- nacht	Summe
1882 <i>September</i>	Summe	1437	1211	1650	1083	869	508	507	539	014	648	555	530	503	435	448	400	403	323	386	618	1093	1549	1230	1204	18743
	Häufigkeit	13	13	13	13	10	10	8	11	11	11	11	11	11	10	9	9	9	7	10	11	13	16	13	16	269
<i>October</i>	Summe	2343	1996	1880	1618	1396	729	549	579	493	498	464	380	334	320	313	297	266	269	752	1168	1564	2138	2111	2070	24527
	Häufigkeit	22	19	21	18	20	14	14	14	14	13	14	12	11	11	10	9	7	10	16	19	23	24	22	20	377
<i>November</i>	Summe	2938	2203	2282	2648	2214	1314	636	651	304	210	203	205	183	125	100	383	274	232	951	889	1516	2282	2662	2392	27797
	Häufigkeit	22	24	23	23	18	11	10	14	11	12	11	12	9	7	7	7	7	6	10	15	18	23	23	23	346
<i>December</i>	Summe	1765	1803	1478	1193	864	570	337	359	403	438	382	384	313	303	249	236	250	376	344	499	605	765	1524	2023	17463
	Häufigkeit	26	23	25	22	21	20	14	15	15	15	14	14	13	11	9	10	7	11	13	14	13	16	21	23	385
1883 <i>Jänner</i>	Summe	1798	1895	1496	1276	1015	859	655	654	685	817	879	850	738	751	738	721	678	644	793	777	1061	1274	1358	1525	23937
	Häufigkeit	21	24	23	22	21	18	17	16	18	20	21	19	19	18	17	16	14	12	12	12	18	20	22	20	440
<i>Februar</i>	Summe	2113	2328	1733	1597	1275	739	604	411	423	484	501	402	407	350	400	338	336	365	572	604	1290	1483	1340	1943	22038
	Häufigkeit	25	24	24	23	21	17	15	13	16	18	19	17	16	13	15	13	14	15	12	16	17	18	20	23	424
<i>März</i>	Summe	2132	2551	2587	2285	1574	1147	605	372	504	308	257	223	159	142	143	107	147	330	351	810	1006	1549	2390	2197	23876
	Häufigkeit	24	24	23	26	19	18	16	14	12	13	14	9	9	6	8	8	7	6	8	11	17	22	21	25	360
<i>April</i>	Summe	1775	1622	1605	1167	822	242	213	175	187	157	130	77	94	127	153	141	119	156	139	331	1076	1563	2164	2073	16308
	Häufigkeit	25	25	22	21	16	13	12	13	13	12	10	6	8	7	8	8	6	7	9	9	18	24	25	28	345
<i>Mai</i>	Summe	1698	1898	1547	1128	609	287	71	296	144	120	185	254	124	83	126	221	114	94	338	288	784	1189	1637	1527	14762
	Häufigkeit	24	25	24	21	15	8	8	13	15	13	14	14	10	8	6	7	7	7	11	11	16	22	26	23	348
<i>Juni</i>	Summe	2327	2574	2237	1334	667	479	333	430	395	251	213	134	106	74	100	195	230	170	166	174	565	872	1357	2063	17452
	Häufigkeit	28	26	23	18	15	14	14	15	16	14	12	12	8	8	8	9	7	7	5	5	12	16	25	24	341
<i>Juli</i>	Summe	2624	3197	3170	2599	1872	836	885	618	374	310	383	247	157	110	134	152	315	388	516	584	789	926	1743	1971	24900
	Häufigkeit	25	24	24	23	20	12	13	14	13	12	10	10	8	4	6	7	11	11	11	14	15	16	22	23	348
<i>September bis Juli</i>	Summe	22950	23278	21665	17928	13177	7710	5395	5084	4526	4241	4152	3686	3118	2820	2904	3191	3132	3353	5308	6742	11349	15590	19516	20988	231803
	Häufigkeit	255	251	245	230	196	155	141	152	154	153	150	136	122	103	103	103	96	99	117	137	180	217	240	248	3983
Mittlere Abweichungen		90	93	88	78	67	50	38	33	29	28	27	26	27	28	31	33	34	45	49	63	72	81	85	58	

Tabelle 35.

Vertical-Intensität.

Monatssummen der Abweichungen mit negativen Zeichen und deren Häufigkeit.

Monat		1	2	3	4	5	6	7	8	9	10	11	Mit- tag	1	2	3	4	5	6	7	8	9	10	11	Mitter- nacht	Summe
1882 <i>September</i>	Summe	502	507	554	795	877	873	854	841	785	812	806	805	831	900	1103	963	1112	1084	917	878	609	489	434	529	18860
	Häufigkeit	10	10	10	10	13	13	15	12	12	12	12	12	12	12	13	14	14	14	16	13	12	10	7	10	7
<i>October</i>	Summe	365	441	517	558	546	783	952	934	896	1116	1455	1728	1746	1964	2027	2147	1973	1365	853	645	375	353	459	416	24614
	Häufigkeit	9	11	10	13	11	17	17	17	17	17	18	17	19	20	20	21	22	24	21	14	12	8	7	9	11
<i>November</i>	Summe	321	507	320	320	464	721	921	773	674	586	1172	1564	1789	2395	2734	2579	1862	1905	1874	1413	902	823	603	415	27637
	Häufigkeit	8	6	6	7	11	19	20	16	19	17	19	18	21	23	22	23	23	23	20	15	12	7	7	7	7
<i>December</i>	Summe	89	123	171	313	340	383	804	626	679	746	651	882	830	1291	1408	1340	1236	1047	1067	841	918	687	385	270	17127
	Häufigkeit	5	8	6	9	10	11	17	16	16	16	16	16	18	20	22	21	24	20	18	17	17	15	10	8	356
1883 <i>Jänner</i>	Summe	471	394	518	485	610	849	951	1009	958	893	899	933	1140	1255	1570	1632	1538	1626	2009	1444	1087	597	416	540	23824
	Häufigkeit	10	6	8	9	10	13	14	15	13	11	10	12	12	13	14	15	17	19	19	19	13	11	9	11	303
<i>Februar</i>	Summe	138	115	210	398	594	708	818	970	810	767	910	1180	1122	1527	1424	1931	1877	1886	1396	1216	883	583	340	160	21963
	Häufigkeit	3	3	4	5	7	10	12	15	12	10	9	10	12	14	12	15	14	13	15	12	11	10	8	5	241
<i>März</i>	Summe	189	313	126	121	289	613	1059	947	879	865	1119	1629	1919	2168	2224	2367	2126	1833	1615	824	536	290	138	98	24287
	Häufigkeit	7	7	7	5	12	13	15	16	19	18	17	21	22	25	23	22	24	24	23	17	14	9	10	6	376
<i>April</i>	Summe	116	73	103	112	325	429	652	482	332	449	540	887	1115	1273	1645	1844	1611	1430	1355	808	321	172	108	96	16278
	Häufigkeit	5	4	8	9	14	17	17	16	14	17	20	21	20	23	22	22	24	21	21	21	12	6	5	2	361
<i>Mai</i>	Summe	151	150	122	251	545	662	706	561	482	352	474	582	921	1168	1052	1358	1314	1394	948	804	489	363	212	198	15259
	Häufigkeit	7	6	6	10	16	23	23	18	15	15	16	17	21	22	25	23	23	24	20	19	14	9	5	7	384
<i>Juni</i>	Summe	35	38	107	186	317	522	611	381	278	448	575	811	1183	1656	1632	1868	2149	1772	1303	858	537	162	125	66	17620
	Häufigkeit	2	3	7	12	15	16	16	15	13	15	18	17	21	22	22	21	23	23	24	25	18	13	5	5	371
<i>Juli</i>	Summe	210	236	244	328	373	556	633	659	687	693	803	1285	1666	2288	2725	2663	2334	2100	1417	920	676	652	432	287	24867
	Häufigkeit	5	5	7	8	11	19	18	17	17	19	21	21	23	27	24	24	20	20	20	17	16	14	9	8	392
<i>September bis Juli</i>	Summe	2587	2897	2992	3807	5280	7099	8961	8183	7460	7727	9404	12286	14202	17885	19544	20692	19132	17442	14754	10651	7333	5171	3652	3075	232336
	Häufigkeit	71	71	79	97	130	171	184	173	167	168	175	184	202	222	221	222	230	224	207	186	145	108	87	77	3801
Mittlere Abweichungen		36	41	38	40	41	41	49	47	45	46	54	67	71	81	88	93	83	78	71	57	51	48	42	40	61

Magnetische Beobachtungen.